



Update S3-Leitlinie

„Exokrines Pankreaskarzinom“

2011/2012

Themenbereich:

Chirurgische Therapie,

adjuvante, neoadjuvante und palliative Therapie

Systematische Suche nach Informationen
zum medizinisch-wissenschaftlichen Kenntnisstand
und zur Bewertung der Evidenz

Institut für Medizinische Epidemiologie,
Biometrie und Informatik

Medizinische Fakultät der Martin-Luther-Universität Halle Wittenberg

Impressum

Herausgeber: Institut für Medizinische Epidemiologie, Biometrie und Informatik der MLU Halle-Wittenberg IMEBI

Titel: Update S3 Leitlinie „Exokrines Pankreaskarzinom“ 2011/2012

Themenbereich: Chirurgische Therapie, adjuvante, neoadjuvante und palliative Therapie - Systematische Suche nach Informationen zum medizinisch-wissenschaftlichen Kenntnisstand und zur Bewertung der Evidenz

Auftraggeber: Leitlinienprogramm Onkologie der Deutsche Krebsgesellschaft, AWMF und Deutsche Krebshilfe zur Neuerstellung der *S3-Leitlinie des Adenokarzinoms des Pankreas, vertreten durch Prof. Dr. Thomas Seufferlein, Halle*

Autoren: Dr. rer. nat. Susanne Unverzagt¹

¹ Institut für Medizinische Epidemiologie, Biometrie und Informatik der MLU Halle Wittenberg

Redaktion und Gestaltung:

IMEBI Halle

Anschrift des Herausgebers:

Institut für Medizinische Epidemiologie, Biometrie und Informatik
06097 Halle (Saale)

© IMEBI Halle 2012

Inhaltsverzeichnis

1.	Literaturrecherche: Datenbanken und Suchstrategien.....	5
2.	Bewertung der Evidenz.....	6
1.	Literaturrecherche: Datenbanken und Suchstrategien.....	5
2.	Bewertung der Evidenz	6
3.1.1	Soll präoperativ eine Staging-Laparoskopie durchgeführt werden?	9
3.1.2	Sollte bei präoperativ bestehender Cholestase eine Galleableitung mittels ERCP und Stent erfolgen?.....	23
3.1.3	Was sind Kriterien der Irresekabilität des Tumors?.....	26
3.1.3.1	Extrapankreatische Tumormanifestation.....	26
3.1.3.2	Lymphknotenmetastasen	26
3.1.3.3	Infiltration des Truncus coeliacus	48
3.1.3.4	Infiltration der Art. mes. sup.	55
3.1.3.5	Infiltration der Pfortader	65
3.1.3.6	Infiltration der V. mesenterica sup.....	83
3.1.3.7	Infiltration anderer Gefäße	96
3.1.3.8	Gibt es eine Definition der Borderline-Resektabilität?	102
3.1.7	Vorgehen bei Karzinomen des Pankreaskopfes.....	107
3.1.10	Vorgehen bei Adhärenz des Tumors mit umgebenden Organen.....	118
3.1.11	Sollen im Rahmen einer Resektion des Pankreaskarzinoms Lymphknoten mitreseziert werden? 121	
3.1.13	Sollen erst intraoperativ nachweisbare, resektable Fernmetastasen reseziert werden?158	
3.1.14	Sehen Sie eine Indikation für die laparoskopische Operationstechnik im Rahmen der Pankreaskarzinomchirurgie?.....	167
3.1.4	Die minimale Resektionsgrenze vom makroskopischen Tumorrand sollte ... mm betragen. 179	
3.1.12	Gibt es eine Indikation für eine Tuschemarkierung der Resektionsränder bzw. wie soll das Resektionspräparat aufgearbeitet werden?.....	191
3.1.15	Sehen Sie eine Indikation für die intraoperative Schnellschnittanfertigung im Rahmen der Pankreaskarzinomchirurgie?.....	200
3.1.16	Welche Kriterien sind für die Einstufung als R0 Resektion beim Pankreaskarzinom zu fordern? 204	
3.1.17	Notwendige Angaben durch den Pathologen	221
4.1.1	Wann besteht eine Indikation zur adjuvanten Chemotherapie nach R0 Resektion eines Pankreaskarzinoms?	297
4.1.2.	Welche adjuvanten Chemotherapien führen Sie beim Pankreaskarzinom durch?.....	297
4.1.7	Innerhalb welchen Zeitfensters sollte eine adjuvante Therapie nach Operation eingeleitet werden?.....	307
4.1.13	Gibt es eine Indikation zur neoadjuvanten Chemotherapie beim Pankreaskarzinom? 307	
4.1.16	Wann soll nach Abschluss der neoadjuvanten Therapie die Reevaluation erfolgen? .. 318	
4.1.17	Mittels welcher diagnostischen Verfahren soll nach neoadjuvanter Therapie reevaluiert werden? 318	
4.1.19	Sehen Sie eine Indikation für neue Therapieverfahren wie z.B. SIRT, Hyperthermie oder Protonentherapie in der adjuvanten Therapie des Pankreaskarzinoms?.....	321
4.1.20	Sehen Sie eine Indikation für neue Therapieverfahren wie z.B. SIRT, Hyperthermie oder Protonentherapie in der neoadjuvanten Therapie des Pankreaskarzinoms?	321
5.1.2	Besteht eine Indikation für eine palliative Chemotherapie beim lokal fortgeschrittenen irresektablen Pankreaskarzinom	322
5.1.3	Welche systemische palliative Behandlung setzen Sie in der First-Line-Therapie ein?322	
5.1.3.1	Sehen Sie eine Indikation für den Einsatz molekularer Marker zur Therapiesteuerung?358	
5.1.4	Sehen Sie eine Indikation für eine Second-Line-Therapie in der palliativen Therapie des Pankreaskarzinoms?	393
5.1.5	Welche systemische palliative Behandlung setzen Sie in der Second-Line-Therapie ein?393	
5.1.6	Führen Sie eine systemische palliative Behandlung in der Third-Line-Situation durch?401	

5.1.7 Erlauben die bisherigen Daten Ihrer Meinung nach das Festlegen einer therapeutischen Reihenfolge (Priorisierung) genannter Substanzen/Schemata für die palliative Chemotherapie?	404
5.1.12 Wie soll eine singuläre Lebermetastase behandelt werden?	404
5.1.13 Wie soll ein maligner Aszites behandelt werden?	414
5.1.14 Wie soll eine Peritonealkarzinose behandelt werden?	419
5.1.15 Sehen Sie eine Indikation für neue Therapieverfahren wie z.B. SIRT, Hyperthermie oder Protonentherapie in der palliativen Therapie des Pankreaskarzinoms?	422

1. Literaturrecherche: Datenbanken und Suchstrategien

Im August 2011 wurde eine systematische Literaturrecherche für aggregierte Evidenz (Systematische Übersichtsarbeiten, Metaanalysen, HTA-Berichte) bzw. Primärstudien durchgeführt.

Die Suche umfasste den Zeitraum vom 01. Januar 2007 bis zum 29. August 2011 und enthält Dokumente in deutscher und englischer Sprache.

Bezüglich der relevanten Patientengruppen (Patienten mit exokrinem Pankreaskarzinom) erfolgte keine Einschränkung in Bezug auf das Stadium der Erkrankung.

Die Suche wurde in folgenden Datenbanken durchgeführt:

- EMBASE über <http://www.dimdi.de>
- MEDLINE über <http://www.ncbi.nlm.nih.gov/pubmed>
- The Cochrane Library über <http://www.thecochranelibrary.com>

Genaue Suchstrategie und Trefferzahlen siehe Anhang.

Insgesamt wurden 23048 Treffer gescreent und 278 Publikationen auf Abstractebene eingeschlossen. Nach Volltextssichtung wurden 155 systematische Übersichtsarbeiten, Metaanalysen und Primärstudien eingeschlossen (inklusive 4 Publikationen aus der Einzelrecherche/Handsuche). Der Auswahlprozess der Recherche ist in Abbildung 1 dargestellt. Die Evidenzbewertung erfolgte mit dem Evidenzklassifizierungssystem nach Oxford 2009 (vgl. 2.).

Die Auswahl der Literatur erfolgte unter Verwendung der folgenden Ein- bzw. Ausschlusskriterien:

a) Einschlusskriterien:

Patientenkollektiv: Patienten mit exokrinem Pankreaskarzinom, mindestens 25 Patienten

Studientypen: Einschluss von randomisierten kontrollierten Studien, therapievergleichenden nicht randomisierten Kohortenstudien oder systematischen Reviews und Metaanalysen dieser Studien (Ausnahme: bei Inexistenz der aufgeführten Studientypen wurden bei einzelnen Fragestellungen auch retrospektive Kohortenstudien berücksichtigt)

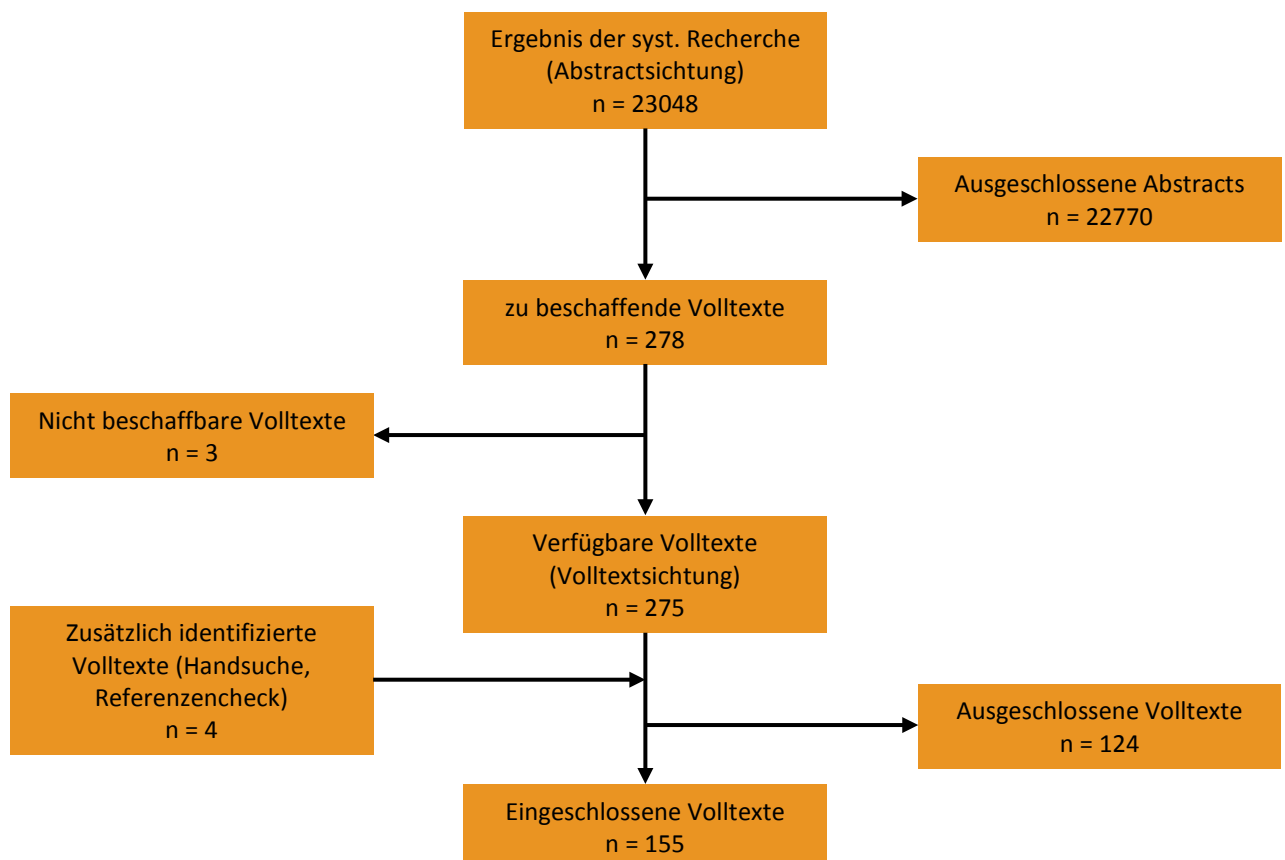
Sprachen: Englisch, Deutsch

b) Ausschlusskriterien:

Studientypen: Fallserien, Fallberichte, narrative Reviews, Tier- bzw. in vitro-Studien

Doppelpublikationen (Dubletten)

Abbildung 1: Flowchart zur Recherche nach Literatur zur chirurgischen, (neo-)adjuvanten und palliativen Therapie des exokrinen Pankreaskarzinoms



2. Bewertung der Evidenz

Die Vorgehensweise bei der Ausarbeitung dieses Evidenzberichts orientiert sich an den allgemeinen Prinzipien bei der Erstellung systematischer Reviews (Higgins 2009), dem Amstar Statement zur Bewertung systematischer Reviews (Shea 2008), den QUADAS-Kriterien zur Bewertung diagnostischer Tests (Whiting 2011), Hinweisen zur Evidenzsynthese aus prognostischen Studien (Riley 2009) und bereits vorliegenden Evidenzberichten (Wagner 2009). Die Qualitätsbewertung orientiert sich an den CEBM Kriterien (www.cebm.net).

Es wurden Extraktionstabellen für diagnostische, prognostische und therapeutische Maßnahmen erstellt.

Für diagnostische Studien wurden folgende Informationen studienbeschreibende Informationen extrahiert:

- Studientyp (mono- oder multizentrische Studie, Rekrutierungszeitraum – und Land, prospektiv geplante oder retrospektive Auswertung),
- eingeschlossene Patienten (Anzahl, Alter, Geschlecht, Indikation, Vorbehandlungen, prospektive Festlegung von Einschlusskriterien und Fallzahl, Beschreibung von Kriterien zur Selektion der Patienten),
- Index- und Referenztest (Beschreibung der Testdurchführung und Interpretation der Ergebnisse, Angabe eines Trennwertes),
- Ziellkriterium für ein positives Testergebnis,
- Ablauf der Studie (Reihenfolge der Anwendung von Index- und Referenztest, Zeitspanne und ggf. Interventionen zwischen Laparoskopie und Referenztest) und
- Studienqualität gemäß den CEBM-Kriterien 2009.

Nutzen und Schaden der untersuchten diagnostischen Maßnahmen wurden in Ergebnistabellen zusammengefasst:

- Angabe der eingeschlossenen Patienten,
- der Anzahl richtig- und falsch positiver und –negativer Patienten,
- Angaben zu Sensitivität und Spezifität,
- detaillierte Beschreibungen zu falsch-positiven und negativen Patienten und
- Nebenwirkungen der Tests.

Für prognostische Studien wurden studienbeschreibende Informationen zum

- Studientyp (RCT, prospektiv vs. retrospektiv, univariabel vs. multivariabel Auswertungen, mono- vs. multizentrisch, Rekrutierungszeit- und Land),
- Patienten (Anzahl, Alter, Geschlecht, Indikation, Behandlungen, Ausmaß/ Befallsmuster je Gruppe, Definition der Einschlusskriterien),
- prognostischem Merkmal und Cut-off zwischen positiven und negativen Werten,
- Art der Interventionen in Abhängigkeit vom Testergebnis,
- Endpunkte mit Nachverfolgungszeitraum (Dauer, Abstand zwischen Untersuchungen, verwendete Untersuchungen, Vollständigkeit) und
- Studienqualität gemäß den CEBM-Kriterien 2009 extrahiert.

Die Ergebnistabellen enthalten Informationen zur

- Fallzahl,
- den untersuchten prognostischen Merkmalen,
- Ergebnissen aus uni- und multivariaten Analysen und
- assoziierte Nebenwirkungen.

Zu therapeutischen Studien und systematischen Reviews therapeutischer Studien wurden Informationen zum

- Studientyp (Querschnitt- vs. Längsschnitt, RCT, mono vs. multizentrisch, Rekrutierungszeitraum – und Land),
- den eingeschlossenen Patienten (Anzahl, Alter, Geschlecht, Vorbehandlungen, Indikation),
- Interventions- und Vergleichsgruppe,
- dem Rekrutierungszeitraum,
- den geplanten Endpunkten und
- der Studienqualität (Bei RCTs: Generierung der Zufallsfolge, Verdeckte Therapiezuweisung, Verblindung, Beschreibung von Studienabbrüchen, ITT-Analyse, Cross-over) extrahiert. Es erfolgte eine Bewertung gemäß der CEBM-Kriterien 2009.

Die Ergebnistabellen enthalten gruppenweise und vergleichende Informationen zu Nutzen (Gesamt- und progressionsfreies Überleben) und Schaden (Nebenwirkungen) der untersuchten Therapien.

Referenzen:

Higgins JPT, Green S (editors). Cochrane Handbook for Systematic Reviews of Interventions. 2009. The Cochrane Collaboration. Wiley-Blackwell.

Riley RD, Sauerbrei W, Altman DG. Prognostic markers in cancer: the evolution of evidence from single studies to meta-analysis, and beyond. *British Journal of Cancer* 2009; 100: 1219–1229.

Shea BJ, Hamel C, Wells GA, Bouter LM, Kristjansson E, Grimshaw J, Henry DA, Boers M. AMSTAR is a reliable and valid measurement tool to assess the methodological quality of systematic reviews. *Journal of Clinical Epidemiology* 2009; 62: 1013-1020.

Wagner AD, Unverzagt S. Evidenzbericht 2009 zur S-3-Leitlinie Magenkarzinom. Themenbereich: Palliative tumorspezifische Therapie Systematische Suche nach Informationen zum medizinisch-wissenschaftlichen Kenntnisstand und zur Bewertung der Evidenz.

Whiting PF, Rutjes AWS, Westwood ME, Mallett S, Deeks JJ, Reitsma JB, Leeflang MMG, Sterne JAC, Bossuyt PMM and the QUADAS-2 Group. QUADAS-2: A Revised Tool for the Quality Assessment of Diagnostic Accuracy Studies. *Ann Intern Med*. 2011;155:529-536.

Themenkomplex 3:

3.1 Chirurgische Therapie des Pankreaskarzinoms

Nachfolgende Evidenztabelle bezieht sich auf folgende Frage:

3.1.1 Soll präoperativ eine Staging-Laparoskopie durchgeführt werden?

Insgesamt wurden 12 Studien zum Thema auf der Grundlage des Titel- und Abstractscreenings gefunden. Eingeschlossen wurden 9 diagnostische Studien mit insgesamt 2458 Patienten und ein systematischer Review (Hariharan 2010) zur diagnostischen Güte der Laparoskopie und zwei Studien zur diagnostischen Güte einer Zytologiegewinnung (Yamada 2007, Kelly 2009). Vier der Studien waren prospektiv geplant (Doucas 2007, Kelly 2009, Muntean 2009, Satoi 2011), zwei von ihnen wurden mit dem Evidenzniveau 1b beurteilt. In sieben Studien wurden Datenbanken retrospektiv ausgewertet (Yamada 2007, Enestvedt 2008, Mayo 2008, Shah 2008, White 2008, Contreras 2009, Barabino 2010), fünf von ihnen wurden mit dem Evidenzniveau 1b beurteilt. Der systematische Review wurde aufgrund hoher Heterogenität der Sensitivität abgewertet (Niveau 1a-). Diese Heterogenität reflektiert die klinische Praxis mit heterogener Vorstellungsvielfalt durch vorgesetzte Untersuchungen und heterogener Definition der Resektabilität. Vier diagnostische Studien wurden aufgrund geringer Stichprobengröße und daraus resultierenden breiten Konfidenzintervalls abgewertet (1b- und 2b-).

Tabelle 3.1.1a: Studienbeschreibung: Aktuelle diagnostische Studien zum Einsatz einer präoperativen Staging-Laparoskopie oder einer Spülung zur Zytologiegewinnung.

Artikel ¹	Studientyp ²	Patienten ³	Laparoskopie (mit Spülung zur Zytologiegewinnung?) ⁴	Referenztest ⁵	Zielkriterium für positives Testergebnis	Ablauf der Studie ⁶	Verzerrungspotential, Evidenzstufe (CEBM 2009)
Doucas 2007 Surg Endosc	diagnostische Studie (prospektiv) multizentrisch 01/2001-0/2004	patients undergoing laparoscopy and intraoperative ultrasound with radiologic diagnosis of pancreatic carcinoma with no evidence of metastases N=100 United Kingdom mean Alter 63 Jahre (21-83) Sex (m/w): 52% / 48% 75% operabel (head lesions < 4cm + body or tail lesions of any size) und 25% pancreatic head lesion (> 4cm im CT) nicht resektabel	Open insertion of a 10-mm port at the umbilicus and establishment of a pneumoperitoneum (0° laparoscope). Second port in left upper or right lower quadrant, through which ultrasound probe was inserted; additional ports if necessary for retraction or biopsy. Laparoscopic examination of the peritoneal cavity, anterior and posterior liver surfaces; ultrasound assessment of liver, pancreas, bile duct, and vessels. Suspicious areas were biopsied and metastatic disease confirmed histologically.	Nutzung klinischer, pathologischer und perioperativer Daten der Laparotomie	Nichtresektabilität	1. Bildgebung (spiral CT bis 2003 danach multichannel CT) 2. Laparoskopie (n=75) 3. Laparotomie mit Resektion bei positivem Befund aus Laparoskopie	1b Laparoskopie erfolgte bei allen potentiell resektablen Patienten (wenn möglich)
Yamada 2007 Annals of Surgery	diagnostische Kohortenstudie retrospektiv mono-zent-	Pancreatic cancer N=233 Median Alter: 61,9 Jahre	Zytologie (CY): Immediately after laparotomy, 200 ml isotonic heparinized saline was introduced into the subhepatic space and the	Nutzung klinischer, pathologischer und perioperativer Daten der Laparotomie	Nichtresektabilität (value of peritoneal washing cytology in determining resectability)	1. operative work-up 2. Laparotomy a) with the collection of peritoneal washing samples	2b

¹ Autor, Jahr, Studienname, Journal

² Studientyp, mono vs. multizentrisch, Rekrutierungszeitraum – und land, prospektiv geplante oder retrospektive Auswertung

³ Anzahl, Alter, Geschlecht, Indikation, Vorbehandlungen, Waren Einschlusskriterien und Fallzahl prospektiv festgelegt? Wurde eine unselektierte Gruppe von Patienten eingeschlossen (sonst Angaben zu den Selektionskriterien)?

⁴ Beschreiben Sie die Laparoskopie und die Interpretation der Ergebnisse. Gab es prospektive Festlegungen zur Interpretation? Wurden die Ergebnisse der Laparoskopie ohne Wissen über die Ergebnisse des Referenztestes interpretiert?

⁵ Beschreiben Sie den Referenztest und geben Sie den Trennwert an. Wurden die Ergebnisse des Referenztests ohne Wissen über die Ergebnisse der Laparoskopie interpretiert?

⁶ Beschreiben Sie die Reihenfolge der Anwendung der Laparoskopie und des Referenztests. Gibt es Angaben zur Zeitspanne zwischen Laparoskopie und Referenztest (bitte angeben)? Gab es Interventionen zwischen Laparoskopie und Referenztest? Erhielten alle Patienten denselben Referenztest? Wurden alle Patienten in die Analyse eingeschlossen?

Artikel ¹	Studientyp ²	Patienten ³	Laparoskopie (mit Spülung zur Zytologiegewinnung?) ⁴	Referenztest ⁵	Zielkriterium für positives Testergebnis	Ablauf der Studie ⁶	Verzerrungspotential, Evidenzstufe (CEBM 2009)
	risch 06/1991- 08/2006 Japan	(32-84) Sex (m/w): 67% / 33% Extended radical resection performed in the absence of macroscopic liver or peritoneal metastases (n=157, 67,4%). Unresectable patients had macroscopic hepatic metastases, macroscopic peritoneal metastases, or extensive local invasion (n=76, 32,6%).	pouch of Douglas. After gentle agitation, fluid was collected using a syringe and quill. Smears were made from the centrifuged deposit and, after conventional Papanicolaou and Giemsa staining, examined by at least 2 experienced pathologists. All surgical specimens were examined histopathologically after being fixed and stained with hematoxylin and eosin.		ity of pancreatic cancer)	b) mit Resektion bei positivem Befund aus makroskopischer Begutachtung 3. Follow-up (mean 18,3 Monate)	
Enestvedt 2008 J Gastroint Surg	diagnostische Kohorten- studie retrospektiv multizentrisch 1996-2003 USA	Pathologic diagnosis of pancreatic ductal adenocarcinoma – potentially resectable N=298 Median Alter: 64,6 Jahre (26-90) Sex (m/w): 52% / 48% Tumor location: periampullary 79% distal 21% T-stage T1/T2/T3/T4/unknown: 5,5%/17%/59%/5,5%/13% Laparoskopie: 29% Ausschluss: proximal cholangiocarcinoma, any cancer of unknown primary, intraductal papillary mucinous	The vast majority of surgeons, when they used diagnostic laparoscopy, performed an examination of the peritoneum with little dissection in the lesser sac and no laparoscopic ultrasound.	Nutzung klinischer, pathologischer und perioperativer Daten der Laparotomie	Nichtresektabilität	1. Staging: CT, endoscopic US 2.a) direct laparotomy (n=212, 71%) 2.b) diagnostic laparoscopy (n=86, 29%) 3. Laparatomy	2b patients for staging laparoscopy were at high risk for metastatic disease. (CT scan and elevated preoperative CA 19-9).

Artikel ¹	Studientyp ²	Patienten ³	Laparoskopie (mit Spülung zur Zytologiegewinnung?) ⁴	Referenztest ⁵	Zielkriterium für positives Testergebnis	Ablauf der Studie ⁶	Verzerrungspotential, Evidenzstufe (CEBM 2009)
		neoplasms, mucinous cystadenocarcinoma, lymphomas, sarcomas, oncocytomas, giant papillary carcinomas, and neuroendocrine tumors of the pancreas					
Mayo 2008 J Am Coll Surg	diagnostische Kohortenstudie retrospektiv multizentrisch 01/1996-12/2003 USA	Patienten mit patholog. bestätigtem, potenziell operablen Adenokarzinom der Pankreas N=298 Mean Alter: 64,6 Jahre (26-90) Sex (m/w): 52% / 48% Mean tumor size: 3,3 cm Location: head, neck, uncinate process 80%; distal 20% Laparoskopie: 29% Ausschluss: procedure with palliative intent; atypical histologies: intraductal papillary mucinous neoplasms, lymphoma, sarcoma, cystadenocarcinoma; duodenal adeno-carcinomas and ampullary cancers	Laparoskopie: keine Beschreibung der Methode	Nutzung klinischer pathologischer und perioperativer Daten der Laparotomie	Nichtresektabilität	CT (98%) Laparoskopie (29%) Endoskopischer US (32%) Laparotomie (92%)	2b Surgeons appeared to select patients for pre-operative laparoscopy when clinical factors increased their suspicion for unresectable disease).
Shah 2008 J of Surg Res	diagnostische Studie retrospektiv mono-zentrisch	Patienten mit staging Laparoskopie für laut CT potentiell resektabilem Adenokarzinom der Pankreas (eine der folgenden Bed.: Tumor >	Staging laparoscopy included a general exploration of the abdominal surfaces including palpation of the liver with two instruments. The hilum of the liver was visualized and the	In case of evidence of unresectable disease at laparoscopy, biopsies of liver lesions or other easy targets were performed with frozen	Nichtresektabilität	1. Abdominal CT scan using a MDCT with four phases of contrast and fine cuts through the liver and pancreas	2b- patients for SL were at high risk for metastatic disease.

Artikel ¹	Studientyp ²	Patienten ³	Laparoskopie (mit Spülung zur Zytologiegewinnung?) ⁴	Referenztest ⁵	Zielkriterium für positives Testergebnis	Ablauf der Studie ⁶	Verzerrungspotential, Evidenzstufe (CEBM 2009)
	2 Jahre USA	4cm (n=6), Gewichtsverlust >20% des Gesamtgewichtes (n=10), Ascitis (n=4), stark erhöhte CA 19-9 (>1000 U/ml) (n=4) oder fragliches CT Bild mit evtl. kleinen Leber- oder peritonealen Metastasen (n=9) n=88 consecutive patients, 19 deemed potentially resectable by CT and had staging laparoscopy	foramen of Winslow were examined, the transverse colon and omentum were reflected cephalad and the base of the transverse mesocolon and mesocolic vessels, the gastrocolic ligament / omentum and the lesser sac were examined, <u>Laparoscopic ultrasound</u> permitted an assessment for intraparenchymal hepatic metastases and to evaluate the retroperitoneal tumor-vessel relationship,	section histology Laparotomy, patients were resectable in case of R0 or R1 resection and unresectable in case of R2 resection with grossly positive margins		2. Endoscopic ultrasound in case of questionable involvement of the mesenteric vessels 3. Staging laparoscopy in patients with potentially resectable disease 4. Laparotomy	sehr kleine Stichprobengröße
White 2008 J Am Coll Surg	diagnostische Studie retrospektiv multizentrisch 01/1999-08/2005 USA	Patienten mit staging Laparoskopie für radiographisch resektable Pankreas- oder Peripankreas-tumore N=1045 >60 /<60 Jahre: 25% / 75% Behandelt 1995-98/1999-2005: 34% / 66% External/internal imaging: 69% / 31% Primary site pancreas/ampulla/ bile duct/ duodenum: 80% / 12% / 4% / 4% Body / tail (pancreas carcinoma): 75% / 25%	Staging laparoscopy (SL) and resection were generally performed under the same anesthetic. The technique of SL varied according to surgeon and the site of concern for resectability. Typically, a supraumbilical camera port, and 2 additional 5-mm ports were placed for exploration. Exploration focused on the liver, peritoneal surfaces, and the transverse mesentery. When preoperative imaging revealed a concern about local resectability, an additional 10-mm port was often placed for laparoscopic ultrasonography of the lesion and mesenteric vasculature.	Radiographic resectability was determined by review of radiographic reports, surgeons' notes, and cross-sectional imaging studies. Histology was not included because it is not always available pre-operatively.	Nichtresektabilität	1. Radiologie 2. Laparoskopie 3. Laparotomie (when appropriate)	2b (large sample size, 80% of patients had pancreatic tumors, yield of laparoscopy was higher in patients with pancreatic carcinoma)
Contreras 2009	diagnost. Studie	Patienten mit patholog. bestätigtem potentiell resektablen oder lokal	Establishing a pneumoperitoneum and inserting 2-3 5mm ports for a 308 laparoscope,	Nutzung klinischer, pathologischer und perioperativer Daten	Nichtresektabilität	1. Bildgebung (CT) und eine multidisziplinäre pre-operative Case-Ma-	2b- (sehr kleine

Artikel ¹	Studientyp ²	Patienten ³	Laparoskopie (mit Spülung zur Zytologiegewinnung?) ⁴	Referenztest ⁵	Zielkriterium für positives Testergebnis	Ablauf der Studie ⁶	Verzerrungspotential, Evidenzstufe (CEBM 2009)
Journal of Surg Onc.	multizentrisch 2002-2006, retrospektive (Datenbank und Krankenakten) USA	fortgeschrittenem Pan-kreaskarzinom N=25 mittleres Alter 68 Jahre, 52% Männer 68% head/neck und 32%body/tail location des Tumors, mittlere Tumorgröße 3.3 cm Auswahl der Untersuchungsmethode (Laparoskopie) durch behandelnden Chirurgen, Ausschluss von Patienten mit nachgewiesenen Metastasen, es erfolgte keine neoadjuvante Behandlung	atraumatic grasper, and laparoscopic biopsy forceps as needed. Laparoscopic evaluation included direct visualization of the peritoneum, omentum, and liver. Extended laparoscopy using laparoscopic ultrasound and/or visualization of the lesser sac was not routinely performed. Suspicious areas were biopsied and evaluated by frozen section (potentially resectable tumors) or a combination of frozen and/or permanent section (locally advanced tumors). No Peritoneal washings and cytology were performed for patients with potentially, resectable tumors.	der Laparotomie		nagement Diskussion, 2. Laparoskopie 3. Laparotomy mit pat. Resektion bei positivem befund aus Laparoskopie	Stichprobengröße)
Kelly 2009 Ann Surg Oncol	diagnostische Studie (prospektiv) mono-zentrisch 03/2006-01/2008 USA	Patients mit Pancreaskarzinom (based on radiologic imaging studies and/or tissue diagnosis) N=125 Median Alter: 68 Jahre (29-85) Ausschluss: patients with intestinal type adenocarcinoma (n=7) and cholangiocarcinoma (n=3) on final pathology	Zytologie peritoneal washing: 3 samples from each site were collected and divided into 2 parts: half from each sample was sent for cytological examination with conventional Papanicolaou staining, and half was transported on ice to the laboratory for RNA isolation. Any visible suspicious lesions were biopsied and sent for frozen and permanent section.	Biopsie (während Laparoskopie)	Recurrence (defined as the date of the first abnormal lab test or imaging study)	1. Laparoskopie 2. Zytologie 3. RT-PCR (reverse transcription PCR) 4. Laparotomie (Resektion) 5. Follow-up (median 10,3 Monate – 1,2-33,8) in patients with R0 resection (n=62)	1b
Muntean 2009	prospective, diagnostic	Patienten mit Pancreaskarzinom: N=48	LUS examination was employed during which the tumor,	Nutzung klinischer, pathologischer und	Nichtresektabilität	1. Conventional radiography of the thorax, (Laparoskopie	1b-

Artikel ¹	Studentyp ²	Patienten ³	Laparoskopie (mit Spülung zur Zytologiegewinnung?) ⁴	Referenztest ⁵	Zielkriterium für positives Testergebnis	Ablauf der Studie ⁶	Verzerrungspotential, Evidenzstufe (CEBM 2009)
J Gastrointestin Liver Dis	study multizentrisch 01/2006-12/2008 Romania	(Studienpopulation gesamt N=165: patients with primary digestive cancers) 73% (35/48) resectable tumor, 21% (10/48) N1-3, 29% (14/48) M1 after imaging staging Ausschluss von Patienten: with cancer related complications or distant metastases at admission	hepatic parenchyma, portal vein, mesenteric vessels, celiac trunk, hepatic artery and the pathologic lymph nodes were evaluated. The addition of color flow Doppler further assisted in the assessment of vascular relations and patency. Lymph node and liver biopsies were performed under direct vision and US-guidance and sent for frozen sections.	perioperativer Daten der Laparotomie		abdominal US, hydrosonography or endosonography and abdominal CT, MRI or PET-CT 2. Neoadjuvant treatment (2/48) 3. Laparoskopie (33/48) 4. Laparotomy in patients without distant metastases or uncertain primary tumor resectability on SL	wurde bei allen Patienten ohne vorher entdeckte Metastasen durchgeführt) (sehr kleine Stichprobengröße)
Barabino 2010 Surg Endosc	diagnostische Studie (prospektiv) mono-zentrisch Step 1: 1995-1999, Step 2: 2002-2007 Italien	Patienten mit laut CT-resektablen pankreatischen oder peripankreatischen Karzinom N=104 Alter k. A., Sex: k. A. Ausschlusskriterien: patients with evidence of metastatic disease and locally unresectable disease Untersuchungsmethode: Step 1 (n=40) konventionelles CT + LUS Step 2 (n=64) multidetector CT (MDCT) + LUS selectively according to Pisters' criteria	LUS under general anesthesia, establishing a pneumoperitoneum with an open technique through Hasson's trocar, the ultrasound probe can be passed through a 10-mm laparoscopic trocar, the echocamera imaging unit was an Aloka 1700. Exploration performed through 2-3 10-mm trocars, inserted at the umbilicus, right flank, subxiphoid site. Laparoscopic evaluation included direct visualization of the peritoneal cavity and liver surface. A biopsy with an 18-gauge needle of any suspected lesion to obtain a histological definition at the frozen section. Laparoscopic ultrasound scanning (LUS): umbilical trocar - longitudinal scanning of the liver parenchyma, hepatoduodenal ligament,	Laparotomie	Nichtresektabilität	Step 1: 1. Bildgebung (CT) resectable/doubtful 55% / 45% 2. LUS 100% 3. Laparotomie mit Resektion bei positivem Befund aus Laparoskopie Step 2: 1. Bildgebung (MDCT) resectable/72% / 28% 2. LUS excluding patients with significant suspicion of unresectability due to vascular involvement 3. Laparotomie mit Resektion bei positivem Befund aus Laparoskopie	2b LUS was performed selectively according to Pisters' criteria in patients recruited between 2002 and 2007 in step 2)

Artikel ¹	Studientyp ²	Patienten ³	Laparoskopie (mit Spülung zur Zytologiegewinnung?) ⁴	Referenztest ⁵	Zielkriterium für positives Testergebnis	Ablauf der Studie ⁶	Verzerrungspotential, Evidenzstufe (CEBM 2009)
			pancreas scanning through the stomach and duodenum; right flank – oblique scanning of the celiac trunk, hepatoduodenal ligament, pancreatic parenchyma through transgastric exploration; subxiphoid trocar – transverse scanning of posterior liver segments when other images were still doubtful.				
Hariharan 2010 EJSO	Systematischer Review 29 Studien, n=3439 mit pancreo-biliary Cancer Angaben erfolgen für 22 Studien, n=2957 mit (Peri) Pankreas-karzinom (PPC) Enthält 3 nach 2007 durchgeführte Studien (White 2008, Enestvedt 2008, Doucas 2007)	Patienten mit potentiell resektablen Pankreas-karzinom, Beurteilung basiert auf pre-operativer Bildgebung	Staging Laparoskopie mit oder ohne laparoskopischen Ultraschall	Operative Untersuchung mit Ausnahme laparoskopisch offensichtlich erkennbarer Metastasen (in most cases biopsy-proven) affecting liver and/or peritoneum, lymph node metastases, locally advanced disease (invasion of vascular structures and/or adjacent organs), bestätigter gutartiger Pathologie oder fesundheit, welche eine Operation ausschließt	Nichtresektabilität	A priori Design: unklar Doppeltes Screenen der Literatur unklar, nur PubMed wurde durchsucht, doppelte Datenextraktion, Qualitätskriterien beurteilt, Datensynthese, Charakteristik der Primärstudien gegeben	1a- (systematischer Review) Hohe Heterogenität der Sensitivität reflektiert klinische Praxis (heterogene pre-test Variabilität durch vorgeschaltete CT u.a. Untersuchungen, heterogene Definition der Resektabilität)
Satoi 2011 Pancreas	diagnostische Studie (prospektiv)	patients classified as having potentially or borderline resectable	After establishing the capnoperitoneum through a 12-mm trocar inserted at the	MDCT-scan sowie Nutzung klinischer, pathologischer,	Nichtresektabilität	1. Bildgebung (MDCT) evaluated by an experienced	1b- laparoscopy only in patients with

Artikel ¹	Studientyp ²	Patienten ³	Laparoskopie (mit Spülung zur Zytologiegewinnung?) ⁴	Referenztest ⁵	Zielkriterium für positives Testergebnis	Ablauf der Studie ⁶	Verzerrungspotential, Evidenzstufe (CEBM 2009)	
	mono-zentrisch 01/2005-07/2009 Japan	pancreatic cancer based on MDCT N=94 Untersuchungsmethode: Group A (n=33): 2005-2006, directly underwent open laparotomy for planned surgical resection Group B (n=61): 2007-2009, n=16 (26%) underwent staging laparoscopy (SL) due to the presence of high-risk markers of unresectability (carbohydrate antigen 19-9 level \geq 150 U/ml and tumor size \geq 30 mm) Alter: 65 Jahre (36-82) Sex (m/w): 38% / 62% CA-19-9 (\geq 150/ $<$ 150 U/ml): 48% / 52% - tumor size (\geq 30/ $<$ 30 mm): 48% / 52% high risk/low risk: 28%/72% Ausschluss: patients with an endocrine tumor of the pancreas, intraductal papillary mucinous cancer, acinar cell cancer, or anaplastic cancer	umbilical area, a flexible laparoscope was inserted, 2 additional 5-mm ports were placed. Inspection focused on the presence or absence of nodules on the parietal peritoneum, and liver surface. Cytological examination if any ascites was present or washing of the peritoneal cavity with 100 ml of physiological saline solution. Trendelenburg position to check the presence or absence of nodules in the Douglas cavity by inserting the laparoscope through filled water into the Douglas cavity with cytological washing to obtain a sample for pathological examination. The entire mesentery was examined by grasping the small intestine from the first jejunal loop to the ileocecal junction to locate the minute peritoneal nodules. LUS was performed searching for deep hepatic nodules and to diagnose the presence or absence of tumor vascular invasion. Biopsies were taken from suspicious regions. Neither the lesser nor greater sac was opened.	intraoperativer und von Follow-up Daten bei erfolgter Laparotomie		hepatopancreatobiliary surgeon and a consultant radiologist	2. Laparoskopie (16/94) - patients with presence of high-risk markers of unresectability 3. Laparotomie 4. Follow-up (in resected patients - 80/94) 3 Monate post op	presence of high-risk markers of unresectability (sehr kleine Stichprobengröße)

Tabelle 3.1.1b: Ergebnisse aktueller diagnostischer Studien zum Einsatz einer präoperativen Staging-Laparoskopie und einer Spülung zur Zytologiegewinnung

Artikel (Autor, Jahr)	n ⁷	RP ⁸	FP	RN	FN	Se (95%KI) =RP/(RP +FN)	Sp (95%KI) = RN/ (RN+FP)	Details FP	Details FN	Nebenwirkungen durch Laparoskopie	Vorteile durch Laparosko- pie Mortalität, Morbidität, Zeit im Krankenhaus (alle in % der behandelten Patienten)
Doucas 2007 Surg Endosc (aus Hari- haran 2010)	100	55	0	18	25	68.8% (57-79%)	100%	Inoperable pa- tients had metas- tases (n=20) or tumor was too large for resec- tion (n=28)	Curative resec- tion performed successfully (3/25=12%), other pathology (5/25=20%), metastases (4/25=16%)	Komplikationen: 0% Laparoskopie nicht durch- führbar: 2 patients (dense adhesions), 3 patients had poor re- sponse to anaesthesia	44% of patients thought to have a resectable tumor based on good quality preoperative imaging had their management approach altered after laparos- copy, and avoided an open procedure.
Yamada 2007 Ann Surg	233	27	21	136	49	35.5%	86.6%	Unresectable lesions due to the presence of macroscopic peritoneal metas- tasis with CY ⁻		Beschreibt Zytologie	No correlation was found be- tween the CY status and the extent of residual disease. CY status did not correlate with the presence or absence of hepatic metastases.
Enestvedt 2008 J Gastroint Surg (aus Hariharan 2010)	86	24	0	46	16	60% (43-75%)	100%	alle 24 nicht- resektablen Pati- enten pM1	Arterial vascular invasion (T4 lesion) 56,3%, distant disease (M1) 31,2%, positive regional lymph nodes 12,5%	Nicht beschrieben	24/86=28% of patients with metastatic disease were subsequently spared laparot- omy. Kostenanalyse: - case-specific use of SL: \$90,888/patient - routine use of SL: \$91,805/patient - non-utilization of SL: \$93,134/patient

⁷ n=Anzahl ausgewerteter Patienten

⁸ RP=richtig positiv (Anzahl nichtresektabler Patienten, die durch Laparoskopie und Referenztest richtig erkannt wurden), FP=falsch positiv (laut Laparoskopie nichtresektable Patienten, die erfolgreich reseziert wurden), RN=richtig negativ (in Laparoskopie als nichtresektabel beurteilt und erfolgreich operiert), FN= falsch negativ (in Laparoskopie als resektabel beurteilt, aber nicht erfolgreich reseziert)

Artikel (Autor, Jahr)	n'	RP ^a	FP	RN	FN	Se (95%KI) =RP/(RP +FN)	Sp (95%KI) = RN/ (RN+FP)	Details FP	Details FN	Nebenwirkungen durch Laparoskopie	Vorteile durch Laparosko- pie Mortalität, Morbidität, Zeit im Krankenhaus (alle in % der behandelten Patienten)
Mayo 2008 J Am Coll Surg	86	24	0	46	16	60%	100%	Alle 24 nicht- resektablen Pati- enten pM1	Arterial vascular invasion (T4 lesion) 56,3%, distant disease (M1) 31,2%, positive regional lymph nodes 12,5%	Nicht beschrieben	Patients who underwent laparoscopic exploration and then proceeded to laparotomy had a significantly decreased chance of undergoing resec- tion (OR 0,21; 95% CI 0,09- 0,50) – siehe Selektionsbias!
Shah 2008 J of Surg Res	19	9	0	7	1	90%	100%	Nicht operable Patienten laut Laparoskopie: 6 metastasiert, 3 lokal fortge- schrittene Erkrankung, davon 2 mit Le- berzirrhose	3mm liver lesion just under the capsule oft he liver		
White 2008 (aus Hari- haran 2010)	1045	145	0	891	9	94.2% (89-95%)	100%	Gab es nicht, alle 145 nicht-resek- tablen Patienten werden beschrie- ben (liver meta- stases 101/145=70%, peritoneal meta- stases 34/145=23%, locoregional disease 7/145=5%, cirrhosis 3/145=2%)	9/9 (100%) lo- coregional dis- ease	Nicht beschrieben	Yield of laparoscopy in 838 patients with pancreatic tu- mors: 1995-1998: 59/296=20% 1999-2005: 76/542=14%
Conteras 2009 Journal of Surg Onc	25	7	0	15	3	70%	100%	Gab es nicht, alle 7 Patienten mit okulten Metasta- sen werden voll- ständig beschrie- ben (Leber: 4/7,	1 patient with aortocaval nodal disease, 1 with liver metastases, and 1 with celiac nodal disease	Nicht beschrieben	Nicht beschrieben

Artikel (Autor, Jahr)	n'	RP ^a	FP	RN	FN	Se (95%KI) =RP/(RP +FN)	Sp (95%KI) = RN/ (RN+FP)	Details FP	Details FN	Nebenwirkungen durch Laparoskopie	Vorteile durch Laparosko- pie Mortalität, Morbidität, Zeit im Krankenhaus (alle in % der behandelten Patienten)	
								57%, Peritoneum: 2/7, 29%, gross regional lymphadenopathy:1/7,14%)				
Kelly 2009 Ann Surg Oncol	115	11	2	83	19	36.7%	97.6%	N.A.	N.A.	Beschreibt Zytologie		
Muntean 2009 J Gastrointestin Liver Dis	33	8 Patien- ten wurden durch Laparosko- pie als nicht re- sektabel einge- schätzt, 13 wurden nicht ope- riert	13	7		100% (aus dem Paper)		Bei 7 Patienten konnte keine R0/R1 Resektion erreicht werden	Komplikationen: 6% (2/33) Therapieassoziierte Todes- fälle: 0%	Mean operative time: 48 min (25-90) 40% unnecessary laparoto- mies avoided		
Barabino 2010 Surg Endosc	Step 1: 40 (1995- 1999) Step 2: 9 (2002- 2007)	25 8	0 0	13 1	2 0	92.6% 100%	100% 100%		satisfactorily performed in all cases, time required for a complete laparoscopic and LUS examination ranged from 25 to 60 min (median, 40)	LUS changed the planned surgical strategy in 30% of cases (12/40). These changes were due to simple laparo- scopic exploration in 4patients, who had peritoneal and/or visible liver metastases, and to LUS in 8 cases.		
Hariharan 2010 EJSO	2957	708	14	1698	407	63.5 (60.6- 66.3) $I^2=91.2\%$, hohe Heterogenität (Chi ² -Test:	99.2 (98.6- 99.6) $I^2=59\%$, moderate Heterogenität (Chi ² -Test:	suspected local vascular invasion (n=3), metastases from neuroendocrine tumour of the pancreas did not	Liver metastases (n=32), local and /or vascular invasion (n=151), peritoneal metas- tases (n=9), lymph node me-	mortality and morbidity attributed to the use of lapa- roscopy was reported by 9/29 studies: haemorrhage requiring laparotomy (n=3), port site abscess/infection (n=3), post operative pneu-	Laparoskopie verbesserte Resektionsrate von 61 % auf 80%, laparoskopischen Ultra- schall verbessert diagnostische Genauigkeit (Ratio of diagnost. OR=3.8 (0.7-22)), Kein Einfluss des Studiente-	

Artikel (Autor, Jahr)	n'	RP ^a	FP	RN	FN	Se (95%KI) =RP/(RP +FN)	Sp (95%KI) = RN/ (RN+FP)	Details FP	Details FN	Nebenwirkungen durch Laparoskopie	Vorteile durch Laparosko- pie	
						p<0.001) Erkennen von Lebermet.: 0.88 (0.83-0.92) Peritoneal-Met.: 0.92 (0.84-0.96) Local/vascular Invasion: 0.58 (0.51-0.65)	p<0.001)	prevent curative surgery ((n =2), no reasons mentioned (=9).	tastases (n=23), other pathology (n=34), metastases to other unknown sites (n=5), not available (n=153)	monia (n=2), post procedure pancreatitis (n ¼ 2), bile leak (n=2), port site haematoma (n=2), port site recurrence (n=1), postoperative death due to myocardial infarction (n=1)	signs, des Landes und des preoper. Einsatzes einer MRI konnte nachgewiesen werden	Mortalität, Morbidität, Zeit im Krankenhaus (alle in % der behandelten Patienten)
Satoi 2011 Pancreas	16	5	0	11 patients underwent surgical resection (no further information available)		N:A;	5 patients were found to have a distant metastasis during laparos-copy (no further information available)	3 von 54 operierten Patienten (mit und ohne Laparoskopie) mit post-OP Lebermetastasen	12,5% underwent conversion to open surgery Therapieassoziierte Todesfälle: 0%	Median operative time: 67 min (20-159) 69% undergone unnecessary SL		

Referenzen

- Barabino M, Santambrogio R, Ceretti AP, et al. Is there still a role for laparoscopy combined with laparoscopic ultrasonography in the staging of pancreatic cancer? *Surg Endosc* 2011;25:160-165.
- Contreras CM, Stanelle EJ, Mansour J, et al. Staging Laparoscopy Enhances the Detection of Occult Metastases in Patients With Pancreatic Adenocarcinoma. *J Surg Oncol* 2009;100:663-669.
- Doucas H, Sutton CD, Zimmerman A, et al. Assessment of pancreatic malignancy with laparoscopy and intraoperative ultrasound. *Surg Endosc* 2007;21:1147-1152.
- Enestvedt CK, Mayo SC, Diggs BS, et al. Diagnostic Laparoscopy for Patients with Potentially Resectable Pancreatic Adenocarcinoma: Is It Cost-Effective in the Current Era? *J Gastrointest Surg* 2008;12:1177-1184.
- Hariharan, D., V. A. Constantinides, Froeling FEM, Tekkis PP, Kocher HM. The role of laparoscopy and laparoscopic ultrasound in the preoperative staging of pancreatico-biliary cancers--A meta-analysis. *Eur J Surg Oncol* 2010; 36(10): 941-948.
- Kelly KJ, Wong J, Gladdy R, et al. Prognostic Impact of RT-PCR-Based Detection of Peritoneal Micrometastases in Patients with Pancreatic Cancer Undergoing Curative Resection. *Ann Surg Oncol* 2009;16:3333-3339.
- Mayo SC, Austin DF, Sheppard BC, et al. Evolving Preoperative Evaluation of Patients with Pancreatic Cancer: Does Laparoscopy Have a Role in the Current Era? *J Am Coll Surg* 2009;208:87-95.
- Muntean V, Oniu T, Lungoci C, et al. Staging Laparoscopy in Digestive Cancers. *J Gastrointest Liver Dis* 2009;18:461-467.
- Satoi S, Yanagimoto H, Toyokawa H, et al. Selective Use of Staging Laparoscopy Based on Carbohydrate Antigen 19-9 Level and Tumor Size in Patients With Radiographically Defined Potentially or Borderline Resectable Pancreatic Cancer. *Pancreas* 2011;40:426-432.
- Shah, D., Fisher WE, Hodges SE, et al. Preoperative prediction of complete resection in pancreatic cancer. *J Surg Res* 2008; 147(2): 216-220.
- White R, Winston C, Gonan M, et al. Current Utility of Staging Laparoscopy for Pancreatic and Peripancreatic Neoplasms. *J Am Coll Surg* 2008;206:445-450.
- Yamada S, Takeda S, Fujii T, et al. Clinical Implications of Peritoneal Cytology in Potentially Resectable Pancreatic Cancer: Positive Peritoneal Cytology May Not Confer an Adverse Prognosis. *Ann Surg* 2007;246:254-258.

Ausgeschlossene Studien (mit Gründen)

- Dalal, K. M., Y. Woo, et al. Detection of micrometastases in peritoneal washings of pancreatic cancer patients by the reverse transcriptase polymerase chain reaction. *J Gastrointest Surg* 2007; 11(12): 1598-1605; discussion 1605-1596 (frühe Phase I Studie).
- Morak MJM, Hermans JJ, Smeenk HG, et al. Staging for locally advanced pancreatic cancer. *EJSO* 2009;35:963-968 (Laparoskopie ist hier der Referenzstandard).

Nachfolgende Evidenztabelle bezieht sich auf folgende Fragen:

3.1.2 Sollte bei präoperativ bestehender Cholestase eine Galleableitung mittels ERCP und Stent erfolgen?

Insgesamt wurden 10 Veröffentlichungen zum Thema auf der Grundlage des Titel- und Abstractscreenings gefunden. Eingeschlossen wurde eine randomisierte kontrollierte Studie mit 196 Patienten (van der Gaag 2010, Eshuis 2010). Diese Studie wurde mit dem Evidenzniveau 1b beurteilt.

Ausgeschlossen wurden 6 retrospektive Studien und ein systematischer Reviews, welcher nur ältere Studien einschließt.

Tabelle 3.1.2a: Studienbeschreibung: Aktuelle Studien zum Einsatz einer Galleableitung mittels ERCP und Stent bei präoperativ bestehender Cholestase

Artikel ⁹	Studientyp ¹⁰	Patienten-merkmale ¹¹	Intervention: Galleableitung mittels ERCP / Stent	Vergleichs-Interventio-	Rekrutierungs-zeitraum / Nach-Verfolgung (Mo-nate)	Endpunkte	Verzerrungsri-siko ¹² / Evidenz-stufe	Evidenz-stufe (CEBM levels)
Van der Gaag 2010 The New England Journal of Medicine	Multi-zentrisch RCT n=196 n=185 mit histologisch geprüfter Malignität 2-armig Netherlands	Patienten mit Krebs des Pankreaskopfes Resektable Tumore: 64% Resektables Pankreaskarzinom: 42% 65 Jahre (18 – 85) Sex (m/w): 62%/38% Diabetes: 19% Cardiovascular disease: 20% Hypertension: 21% COPD: 4% Karnovsky Index ≥80: 95% Distant metastasis or local vascular involvement: 0% Ausschluss bei (Komorbiditäten): serious coexisting illness, Karnofsky < 50, contraindication for major surgery, ongoing cholangitis, previous preoperative biliary drainage with stenting, neoadjuvant chemotherapy, serious gastric-outlet obstruction	Preoperative biliary drainage (PBD) for 4-6 weeks (serum bilirubin level decrease by 50%) followed by surgery	Early surgery (ES) within 1 week after diagnosis	11/2003-06/2008 Two-year follow-up (complete in 96% of patients)	Primärer End-punkt: serious complications within 120 days after randomization Sekundäre End-punkte: Mortalität, length of hospital stay	Generierung der Zufallsfolge: adäquat (computer generated) Verdeckte Therapiezuweisung: ja (zentral) Verblindung: ja (an adjudication committee reviewed all events in a blinded fashion and classified them as serious complications or not serious) Studienabbrüche: beschrieben ITT-Analyse: ja Cross-over: ja (5 patients from ES got a PBD)	1b

⁹ Autor, Jahr, Studienname, Journal

¹⁰ Studientyp (Querschnitt- vs. Längsschnitt, RCT, ...), mono vs. multizentrisch, Rekrutierungszeitraum – und land

¹¹ Anzahl, Alter, Geschlecht, Vorbehandlungen, Indikation

¹² Bei RCTs: Generierung der Zufallsfolge, Verdeckte Therapiezuweisung, Verblindung, Beschreibung von Studienabbrüchen, ITT-Analyse, Cross-over

Tabelle 3.1.2b: Ergebnisse aktueller Studien zum Vergleich des Einsatzes einer Galleableitung mittels ERCP und Stent bei präoperativ bestehender Cholestase

Artikel (Autor, Jahr)	Therapie mit Galleableitung	OS 95 % KI): post-OP / in-hospital aller behandelten Patienten	OS Gesamtmortalität (Patienten mit histolog. Bestätigten Karzinomen)	Nebenwirkungen therapieassoziierte Todesfälle und Komplikationen (alle in % der behandelten Patienten)
	Therapie ohne Galleableitung			
van der Gaag 2010 The New England Jour- nal of Medi- cine	PBD n=102 n=95 mit histology. Prüfung	One patient died after the PBD procedure of ERCP (retrograde cholangiopancreatogra- phy) complications	2-year survival: 19% Median OS 12,7 Monate (8,9-16,6) <u>Resected patients:</u> Median 21,6 Monate (10,1-33,2) <u>Resected patients with pancreatic and</u> <u>periampullary adenocarcinomas:</u> Median 15,2 Monate (10,3-20,2)	Therapieassoziierte Todesfälle: 1% Serious complications within 120 days: 74% PBD-complications: 46% Surgery-related complications: 47%
	ES n=94 n=90 mit histology. Prüfung	k. A.	2-year survival: 16% Median OS 12,2 Monate (9,1-15,4) Log-rank (p=0,91) HR: 0,91 (0,84-0,99) (multivariates Mod- ell) <u>Resected patients:</u> Median 17,8 Monate (11,7-24,0) <u>Resected patients with pancreatic and</u> <u>periampullary adenocarcinomas:</u> Median 44,7 Monate (17,3-72,1)	Therapieassoziierte Todesfälle: 0% Serious complications within 120 days: 39% RR: 0,54 (0,41-0,71) Surgery-related complications: 37% n=95 RR: 0,79 (0,57-1,11)
Eshuis 2010 Annals of Surgery	PBD (n=95)			Therapieassoziierte Todesfälle: k. A.
	ES (n=90)			Therapieassoziierte Todesfälle: k. A.

Referenzen:

Van der Gaag NA, Rauws EA, van Eijck CH, et al. Preoperative biliary drainage for cancer of the head of the pancreas. *N Engl J Med.* 2010;362:129-137

Eshuis WJ, van der Gaag NA, Rauws EA, et al. Therapeutic Delay and Survival After Surgery for Cancer of the Pancreatic Head With or Without Preoperative Biliary Drainage. *Ann Surg.* 2010;252:840-849 (Zweitveröffentlichung zum Überleben)

Ausgeschlossene Studien (mit Gründen):

Mumtaz, K., S. Hamid, et al. Endoscopic retrograde cholangiopancreatography with or without stenting in patients with pancreaticobiliary malignancy, prior to surgery. *Cochrane Database of Systematic Reviews* 2007;DOI: 10.1002/14651858.CD006001.pub2 (Review mit Studien bis 02/2006)

Smith, R. A., K. Dajani, et al. Preoperative resolution of jaundice following biliary stenting predicts more favourable early survival in resected pancreatic ductal adenocarcinoma. *Ann Surg Oncol* 2008; 15(11): 3138-3146 (retrospektive Studie).

Velanovich, V., T. Kheibek, et al. Relationship of postoperative complications from preoperative biliary stents after pancreaticoduodenectomy. A new cohort analysis and meta-analysis of modern studies. *JOP* 2009; 10(1): 24-29 (retrospektive Studie).

Bonin, E. A. and T. H. Baron Preoperative biliary stents in pancreatic cancer. *J Hepatobiliary Pancreat Sci* 2009; 18(5): 621-629. (Heft noch nicht verfügbar)

Decker, C., J. D. Christein, et al. Biliary metal stents are superior to plastic stents for preoperative biliary decompression in pancreatic cancer. *Surgical Endoscopy and Other Interventional Techniques* 2011; 25(7): 2364-2367 (retrospektive Studie)..

Morris-Stiff, G., A. Tamijmarane, et al. Pre-operative stenting is associated with a higher prevalence of post-operative complications following pancreatectoduodenectomy. *International Journal of Surgery* 2011; 9(2): 145-149 (retrospektive Studie)..

Pop, G. H., J. A. Richter, et al. Bridge to surgery using partially covered self-expandable metal stents (PCMS) in malignant biliary stricture: an acceptable paradigm? *Surg Endosc* 2011; 25(2): 613-618 (retrospektive Studie).

Singal, A. K., W. A. Ross, et al. Self-Expanding Metal Stents for Biliary Drainage in Patients with Resectable Pancreatic Cancer: Single-Center Experience with 79 Cases. *Digestive Diseases and Sciences*: 2011; 1-7 (retrospektive Studie).

Nachfolgende Evidenztabelle bezieht sich auf folgende Fragen:

3.1.3 Was sind Kriterien der Irresekabilität des Tumors?

3.1.3.1 Etrapankreatische Tumormanifestation

3.1.3.2 Lymphknotenmetastasen

Insgesamt wurden 10 Studien zu beiden Themen auf der Grundlage des Titel- und Abstractscreenings gefunden und eingeschlossen. Sechs Studien wurden mit dem Evidenzniveau 2b beurteilt, drei Studien wurden wegen fehlender Informationen zur Länge der Nachbeobachtungszeit abgewertet (2b-). Weitere zwei Studien wurden aufgrund fehlender Adjustierung für prognostische relevante Störgrößen mit dem Evidenzniveau 4 bewertet.

Tabelle 3.1.3.1 und 2a: Studienbeschreibung: Aktuelle Studien zur Irresektailität eines Tumors bei extrapankreatischen Tumormanifestationen und Lymphknotenmetastasen

Artikel ¹³	Studientyp ¹⁴	Patienten ¹⁵	Prognost. Merkmal und Cut-off ¹⁶	Intervention bei vs. ohne Metastasen	Endpunkte mit Nachverfolgungszeitraum ¹⁷	Verzerrungsrisiko ¹⁸ / Evidenzstufe
Cordera 2007 Ann of Surg Onc	Retrospective review of a prospective collected database with multivariabel data, mono-zentrisch, USA, 06/1991-04/2005	N=55, mittleres Alter 65.7 Jahre (Range 42-83), 40% Männer, Indikation: patients underwent a pancreaticoduodenectomy for pancreatic head adenocarcinoma with intra-operatively separately identified and evaluated para-aortic and common hepatic artery lymph nodes (CHALN) Befallsmuster: 11 (20%) stage I disease, 38 (69%) stage II, 6 (10%) stage III mean tumor sizes 2.6 cm (range, 0.5–8 cm). Tumor differentiation (grade): 8 well differentiated, 25 moderately, 22 poorly. Behandlung: 39 had a standard pancreaticoduodenectomy, 7 a pyloruspreserving procedure, 9 an extended resection 46 patients (83.6%) received perioperative chemotherapy, 37 (67.2%) received perioperative radiotherapy., 24 patients (43.6%) received preoperative chemoradiation. 38 patients (69%) had one or more lymph nodes with metastatic involvement; 10/38 of these had disease in CHALN.	Kein Befall der Lymphknoten (LN neg.) vs. peripancreatic Lymphknotenbefall (PPLN pos., aber kein CHALN Involvement) vs. CHALN positiv	Operation bei allen Patienten (pancreaticoduodenectomy for pancreatic head adenocarcinoma)	Krankheitsfreies (DFS) und Gesamtüberleben (OS), keine Infos zum Follow-up und Vollständigkeit	2b- Datenbank wurde prospektiv angelegt, Auswahl von Patienten mit CHALN – Untersuchung (untersucherspez.), In das prognostische Modell wurden wichtige Störgrößen aufgenommen (nicht näher beschrieben) Keine Aussagen zur Follow-up Periode, deren Vollständigkeit und stand. Behandlung

¹³ Autor, Jahr, Studienname, Journal

¹⁴ Studientyp (RCT, ..., prospektiv vs. retrospektiv, welcher Teil war prospektiv?, univariabel vs. multivariabel), mono vs. multizentrisch, Rekrutierungszeit- und land

¹⁵ Anzahl, Alter, Geschlecht, Indikation, Behandlungen, Ausmaß/ Befallsmuster je Gruppe, Waren Einschlusskriterien a priori festgelegt?

¹⁶ extrapankreatischer Tumormanifestation und Lymphknotenmetastasen, wie festgestellt?

¹⁷ Gibt es Angaben zum follow-up (z.B. Dauer, Abstand zwischen Untersuchungen, verwendete Untersuchungen)? Ist das Follow-up vollständig, sind Angaben für alle eingeschlossenen Patienten verfügbar? Wenn nicht, für welchen Anteil werden Angaben berichtet?

¹⁸ Gab es eine prospektive Planung, Sind Einschlusskriterien für Patienten prospektiv definiert und repräsentativ? Ist die Nachbeobachtungsperiode ausreichend lang und wird über alle Patienten berichtet? Ist das prognost. Merkmal klar definiert und gemessen? Wurden wichtige Störgrößen in das prognost. Modell aufgenommen? Wurde Behandlung nach Prognosestellung standardisiert durchgeführt?

Artikel ¹³	Studientyp ¹⁴	Patienten ¹⁵	Prognost. Merkmal und Cut-off ¹⁶	Intervention bei vs. ohne Metastasen	Endpunkte mit Nach- verfolgungs-zeitraum ¹⁷	Verzerrungs-risiko ¹⁸ / Evidenzstufe
Doi 2007 World J. Surg 3/1980 bis 12/2000, Japan	re-trospektive Studie, mono-zentrisch, uni- und multivariabel data,	N=133, medianes Alter 64 Jahre (62.8 ± 0.8), 62 % Männer, Indikation: Patients with histologically confirmed invasive ductal carcinoma of the head of the pancreas who had no clinical, radiographic, or intraoperative evidence of distant metastasis (Resectable Pancreatic Cancer) Befallsmuster: The preoperative CA19-9 level was above 100 U/ml in 59 patients (64%). Behandlung: A total of 66 patients (50%) received adjuvant radiation therapy after curative resection, and the average dose was 51.5 – 2.3 Gy (median: 50.4 Gy; range: 25–87 Gy). Seventy-one patients (54%) underwent combined resection of the portal venous system. Regional lymph nodes were routinely dissected. (The para-aortic lymph nodes at stations 16a2 and 16b1 were also dissected from the upper part of the origin of the celiac trunk to the upper part of the origin of the inferior mesenteric artery.)	Vgl. N0 (kein Lymphknotenbefall) vs. N1 (Gruppe 1 positiv) vs. N2 (Gruppe 2 positiv) vs. N3 (Gruppe 3 positiv) according to JPS 5th edition: group 1 (stations 13 and 17), group 2 (stations 6, 8, 12, and 14), and group 3 (stations 9, 11, 15, 16a2, 16b1, and 18); level der einzelnen Kategorien wurden bestimmt über makroskopische intra-OP observations and microscopic pathological findings und Vgl. N3(+) mit para-aortic lymph node Metastasis vs. N3(-) ohne para-aortic lymph node Metastasis Invasion of the anterior pancreatic capsule (ja/nein) Invasion of the retroperitoneal tissues Invasion of the distal common bile duct Invasion of the duo-	OP bei allen Patienten (pancreatoduodenectomy (PD) or pylorus-preserving pancreatoduodenectomy (PPPD)); All of these patients received histologically margin-negative resection with curative intent and with extended radical lymphadenectomy for invasive ductal carcinoma of the pancreas	Survival time	2b- retrospektive Datenbank; retrospektive Untersuchung von Faktoren, die Überlebenszeit beeinflussen; keine Angaben über Repräsentativität, Nachbeobachtungs-periode und Vollständigkeit; klar definierte prognostische Merkmale; Störgrößen bzgl. Überlebenszeit und Mortalität wurden berücksichtigt; Behandlung Siehe Spalte "Patienten" (keine Angaben zur Durchführung standardisierter Methoden)

Artikel ¹³	Studientyp ¹⁴	Patienten ¹⁵	Prognost. Merkmal und Cut-off ¹⁶	Intervention bei vs. ohne Metastasen	Endpunkte mit Nach- verfolgungszeitraum ¹⁷	Verzerrungs-risiko ¹⁸ / Evidenzstufe
			denal wall Invasion of the portal venous system Invasion of the major arteries			
Garcea 2007 EJSO	retrospektive Analyse; USA, 1999-2007 (?)	N= 33, medianes Alter: 63 Jahre; 42 % männlich Indikation: ductal adenocarcinoma Befallsmuster: Median ASA grade: 2 (6%); Median tumour size on Histology (mm): 25 (75,8%); Lymph node status N0/N1: 18/15 (54,5%/45,5%); Microvessel invasion V0/ V1/Missing data: 13/15/5 (39,4%/45,5%/15,1%); Perineural invasion Neu0/Neu1/Missing data: 9/19/5 (27,3%/57,6%/15,1%); Resection margin R0/R1: 23/10 (69,7%/30,3%) Behandlung: standard pylorus-preserving pancreaticoduodenectomy (with an isolated Roux-en-Y pancreaticojejunostomy): 30 Patienten (90,9%)/total pancreatectomy: 3 Patienten (9,1%)	Lymphknoten-befall <20 % aller Lymphknoten vs. Lymphknoten-befall >20 % aller Lymphknoten und Lymphknoten-Status (N0 vs. N1)	OP aller Patienten: pancreatic resection for malignancy	Median Survival Mortalität (30-Tage) follow-up ranged from 12 to 62 months.	4 Wegen fehlender multivariater Analysen mit Korrektur von Störgrößen, geringe Fallzahl retrospektive Datenanalyse bzw. retrospektiv gewählte Einschlusskriterien; standardisierte Behandlung von ca. 91% der Patienten mit ductal adenocarcinoma; keine ITT-Basis in Überlebenskurven; Störgrößen nicht näher beschrieben

Artikel ¹³	Studientyp ¹⁴	Patienten ¹⁵	Prognost. Merkmal und Cut-off ¹⁶	Intervention bei vs. ohne Metastasen	Endpunkte mit Nach- verfolgungszeitraum ¹⁷	Verzerrungs-risiko ¹⁸ / Evidenzstufe
Shrikhande 2007 Annals of Surgical Oncology 10/2001-07/2005	retrospektive Analyse prospektiver Daten, monozentrisch,	N=316 Indikation: R0/R1 Pankreasresektion bei primärem duktalen Adenokarzinom des Pankreas (Ausschluss anderer periampullärer Pathologien) Befallsmuster: 287 mit M0 und 29 (9.1%) mit M1 Behandlung: 287 mit R0/R1-Resektion bei M0 und 29 (9.1%) mit R0/R1-Resektion bei M1 PD (n=18 von 29); distale Pankreatektomie (n=9 von 29) und totale Pankreatektomie (n=2 von 29); neoadjuvante Radiochemotherapy (n=1 von 29); adjuvante Therapie (n=23 von 29), davon Radio-chemo (n=1), GEM (n=13), Fluorouracil (n=6), experimentelle Tumor-Impfung (n=2); keine adjuvante Therapie (n=6)	M1 disease to interaortocavale Lymphknoten vs. M1 disease to liver vs. M1 disease to peritoneum Komplikationen (M1 vs. M0)	Pankreasresektion mit/ohne Resektion der Metastasen (interaortocavale Lymphknotendissektion, Leberresektion und/oder multiorgane Resektion)	Endpunkte: Mortalität und Morbidität im Krankenhaus, median OS, end of follow-up für alle Patienten: 12/2005; median follow-up: 8.5 Monate (IQR 7.1-11.6 Monate, range 4.7-25.9)	4 Wegen fehlender multivariater Analysen mit Korrektur von Störgrößen, sehr kleine Fallzahl

Artikel ¹³	Studientyp ¹⁴	Patienten ¹⁵	Prognost. Merkmal und Cut-off ¹⁶	Intervention bei vs. ohne Metastasen	Endpunkte mit Nach- verfolgungszeitraum ¹⁷	Verzerrungs-risiko ¹⁸ / Evidenzstufe
Massucco 2009 Ann Surg Oncol 01/1995 - 12/2005	re-trospektive, monozentrische Studie, uni- und multivariate Analyse der Daten Italien, 01/1995 - 12/2005	N= 77, Medianes Alter 66 Jahre, 43 % Männer, Indikation: resection with extended lymphadenectomy for adenocarcinoma of the pancreatic head. for an histologically confirmed ductal adenocarcinoma of the pancreatic head, and a minimum postoperative survival time of 6 months. Patients who underwent neoadjuvant chemoradiation for a locally advanced cancer were excluded. Befallsmuster: At final pathology, only seven patients (9%) had a tumor confined to the gland (pT1-2). Node status was pN0 in 18 patients (23%), whereas 59 patients (77%) were found to have lymph node metastases. Median LN (Lymph node metastases): 28 (10–54); posNn (number of disease-positive nodes): 4 (1–29); Nr (node ratio): 14% (2%–55%). MetastasenNL 1(node-level 1): 26 patients (44% of N1) (i.e., peripancreatic nodes) und up to NL2 (nodes along main arteries and hepatic hilum) and NL3 (preaortic nodes) were found in 21 (36%) and 12 (20%) patients, respectively. Behandlung: 63 pancreaticoduodenectomy and 14 total pancreatectomy. A vein resection was added in 11 patients. Since 2002, all patients who fully recovered within 6 weeks from surgery and who were well enough for adjuvant therapy were offered postoperative chemotherapy with gemcitabine alone or in combination to other drugs	Gesamt: Node status (pN0 vs. pN1) Node level (0 vs. 1 vs. >1), No. of positive nodes (0 vs. ≤ 2 vs. >2) Node ratio (0 vs. ≤10 vs. >10) Resected vein infiltration (yes vs. no) Microscopic vein invasion (yes vs. no) Perineural invasion (yes vs. no) und Nur node-positive tumors: Node level (1 vs. >1), No. of positive nodes (≤ 2 vs. >2), Node ratio (≤10 vs. >10) Resected vein infiltration (yes vs. no) Microscopic vein invasion (yes vs. no) Perineural invasion (yes vs. no)	Pancreatico-duodenectomy or total pancreatectomy;	survival follow-up was updated at 08/2008 (Patients were followed up at regular intervals every 4 months for up to 3 years after surgery, and every 6 months thereafter.)	2b prospektiv gesammelte Daten wurden retrospektiv analysiert; klar definierte prognostische Merkmale; standardisierte Behandlung und Untersuchung wurde durchgeführt;
Yamada 2009 Pancreas 07/1981- 03/2007	univariate und multivariate Analyse, Japan	N=335 , Alter: 62.2 Jahre (Range 35-83), 66.3% Männer, Indikation: regionale und Nr. 16 Lymphknoten-Metastasen Befallsmuster: 176 Patienten unresectable, Tumor location included the head of the pancreas (n =	Metastasen in regionalen Lymphknoten vs. node-negative patients Metastasen in regionalen Lymphknoten vs. Metastasen in para-aortic Lymph-		Endpunkte: OS und klinisch-pathologische Parameter; follow-up aller Patienten bis Tod oder 03/2007	2b

Artikel ¹³	Studientyp ¹⁴	Patienten ¹⁵	Prognost. Merkmal und Cut-off ¹⁶	Intervention bei vs. ohne Metastasen	Endpunkte mit Nach-verfolgungszeitraum ¹⁷	Verzerrungs-risiko ¹⁸ / Evidenzstufe
		<p>258), the body of the pancreas (n = 68), and the entire pancreas (n = 9).</p> <p>The average number of dissected lymph nodes was 42.4 (range, 2-105), and the average number of positive lymph nodes was 10.1 (range, 1-49). As for the No. 16 nodes (No. 16), a mean of 7.4 nodes (range, 1-33 nodes) were dissected, and a metastasis was found in a mean of 2.9 nodes (range, 1-10 nodes).</p> <p>Lymphknotenmetastasen bei 68,7%</p> <p>Behandlung: extended radical surgery with systematic lymph node resection</p> <p>161 pancreateoduodenectomies, 44 pyloruspreserving pancreateoduodenectomies, 59 distal pancreatectomies, 70 total pancreatectomies, and 1 pancreatic head resection with segmental duodenectomy</p>	knoten Metastasen in para-aortic Lymphknoten vs. unresectable cases Metastasen in para-aortic Lymphknoten (1 vs. ≥2 Lymphknotenbefall) Metastasen in para-aortic Lymphknoten (1 Lymphknoten befallen) vs. unresectable cases			
Murakami 2010 World J Surg	retrospektive und monozentrische Studie, uni- und multivariate Analyse Japan, 01/1992-12/2008	N= 103 , Alter 67 Jahre (Range 31-83), 48,5 % Männer, Indikation: Patienten erhielten pancreatic resection with regional and para-aortic lymph node dissection nach präoperativer Diagnose ohne apparent para-aortic lymph node metastasis. Ausschluss von: Patients with pancreatic ductal adenocarcinoma derived from an intraductal papillary-mucinous neoplasm (16 patients) or a mucinous cystic neoplasm (one patient) Befallsmuster: Tumorlokation im Pankreaskopf (73 patients)/in body or tail (30 patients); Behandlung: (keine Tumor resection if distant metastasis, invasion to the celiac or superior mesenteric artery, and apparent para-aortic lymph node metastasis were found by preoperative examinations.)	Lymphknotenmetastasen ja/nein para-aortic Lymphknotenmetastasen ja/nein kein Lymphknotenbefall/Lymphknotenbefall ohne para-aortic lymph node-Beteiligung/ Lymphknotenbefall mit para-aortic lymph node-Beteiligung Anterior serosal invasion (ja/nein)	alle Patienten wurden operiert (Tumorresektion)	follow-up für 5 Jahre nach OP (CT aller 2 Jahre)	2b retrospektive Auswertung; keine Angaben zur prospektiven Planung, zur Repräsentativität und über Vollständigkeit; Behandlungen nach prä-OP Untersuchung/patho-logischer Diagnose-keine Aussage über standardisierte Behandlung

Artikel ¹³	Studientyp ¹⁴	Patienten ¹⁵	Prognost. Merkmal und Cut-off ¹⁶	Intervention bei vs. ohne Metastasen	Endpunkte mit Nach- verfolgungs-zeitraum ¹⁷	Verzerrungs-risiko ¹⁸ / Evidenzstufe
		<p>Pylorus-preserving pancreateoduodenectomy (65 von 103), conventional pancreateoduodenectomy (4 von 103), distal pancreatectomy with splenectomy (30 von 103), and total pancreatectomy (4 von 103).</p> <p>Postoperative chemotherapy (71 von 103): intra-arterial chemotherapy (3 patients), intravenous chemotherapy alone (7 patients), and intravenous and oral chemotherapy (61 patients); (Postoperative adjuvant chemotherapy was administered beginning in 1999 and no patient received radiation therapy during the study periods.)</p> <p>mean dissected lymph nodes (29 von 103 (range: 2–75)), mean number of dissected para-aortic lymph nodes (5 von 103 (range: 1–26)).</p> <p>There were 72 tumors (70%) with lymph node metastasis and 31 (30%) without lymph node metastasis. The number of involved lymph nodes ranged from 1 to 40 (median 3). Para-aortic lymph node metastasis was found in 18 patients (17%). The number of involved para-aortic lymph nodes ranged from 1 to 16 (median 2).</p>	<p>Retroperitoneal tissue invasion (ja/nein)</p> <p>Choledochal invasion (ja/nein)</p> <p>Duodenal invasion (ja/nein)</p> <p>Portal or splenic vein invasion (ja/nein)</p> <p>Extrapancreatic nerve plexus invasion (ja/nein)</p>			
Kanda 2011 Pancreas	mono-zentrische, retrospektive Studie, uni- und multivariate Analysen, Japan, 10/1981-09/2009	<p>N= 429, Alter 62.8 Jahre (Range 35 - 83), 64 % Männer,</p> <p>Indikation: resected pancreatic invasive adenocarcinoma, in which the status of LN involvement was well known; pathologically diagnosed with pancreatic invasive adenocarcinoma (Resectable Pancreatic Cancer)</p> <p>Befallsmuster: Lymph node metastasis was confirmed pathologically in 289 patients (67.4%). Tumor location was divided into the head of the pancreas (304 cases), the body and tail (78 cases), or diffuse type (tumor straddling the border between the pancreas head and body, 47 cases). UICC staging I, II, III and IV: 18, 304, 15, and 92 cases</p>	<p>ohne LN-Metastasen vs. mit LN-Metastasen</p> <p>Anterior serosal infiltration</p> <p>Retroperitoneal invasion</p> <p>Biliary invasion</p> <p>Duodenum invasion</p> <p>Portal vein invasion</p>	<p>pancreatectomy with extended lymphadenectomy for pancreatic cancer.</p>	<p>follow-up: mean period von 15.6 Monate oder bis Tod</p>	<p>2b</p> <p>retrospektive Datenauswertung; keine Angaben zu Repräsentativität, Standardisierte Behandlung und Vollständigkeit der Studie bzw. der follow-up-Periode; Störgrößen wurden ebenfalls im prognostischen Modell (multivariat) untersucht;</p>

Artikel ¹³	Studientyp ¹⁴	Patienten ¹⁵	Prognost. Merkmal und Cut-off ¹⁶	Intervention bei vs. ohne Metastasen	Endpunkte mit Nach- verfolgungs-zeitraum ¹⁷	Verzerrungs-risiko ¹⁸ / Evidenzstufe
		<p>Behandlung: extended lymphadenectomy (D2 + para-aortic LN sampling) during a period of 28 years. Intraoperative radiation therapy at 30 Gy was performed to the retroperitoneum and nerve plexus around the root of the superior mesenteric artery after pancreatectomy, when available.</p> <p>A total of 78 total pancreatectomies, 278 pancreatoduodenectomies, and 73 distal pancreatectomies were performed. A total of 279 patients (65.0%) underwent portal vein resection.</p>	Arterial invasion Perineural invasion Infiltration at margins			
Pai 2011 <i>Am J Surg Pathol</i>	retrospektiv, multi-zentrisch (2 Krankenhäuser) 1995-2009, Californien (USA)	<p>N= 380, medianes Alter 67Jahre (range 38 - 89), 54 % Männer,</p> <p>Indikation: primär -invasives ductal adenocarcinoma of the pancreas. Pathologische Diagnose als T3 (nach 7ter Auflage des AJCC; definiert als "tumor extending beyond the pancreas but without the involvement of the celiac axis or superior mesenteric artery")</p> <p>Nur node- negative Tumore mit \geq 12 peripancreatic lymph nodes were included in this study</p> <p>(Ausschluss von: ductal adenocarcinomas associated with intraductal papillary mucinous neoplasm or mucinous cystic neoplasm and adenocarcinomas with a mixed endocrine or acinar component; Ductal adenocarcinomas limited to the pancreas (ie, pT1 and pT2 tumors) and those with distant metastatic disease were specifically excluded from this study.)</p> <p>Befallsmuster: mediane Tumorgröße 3.0 cm (range 1.2-11.5); Grade (well/moderately/poor): gruppenpezifisch</p> <p>Behandlung: Pankreaticoduodenectomy (92 %), distale Pankreatektomie (7 %); Totale Pankreatektomie (1 %)</p>	Ndi (direkte Invasion des Primärtumors in peripankreatische Lymphknoten) vs. N0 (ohne Lymphknoten-beteiligung) vs. N1 (true lymphatic regionale Lymphknoten-metastasen)	Pankreatektomie bei allen Patienten	Endpunkt: OS; follow-up-Daten für alle Patienten verfügbar: Median follow up 10 Monate (range, 2-159)	2b
Sahin 2011 <i>Pancreas</i>	univariate und multivariate	N = 85; Alter: median 63.5 Jahre (38-79); 71.3% Männer	Metastasen in \geq 5 vs. < 5 Lymphknoten;	OP aller Patienten	Endpunkte: Lokalisation, Anzahl und ratio metasta-	2b-

Artikel ¹³	Studientyp ¹⁴	Patienten ¹⁵	Prognost. Merkmal und Cut-off ¹⁶	Intervention bei vs. ohne Metastasen	Endpunkte mit Nach- verfolgungs-zeitraum ¹⁷	Verzerrungs-risiko ¹⁸ / Evidenzstufe
	Analyse retrospektive Studie in Japan; 10/1991 bis 11/2010	Indikation: resektable Pankreastumor im pancreatic body and tail nach radikal. Pankreatektomie mit lymph node dissection (Ausschluss von: Patienten mit distant metastasis or locally advanced disease) Befallsmuster: Tumor Location Body/Tail: 70 / 15 LN-Metastasen bei 40 Patienten (47.1%) Behandlung: Operation Distal pancreatectomy/Total pancreatectomy: 76 (98%) / 9; Vascular Resection - Portal vein resection/Major artery resection: 20/2 Histopathologic Type - Well / Moderate / Poor / Papillary / Adenosquamous: 8/58/11/5/3; UICC (7th) Stage IA / IB / IIA / IIB / III / IV: 2/2/28/35/2/16	ratio ≥ 0.2 vs. < 0.2 Metastasierter Lymphknoten; mit Befall der Lymphknoten vs. ohne Befall der Lymphknoten; benachbarte LN vs. involvement of distant LN ohne LN-Metastasen vs LN ratio < 0.2 duodenal invasion (body/tail) arterial system invasion (body/tail) extrapancreatic nerve plexus invasion (body/tail)		sierter Lymphknoten, Median Survival	retrospektive Auswertung einer prospektiv angelegten Datenbank; keine Angaben zu follow-up-Periode

Tabelle 3.1.3.1b: Ergebnisse aktueller prognostischer Studien zur Irresektaulität eines Tumors bei extrapankreatischer Tumormanifestation

Artikel (Autor, Jahr)	n ¹⁹	Prognost. Merkmal, weitere Merkmale im prognost. Modell	Anzahl der Patienten mit prog. Merkmal	Ergebnisse aus univariater Analyse (OS)		Ergebnisse aus multivariater Analyse (OS)		Nebenwirkungen durch Sektion des Tumors therapieassoziierte Todesfälle und Komplikationen (alle in % der behandelten Patienten)
				p-Wert	Median / HR (95%CI) / ÜL Raten	p-Wert	Median / HR (95%CI) / ÜL Raten	
Doi 2007	133	Invasion of the anterior pancreatic capsule (ja/nein)	36/97	0.01	1.74 (1.14–2.60)	0.33	1.28 (0.77-2.09)	
	133	Invasion of the retro-peritoneal tissues	54/79	0.04	1.49 (1.02–2.17)	0.94	1.02 (0.65-1.59)	
	133	Invasion of the distal common bile duct	84/49	0.27	1.24 (0.85–1.83)			
	133	Invasion of the duodenal wall	52/81	0.16	1.32 (0.90–1.93)			
	133	Invasion of the portal venous system	58/75	0.0006	1.98 (1.35–2.91)	0.20	1.38 (0.84-2.24)	
	133	Invasion of the major arteries	21/112	0.03	1.83 (1.08–2.94)	0.15	1.52 (0.85-2.60)	
Shrikhande 2007	29	M1 disease to interaortocavale Lymphknoten vs. M1 disease to liver vs. M1 disease to peritoneum	9/11/9	0.145	27 Monate (9.6-27) vs. 11.4 Monate (7.8-16.5) vs. 12.9 Monate (7.2-20.5)	k.A.	k.A.	Komplikationen (M1 vs. M0): n=29/287, Aufenthalt im Krankenhaus: 12 (IQR 9-15)/12 (IQR 10-14) Tage, Komplikationsrate post-OP: 24.1%/24.4%, Relaparotomy: 6.3%/ 6.9%, 30-Tages und im Krankenhaus-Mortalität: 0/4.2%
Yamada 2008	45	clinical portal vein invasion (PV)	N.A.	0.0742	OR 2.652 (0.909-7.738)	0.9245	OR 1.062 (0.304-3.717)	
	45	Vascular invasion	N.A.	0.6547	OR 1.177 (0.577-2.401)			
	45	Invasion of anterior pancreatic capsule	N.A.	0.3335	OR 1.346 (0.737-2.460)			
	45	Invasion of retroperitoneal tissue	N.A.	0.1073	OR 1.803 (0.880-3.693)			

¹⁹ Gesamtanzahl der Patienten

Artikel (Autor, Jahr)	n ¹⁹	Prognost. Merkmal, weitere Merkmale im prognost. Modell	Anzahl der Patienten mit prog. Merkmal	Ergebnisse aus univariater Analyse (OS)		Ergebnisse aus multivariater Analyse (OS)		Nebenwirkungen durch Sektion des Tumors therapieassoziierte Todesfälle und Komplikationen (alle in % der behandelten Patienten)
				p-Wert	Median / HR (95%CI) / ÜL Raten	p-Wert	Median / HR (95%CI) / ÜL Raten	
	45	Bile duct invasion	N.A.	0.5086	OR 0.778 (0.370-1.636)			
	45	Duodenal invasion	N.A.	0.3804	OR 1.326 (0.706-2.490)			
	45	pPV(+)	N.A.	0.0401	OR 2.051 (1.033-4.073)	0.0367	OR 2.359 (1.055- 5.278)	
	45	Arterial invasion	N.A.	0.1315	OR 1.716 (0.851-3.461)			
	45	Perineural invasion	N.A.	0.0474	OR 2.045 (1.008-4.148)	0.1115	OR 1.84 (0.868- 3.898)	
	45	pathological dis- sected peripancre- atic tissue margin	N.A.	0.1184	OR 1.641 (0.881-3.056)			
Massucco 2009	77	Resected vein infiltration (yes vs. no)	12/65	0.135	13/18 Monate	N.A.	N.A.	
	59 (nur node-pos.)		7/52	0.139	9.5/16 Monate			
	77	Microscopic vein invasion (yes vs. no)	42/35	0.992	16/17 Monate	N.A.	N.A.	
	59 (nur node-pos.)		35/24	0.994	15/15.5 Monate	N.A.	N.A.	

Artikel (Autor, Jahr)	n ¹⁹	Prognost. Merkmal, weitere Merkmale im prognost. Modell	Anzahl der Patienten mit prog. Merkmal	Ergebnisse aus univariater Analyse (OS)		Ergebnisse aus multivariater Analyse (OS)		Nebenwirkungen durch Sektion des Tumors therapieassoziierte Todesfälle und Komplikationen (alle in % der behandelten Patienten)
				p-Wert	Median / HR (95%CI) / ÜL Raten	p-Wert	Median / HR (95%CI) / ÜL Raten	
Murakami 2010	77	Perineural invasion (yes vs. no)	58/19	0.538	15.5/18 Monate	N.A.	N.A.	
	59 (nur node-pos.)		44/15	0.438	14/16 Monate	N.A.	N.A.	
Murakami 2010	103	Anterior serosal invasion (ja/nein)	60/43	0.236	5-Jahres Überlebensrate 8%/27%	N.A.	N.A.	
	103	Retroperitoneal tis- sue invasion (ja/nein)	74/29	0.040	5-Jahres Überlebensrate 0/41%	0.520	1.22 (0.45-1.50)	
	103	Choledochal inva- sion (ja/nein)	47/56	0.075	5-Jahres Überlebensrate 0/29%	N.A.	N.A.	
	103	Duodenal invasion (ja/nein)	38/65	0.504	5-Jahres Überlebensrate 12/25%	N.A.	N.A.	
	103	Portal or splenic vein invasion (ja/nein)	33/70	0.002	5-Jahres Überlebensrate 0/27%	0.299	1.37 (0.40-1.32)	
	103	Extrapancreatic nerve plexus inva- sion (ja/nein)	31/72	<0.001	5-Jahres Überlebensrate 0/28%	0.041	1.93 (1.03-3.62)	

Artikel (Autor, Jahr)	n ¹⁹	Prognost. Merkmal, weitere Merkmale im prognost. Modell	Anzahl der Patienten mit prog. Merkmal	Ergebnisse aus univariater Analyse (OS)		Ergebnisse aus multivariater Analyse (OS)		Nebenwirkungen durch Sektion des Tumors therapieassoziierte Todesfälle und Komplikationen (alle in % der behandelten Patienten)
				p-Wert	Median / HR (95%CI) / ÜL Raten	p-Wert	Median / HR (95%CI) / ÜL Raten	
Kanda 2011	429	Anterior serosal infiltration	246	0.002	OR 1.453 (99%-CI: 1.070-1.976)	0.3404	1.136 99%-CI: 0.805-1.605)	
	429	Retroperitoneal inva- sion	316	0.002	OR 1.502 (99%-CI:1.070-2.105)	0.2912	1.168 (99%-CI: 0.800-1.704)	
	429	Biliary invasion	257	0.005	OR 1.406 (99%-CI: 1.031-1.919)	0.2231	1.167 (99%- CI:0.842-1.616)	
	429	Duodenum invasion	207	0.015	OR 1.330 (99%-CI:0.983-1.801)	N.A.	N.A.	
	429	Portal vein invasion	214	<0.001	OR 1.996 (99%-CI:1.464-2.725)	<0.001	1.618 (99%- CI:1.136-2.304)	
	429	Arterial invasion	72	<0.001	OR 2.033 (99%-CI:1.374-3.003)	0.697	1.072 (99%- CI:0.678-1.695)	
	429	Perineural invasion	148	<0.001	OR 2.597 (99%-CI:1.887-3.584)	<0.001	1.721 (99%- CI:1.148-2.584)	
	429	Infiltraion at margins	151	<0.001	OR 2.242 (99%-CI:1.631-3.084)	0.066	1.346 (99%-CI: 0.888-2.037)	
Sahin 2011	85	duodenal invasion (body/tail)	70/15	0.0008	N.A.	0.87/0.69	0.82/1.57 (0.08 - 8.03/ 0.17 - 14.78)	

Artikel (Autor, Jahr)	n ¹⁹	Prognost. Merkmal, weitere Merkmale im prognost. Modell	Anzahl der Patienten mit prog. Merkmal	Ergebnisse aus univariater Analyse (OS)		Ergebnisse aus multivariater Analyse (OS)		Nebenwirkungen durch Sektion des Tumors therapieassoziierte Todesfälle und Komplikationen (alle in % der behandelten Patienten)
				p-Wert	Median / HR (95%CI) / ÜL Raten	p-Wert	Median / HR (95%CI) / ÜL Raten	
	85	arterial system inva- sion (body/tail)	70/15	0.025	N.A.	0.09/ 0.2	1.37/7.21 (0.67 - 2.82/0.36 - 3.14)	
	85	extra-pancreatic nerve plexus inva- sion (body/tail)	70/15	0.013	N.A.	0.13/ 0.33	1.67/1.43 (0.86 - 3.24/ 0.70-2.92)	

Tabelle 3.1.3. 2b: Ergebnisse aktueller prognostischer Studien zur Irresektualität eines Tumors bei Lymphknotenmetastasen

Artikel (Autor, Jahr)	n ²⁰	Prognost. Merkmal, weitere Merkmale im prognost. Modell	Anzahl der Patien- ten mit prog. Merk- mal	Ergebnisse aus univariater Ana- lyse (OS)		Ergebnisse aus multivariater Analyse (OS)		Nebenwirkungen durch Sektion des Tumors therapieassoziierte Todesfälle und Komplikationen (alle in % der behandelten Patienten)
				p-Wert	Median /HR (95%-CI) / ÜL Raten	p-Wert	Median /HR (95%- CI) / ÜL Raten	
Cordera 2007	55	Kein Befall der Lymphknoten (LN neg.)	17			DFS: 0,04	DFS: 22.1 vs. 13.9 vs. 12.0 Monate OS: 22.9 vs. 16.1 vs. 14.7 Monate 5-Jahres ÜL: 22% / 17% / 0% (p=0.05)	One patient (1.8%) died of infectious postoperative complications after a duodenal leak
		peripancreatic Lymphknotenbefall (PPLN pos., aber kein CHALN involve- ment)	28			OS: 0,05		
		CHALN positiv	10					
Doi 2007	133	N0 (kein Befall der Lymphknoten)	49	0.05	14 Monate	Survival time: 0.001	pancreatic fistula (definiert durch amyl- ase level in the drainage over 5,000 IU/l within 7 days of surgery) bei 6,1%	
		N1 (Gruppe 1 posi- tiv)	36		11.3 Monate			
		N2 (Gruppe 2 posi- tiv)	29		10.6 Monate			
		mit para-aortic lymph node Meta- stasis = N3+(Gruppe 3 positiv)	19		5.1 Monate		5.1 Monate (3.9- 9.2)	
		ohne para-aortic lymph node Metastasis (N3-)	114				12.8 Monate (10.6-15.3) HR 2.90 (95%KI: 1.60-5.02) für N3(+)	
Garcea 2007	62	Lymphknoten-status N0 vs. N1	38 / 24	0.0008	k.A.	k.A.	k.A.	

²⁰ Gesamtanzahl der Patienten

Artikel (Autor, Jahr)	n ²⁰	Prognost. Merkmal, weitere Merkmale im prognost. Modell	Anzahl der Patien- ten mit prog. Merk- mal	Ergebnisse aus univariater Ana- lyse (OS)		Ergebnisse aus multivariater Analyse (OS)		Nebenwirkungen durch Sektion des Tumors therapieassoziierte Todesfälle und Komplikationen (alle in % der behandelten Patienten)
				p-Wert	Median /HR (95%-CI) / ÜL Raten	p-Wert	Median /HR (95%- CI) / ÜL Raten	
	33	Lymphknoten-befall <20 % aller Lymph- knoten vs. Lymphknoten-befall >20 % aller Lymph- knoten	k.A.	median survival: p < 0.0001	>80 Monate vs. 12 Monate	k.A.	k.A.	
Yamada 2008		Metastasen in regio- nalen Lymphknoten vs. node-negative patients	188/102	0.0012	10.7/14.6 Monate			
		Metastasen in regio- nalen Lymphknoten vs. Metastasen in para-aortic Lymph- knoten	188/45	0.0029	10.7/7.8 Monate			
		Metastasen in para- aortic Lymphknoten vs. unresectable cases	45/176	N.S.	7.8 (range 0.1 - 45.4) /5.9 Monate			
		Metastasen in para- aortic Lymphknoten (1 vs. ≥2 Lymphkno- tenbefall)	22/23	0.1464	7.8/7.2 Monate OR für ≥2 1.585 (0.851-2.952)			
		Metastasen in para- aortic Lymphknoten (1 Lymphknoten befallen) vs. un- resectable cases	22/176	0.049	7.8/5.9 Monate			
Massucco 2009	77 (ge- samt)	Node status pN0 vs. N1	18/59	Median survival: 0.024	20/15.5 Monate	Median survi- val: 0.014	HR 2.051 (1.146– 3.953)	
		Node level 0 vs. 1 vs. >1	18 /26/33	Median survival: 0.007	20/22/13.5 Monate	Median survi- val: 0.002	HR 1.651 (1.190– 2.332)	

Artikel (Autor, Jahr)	n ²⁰	Prognost. Merkmal, weitere Merkmale im prognost. Modell	Anzahl der Patien- ten mit prog. Merk- mal	Ergebnisse aus univariater Ana- lyse (OS)		Ergebnisse aus multivariater Analyse (OS)		Nebenwirkungen durch Sektion des Tumors therapieassoziierte Todesfälle und Komplikationen (alle in % der behandelten Patienten)
				p-Wert	Median /HR (95%-CI) / ÜL Raten	p-Wert	Median /HR (95%- CI) / ÜL Raten	
59 (node -posi- tive tu- mors)	No. of positive nodes 0 vs. ≤ 2 vs. >2	18/21/38		Median survival: 0.001	20/23/14 Monate	Median survi- val: 0.002	HR 1.399 (1.122– 1.786)	
				Median survival: 0.002	20/22.5/14 Monate	Median survi- val: 0.002	HR 1.093 (1.034– 1.158)	
	Node level 1 vs. >1	26/33		Median survival: 0.012	22/13.5 Monate	Median survi- val: 0.013	HR 2.179 (1.175– 4.136)	
	No. of positive nodes ≤ 2 vs. >2	21/38		Median survival: 0.002	23/14 Monate	Median survi- val: 0.018	HR 2.238 (1.147– 4.626)	
	Node ratio ≤10 vs. >10	19/40		Median survival: 0.009	22.5/14 Monate	Median survi- val: 0.019	HR 1.095 (1.015– 1.188)	
Murakami 2010	103	Lymphknotenmeta- stasen ja/nein	72/31	5-Jahres OS: 0.001	5-Jahres OS: 5/42 %			
		para-aortic Lymph- knotenmetastasen ja/nein	18/85	5-Jahres OS: 0.001	5-Jahres OS: 0/23% median survival (post-OP): 13 Mo- nate/22 Monate	0.078	HR 1.84 (0.28– 1.07)	
		kein Lymphknoten- befall/Lymph- knotenbefall ohne para-aortic lymph node-Beteiligung/ Lymph-knotenbefall mit para-aortic lymph node-Beteili- gung	31/54/18		median survival (post-OP):30/15 /12,4 Monate			

Artikel (Autor, Jahr)	n ²⁰	Prognost. Merkmal, weitere Merkmale im prognost. Modell	Anzahl der Patien- ten mit prog. Merk- mal	Ergebnisse aus univariater Ana- lyse (OS)		Ergebnisse aus multivariater Analyse (OS)		Nebenwirkungen durch Sektion des Tumors therapieassoziierte Todesfälle und Komplikationen (alle in % der behandelten Patienten)
				p-Wert	Median /HR (95%-CI) / ÜL Raten	p-Wert	Median /HR (95%- CI) / ÜL Raten	
Pai 2011	380	Ndi vs. N0	35/97	Median Survival: P=0.609	21 (19-?) /30 (24-52) Monate 5-Jahres-OS: 36/31%			
		N0 vs. N1	97/248	Median Survival: P<0.001	30 (24-52) /15 (13- 24) Monate 5-Jahres-OS:31/8%			
		N1 (1-2) vs. Ndi	42/35	Median Survival: P=0.056 (nicht statist. sign.)	15 (11-31) /21 (19-?) Monate			
Kanda 2011	429	ohne LN-Metastasen	140			median survi- val time: 0.001	16.0 Monate	11 postoperative Todesfälle Morbidität: 40.1%
		mit LN-Metastasen	289	survival: 0.001	Odds Ratio: 1.727 (99%-CI: 1.235 - 2.415)	survival: <0.001	11.0 Monate HR: 1.597 (99%CI: 1.126-2.262)	
Sahin 2011	85	Metastasen in ≥ 5 vs. < 5 Lymphkno- ten (LN)	?	0.046	5.6/11.5 Monate	0.0015 (Body;n=70)	3.93 (1.69 - 9.15)	
		ratio ≥ 0.2 vs. < 0.2 Metastasierter Lymphknoten	?	0.007	5.6/12.8 Monate	0.014 (Tail; n=15)	2.99 (1.25 - 7.12)	
		mit Lymphknoten- metstasen vs. ohne Lymphknotenmeta- stasen	40/45	0.007	11.4/15.8 Monate	N.A.	N.A.	

Artikel (Autor, Jahr)	n ²⁰	Prognost. Merkmal, weitere Merkmale im prognost. Modell	Anzahl der Patien- ten mit prog. Merk- mal	Ergebnisse aus univariater Ana- lyse (OS)		Ergebnisse aus multivariater Analyse (OS)		Nebenwirkungen durch Sektion des Tumors therapieassoziierte Todesfälle und Komplikationen (alle in % der behandelten Patienten)
				p-Wert	Median /HR (95%-CI) / ÜL Raten	p-Wert	Median /HR (95%- CI) / ÜL Raten	
		benachbarte LN vs. involvement of dis- tant LN	?	0.99	12.8/10.7 Monate	N.A.	N.A.	
		ohne LN-Metastasen vs LN ratio < 0.2	?	0.25 (N.S.)	N.A.	N.A.	N.A.	

Referenzen

- Cordera F, Arciero CA, Li T, Watson JC, Hoffman JP. Significance of common hepatic artery lymph node metastases during pancreaticoduodenectomy for pancreatic head adenocarcinoma. *Ann Surg Oncol* 2007;14(8): 2330-2336.
- Doi R, Kami K, Ito D, Fujimoto K, Kawaguchi Y, et al. Prognostic implication of para-aortic lymph node metastasis in resectable pancreatic cancer. *World J Surg* 2007;31(1):147-54.
- Garcea G, Dennison AR, Ong SL, Pattenden CJ, Neal CP, et al. Tumour characteristics predictive of survival following resection for ductal adenocarcinoma of the head of pancreas. *Eur J Surg Oncol*. 2007;33(7):892-7.
- Kanda M, Fujii T, Nagai S, Kodera Y, Kanzaki A, et al. Pattern of lymph node metastasis spread in pancreatic cancer. *Pancreas* 2011;40(6):951-5.
- Massucco P, Ribero D, Sgotto E, Mellano A, Muratore A, Capussotti L. Prognostic significance of lymph node metastases in pancreatic head cancer treated with extended lymphadenectomy: not just a matter of numbers. *Ann Surg Oncol*. 2009;16(12):3323-32.
- Murakami Y, Uemura K, Sudo T, Hashimoto Y, Yuasa Y, Sueda T. Prognostic impact of para-aortic lymph node metastasis in pancreatic ductal adenocarcinoma. *World J Surg*. 2010;34(8):1900-7.
- Pai RK, Beck AH, Mitchem J, Linehan DC, Chang DT, et al. Pattern of lymph node involvement and prognosis in pancreatic adenocarcinoma: direct lymph node invasion has similar survival to node-negative disease. *Am J Surg Pathol*. 2011;35(2):228-34.
- Shrikhande SV, Kleeff J, Reiser C, Weitz J, Hinz U, et al. Pancreatic resection for M1 pancreatic ductal adenocarcinoma. *Ann Surg Oncol*. 2007;14(1):118-27.
- Sahin, T. T., T. Fujii, et al. (2011). "Prognostic Implications of Lymph Node Metastases in Carcinoma of the Body and Tail of the Pancreas." *Pancreas*.
- Yamada S, Nakao A, Fujii T, Sugimoto H, Kanazumi N, et al. Pancreatic cancer with paraaortic lymph node metastasis: a contraindication for radical surgery? *Pancreas*. 2009;38(1):e13-7.

Nachfolgende Evidenztabelle bezieht sich auf folgende Frage:

3.1.3.3 Infiltration des Truncus coeliacus

Insgesamt wurden 8 Studien zum Thema auf der Grundlage des Titel- und Abstractscreenings gefunden und eingeschlossen. Zwei Studien wurden mit dem Evidenzniveau 2b- beurteilt, da in der Auswertung nicht direkt auf den Truncus coeliacus eingegangen wird. Eine weitere Studie wurde aufgrund fehlender Adjustierung für prognostische relevante Störgrößen mit dem Evidenzniveau 4 bewertet.

Ausgeschlossen wurden zwei Studien ohne fragenrelevante Vergleiche, eine Studie mit einer historischen Vergleichsgruppe, eine Studie mit weniger als 25 Patienten und ein Review ohne zusammenfassende Metaanalysen.

Tabelle 3.1.3.3a: Studienbeschreibung: Aktuelle Studien zur Resektionsmöglichkeit bei Infiltration des Truncus coeliacus

Artikel ²¹	Studientyp ²²	Patienten ²³	Prognost. Merkmal und Cut-off ²⁴	Interventionen in beiden Gruppen	Endpunkte mit Nachverfolgungszeitraum ²⁵	Verzerrungsrisiko ²⁶ / Evidenzstufe
Wang 2008 J. Gastrointest Surg	Mono-zentrische, retrospektive Studie, China, 01/1996-12/2005	<p>von 214 Patienten mit Pankreaskopfkarzinom, 80 davon erhielten vaskuläre Resektion (134 erhielten Palliativtherapie); Arterienresektion (AR) bei 19 Patienten N= 19 (AR), Alter 46 Jahre (Range 36-70), 78.9 % Männer,</p> <p>Indikation: Tumorinvasion/“adhere“ der hepatischen Arterie, der superior mesenteric artery und der celiac artery; keine Stenose dieser Gefäße (und Durchführung der AR nur wenn prä-OP keine tatsächliche Invasion der Arterien feststellte.)</p> <p>Befallsmuster: Siehe Indikation; Adenokarzinom (94.7 %), tatsächliche Blutgefäßinvasion bei 78.9% (AR)</p> <p>Behandlung: Pankreatikoduodenektomie mit arterieller Resektion (Forster Typ II OP); evtl. zusätzliche Venenresektion; post-OP systemische Chemotherapie mit Gemcitabine</p>	<p>Tumorinvasion/“adhere“ der hepatischen Arterie, der superior mesenteric artery und der celiac artery</p>	<p>die AR-Gruppe erhielt Pankreatikoduodenektomie mit arterieller Resektion (Forster Typ II OP); evtl. zusätzliche Venenresektion</p>	<p>Endpunkte: QuoL, survival, treatment cost follow-up: bis 12/2007 oder zum Tod</p>	<p>4 Wegen fehlender multivariater Analysen mit Korrektur von Störgrößen</p> <p>Indirekte Evidenz: Nur Survival für die gesamte AR-Gruppe angegeben, ohne einzelne Auflistung der HA, SMA und CT</p>
Boggi 2009 Surgery	retrospektive Studie; Italien; 11/1987 bis 12/2004	<p>N= 110 (Study Group, SG); medianes Alter: 64.9 (37-84) 48,2% Männer</p> <p>Indikation: Pankreatektomie; individuals without evidence of distant metastasis at the time of surgery and with histologically or cytologically proven diagno-</p>	<p>Isolated arterial resection vs. Kontrolle mit Palliativtherapie</p>	<p>Pankreatektomie mit Resektion und Rekonstruktion der peripankreatischen Gefäße (PPV) vs. Palliated patients</p>	<p>Endpunkte: Morbidität, Mortalität, Median survival</p>	<p>2b- Wegen indirekter Evidenz Truncus coeliacus (CT)-Beteiligung</p>

²¹ Autor, Jahr, Studienname, Journal

²² Studientyp (RCT, ..., prospektiv vs. retrospektiv, welcher Teil war prospektiv?, univariabel vs. multivariabel), mono vs. multizentrisch, Anzahl, Rekrutierungszeit- und land

²³, Indikation, Alter, Geschlecht, Behandlungen, Ausmaß/ Befallsmuster je Gruppe, Waren Einschlusskriterien a priori festgelegt?

²⁴ Tuschemarkierung/ Aufarbeitung der Resektionsränder und des Resektionspräparats

²⁵ Gibt es Angaben zum follow-up (z.B. Dauer, Abstand zwischen Untersuchungen, verwendete Untersuchungen)? Ist das Follow-up vollständig, sind Angaben für alle eingeschlossenen Patienten verfügbar? Wenn nicht, für welchen Anteil werden Angaben berichtet?

²⁶ Gab es eine prospektive Planung, Sind Einschlusskriterien für Patienten prospektiv definiert und repräsentativ? Ist die Nachbeobachtungsperiode ausreichend lang und wird über alle Patienten berichtet? Ist das prognost. Merkmal klar definiert und gemessen? Wurden wichtige Störgrößen in das prognost. Modell aufgenommen? Wurde Behandlung nach Prognosestellung standardisiert durchgeführt?

Artikel ²¹ ²²	Studientyp	Patienten ²³	Prognost. Merkmal und Cut-off ²⁴	Interventionen in beiden Gruppen	Endpunkte mit Nach- verfolgungszeitraum ²⁵	Verzerrungsrisiko ²⁶ / Evidenzstufe
		<p>sis of ductal adenocarcinoma of the pancreas</p> <p>Befallsmuster: ASA-class of risk (I, II, III, IV, V):1,8,101,0,0 Patienten</p> <p>Tumordurchmesser: Median 4 cm (range 1.2-10.6); 39% erhielten Chemotherapie vor und nach OP; PPV-Infiltration bei 65% (64 Patienten), davon 26% infiltrierte Tunica Intima</p> <p>Behandlung: StudyGroup (SG):Pankreatektomie mit Resektion und Rekonstruktion peripankreatischer Gefäße (PPV); Untergruppe IVR (isolated venous resection) mit n=84 (von 110 SG)</p>		<p>ohne Metastasen (Kontrolle1) vs. „konventionelle“ Pankreatektomie (Kontrolle 2)</p>		wird im Methodenteil für die Obergruppe "Isolated arterial involvement" erwähnt nur CT-Beteiligung: n= 9 und CT/HA-Beteiligung: n=3
Bachellier 2011 Journal of Surgical Oncology	01/1990- 12/2008	<p>N= 52, Alter 64 Jahre (Range 35-84), 42.3% Männer,</p> <p>Indikation: Pankreasresektion (Adenokarzinom, histologisch bestätigt)</p> <p>Befallsmuster: 12 Patienten mit locally advanced „unresectable“ tumor, 40 mit resectable Borderline-Tumor</p> <p>UICC TNM stage II A/II B/ III: 4/36/12</p> <p>Regional lymph nodes metastases: 41 (78.8%) patients.</p> <p>Histopathological grading of pancreatic adenocarcinoma was well/moderately/poorly differentiated: 6/27/19</p> <p>Histopathologic data showed arterial wall invasion (hepatic artery / celiac trunk / SMA): 4/15.3% (2/1/1)</p> <p>perineural invasion in 15 (57.7%), and no invasion in 7 (27.0%).</p> <p>Portal vein wall invasion was confirmed by the final histopathology in 29 patients (70.7%).</p>	<p>AR+ vs. AR- und patients who underwent a “major” AR of the celiac trunk or of the SMA, for a locally advanced “unresectable,” vs. patients who had “minor” AR of the hepatic artery or of its branches vs. no AR</p>	<p>Arterielle Resektion (Study-Group, AR+) vs. “matched group” (AR-) mit Pankreasresektion</p> <p>“26 consecutive patients who underwent a curative-intent pancreatic resection for adenocarcinoma of the pancreas with AR (AR+ group) were matched 1:1 to those of the whole series of pancreatic resection performed in our institution.”</p> <p>aus Tabelle1: Arterielle Resektion (Study-Group, AR+): 21 von 26 erhielten Portalvenenresektion vs. “matched group” (AR-) mit Pankreasresektion:</p>	<p>All patients were followed up every 6 months, no lost during follow-up</p>	<p>2b</p> <p>Wegen indirekter Evidenz</p> <p>Arterielle Resektion bei Befall der common hepatic Artery, right or left hepatic arteries, SMA oder Trunkus coeliacus, wenn curative intent</p>

Artikel ²¹ ²²	Studientyp	Patienten ²³	Prognost. Merkmal und Cut-off ²⁴	Interventionen in beiden Gruppen	Endpunkte mit Nach- verfolgungszeitraum ²⁵	Verzerrungsrisiko ²⁶ / Evidenzstufe
		Behandlung: PD bei 24 Patienten, totale Pankreatektomie: 18 Patienten left splenopankreatektomie: 10 Patienten kombinierte SM-PV-Resektion: 41 (78.8%) additional Behandlungen: 8 neodjuvante CTX: 3 (5.7%) adjuvante CTX: 37 (71.1%)		20 von 26 erhielten Portalvenenresektion		

Tabelle 3.1.3.3b: Ergebnisse aktueller prognostischer Studien zur Resektionsmöglichkeit bei Infiltration des Truncus coeliacus

Artikel (Autor, Jahr)	n ²⁷	Prognost. Merkmal	Anzahl der Patienten mit prog. Merkmal	Ergebnisse aus univariater Analyse (OS)¶		Ergebnisse aus multivariater Analyse (OS)		Nebenwirkungen durch Sektion des Tumors t
				p-Wert	Median /HR (95%-CI) / ÜL Raten	p-Wert	Median /HR (95%-CI) / ÜL Raten	
Wang 2008	214	VR (vein resection) vs. VP (vascular adhesion/invasion) vs. AR (artery resection) vs. AP (artery adhesion / invasion)	61 / 89 / 19 / 45	AR vs. AP p=0.008 VR vs. VP p=0.103	13 Monate / 12 Monate / 7 Monate/ 9 Monate 1-/2-Jahr OS: 56±6% / 24%±6% 52±5% / 23±4% 16 ± 8% / 0% 40%±7% / ? 3- / 5-Jahr OS: 19 ±5% / 13 ±4% 11±3% / 1±1% 0% 10±5% / 0%			overall complications (AR-Gruppe): 36.8 % 15.8% post-OP Blutungen, 5.3% Thrombose, 21.1% Pancreatic fistula, 5.3% DGE Reoperation: 15.8% post-OP Krankenhausaufenthalt: 18 ± 7 Tage
Boggi 2009	72	Isolated arterial resection vs. Kontrolle mit Palliativ-therapie	12/60	0.002	18 Monate/ 6 Monate	N.A.	N.A.	
Bachelier 2011	52	Arterial resection yes vs. no	26/26	OS: 0.581 DFS: 0.637	17 Monate / 12 Monate 1- und 3- Jahres-OS: 65.9% und 22.0% / 50% und 17.6% 1- und 3 –Jahres DFS: 31.6% und 5.3% / 35.4% und 10.1%	N.A.	N.A.	aktuelle long-time-survival-rate: 15.3%

²⁷ Gesamtanzahl der Patienten

Artikel (Autor, Jahr)	n ²⁷	Prognost. Merkmal	Anzahl der Patienten mit prog. Merkmal	Ergebnisse aus univariater Analyse (OS)¶		Ergebnisse aus multivariater Analyse (OS)		Nebenwirkungen durch Sektion des Tumors
				p-Wert	Median /HR (95%-CI) / ÜL Raten	p-Wert	Median /HR (95%-CI) / ÜL Raten	
	26	patients who underwent a “major” AR of the celiac trunk or of the SMA, for a locally advanced “unresectable,” vs. patients who had “minor” AR of the hepatic artery or of its branches vs. no AR	12 / 14	0.773	3 years OS: 25.9% vs. 9.5% vs. 17.6%	N.A.	N.A.	
	52	Arterial wall invasion (yes vs. no)				0.006	RR 4.97 (1.58-16.66)	

Referenzen

- Bachellier, P., E. Rosso, et al. (2011). "Is the need for an arterial resection a contraindication to pancreatic resection for locally advanced pancreatic adenocarcinoma? a case-matched controlled study." Journal of Surgical Oncology 103(1): 75-84.
- Boggi, U., M. Del Chiaro, et al. (2009). "Prognostic implications of tumor invasion or adhesion to peripancreatic vessels in resected pancreatic cancer." Surgery 146(5): 869-881.
- Wang, C., H. Wu, et al. (2008). "Pancreaticoduodenectomy with vascular resection for local advanced pancreatic head cancer: a single center retrospective study." J Gastrointest Surg 12(12): 2183-2190.

Ausgeschlossene Studien (mit Gründen):

- Chua, T. C. and A. Saxena (2010). "Extended pancreaticoduodenectomy with vascular resection for pancreatic cancer: a systematic review." J Gastrointest Surg 14(9): 1442-1452 (keine zusammenfassende Metaanalyse).
- Hirano, S., S. Kondo, et al. (2007). "Distal pancreatectomy with en bloc celiac axis resection for locally advanced pancreatic body cancer: long-term results." Ann Surg 246(1): 46-51. (< 25 Patienten)
- Ouaissi, M., C. Hubert, et al. (2010). "Vascular reconstruction during pancreaticoduodenectomy for ductal adenocarcinoma of the pancreas improves resectability but does not achieve cure." World J Surg 34(11): 2648-2661 (Keine Ergebnisse zum Truncus coeliacus).
- Sperti, C., M. Berselli, et al. (2010). "Distal pancreatectomy for body-tail pancreatic cancer: Is there a role for celiac axis resection?" Pancreatology 10(4): 491-498. (historischer Vergleich)
- Yekebas, E. F., D. Bogoevski, et al. (2008). "En bloc vascular resection for locally advanced pancreatic malignancies infiltrating major blood vessels: perioperative outcome and long-term survival in 136 patients." Ann Surg 247(2): 300-309. (Ausschluss von Patienten mit Infiltration des Truncus coeliacus)

Nachfolgende Evidenztabelle bezieht sich auf folgende Frage:

3.1.3.4 Infiltration der Art. mes. sup.

Ggf.: Bis zu welchem Infiltrationsausmaß ist eine Resektion möglich?

Insgesamt wurden 8 Studien zum Thema auf der Grundlage des Titel- und Abstractscreenings gefunden und eingeschlossen. Zwei Studien wurden mit dem Evidenzniveau 2b beurteilt, zwei Studien wegen indirekter Evidenz mit dem Evidenzniveau 2b-und zwei weitere Studie wurden aufgrund fehlender Adjustierung für prognostische relevante Störgrößen mit dem Evidenzniveau 4 bewertet.
Ausgeschlossen wurden eine Studie mit einer historischen Vergleichsgruppe und ein Review ohne zusammenfassende Metaanalysen.

Tabelle 3.1.3.4a: Studienbeschreibung: Aktuelle Studien zur Resektionsmöglichkeit bei Infiltration der Art. mes.sup.

Artikel ²⁸	Studientyp ²⁹	Patienten ³⁰	Prognost. Merkmal und Cut-off ³¹	Interventionen in beiden Gruppen	Endpunkte mit Nachverfolgungszeitraum ³²	Verzerrungsrisiko ³³ / Evidenzstufe
Wang 2008 J. Gastrointest Surg	Mono-zentrische, retrospektive Studie, China, 01/1996-12/2005	<p>von 214 Patienten mit Pankreaskopfkarzinom, 80 davon erhielten vaskuläre Resektion (134 erhielten Palliativtherapie); Arterienresektion (AR) bei 19 Patienten</p> <p>N= 19 (AR), Alter 46 Jahre (Range 36-70), 78.9 % Männer,</p> <p>Indikation: Tumorinvasion/“adhere“ der hepatischen Arterie, der superior mesenteric artery und der celiac artery; keine Stenose dieser Gefäße (und Durchführung der AR nur wenn prä-OP keine tatsächliche Invasion der Arterien festgestellt.)</p> <p>Befallsmuster: Siehe Indikation; Adenokarzinom (94.7 %)</p> <p>tatsächliche Blutgefäßinvasion bei 78.9% (AR)</p> <p>Behandlung: Pankreatikoduodenektomie mit arterieller Resektion (Fortner Typ II OP); evtl. zusätzliche Venenresektion; post-OP systemische Chemotherapie mit Gemcitabine</p>	Tumorinvasion/“adhere“ der hepatischen Arterie, der superior mesenteric artery und der celiac artery	die AR-Gruppe erhielt Pankreatikoduodenektomie mit arterieller Resektion (Fortner Typ II OP); evtl. zusätzliche Venenresektion	Endpunkte: QuoL, survival, treatment cost follow-up: bis 12/2007 oder bis zum Tod	4 Wegen fehlender multivariater Analysen mit Korrektur von Störgrößen Indirekte Evidenz: Nur Survival für die gesamte AR-Gruppe angegeben, ohne einzelne Auflistung der HA, SMA und CT

²⁸ Autor, Jahr, Studienname, Journal

²⁹ Studientyp (RCT, ..., prospektiv vs. retrospektiv, welcher Teil war prospektiv?, univariabel vs. multivariabel), mono vs. multizentrisch, Anzahl, Rekrutierungszeit- und land

³⁰, Indikation, Alter, Geschlecht, Behandlungen, Ausmaß/ Befallsmuster je Gruppe, Waren Einschlusskriterien a priori festgelegt?

³¹ Tuschemarkierung/ Aufarbeitung der Resektionsränder und des Resektionspräparats

³² Gibt es Angaben zum follow-up (z.B. Dauer, Abstand zwischen Untersuchungen, verwendete Untersuchungen)? Ist das Follow-up vollständig, sind Angaben für alle eingeschlossenen Patienten verfügbar? Wenn nicht, für welchen Anteil werden Angaben berichtet?

³³ Gab es eine prospektive Planung, Sind Einschlusskriterien für Patienten prospektiv definiert und repräsentativ? Ist die Nachbeobachtungsperiode ausreichend lang und wird über alle Patienten berichtet? Ist das prognost. Merkmal klar definiert und gemessen? Wurden wichtige Störgrößen in das prognost. Modell aufgenommen? Wurde Behandlung nach Prognosestellung standardisiert durchgeführt?

Artikel ²⁸	Studientyp ²⁹	Patienten ³⁰	Prognost. Merkmal und Cut-off ³¹	Interventionen in beiden Gruppen	Endpunkte mit Nachverfolgungszeitraum ³²	Verzerrungsrisiko ³³ / Evidenzstufe
Yekebas 2008 Ann Surg	04/1994-07/2005 monozentrisch retrospektive Auswertung einer prospektiven Studie, Deutschland	N=585 , Alter 61 Jahre (Range 32 to 90), 60 % Männer, Indikation: potentiell kurativer pancreatic, ampullary and distal common bile duct (CBD) cancer Befallsmuster: histopathologisch bestätigtes pancreatic ductal adenocarcinoma/ampullary/distal bile duct carcinoma: 482 (82%)/54/49 R0/R1: 85,8%/14.2 % histopathologisch bestätigte Gefäßinvasion bei 77 von 100 Adenokarzinompatienten (77%) Behandlung: (siehe "Intervention in beiden Gruppen"); vaskuläre Resektion bei den 100 Patienten mit ductal Adenokarzinom (21%) keine adjuvante CTX; pancreaticoduodenectomy (c-PD): 47% pyloruspreserving pancreaticoduodenectomy (pp-PD): 30% distal splenopancreatectomy (DSP): 9% subtotal pancreatectomy (st-P): 7% total pancreatico-duodenectomy (t-PD): 6%	Gefäßinvasion ja/nein	449 (77%) erhielten Standard pancreatic resection und 136 (23%) erhielten en bloc vascular resection (VR+) wegen Infiltration pankreatischer maligner Tumore in Hauptgefäße 128 von 136 (VR+) erhielten portal oder superior mesenteric vein resection; 13 von 136 (VR+) erhielten Leberarterien- oder Sup. Mes. Arterien-Resektion; 5 von 136 (VR+) erhielten Kombination aus Resektion der mesenterico-portal axis und entweder Leberarterien- oder sup. mes. Arterien-Resektion;	Endpunkte: survival, in-hospital complication rates (Morbidität, Mortalität) median follow-up: 14 Monate (range 3-139)	2b- Indirekte Evidenz, nur Angaben zur allgemeinen Gefäßinvasion In die Survival-Analyse gingen nur die Patienten mit echtem pankreatischem Adenokarzinom ein (n=482) For survival analysis, 23 VR+ patients without vascular invasion in histopathology were pooled with VR-patients. This resulted in 405 patients without and 77 patients with vascular invasion representing the data base for further survival analysis The overall survival did not differ between mesenterico-portal versus arterial resection (data not shown, P = 0.41)
Boggi 2009 Surgery	retrospektive Studie; Italien; 11/1987 bis 12/2004	N= 110 (Study Group, SG); medianes Alter: 64.9 (37-84) 48,2% Männer Indikation: Pankreatektomie; individuals without evidence of distant metastasis at the time of surgery and with histologically or cytologically proven diagnosis of	Isolated arterial resection vs. Kontrolle mit Palliativtherapie	Pankreatektomie mit Resektion und Rekonstruktion der peripankreatischen Gefäße (PPV) vs. Palliated patients ohne Metastasen (Kontrolle1) vs.	Endpunkte: Morbidität, Mortalität, Median survival	2b- Wegen indirekter Evidenz : "Isolated arterial involvement: PC originating in the neck and/or medial body regions of the pancreas was

Artikel ²⁸	Studientyp ²⁹	Patienten ³⁰	Prognost. Merkmal und Cut-off ³¹	Interventionen in beiden Gruppen	Endpunkte mit Nachverfolgungszeitraum ³²	Verzerrungsrisiko ³³ / Evidenzstufe
		ductal adenocarcinoma of the pancreas Befallsmuster: ASA-class of risk (I, II, III, IV, V): 1,8,101,0,0 Patienten Tumordurchmesser: Median 4 cm (range 1.2-10.6); 39% erhielten Chemotherapie vor und nach OP; PPV-Infiltration bei 65% (64 Patienten), davon 26% infiltrierte Tunica Intima Behandlung: StudyGroup (SG): Pankreatektomie mit Resektion und Rekonstruktion peripankreatischer Gefäße (PPV); Untergruppe IVR (isolated venous resection) mit n=84 (von 110 SG)		„konventionelle“ Pankreatektomie (Kontrolle 2)		occasionally found to involve only the adjacent arteries (ie, common hepatic artery and/or celiac trunk). Additionally, pancreatic head cancers were sometimes found to encase replaced, or accessory, right hepatic arteries originating from the SMA. Involved arteries were resected en bloc with the specimen and reconstructed, when no or insufficient collateral supply was present.”
Oaissi 2010 World J Surg	retrospektiv, mono-zentrisch, 01/1977-09/2008	N=149 , Alter 63 Jahre (Range 36-85), 40 % Männer, Indikation: duktales Adenokarzinom der Pankreas Befallsmuster der Gruppe mit venöser Resektion (n= 59): mediane Tumorgröße: 3 cm (1-4.5); Tumor Grad Gx/G1/G2/G3/G4: 11.9%/22%/59.3%/0%/6.8%; Stage IA/IB/IIA/IIB/III/IV: 5.1%/11.9%/6.8%/55.9%/18.6%/1.7%; Lymphknotenstatus N0/N1/N2/N3: 27.1%/62.7%/8.5%/1.7%; Resektionsränder R0/R1: 57.6%/42.4% Befallsmuster der Gruppe mit arterieller Resektion (n=8): mediane Tumorgröße: 2.7 cm (1-4); Tumor Grad Gx/G1/G2/G3/G4: 0%/25%/62.5%/0%/12.5%; Stage IA/IB/IIA/IIB/III/IV: 0%/12.5%/12.5%/50%/25%/0%; Lymphknotenstatus N0/N1/N2/N3:	anterior SMA approach ja/nein	3 Gruppen: Gruppe A: keine Gefäßresektion; Gruppe B: Venenresektion und Gruppe C: Arterienresektion	mean follow-up: 41 Monate median follow-up: 17 Monate (range 2-167) bis zu 10 Jahre follow-up; long-term-follow-up verfügbar für 93% (139 Patienten)	2b

Artikel ²⁸	Studientyp ²⁹	Patienten ³⁰	Prognost. Merkmal und Cut-off ³¹	Interventionen in beiden Gruppen	Endpunkte mit Nachverfolgungszeitraum ³²	Verzerrungsrisiko ³³ / Evidenzstufe
		<p>37.5%/50%/12.5%/0%; Resektionsränder R0/R1: 50%/50%</p> <p>Befallsmuster ohne Gefäßinvasion (n=82): mediane Tumorgröße: 2.20 cm (0.5-5.6); Tumor Grad Gx/G1/G2/G3/G4: 4.9%/36.6%/52.4%/6.1%/0%; Stage IA/IB/IIA/IIIB/III/IV: 8.5%/15.9%/25.6%/45.1%/0%/4.8%; Lymphknotenstatus N0/N1/N2/N3: 31.7%/51.2%/13.4%/3.7%; Resektionsränder R0/R1: 86.6%/13.4%</p> <p>Behandlung: Pancreatoduodenectomy: 136 (91.3%) Total pancreatectomy: 13 Patienten Anterior approach of SMA (superior mesenteric artery): 70 (47%) Extended lymphadenectomy: 63 (42.3%) coexistente Gefäßresektion: 67 (45%) mit isolierter Venenresektion bei 59 Patienten und coexistent venous and arterial Resektion bei 7 Patienten und isolierte Resektion der SMA bei 1 Patient; PV-Resektion: 24 SMV-Resektion: 24 PV- mit SMV-Resektion: 18 SMA-Resektion: 1 Patient allgem Leberarterien-Resektion: 2 Patienten </p>				
Bachellier 2011 <i>J Surg Onc</i>	01/1990-12/2008	<p>N= 52, Alter 64 Jahre (Range 35-84), 42.3% Männer,</p> <p>Indikation: Pankreasresektion (Adenokarzinom, histologisch bestätigt)</p> <p>Befallsmuster: 12 Patienten mit</p>	AR+ vs. AR- und patients who underwent a "major" AR of the celiac trunk or of the SMA, for a locally advanced "unresectable" tumor	Arterielle Resektion (Study-Group, AR+) vs. "matched group" (AR-) mit Pankreasresektion "26 consecutive patients"	followed every 6 months, no lost to follow-up	2b Arterielle Resektion bei Befall der common hepatic Artery, right or left hepatic arteries, SMA oder Trunkus coeliacus, wenn curative intent

Artikel ²⁸	Studientyp ²⁹	Patienten ³⁰	Prognost. Merkmal und Cut-off ³¹	Interventionen in beiden Gruppen	Endpunkte mit Nachverfolgungszeitraum ³²	Verzerrungsrisiko ³³ / Evidenzstufe
		<p>locally advanced „unresectable“ tumor, 40 mit resectable Borderline-Tumor</p> <p>UICC TNM stage II A/II B/ III: 4/36/12</p> <p>Regional lymph nodes metastases: 41 (78.8%) patients.</p> <p>Histopathological grading of pancreatic adenocarcinoma was well/moderately/poorly differentiated: 6/27/19</p> <p>Histopathologic data showed arterial wall invasion (hepatic artery / celiac trunk / SMA): 4/15.3% (2/1/1)</p> <p>perineural invasion in 15 (57.7%), and no invasion in 7 (27.0%).</p> <p>Portal vein wall invasion was confirmed by the final histopathology in 29 patients (70.7%).</p> <p>Behandlung:</p> <p>PD bei 24 Patienten, totale Pankreatektomie: 18 Patienten left splenopankreatektomie: 10 Patienten kombinierte SM-PV-Resektion: 41 (78.8%) additional Behandlungen: 8 neodjuvante CTX: 3 (5.7%) adjuvante CTX: 37 (71.1%)</p>	<p>table,” vs. patients who had “minor” AR of the hepatic artery or of its branches vs. no AR</p>	<p>who underwent a curative-intent pancreatic resection for adenocarcinoma of the pancreas with AR (AR+ group) were matched 1:1 to those of the whole series of pancreatic resection performed in our institution.”</p> <p>aus Tabelle1: Arterielle Resektion (Study-Group, AR+): 21 von 26 erhielten Portalvenenresektion vs. “matched group” (AR-) mit Pankreasresektion: 20 von 26 erhielten Portalvenenresektion</p>		
Shrikhande 2011 Langen-	Retrospektive Analyse einer prospektiven Datenbank	<p>N = 44; Alter 51 Jahre (range 19-76), 70.5 % Männer</p> <p>Indikation: Pankreaskarzinom mit</p>	<p>Resektion der Art. mes.sup.</p>	<p>Sup. Mes. Artery first approach along with uncinate dissection vs.</p>	<p>Endpunkte: Prä-OP-Daten, Intra-OP-Daten, histologische Diagnose, pathologi-</p>	<p>4</p> <p>Keine Nachverfolgung nach Entlassung aus dem</p>

Artikel ²⁸	Studientyp ²⁹	Patienten ³⁰	Prognost. Merkmal und Cut-off ³¹	Interventionen in beiden Gruppen	Endpunkte mit Nachverfolgungszeitraum ³²	Verzerrungsrisiko ³³ / Evidenzstufe
becks	06/2009-04/2010	Infiltration der Sup. Mes. Artery Befallsmuster: 2 positive Resektionsränder Tumor periampullär/ Kopf/uncinate process/ Nacken/duodenal: 21/12/8/1/2 node-negative disease: 48% Behandlung: 30 Patienten erhielten Sup. Mes. Artery first approach along with uncinate dissection; 14 Patienten erhielten uncinate process first approach		uncinate process first approach	sche Daten, post-OP-Krankenhausaufenthalt, post-OP Mortalität und Morbidität während Krankenhaus-aufenthalt;	Krankenhaus

Tabelle 3.1.3.4b: Ergebnisse aktueller prognostischer Studien zur Resektionsmöglichkeit bei Infiltration der Art. mes.sup.

Artikel	n	Prognost. Merkmal	Anzahl der Patienten mit prog. Merkmal	Ergebnisse aus univariater Analyse		Ergebnisse aus multivariater Analyse		Nebenwirkungen durch Sektion des Tumors therapieassoziierte Todesfälle und Komplikationen (alle in % der behandelten Patienten)
				p-Wert	Median /HR (95%-CI) / ÜL Raten	p-Wert	Median /HR (95%-CI) / ÜL Raten	
Wang 2008	214	VR (vein resection) vs. VP (vascular adhesion/invasion) vs. AR (artery resection) vs. AP (artery adhesion / invasion)	61 / 89 / 19 / 45	AR vs. AP p=0.008 VR vs. VP p=0.103	13 Monate / 12 Monate / 7 Monate/ 9 Monate 1-/2-Jahr OS: 56±6% / 24%±6% 52±5% / 23±4% 16 ± 8% / 0% 40%±7% / ? 3- / 5-Jahr OS: 19 ±5% / 13 ±4% 11±3% / 1±1% 0% 10±5% / 0%			overall complications (AR-Gruppe): 36.8 % 15.8% post-OP Blutungen, 5.3% Thrombose, 21.1% Pancreatic fistula, 5.3% DGE Reoperation: 15.8% post-OP Krankenhausaufenthalt: 18 ± 7 Tage
Yekebas 2008	482	Gefäßinvasion ja/nein	77/405	0.856 0.9	15 Monate /16 Monate (11.2–18.8)/ (14.0–17.9) 2- und 5-OS-ÜL: 33.7% und 14.6% / 35.9% und 17%	0.569 	RR: 1.063 (0.860–1.315)	Peri-OP Mortalität total (n=585)/mit (n=136)/ohne Gefäßinvasion (n=449): 3.9%/3.7%/4.0% (P=0.895) medical complications total (n=585)/mit (n=136)/ohne Gefäßinvasion (n=449): 16.2%/15.4/16.5% (P-Wert für Surgical morbidity: 0.719 OP-Dauer: 360 Minuten (220-520)/350 (220-520) /360 (250-500), P=0.23
Boggi 2009	72	Isolated arterial resection vs. Kontrolle mit Palliativtherapie	12/60	0.002	18 Monate/ 6 Monate			

Oassi 2010	146	Anterior SMA-approach ja/nein	68/78	0.012	HR DFS: 0.613 (0.418-0.899)	0.064	HR DFS: 1.631 (0.972-2.735)	
Bachelier 2011	52	Arterial resection yes vs. no	26/26	OS: 0.581 DFS: 0.637	17 Monate / 12 Monate 1- und 3- Jahres-OS: 65.9% und 22.0% / 50% und 17.6% 1- und 3 – Jahres DFS: 31.6% und 5.3% / 35.4% und 10.1%	N.A.	N.A.	aktuelle long-time-survival-rate: 15.3%
		patients who underwent a “ major ” AR of the celiac trunk or of the SMA, for a locally advanced “unresectable,” vs. patients who had “ minor ”AR of the hepatic artery or of its branches vs. no AR	12 / 14	0.773	3 years OS: 25.9% vs. 9.5% vs. 17.6%	N.A.	N.A.	
	52	Arterial wall invasion (yes vs. no)			0.006	RR 4.97 (1.58-16.66)		
Shrikhande 2011	44	Sup. Mes. Artery first approach along with uncinate dissection vs. uncinate process first approach	30/14					mediane OP-Zeit: 457.5 Minuten/450 Minuten (range 330-630 Minuten/ 360-540 Minuten) Overall Komplikationsrate 14/44 (31.8%) medianer Krankenhausaufenthalt: 13 Tage (range 9-61) Mortalität: 2/44 (4.5%)

Referenzen

- Bachellier, P., E. Rosso, et al. (2011). "Is the need for an arterial resection a contraindication to pancreatic resection for locally advanced pancreatic adenocarcinoma? a case-matched controlled study." Journal of Surgical Oncology 103(1): 75-84.
- Boggi, U., M. Del Chiaro, et al. (2009). "Prognostic implications of tumor invasion or adhesion to peripancreatic vessels in resected pancreatic cancer." Surgery 146(5): 869-881.
- Ouaissi, M., C. Hubert, et al. (2010). "Vascular reconstruction during pancreateoduodenectomy for ductal adenocarcinoma of the pancreas improves resectability but does not achieve cure." World J Surg 34(11): 2648-2661.
- Shrikhande, S. V., S. G. Barreto, et al. (2011). "Superior mesenteric artery first combined with uncinate process approach versus uncinate process first approach in pancreateoduodenectomy: a comparative study evaluating perioperative outcomes." Langenbeck's Archives of Surgery: 1-8.
- Wang, C., H. Wu, et al. (2008). "Pancreaticoduodenectomy with vascular resection for local advanced pancreatic head cancer: a single center retrospective study." J Gastrointest Surg 12(12): 2183-2190.
- Yekebas, E. F., D. Bogoevski, et al. (2008). "En bloc vascular resection for locally advanced pancreatic malignancies infiltrating major blood vessels: perioperative outcome and long-term survival in 136 patients." Ann Surg 247(2): 300-309.

Ausgeschlossene Studien (mit Gründen)

- Chua, T. C. and A. Saxena (2010). "Extended pancreaticoduodenectomy with vascular resection for pancreatic cancer: a systematic review." J Gastrointest Surg 14(9): 1442-1452 (keine zusammenfassende Metaanalyse).
- Kurosaki, I., M. Minagawa, et al. (2011). "Left posterior approach to the superior mesenteric vascular pedicle in pancreaticoduodenectomy for cancer of the pancreatic head." Journal of the Pancreas 12(3): 220-229. (historischer Vergleich)

Nachfolgende Evidenztabelle bezieht sich auf folgende Fragen:

3.1.3.5 Infiltration der Pfortader

Ggf.: Bis zu welchem Infiltrationsausmaß ist eine Resektion möglich?

Insgesamt wurden 19 Studien zum Thema auf der Grundlage des Titel- und Abstractscreenings gefunden und eingeschlossen. Sechs Studien wurden mit dem Evidenzniveau 2b beurteilt, vier Studien wegen indirekter Evidenz oder fehlenden Angaben zur Nachbeobachtungszeit mit dem Evidenzniveau 2b-und drei weitere Studie wurden aufgrund fehlender Adjustierung für prognostische relevante Störgrößen mit dem Evidenzniveau 4 bewertet.

Ausgeschlossen wurden drei Reviews (zwei ohne zusammenfassende Metaanalyse und ein Review ohne systematische Suche), zwei Studien ohne Vergleichsgruppe und eine in italienischer Sprache veröffentlichte Studie.

Tabelle 3.1.3.5a: Studienbeschreibung: Aktuelle Studien zur Resektionsmöglichkeit bei Infiltration der Pfortader

Artikel ³⁴	Studientyp ³⁵	Patienten ³⁶	Prognost. Merkmal und Cut-off ³⁷	Interventionen in beiden Gruppen	Endpunkte mit Nach-verfolgungszeitraum ³⁸	Verzerrungs-risiko ³⁹ / Evidenzstufe
Al-Haddad 2007 J Gastrointest Surg	Retrospektive, monozentrische Studie 02/1998-02/2005	N=104 , Alter 71 Jahre (Range 39-89), 56% Männer, Indikation: pancreatic adenocarcinoma Befallsmuster R-Gruppe/VR-Gruppe/P-Gruppe: advanced T-Stage (T3-4): 48%/91%/100%, nodal metastasis: 48%/59%/21%, distant metastasis: 4%/5%/61%, duktales Adenokarzinom: n=42/17/27 histologische Bestätigung einer Infiltration von PV oder SMV (von n=22) ja/nein/no data: 14 (64%) / 5 (23%) / 3 (14%) Behandlung R-Gruppe/VR-Gruppe/P-Gruppe:PD: 70%/86%/N.A., Totale Pankreatektomie: 11%/9%/-, distale PD: 19%/5%/- Adjuvante/Palliativtherapie: 52%/59%/85%, Chemoradiotherapie: 44%/55%/82%, nur CTX: 6%/4%/0%, nur Radiotherapie: 2%/0/0	Survival mit/ohne Gefäßresektion (R-Gruppe vs. VR-Gruppe vs. P-Gruppe) R-Gruppe vs. VR-Gruppe 3-Jahres-Survival P-Gruppe vs. VR-Gruppe PV oder SMV-Rekonstruktion (R- vs. VR-Gruppe) Resektion (R- und VR vs. P-Gruppe)	VR-Gruppe erhielt Gefäßrekonstruktion der SMV und PV vs. Zwei Kontrollgruppen: Palliativtherapie (n=28; P-Gruppe) vs. exploratory laparatomy mit pancreatectomy ohne need for PV oder SMV-Rekonstruktion (n=54; R-Gruppe)	Endpunkte: Survival median follow-up für R-, VR- und P-Gruppe: 339, 264, 130 Tage	2b
Fukuda 2007 Archives Surg	retrospektive klinische Studie 01/1990-12/2002	N=121 , ≤70/>70 Jahre: 86/35 ,48 % Männer, Indikation: kurative* Pankreasresektion bei duktalem Adenokarzinom (*definiert als makroskopisch und mikroskopisch	PV-Resektion (nein/ja) PV-Invasion (negativ/positiv) Tiefe der PV-Invasion:	37 (30.6%) mit PV-Resektion, 84 ohne PV-Resektion	Endpunkte: Survival, predictive factors for the depth of Portalvenenwand-Invasion (Mortalität, Morbidität)	2b

³⁴ Autor, Jahr, Studienname, Journal

³⁵ Studientyp (RCT, ..., prospektiv vs. retrospektiv, welcher Teil war prospektiv?, univariabel vs. multivariabel), mono vs. multizentrisch, Anzahl, Rekrutierungszeit- und land

³⁶, Indikation, Alter, Geschlecht, Behandlungen, Ausmaß/ Befallsmuster je Gruppe, Waren Einschlusskriterien a priori festgelegt?

³⁷ Tuschemarkierung/ Aufarbeitung der Resektionsränder und des Resektionspräparats

³⁸ Gibt es Angaben zum follow-up (z.B. Dauer, Abstand zwischen Untersuchungen, verwendete Untersuchungen)? Ist das Follow-up vollständig, sind Angaben für alle eingeschlossenen Patienten verfügbar? Wenn nicht, für welchen Anteil werden Angaben berichtet?

³⁹ Gab es eine prospektive Planung, Sind Einschlusskriterien für Patienten prospektiv definiert und repräsentativ? Ist die Nachbeobachtungsperiode ausreichend lang und wird über alle Patienten berichtet? Ist das prognost. Merkmal klar definiert und gemessen? Wurden wichtige Störgrößen in das prognost. Modell aufgenommen? Wurde Behandlung nach Prognosestellung standardisiert durchgeführt?

Artikel ³⁴ ³⁵	Studientyp	Patienten ³⁶	Prognost. Merkmal und Cut-off ³⁷	Interventionen in beiden Gruppen	Endpunkte mit Nach- ver- folgungszeitraum ³⁸	Verzerrungs-risiko ³⁹ / Evidenzstufe
		<p>bestätigte komplettne Tumorbeseitigung mit klaren Pankreas-, Gallenblasen-, PV- und Retroperitoneum-rändern)</p> <p>Befallsmuster:</p> <p>PV-Invasion negativ/positiv: n= 93/n=28 Invasion der Adventitia/Tunica media oder intima: n=106/n=15 Tumogröße ≥45/<45: n=34/n=87 Lymphknotenmetastasen: 80 Personen Tumordifferenzierung well or moderate/poor: n=99/n=22</p> <p>Behandlung:</p> <p>PD: n=101, TP: n=20</p>	keine Invasion der Adventitia/ Invasion der Tunica media oder intima		mean±SD follow-up was 22.0±20.2 months (range, 1.8-104.5 months; median, 13.6 months).	
Kurosaki 2008 J Gastroin- test Surg	Retro-spek- tive Studie 1987-2005	<p>N=251, Alter 66 Jahre, 60% Männer,</p> <p>Indikation: cholangiocarcinoma, gallbladder carcinoma, invasive ductal carcinoma for pancreas</p> <p>Befallsmuster: pancreatic head carcinoma (n=77), biliary tract carcinoma (n= 174), hilar cholangiocarcinoma (49), intrahepatic cholangiocarcinoma involving the porta hepatis (n=7), and DGC (118), middle and distal cholangiocarcinoma (68) and gallbladder carcinoma (50)</p> <p>Behandlung(total): major hepatectomy (n=73); pancreaticoduodenectomy (n= 156); hepatopancreaticoduodenectomy (n=22)</p>	<p>VR bei pancreatic head carcinoma (nein/ja)</p> <p>Mikroskopische Portalveneninvagination aller Patienten, die VR erhielten (nein/ja)</p> <p>Mikroskopische Portalveneninvagination bei pancreatic head carcinoma (nein/ja)</p> <p>Mikroskopische Invasion der Venenwand (nein/ja)</p>	<p>Mit superior mesenteric and portal vein resection: major hepatectomy with hilar dissection (n=11; 15%), pancreaticoduodenectomy with or without gastrectomy (n=38; 24.4%), pancreaticoduodenectomy (n=7; 31.8%)</p> <p>ohne superior mesenteric and portal vein resection: major hepatectomy (n=62; 75%), pancreaticoduodenectomy with or without gastrectomy (n=118; 75.6%), hepatopancreaticoduodenectomy (n=15; 68.2%)</p>	<p>Endpunkte: prä-OP Variablen, surgical findings, post-OP Komplikationen während Krankenhausaufenthalt, Survival</p>	2b
Illuminati 2008 Surg Today	Mono-zentri- sche Studie, retrospek- tiver Ver-	N=108	portal or superior mesenteric vein involvement vs. Keine Gefäßinvasion		Endpunkte: Overall Survival (median und 3-Jahres-survival)	4 Univariate Analyse ohne Kontrolle von Störgrö-

Artikel ³⁴	Studientyp ³⁵	Patienten ³⁶	Prognost. Merkmal und Cut-off ³⁷	Interventionen in beiden Gruppen	Endpunkte mit Nach-verfolgungszeitraum ³⁸	Verzerrungs-risiko ³⁹ / Evidenzstufe
	gleich 01/2000 bis 12/2005, Italien	mesenteric vein over a length of 2 cm or less(n=29)/Pankreasresektion bei Patien- ten ohne Gefäßinvasion (n=108) Befallsmuster: Primärtumor Pankreas- kopf/Pankreaskörper und Schwanz: 66%/34% (nur Gruppe mit Gefäßinva- sion) ØTumogröße (prä- OP-scan): 3.1 cm (range 1.7-9.9) (nur Gruppe mit Gefäßinvasion) ductal Adenokarzinom: 27(nur Gruppe mit Gefäßinvasion) Behandlung: patients underwent a macroscopically curative resection of the pancreas en bloc with the involved segment of the vein/ k.A. zu Behandlung der Gruppe ohne Gefäßinvasion Pankreatikoduodenektomie: 17 von 29 Patienten(nur Gruppe mit Gefäßinvasion) totale Pankreatektomie: 2 von 29 Patien- ten(nur Gruppe mit Gefäßinvasion) The venous reconstruction procedures included a tangential resection/ lateral suture in 15 cases, a resection/end-to- end anastomosis in 11, and a resec- tion/patch closure in 3 (nur Gruppe mit Gefäßinvasion).			28 patients who survived the operation were followed up for a mean period of 19 months (range 3– 52months). No patient was lost to follow-up	ßen
Wang 2008 J. Gastroin- test Surg	Mono-zentri- sche, retro- spektive Studie, China, 01/1996- 12/2005	von 214 Patienten mit Pankreaskopfkarzi- nom, 80 davon erhielten vaskuläre Resektion (134 erhielten Palliativthera- pie); Venenresektion (VR) bei 61 Patien- ten; N= 61 (VR) , Alter 52 Jahre (Range 28- 72), 62.3 % Männer, Indikation: „adhered/invaded“ portal vein/superior mesenteric vein/superior	„adhered/invaded“ portal vein/superior mesenteric vein/superior mesenteric portal vein confluence	die VR-Gruppe erhielt Pankreatikoduodenekto- mie mit „independent“ Venenresektion	Endpunkte: QuoL, survival, treatment cost follow-up: bis 12/2007 oder bis zum Tod	4 Wegen fehlender multivariater Analysen mit Korrektur von Stör- größen Indirekte Evidenz: Nur Survival für die gesamte AR-Gruppe angegeben,

Artikel ³⁴ ³⁵	Studientyp	Patienten ³⁶	Prognost. Merkmal und Cut-off ³⁷	Interventionen in beiden Gruppen	Endpunkte mit Nach- ver- folgungszeitraum ³⁸	Verzerrungs-risiko ³⁹ / Evidenzstufe
		mesenteric portal vein confluence; ohne totale Okklusion der Gefäße; (wenn Tumor formed convexity against the vein or tumor partially encircled the vein; Länge der involvierten Vene < 5 cm) Befallsmuster: Siehe Indikation; Adenokarzinom: 91.8% tatsächliche Blutgefäßinvasion bei 68.9 % Behandlung: Pankreatikoduodenektomie mit arterieller Resektion (Fortner Typ II OP); evtl. zusätzliche Venenresektion; post-OP systemische Chemotherapie mit Gemcitabine				ohne einzelne Auflistung der HA, SMA und CT
Yekebas 2008 Ann Surg	04/1994- 07/2005 monozent- risch retrospektive Auswertung einer pros- pektiven Studie, Deutschland	N=585 , Alter 61 Jahre (Range 32 to 90), 60 % Männer, Indikation: potentiell kurativer pancreatic, ampullary and distal common bile duct (CBD) cancer Befallsmuster: histopathologisch bestätigtes pancreatic ductal adenocarcinoma/ampullary/distal bile duct carcinoma: 482 (82%)/54/49 R0/R1: 85,8%/14.2 % histopathologisch bestätigte Gefäßinvasion bei 77 von 100 Adenokarzinompatienten (77%) Behandlung: (siehe "Intervention in beiden Gruppen"); vaskuläre Resektion bei den 100 Patienten mit ductal Adenokarzinom (21%) keine adjuvante CTX; pancreaticoduodenectomy (c-PD): 47%	Gefäßinvasion ja/nein	449 (77%) erhielten Standard pancreatic resection und 136 (23%) erhielten en bloc vascular resection (VR+) wegen Infiltration pankreatischer maligner Tumore in Hauptgefäß 128 von 136 (VR+) erhielten portal oder superior mesenteric vein resection; 13 von 136 (VR+) erhielten Leberarterien- oder Sup. Mes. Arterien-Resektion; 5 von 136 (VR+) erhielten Kombination aus Resektion der mesenterico-portal axis und entweder Leberarterien- oder sup. mes. Arterien-Resektion;	Endpunkte: survival, in-hospital complication rates (Morbidität, Mortalität) median follow-up: 14 Monate (range 3-139)	2b- Indirekte Evidenz, nur gaben zur allgemeinen Gefäßinvasion In die Survival-Analyse gingen nur die Patienten mit echtem pankreatischem Adenokarzinom ein (n=482) For survival analysis, 23 VR+□ patients without vascular invasion in histopathology were pooled with VR-□ patients. This resulted in 405 patients without and 77 patients with vascular invasion representing the data base for further survival analysis The overall survival did

Artikel ³⁴ ³⁵	Studientyp	Patienten ³⁶	Prognost. Merkmal und Cut-off ³⁷	Interventionen in beiden Gruppen	Endpunkte mit Nach- ver- folgungszeitraum ³⁸	Verzerrungs-risiko ³⁹ / Evidenzstufe
		pyloruspreserving pancreaticoduodenectomy (pp-PD): 30% distal splenopancreatectomy (DSP): 9% subtotal pancreatectomy (st-P): 7% total pancreatico-duodenectomy (t-PD): 6%				not differ between mesenterico-portal versus arterial resection (data not shown, P = 0.41).
Boggi 2009 Surgery	retrospektive Studie; Italien; 11/1987 bis 12/2004	N= 110 (Study Group, SG); medianes Alter: 64.9 (37-84) 48,2% Männer Indikation: Pankreatektomie; individuals without evidence of distant metastasis at the time of surgery and with histologically or cytologically proven diagnosis of ductal adenocarcinoma of the pancreas Befallsmuster: ASA-class of risk (I, II, III, IV, V):1,8,101,0,0 Patienten Tumordurchmesser: Median 4 cm (range 1.2-10.6); 39% erhielten Chemotherapie vor und nach OP; PPV-Infiltration bei 65% (64 Patienten), davon 26% infiltrierte Tunica Intima Behandlung: StudyGroup (SG):Pankreatektomie mit Resektion und Rekonstruktion peripankreatischer Gefäße (PPV); Untergruppe IVR (isolated venous resection) mit n=84 (von 110 SG)	Isolated venous resection vs. Kontrolle mit Palliativtherapie	Pankreatektomie mit Resektion und Rekonstruktion der peripankreatischen Gefäße (PPV) vs. Palliated patients ohne Metastasen (Kontrolle1) vs. „konventionelle“ Pankreatektomie (Kontrolle 2)	Endpunkte: Morbidität, Mortalität, Median survival	2b- Wegen indirekter Evidenz Isolated venous involvement: The vein presumed to be involved was dissected off above and below the tumor. In the majority of patients, the retroperitoneal margin was approached from the left, medial, aspect of the superior mesenteric vein (SMV). Dissecting from distal to proximal, the right lateral aspect of the superior mesenteric artery (SMA) was then skeletonized down to the aorta leaving the pancreatic head attached only to the involved venous segment (Fig 2).
Kaneoka 2009 J Surg	Retrospektiv aus einer Datenbank mit 221 Pancreaskarzi-	N= 84 , Alter 65 Jahre (Range 42-84), 60% Männer, Indikation: invasive pancreatic head adenocarcinoma	Portalvenenresektion (PVR) ja/nein	mit Portalvenenresektion: 42 Patienten, davon erhielten 27 Segmentale Resektion mit end-to-end anastomosis und 15 Pati-	Endpunkte: Histopathologische Parameter und Survival um prognostische Faktoren zu bestätigen; Mortalität, Morbidität;	2b

Artikel ³⁴	Studientyp ³⁵	Patienten ³⁶	Prognost. Merkmal und Cut-off ³⁷	Interventionen in beiden Gruppen	Endpunkte mit Nach-verfolgungszeitraum ³⁸	Verzerrungs-risiko ³⁹ / Evidenzstufe
	nom-Patienten Mono-zentrisch 03/1993-12/2006, Japan	Befallsmuster: Tumorgröße (<2, 2-4, >4): 12, 55, 17 Patienten Tumorgrad well/moderately/poor: 24/54/6 Patienten histologisch Node positiv ohne PVR/mit PVR : 43%/62% histologisch Plexus positiv ohne/mit PVR: 0/29% histologisch PV/SMV positiv: 0/60% R0 bei ohne/mit PVR: 93%/76% R1 bei ohne/mit PVR: 3/10 Patienten Stage (UICC) IA/iB/IIA/IIB/III/IV: 6/6/30/38/2/4 Patienten Behandlung: PD: n=21 pyloruspreserving PD: n=63 keine neoadjuvante CTX intra-OP radiation: 13 Patienten adjuvante Therapie: 6 Patienten		enten autologous vein graft using an external iliac vein	mean follow-up: 32 ± 4 Monate (range, 0-150)	
Toomey 2009 Am Surg.	retrospektive Analyse einer prospektiven Datenbank mono-zentrisch, ab 1995, Florida, USA	N= 220 , Alter 68.68 ± Jahre, 49% Männer, Indikation: Pankreas-Adenokarzinom Befallsmuster: R0/R1: 165/55 Patienten Stage IA/IB/IIA/IIB: 10/40/43/127 Patienten Behandlung: Resektion der Portalvene oder der major tributaries: n=48 (Portalvene: n=38; SMV: n=9, Milz: n=1) Rekonstruktion mittels lateral venorrhaphy/saphenous vein grafts/end-to-end-anastomosis: 44/2/2 Patienten	mit/ohne Portalvenenresektion R1/R0 bei mit/ohne Portalvenenresektion	Pankreatikoduodenektomie bei allen Patienten mit/ohne Portalvenenresektion	Endpunkte: survival	4 Wegen fehlender multivariater Analysen mit Korrektur von Störgrößen 7 Patienten (20%) in der PVR-Gruppe überlebten länger als 4 Jahre, davon lebten 2009 noch 4;

Artikel ³⁴ ³⁵	Studientyp ³⁵	Patienten ³⁶	Prognost. Merkmal und Cut-off ³⁷	Interventionen in beiden Gruppen	Endpunkte mit Nach- ver- folgungszeitraum ³⁸	Verzerrungs-risiko ³⁹ / Evidenzstufe
Chakravar- ty 2010 wjg	retrospektiv, mono-zent- risch 01/1996- 12/2006	N=87, Alter (Range), % Männer Indikation: stage II Adenokarzinom des Pankreadkopfes und uncinate process Befallsmuster: Tumor pankreatic head/uncinate process/beides: n=80/1/6, Stage IIA/IIB: n=14/73 Resektionsränder Negativ/Positiv: n=58/27 Differenzierung well/moderately/poorly: n=25/45/15 Behandlung der Gruppe mit PV-SMV- Resektion: 12 von 87 (13.8%) erhielten PD (n=8) oder PPPD (n=4); curative OP war bei allen 12 Patienten möglich (100%) adjuvante Therapie: 66.7% Behandlung der Gruppe ohne PV-SMV- Resektion: 75 von 87 (86.2 %) erhielten PD (n=57) oder PPPD (n=18) curative OP war nur bei 48 Patienten möglich (64.0%) adjuvante Therapie: 54.7% adjuvante Therapie aller Patienten (ja/nein): 53/32	mit/ohne PV - SMV Resektion Kurabilität bei mit/ohne Gefäßresektion	mit vs. ohne PV-SMV- Resektion	median time of follow-up: 10.36 Monate (range 1.18- 61.68), last follow up date: 12/2007	2b- Indirekte Evidenz: PV und SMV nicht ge- trennt ausgewertet.
Oaissi 2010 World J Surg	retrospektiv, mono-zent- risch, 01/1977- 09/2008	N=149 , Alter 63 Jahre (Range 36-85), 40 % Männer, Indikation: duktales Adenokarzinom Befallsmuster der Gruppe mit venöser Resektion (n= 59):medianeTumorgröße: 3 cm (1-4.5); Tumor Grad Gx/G1/G2/G3/G4: 11.9%/22%/59.3%/0%/6.8%; Stage IA/IB/IIA/IIIB/III/IV: 5.1%/11.9%/6.8%/55.9%/18.6%/1.7%; Lymphknotenstatus N0/N1/N2/N3:	Venöse Resektion ja/nein	3 Gruppen: Gruppe A: keine Gefäßre- sekction; Gruppe B: Venenresektion und Gruppe C: Arterienre- sekction	mean follow-up: 41 Monate median follow-up: 17 Monate (range 2-167) bis zu 10 Jahre follow-up; long-term-follow-up ver- fügbar für 93% (139 Patien- ten)	2b

Artikel ³⁴ ³⁵	Studientyp	Patienten ³⁶	Prognost. Merkmal und Cut-off ³⁷	Interventionen in beiden Gruppen	Endpunkte mit Nach- ver- folgungszeitraum ³⁸	Verzerrungs-risiko ³⁹ / Evidenzstufe
		<p>27.1%/62.7%/8.5%/1.7%; Resektionsränder R0/R1: 57.6%/42.4%</p> <p>Befallsmuster der Gruppe mit arterieller Resektion (n= 8): mediane Tumorgröße: 2.7 cm (1-4); Tumor Grad Gx/G1/G2/G3/G4: 0%/25%/62.5%/0%/12.5%; Stage IA/IB/IIA/IIB/III/IV: 0%/12.5%/12.5%/50%/25%/0%; Lymphknotenstatus N0/N1/N2/N3: 37.5%/50%/12.5%/0%; Resektionsränder R0/R1: 50%/50%</p> <p>Befallsmuster ohne Gefäßinvasion (n=82): mediane Tumorgröße: 2.20 cm (0.5-5.6); Tumor Grad Gx/G1/G2/G3/G4: 4.9%/36.6%/52.4%/6.1%/0%; Stage IA/IB/IIA/IIB/III/IV: 8.5%/15.9%/25.6%/45.1%/0%/4.8%; Lymphknotenstatus N0/N1/N2/N3: 31.7%/51.2%/13.4%/3.7%; Resektionsränder R0/R1: 86.6%/13.4%</p> <p>Behandlung: Pancreatoduodenectomy: 136 (91.3%) Total pancreatectomy: 13 Patienten Anterior approach of SMA (superior mesenteric artery): 70 (47%) Extended lymphadenectomy: 63 (42.3%) coexistente Gefäßresektion: 67 (45%) mit isolierter Venenresektion bei 59 Patienten und coexistent venous and arterial Resektion bei 7 Patienten und isolierte Resektion der SMA bei 1 Patient; PV-Resektion: 24 SMV-Resektion: 24 PV- mit SMV-Resektion: 18 SMA-Resektion: 1 Patient allgem Leberarterien-Resektion: 2 Patienten </p>				

Artikel ³⁴ ³⁵	Studientyp	Patienten ³⁶	Prognost. Merkmal und Cut-off ³⁷	Interventionen in beiden Gruppen	Endpunkte mit Nach- ver- folgungszeitraum ³⁸	Verzerrungs-risiko ³⁹ / Evidenzstufe
Bachellier 2011 J Surg Onc	01/1990- 12/2008	N= 52, Alter 64 Jahre (Range 35-84), 42.3% Männer, Indikation: Pankreasresektion (Adenokarzinom, histologisch bestätigt) Befallsmuster: 12 Patienten mit locally advanced „unresectable“ tumor, 40 mit resectable Borderline-Tumor UICC TNM stage II A/II B/ III: 4/36/12 Regional lymph nodes metastases: 41 (78.8%) patients. Histopathological grading of pancreatic adenocarcinoma was well/moderately/poorly differentiated: 6/27/19 Histopathologic data showed arterial wall invasion (hepatic artery / celiac trunk / SMA): 4/15.3% (2/1/1) perineural invasion in 15 (57.7%), and no invasion in 7 (27.0%). Portal vein wall invasion was confirmed by the final histopathology in 29 patients (70.7%). Behandlung: PD bei 24 Patienten, totale Pankreatektomie: 18 Patienten left splenopankreatektomie: 10 Patienten kombinierte SM-PV-Resektion: 41 (78.8%) additional Behandlungen: 8 neodjuvante CTX: 3 (5.7%) adjuvante CTX: 37 (71.1%)	AR+ vs. AR- und patients who underwent a “major” AR of the celiac trunk or of the SMA, for a locally advanced “unresectable,” vs. patients who had “minor” AR of the hepatic artery or of its branches vs. no AR	Arterielle Resektion (Study-Group, AR+) vs. “matched group” (AR-) mit Pankreasresektion “26 consecutive patients who underwent a curative-intent pancreatic resection for adenocarcinoma of the pancreas with AR (AR+ group) were matched 1:1 to those of the whole series of pancreatic resection performed in our institution.” aus Tabelle1: Arterielle Resektion (Study-Group, AR+): 21 von 26 erhielten Portalvenenresektion vs. “matched group” (AR-) mit Pankreasresektion: 20 von 26 erhielten Portalvenenresektion		2b Arterielle Resektion bei Befall der common hepatic Artery, right or left hepatic arteries, SMA oder Trunkus coeliacus, wenn curative intent
Han 2011 Pankreas	retrospektiv uni-und multivariate Analyse mono-zentrisch	N= 60 , Alter 63 Jahre (Range 42-83), 53 % Männer, Indikation: Adenokarzinom mit Portalvenen- und Sup. mes. Venen-Invasion (PV-SMV) und R0-Resektion Befallsmuster: histologische PV-SMV-Invasion bei n=15	PV/SMV-Invasion nein/ja Tiefe der PV/SMV-Invasion (keine Invasion/Adventitia und Media/Intima) Intima-Invasion (nein/ja)	PD mit/ohne PV-SMV-Resektion	Endpunkt: survival,	2b- Keine Information zur Follow-up Periode

Artikel ³⁴	Studientyp ³⁵	Patienten ³⁶	Prognost. Merkmal und Cut-off ³⁷	Interventionen in beiden Gruppen	Endpunkte mit Nach-verfolgungszeitraum ³⁸	Verzerrungs-risiko ³⁹ / Evidenzstufe
	08/2001-12/2007	(78.9%) von 19 PV-SMV-Resektionen (21% hatten nur fibröse Adhäsion) keine prä-OP festgestellten Metastasen, histopathologische Lymphknotenmetastasen: 75% (n=45) AJCC/UICC Stage T1/T2/T3: 5%/1.7%/93.3% (n=3/1/56) Differenzierung well/moderately/poorly: 8.3%/66.7%/ 16.7% (n=5/40/10) perineural/lymphatic/Blutgefäßinvasion: 90%/81.7%/55.0% (n=54/49/33) Tumogröße (≤ 3 / > 3): n= 31/ 29 mean Tumorsize: 3.1 cm (range 1.5-7.0) R0: 100% Behandlung: PV-SMV-Resektion: 31.7% (n=19), segmental mit end-to-end-Anastomosis/wedge: n=17/n=2 Patienten post-OP Chemoradiation (auf Basis von 5-Fluorouracil): 61.6 % (n=37) PD : 26.7% (n=16) ppPD: 66.7% (n=40) totale Pankreatektomie: 6.6% (n=4)				

Tabelle 3.1.3.5b: Ergebnisse aktueller prognostischer Studien zur Resektionsmöglichkeit bei Infiltration der Pfortader

Artikel	n	Prognost. Merkmal	Anzahl der Patienten mit prog. Merkmal	Ergebnisse aus univariater Analyse (OS)		Ergebnisse aus multivariater Analyse (OS)		Nebenwirkungen durch Sektion des Tumors therapieassoziierte Todesfälle und Komplikationen (alle in % der behandelten Patienten)
				p-Wert	Median /HR (95%-CI) / ÜL Raten	p-Wert	Median /HR (95%-CI) / ÜL Raten	
Al-Haddad 2007	104	Survival mit/ohne Gefäßresektion (R-Gruppe vs. VR-Gruppe vs. P-Gruppe)	54/22/28		1-, 2-, 3-, 4-, 5-Jahres Survival: 64.7% (50.2-79.2), 49.6% (33.5-65.7), 33.5% (14.9-52.1), 25.1 (5.1-45.1), 25.1 (5.1-45.1)/41.9% (19.4-64.4), 30.0% (8.6-51.4), 20.0% (0-41.4), 20% (0-41.4)/ 38.4% (16.4-60.4), 15.4% (0-34.0), 15.4 (0-34.0)			keiner der 76 Patienten mit Resektionen starb innerhalb der ersten 30 Tage nach OP. In der Palliativgruppe starben 2 Patienten innerhalb 30 Tagen nach OP.
	76	R-Gruppe vs. VR-Gruppe	54/22	0.18	33.5%/20%			
	50	3-Jahres-Survival P-Gruppe vs. VR-Gruppe	28/22	0.23	15%/20%			
	76	PV oder SMV-Rekonstruktion (R- vs. VR-Gruppe)	54/22			0.18	HR 1.80 (0.76-4.22)	
	104	Resektion (R- und VR vs. P-Gruppe)	76/28			0.23	HR 0.55 (0.20-1.47)	
Fukuda 2007	121	PV-Resektion (nein/ja)	84/37	0.55 (OS) 0.61 (DSF)	1- und 3-Jahres-OS (%): 63.4 und 28.4/47.7 und 26.8 1- und 3-Jahres-DSF (%): 46.6 und 17.4/ 30.3 und 16.9			Morbidität: 38.1%/32.4%, P=0.46 Mortalität: 2.4% (2/84)/2.7% (1/37), P=0.94
	121	PV-Invasion (negativ/positiv)	93/28	0.08 (OS) 0.23 (DSF)	1- und 3-Jahres-OS(%): 64.8 und 30.2/44.9 und 15.4 1- und 3-Jahres-DSF(%): 46.3 und 17.9/ 25.1 und 12.5			

Artikel	n	Prognost. Merkmal	Anzahl der Patienten mit prog. Merkmal	Ergebnisse aus univariater Analyse (OS)		Ergebnisse aus multivariater Analyse (OS)		Nebenwirkungen durch Sektion des Tumors
				p-Wert	Median /HR (95%-CI) / ÜL Raten	p-Wert	Median /HR (95%-CI) / ÜL Raten	
	121	Tiefe der PV-Invasion: keine Invasion der Adventitia/ Invasion der Tunica media oder intima	106/15	0.01 (OS) 0.02 (DSF)	1- und 3-Jahres-OS(%): 63.9 und 29.9/ 21.5 und 14.4 1- und 3-Jahres-DSF(%): 45.6 und 18.6/ 14.7 und 7.3	0.01 (OS) 0.02 (DFS)	HR (OS) 2.30 (1.21-4.37) HR (DFS) 2.05 (1.12-3.77)	therapieassoziierte Todesfälle und Komplikationen (alle in % der behandelten Patienten)
Kurosaki 2008	76	VR bei pancreatic head carcinoma (nein/ja)	42/34	0.3298	20.3 Monate / 20.0 Monate			median OP-Zeit (beide Gruppen): 510 Minuten Komplikationen (N= 251): therapieassoziierte Todesfälle und in-hospital deaths aller Patienten: 6% (15),
	54	Mikrosko-pische Portalvenen-invasion aller Patienten, die VR erhielten (nein/ja)	29/26 (?) (*unter Ausschluss 2 OP-Toter)			0.033	RiskRatio: 2.19 (1.06-4.51)	therapieassoziierte Todesfälle (mit/ohne VR): 3.6% (2) / 2.1% (4)
	76	Mikroskopische Portalvenen-invasion bei pancreatic head carcinoma (nein/ja)	62/14	0.0228	20.3 Monate /12.2 Monate			in-hospital deaths (mit/ohne VR): 3.6 (2)/3.6% (7) Morbiditätsrate bei Pankreas-kopf-Karzinom (mit/ohne VR): 34.3%/23.8%
	54	Mikroskopische Invasion der Venenwand (nein/ja)	28/26	0.0041	29.2 Monate (12.8-45.6)/ 12.2 Monate (0.0-29.6)			
Illuminati 2008	137	portal or superior mesenteric vein involvement vs. Keine Gefäßinvasion	29/108	p>0.05	19 Monate/21 Monate mean 3-Jahres survival: 17%/19%			operative Mortalität: 3.4%/3.7% operative Morbidität: 21%/19% mean OP-Dauer: 330 Minuten/220 Minuten mean post-OP Krankenhausaufenthalt: 16 Tage/18 Tage

Artikel	n	Prognost. Merkmal	Anzahl der Patienten mit prog. Merkmal	Ergebnisse aus univariater Analyse (OS)		Ergebnisse aus multivariater Analyse (OS)		Nebenwirkungen durch Sektion des Tumors
				p-Wert	Median /HR (95%-CI) / ÜL Raten	p-Wert	Median /HR (95%-CI) / ÜL Raten	
Wang 2008	214	VR (vein resection) vs. VP (vascular adhesion/ invasion) vs. AR (artery resection) vs. AP (artery adhesion / invasion)	61 / 89 / 19 / 45	AR vs. AP p=0.008 VR vs. VP p=0.103	13 Monate / 12 Monate / 7 Monate/ 9 Monate 1-/2-Jahr OS: 56±6% / 24%±6% 52±5% / 23±4% 16 ± 8% / 0% 40%±7% / ? 3- / 5-Jahr OS: 19 ±5% / 13 ±4% 11±3% / 1±1% 0% 10±5% / 0%			therapieassoziierte Todesfälle und Komplikationen (alle in % der behandelten Patienten) overall complications (VR-Gruppe): 22.9 % 0% post-OP Blutungen, 3.3% Thrombose, 16.4% Pancreatic fistula, 0% DGE, 3.3% Wundinfektion, 3.3 biliary leak Reoperation: 1.6% post-OP Krankenhausaufenthalt: 16 ± 5 Tage
Yekebas 2008	482	Gefäßinvasion ja/nein	77/405			0.569	RR 1.063 (0.860-1.315)	
Boggi 2009	142	Isolated venous resection vs. Kontrolle mit Palliativtherapie	82/60	< 0.001	9 Monate/18 Monate			
	96	IVR nein/ja	72/24		20 Monate (13-27)/ 15 Monate (12-18) 1,3,5-Jahres-ÜL: 70%,20%, 15%/56%/14%/14%			
Kaneoka 2009	84	mit vs. ohne Portalvenenresektion	42/42	0.039	26 Monate /12 Monate 5-Jahres-ÜL: 32%/17%			Morbidität: 33%/43%, P=0.37 Mortalität: 4.8%/0%, P=0.15 OP-Dauer: 342 ± 14 (160-555)/ 306 ± 14 (140-531), P=0.084

Artikel	n	Prognost. Merkmal	Anzahl der Patienten mit prog. Merkmal	Ergebnisse aus univariater Analyse (OS)		Ergebnisse aus multivariater Analyse (OS)		Nebenwirkungen durch Sektion des Tumors therapieassoziierte Todesfälle und Komplikationen (alle in % der behandelten Patienten)
				p-Wert	Median /HR (95%-CI) / ÜL Raten	p-Wert	Median /HR (95%-CI) / ÜL Raten	
	42	Länge der Portalvenenresektion kurz/lang (Short < 3 cm vs. Long ≥ 3 cm)	15/27	0.017	22 Monate /11 Monate 5-Jahres-ÜL: 39%/4%			
Toomey 2009	220	mit/ohne Portalvenen-resektion	48/172	0.84	18.26 ± 26 Monate/ 17.24 ± 24 Monate			peri-OP Mortalität: 0%/2.3% Mortalität im Krankenhaus: 4.2%/2.9%
	165	R0 mit/ohne Portalvenenresektion	35/130	0.79	20.28 ± 29.1/ 20.25±21.9 Monate			Survival R0/R1: 20/13 Monate, P<0.03
	55	R1 mit/ohne Portalvenen-resektion	13/42	0.74	15.17 ± 13.1/ 13.21 ± 30.9 Monate			
Chakravarty 2010	85	mit/ohne PV - SMV Resektion	12/73	0.994	1- und 3- Jahres-Survival: 50% und 16.7% / 44.4% und 12.2% median survival: 9.27 Monate (0.00-19.54) /10.36 Monate (7.87-12.86)	0.591	k.A.	Morbidität mit/ohne Gefäßresektion (n=12/75): 50%/40% Mortalität mit/ohne Gefäßresektion (n=12/75): 0/2.7%
	87	Kurabilität bei mit/ohne Gefäßresektion	12/75	0.015	100%/64%			
Oassi 2010	146	Venöse Resektion ja/nein	58/88	0.001	DFS; HR:0.518 (0.353-0.759)	0.011	DFS; HR:0.428 (0.223-0.821)	post-OP Komplikationen GradI und II/GradIII und IV/GradV(Tod): 30.5%/22%/1.7%
Han 2011	60	PV/SMV-Invasion nein/ja	45/15	0.045	median OS: 14/9 Monate, HR 1.937 (1.013-3.702)			OP-Dauer: 8.3 Stunden (range 5-13.5) median post-OP-Krankenhaus-

Artikel	n	Prognost. Merkmal	Anzahl der Patienten mit prog. Merkmal	Ergebnisse aus univariater Analyse (OS)		Ergebnisse aus multivariater Analyse (OS)		Nebenwirkungen durch Sektion des Tumors
				p-Wert	Median /HR (95%-CI) / ÜL Raten	p-Wert	Median /HR (95%-CI) / ÜL Raten	
Bachelier 2011	60	Tiefe der PV/SMV-Invasion (keine Invasion/Adventitia und Media/Intima)	45/10/5	0.068	median OS: 13/10/6 Monate, Adventitia und Media HR 1.646 (0.774-3.499)/Intima HR 2.888 (1.095-7.619)			therapieassoziierte Todesfälle und Komplikationen (alle in % der behandelten Patienten)
	60	Intima-Invasion (nein/ja)	55/5	0.032	median OS: 12/6 Monate, HR 2.852 (1.097-7.413)	0.036	1/ 2.817 (1.069-7.420)	aufenthalt: 23 Tage post-OP-Komplikation: 33.3% (n=20) PV/SMV-Resektionsassoziierte Komplikation: n=1 Mortalität im Krankenhaus: 3.3% (n=2)
	52	Arterial resection yes vs. no	26/26	OS: 0.581 DFS: 0.637	17 Monate / 12 Monate 1- und 3- Jahres-OS: 65.9% und 22.0% / 50% und 17.6% 1- und 3 –Jahres DFS: 31.6% und 5.3% / 35.4% und 10.1%	N.A.	N.A.	aktuelle long-time-survival-rate: 15.3%
	26	patients who underwent a “ major ” AR of the celiac trunk or of the SMA, for a locally advanced “unresectable,” vs. patients who had “ minor ”AR of the hepatic artery or of its branches vs. no AR	12 / 14	0.773	3 years OS: 25.9% vs. 9.5% vs. 17.6%	N.A.	N.A.	
	52	Arterial wall invasion (yes vs. no)				0.006	RR 4.97 (1.58-16.66)	

Referenzen

- Al-Haddad M, Martin JK, Nguyen J, Pungpapong S, Raimondo M, et al. Vascular resection and reconstruction for pancreatic malignancy: a single center survival study. *J Gastrointest Surg.* 2007;11(9):1168-74.
- Bachellier, P., E. Rosso, et al. (2011). "Is the need for an arterial resection a contraindication to pancreatic resection for locally advanced pancreatic adenocarcinoma? a case-matched controlled study." *Journal of Surgical Oncology* 103(1): 75-84.
- Boggi, U., M. Del Chiaro, et al. (2009). "Prognostic implications of tumor invasion or adhesion to peripancreatic vessels in resected pancreatic cancer." *Surgery* 146(5): 869-881.
- Chakravarty, K. D., J. T. Hsu, et al. (2010). "Prognosis and feasibility of en-bloc vascular resection in stage II pancreatic adenocarcinoma." *World J Gastroenterol* 16(8): 997-1002.
- Fukuda, S., E. Oussoultzoglou, et al. (2007). "Significance of the depth of portal vein wall invasion after curative resection for pancreatic adenocarcinoma." *Archives of Surgery* 142(2): 172-179.
- Han, S. S., S. J. Park, et al. (2011). "Clinical Significance of Portal-Superior Mesenteric Vein Resection in Pancreatoduodenectomy for Pancreatic Head Cancer." *Pancreas*.
- Kaneoka, Y., A. Yamaguchi, et al. (2009). "Portal or superior mesenteric vein resection for pancreatic head adenocarcinoma: prognostic value of the length of venous resection." *Surgery* 145(4): 417-425.
- Kurosaki I, Hatakeyama K, Minagawa M, Sato D. Portal vein resection in surgery for cancer of biliary tract and pancreas: special reference to the relationship between the surgical outcome and site of primary tumor. *J Gastrointest Surg.* 2008;12(5):907-18.
- Illuminati, G., F. Carboni, et al. (2008). "Results of a pancreatectomy with a limited venous resection for pancreatic cancer." *Surg Today* 38(6): 517-523.
- Ouaissi, M., C. Hubert, et al. (2010). "Vascular reconstruction during pancreatoduodenectomy for ductal adenocarcinoma of the pancreas improves resectability but does not achieve cure." *World J Surg* 34(11): 2648-2661.
- Toomey, P., J. Hernandez, et al. (2009). "Resection of portovenous structures to obtain microscopically negative margins during pancreaticoduodenectomy for pancreatic adenocarcinoma is worthwhile." *Am Surg* 75(9): 804-809; discussion 809-810.
- Wang, C., H. Wu, et al. (2008). "Pancreaticoduodenectomy with vascular resection for local advanced pancreatic head cancer: a single center retrospective study." *J Gastrointest Surg* 12(12): 2183-2190.
- Yekebas, E. F., D. Bogoevski, et al. (2008). "En bloc vascular resection for locally advanced pancreatic malignancies infiltrating major blood vessels: perioperative outcome and long-term survival in 136 patients." *Ann Surg* 247(2): 300-309.

Ausgeschlossene Studien (mit Gründen)

- Chua, T. C. and A. Saxena (2010). "Extended pancreaticoduodenectomy with vascular resection for pancreatic cancer: a systematic review." *J Gastrointest Surg* 14(9): 1442-1452 (keine zusammenfassende Metaanalyse).
- Chu, C. K., M. B. Farnell, et al. (2010). "Prosthetic graft reconstruction after portal vein resection in pancreaticoduodenectomy: a multicenter analysis." *J Am Coll Surg* 211(3): 316-324 (keine Vergleichsgruppe).
- Muller, S. A., M. Hartel, et al. (2009). "Vascular resection in pancreatic cancer surgery: survival determinants." *J Gastrointest Surg* 13(4): 784-792. (keine vergleichende Studie).

Ramacciato, G., P. Mercantini, et al. (2010). "Pancreatic carcinoma presenting with invasion of the vena porta or the superior mesenteric vein: Our experience and review of the literature." *Minerva Chirurgica* 65(6): 587-599 (Veröffentlichung auf italienisch)

Ramacciato, G., P. Mercantini, et al. (2009). "Does portal-superior mesenteric vein invasion still indicate irresectability for pancreatic carcinoma?" *Ann Surg Oncol* 16(4): 817-825 (keine systematische Suche, relevante Studien eingeschlossen).

Tang, D., J. Q. Zhang, et al. (2011). "Long term results of pancreatectomy with portal-superior mesenteric vein resection for pancreatic carcinoma: a systematic review." *Hepatogastroenterology* 58(106): 623-631 (keine zusammenfassende Metaanalyse).

Nachfolgende Evidenztabelle bezieht sich auf folgende Fragen:

3.1.3.6 Infiltration der V. mesenterica sup.

Ggf.: Bis zu welchem Infiltrationsausmaß ist eine Resektion möglich?

Insgesamt wurden 16 Studien zum Thema auf der Grundlage des Titel- und Abstractscreenings gefunden und eingeschlossen. Zwei Studien wurden mit dem Evidenzniveau 2b beurteilt, vier Studien wegen indirekter Evidenz oder fehlenden Angaben zur Nachbeobachtungszeit mit dem Evidenzniveau 2b-und drei weitere Studie wurden aufgrund fehlender Adjustierung für prognostische relevante Störgrößen mit dem Evidenzniveau 4 bewertet.

Ausgeschlossen wurden drei Reviews (zwei ohne zusammenfassende Metaanalyse und ein Review ohne systematische Suche), zwei Studien ohne Vergleichsgruppe, eine Studie mit einer historischen Vergleichsgruppe und eine in italienischer Sprache veröffentlichte Studie.

Tabelle 3.1.3.6a: Studienbeschreibung: Aktuelle Studien zur Resektionsmöglichkeit bei Infiltration der V.mesenterica sup.

Artikel ⁴⁰	Studientyp ⁴¹	Patienten ⁴²	Prognost. Merkmal und Cut-off ⁴³	Interventionen in beiden Gruppen	Endpunkte mit Nachverfolgungszeitraum ⁴⁴	Verzerrungs-risiko ⁴⁵ / Evidenzstufe
Illuminati 2008 Surg Today	Mono-zentrische Studie, retrospektiver Vergleich 01/2000 bis 12/2005, Italien	N= 29/108 Indikation: carcinoma of the pancreas head involving the portal or superior mesenteric vein over a length of 2 cm or less(n=29)/Pankreasresektion bei Patienten ohne Gefäßinvasion (n=108) Befallsmuster: Primärtumor Pankreaskopf/ Pankreaskörper und Schwanz: 66%/34% (nur Gruppe mit Gefäßinvasion) ØTumörgröße (prä-OP-scan): 3.1 cm (range 1.7-9.9) (nur Gruppe mit Gefäßinvasion) ductal Adenokarzinom: 27(nur Gruppe mit Gefäßinvasion) Behandlung: patients underwent a macroscopically curative resection of the pancreas en bloc with the involved segment of the vein/ k.A. zu Behandlung der Gruppe ohne Gefäßinvasion Pankreatikoduodenektomie: 17 von 29 Patienten(nur Gruppe mit Gefäßinvasion)	portal or superior mesenteric vein involvement vs. Keine Gefäßinvasion	gleiche Intervention bei Gefäßinvasion vs. Keine Gefäßinvasion	Endpunkte: Overall Survival (median und 3-Jahres-survival)	4 Univariate Analyse ohne Kontrolle von Störgrößen

⁴⁰ Autor, Jahr, Studienname, Journal

⁴¹ Studientyp (RCT, ..., prospektiv vs. retrospektiv, welcher Teil war prospektiv?, univariabel vs. multivariabel), mono vs. multizentrisch, Anzahl, Rekrutierungszeit- und land

⁴², Indikation, Alter, Geschlecht, Behandlungen, Ausmaß/ Befallsmuster je Gruppe, Waren Einschlusskriterien a priori festgelegt?

⁴³ Tuschemarkierung/ Aufarbeitung der Resektionsränder und des Resektionspräparats

⁴⁴ Gibt es Angaben zum follow-up (z.B. Dauer, Abstand zwischen Untersuchungen, verwendete Untersuchungen)? Ist das Follow-up vollständig, sind Angaben für alle eingeschlossenen Patienten verfügbar? Wenn nicht, für welchen Anteil werden Angaben berichtet?

⁴⁵ Gab es eine prospektive Planung, Sind Einschlusskriterien für Patienten prospektiv definiert und repräsentativ? Ist die Nachbeobachtungsperiode ausreichend lang und wird über alle Patienten berichtet? Ist das prognost. Merkmal klar definiert und gemessen? Wurden wichtige Störgrößen in das prognost. Modell aufgenommen? Wurde Behandlung nach Prognosestellung standardisiert durchgeführt?

Artikel ⁴⁰ ⁴¹	Studientyp	Patienten ⁴²	Prognost. Merkmal und Cut-off ⁴³	Interventionen in beiden Gruppen	Endpunkte mit Nach- verfolgungszeitraum ⁴⁴	Verzerrungs-risiko ⁴⁵ / Evidenz- stufe
		totale Pankreatektomie: 2 von 29 Patienten(nur Gruppe mit Gefäßinvasion) The venous reconstruction procedures included a tangential resection/ lateral suture in 15 cases, a resection/end-to-end anastomosis in 11, and a resection/patch closure in 3 (nur Gruppe mit Gefäßinvasion).				
Wang 2008 J. Gastrointest Surg 01/1996-12/2005	Mono-zentrische, retrospektive Studie, China,	von 214 Patienten mit Pankreas-kopfkarzinom, 80 davon erhielten vaskuläre Resektion (134 erhielten Palliativtherapie); Venenresektion (VR) bei 61 Patienten; N= 61 (VR) , Alter 52 Jahre (Range 28-72), 62.3 % Männer, Indikation: „adhered/invaded“ portal vein/superior mesenteric vein/superior mesenteric portal vein confluence; ohne totale Okklusion der Gefäße; (wenn Tumor formed convexity against the vein or tumor partially encircled the vein; Länge der involvierten Vene < 5 cm) Befallsmuster: Siehe Indikation; Adenokarzinom: 91.8%, tatsächliche Blutgefäßinvasion bei 68.9 % Behandlung: Pankreatikoduodenektomie mit arterieller Resektion (Fortner Typ II OP); evtl. zusätzliche Venenresektion; post-OP systemische Chemotherapie mit Gemcitabine	„adhered/invaded“ portal vein/superior mesenteric vein/superior mesenteric portal vein confluence	die VR-Gruppe erhielt Pankreatikoduodenektomie mit „independent“ Venenresektion	Endpunkte: QuoL, survival, treatment cost follow-up: bis 12/2007 oder bis zum Tod	4 Wegen fehlender multivariater Analysen mit Korrektur von Störgrößen Indirekte Evidenz: Nur Survival für die gesamte AR-Gruppe angegeben, ohne einzelne Auflistung der HA, SMA und CT

Artikel ⁴⁰	Studientyp ⁴¹	Patienten ⁴²	Prognost. Merkmal und Cut-off ⁴³	Interventionen in beiden Gruppen	Endpunkte mit Nachverfolgungszeitraum ⁴⁴	Verzerrungs-risiko ⁴⁵ / Evidenzstufe
Yekebas 2008	04/1994-07/2005 Ann Surg Mono-zentrisch retrospektive Auswertung einer prospektiven Studie, Deutschland	N=585 , Alter 61 Jahre (Range 32 to 90), 60 % Männer, Indikation: potentiell kurativer pancreatic, ampullary and distal common bile duct (CBD) cancer Befallsmuster: histopathologisch bestätigtes pancreatic ductal adenocarcinoma/ampullary/distal bile duct carcinoma: 482 (82%)/54/49 R0/R1: 85,8%/14.2 % histopathologisch bestätigte Gefäßinvasion bei 77 von 100 Adenokarzinompatienten (77%) Behandlung: (siehe "Intervention in beiden Gruppen"); vaskuläre Resektion bei den 100 Patienten mit ductal Adenokarzinom (21%) keine adjuvante CTX; pancreaticoduodenectomy (c-PD): 47% pyloruspreserving pancreaticoduodenectomy (pp-PD): 30% distal splenopancreatectomy (DSP): 9% subtotal pancreatectomy (st-P): 7% total pancreatico-duodenectomy (t-PD): 6%	Gefäßinvasion ja/nein	449 (77%) erhielten Standard pancreatic resection und 136 (23%) erhielten en bloc vascular resection (VR+) wegen Infiltration pankreatischer maligner Tumore in Hauptgefäße 128 von 136 (VR+) erhielten portal oder superior mesenteric vein resection; 13 von 136 (VR+) erhielten Leberarterien- oder Sup. Mes. Arterien-Resektion; 5 von 136 (VR+) erhielten Kombination aus Resektion der mesenterico-portal axis und entweder Leberarterien- oder sup. mes. Arterien-Resektion;	Endpunkte: survival, in-hospital complication rates (Morbidität, Mortalität) median follow-up: 14 Monate (range 3-139)	2b- Indirekte Evidenz, nur gaben zur allgemeinen Gefäßinvasion In die Survival-Analyse gingen nur die Patienten mit echtem pankreatischem Adenokarzinom ein (n=482) For survival analysis, 23 VR+□ patients without vascular invasion in histopathology were pooled with VR-□ patients. This resulted in 405 patients without and 77 patients with vascular invasion representing the data base for further survival analysis The overall survival did not differ between mesenterico-portal versus arterial resection (data not shown, P = 0.41).
Boggi 2009	retrospektive Studie; Italien; 11/1987 bis 12/2004	N= 110 (Study Group, SG); medianes Alter: 64.9 (37-84) 48,2% Männer Indikation: Pankreatektomie; individuals without evidence of distant metastasis at the time of surgery and with histologically or cytologically proven diagnosis of	Isolated venous resection vs. Kontrolle mit Palliativtherapie	Pankreatektomie mit Resektion und Rekonstruktion der peripankreatischen Gefäße (PPV) vs. Palliated patients ohne Metastasen (Kon-	Endpunkte: Morbidität, Mortalität, Median survival	2b- Wegen indirekter Evidenz "Isolated venous involvement: The vein presumed to be involved was dissected off above and

Artikel ⁴⁰ ⁴¹	Studientyp	Patienten ⁴²	Prognost. Merkmal und Cut-off ⁴³	Interventionen in beiden Gruppen	Endpunkte mit Nach- verfolgungszeitraum ⁴⁴	Verzerrungs-risiko ⁴⁵ / Evidenz- stufe
		<p>ductal adenocarcinoma of the pancreas</p> <p>Befallsmuster: ASA-class of risk (I, II, III, IV, V): 1,8,101,0,0 Patienten</p> <p>Tumordurchmesser: Median 4 cm (range 1.2-10.6); 39% erhielten Chemotherapie vor und nach OP; PPV-Infiltration bei 65% (64 Patienten), davon 26% infiltrierte Tunica Intima</p> <p>Behandlung: StudyGroup (SG): Pankreatektomie mit Resektion und Rekonstruktion peripankreatischer Gefäße (PPV); Untergruppe IVR (isolated venous resection) mit n=84 (von 110 SG)</p>		<p>trolle1) vs. „konventionelle“ Pankreatektomie (Kontrolle 2)</p>		<p>below the tumor. In the majority of patients, the retroperitoneal margin was approached from the left, medial, aspect of the superior mesenteric vein (SMV). Dissecting from distal to proximal, the right lateral aspect of the superior mesenteric artery (SMA) was then skeletonized down to the aorta leaving the pancreatic head attached only to the involved venous segment (Fig 2)."</p>
Kaneoka 2009 J Surg	<p>retrospektiv aus einer Datenbank mit 221 Pankreaskarzinom-Patienten</p> <p>mono-zentrisch</p> <p>03/1993-12/2006, Japan</p>	<p>N= 84 , Alter 65 Jahre (Range 42-84), 60% Männer,</p> <p>Indikation: invasive pancreatic head adenocarcinoma</p> <p>Befallsmuster: Tumorgröße (<2, 2-4, >4): 12, 55, 17 Patienten</p> <p>Tumograd well/moderately/poor: 24/54/6 Patienten</p> <p>histologisch Node positiv ohne PVR/mit PVR: 43%/62%</p> <p>histologisch Plexus positiv ohne/mit PVR: 0/29%</p> <p>histologisch PV/SMV positiv: 0/60%</p> <p>R0 bei ohne/mit PVR: 93%/76%</p> <p>R1 bei ohne/mit PVR: 3/10 Patienten</p> <p>Stage (UICC) IA/iB/IIA/IIB/III/IV: 6/6/30/38/2/4 Patienten</p> <p>Behandlung:</p>	<p>Portalvenenresektion (PVR) und/oder SMV-Resektion ja/nein</p>	<p>mit Portalvenenresektion und/oder SMV-Resektion: 42 Patienten, davon erhielten 27 Segmentale Resektion mit end-to-end Anastomose und 15 Patienten autologous vein graft using an external iliac vein</p>	<p>Endpunkte: Histopathologische Parameter und Survival um prognostische Faktoren zu bestätigen; Mortalität, Morbidität;</p> <p>mean follow-up: 32 ± 4 Monate (range, 0-150)</p>	<p>2b</p>

Artikel ⁴⁰ ⁴¹	Studientyp ⁴¹	Patienten ⁴²	Prognost. Merkmal und Cut-off ⁴³	Interventionen in beiden Gruppen	Endpunkte mit Nach- verfolgungszeitraum ⁴⁴	Verzerrungs-risiko ⁴⁵ / Evidenz- stufe
		PD: n=21 pyloruspreserving PD: n=63 keine neoadjuvante CTX intra-OP radiation: 13 Patienten adjuvante Therapie: 6 Patienten				
Toomey 2009 Am Surg.	retrospektive Analyse einer prospektiven Datenbank mono-zentrisch, ab 1995, Florida, USA	N= 220 , Alter 68.68 ± Jahre, 49% Männer, Indikation: Pankreas-Adenokarzinom Befallsmuster: R0/R1: 165/55 Patienten Stage IA/IB/IIA/IIB: 10/40/43/127 Patienten Behandlung: Resektion der Portalvene oder der major tributaries (PVR): n=48 (Portalvene: n=38; SMV: n=9, Milz: n=1) Rekonstruktion mittels lateral venorrhaphy/saphenous vein grafts/end-to-end-anastomosis: 44/2/2 Patienten	mit/ohne Portalvenenresektion R1/R0 bei mit/ohne Portalvenenresektion	Pankreatikoduodenektomie bei allen Patienten mit/ohne Portalvenenresektion	Endpunkte: survival	4 Wegen fehlender multivariater Analysen mit Korrektur von Störgrößen 7 Patienten (20%) in der PVR-Gruppe überlebten länger als 4 Jahre, davon lebten 2009 noch 4;
Chakravarty 2010, wjg	retrospektiv, mono-zentrisch 01/1996- 12/2006	N=, Alter (Range), % Männer Indikation: stage II Adenokarzinom des Pankreadkopfes und uncinate process Befallsmuster: Tumor pankreatik head/uncinate process/beides: n=80/1/6, Stage IIA/IIB: n=14/73 Resektionsränder Negativ/Positiv: n=58/27 Differenzierung well/moderately/poorly: n=25/45/15 Behandlung der Gruppe mit PV-SMV-Resektion:	mit/ohne PV - SMV Resektion Kurabilität bei mit/ohne Gefäßresektion	mit vs. ohne PV-SMV-Resektion	median time of follow-up: 10.36 Monate (range 1.18-61.68), last follow up date: 12/2007	2b- PV und SMV nicht getrennt ausgewertet.

Artikel ⁴⁰ ⁴¹	Studientyp ⁴¹	Patienten ⁴²	Prognost. Merkmal und Cut-off ⁴³	Interventionen in beiden Gruppen	Endpunkte mit Nach- verfolgungszeitraum ⁴⁴	Verzerrungs-risiko ⁴⁵ / Evidenz- stufe
		<p>12 von 87 (13.8%) erhielten PD (n=8) oder PPPD (n=4); curative OP war bei allen 12 Patienten möglich (100%) adjuvante Therapie: 66.7%</p> <p>Behandlung der Gruppe ohne PV-SMV-Resektion: 75 von 87 (86.2 %) erhielten PD (n=57) oder PPPD (n=18) curative OP war nur bei 48 Patienten möglich (64.0%) adjuvante Therapie: 54.7% adjuvante Therapie aller Patienten (ja/nein): 53/32</p>				
Oaissi 2010 World J Surg	retrospektiv, mono-zent- risch, 01/1977- 09/2008	<p>N=149 , Alter 63 Jahre (Range 36-85), 40 % Männer,</p> <p>Indikation: duktales Adenokarzinom</p> <p>Befallsmuster der Gruppe mit venöser Resektion (n= 59):medianeTumorgröße: 3 cm (1-4.5); Tumor Grad Gx/G1/G2/G3/G4: 11.9%/22%/59.3%/0%/6.8%; Stage IA/IB/IIA/IIB/III/IV: 5.1%/11.9%/6.8%/55.9%/18.6%/1 .7%; Lymphknotenstatus N0/N1/N2/N3: 27.1%/62.7%/8.5%/1.7%;Resektionsränder R0/R1: 57.6%/42.4%</p> <p>Befallsmuster der Gruppe mit arterieller Resektion (n= 8):medianeTumorgröße: 2.7 cm (1-4); Tumor Grad Gx/G1/G2/G3/G4: 0%/25%/62.5%/0%/12.5%; Stage IA/IB/IIA/IIB/III/IV: 0%/12.5%/12.5%/50%/25%/0%;</p>	<p>Venöse Resektion ja/nein</p>	<p>3 Gruppen: Gruppe A: keine Gefäßresektion; Gruppe B: Venenresektion und Gruppe C: Arterienresektion</p>	<p>mean follow-up: 41 Monate median follow-up: 17 Monate (range 2-167)</p> <p>bis zu 10 Jahre follow-up; long-term-follow-up verfügbar für 93% (139 Patienten)</p>	2b

Artikel ⁴⁰ ⁴¹	Studientyp	Patienten ⁴²	Prognost. Merkmal und Cut-off ⁴³	Interventionen in beiden Gruppen	Endpunkte mit Nach- verfolgungszeitraum ⁴⁴	Verzerrungs-risiko ⁴⁵ / Evidenz- stufe
		Lymphknotenstatus N0/N1/N2/N3: 37.5%/50%/12.5%/0%; Resektionsränder R0/R1: 50%/50% Befallsmuster ohne Gefäßinvasion (n=82): mediane Tumogröße: 2.20 cm (0.5-5.6); Tumor Grad Gx/G1/G2/G3/G4: 4.9%/36.6%/52.4%/6.1%/0%; Stage IA/IB/IIA/IIB/III/IV: 8.5%/15.9%/25.6%/45.1%/0%/4.8%; Lymphknotenstatus N0/N1/N2/N3: 31.7%/51.2%/13.4%/3.7%; Resektionsränder R0/R1: 86.6%/13.4%				
Han 2011 Pankreas	retrospektiv uni- und multivariate Analyse mono-zentrisch 08/2001-12/2007	N= 60 , Alter 63 Jahre (Range 42-83), 53 % Männer, Indikation: Adenokarzinom mit Portalvenen- und Sup. mes. Venen-Invasion (PV-SMV) und R0-Resektion Befallsmuster: histologische PV-SMV-Invasion bei n=15 (78.9%) von 19 PV-SMV-Resektionen (21% hatten nur fibröse Adhäsion) keine prä-OP festgestellten Metastasen, histopathologische Lymphknotenmetastasen: 75% (n=45) AJCC/UICC Stage T1/T2/T3: 5%/1.7%/93.3% (n=3/1/56) Differenzierung well/moderatly/poorly: 8.3%/66.7%/ 16.7% (n=5/40/10) perineural/lymphatic/Blutgefäßinv asion: 90%/81.7%/55.0% (n=54/49/33) Tumogröße (<3/ >3): n= 31/ 29 mean Tumorsize: 3.1 cm (range)	PV/SMV-Invasion nein/ja Tiefe der PV/SMV-Invasion (keine Invasion/Adventitia und Media/Intima) Intima-Invasion (nein/ja)	PD mit/ohne PV-SMV-Resektion	Endpunkt: survival,	2b- Keine Information zur Follow-up Periode

Artikel ⁴⁰	Studientyp ⁴¹	Patienten ⁴²	Prognost. Merkmal und Cut-off ⁴³	Interventionen in beiden Gruppen	Endpunkte mit Nachverfolgungszeitraum ⁴⁴	Verzerrungs-risiko ⁴⁵ / Evidenzstufe
		<p>1.5-7.0) R0: 100%</p> <p>Behandlung: PV-SMV-Resektion: 31.7% (n=19), segmental mit end-to-end-Anastomosis/wedge: n=17/n=2 Patienten post-OP Chemoradiation (auf Basis von 5-Fluorouracil): 61.6 % (n=37) PD : 26.7% (n=16) ppPD: 66.7% (n=40) totale Pankreatektomie: 6.6% (n=4)</p>				

Tabelle 3.1.3.6b: Ergebnisse aktueller prognostischer Studien zur Resektionsmöglichkeit bei Infiltration der V.mesenterica sup.

Artikel (Autor, Jahr)	n	Prognost. Merkmal	Anzahl der Patien- ten mit prog. Merk- mal	Ergebnisse aus univariater Analysen (OS)		Ergebnisse aus multivariater Analyse (OS)		Nebenwirkungen durch Sektion des Tumors
				p-Wert	Median /HR (95%-CI) / ÜL Raten	p-Wert	Median /HR (95%-CI) / ÜL Raten	
Illuminati 2008	137	portal or supe- rior mesen- teric vein involve- ment vs. Keine Gefäßinvasion	29/108	p>0.05	19 Monate/ 21 Monate mean 3-Jahres survival: 17%/19%			operative Mortalität: 3.4%/3.7% operative Morbidität: 21%/19% mean OP-Dauer: 330 Minu- ten/220 Minuten mean post-OP Krankenhausaufenthalt: 16 Tage/18 Tage
Wang 2008	214	VR (vein resection) vs. VP (vascular adhesion/ invasion) vs. AR (artery resection) vs. AP (artery adhesion / invasion)	61 / 89 / 19 / 45	AR vs. AP p=0.008 VR vs. VP p=0.103	13 Monate / 12 Monate / 7 Monate/ 9 Monate 1-2-Jahr OS: 56±6% / 24%±6% 52±5% / 23±4% 16 ± 8% / 0% 40%±7% / ? 3- / 5-Jahr OS: 19 ±5% / 13 ±4% 11±3% / 1±1% 0% 10±5% / 0%			overall complications (VR- Gruppe): 22.9 % 0% post-OP Blutungen, 3.3% Thrombose, 16.4% Pancreatic fistula, 0% DGE, 3.3% Wundinfektion, 3.3 biliary leak Reoperation: 1.6% post-OP Krankenhausaufenthalt: 16 ± 5 Tage
Yekebas 2008	482	Gefäßinvasion ja/nein	77/405			0.569	RR 1.063 (0.860-1.315)	
Boggi 2009		Isolated ve- nous resection vs. Kontrolle mit Palliativthe-		< 0.001	9 Monate/ 18 Monate			

Artikel (Autor, Jahr)	n	Prognost. Merkmale	Anzahl der Patien- ten mit prog. Merk- mal	Ergebnisse aus univariater Analysen (OS)		Ergebnisse aus multivariater Analyse (OS)		Nebenwirkungen durch Sektion des Tumors
				p-Wert	Median /HR (95%-CI) / ÜL Raten	p-Wert	Median /HR (95%-CI) / ÜL Raten	
		rapie						
Kaneoka 2009	84	mit vs. ohne Portalvenen und/ oder SMV resektion	42/42	0.039	26 Monate / 12 Monate 5-Jahres-ÜL: 32%/17%			Morbidity: 33%/43%, P=0.37 Mortality: 4.8%/0%, P=0.15 OP-Dauer: 342 ± 14 (160- 555)/ 306 ± 14 (140-531), P=0.084
Toomey 2009	220	mit/ohne Por- talvenenresek- tion	48/172	0.84	18.26 ± 26 Mo- nate/ 17.24 ± 24 Monate			peri-OP Mortality: 0%/2.3% Mortality im Krankenhaus: 4.2%/2.9%
	165	R0 mit/ohne Portalvenenre- sektion	35/130	0.79	20.28 ± 29.1/20.25±21.9 Monate			Survival R0/R1: 20/13 Monate, P<0.03
	55	R1 mit/ohne Portalvenenre- sektion	13/42	0.74	15.17 ± 13.1/13.21 ± 30.9 Monate			
Chakravarty 2010	85	mit/ohne PV - SMV Resek- tion	12/73	0.994	9.27 Monate (0.00-19.54) / 10.36 Monate (7.87-12.86) 1- und 3- Jahres- Survival: 50% und 16.7%/ 44.4% und 12.2%	0.591	k.A.	Morbidity mit/ohne Gefäßresek- tion (n=12/75): 50%/40% Mortality mit/ohne Gefäßresek- tion (n=12/75): 0/2.7%
	87	Kurabilität bei mit/ohne Ge- fäß-resektion	12/75	0.015	100%/64%			

Artikel (Autor, Jahr)	n	Prognost. Merkmale	Anzahl der Patien- ten mit prog. Merk- mal	Ergebnisse aus univariater Analysen (OS)		Ergebnisse aus multivariater Analyse (OS)		Nebenwirkungen durch Sektion des Tumors
				p-Wert	Median /HR (95%-CI) / ÜL Raten	p-Wert	Median /HR (95%-CI) / ÜL Raten	
Oassi 2010	146	Venöse Resek- tion ja/nein	58/88	0.001	DFS; HR:0.518 (0.353-0.759)	0.011	DFS; HR:0.428 (0.223-0.821)	post-OP Komplikationen GradI und II/GradIII und IV/GradV(Tod): 30.5%/22%/1.7%
Han 2011	60	PV/SMV-Inva- sion nein/ja	45/15	0.045	14 Monate /9 Monate, HR 1.937 (1.013- 3.702)			OP-Dauer: 8.3 Stunden (range 5- 13.5) median post-OP-Krankenhausauf- enthalt: 23 Tage
	60	Tiefe der PV/SMV-Inva- sion (keine Invasion/Ad- ventitia und Media/Intima)	45/10/5	0.068	13/10/6 Monate, Adventitia und Media HR 1.646 (0.774-3.499)/ Intima HR 2.888 (1.095-7.619)			post-OP-Komplikation: 33.3% (n=20) PV/SMV-Resektionsassoziierte Komplikation: n=1 Mortalität im Krankenhaus: 3.3% (n=2)
	60	Intima-Inva- sion (nein/ja)	55/5	0.032	median OS: 12/6 Monate, HR 2.852 (1.097- 7.413)	0.036	1/ 2.817 (1.069-7.420)	

Referenzen

- Boggi, U., M. Del Chiaro, et al. (2009). "Prognostic implications of tumor invasion or adhesion to peripancreatic vessels in resected pancreatic cancer." *Surgery* 146(5): 869-881.
- Chakravarty, K. D., J. T. Hsu, et al. (2010). "Prognosis and feasibility of en-bloc vascular resection in stage II pancreatic adenocarcinoma." *World J Gastroenterol* 16(8): 997-1002.
- Han, S. S., S. J. Park, et al. (2011). "Clinical Significance of Portal-Superior Mesenteric Vein Resection in Pancreatoduodenectomy for Pancreatic Head Cancer." *Pancreas*.
- Kaneoka, Y., A. Yamaguchi, et al. (2009). "Portal or superior mesenteric vein resection for pancreatic head adenocarcinoma: prognostic value of the length of venous resection." *Surgery* 145(4): 417-425.
- Illuminati, G., F. Carboni, et al. (2008). "Results of a pancreatectomy with a limited venous resection for pancreatic cancer." *Surg Today* 38(6): 517-523.
- Ouaissi, M., C. Hubert, et al. (2010). "Vascular reconstruction during pancreatoduodenectomy for ductal adenocarcinoma of the pancreas improves resectability but does not achieve cure." *World J Surg* 34(11): 2648-2661.
- Toomey, P., J. Hernandez, et al. (2009). "Resection of portovenous structures to obtain microscopically negative margins during pancreaticoduodenectomy for pancreatic adenocarcinoma is worthwhile." *Am Surg* 75(9): 804-809; discussion 809-810.
- Wang, C., H. Wu, et al. (2008). "Pancreaticoduodenectomy with vascular resection for local advanced pancreatic head cancer: a single center retrospective study." *J Gastrointest Surg* 12(12): 2183-2190.
- Yekebas, E. F., D. Bogoevski, et al. (2008). "En bloc vascular resection for locally advanced pancreatic malignancies infiltrating major blood vessels: perioperative outcome and long-term survival in 136 patients." *Ann Surg* 247(2): 300-309.

Ausgeschlossene Studien (mit Gründen)

- Chua, T. C. and A. Saxena (2010). "Extended pancreaticoduodenectomy with vascular resection for pancreatic cancer: a systematic review." *J Gastrointest Surg* 14(9): 1442-1452 (keine zusammenfassende Metaanalyse).
- Chu, C. K., M. B. Farnell, et al. (2010). "Prosthetic graft reconstruction after portal vein resection in pancreaticoduodenectomy: a multicenter analysis." *J Am Coll Surg* 211(3): 316-324 (keine Vergleichsgruppe).
- Kurosaki, I., M. Minagawa, et al. (2011). "Left posterior approach to the superior mesenteric vascular pedicle in pancreaticoduodenectomy for cancer of the pancreatic head." *Journal of the Pancreas* 12(3): 220-229. (historischer Vergleich).
- Muller, S. A., M. Hartel, et al. (2009). "Vascular resection in pancreatic cancer surgery: survival determinants." *J Gastrointest Surg* 13(4): 784-792. (keine vergleichende Studie).
- Ramacciato, G., P. Mercantini, et al. (2010). "Pancreatic carcinoma presenting with invasion of the vena porta or the superior mesenteric vein: Our experience and review of the literature." *Minerva Chirurgica* 65(6): 587-599 (Veröffentlichung auf italienisch)
- Ramacciato, G., P. Mercantini, et al. (2009). "Does portal-superior mesenteric vein invasion still indicate irresectability for pancreatic carcinoma?" *Ann Surg Oncol* 16(4): 817-825 (keine systematische Suche, relevante Studien eingeschlossen).
- Tang, D., J. Q. Zhang, et al. (2011). "Long term results of pancreatectomy with portal-superior mesenteric vein resection for pancreatic carcinoma: a systematic review." *Hepatogastroenterology* 58(106): 623-631 (keine zusammenfassende Metaanalyse).

Nachfolgende Evidenztabelle bezieht sich auf folgende Fragen:

3.1.3.7 Infiltration anderer Gefäße

Welche Gefäße?

Ggf.: Bis zu welchem Infiltrationsausmaß ist eine Resektion möglich?

Insgesamt wurden 3 Studien zum Thema auf der Grundlage des Titel- und Abstractscreenings gefunden und eingeschlossen, die mit dem Evidenzniveau 2b beurteilt wurden.

Ausgeschlossen wurden ein Reviews ohne zusammenfassende Metaanalyse, eine Studie ohne Vergleichsgruppe und zwei Studien ohne Beschreibung zur Infiltration anderer Gefäße.

Tabelle 3.1.3.7a: Studienbeschreibung: Aktuelle Studien zur Resektionsmöglichkeit bei Infiltration anderer Gefäße

Artikel ⁴⁶	Studientyp ⁴⁷	Patienten ⁴⁸	Prognost. Merkmal und Cut-off ⁴⁹	Interventionen in beiden Gruppen	Endpunkte mit Nachverfolgungszeitraum ⁵⁰	Verzerrungs-risiko ⁵¹ / Evidenzstufe
Kanda 2010	retrospektive Studie aus prospektiver Datenbank, monozentrisch, 10/1981-12/2008	N=51, Alter 62.7 Jahre (Range 38-79), 66.7% Männer Indikation: Distale Pankreatektomie bei invasivem Adenokarzinom des Pankreaskopfes und – schwanzes, all patients were considered as candidates for curative surgery (Ausschluss: Invasion der großen Gefäße wie Portalvene, Hepatische Arterie, Truncus coeliacus, SMA, Patienten mit distalen Metastasen or peritoneal seeding) Befallsmuster: body (n=37), tail (n=14), UICC Stage IA/IB/IIA/IIB: n= 2,5,20,24; histopathologischer Typ well/moderate/poor/papillär/mucinös/adenosquamös: n=5/31/5/6/1/3; pathologische SA-Invasion/SV-Invasion: 33.3 % (n=17)/47.1% (n=24) Behandlung: intra-OP Radiation: n=30	Milzgefäßinvasion (SA-Milzarterie+ SV-Milzvene)	distale Pankreatektomie (radikale Resektion) mit splenectomy ligating and dissecting at the root oft he splenic artery (SA) bei allen Patienten	follow-up: mindestens 17.1 Monate (bzw. bis Tod)	2b
Oassi 2010	retrospektiv, mono-zentrisch,	N=149 , Alter 63 Jahre (Range 36-85), 40 % Männer, Indikation: duktales Adenokarzinom Befallsmuster der Gruppe mit	Mikroskopische Venen-Invasion (NAKAO-Klassifikation)	3 Gruppen: Gruppe A: keine Gefäßresektion; Gruppe B: Venenresektion und	mean follow-up: 41 Monate median follow-up: 17 Monate (range 2-167) bis zu 10 Jahre follow-up;	2b

⁴⁶ Autor, Jahr, Studienname, Journal

⁴⁷ Studientyp (RCT, ..., prospektiv vs. retrospektiv, welcher Teil war prospektiv?, univariabel vs. multivariabel), mono vs. multizentrisch, Anzahl, Rekrutierungszeit- und land

⁴⁸, Indikation, Alter, Geschlecht, Behandlungen, Ausmaß/ Befallsmuster je Gruppe, Waren Einschlusskriterien a priori festgelegt?

⁴⁹ Tuschemarkierung/ Aufarbeitung der Resektionsränder und des Resektionspräparats

⁵⁰ Gibt es Angaben zum follow-up (z.B. Dauer, Abstand zwischen Untersuchungen, verwendete Untersuchungen)? Ist das Follow-up vollständig, sind Angaben für alle eingeschlossenen Patienten verfügbar? Wenn nicht, für welchen Anteil werden Angaben berichtet?

⁵¹ Gab es eine prospektive Planung, Sind Einschlusskriterien für Patienten prospektiv definiert und repräsentativ? Ist die Nachbeobachtungsperiode ausreichend lang und wird über alle Patienten berichtet? Ist das prognost. Merkmal klar definiert und gemessen? Wurden wichtige Störgrößen in das prognost. Modell aufgenommen? Wurde Behandlung nach Prognosestellung standardisiert durchgeführt?

Artikel ⁴⁶ ⁴⁷	Studientyp	Patienten ⁴⁸	Prognost. Merkmal und Cut-off ⁴⁹	Interventionen in beiden Gruppen	Endpunkte mit Nachverfolgungszeitraum ⁵⁰	Verzerrungs-risiko ⁵¹ / Evidenzstufe
	01/1977-09/2008	<p>venöser Resektion (n= 59): mediane Tumogröße: 3 cm (1-4.5); Tumor Grad Gx/G1/G2/G3/G4: 11.9%/22%/59.3%/0%/6.8%; Stage IA/IB/IIA/IIB/III/IV: 5.1%/11.9%/6.8%/55.9%/18.6%/1.7%; Lymphknotenstatus N0/N1/N2/N3: 27.1%/62.7%/8.5%/1.7%; Resektionsränder R0/R1: 57.6%/42.4%</p> <p>Befallsmuster der Gruppe mit arterieller Resektion (n= 8): mediane Tumogröße: 2.7 cm (1-4); Tumor Grad Gx/G1/G2/G3/G4: 0%/25%/62.5%/0%/12.5%; Stage IA/IB/IIA/IIB/III/IV: 0%/12.5%/12.5%/50%/25%/0%; Lymphknotenstatus N0/N1/N2/N3: 37.5%/50%/12.5%/0%; Resektionsränder R0/R1: 50%/50%</p> <p>Befallsmuster ohne Gefäßinvasion (n=82): mediane Tumogröße: 2.20 cm (0.5-5.6); Tumor Grad Gx/G1/G2/G3/G4: 4.9%/36.6%/52.4%/6.1%/0%; Stage IA/IB/IIA/IIB/III/IV: 8.5%/15.9%/25.6%/45.1%/0%/4.8%; Lymphknotenstatus N0/N1/N2/N3: 31.7%/51.2%/13.4%/3.7%; Resektionsränder R0/R1: 86.6%/13.4%</p>		Gruppe C: Arterienresektion	long-term-follow-up verfügbar für 93% (139 Patienten)	
Bachellier 2011 J Surg Oncol	01/1990-12/2008	<p>N= 52, Alter 64 Jahre (Range 35-84), 42.3% Männer,</p> <p>Indikation: Pankreasresektion (Adenokarzinom, histologisch bestätigt)</p> <p>Befallsmuster: 12 Patienten mit</p>	<p>AR+ vs. AR- und patients who underwent a "major" AR of the celiac trunk or of the SMA, for a lo-</p>	<p>Arterielle Resektion (Study-Group, AR+) vs. "matched group" (AR-) mit Pankreasresektion</p> <p>"26 consecutive pa-</p>		<p>2b</p> <p>Arterielle Resektion bei Befall der common hepatic Artery, right or left hepatic arteries, SMA oder Trunkus coeliacus, wenn</p>

Artikel ⁴⁶ ⁴⁷	Studientyp	Patienten ⁴⁸	Prognost. Merkmal und Cut-off ⁴⁹	Interventionen in beiden Gruppen	Endpunkte mit Nach- verfolgungszeitraum ⁵⁰	Verzerrungs-risiko ⁵¹ / Evidenzstufe
		<p>locally advanced „unresectable“ tumor, 40 mit resectable Borderline-Tumor UICC TNM stage II A/II B/ III: 4/36/12</p> <p>Regional lymph nodes metastases: 41 (78.8%) patients.</p> <p>Histopathological grading of pancreatic adenocarcinoma was well/moderately/poorly differentiated: 6/27/19</p> <p>Histopathologic data showed arterial wall invasion (hepatic artery / celiac trunk / SMA): 4/15.3% (2/1/1)</p> <p>perineural invasion in 15 (57.7%), and no invasion in 7 (27.0%).</p> <p>Portal vein wall invasion was confirmed by the final histopathology in 29 patients (70.7%).</p> <p>Behandlung:</p> <p>PD bei 24 Patienten, totale Pankreatektomie: 18</p> <p>Patienten left splenopankreatektomie: 10</p> <p>Patienten kombinierte SM-PV-Resektion: 41 (78.8%)</p> <p>additional Behandlungen: 8 neodjuvante CTX: 3 (5.7%) adjuvante CTX: 37 (71.1%)</p>	<p>cally advanced „unresectable,“ vs. patients who had “minor”AR of the hepatic artery or of its branches vs. no AR</p>	<p>tients who underwent a curative-intent pancreatic resection for adenocarcinoma of the pancreas with AR (AR+ group) were matched 1:1 to those of the whole series of pancreatic resection performed in our institution.”</p> <p>aus Tabelle1: Arterielle Resektion (Study-Group, AR+): 21 von 26 erhielten Portalvenenresektion vs. “matched group” (AR-) mit Pankreasresektion: 20 von 26 erhielten Portalvenenresektion</p>		curative intent

Tabelle 3.1.3.7b: Ergebnisse aktueller prognostischer Studien zur Resektionsmöglichkeit bei Infiltration anderer Gefäße

Artikel	n	Prognost. Merkmal	Anzahl der Patienten mit prog. Merkmal	Ergebnisse aus univariater Analyse		Ergebnisse aus multivariater Analyse		Nebenwirkungen durch Sektion des Tumors
				p-Wert	Median /HR (95%-CI) / ÜL Raten	p-Wert	Median /HR (95%-CI) / ÜL Raten	
Kanda 2010	51	pathologische SA-Invasion (ja/nein)	17/34	0.0067 OR: 0.0005	5.6 Monate/ 14.0 Monate OR: 3.155 (1.661-5.988)			
	51	pathologische SV-Invasion (ja/nein)	24/27	0.3626 OR: 0.1458	10.4 Monate 11.7 Monate OR: 1.529 (0.863-2.710)	0.0196	OR 2.611 (1.256-11.028)	
Oaissi 2010	146	microscopic venous invasion (yes vs. no)	25 / 121	0.070	0.657 (0.478-1.034)	0.358	1.368 (0.702-2.668)	
Bachellier 2011	52	Arterial resection yes vs. no	26/26	OS: 0.581 DFS: 0.637	17 Monate / 12 Monate 1- und 3-Jahres-OS: 65.9% und 22.0% / 50% und 17.6% 1- und 3 – Jahres DFS: 31.6% und 5.3% / 35.4% und 10.1%	N.A.	N.A.	aktuelle long-time-survival-rate: 15.3%

Artikel	n	Prognost. Merkmal	Anzahl der Patienten mit prog. Merkmal	Ergebnisse aus univariater Analyse		Ergebnisse aus multivariater Analyse		Nebenwirkungen durch Sektion des Tumors
				p-Wert	Median /HR (95%-CI) / ÜL Raten	p-Wert	Median /HR (95%-CI) / ÜL Raten	
		patients who underwent a “ major ” AR of the celiac trunk or of the SMA, for a locally advanced “unresectable,” vs. patients who had “ minor ”AR of the hepatic artery or of its branches vs. no AR	12 / 14	0.773	3 years OS: 25.9% vs. 9.5% vs. 17.6%	N.A.	N.A.	
	52	Arterial wall invasion (yes vs. no)				0.006	RR 4.97 (1.58-16.66)	

Referenzen

- Bachellier, P., E. Rosso, et al. (2011). "Is the need for an arterial resection a contraindication to pancreatic resection for locally advanced pancreatic adenocarcinoma? a case-matched controlled study." *Journal of Surgical Oncology* 103(1): 75-84.
- Kanda, M., T. Fujii, et al. (2010). "Invasion of the splenic artery is a crucial prognostic factor in carcinoma of the body and tail of the pancreas." *Ann Surg* 251(3): 483-487.
- Ouaissi, M., C. Hubert, et al. (2010). "Vascular reconstruction during pancreateoduodenectomy for ductal adenocarcinoma of the pancreas improves resectability but does not achieve cure." *World J Surg* 34(11): 2648-2661.

Ausgeschlossene Studien (mit Gründen)

- Boggi, U., M. Del Chiaro, et al. (2009). "Prognostic implications of tumor invasion or adhesion to peripancreatic vessels in resected pancreatic cancer." *Surgery* 146(5): 869-881 (alle Informationen sind in Tabellen 3.1.3.3- 3.1.3.6 enthalten)..
- Chua, T. C. and A. Saxena (2010). "Extended pancreaticoduodenectomy with vascular resection for pancreatic cancer: a systematic review." *J Gastrointest Surg* 14(9): 1442-1452 (keine zusammenfassende Metaanalyse).
- Turrini, O., E. A. Wiebke, et al. (2010). "Preservation of replaced or accessory right hepatic artery during pancreaticoduodenectomy for adenocarcinoma: impact on margin status and survival." *J Gastrointest Surg* 14(11): 1813-1819. (ohne Vergleich des OS der Patienten mit/ohne prognostischen Merkmal)
- Wang, C., H. Wu, et al. (2008). "Pancreaticoduodenectomy with vascular resection for local advanced pancreatic head cancer: a single center retrospective study." *J Gastrointest Surg* 12(12): 2183-2190 (alle Informationen sind in Tabellen 3.1.3.3 und 3.1.3.4 enthalten).

3.1.3.8 Gibt es eine Definition der Borderline-Resektabilität?

Falls ja, wie ist diese definiert:

Insgesamt wurden 3 Studien zum Thema auf der Grundlage des Titel- und Abstractscreenings gefunden und eingeschlossen. Zwei Studien wurden mit dem Evidenzniveau 2b beurteilt und eine Studie wurde aufgrund fehlender Adjustierung für prognostische relevante Störgrößen mit dem Evidenzniveau 4 bewertet.

Tabelle 3.1.3.8a: Studienbeschreibung: Aktuelle Studien zur Borderline-Resektabilität

Artikel ⁵²	Studientyp ⁵³	Patienten ⁵⁴	Prognost. Merkmal und Cut-off ⁵⁵	Interventionen in beiden Gruppen	Endpunkte mit Nachverfolgungszeitraum ⁵⁶	Verzerrungs-risiko ⁵⁷ / Evidenzstufe
McClaine 2010 HPB	retrospektive Studie, 2003-2008	N= 26, Alter 62 ± 11Jahre, 50/58 % Männer, Indikation: Borderline resectable disease Befallsmuster: pathologische Charakteristik der resected patients: Tumorgröße: 3.5 ± 1.8; Tumorgrad moderat/poor: 50%/42%; node positiv: 42%; R0/R1: 67/33% Total (resected und unresected): Tumorgröße bei Diagnose (cm): ca. 3.5 SMV-involvement (>180): 50% SMA-abutment (<180): 19% Short segment SMV/PV occlusion: 8% Leberarterien-encasement: 4% mögliche Lymphknotenbeteiligung/Metastasen: 15% Behandlung: OP/keine OP nach neoadjuvanter Therapie Chemoradiotherapie bei Resected/Unresected: 8%/29% Chemotherapie bei Resected/Unresected: 67%/50% Tabelle 3 zeigt pathologische Patientencharakteristik für "resected patients" nach OP	Resected vs unresected Borderline Tumore	Neoadjuvante Therapie + OP vs keine OP	Endpunkte: survival, median time to tumor recurrence	4 Nur univariate Analysen, keine Berücksichtigung der Störgrößen

⁵² Autor, Jahr, Studienname, Journal

⁵³ Studientyp (RCT, ..., prospektiv vs. retrospektiv, welcher Teil war prospektiv?, univariabel vs. multivariabel), mono vs. multizentrisch, Anzahl, Rekrutierungszeit- und land

⁵⁴, Indikation, Alter, Geschlecht, Behandlungen, Ausmaß/ Befallsmuster je Gruppe, Waren Einschlusskriterien a priori festgelegt?

⁵⁵ Tuschemarkierung/ Aufarbeitung der Resektionsränder und des Resektionspräparats

⁵⁶ Gibt es Angaben zum follow-up (z.B. Dauer, Abstand zwischen Untersuchungen, verwendete Untersuchungen)? Ist das Follow-up vollständig, sind Angaben für alle eingeschlossenen Patienten verfügbar? Wenn nicht, für welchen Anteil werden Angaben berichtet?

⁵⁷ Gab es eine prospektive Planung, Sind Einschlusskriterien für Patienten prospektiv definiert und repräsentativ? Ist die Nachbeobachtungsperiode ausreichend lang und wird über alle Patienten berichtet? Ist das prognost. Merkmal klar definiert und gemessen? Wurden wichtige Störgrößen in das prognost. Modell aufgenommen? Wurde Behandlung nach Prognosestellung standardisiert durchgeführt?

Artikel ⁵²	Studientyp ⁵³	Patienten ⁵⁴	Prognost. Merkmal und Cut-off ⁵⁵	Interventionen in beiden Gruppen	Endpunkte mit Nachverfolgungszeitraum ⁵⁶	Verzerrungs-risiko ⁵⁷ / Evidenzstufe
Barugola 2011 Am J Surg	Retro-spektive Studie einer prospektiven Datenbank Uni-und multivariat, 01/2000-12/2008, Schweden	N= 403 , Alter 62 Jahre (Range 50-70), 53 % Männer, Indikation: pancreatic cancer resection (histologisch bestätigtes duktales Adenokarzinom/PDA) Befallsmuster: 41 Patienten (10.1%) mit lokal fortgeschrittenen, unresektablen PDA (n=14; 34%) (definiert durch Tumorinvasion bei >180° der umliegenden Gefäße wie Art. mes. sup. (SMA), Truncus coeliacus, Aorta, Vena cava inf., Portalvene, V. mes. sup.(SMV)) + Borderline resectable Tumor (n=27, 66%) (definiert durch Tumorinvasion bei <180° der umliegenden Gefäße, wie SMV/Portalvene und SMA/Leberarterie) Behandlung: 41 (10.1%) OP nach neoadjuvanter Therapie (17, 41.4% erhielten CTX und 24, 58.6% erhielten Chemoradiation), 10 Patienten von 41 (24%) hatten vorhergehende Laparatomy mit Biopsie und surgical palliation adjuvante Therapie bei 32 von 41 Patienten (78%) und 362 (89.9%) mit OP ohne neoadjuvante Therapie adjuvante Therapie bei 291 von 362 Patienten (82%)	nicht-resektable Tumor/borderline-resektable Tumor (= neoadjuvante Gruppe)	OP nach neoadjuvanter Therapie bei 41 Patienten (10.1%) mit initial diagnostizierten nicht-resektablen Tumor/borderline-resektablen Tumor und 362 (89.9%) mit OP ohne neoadjuvante Therapie im Voraus	Post-OP Outcomes (Morbiditäts-, Mortalitäts-Raten) und survival, pathologic Response (Grad 1, 2, 3)	2b
Takahashi 2011 J Hepatobiliary Pancreat Sci	Retro-spektive Studie Mono-zentrisch, univariate Analyse	N=318 (gesamt) n=34 mit BRCP: Alter 64 Jahre (Range 40-84), 56 % Männer, Indikation: Resektion pancreatic ductal adenokarzinoma Befallsmuster:	Borderline resectable pancreatic cancer/BRPC	24/133 erhielten Resektion des BRCPs, da initiale Einstufung als pancreatic ductal adenocarcinoma (resektable) und	Median follow-up nach OP: 26.4 Monate	2b

Artikel ⁵² ⁵³	Studientyp	Patienten ⁵⁴	Prognost. Merk- mal und Cut-off ⁵⁵	Interventionen in beiden Gruppen	Endpunkte mit Nach- verfolgungszeitraum ⁵⁶	Verzerrungs-risiko ⁵⁷ / Evidenz- stufe
	01/2002- 12/2008, Japan	(nur Borderline-Tumor, n=34): Haupttumor im Kopf/Körper und Schwanz: 50%/50% Histologischer Tumortyp well/moderate und poor: 8/26 (23.5%)/76.5%) Mediane Tumogröße: 3.5 cm (1.5-10.0) 11 von 34 Patienten mit bilateral SMV(severe superior mesenteric vein)/portal impingement 7 von 34 Patienten mit tumor abutment on the CHA (common hepatic artery) 16 von 34 Patienten mit tumor abutment on the SMA (superior mesenteric artery) 7 von 34 Patienten mit tumor abutment on the celiac axis Behandlung: 133 Patienten erhielten OP bei initial diagnostiziertem pancreatic ductal adenocarcinoma, davon erfüllten 24 die Kriterien des BRCPs (Staging nach „NCCN Practice Guidelines in Oncology“), die restlichen 109 Patienten hatten resektable Tumore; keiner der 133 Patienten erhielt neoadjuvante CTX oder Chemoradiation 158 Patienten erhielten keine OP bei initial diagnostiziertem Locally advanced PC/LAPC, davon erfüllten 10 die Kriterien des BRCPs, die restlichen 175 Patienten hatten nicht-resektable Karzinome; 3/10 Patienten mit BRCP erhielten concurrent/sequential Chemoradiotherapie, 7/10 Patienten mit BRCP erhielten CTX; Patienten mit resektbarem Karzinom: 120/175 CTX, 2/175 Radiotherapie und 53/175 concurrent/sequential Chemo-radiotherapie Bis 2007 erhielt kein Patient post-OP adjuvante CTX, nach 2007 erhielten 45 Patienten CTX (GEM oder S-1)	Resektable PC vs.BRCP, BRCP vs. nicht-resektable PC	10/185 erhielten keine BRCP OP, da initiale Einstufung als LAPC		

Tabelle 3.1.3.8b: Ergebnisse aktueller prognostischer Studien zur Borderline-Resektabilität

Artikel	n	Prognost. Merkmal	Anzahl der Patienten mit prog. Merkmal	Ergebnisse aus univariater Analyse (OS)		Ergebnisse aus multivariater Analyse (OS)		Nebenwirkungen durch Sektion des Tumors
				p-Wert	Median /HR (95%-CI) / ÜL Raten	p-Wert	Median /HR (95%-CI) / ÜL Raten	
McClaine 2010		Resected vs unresected Borderline Tumore	12/14	0.015	23.3 Monate (9.8-33.4)/ 15.5 Monate (6.2-18.8)			N.A.
Barugola 2011	325	R0 vs. R1	216 / 109	0.70	HR 1.21 (0.47-3.09)	0.07	HR 0.31 (0.08-1.13)	N.A.
	253	R0 vs. R2 Resektion	216 / 37	0.01	HR 20.4 (1.81-229.8)	0.14	HR 8.56 (0.49-148.8)	
Takahashi 2011	133	Borderline resectable/Resectable PC	24/109	0.03	16 Monate/ 25 Monate			N.A.
	143	Resektable PC/BRCP	109/34	0.04 (mit Vorteil für resektable PC)	24.6 Monate 2- Jahres OS: 50.4% 15.7 Monate 2- Jahres OS: (33%)			
	209	BRCP/nicht-resektable PC	34/175	<0.01 (mit Vorteil für BRCP)	15.7 Monate 2- Jahres OS: 33% 10.3 Monate 2- Jahres OS: 13.5 %			

Vollpublikationen:

Barugola, G., S. Partelli, et al. (2011). "Outcomes after resection of locally advanced or borderline resectable pancreatic cancer after neoadjuvant therapy." American Journal of Surgery.

McClaine, R. J., A. M. Lowy, et al. (2010). "Neoadjuvant therapy may lead to successful surgical resection and improved survival in patients with borderline resectable pancreatic cancer." HPB (Oxford) 12(1): 73-79.

Takahashi, S., T. Kinoshita, et al. (2011). "Borderline resectable pancreatic cancer: rationale for multidisciplinary treatment." J Hepatobiliary Pancreat Sci 18(4): 567-574.

Nachfolgende Evidenztabelle bezieht sich auf folgende Frage:

3.1.7 Vorgehen bei Karzinomen des Pankreaskopfes

Hat die pyloruserhaltende Operation Vorteile?

Insgesamt wurden 28 Studien zum Thema auf der Grundlage des Titel- und Abstractscreenings gefunden. Eingeschlossen wurden fünf RCTs und ein systematischer Review. Drei Studien wurden mit dem Evidenzniveau 1b beurteilt, zwei Studien wurden aufgrund geringer Fallzahlen abgewertet (1b-). Der systematische Cochrane Review (Diener 2010) wurde aufgrund des hohen Verzerrungspotentials in den Primärstudien (geringe Fallzahlen, verschiedene Definition der Endpunkte, ungeeignete Methoden der Randomisierung und verdeckten Zuordnung, nur eine ITT Analyse) abgewertet (Evidenzniveau 1a-). Alle in den Review eingeschlossenen Studien wurden vor 2007 veröffentlicht.

Ausgeschlossen wurden zehn retrospektive Studien, vier weitere nichtrandomisierte Studien, eine Studie ohne Vergleichsgruppe und sechs systematische Reviews, welche nur vor 2006 veröffentlichte Studien einschließen. Ein elektronisch veröffentlichter systematischer Review (Kocher 2010) konnte in der Volltextversion nicht bestellt werden.

Tabelle 3.1.7a: Studienbeschreibung: Aktuelle Studien zum Vorgehen bei Karzinomen des Pankreaskopfes (z.B. pyloruserhaltene Operationen)

Artikel	Studientyp	Patientenmerkmale	Intervention: pyleros-erhaltene Intervention	Vergleichs-Interven- tion	Follow-up (Monate)	Endpunkte	Verzerrungsrisiko	Evidenz-stufe (CEBM levels)
Peng 2007 Annals of Surgery	RCT (3 Chirurgen) 2-armig N=217 06/2001 - 09/ 2004 China	Patienten mit Laparatomy bei benigner and malignanter Erkrankung des Pankreaskopfes und der periampularen Region Alter: 52 Jahre (41-61) sex: 53% Männer Final pathology: Pancreatic adenocarcinoma (42%)/ Distal bile duct adenocarcinoma (30%)/ Ampullary adenocarcinoma (16%)/Duodenal adenocarcinoma (2%)/ Pancreatitis in pancreatic head (9%)/ Duodenal stromal tumor (1%) klassische/pylorus-erhaltende Pancreaticoduodenectomy: 88%/ 12% Pankreastextur: Soft/Intermediate/Firm: 35% /42% / 23%.	Pancreaticojejunostomie, verbunden durch Ligatur: umgestülptes Jejunumende (mit zerstörter Mucosa) umhüllt Schnittrand des Pankreasstumpf, verbunden durch Naht und Verschluss der Öffnung zwischen Jejunum und Pankreas durch eine verbindende Ligatur/ein Band (nach vorheriger Entfernung des Pankreas und Duodenums)	herkömmliche Pancreaticojejunostomie: Ende-an-Ende; Jejunumende umhüllt den Pankreas-Stumpf ("end-to-end pancreaticojejunostomy with invagination of the pancreatic stump, without duct-to-mucosa suturing and without a stent in the pancreatic duct across the anastomosis")	Zeit im Krankenhaus	primärer End-punkt: pancreaticojejunostomy leakage /=Anastomoseninsuffizienz (Verlust wegen pankreatischer Anastomose/ Öffnung) sekundäre End-punkte: Mortalität während Krankenhausaufenthalt, allgemeine postoperative Morbidität, Dauer postoperativen Krankenaufenthalts	Generierung der Zufallsfolge: geringes Risiko (zentral per Computer) Verdeckte Therapiezuweisung: ja Verblindung: der Patienten und 2 unabhängige Begutachter der Outcomes Beschreibung von Studienabbrüchen: ja ITT-Analyse: ja	1b 10% der Patienten hatten benigne Tumore
Kamoda 2008 Surg Today	mono-zentri- sche RCT 2-armig N=43 01/2003- 01/2007 Japan	Patienten mit Duodenopankreatektomie (mit/ohne Pylorus-Erhaltung) für Tumore (pancreas, periampillary, and bile duct tumors) Alter ≥65= 54,5% Alter < 65 = 45,5% sex: 36.4% Männer The pathological diagnoses in this series included pancreatic cancers (n = 12), papillary mucinous neoplasm (n=12), bile duct cancers (n =7), ampullary cancers (n= 4), ga	PJ with an internal stent after a pancreatico-duodenectomy (PD).	Pancreaticojejunostomy (PJ) with an external stent after a pancreatico-duodenectomy (PD).	es gab follow-up, aber keine Angaben über Dauer	primärer End-punkt: Pancreatic fistula sekundäre End-punkte: andere Komplikationen sowie Mortalität und post-OP-Krankenhausaufenthalt	Keine näheren Angaben zu Rand., Therapiezuweisung und Verblindung, 1 Patient wurde ausgeschlossen (no pancreaticojejunostomy due to secondary fatty replacement of the remnant pancreas) ITT: ja Cross-over: nein Study was stopped in 3 patients (acute)	1b- no deaths in both arms, small study

Artikel	Studientyp	Patientenmerkmale	Intervention: pyleros-erhaltene Intervention	Vergleichs-Interven- tion	Follow-up (Monate)	Endpunkte	Verzerrungsrisiko	Evidenz-stufe (CEBM levels)
		(n= <input type="checkbox"/> 1), (n= <input type="checkbox"/> 1) tumor (n = <input type="checkbox"/> 1) dopapillary tumor of the pan- creas (n= <input type="checkbox"/> 1). Pancreaticoduodenectomy including pylorus-preserving PD (n= <input type="checkbox"/> 1) with varying extents of a lym- phadenectomy according to the disease and cancer stage.	<input type="checkbox"/> 1), <input type="checkbox"/> <input type="checkbox"/>				pancreatitis and duct obstruction after the removal of an exter- nal stent)	
Srinarm- wong 2008 J Med As- soc Thai	Mono-zentri- sche RCT 2-armig N=27 01/2000- 12/2004 Thailand	Operable Patienten mit Pan- kreas oder periampullärem Adenocarcinom Alter 51-74 Jahre Sex (m/w): 67% / 33% Prophylaxe: 2mg Cefazolin + 500 mg Metronidazol Ausschluss bei (Komorbid- itäten): previous gastric resec- tion, distant metastasis or locally unresectable tumors, tumor invasion of the pylorus or stomach	PPPD: division of the duodenum 2 cm distal to the pylorus with resec- tion of the remain- ing duodenum, removal of the gallbladder and common bile duct and resection of the head, neck, and uncinate pro- cess of the pan- creas	SW: distal gastrectomy varying from 20%-40% of the stomach, an end- to-side invaginated pan- creatico jejunostomy, an end-to-side hepaticojeju- nostomy, and a side-to- side gastroenterostomy or an end-to-side pylo- rusjejunostomy	Follow-up: 24-60 Monate	primärere End- punkte: intraopera- tiver Blutverlust, Operationsdauer, Länge des Kranken- hausaufenthalts sekundäre End- punkte: delayed gastric emptying, 2- year-survival	Generierung der Zufallsfolge: compu- ter generated random number list Verdeckte Therapie- zuweisung: ja Verblindung: k. A. Beschreibung von Studienabbrüchen: keine Abbrüche ITT-Analyse: ja Cross-over: nein	1b- small study
Kawai 2011 Ann Surg 2011	mono-zentri- sche RCT 2-armig N=130 10/ 2005 - 03/ 2009, Japan	Patienten mit pankreatischen oder periampullären Läsionen Alter: 68 (59 - 77) sex: 55%/45% Diabetes (ja/nein): 29%/71% pre-OP biliäre drainage (ja/nein): fehlerhafte Angabe benigne/malign Tumore: 20%/80% Ausschlusskriterien: Tumorinfiltration/ Metastasen im Magen- und Pylorusbereich	pylouserhaltende Duodenopankreatektomie (PpPD) rechte Magenarterien und N. vagus wurden durchgeschnitten und seziert (?), proximaler Duodenum wurde distal vom Pylorus-Ring getrennt	Duodenopankreatektomie mit Pylorusresektion (PrPD): rechte Magenarterien und N. vagus wurden durchgeschnitten und seziert (?), Erhalt von > 95% des Magens und Pylorusresektion	6 Monate follow-up	primärer End- punkt: DGE (verzögerte Magenentleerung) mit Grading A,B,C sekundäre End- punkte: QoL, Gewichtsver- lust, Ernährungs- status, post-OP Komplikationen (außer DGE),	Generierung der Zufallsfolge: (compu- ter-generiert) Verdeckte Therapie- zuweisung: ja (zent- ral) Verblindung: k.A. Beschreibung von Studienabbrüchen: ja ITT-Analyse: ja Cross-over: nein	1b 20% der Pati- enten hatten benigne Tu- more

Artikel	Studientyp	Patientenmerkmale	Intervention: pyleros-erhaltene Intervention	Vergleichs-Interven- tion	Follow-up (Monate)	Endpunkte	Verzerrungsrisiko	Evidenz-stufe (CEBM levels)
		(auch Lymphknoten), schwere Komorbiditäten wie Myokardialinfarkt, Atemwegserkrankung mit Sauerstofftherapie ,Leberzirrhose, Hämodialyse oder Krebs anderer Organe, Resektion der Leber, psychischer Störungen				Mortalität (innerhalb 30 Tage nach OP)		
Diener 2011 Cochrane Database of Systematic Reviews	Systemati- scher Re- view mit 6 RCTs (Bloechle 1999; Lin 1999; Paquet 1998; Seiler 2005; Tran 2004; Wenger 1999) n=465 Einschluss von Patien- ten mit Karzi- nomen des Pankreas- kopf es in 3 Studien (Lin 1999; Seiler 2005; Tran 2004) N=203	Patienten mit resektablen pancreaticischen oder periam-pullärem Krebs, balanced inter- and intra-study distribution of R0 resections (resection without microscopical tumour remnants: 91%±12.4 in the PPW vs. 90.4%± 11.2 in the CWgroup, similar distribution of positive lymph node status in three studies (mean positive lymph node status in the PPW group was 54.3%±6.7 vs. 60.4% ±6.7) in the CWgroup	Pylorus-preserving pancreaticoduodenectomy (ppWhipple)	pancreaticoduodenectomy (classicWhipple)	Suche in elektronischen Datenbanken und Konferenzbänden bis 01/2011, Follow-up 18-144 Monate	Primärer End- punkt: Postoperative krankheitsspezifische Morbidität (leakage from the pancreatic anastomosis/pancreatic fistula, DGE and biliary leakage) Sekundäre End- punkte: Überleben, postoper. Mortalität, Blutverlust, Bluttransfusionen, OPZeit, allg. Morbidität, Zeit im Krankenhaus, QoL, Status der Resektionsränder	Prospektive Planung, doppeltes Screenen, Studienbewertung und Datenextraktion, vollständige Literatursuche, Liste von ein- und ausgeschlossener Literatur wird gezeigt, eingeschlossene Studien werden charakterisiert, Verzerrungs-potential wird beurteilt, Methodik ist adäquat (AMSTAR) Getrennte Auswertung für Karzinome des Pankreaskopfes erfolgte nur für das Gesamtüberleben	1a- geringe Quali- tät der Evidenz (GRADE) wegen Verzerrungs- pot. In Primär- studien (ge- ringe Fallzah- len, verschie- dene Definitio- nen der Endpunkte, inexplicit Me- thoden der Randomisie- rung und ver- deckten Zuord- nung, nur eine ITT Analyse, alle einge- schlossenen Studien wur- den vor 2007 veröffentlicht

Artikel	Studentyp	Patientenmerkmale	Intervention: pyleros-erhaltene Intervention	Vergleichs-Interven- tion	Follow-up (Monate)	Endpunkte	Verzerrungsrisiko	Evidenz-stufe (CEBM levels)
Intraabdominelle Drainage-Entfernung nach Pankreasresektion : frühe POD3 vs. Standard-POD5 (oder später)								
Bassi 2010 Annals of Surgery	mono-zentri- sche RCT 2-armig N= 114 03/ 2008 - 04/ 2009 Italien	Patienten mit pancreaticischen und periampullären Tumoren mit Standard Pancreasresektion (PD or distal pancreatectomy with or without spleen preservation) Alter: 57 Jahre sex: 52%/48% Diabetes: 21% kardiale Pathologie: 20% Preoperative biliary drainage: 20% Benign disease/malignant disease: 38,6%/61,4% Komorbiditäten/Ausschluss von: Gastropankreatektomie, post-OP Hämorrhagen oder relaparotomy innerhalb 72 Stunden, “sinister” -Erscheinung des Ausflusses aus dem Drainageschlauch, Gallenfisteln, peripankreatische Flüssigkeits-ansammlung	frühe Drainage-Schlauch-Entfernung am Tag 3 post-OP (POD 3)	Standard Dra- nage-Schlauch- Entfernung am Tag 5 oder später post-OP (POD 5)		primärer End- punkt: Inzidenz Pankreas- fisteln sekundäre End- punkte: abdominelle und pulmonale Komplikationen, Aufenthaltsdauer im Krankenhaus, peri-OP Mortalität, Kostenanalyse	Generierung der Zufallsfolge: (computer-generiert) Verdeckte Therapiezuweisung: N:A. Verblindung: N:A: Beschreibung von Studienabbrüchen: keine Abbrüche ITT-Analyse: ja Cross-over: nein	1b 39% der Patienten hatten benigne Tu- more

Tabelle 3.1.7b: Ergebnisse aktueller randomisierter Studien zum Vorgehen bei Karzinomen des Pankreaskopfes

Artikel (Autor, Jahr, Studiename, Journal)	Therapie <i>mit</i> py- loruserhaltenen Operationen	OP Zeit	OS 95 % KI): post-OP / in-hospi- tal	OS Gesamt-morta- lität	Nebenwirkungen therapieassoziierte Todesfälle und Komplikationen (alle in % der behandelten Patienten)	Lebensqualität
	Therapie <i>ohne</i> py- loruserhaltene Opera- tionen					
Peng 2007 Annals of Sur- gery	Pancreaticoje- junostomie, verbunden durch Ligatur (n=106)	5.2 h (4,9 - 5,5)	2,8%	N.A.	post-OP Krankenhausaufenthalt: 18,4 Tage (13,7 - 23,1) post-OP Komplikationen: 24,5%	N.A.
	herkömmliche Pancreaticoje- junostomie (n=111)	5.7 h (5,5 - 5,9)	6,3%	N.A.	post-OP Krankenausaufenthalt: 22,4 Tage (11,5 - 33,3) post-OP Komplikationen: 36,9%	N.A.
Kamoda 2008 Surg Today	External Stent group (n=22)	527.5±13 0.2min	0%	N.A.	post-OP Krankenausaufenthalt: 43.4±9.9 Tage post-OP Komplikationen: 14% acute pancreatitis, 36% pancreatic fistula (ISGPF, A and B) Delayed gastric emptying: 9%	N.A.
	Internal stant group (n=21)	495.0±14 4.7min	0%	N.A.	post-OP Krankenausaufenthalt: 43.1±19.9 Tage post-OP Komplikationen: 33% pancreatic fistula (ISGPF, A and B) Delayed gastric emptying: 5%	N.A.
Srinarm-wong 2008 J Med Assoc Thai	PPPD (n=14)	303,12 min (345-367)	28,6%	1-year-survival: 57,1% 2-year-survival: 35,7%	post-OP Krankenausaufenthalt: 22 Tage (12-28) post-OP Komplikationen: pancreatic fistula 35,7%, gastroenterostomy leakage 7,1%, bile leakage 14,3% Delayed gastric emptying: 64.3%	N.A.
	SW (n=13)	316,4 min (287-360)	15,4%	1-year-survival: 69,2% 2-year-survival: 30,8%	post-OP Krankenausaufenthalt: 20 Tage (11-24) post-OP Komplikationen: pancreatic fistula 30,8%, gastro-enterostomy leakage 15,4%, bile leakage 0% Delayed gastric emptying: 15.4%	N.A.

Artikel (Autor, Jahr, Studiename, Journal)	Therapie mit pyloruserhaltenden Operationen	OP Zeit	OS 95 % KI): post-OP / in-hospital	OS Gesamt-mortalität	Nebenwirkungen therapieassoziierte Todesfälle und Komplikationen (alle in % der behandelten Patienten)	Lebensqualität
	Therapie ohne pyloruserhaltene Operationen					
Kawai 2011 Annals of Surgery	pyloruserhaltende Duodenopankreatektomie (PpPD) (n=64)	342 ± 71 min	0%		post-OP Krankenhausaufenthalt: 24.1 ±14.8 Tage post-OP Komplikationen: delayed gastric emptying: 17.2% pancreatic fistula (A/B/C): 29.6% / 17.1% / 10.9% Intra-abdominal abscess: 12.5% Intra-abdominal hemorrhage: 1.6% Wound infection: 3.1% Pulmonary complication: 1.6% NOMI:0% Percutaneous drainage: 12.5% Reoperation: 0%	Total FACT-Ga score (range 0–184): 1 mo after surgery: 119.9 ± 24.3 3 mo after surgery: 132.3 ± 21.3 6 mo after surgery: 139.1 ± 22.9
	Duodenopankreatektomie mit Pylorusresektion (PrPD) (n=66)	358 ± 84 min	1.5% (1 Patient starb wegen Ischämie)		post-OP Krankenaufenthalt: 24.3 ±15.5 Tage post-OP Komplikationen: delayed gastric emptying: 4.5% pancreatic fistula (A/B/C): 28.8% / 16.7% / 7.6% intra-abdominal abscess:9.1% Intra-abdominal hemorrhage: 3.0% Wound infection: 3.0% Pulmonary complication: 3.0% NOMI:1.5% Percutaneous drainage: 9.1% Reoperation: 1.5%	Total FACT-Ga score (range 0–184): 1 mo after surgery: 120.4 ± 29.7 3 mo after surgery: 125.4 ± 26.8 6 mo after surgery: 139.6 ± 21.4
Diener 2011 Cochrane Database of Systematic Reviews	Pylorus-preserving pancreaticoduodenectomy N=98					
	Classic Whipple operation N=105			HR 0.73 (95% KI 0.43-1.22), p=0.23		

Artikel (Autor, Jahr, Studiename, Journal)	Therapie mit py- loruserhaltenen Operationen	OP Zeit	OS 95 % KI): post-OP / in-hospi- tal	OS Gesamt-morta- lität	Nebenwirkungen therapieassoziierte Todesfälle und Komplikationen (alle in % der behandelten Patienten)	Lebensqualität
	Therapie ohne py- loruserhaltene Opera- tionen					
Bassi 2010 Annals of Sur- gery	frühe Drainage- Schlauch-Entfernung am Tag 3 post-OP (POD 3) n= 57	284.8 (\pm 96.5) Minuten			Gesamtkrankenhausaufenthalt: 8.7 \pm 4.0 Tage post-OP Komplikationen: Inzidenz Pankreasfisteln: 1.8% delayed gastric emptying: 3.5% abdominelle Komplikationen: 12.2%, (P = 0.001; OR: 7.9) pulmonale Komplikationen: 26.3%, (P = 0.007; OR: 3.1) complicated postoperative course: 38.5% (P = 0.024, OR: 2.5) Akute Pankreatitis: 7.0% DGE: 3.5% Postpancreatectomy hemorrhage: 0 Reoperation: 0% hospital costs: 10071 \pm 2700 Euro	N.A.
	Standard Drainage- Schlauch-Entfernung am Tag 5 oder später post-OP (POD 5) n= 57	291.9 (\pm 86.0) Minuten			Gesamtkrankenhausaufenthalt: 11.3 \pm 7.2 Tage post-OP Komplikationen: Inzidenz Pankreas-fisteln: 26.0% delayed gastric emptying: 5.3% abdominelle Komplikationen: 52.6% pulmonare Komplikationen: 52.6% complicated postoperative course: 61.4% Akute Pankreatitis: 10.5% DGE: 5.3% Postpancreatectomy hemorrhage: 1,8% Reoperation: 1,8% hospital costs: 12,140 \pm 6400 Euro	N.A.

Referenzen

- Bassi C, Molinari E, Malleo G, Crippa S, Butturini G et al. Early versus late drain removal after standard pancreatic resections: results of a prospective randomized trial. *Ann Surg.* 2010;252(2):207-14.
- Diener Markus, K., C. Fitzmaurice, et al. (2011) Pylorus-preserving pancreaticoduodenectomy (pp Whipple) versus pancreaticoduodenectomy (classic Whipple) for surgical treatment of periampullary and pancreatic carcinoma. *Cochrane Database of Systematic Reviews* DOI: 10.1002/14651858.CD006053.pub4.
- Jamieson, N. B., A. K. Foulis, et al. (2010). "Positive mobilization margins alone do not influence survival following pancreatico-duodenectomy for pancreatic ductal adenocarcinoma." *Ann Surg* 251(6): 1003-1010.
- Kamoda Y, Fujino Y, Matsumoto I, Shinzaki M, Sakai T, Kuroda Y. Usefulness of performing a pancreaticojejunostomy with an internal stent after a pancreateoduodenectomy. *Surg Today.* 2008;38(6):524-8.
- Kawai M, Tani M, Hirono S, Miyazawa M, Shimizu A, et al. Pylorus ring resection reduces delayed gastric emptying in patients undergoing pancreateoduodenectomy: a prospective, randomized, controlled trial of pylorus-resecting versus pylorus-preserving pancreateoduodenectomy. *Ann Surg.* 2011;253(3):495-501.
- Peng SY, Wang JW, Lau WY, Cai XJ, Mou YP, et al. Conventional versus binding pancreaticojejunostomy after pancreaticoduodenectomy: a prospective randomized trial. *Annals of Surgery* 2007; 245 (5): 692– 698.
- Srinarmwong C, Luechakiettisak P, Prasitvilai W. Standard Whipple's Operation versus Pylorus Preserving Pancreaticoduodenectomy: A Randomized Controlled Trial Study. *J Med Assoc Thai.* 2008; 91:693-698

In den Cochrane Review (Diener 2011) eingeschlossene Studien:

- Bloechle C, Broering DC, Latuske C. Prospective randomized study to evaluate quality of life after partial pancreateoduodenectomy according to Whipple versus pylorus preserving pancreateoduodenectomy according to Longmire-Traverso for periampullary carcinoma. *Deutsche Gesellschaft für Chirurgie* 1999;Supplement 1, Forumband: 661–4.
- Lin PW, Lin YJ. Prospective randomized comparison between pylorus-preserving and standard pancreaticoduodenectomy. *British Journal of Surgery* 1999; 86(5):603–7.
- Lin PW, Shan YS, Lin YJ, Hung CJ. Pancreaticoduodenectomy for pancreatic head cancer: PPPD versus Whipple procedure. *Hepatogastroenterology* 2005;52(65):1601–4.
- Paquet K-J. Comparison of Whipple's pancreaticoduodenectomy with the pylorus-preserving pancreaticoduodenectomy - a prospectively controlled, randomized long-term trial [Vergleich der partiellen Duodenopankreatektomie (Whipple–Operation) mit der pyloruserhaltenden Zephaloduodenopankreatektomie – eine prospektive kontrollierte, randomisierte Langzeitstudie]. *Chirurgische Gastroenterologie* 1998;14:54–8.
- Seiler CA, Wagner M, Bachmann T, Redaelli CA, Schmied B, Uhl W, et al. Randomized clinical trial of pyloruspreserving duodenopancreatectomy versus classical Whipple resection - long term results. *British Journal of Surgery* 2005; 92(5):547–56.
- Tran KT, Smeenk HG, van Eijck CH, Kazemier G, Hop WC, Greve JW, et al. Pylorus preserving pancreaticoduodenectomy versus standard Whipple procedure: a prospective, randomized, multicenter analysis of 170 patients with pancreatic and periampullary tumors. *Annals of Surgery* 2004;240(5):738–45.
- Wenger FA, Jacobi CA, Haubold K, Zieren HU, Muller JM. Gastrointestinal quality of life after duodenopancreatectomy in pancreatic carcinoma. Preliminary results of a prospective randomized study: pancreateoduodenectomy or pyloruspreserving pancreateoduodenectomy. *Chirurg* 1999;70: 1454–9.

Ausgeschlossene Studien (mit Gründen)

- Akizuki, E., Y. Kimura, et al. Prospective nonrandomized comparison between pylorus-preserving and subtotal stomach-preserving pancreaticoduodenectomy from the perspectives of DGE occurrence and postoperative digestive functions. *J Gastrointest Surg* 2008; 12(7): 1185-1192 (kein RCT).
- Benzoni, E., L. Rossit, et al. Analysis of survival after pancreatic resection for oncological pathologies. *Chir Ital* 2007; 59(1): 17-25 (retrospektive Studie).
- De Franco, V., E. Frampas, et al. Safety and feasibility of pancreaticoduodenectomy in the elderly: A matched study. *Pancreas* 2011; 40(6): 920-924 (retrospektive Studie).
- Fitzmaurice, C., C. M. Seiler, et al. [Survival, mortality and quality of life after pylorus-preserving or classical Whipple operation. A systematic review with meta-analysis]. *Chirurg* 2010; 81(5): 454-471 (systematischer Review bis 2006).
- Fujii, T., M. Kanda, et al. Preservation of the Pyloric Ring Has Little Value in Surgery for Pancreatic Head Cancer: A Comparative Study Comparing Three Surgical Procedures. *Ann Surg Oncol* 2011; (retrospektive Studie).
- Horiguchi, A., S. Ishihara, et al. . Pancreatoduodenectomy in which dissection of the efferent arteries of the head of the pancreas is performed first. *J Hepatobiliary Pancreat Surg* 2007; 14(6): 575-578 (kein RCT).
- Iqbal, N., R. E. Lovegrove, et al. A comparison of pancreaticoduodenectomy with pylorus preserving pancreaticoduodenectomy: a meta-analysis of 2822 patients. *Eur J Surg Oncol* 2008; 34(11): 1237-1245 (Review, Einschluss von Studien vor 2007).
- Iqbal, N., R. E. Lovegrove, et al. A comparison of pancreaticoduodenectomy with extended pancreaticoduodenectomy: a meta-analysis of 1909 patients. *Eur J Surg Oncol* 2009; 35(1): 79-86 (Review, Einschluss von Studien vor 2007).
- Jamieson, N. B., A. K. Foulis, et al. (2010). "Positive mobilization margins alone do not influence survival following pancreatico-duodenectomy for pancreatic ductal adenocarcinoma." *Ann Surg* 251(6): 1003-1010 (retrospektive Studie).
- Karanikolas, P. J., E. Davies, et al. The pylorus: take it or leave it? Systematic review and meta-analysis of pylorus-preserving versus standard whipple pancreaticoduodenectomy for pancreatic or periampullary cancer. *Ann Surg Oncol* 2007; 14(6): 1825-1834 (systematischer Review, Einschluss von Studien vor 2007).
- Kimura, W. Pancreaticojejunal anastomosis, using a stent tube, in pancreaticoduodenectomy. *J Hepatobiliary Pancreat Surg* 2009; 16(3): 305-309 (keine Kontrollgruppe).
- Kocher, H. M. and W. Alrawashdeh. Pancreatic cancer. *Clin Evid (Online)* 2010 (systematischer Review, bestellt, bisher nicht erhalten).
- Kurosaki, I., M. Minagawa, et al. Left posterior approach to the superior mesenteric vascular pedicle in pancreaticoduodenectomy for cancer of the pancreatic head. *Journal of the Pancreas* 2011; 12(3): 220-229 (kein RCT).
- Nathan, H., C. L. Wolfgang, et al. Peri-operative mortality and long-term survival after total pancreatectomy for pancreatic adenocarcinoma: a population-based perspective. *J Surg Oncol* 2009; 99(2): 87-92 (retrospektive Studie).
- Oliverius, M., Z. Kala, et al. Radical surgery for pancreatic malignancy in the elderly. *Pancreatology* 2010; 10(4): 499-502 (retrospektive Studie).
- Reddy, S., C. L. Wolfgang, et al. Total pancreatectomy for pancreatic adenocarcinoma: Evaluation of morbidity and long-term Survival. *Annals of Surgery* 2009; 250(2): 282-287 (retrospektive Studie).
- Rudloff, U., A. V. Maker, et al. Randomized Clinical Trials in Pancreatic Adenocarcinoma. *Surgical Oncology Clinics of North America* 2010; 19(1): 115-150 (Review ohne Zusammenfassung der Effektmaße, alle geeigneten Primärstudien eingeschlossen).

Schmidt, C. M., J. Glant, et al. Total pancreatectomy (R0 resection) improves survival over subtotal pancreatectomy in isolated neck margin positive pancreatic adenocarcinoma. *Surgery* 2007; 142(4): 572-578; discussion 578-580 (retrospektive Studie).

Shao, Q. S., Z. Y. Ye, et al. Radical pancreatoduodenectomy combined with retroperitoneal nerve, lymph, and soft-tissue dissection in pancreatic head cancer. *Chinese Medical Journal* 2008; 121(12): 1130-1133 (retrospektive Studie).

Shrikhande, S. V., S. G. Barreto, et al. Superior mesenteric artery first combined with uncinate process approach versus uncinate process first approach in panreatoduodenectomy: a comparative study evaluating perioperative outcomes. *Langenbeck's Archives of Surgery* 2011; 1-8 (kein RCT).

Takao, S., H. Shinchi, et al. Survival benefit of pancreaticoduodenectomy in a Japanese fashion for a limited group of patients with pancreatic head cancer. *Hepatogastroenterology* 2008; 55(86-87): 1789-1795 (retrospektive Studie).

Tani, M., M. Kawai, et al. Pylorus-preserving pancreaticoduodenectomy versus conventional pancreaticoduodenectomy for pancreatic adenocarcinoma. *Surg Today* 2009; 39(3): 219-224 (retrospektive Studie).

Nachfolgende Evidenztabelle bezieht sich auf folgende Fragen:

3.1.10 Vorgehen bei Adhärenz des Tumors mit umgebenden Organen

Insgesamt wurde eine Studien zum Thema auf der Grundlage des Titel- und Abstractscreenings gefunden und eingeschlossen. Diese Studie wurde aufgrund fehlender Adjustierung für prognostische relevante Störgrößen mit dem Evidenzniveau 4 beurteilt.

Tabelle 3.1.10a: Studienbeschreibung: Aktuelle Studien zur minimalen Resektionsmöglichkeit von makroskopischen Tumoren

Artikel	Studientyp	Patienten	Prognost. Merkmal und Cut-off	Interventionen in beiden Gruppen	Endpunkte mit Nachverfolgungszeitraum	Verzerrungsrisiko / Evidenzstufe
Nikfarjam 2009 J Gastointest Surg	retrospektive Studie mono-zentrisch 01/2002-11/2007 USA	Indikation: patients undergoing pancreaticoduodenectomy (PD) by a single surgeon (K.S.) Ausschluss: unresectable tumors (if there was evidence of complete superior mesenteric or portal vein encasement, superior mesenteric artery involvement, or if there were metastases). N=105 Alter: median 68 Jahre (22-88); 49% männlich Befallsmuster: pancreatic cancer (n=44, 42%) ASA class (II/III/IV): 12%/87%/1%; biliary stent: 31% Behandlung: PD alone: 86 Patienten, multivisceral resection that involves PD (MVR-PD): 19 Patienten Pancreatic cancer - PD alone/MVR-PD: 37/7	PD vs. MVR-PD (required on preoperative imaging in cases of periampullary malignancy if there was suggestion of colonic involvement and for sarcomas overlying the right kidney with evidence of duodenal or pancreatic attachment.)	All surgical resections were performed using standard techniques. A two-layer end-to-side duct to mucosa pancreaticojejunal anastomosis was performed with an interrupted single layer end-to-side anastomosis for biliary reconstruction. A pylorus-preserving technique was the procedure of choice when possible. A two-layered retrocolic duodenojejunal or gastrojejunal anastomosis was performed. Two closed-suction drains were placed adjacent to the pancreatic and biliary anastomoses. MVR-PD was undertaken in cases where PD alone was unable to achieve oncological tumor clearance or where two or more unrelated pathologies required surgical treatment. An en bloc resection was performed when possible.	Length of SICU (surgical intensive care unit) stay Overall length of stay Complications readmissions	4 Wegen fehlender multivariater Analysen mit Korrektur von Störgrößen Keine Endpunkt-Daten für Patienten mit Pancreaskarzinom (nur PD vs. MVR-PD)

Tabelle 3.1.10b: Ergebnisse aktueller prognostischer Studien zur minimalen Resektionsmöglichkeit von makroskopischen Tumoren

Artikel (Autor, Jahr)	n	Prognost. Merkmal	Anzahl der Patienten mit prog. Merkmal	Ergebnisse aus univariater Analyse		Ergebnisse aus mul- tivariater Analyse		Nebenwirkungen durch Sektion des Tumors (alle in % der behandelten Patienten)
				p-Wert	HR	p-Wert	HR	
Nikfarjam 2009	105	MVR-PD vs. PD alone	19/86	0,002 <0,001 0,257	Median operative time 9,5h (7-21) / 8h (4-15) Days in SICU 1 (1-6) / 2 (1-4) Total length of stay (days) 7 (6-34) / 8 (6-19)			Operative Mortalität: 0 Komplikationen: 60% (PD alone: 58% vs. MVR-PD: 68%)

Referenzen

Nikfarjam, M., M. Sehmey, et al. (2009). "Additional organ resection combined with pancreaticoduodenectomy does not increase postoperative morbidity and mortality." *J Gastrointest Surg* **13**(5): 915-921.

Nachfolgende Evidenztabelle bezieht sich auf folgende Frage:

3.1.11 Sollen im Rahmen einer Resektion des Pankreaskarzinoms Lymphknoten mitreseziert werden?

Insgesamt wurden 32 Studien zum Thema auf der Grundlage des Titel- und Abstractscreenings gefunden. Eingeschlossen wurden 24 prognostische Studien. 11 Studien wurden mit dem Evidenzniveau 2b beurteilt, neun Studien wurden wegen Ausschluss von mehr als 10% der Patienten, fehlenden Informationen zur Länge der Nachbeobachtungszeit, der Rekrutierung weniger Patienten über sehr lange Zeitperioden (mit sich ändernden Diagnose- und Therapietechniken oder dem selektiven Berichten signifikanter Prognosefaktoren abgewertet (2b-). Weitere vier Studien wurden aufgrund fehlender Adjustierung für prognostische relevante Störgrößen mit dem Evidenzniveau 4 bewertet.

Ausgeschlossen wurden vier systematische Reviews, welche ausschließlich vor 2007 publizierte Studien einschließen, ein Review ohne zusammenfassende Metaanalyse und eine nicht in englischer oder deutscher Sprache veröffentlichte Studie.

Tabelle 3.1.11a: Studienbeschreibung: Aktuelle Studien zur Mitresektion von Lymphknoten bei Resektion des Pankreaskarzinoms

Artikel	Studientyp	Patienten	Prognost. Merkmal und Cut-off	Interventionen in beiden Gruppen	Endpunkte mit Nachverfolgungszeitraum	Verzerrungsrisiko / Evidenzstufe
Cordera 2007 Ann of Surg Onc	Retrospective review of a prospective collected database with multivariable data, mono-zentrisch, USA, 06/1991-04/2005	N=55, mittleres Alter 65.7 Jahre (Range 42-83), 40% Männer, Indikation: patients underwent a pancreaticoduodenectomy for pancreatic head adenocarcinoma with intra-operatively separately identified and evaluated para-aortic and common hepatic artery lymph nodes (CHALN) Befallsmuster: 11 (20%) stage I disease, 38 (69%) stage II, 6 (10%) stage III mean tumor sizes 2.6 cm (range, 0.5–8 cm). Tumor differentiation (grade): 8 well differentiated, 25 moderately, 22 poorly. Behandlung: 39 had a standard pancreaticoduodenectomy, 7 a pyloruspreserving procedure, 9 an extended resection 46 patients (83.6%) received perioperative chemotherapy, 37 (67.2%) received perioperative radiotherapy., 24 patients (43.6%) received preoperative chemoradiation. 38 patients (69%) had one or more lymph nodes with metastatic involvement; 10/38 of these had disease in CHALN.	Kein Befall der Lymphknoten (LN neg.) vs. peripancreatic Lymphknotenbefall (PPLN pos., aber kein CHALN Involvement) vs. CHALN positiv	Operation bei allen Patienten (pancreaticoduodenectomy for pancreatic head adenocarcinoma)	Krankheitsfreies (DFS) und Gesamtüberleben (OS), keine Infos zum Follow-up und Vollständigkeit	2b- Datenbank wurde prospektiv angelegt, Auswahl von Patienten mit CHALN –Untersuchung (untersucherspez.). In das prognostische Modell wurden wichtige Störgrößen aufgenommen (nicht näher beschrieben) Keine Aussagen zur Follow-up Periode, deren Vollständigkeit und stand. Behandlung
Doi 2007 World J. Surg	re-trospektive Studie, mono-zentrisch, uni- und multivariable data, 3/1980 bis	N=133, medianes Alter 64 Jahre (62.8 ± 0.8), 62 % Männer, Indikation: Patients with histologically confirmed invasive ductal carcinoma of the head of the pancreas who had no clinical, radio-	Vgl. N0 (kein Lymphknotenbefall) vs. N1 (Gruppe 1 positiv) vs. N2 (Gruppe 2 positiv) vs. N3 (Gruppe 3 positiv) according to	OP bei allen Patienten (pancreaticoduodenectomy (PD) or pylorus- preserving pancreaticoduodenec-	Survival time	2b- retrospektive Datenbank; retrospektive Untersuchung von Faktoren, die Überlebenszeit beeinflussen; keine Angaben

Artikel	Studientyp	Patienten	Prognost. Merkmal und Cut-off	Interventionen in beiden Gruppen	Endpunkte mit Nachverfolgungszeitraum	Verzerrungsrisiko / Evidenzstufe
	12/2000, Japan	<p>graphic, or intraoperative evidence of distant metastasis (Resectable Pancreatic Cancer)</p> <p>Befallsmuster: The preoperative CA19-9 level was above 100 U/ml in 59 patients (64%).</p> <p>Behandlung: A total of 66 patients (50%) received adjuvant radiation therapy after curative resection, and the average dose was 51.5 – 2.3 Gy (median: 50.4 Gy; range: 25–87 Gy). Seventy-one patients (54%) underwent combined resection of the portal venous system. Regional lymph nodes were routinely dissected. (The para-aortic lymph nodes at stations 16a2 and 16b1 were also dissected from the upper part of the origin of the celiac trunk to the upper part of the origin of the inferior mesenteric artery.)</p>	<p>JPS 5th edition: group 1 (stations 13 and 17), group 2 (stations 6, 8, 12, and 14), and group 3 (stations 9, 11, 15, 16a2, 16b1, and 18); level der einzelnen Kategorien wurden bestimmt über makroskopische intra-OP observations and microscopic pathological findings</p> <p>und Vgl. N3(+) mit para-aortic lymph node Metastasis vs. N3(-) ohne para-aortic lymph node Metastasis</p> <p>Invasion of the anterior pancreatic capsule (ja/nein)</p> <p>Invasion of the retroperitoneal tissues</p> <p>Invasion of the distal common bile duct</p> <p>Invasion of the duodenal wall</p> <p>Invasion of the portal venous system</p> <p>Invasion of the major arteries</p>	tomy (PPPD)); All of these patients received histologically margin-negative resection with curative intent and with extended radical lymphadenectomy for invasive ductal carcinoma of the pancreas		<p>über Repräsentativität, Nachbeobachtungsperiode und Vollständigkeit; klar definierte prognostische Merkmale; Störgrößen bzgl. Überlebenszeit und Mortalität wurden berücksichtigt; Behandlung Siehe Spalte "Patienten" (keine Angaben zur Durchführung standardisierter Methoden)</p>
Garcea 2007	retrospektive Analyse; USA, 1999-2007 (?)	N= 33, medianes Alter: 63 Jahre; 42 % männlich	Lymphknoten-befall <20 % aller Lymphknoten vs.	OP aller Patienten: pancreatic resection for malignancy	Median Survival Mortalität (30-Tage)	<p>4</p> <p>Wegen fehlender multivariater Analysen mit Korrektur von</p>

Artikel	Studientyp	Patienten	Prognost. Merkmal und Cut-off	Interventionen in beiden Gruppen	Endpunkte mit Nachverfolgungszeitraum	Verzerrungsrisiko / Evidenzstufe
EJSO		<p>Indikation: ductal adenocarcinoma</p> <p>Befallsmuster: Median ASA grade: 2 (6%); Median tumour size on Histology (mm): 25 (75,8%); Lymph node status N0/N1:18/15 (54,5%/45,5%); Microvessel invasion V0/ V1/Missing data: 13/15/5 (39,4%/45,5%/15,1%); Perineural invasion Neu0/Neu1/Missing data: 9/19/5 (27,3%/57,6%/15,1%); Resection margin R0/R1: 23/10 (69,7%/30,3%)</p> <p>Behandlung: standard pylorus-preserving pancreaticoduodenectomy (with an isolated Roux-en-Y pancreaticojejunostomy): 30 Patienten (90,9%)/total pancreatectomy: 3 Patienten (9,1%)</p>	Lymphknoten-befall >20 % aller Lymphknoten und Lymphknoten-Status (N0 vs. N1)		follow-up ranged from 12 to 62 months.	Störgrößen, geringe Fallzahl retrospektive Datenanalyse bzw. retrospektiv gewählte Einschlusskriterien; standardisierte Behandlung von ca. 91% der Patienten mit ductal adenocarcinoma; keine ITT-Basis in Überlebenskurven; Störgrößen nicht näher beschrieben
House 2007 J Gastro-intest Surg	retrospektive Studie monozentrisch 1995-2005 USA	<p>Indikation: resection for pancreatic adenocarcinoma N=696</p> <p>medianes Alter: 70 Jahre (39-92); 49% männlich</p> <p>Befallsmuster: Mean tumor size: 3, 2 cm (0-15); Tumor location: head 596 (86%), body 48 (7%), tail 52 (7%); Tumor stage (T1/T2/T3): 16/164/516 (2%/24%/74%); Tumor grade (well/moderate vs. poor/undifferentiated): 457/239 (66%/34%); Stage: IA 11 (2%), IB 55 (8%), IIA 177 (25%), IIB 444 (64%), IV 9 (1%); Lymph node status N0/N1:243/453 (35%/65%); total LN count: mean 4 (1-21) – N0 patients: 13 (0-41), N1 patients: 19 (3-61); positive LN count – N1 patients: 4 (1-21); Margin status</p>	Lymphnode status (positive vs. negative)	Operation aller Patienten (resection for pancreatic adenocarcinoma)	<p>Survival Mortality</p> <p>Follow-up: median 13 Monate (0-122)</p> <p>Clinical follow-up data were available for 92% of the patients (n=640).</p> <p>The median follow-up for 3- and 5-year survivors was 52 and 75 months, respectively.</p> <p>Follow-up time was calculated from the date of pancreatic resection to the date of last clinical interaction.</p>	2b

Artikel	Studientyp	Patienten	Prognost. Merkmal und Cut-off	Interventionen in beiden Gruppen	Endpunkte mit Nachverfolgungszeitraum	Verzerrungsrisiko / Evidenzstufe
		(negative/positive): 502/194 (72%/28%) Behandlung: pancreaticoduodenectomy: 598 Patienten (86%)/distal pancreatectomy: 96 Patienten (14%)/total pancreatectomy: 2 Patienten (0,3%)				
Kurahara 2007 World J Surg	retrospektive Studie monozentrisch Japan	Indikation: macroscopically curative resection with extended lymph node dissection for pancreatic cancer – invasive ductal adenocarcinoma N=58 medianes Alter: 65,6 Jahre (42-78); 74% männlich Befallsmuster: pStage (pT1/pT2/pT3/pT4): 2/4/28/24; Tumor differentiation (well/moderate/poor): 24/32/2 Node-negative according to HE staining: 23 Patienten – 13 (56,5%) had micrometastases Out of 944 histologically negative LN: 147 (15,6%) micrometastases – 33 single micrometastases, 114 cluster micrometastases Behandlung: pancreaticoduodenectomy: 40 Patienten (69%)/pylorus-preserving pancreaticoduodenectomy: 14 Patienten (24%)/total pancreatectomy: 4 Patienten (7%) Total no. of LN resected: 1058; median no./patient: 18,2; LN free from metastatic tumor cells by HE staining (944/1058) – subjected to immunohistochemistry to detect	LN micrometastases: single type – a single cancer cell metastasis cluster type – a cluster of cancer cells	Operation aller Patienten (macroscopically curative resection with extended lymph node dissection for pancreatic cancer)	Survival Follow-up: median 24 Monate (6-152) All patients were followed-up after discharge as follows: plain-film radiography every 1-3 months, and CT and US every 3-6 months.	4 Wegen fehlender multivariater Analysen mit Korrektur von Störgrößen, geringe Fallzahl

Artikel	Studientyp	Patienten	Prognost. Merkmal und Cut-off	Interventionen in beiden Gruppen	Endpunkte mit Nachverfolgungszeitraum	Verzerrungsrisiko / Evidenzstufe
		occult micrometastasis Neoadjuvant chemotherapy/radiotherapy: 0				
Pawlik 2007 Surgery	retrospektive Studie monozentrisch 1995-2005 USA	Indikation: patients who underwent pancreaticoduodenectomy with curative intent for pancreatic adenocarcinoma N=905 Alter: median 66 Jahre (55–77); 53,7% Männer Befallsmuster: Tumor differentiation (well / moderate / poor / unavailable): 26 / 449 / 393 / 37; Tumor size: median 3,1 cm (1,5-4,7); Perineural invasion (present/absent/unavailable): 682 / 67 /156; microvascular invasion (present/absent/unavailable): 357 / 341 / 207; resection margin (R0): 533 (58,9%); lymph node status (negative/positive): 187 / 718 Behandlung: classic pancreaticoduodenectomy 260 (28,7%), pylorus-preserving 645 (71,3%) Median number of LN evaluated: overall 17 (6-28), node negative patients 15, node positive patients 18	LNR (0 vs.>0-0,2 vs. >0,2-0,4 vs. >0,4)	Operation aller Patienten (pancreaticoduodenectomy with curative intent for pancreatic adenocarcinoma)	Survival Mortalität Follow-up: median 24 Monate	2b The lack of statistical significance in the current study may be related to inadequate statistical power (type II error) given the relatively small number of N0 patients (n=178) and the anticipated small difference in survival between the N0 subgroups. A potential weakness of the current study was that a single pathologist did not grossly dissect all of the pancreaticoduodenectomies for lymph nodes. Lymph node status and LNR were therefore potentially dependent on the extent of the surgeons' lymphadenectomy and the thoroughness of the pathologists' examination.
Slidell 2007 Annals of Surgical Oncology	retrospective Studie multizentrisch 1988-2003	Indikation: patients undergoing resection for histologically confirmed pancreatic adenocarcinoma Ausschluss: patients with histology codes of "neoplasm" (8000-8003), "carcinoma, NOS" (8010-8013), and "carcinoma undifferentiated, NOS" (8120-8122) – ICD-O-3	LNR (0 vs.>0-0,2 vs. >0,2-0,4 vs. >0,4) Number of positive LN (complete data vs. missing data) Lymph node status (N0 vs. N1)	Operation aller Patienten (resection for histologically confirmed pancreatic adenocarcinoma)	Survival Follow-up: SEER-13 database	2b- Adjuvant chemotherapy and margin status are two factors that are not documented in the SEER data set and are therefore not part of this analysis.

Artikel	Studientyp	Patienten	Prognost. Merkmal und Cut-off	Interventionen in beiden Gruppen	Endpunkte mit Nachverfolgungszeitraum	Verzerrungsrisiko / Evidenzstufe
	USA	tumor classification codes; patients in whom pancreatic adenocarcinoma was either not the primary malignancy or who lacked a histologically confirmed diagnosis N=4005 Alter: median 65 Jahre (22–96); 50,6% Männer Befallsmuster: extent of disease: confined to pancreas (T1/T2) 14,6%, local extension 74,9%, distant metastases 8,9%, missing 1,6%; Tumor grade: grade I (well differentiated) 10,7%, grade II (moderately differentiated) 47,5%, grade III and IV (poorly differentiated or undifferentiated) 32,9%, missing 8,9%; Tumor size: ≤2 cm 16,7%, >2 cm 68,6%, missing 14,7% N0 1507 (43,3%), N1 1971 (56,7%) -390 patients had no lymph nodes examined Behandlung: whipple 2949 (73,6%); partial/other pancreatectomy 736 (18,8%); total pancreatectomy 221 (5,5%); pancreatectomy, NOS 81 (2%) n=3868 patients with complete lymph node staging data – median number of LN evaluated 7 (0-90) Adjuvant radiation: yes 1773 (55,6%), no 2229 (44,3%)				AJCC tumor-node-metastasis (TNM) staging is not available in SEER for pancreatic neoplasms, so extent of disease was classified using the "SEER summary Stage 1977 (1988 +)" variable. The current study could also not explain the root cause for the variability in lymph node counts following pancreatectomy. Undoubtedly, lymph node status and LNR potentially depend not only on the extent of the surgeon's lymphadenectomy, but also the thoroughness of the pathologist's examination. Most patients had fewer than 12 lymph nodes evaluated following surgery, and in presumed N0 patients this may lead to understaging.
Zacharias 2007 J Gastro-	retrospektive Studie monozentrisch	Indikation: patients with ductal adenocarcinoma in the head of the pancreas N= 81 Alter mean: 64 Jahre (35–84);	Positive Lympfknöten (0 oder 1 vs. ≥2) Anzahl reszierter LN (<20 vs. ≥20)	Operation aller Patienten (potentiell kurativ – R0) – pancreaticoduodenectomy with lymphade-	Survival Morbidität Mortalität	2b- During this period, 18 other patients had incomplete (R1 or R2) resection for ductal adenocarcinoma of the head of the

Artikel	Studientyp	Patienten	Prognost. Merkmal und Cut-off	Interventionen in beiden Gruppen	Endpunkte mit Nachverfolgungszeitraum	Verzerrungsrisiko / Evidenzstufe
intest Surg	01/1995-12/2002 Frankreich	48,1% Männer Befallsmuster: Tumor differentiation (well / moderately / poorly): 17 (21%) / 48 (59%) / 16 (20%); TNM-stage (pT1/pT2/pT3): 2 (2,5%) / 6 (7,5%) / 73 (90%); Tumor size (\leq 30 mm/ $>$ 30 mm): 42 (52%) / 39 (48%) - median 32 mm (13-90); L0/L1: 32% / 68%; portal vein invasion: 18 (22%); pylorus preservation: 6 (7,5%); Behandlung: patients underwent a potentially curative (R0) pancreaticoduodenectomy with pancreatogastronomy Adjuvant therapy: 67 (83%) – radiochemotherapy: 65 (97%) and chemotherapy: 2 (3%)		nectomy of the anterior and posterior pancreaticoduodenal nodes, the hepatoduodenal ligament, the celiac axis, and the retro-pancreatic margin along the right lateral aspect of the superior mesenteric vessels	Follow-up of living patients was at least 3 years – last follow-up 12/2005. (65 patients had died and 16 were still alive) Patients were followed by referring physicians, including oncologists, gastroenterologists, surgeons, and general practitioners: abdominal US or CT and CA19.9 measurements every 6 months. No patient was lost to follow-up.	pancreas and were excluded from the present study. Follow-up: contact was maintained by mail and telephone calls to referring physicians, general practitioners, and directly to the patients or their families.
Hellan 2008 Pancreas	retrospektive Studie multizentrisch 01/1988-12/2003 USA	Indikation: patients undergoing resection for N0 pancreatic adenocarcinoma and infiltrating duct carcinoma (in head, body, tail, pancreatic duct, and other specified parts of pancreas) Ausschluss: patients with no regional node removed, regional LN removed but number unknown; patients with T4 disease (n=104), ie, tumors invading the celiac trunk or superior mesenteric artery N=1915 Alter: median 67 Jahre (25-96); 49,9% Männer Befallsmuster: Tumor differentiation (well / moderate / poor / undifferentiated / unknown): (11,2%) / (51,4%) / (30%) / (1%) /	Lymph node number (1-10 vs. 11-20 vs. $>$ 20) Lymph node number (0-16 vs. $>$ 16)	Operation aller Patienten (resection for N0 pancreatic adenocarcinoma and infiltrating duct carcinoma (in head, body, tail, pancreatic duct, and other specified parts of pancreas))	Survival Follow-up: median 14 Monate Nondeaths were censored at the follow-up cutoff date for the SEER data set (December 31, 2003) or the date the patient was last known to be alive.	2b Seer does not track information on chemotherapy treatment. Because pancreatic cancer is often fatal at diagnosis, a large number of cases have a SEER-assigned survival time of 0 month (n=80; 4%), indicating that the case survived for <1 month. To minimize any bias that could result from excluding these cases from the analysis, cases with a survival time of zero were each assigned a survival time of 0,5 month. No additional improvement in survival was noted if more than 20 LNs were removed. These results, however, should be

Artikel	Studientyp	Patienten	Prognost. Merkmal und Cut-off	Interventionen in beiden Gruppen	Endpunkte mit Nachverfolgungszeitraum	Verzerrungsrisiko / Evidenzstufe
		(6,4%); Stage (I / IIA): 675 (35%)/1240 (65%); Tumor size: mean 31,9 mm (\pm 16,8); Tumor site: head 79,4%, body/neck/tail 11,1%, overlapping 9,5%; median number of LN 7 (1-57) Behandlung: pancreatecoduodenectomy 1494 (78%); distal pancreatectomy 235 (12,3%); total pancreatectomy 106 (5,5%); partial resection 80 (4,2%) Radiation: yes 39,3%, no 58,9%, unknown 1,8%				noted with some caution because very few patients (<5%) were part of the >20 LN cohort. As such, the results of our comparison of 1-10 and 11-20 versus >20 LN may be representative of a type II statistical error . Data regarding chemotherapeutic treatment regimens and surgical margin status, which are established prognostic factors that influence outcomes, are not currently available from SEER.
Showalter 2008 RTOG 9704 I J Radiation Oncology	Secondary analysis ?-zentrisch USA	Indikation: pancreatic cancer (PC) N=445 Befallsmuster: median total nodes examined (TNE) 9 (1-46) in the 5-fluorouracil treatment arm; 11 (1-56) in the gemcitabine treatment arm Median number of positive nodes (NPN) 1 (0-18) for all patients Behandlung: pancreatecoduodenectomy (PD) followed by adjuvant chemoradiation (CRT) with extended lymphadenectomy	TNE NPN (0 vs. 1-3 vs. >3)	Operation aller Patienten	OS DFS	4 Fehlende Informationen da nur als Abstract veröffentlicht
Takao 2008 Hepato-Gastroenterology	Retrospective Studie Multizentrisch 1980-2001 Japan	Indikation: patients undergoing surgery for pancreatic head cancer - pathologically confirmed-invasive ductal adenocarcinoma Ausschluss: ampullary carcinoma, distal bile duct carcinoma, cystadenocarcinoma, acinar cell carcinoma, and islet cell carcinoma N=101	R0 – no residual tumor R1 – microscopic residual tumor within 5 mm of the surgical resection margins R2 – macroscopic residual tumor	Operation aller Patienten (surgery for pancreatic head cancer)	Survival Morbidity Mortality Recurrence Follow-up: ultasonography, CT, and biochemical examinations	4 Wegen fehlender multivariater Analysen mit Korrektur von Störgrößen

Artikel	Studientyp	Patienten	Prognost. Merkmal und Cut-off	Interventionen in beiden Gruppen	Endpunkte mit Nachverfolgungszeitraum	Verzerrungsrisiko / Evidenzstufe
		<p>Alter: average 64,8 Jahre (42–80); 65,3% Männer</p> <p>Befallsmuster: Resection margin (R0/R1/R2): 60/30/11; Tumor stage: IA 5 (5%), IB 4 (4%), IIA 28 (27,7%), IIB 44 (43,5%), III 6 (6%), IV 14 (13,8%)</p> <p>Behandlung: pancreaticoduodenectomy (62), pylorus-preserving pancreaticoduodenectomy (21), total pancreatectomy (18)</p> <p>ER (extended resection group) – “en bloc” lymphadenectomy and dissection of the neural plexus of the pancreas head and the right side of the neural plexus along the SMA, including retroperitoneal tissues (40/101); CR (conventional resection group) – incomplete dissection or non-dissection of the lymph nodes and neural plexus (61/101)</p> <p>167 lymph nodes were examined immunohistochemically.</p>	<p>Tumor stage (IA vs. IB vs. IIA vs. IIB vs. III vs. IV)</p> <p>Type of resection (ER vs. CR)</p>			
Massucco 2009 AnnSurg Oncol	re-trospektive, mono-zentrische Studie, uni- und multivariate Analyse der Daten Italien, 01/1995 - 12/2005	<p>N= 77, Medianes Alter 66 Jahre, 43 % Männer,</p> <p>Indikation: resection with extended lymphadenectomy for adenocarcinoma of the pancreatic head. for an histologically confirmed ductal adenocarcinoma of the pancreatic head, and a minimum postoperative survival time of 6 months. Patients who underwent neoadjuvant chemoradiation for a locally advanced cancer were excluded.</p>	<p>Gesamt: Node status (pN0 vs. pN1) Node level (0 vs. 1 vs. >1), No. of positive nodes (0 vs. ≤ 2 vs. >2) Node ratio (0 vs. ≤ 10 vs. >10) Resected vein infiltration (yes vs. no) Microscopic vein invasion (yes vs. no)</p>	<p>Pancreatico-duodenectomy or total pancreatectomy;</p>	<p>survival follow-up was updated at 08/2008 (Patients were followed up at regular intervals every 4 months for up to 3 years after surgery, and every 6 months thereafter.)</p>	<p>2b prospektiv gesammelte Daten wurden retrospektiv analysiert; klar definierte prognostische Merkmale; standardisierte Behandlung und Untersuchung wurde durchgeführt;</p>

Artikel	Studientyp	Patienten	Prognost. Merkmal und Cut-off	Interventionen in beiden Gruppen	Endpunkte mit Nachverfolgungszeitraum	Verzerrungsrisiko / Evidenzstufe
		<p>Befallsmuster: At final pathology, only seven patients (9%) had a tumor confined to the gland (pT1–2). Node status was pN0 in 18 patients (23%), whereas 59 patients (77%) were found to have lymph node metastases.</p> <p>Median LN (Lymph node metastases): 28 (10–54); posNn (number of disease-positive nodes): 4 (1–29); Nr (node ratio): 14% (2%–55%)</p> <p>MetastasenNL 1(node-level 1): 26 patients (44% of N1) (i.e., peripancreatic nodes) und up to NL2 (nodes along main arteries and hepatic hilum) and NL3 (preaortic nodes) were found in 21 (36%) and 12 (20%) patients, respectively.</p> <p>Behandlung: 63 pancreaticoduodenectomy and 14 total pancreatectomy. A vein resection was added in 11 patients.</p> <p>Since 2002, all patients who fully recovered within 6 weeks from surgery and who were well enough for adjuvant therapy were offered postoperative chemotherapy with gemcitabine alone or in combination to other drugs</p>	Perineural invasion (yes vs. no) und Nur node-positive tumors: Node level (1 vs. >1), No. of positive nodes (≤ 2 vs. >2), Node ratio (≤ 10 vs. >10) Resected vein infiltration (yes vs. no) Microscopic vein invasion (yes vs. no) Perineural invasion (yes vs. no)			
Riediger 2009 J Gastro-intest Surg	retrospektive Studie monozentrisch 1994-2006	<p>Indikation: patients who underwent pancreatic resection for ductal pancreatic adenocarcinoma</p> <p>N=182</p> <p>Medianes Alter 65 Jahre (31-84), 46% Männer,</p> <p>Befallsmuster: Tumor location: cancer of the pancreatic head 88%,</p>	LNR (<0,2 vs. $\geq 0,2$) LNR (<0,3 vs. $\geq 0,3$) Resection margin (negative vs. positive) Grading (G1/2 vs. G3/4) Nodal disease (N0 vs.	Operation aller Patienten (pancreatic resection for ductal pancreatic adenocarcinoma)	Survival Mortalität Follow-up: median postoperative follow-up 1,3 Jahre (0,3-11,1) Until 2001, the survival	2b

Artikel	Studientyp	Patienten	Prognost. Merkmal und Cut-off	Interventionen in beiden Gruppen	Endpunkte mit Nachverfolgungszeitraum	Verzerrungsrisiko / Evidenzstufe
	Deutschland	<p>of the body 5%, of the tail 7%; Tumor size: median 30 mm (7-80); Tumor differentiation (G1 / G2 / G3 / G4 / unknown): 5% / 56% / 34% / 3% / 2%; resection margin negative: 70,3%; Nodal status (positive/negative): 66% / 34%; Median LN (Lymph node metastases): 1 (0-22); Median no. of nodes examined: 16 (2-47); LNR: median 0,095 (0-0,79)</p> <p>Behandlung: pancreaticoduodenectomy 155 (85%), pylorus-preserving pancreaticoduodenectomy 126/155 – whipple 29/155, distal resection 21 (12%), total pancreatectomy 6 (3%) Superior mesenteric –portal vein resection: 64 (35%) With the exception of extended lymphadenectomy performed in a few patients, standard lymphadenectomy was carried out along the hepatoduodenal ligament, the common hepatic artery, the vena cava, and the right side of the superior mesenteric artery.</p>	<p>N+)</p> <p>No. of involved LN (0 or 1 vs. >1)</p> <p>No. of examined LN (≤ 15 vs. >15)</p> <p>No. of examined LN in node positive patients (≤ 15 vs. >15)</p> <p>No. of examined LN in node negative patients (≤ 15 vs. >15)</p>		<p>status of each patient was obtained by contacting the patients and/or the home physicians. Since 2001, survival data are systematically obtained by the cancer registry of the Comprehensive Cancer Center of our university hospital.</p>	
Yamada 2009 Pancreas	retrospektive Studie monozentrisch 07/1981-03/2007 Japan	<p>Indikation: pancreatic cancer N=511 (n=335 resected, n=176 unresectable) Alter: median 62,2 Jahre; 66% männlich</p> <p>Befallsmuster: n=45 with paraaortic LN metastases - no. 16 (+) Tumor location: head 39, body/tail</p>	<p>N (-) vs. N (+), No. 16 (-) vs. No. 16 (+) vs. unresectable</p> <p>The No. 16 lymph nodes in this study refer to those that are surrounded by the celiac trunk, the inferior mesenteric artery, the right margin or the inferior vena cava, and</p>	<p>Studienpopulation von Interesse wird mit rezisierten und nicht rezisierten Patienten verglichen.</p>	<p>Survival Follow-up: All patients were followed until death or through March 2007.</p>	2b

Artikel	Studientyp	Patienten	Prognost. Merkmal und Cut-off	Interventionen in beiden Gruppen	Endpunkte mit Nachverfolgungszeitraum	Verzerrungsrisiko / Evidenzstufe
		<p>5, whole 1; average number of dissected LN: 42,4 (2-105); average number of positive LN: 10,1 (1-49); No. 16 LN dissected: mean 7,4 (1-33); No. 16 (+) – metastasis: mean 2,9 (1-10)</p> <p>Behandlung: pancreaticoduodenectomy 24, pylorus-preserving pancreaticoduodenectomy 2, distal pancreatectomy 4, total pancreatectomy 15 Intraoperative radiation therapy (IORT, 30 Gy): 58% Postoperative chemotherapy: 5-FU 5, Gemzar 9, others 3, none 26 Patienten</p>	<p>the left margin of the abdominal aorta.</p> <p>No. 16 (+) =1 vs. No. 16 (+) ≥2 vs. unresectable</p>			
Bhatti 2010	<p>retrospektive Studie</p> <p>monozentrisch</p> <p>1998-2008</p> <p>UK</p>	<p>Indikation: histologic confirmation of pancreatic ductal adenocarcinoma</p> <p>N= 84</p> <p>medianes Alter: 65 Jahre; 57 % männlich</p> <p>Befallsmuster: preoperative stenting: 81%; Adjuvant chemotherapy: 36%; Lymph node status N0/N1:28/56 (33%/67%); Lymph node ratio (LNR) median: 0,16 (0-1,00); Resection margin R0/R1: 49/35 (58%/42%); Recurrence locoregional/distant: 18/30 (21%/36%); Involved nodes median: 1 (0-9); examined nodes median: 9 (1-26), mean: 9,17, mode: 8</p> <p>Behandlung: classic Kausch-Whipple resection with standard lymphadenectomy Adjuvant chemotherapy was of-</p>	<p>Lymph node ratio LNR (0 vs. 0-0,199 vs. 0,2-0,299 vs. ≥0,3)</p> <p>Resection margin (R0/R1)</p> <p>Nodal involvement (N0/N1)</p>	<p>Operation aller Patienten (classic Kausch-Whipple resection with standard lymphadenectomy)</p>	<p>Survival (identified by hospital records and general practitioner databases)</p> <p>(All patients were followed up initially at 6 weeks with a history, physical examination, and routine blood tests; then they were seen in the clinic every 6 months with a yearly CT to identify recurrence.)</p> <p>No patients were lost to follow-up.</p>	<p>2b-</p> <p>All patients who died within 30 days of surgery were excluded from survival analysis.</p> <p>(106 patients underwent pancreaticoduodenectomy with standard lymphadenectomy for pancreatic ductal adenocarcinoma during the study period: perioperative mortality 3,8%, 18 patients did not have complete follow-up data.)</p>

Artikel	Studientyp	Patienten	Prognost. Merkmal und Cut-off	Interventionen in beiden Gruppen	Endpunkte mit Nachverfolgungszeitraum	Verzerrungsrisiko / Evidenzstufe
		ferred to all patients following recovery from the operative procedure. None of the patients received neoadjuvant chemotherapy or radiotherapy.				
Fujita 2010 Pancreas	retrospective Studie ?-zentrisch 11/1993-06/2008 Japan	Indikation: patients who underwent distal pancreatectomy with regional lymph node dissection in pancreatic body or tail carcinoma N= 67 n=58 with histologically proven ductal adenocarcinoma of the pancreatic body or tail Alter (mean) 64,2 Jahre (40-81), 56% Männer, Befallsmuster: tumor size: mean 4,02 cm; stage (IA / IB / IIA / IIB / III and IV): 3, 6% / 4, 8% / 8, 16% / .31, 62% / 4, 8%; positive lymph nodes: 30 (60%); R0 resection: 90%, R1:10% Behandlung: distal pancreatectomy with regional lymph node dissection – regional (N1) and peri-pancreatic lymph nodes (N2) routinely resected 1461 LN were resected from 50 patients (mean 29,2 nodes/patient), 89 LN (6,1%; mean 1,8 nodes/patient) were histologically metastatic;LN attached to the pancreas (633/1461, 43,3%) – 69/89, 77,5% of metastatic LN	N1 – LN along the common hepatic artery, splenic artery, or inferior margin of the pancreas, or those at the splenic hilum; N2 – LN along the left gastric artery, around the celiac artery, along the superior mesenteric artery, or along the middle colic artery; N3 – paraaortic LN N1 subdivision for LN metastasis: LN attached to the pancreas - (1) located under the serosal layer and (2) within 3 mm of the parenchyma, being recognized only on histopathological evaluation; other LN Tumor size (\leq 4 cm vs. >4 cm) Lymphatic invasion Lymph node metastasis	Operation aller Patienten (distal pancreatectomy with regional lymph node dissection in pancreatic body or tail carcinoma)	Survival Mortalität Follow-up: median 22,2 Monate (1-139,8) The patients' medical records were reviewed to identify the clinical stage of the disease, surgical procedures, histopathological findings of the lesions, incidence of postoperative events, and outcome.	2b- Limitations: Some conditions of the patients may have been falsely diagnosed as negative for the lymph nodes attached to the pancreas because of the small size of both the nodes and the slices prepared for histological evaluation; therefore, excluded information could have biased the results of the study. Furthermore, our study covered an almost 15-year period, during which preoperative diagnostic accuracy and postoperative follow-up regimens differed. However, histopathological explorations were performed consistently, which may even be considered a strength of the study.
Konstantinidis 2010	retrospektive Studie monozentrisch	Indikation: patients who underwent pancreatic resection for adenocarcinoma Ausschluss: pancreatic adenocarcinoma arising within	"direct" invasion of a node by tumor: presence of a continuous column of tumor cells extending from the	Operation aller Patienten (pancreatic resection for adenocarcinoma)	Survival Mortality Follow-up: median 16	2b

Artikel	Studientyp	Patienten	Prognost. Merkmal und Cut-off	Interventionen in beiden Gruppen	Endpunkte mit Nachverfolgungszeitraum	Verzerrungsrisiko / Evidenzstufe
J Gastro-intest Surg	01/1993-07/2008 USA	intraductal papillary mucinous neoplasms Patients who had both direct and regional lymph node involvement were also excluded from further analysis. N=517 Alter (median) 67 Jahre (33-90), 47% Männer Befallsmuster: Tumor size: median 3 cm (0,3-12,5); surgical margins R0 360 (69,6%); T stage: T1 19 (3,7%), T2 40 (7,7%), T3 458 (88,6%); Grade: well 18 (3,5%), moderate 282 (54,5%), poor 205 (39,7%), other 12 (2,3%); perineural invasion 407 (78,7%); lymphatic invasion 220 (42,6%); vascular invasion 222 (42,9%) A single positive LN: 89 (17,2%); direct node invasion: 26 (29,3%), regional node invasion: 63 (70,8%) Behandlung: pancreaticoduodenectomy 436 (84,3%), distal pancreatectomy 73 (14,1%, total pancreatectomy 8 (1,5%)	intra- or extrapancreatic portion of the primary lesion to the involved LN “regional” nodal metastasis: lack of this continuity between the primary pancreatic lesion and the lymph node N0 vs. N1 LNR (<0,2 vs. ≥0,2) Single positive node vs.≥2 positive nodes		Monate, mean 24,9 (0-166)	
Murakami 2010 World J Surg	retrospektive und mono-zentrische Studie 01/1992-12/2008 Japan,	Indikation: Patienten erhielten pancreatic resection with regional and para-aortic lymph node dissection nach präoperativer Diagnose ohne apparent para-aortic lymph node metastasis. Ausschluss von: Patients with pancreatic ductal adenocarcinoma derived from an intraductal papillary-mucinous neoplasm (16 patients) or a mucinous cystic neo-	Lymphknotenmetastasen ja/nein para-aortic Lymphknotenmetastasen ja/nein kein Lymphknotenbefall/Lymph-knotenbefall ohne para-aortic lymph node-Beteiligung/ Lymph-knotenbefall mit para-aortic lymph node-Beteili-	alle Patienten wurden operiert (Tumorresektion)	follow-up für 5 Jahre nach OP (CT aller 2 Jahre)	2b- Retrospektive Auswertung; keine Angaben zur prospektiven Planung, zur Repräsentativität und über Vollständigkeit; Behandlungen nach prä-OP Untersuchung/patho-logischer Diagnose-keine Aussage über standardisierte Behandlung

Artikel	Studientyp	Patienten	Prognost. Merkmal und Cut-off	Interventionen in beiden Gruppen	Endpunkte mit Nachverfolgungszeitraum	Verzerrungsrisiko / Evidenzstufe
		<p>plasm (one patient)</p> <p>N= 103</p> <p>Alter 67 Jahre (Range 31-83), 48,5 % Männer,</p> <p>Befallsmuster: Tumorlokation im Pankreaskopf (73 patients)/in body or tail (30 patients);</p> <p>Behandlung:(keine Tumor resection if distant metastasis, invasion to the celiac or superior mesenteric artery, and apparent para-aortic lymph node metastasis were found by preoperative examinations.)</p> <p>Pylorus-preserving pancreatoduodenectomy (65 von 103), conventional pancreatoduodenectomy (4 von 103), distal pancreatectomy with splenectomy (30 von 103), and total pancreatectomy (4von 103).</p> <p>Postoperative chemotherapy (71 von 103): intra-arterial chemotherapy (3 patients), intravenous chemotherapy alone (7 patients), and intravenous and oral chemotherapy (61 patients);</p> <p>(Postoperative adjuvant chemotherapy was administered beginning in 1999 and no patient received radiation therapy during the study periods.)</p> <p>mean dissected lymph nodes (29 von 103 (range: 2–75)), mean number of dissected para- aortic lymph nodes (5 von 103 (range: 1–26)).</p> <p>There were 72 tumors (70%) with lymph node metastasis and 31 (30%) without lymph node metastasis. The number of involved lymph</p>	<p>gung</p> <p>Extrapancreatic nerve plexus invasion (ja/nein)</p> <p>UICC pT (pT1,2 vs. pT 3)</p> <p>UICC stage (IA, IB vs. IIA, IIB, III, IV)</p>			

Artikel	Studientyp	Patienten	Prognost. Merkmal und Cut-off	Interventionen in beiden Gruppen	Endpunkte mit Nachverfolgungszeitraum	Verzerrungsrisiko / Evidenzstufe
		nodes ranged from 1 to 40 (median 3). Para-aortic lymph node metastasis was found in 18 patients (17%). The number of involved para-aortic lymph nodes ranged from 1 to 16 (median 2).				
Murakami 2010b J Am Coll Surg	retrospektive Studie monozentrisch 01/1994-09/2009 Japan	Indikation: patients with pancreatic ductal carcinoma, who underwent R0 or R1 pancreatectomy with regional node dissection Ausschluss: patients with pancreatic ductal adenocarcinoma derived from an intraductal papillary-mucinous neoplasm (16 patients) or a mucinous cystic neoplasm (1 patient) Tumor resection was abandoned if distant metastasis, invasion to the celiac or superior mesenteric artery, or apparent para-aortic lymph node metastasis were found by preoperative examinations N= 119 Alter median 68 Jahre (Range 31-87), 50,5 % Männer, Befallsmuster: Tumorlokation im Pankreaskopf (88 patients – 74%)/in body or tail (31 patients – 26%) Tumor size: median 3,0 cm (0,7-10,0) R0/R1: 66% / 34% Behandlung: Pylorus-preserving pancreateoduodenectomy (71/119), conventional pancreateoduodenectomy (13/119), distal pancreatectomy with splenectomy (31/119),	LNR 0 vs. $0 < \text{LNR} < 0,1$ vs. $0,1 \leq \text{LNR} < 0,2$ vs. $\text{LNR} \geq 0,2$ Lymphknotenmetastasen ja/nein	alle Patienten wurden operiert (Tumorresektion)	Survival Recurrence Follow-up: patients were followed regularly in outpatient clinics; CT was performed twice a year for the first 5 years after surgery. Beyond that, information on outcomes was collected by telephone or personal interview.	2b- retrospektive Auswertung; keine Angaben zur prospektiven Planung, zur Repräsentativität und über Vollständigkeit; Behandlungen nach prä-OP Untersuchung/patho-logischer Diagnose-keine Aussage über standardisierte Behandlung

Artikel	Studientyp	Patienten	Prognost. Merkmal und Cut-off	Interventionen in beiden Gruppen	Endpunkte mit Nachverfolgungszeitraum	Verzerrungsrisiko / Evidenzstufe
		<p>and total pancreatectomy (4/119). Portal or superior mesenteric vein resection due to tumor invasion: 37/119</p> <p>Postoperative chemotherapy (91/119 – 76%): intra-arterial chemotherapy (3 patients), intravenous chemotherapy alone (7 patients), and intravenous and oral chemotherapy (81 patients); (Postoperative adjuvant chemotherapy was administered beginning in 1999 and no patient received radiation therapy during the study period.)</p> <p>Median number of evaluated lymph nodes 28 (range 2–75); median number of metastatic lymph nodes 3 (range 1–40); N0 34%, 1 metastatic LN 13%, ≥2 metastatic LN 53%</p> <p>The number of metastatic lymph nodes ranged from 1 to 40 (median 3). The median number of lymph nodes examined in node-negative patients was 21 compared with a median of 30 lymph nodes in node-positive patients.</p>				
Prenzel 2010 EJSO	retrospektive Studie monozentrisch 1999-2003 Deutschland	<p>Indikation: adenocarcinoma of the pancreatic head</p> <p>N=52</p> <p>Alter: median 62 Jahre (38-77); 60% männlich</p> <p>Befallsmuster: 636 LN present in 52 specimens examined; 12,2 (8-36) LN/patient; pN0: 11 (21%), pN1: 41 (79%); LN tumor-free: 520 (82%), LN metastatic involvement:</p>	<p>Shrinkage factor: mean 0,6 mm (0,56-0,73) during lymph node preparation estimated 10%</p> <p>Average LN size (LN with metastases vs. tumor-free)</p>	<p>Operation aller Patienten</p>	<p>Keine Angaben zum Follow-up</p>	<p>2b- Wegen fehlender Angaben zum follow-up</p>

Artikel	Studientyp	Patienten	Prognost. Merkmal und Cut-off	Interventionen in beiden Gruppen	Endpunkte mit Nachverfolgungszeitraum	Verzerrungsrisiko / Evidenzstufe
		<p>116 (18%); mean diameter non-metastatic nodes: $4,3 \pm 3,4\text{mm}$, infiltrated nodes: $5,7 \pm 4,1\text{ mm}$</p> <p>Behandlung: Whipple procedure 21/pylorus preserving procedure 31 patients</p> <p>Regional lymphadenectomy around the duodenum and pancreas, including the lymph nodes on the right side of the hepatoduodenal ligament, the right side of the superior mesenteric artery, and the anterior and posterior pancreaticoduodenal lymph nodes.</p> <p>Preoperative radiation or chemotherapy: 0</p>				
Kanda 2011 Pancreas	mono-zentrische, retrospektive Studie, uni- und multivari- ate Analysen, Japan, 10/1981- 09/2009	<p>N= 429, Alter 62.8 Jahre (Range 35 - 83), 64 % Männer,</p> <p>Indikation: resected pancreatic invasive adenocarcinoma, in which the status of LN involvement was well known; pathologically diagnosed with pancreatic invasive adenocarcinoma (Resectable Pancreatic Cancer)</p> <p>Befallsmuster: Lymph node metastasis was confirmed pathologically in 289 patients (67.4%). Tumor location was divided into the head of the pancreas (304 cases), the body and tail (78 cases), or diffuse type (tumor straddling the border between the pancreas head and body, 47 cases). UICC staging I, II, III and IV: 18, 304, 15, and 92 cases</p>	<p>ohne LN-Metastasen vs. mit LN-Metastasen</p> <p>Anterior serosal infiltration</p> <p>Retroperitoneal invasion</p> <p>Biliary invasion</p> <p>Duodenum invasion</p> <p>Portal vein invasion</p> <p>Arterial invasion</p> <p>Perineural invasion</p> <p>Infiltration at margins</p>	<p>pancreatectomy with extended lymphadenectomy for pancreatic cancer.</p>	<p>follow-up: mean period von 15.6 Monate oder bis Tod</p>	<p>2b</p> <p>retrospektive Datenauswertung; keine Angaben zu Repräsentativität, Standardisierte Behandlung und Vollständigkeit der Studie bzw. der follow-up-Periode; Störgrößen wurden ebenfalls im prognostischen Modell (multivariat) untersucht;</p>

Artikel	Studientyp	Patienten	Prognost. Merkmal und Cut-off	Interventionen in beiden Gruppen	Endpunkte mit Nachverfolgungszeitraum	Verzerrungsrisiko / Evidenzstufe
		Behandlung: extended lymphadenectomy (D2 + para-aortic LN sampling) during a period of 28 years. Intraoperative radiation therapy at 30 Gy was performed to the retroperitoneum and nerve plexus around the root of the superior mesenteric artery after pancreatectomy, when available. A total of 78 total pancreatectomies, 278 pancreatoduodenectomies, and 73 distal pancreatectomies were performed. A total of 279 patients (65.0%) underwent portal vein resection.				
La Torre 2011 J Surg Oncol	retrospektive Studie monozentrisch 04/2003- 11/2009 Italien	Indikation: patients who underwent pancreaticoduodenectomy for pancreatic ductal adenocarcinoma with standard lymphadenectomy (level I LN) N=101 Alter ?, 53% Männer, Befallsmuster: tumor location: head 89 (88%), neck 9 (9%), tail 3 (3%); tumor differentiation: G1 9%, G2 49%, G3 39%, G4 4%; positive lymph nodes: 64 (63%); R0 resection: 69%, R1: 31%; pT stage: pT1 12 (11,8%), pT2 16 (15,8%), pT3 65 (64,3%), pT4 7 (6,9%) Behandlung: pancreaticoduodenectomy 90, 89% (PPPD 57, Whipple 33), distal resection 9%, total pancreatectomy 2% Mean no. of nodes examined: 19,8 (3-26); <12 resected LN 13,4%; median LNR 0,045; median LNR for	LNR (0 vs. 0-0,199 vs. 0,2-0,399 vs. >0,4)	Operation aller Patienten (pancreaticoduodenectomy for pancreatic ductal adenocarcinoma with standard lymphadenectomy)	Survival Mortalität Follow-up: median 32 Monate (12-56) There were no patients lost at follow-up. Patients were followed up at regular intervals after discharge either by clinical examination or by contacting their General Practitioner and Oncologist, to obtain information about progression of the disease or cancer death.	2b In our study, a stage migration phenomenon was revealed between Stage IIB patients with a LNR >0,2 and Stage III patients, since it was demonstrated that these two groups of patients did not differ in terms of survival. The lack of statistical significance, in the last analysis presented herewith, may, however, be related to inadequate statistical power (type II error), given the relatively small number of patients evaluated.

Artikel	Studientyp	Patienten	Prognost. Merkmal und Cut-off	Interventionen in beiden Gruppen	Endpunkte mit Nachverfolgungszeitraum	Verzerrungsrisiko / Evidenzstufe
		N1 patients 0,155 Adjuvant therapy: 26 patients				
Pai 2011 Am J Surg Pathol	retrospektiv, multi-zentrisch (2 Krankenhäuser) 1995-2009, Californien (USA)	N= 380, medianes Alter 67 Jahre (range 38 - 89), 54 % Männer, Indikation: primär -invasive ductal adenocarcinoma of the pancreas. Pathologische Diagnose als T3 (nach 7ter Auflage des AJCC; definiert als "tumor extending beyond the pancreas but without the involvement of the celiac axis or superior mesenteric artery") Nur node- negative Tumore mit \geq 12 peripancreatic lymph nodes were included in this study (Ausschluss von: ductal adenocarcinomas associated with intraductal papillary mucinous neoplasm or mucinous cystic neoplasm and adenocarcinomas with a mixed endocrine or acinar component; Ductal adenocarcinomas limited to the pancreas (ie, pT1 and pT2 tumors) and those with distant metastatic disease were specifically excluded from this study.) Befallsmuster: mediane Tumorgroße 3.0 cm (range 1.2-11.5); Grade (well/moderately/poor): gruppenspezifisch Behandlung: Pankreatico-duodenectomy (92 %), distale Pankreatektomie (7 %); Totale Pankreatektomie (1 %)	N1 (direkte Invasion des Primärtumors in peripankreatische Lymphknoten) vs. N0 (ohne Lymphknotenbeteiligung) vs. N1 (true lymphatic regionale Lymphknotenmetastasen)	Pankreatektomie bei allen Patienten	Endpunkt: OS; follow-up-Daten für alle Patienten verfügbar: Median follow up 10 Monate (range, 2-159)	2b
Sahin 2011 Pancreas	univariate und multivariate Analyse retro-	N = 85; Alter: median 63.5 Jahre (38-79); 71.3% Männer	Metastasen in \geq 5 vs. < 5 Lymphknoten;	OP aller Patienten	Endpunkte: Lokalisation, Anzahl und ratio metastasierter Lymph-	2b-

Artikel	Studientyp	Patienten	Prognost. Merkmal und Cut-off	Interventionen in beiden Gruppen	Endpunkte mit Nachverfolgungszeitraum	Verzerrungsrisiko / Evidenzstufe
	spektive Studie in Japan; 10/1991 bis 11/2010	Indikation: resektabler Pankreastumor im pancreatic body and tail nach radikal. Pankreatektomie mit lymph node dissection (Ausschluss von: Patienten mit distant metastasis or locally advanced disease) Befallsmuster: Tumor Location Body/Tail: 70 / 15 LN-Metastasen bei 40 Patienten (47.1%) Behandlung: Operation Distal pancreatectomy/Total pancreatectomy: 76 (98%) / 9; Vascular Resection - Portal vein resection/Major artery resection: 20/2 Histopathologic Type - Well / Moderate / Poor / Papillary / Adenosquamous: 8/58/11/5/3; UICC (7th) Stage IA / IB / IIA / IIB / III / IV: 2/2/28/35/2/16	ratio ≥ 0.2 vs. < 0.2 Metastasierter Lymphknoten; mit Befall der Lymphknoten vs. ohne Befall der Lymphknoten; benachbarte LN vs. involvement of distant LN ohne LN-Metastasen vs LN ratio < 0.2 duodenal invasion (body/tail) arterial system invasion (body/tail) extrapancreatic nerve plexus invasion (body/tail)		knoten, Median Survival	retrospektive Auswertung einer prospektiv angelegten Datenbank; keine Angaben zu follow-up-Periode

Tabelle 3.1.11b: Ergebnisse aktueller Studien zur Mitresektion von Lymphknoten bei Resektion des Pankreaskarzinoms

Artikel (Autor, Jahr)	n	Prognost. Merkmal	Anzahl der Patienten mit prog. Merkmal	Ergebnisse aus univariater Analyse (OS)		Ergebnisse aus multivariater Analyse (OS)		Nebenwirkungen durch Sektion des Tumors
				p-Wert	Median OS / HR (95%KI)	p-Wert	Median OS / HR (95%KI)	
Cordera 2007	55	Kein Befall der Lymphknoten (LN neg.)	17			DFS: 0,04 OS: 0,05	DFS: 22.1 vs. 13.9 vs. 12.0 Monate OS: 22.9 vs. 16.1 vs. 14.7 Monate 5-Jahres ÜL: 22% / 17% / 0% (p=0.05)	One patient (1.8%) died of infectious postoperative complications after a duodenal leak
		peripancreatic Lymphknotenbefall (PPLN pos., aber kein CHALN involvement)	28					
		CHALN positiv	10					
Doi 2007	133	N0 (kein Befall der Lymphknoten)	49	0.05	14 Monate	Survival time: 0.001		
	133	N1 (Gruppe 1 positiv)	36	0.04	11.3 Monate	0.94		
	133	N2 (Gruppe 2 positiv)	29	0.27	10.6 Monate			
	133	mit para-aortic lymph node Metastasis = N3+(Gruppe 3 positiv)	19	0.16	5.1 Monate		5.1 Monate (3.9-9.2)	
	133	ohne para-aortic lymph node Metastasis (N3-)	114	0.0006	1.98 (1.35–2.91)	0.20	12.8 Monate (10.6-15.3) HR 2.90 (95%KI: 1.60-5.02) für N3(+)	
Garcea 2007	62	Lymphknoten-status N0 vs. N1	38 / 24	0.0008	k.A.	k.A.	k.A.	

Artikel (Autor, Jahr)	n	Prognost. Merkmal	Anzahl der Patienten mit prog. Merkmal	Ergebnisse aus univariater Analyse (OS)		Ergebnisse aus multivariater Analyse (OS)		Nebenwirkungen durch Sektion des Tumors
				p-Wert	Median OS / HR (95%KI)	p-Wert	Median OS / HR (95%KI)	
	33	Lymphknoten-befall <20 % aller Lymphknoten vs. Lymphknoten-befall >20 % aller Lymphknoten	k.A.	median survival: p < 0,0001	>80 Monate vs. 12 Monate	k.A.	k.A.	
House 2007	696	Lymph node status (N0 vs. N1)	243/453		27/16 Monate	<0,001	1,81 (1,44-2,25)	90-day patient mortality rate: 4%
		≥12 LN examined (N0 vs. N1)		0,02	3-year survival 39%/22% 5-year survival 29%/13%			
Kurahara 2007	23	pN0 without LN micrometastases vs. with LN micrometastasee	10/13	0,041	3-year survival 60%/19,2% 5-year survival 60%/0			
Pawlik 2007	905	Tumor size ≥2 cm		0,03	HR 1,36 (1,12-1,64)	0,04	1,24 (1,01-1,51)	
	905	Positive LN (N1) vs. N0	718/187	0,001 0,001	16,5/25,3 Monate HR 1,56 (1,26-1,93)			Perioperative Mortalität (innerhalb von 30 Tagen post op): 1,9%
	187	N0 patients <12 LN examined vs. ≥12 LN examined		0,09	22,1/33,2 Monate			
	718	N1 patients <12 LN examined vs. ≥12 LN examined		0,82	5-year survival 10,4% / 13,3%			
	905	Total no. of nodes evaluated		0,42	HR 1,00 (0,99-1,01)			

Artikel (Autor, Jahr)	n	Prognost. Merkmal	Anzahl der Patienten mit prog. Merkmal	Ergebnisse aus univariater Analyse (OS)		Ergebnisse aus multivariater Analyse (OS)		Nebenwirkungen durch Sektion des Tumors
				p-Wert	Median OS / HR (95%KI)	p-Wert	Median OS / HR (95%KI)	
	905	LNR (0 vs. >0,2 vs. >0,2-0,4 vs. >0,4	187 366 198 154	0,02 0,001 0,01 0,001 0,001 0,001	1,00 1,33 (1,03-1,34) 21,7 Monate 1,71 (1,31-2,22) 15,3 Monate 2,24 (1,70-2,91) 12,8 Monate	0,02 0,001 0,001	1,00 1,32 (1,03-1,68) 1,77 (1,36-2,30) 2,55 (1,75-2,70)	
Slidell 2007		Number of positive lymph nodes (complete data vs. missing data)		<0,001 <0,001	1,07 (1,06-1,08) 1,41 (1,27-1,56)	<0,001	1,07 (1,04-1,09)	
	3478	Lymph node status (N0 vs. N1)	1507 1971	<0,001	18/12 Monate 1,44 (1,33-1,55) 5-yr survival 11,3% / 4,3%	<0,001	1,30 (1,16-1,47)	
		LNR (0 vs. >0,2 vs. >0,2-0,4 vs. >0,4	1507 696 612 602	<0,001 <0,001 <0,001	18 / 15 / 12 / 10 Monate 1,24 (1,12-1,38) 1,45 (1,30-1,62) 1,92 (1,73-2,14)	<0,001 <0,001 <0,001	1,24 (1,10-1,42) 1,50 (1,31-1,71) 1,82 (1,59-2,07)	
	1507	N0 1-11 LN examined vs. N0 ≥12 LN examined		<0,001	16/23 Monate			
Zacharias 2007	81	LNs resected: <20/≥20	36/45	0,920	20/16 Monate			Perioperative Mortalität: 1,2% 41 postoperative Komplikationen in 32 (39,5%) Patienten.
	81	LNs invaded: 0-1/≥2	41/40	<0,0001	43/12 Monate	0,0001	≥2 vs. 0-1: 4,2 (2,4-7,5)	
Hellan 2008	1915	Lymph nodes: 1-10	1365		15 Monate 3-yr-survival: 22% (20-25)			

Artikel (Autor, Jahr)	n	Prognost. Merkmal	Anzahl der Patienten mit prog. Merkmal	Ergebnisse aus univariater Analyse (OS)		Ergebnisse aus multivariater Analyse (OS)		Nebenwirkungen durch Sektion des Tumors	
				p-Wert	Median OS / HR (95%KI)	p-Wert	Median OS / HR (95%KI)		
675	10-20		452	<0,0001	5-yr-survival: 15% (12-17) 20 Monate 3-yr-survival: 33% (28-38) 5-yr-survival: 24% (20-29)				
					23 Monate 3-yr-survival: 40% (28-51) 5-yr-survival: 32% (21-44)				
	Stage I -lymph nodes: 1-10		471		18 Monate 3-yr-survival: 26% (21-31) 5-yr-survival: 19% (14-23)				
					25 Monate 3-yr-survival: 40% (31-48) 5-yr-survival: 31% (23-40)				
					41 Monate 3-yr-survival: 56% (33-74) 5-yr-survival: NA				
	10-20		171	0,007					
	Stage IIA -lymph nodes: 1-10		33	0,05					
	1240		894		14 Monate 3-yr-survival: 20% (17-23) 5-yr-survival: 13% (10-15)				
	10-20		281		18 Monate 3-yr-survival: 28% (22-				

Artikel (Autor, Jahr)	n	Prognost. Merkmal	Anzahl der Patienten mit prog. Merkmal	Ergebnisse aus univariater Analyse (OS)		Ergebnisse aus multivariater Analyse (OS)		Nebenwirkungen durch Sektion des Tumors
				p-Wert	Median OS / HR (95%KI)	p-Wert	Median OS / HR (95%KI)	
		>20	65		35) 5-yr-survival: 20% (15-27) 21 Monate 3-yr-survival: 34% (21-47) 5-yr-survival: 27% (15-41)			
Hellan 2008	675	Stage I – LN number: 10		0,002	0,71 (0,57-0,89)			
	1240	Stage IIA - lymph nodes: 0-16/>16		<0,0001	15/24 Monate 0,61 (0,48-0,78)			
	1915	Lymph nodes: 0-16/>16		<0,0001	16/27 Monate 0,65 (0,53-0,80)			
	1915	Lymph nodes: >10 vs. ≤10				<0,0001	0,75 (0,67-0,86)	
	675	Stage I – LN: >10 vs. ≤10				<0,0001	0,69 (0,56-0,86)	
	1240	Stage IIA – LN: >10 vs. ≤10				<0,0001	0,79 (0,68-0,93)	
Showalter 2008	445	Increased number of positive nodes (NPN)		0,001 0,01	OS HR 1,06 DFS HR 1,05	<0,0001 0,006	OS HR 1,08 DFS HR 1,05	
	445	Increased number of total nodes examined (TNE)		0,07 0,11	OS HR 0,99 DFS HR 0,99	0,0002 0,005	OS HR 0,98 DFS HR 0,98	

Artikel (Autor, Jahr)	n	Prognost. Merkmal	Anzahl der Patienten mit prog. Merkmal	Ergebnisse aus univariater Analyse (OS)		Ergebnisse aus multivariater Analyse (OS)		Nebenwirkungen durch Sektion des Tumors
				p-Wert	Median OS / HR (95%KI)	p-Wert	Median OS / HR (95%KI)	
	445	NPN: 0 1-3 >3		0,0001 0,003 0,0001 0,003 0,0001 0,003	2-yr actuarial OS 47% 2-yr actuarial DFS 33% 2-yr actuarial OS 35% 2-yr actuarial DFS 22% 2-yr actuarial OS 31% 2-yr actuarial DFS 17%			
Takao 2008	101	Resection margin (R0 vs. R1 vs. R2)	60/30/11	<0,0001	18,2/4,6/5,5 Monate 3-year survival 39%/0/0 5-year survival 26%/0/0			Morbidity rates CR/ER groups: 23%/25% Overall hospital mortality: 8%
	101	Type of resection (ER vs. CR)	40/61		5-year survival 26,2%/10,8%			
	72	pStage IIA/IIB (ER vs. CR)	31/41	0,04	5-year survival 30,6%/8,2% 10-year survival 19,1%/0			
Massucco 2009	77 (ge-samt)	Node status pN0 vs. N1	18/59	I: 0.024	20/15.5 Monate	0.014	HR 2.051 (1.146–3.953)	
		Node level 0 vs. 1 vs. >1	18 /26/33	0.007	20/22/13.5 Monate	0.002	HR 1.651 (1.190–2.332)	
		No. of positive nodes 0 vs. ≤ 2 vs. >2	18/21/38	0.001	20/23/14 Monate	: 0.002	HR 1.399 (1.122–1.786)	
		Node ratio 0 vs. ≤10 vs. >10	18 / 19 /40	0.002	20/22.5/14 Monate	0.002	HR 1.093 (1.034–1.158)	
	59 (node-positive tumors)	Node level 1 vs. >1	26/33	: 0.012	22/13.5 Monate	0.013	HR 2.179 (1.175–4.136)	

Artikel (Autor, Jahr)	n	Prognost. Merkmal	Anzahl der Patienten mit prog. Merkmal	Ergebnisse aus univariater Analyse (OS)		Ergebnisse aus multivariater Analyse (OS)		Nebenwirkungen durch Sektion des Tumors
				p-Wert	Median OS / HR (95%KI)	p-Wert	Median OS / HR (95%KI)	
		No. of positive nodes ≤ 2 vs. >2	21/38	0.002	23/14 Monate	0.018	HR 2.238 (1.147–4.626)	
		Node ratio ≤10 vs. >10	19/40	0.009	22.5/14 Monate	0.019	HR 1.095 (1.015–1.188)	
Riediger 2009	172	LNR <0,2 vs. ≥0,2	121/51	0,003	3-year survival 24% / 12% 5-year survival 19% / 6%			Operative Mortalität: 3,9%
	172	LNR <0,3 vs. ≥0,3	140/32	<0,001	3-year survival 24% / 4% 5-year survival 18% / 0%			
	180	Nodal disease (N0 vs. N+)	61/119	0,22	3-year survival 24% / 18% 5-year survival 19% / 13%			
	173	No. of involved LN (0 or 1 vs. >1)	87/86	<0,04	3-year survival 24% / 16% 5-year survival 21% / 9%			
	171	No. of examined LN (≤15 vs. >15)	85/86	0,78	3-year survival 22% / 19% 5-year survival 17% / 14%			
	117	No. of examined LN (≤15 vs. >15) in node positive patients	55/62	0,77	3-year survival 21% / 14% 5-year survival 16% / 10%			
	54	No. of examined LN (≤15 vs. >15) in node negative patients	30/24	0,82	3-year survival 24% / 28% 5-year survival 18% / 23%			

Artikel (Autor, Jahr)	n	Prognost. Merkmal	Anzahl der Patienten mit prog. Merkmal	Ergebnisse aus univariater Analyse (OS)		Ergebnisse aus multivariater Analyse (OS)		Nebenwirkungen durch Sektion des Tumors
				p-Wert	Median OS / HR (95%KI)	p-Wert	Median OS / HR (95%KI)	
Yamada 2009	117	LNR in node positive patients LNR <0,2 vs. ≥0,2	66/51	<0,02	3-year survival 22% / 12% 5-year survival 17% / 6%			
	117	LNR in node positive patients LNR <0,3 vs. ≥0,3	85/32	<0,001	3-year survival 22% / 4% 5-year survival 17% / 0%			
	166	Model 1 Poor grading (G3/4) Positive margins LNR ≥0,2				0,029 0,011 0,017	1,5 (1,1-2,1) 1,7 (1,1-2,4) 1,6 (1,1-2,3)	
	166	Model 2 Poor grading (G3/4) Positive margins LNR ≥0,3				0,04 0,034 <0,001	1,5 (1,0-2,1) 1,5 (1,0-2,3) 2,2 (1,4-3,6)	
Bhatti 2010	511	N(-) vs. N(+)/No. 16 (-) vs. No. 16 (+) vs. unresectable	102/188/45/176	0,0012 0,0029 N.S.	14,6 / 10,7 / 7,8 / 5,9 Monate			
	45	No. 16 (+)	45		9,6±8,6 (0,1-45,4) Monate			
	221	No. 16(+) =1 vs. No. 16(+) ≥2 vs. unresectable	22/23 176	0,1464 0,049	7,8/7,2 Monate OR 1,585 (0,851-2,952) 5,9 Monate			
	84	LNR 0 >0-0,199 0,2-0,299 ≥0,3	27 19 12 26	<0,001	46,3 (26,5-66,1) 26,8 (10,3-43,3) 8,1 (7,6-8,5) 5,9 (0,5-11,3) Monate			Perioperative Mortalität: 3,8% (Diese Patienten wurden in die survival-Analyse nicht eingeschlossen.)
	84	N0 N1	29 55	<0,001	30,7 (25,5-36,0) 9,8 (7,8-12,0) Monate			

Artikel (Autor, Jahr)	n	Prognost. Merkmal	Anzahl der Patienten mit prog. Merkmal	Ergebnisse aus univariater Analyse (OS)		Ergebnisse aus multivariater Analyse (OS)		Nebenwirkungen durch Sektion des Tumors
				p-Wert	Median OS / HR (95%KI)	p-Wert	Median OS / HR (95%KI)	
	84	Tumor size: ≤20 mm >20 mm without invasion >20 mm with invasion	6 20 58	0,017	34,0 (1,0-100,6) 26,8 (5,6-48,0) 10,5 (8,9-12,1) Monate			
	84	LNR group 1: <0,2 ≥0,2	46 38	<0,001	35,7 (15,0-56,5) 8,1 (6,1-10,1) Monate			
	84	LNR group 2: <0,3 ≥0,3	58 26	<0,001	29,6 (12,1-47,1) 5,9 (0,5-11,3) Monate			
	84	State 1: Tumor size Positive margin LN involved LNR ≥0,2				0,73 0,70 0,20 0,05	0,9 (0,2-2,8) 0,8 (0,4-1,9) 0,6 (0,3-1,3) 1,8 (1,1-2,2)	
	84	State 2: Tumor size Positive margin LN involved LNR ≥0,3				0,56 0,27 0,06 0,01	0,7 (0,2-2,4) 0,6 (0,3-1,4) 2,0 (1,3-3,7) 2,7 (1,6-4,4)	
Fujita 2010	50	Serosal invasion (negative vs. positive)	38/12	NS	1-yr survival 83,2%/82,2% 5-yr survival 20,6%/10,4%			In-hospital deaths: 0
	50	Retropancreatic tissue invasion (negative vs. positive)	17/33	NS	1-yr survival 81,3%/82,2% 5-yr survival 27,5%/10,4%			
	50	Lymphatic invasion (negative vs. positive)	33/17	NS	1-yr survival 89,5%/72,9% 5-yr survival 20,6%/15,2%			
	50	Lymph node metastasis (negative vs. positive)	20/30	0,012	1-yr survival 86,7%/83,9% 5-yr survival 43,8%/0,0	0,05	0,387 (0,139-1,035)	

Artikel (Autor, Jahr)	n	Prognost. Merkmal	Anzahl der Patienten mit prog. Merkmal	Ergebnisse aus univariater Analyse (OS)		Ergebnisse aus multivariater Analyse (OS)		Nebenwirkungen durch Sektion des Tumors
				p-Wert	Median OS / HR (95%KI)	p-Wert	Median OS / HR (95%KI)	
Konstantinidis 2010		Less than 3 metastasis in nodes attached to the pancreas				0,03	0,349 (0,134-0,906)	
	517	N0 vs. N1	168/349	<0,001	30,8/16,4 Monate 5-year survival 31%/9%			
	349	One positive node vs. 2 positive nodes vs. >2 positive nodes	89/79/181	<0,001	22,3/16/15 Monate			
	349	LNR (<0,2 vs. ≥0,2)	168/181	<0,001	22/14 Monate	<0,0001		
Murakami 2010a		Lymphatic invasion		0,0047		0,19		
	103	Lymphknotenmetastasen ja/nein	72/31	5-Jahres Überlebensrate: 0.001	5-Jahres Überlebensrate: 5/42 %	N.A.	N.A.	
	76	para-aortic Lymphknoten-metastasen ja/nein	18/85	5-Jahres Überlebensrate: 0.001	OS (post-OP) : 13/22 Monate 5-Jahres Überlebensrate: 0/23%	0.078	HR 1.84 (missing)	
	103	kein Lymphknotenbefall/Lymph-knotenbefall ohne para-aortic lymph node-Beteiligung/ Lymphknotenbefall mit para-aortic lymph node-Beteiligung	31/54/18		median survival (post-OP): 30/15 / 12,4 Monate	N.A.	N.A.	
	103	Anterior serosal invasion (ja/nein)	60/43	0.236	5-Jahres Überlebensrate: 8%/27%	N.A.	N.A.	

Artikel (Autor, Jahr)	n	Prognost. Merkmal	Anzahl der Patienten mit prog. Merkmal	Ergebnisse aus univariater Analyse (OS)		Ergebnisse aus multivariater Analyse (OS)		Nebenwirkungen durch Sektion des Tumors
				p-Wert	Median OS / HR (95%KI)	p-Wert	Median OS / HR (95%KI)	
Murakami 2010b	103	Retroperitoneal tissue invasion (ja/nein)	74/29	0.040	5-Jahres Überlebensrate: 0/41%	0.520	HR 1.22 (missing)	
	103	UICC stage (IA, IB vs. IIA, IIB, III, IV)	11/92	<0.001	5-Jahres Überlebensrate: 72%/0	N.A.	N.A.	
Murakami 2010b	119	No. of examined lymph nodes: <28/≥28	56/63	5-Jahres Überlebensrate: <0,694	5-Jahres Überlebensrate: 22%/20%	N.A.	N.A.	30-day postoperative mortality: 0% In-hospital mortality: 0%
	119	Lymph node status: negative/positve	40/79	5-Jahres Überlebensrate: <0.001	5-Jahres Überlebensrate: 39%/6 %	0,008	2,57 (1,28-5,15)	
	119	No. of metastatic lymph nodes: 0 or 1 / 2 or more	56/63	5-Jahres Überlebensrate: <0.001	5-Jahres Überlebensrate: 40%/0% 1-Jahres-Überlebensrate: 91%/66% 3-Jahres-Überlebensrate: 48%/10%	0,004	2,51 (1,34-4,71).	
	119	Lymph node ratio: <0,1 / ≥0,1	75/44	<0,001	5-Jahres Überlebensrate: 31%/0%	0,051	1,74 (0,99-3,02)	
	119	Lymph node ratio: <0,2 / ≥0,2	95/24	<0,001	5-Jahres Überlebensrate: 26%/0%	0,166	1,60 (0,82-3,11)	
	119	Anterior serosal invasion: no/yes	45/74	0.254	5-Jahres Überlebensrate: 26%/14%	N.A.	N.A.	
	119	Retroperitoneal tissue invasion: no/yes	32/87	0.068	5-Jahres Überlebensrate: 38%/0%	N.A.	N.A.	

Artikel (Autor, Jahr)	n	Prognost. Merkmal	Anzahl der Patienten mit prog. Merkmal	Ergebnisse aus univariater Analyse (OS)		Ergebnisse aus multivariater Analyse (OS)		Nebenwirkungen durch Sektion des Tumors
				p-Wert	Median OS / HR (95%KI)	p-Wert	Median OS / HR (95%KI)	
Penzel 2010	636 LN	LN with metastasis vs. tumor-free LN <2 mm 3-5 mm 6-10mm 11-15 mm >15 mm	28/181 50/252 22/46 9/26 7/15					
Kanda 2011	429	ohne LN-Metastasen	140		median survival time: 0.001	16.0 Monate		11 postoperative Todesfälle Morbidität: 40.1%
		mit LN-Metastasen	289	0.001	Odds Ratio: 1.727 (99%-CI: 1.235 -2.415)	survival: <0.001	11.0 Monate HR: 1.597 (99%CI: 1.126-2.262)	
La Torre 2011	101	Lymph node involvement (no vs. yes)	38/63	0,05	40/18 Monate 5-year survival 46,5% / 19,2%	0,45	1,56 (0,49-4,92)	Perioperative Mortalität: 6% Overall morbidity: 34,6% (abdominal complications 28,7%)
	101	LNR (<0,2 vs. >0,2)	71/30	0,001	40/13 Monate	0,0076	4,8766 (1,0715-22,193) Exp(b)	
		LNR 0 / 0-0,199 / 2-0,399 / >0,4		0,001	40,2 / 30,5 / 18,1 / 13,6 Monate			
Pai 2011	132	Ndi vs. N0	35/97	0.609	21 (19-?) /30 (24-52) Monate 5-Jahres-OS: 36/31%			
	345	N0 vs. N1	97/248	<0.001	30 (24-52) /15 (13-24) Monate 5-Jahres-OS:31/8%			

Artikel (Autor, Jahr)	n	Prognost. Merkmal	Anzahl der Patienten mit prog. Merkmal	Ergebnisse aus univariater Analyse (OS)		Ergebnisse aus multivariater Analyse (OS)		Nebenwirkungen durch Sektion des Tumors
				p-Wert	Median OS / HR (95%KI)	p-Wert	Median OS / HR (95%KI)	
Sahin 2011	77	N1 (1-2) vs. Ndi	42/35	0.056	15 (11-31) /21 (19-?) Monate			
	85	Metastasen in ≥ 5 vs. < 5 Lymphknoten (LN)	?	0.046	5.6/11.5 Monate	0.0015 (Body; n= 70)	3.93 (1.69 - 9.15)	
		ratio ≥ 0.2 vs. < 0.2 Metastasierter Lymphknoten	?	0.007	5.6/12.8 Monate	0.014 (Tail; n=15)	2.99 (1.25 - 7.12)	
		mit Lymphknotenmetastasen vs. ohne Lymphknotenmetastasen	40/45	0.007	11.4/15.8 Monate	N.A.	N.A.	
		benachbarte LN vs. involvement of distant LN	?	0.99	12.8/10.7 Monate	N.A.	N.A.	
		ohne LN-Metastasen vs LN ratio < 0.2	?	0.25 (N.S.)	N.A.	N.A.	N.A.	

Referenzen

- Bhatti, I., O. Peacock, et al. (2010). "Lymph node ratio versus number of affected lymph nodes as predictors of survival for resected pancreatic adenocarcinoma." *World J Surg* 34(4): 768-775.
- Cordera, F., C. A. Arciero, et al. (2007). "Significance of common hepatic artery lymph node metastases during pancreaticoduodenectomy for pancreatic head adenocarcinoma." *Ann Surg Oncol* 14(8): 2330-2336.
- Doi, R., K. Kami, et al. (2007). "Prognostic implication of para-aortic lymph node metastasis in resectable pancreatic cancer." *World J Surg* 31(1): 147-154.
- Fujita, T., T. Nakagohri, et al. (2010). "Evaluation of the prognostic factors and significance of lymph node status in invasive ductal carcinoma of the body or tail of the pancreas." *Pancreas* 39(1): e48-54.
- Hellan, M., C. L. Sun, et al. (2008). "The impact of lymph node number on survival in patients with lymph node-negative pancreatic cancer." *Pancreas* 37(1): 19-24.
- Garcea, G., A. R. Dennison, et al. (2007). "Tumour characteristics predictive of survival following resection for ductal adenocarcinoma of the head of pancreas." *Eur J Surg Oncol* 33(7): 892-897.
- House, M. G., M. Gonan, et al. (2007). "Prognostic significance of pathologic nodal status in patients with resected pancreatic cancer." *J Gastrointest Surg* 11(11): 1549-1555.
- Kanda, M., T. Fujii, et al. (2011). "Pattern of lymph node metastasis spread in pancreatic cancer." *Pancreas* 40(6): 951-955.
- Konstantinidis, I. T., V. Deshpande, et al. (2010). "Does the mechanism of lymph node invasion affect survival in patients with pancreatic ductal adenocarcinoma?" *J Gastrointest Surg* 14(2): 261-267.
- Kurahara, H., S. Takao, et al. (2007). "Impact of lymph node micrometastasis in patients with pancreatic head cancer." *World J Surg* 31(3): 483-490; discussion 491-482.
- La Torre, M., M. Cavallini, et al. (2011). "Role of the Lymph node ratio in pancreatic ductal adenocarcinoma. Impact on patient stratification and prognosis." *Journal of Surgical Oncology*.
- Massucco, P., D. Ribero, et al. (2009). "Prognostic significance of lymph node metastases in pancreatic head cancer treated with extended lymphadenectomy: not just a matter of numbers." *Ann Surg Oncol* 16(12): 3323-3332.
- Murakami, Y., K. Uemura, et al. (2010). "Prognostic impact of para-aortic lymph node metastasis in pancreatic ductal adenocarcinoma." *World J Surg* 34(8): 1900-1907.
- Murakami, Y., K. Uemura, et al. (2010). "Number of metastatic lymph nodes, but not lymph node ratio, is an independent prognostic factor after resection of pancreatic carcinoma." *J Am Coll Surg* 211(2): 196-204.
- Pai, R. K., A. H. Beck, et al. (2011). "Pattern of lymph node involvement and prognosis in pancreatic adenocarcinoma: direct lymph node invasion has similar survival to node-negative disease." *Am J Surg Pathol* 35(2): 228-234.
- Pawlak, T. M., A. L. Gleisner, et al. (2007). "Prognostic relevance of lymph node ratio following pancreaticoduodenectomy for pancreatic cancer." *Surgery* 141(5): 610-618.
- Prenzel, K. L., A. H. Holscher, et al. (2010). "Lymph node size and metastatic infiltration in adenocarcinoma of the pancreatic head." *Eur J Surg Oncol* 36(10): 993-996.
- Riediger, H., T. Keck, et al. (2009). "The lymph node ratio is the strongest prognostic factor after resection of pancreatic cancer." *J Gastrointest Surg* 13(7): 1337-1344.
- Sahin, T. T., T. Fujii, et al. (2011). "Prognostic Implications of Lymph Node Metastases in Carcinoma of the Body and Tail of the Pancreas." *Pancreas*.
- Showalter, T. N., K. A. Winter, et al. (2010). "The Influence of Total Nodes Examined, Number of Positive Nodes, and Lymph Node Ratio on Survival after Surgical Resection and Adju-

vant Chemoradiation for Pancreatic Cancer: A Secondary Analysis of RTOG 9704." *Int J Radiat Oncol Biol Phys.*

Slidell, M. B., D. C. Chang, et al. (2008). "Impact of total lymph node count and lymph node ratio on staging and survival after pancreatectomy for pancreatic adenocarcinoma: a large, population-based analysis." *Ann Surg Oncol* 15(1): 165-174.

Takao, S., H. Shinchi, et al. (2008). "Survival benefit of pancreaticoduodenectomy in a Japanese fashion for a limited group of patients with pancreatic head cancer." *Hepatogastroenterology* 55(86-87): 1789-1795.

Yamada, S., A. Nakao, et al. (2009). "Pancreatic cancer with paraaortic lymph node metastasis: a contraindication for radical surgery?" *Pancreas* 38(1): e13-17.

Zacharias, T., D. Jaeck, et al. (2007). "Impact of lymph node involvement on long-term survival after R0 pancreaticoduodenectomy for ductal adenocarcinoma of the pancreas." *J Gastrointest Surg* 11(3): 350-356.

Ausgeschlossene Studien (mit Gründen)

Farnell, M. B., G. V. Aranha, et al. (2008). "The role of extended lymphadenectomy for adenocarcinoma of the head of the pancreas: strength of the evidence." *J Gastrointest Surg* 12(4): 651-656 (Review, Suche bis 01/2007).

Iqbal, N., R. E. Lovegrove, et al. (2009). "A comparison of pancreaticoduodenectomy with extended pancreaticoduodenectomy: a meta-analysis of 1909 patients." *Eur J Surg Oncol* 35(1): 79-86 (Review, Einschluss von Studien bis 07/2006).

Kocher, H. M. and W. Alrawashdeh (2010). "Pancreatic cancer." *Clin Evid (Online)* 2010 (systematischer Review, konnte nicht bestellt werden).

Michalski, C. W., J. Kleeff, et al. (2007). "Systematic review and meta-analysis of standard and extended lymphadenectomy in pancreaticoduodenectomy for pancreatic cancer." *Br J Surg* 94(3): 265-273 (Review, Suche bis 02 / 2006).

Muslimov, Q. F., M. Niedergetmann, et al. (2008). "Molecular detection of micrometastasis in paraaortal lymph nodes after panreatoduodenectomy for pancreatic cancer." *Azerbaijan Medical Journal*(1): 113-116. (nicht englisch oder deutsch veröffentlicht)

Pavlidis, T. E., E. T. Pavlidis, et al. (2011). "Current opinion on lymphadenectomy in pancreatic cancer surgery." *Hepatobiliary Pancreat Dis Int* 10(1): 21-25. (systematischer Review ohne zusammenfassende Metaanalyse)

O'Sullivan, A. and H. M. Kocher (2007). "Pancreatic cancer." *Clin Evid (Online)* 2007. (Review, keine aktuellen Studien eingeschlossen)

Rudloff, U., A. V. Maker, et al. (2010). "Randomized Clinical Trials in Pancreatic Adenocarcinoma." *Surgical Oncology Clinics of North America* 19(1): 115-150 (keine zusammenfassende Metaanalyse, alle geeigneten Studien eingeschlossen).

Nachfolgende Evidenztabelle bezieht sich auf folgende Frage:

3.1.13 Sollen erst intraoperativ nachweisbare, resektable Fernmetastasen reseziert werden?

Insgesamt wurden 5 Studien zum Thema auf der Grundlage des Titel- und Abstractscannings gefunden. Eingeschlossen wurden 4 prognostische Studien. Drei Studien wurden aufgrund fehlender Adjustierung für prognostische relevante Störgrößen mit dem Evidenzniveau 4 bewertet. Ein systematischer Review wurde ebenfalls mit der Evidenzstufe 4 beurteilt, in ihn konnten nur 3 Studien, von denen eine nach 2007 veröffentlicht wurde, einbezogen werden, es werden keine Vergleiche berichtet. Ausgeschlossen wurde eine Studie aufgrund der geringen Patientenanzahl.

Tabelle 3.1.3.13a: **Studienbeschreibung:** Aktuelle Studien zur Resektion erst intraoperativ nachweisbarer resektable Fernmetastasen

Artikel	Studientyp	Patienten	Prognost. Merkmal und Cut-off	Interventionen in beiden Gruppen	Endpunkte mit Nachverfolgungszeitraum	Verzerrungsrisiko / Evidenzstufe
Gleisner 2007 Cancer	retrospektive Sudie (matched analysis) monozent- risch 01/1995- 04/2005 USA	Indikation: confirmed adenocarcinoma of the periampullary region or pancreatic adenocarcinoma – treatment with curative intent Ausschluss: patients with extrahepatic metastatic disease (serosal implants or peritoneal disease); primary cystadenocarcinomas or neuroendocrine tumors N=1563 n=22: Alter: mean $64,7 \pm 11,4$ Jahre; 45,5% männlich Befallsmuster: Tumor size: median 5 cm (3-6,6); LN disease 19 (86,4%); Tumor origin: pancreas head 10 (45,5%), pancreas tail 7 (31,8), duodenum 2 (9,1%), distal bile duct 2 (9,1%), ampulla 1 (4,5%) Hepatic metastasis: largest metastasis: median 0,6 cm (0,3-1,2); solitary metastases 19 (86,4%); median no. of metastases: 1 Behandlung: 22 patients (1,4%) underwent simultaneous hepatic resection for synchronous liver metastasis. OP primary site: pancreaticoduodenectomy 15 (68,2%)/ distal pancreatectomy 7 Patienten (31,8%) OP liver metastasis: wedge	Cases vs. resected controls vs. palliative controls Matched controlled analysis: 1) patients with no evidence of hepatic metastases who underwent resection of their primary tumor ("resection controls"); 2) patients with histologically proven liver metastases who underwent standard surgical palliation ("palliative controls")	Operation aller Patienten (surgical resection of the tumor)	Survival Morbidity Mortality Keine Angaben zum Follow-up	4 Wegen fehlender multivariater Analysen mit Korrektur von Störgrößen An possible limitation involved our combining nonpancreatic periampullary adenocarcinomas with pancreatic adenocarcinomas for the purposes of reporting general outcome parameters.

Artikel	Studientyp	Patienten	Prognost. Merkmal und Cut-off	Interventionen in beiden Gruppen	Endpunkte mit Nachverfolgungszeitraum	Verzerrungsrisiko / Evidenzstufe
		resection 20 (90,1%)/ segmentectomy 1 (4,5%)/ hemihepatectomy 1 (4,5%)				
Shrikhande 2007 <i>Annals of Surgical Oncology</i>	retrospective Studie mono-zentrisch 10/2001-07/2005 Deutschland	Indikation: resection for primary pancreatic ductal adenocarcinoma (PDAC) with metastatic disease (M1) Ausschluss: other periampullary pathologies N=550 n=29 patients underwent complete pancreatic resection with resection of associated metastatic disease Befallsmuster: In 14 patients, metastatic disease was identified or suspected intraoperatively before resection, whereas in 15 patients, metastatic disease was diagnosed retrospectively only after final histopathologic reporting. The indications for resection despite intraoperative knowledge of metastatic disease were patient considered to be in good general condition, patient preference for resection despite preoperative counseling regarding possibility of metastatic disease, resection of peripherally located one or two isolated liver metastases, the impression of "low overall tumor burden," a high probability of R0 resection, and an ASA grade II or better. Behandlung: pancreaticodu-	Resectable pancreatic cancer (R0) with or without adjuvant therapy vs. nonresectable advanced pancreatic cancer with or without palliative therapy vs. resectable advanced pancreatic cancer with M1 disease with or without adjuvant therapy R0/R1M1 (liver metastases) vs.M1 (liver metastases) no resection but exploration or palliative bypass procedures Liver metastases vs. aorto-caval LN vs. peritoneal LN	Data of 287 patients with R0/R1 M0 disease and of 118 patients not treated with resection but harboring M1 (only liver) disease were evaluated for purposes of comparison with the main study group.	Survival Mortality Morbidity Follow-up: median 8,5 Monate (4,7-25,9) The end of the follow-up period for all patients alive was December 2005. No patient was lost to follow-up. Patients alive at the last follow-up were censored (n=12).	4 Wegen fehlender multivariater Analysen mit Korrektur von Störgrößen 12 Patienten zensiert. There are several limitations of the present study that restrict the value of the conclusions. (1) Clearly, there is a selection bias in our series, inasmuch as the 29 patients were more likely to be in better general condition than patients resected for nonmetastatic disease. (2) The groups are rather heterogeneous with respect to the operation performed and the localization of metastatic disease. (3) The M1 status was known only after the operation and pathohistologic analysis in some of the patients. (4) The study and analysis are retrospective in nature.

Artikel	Studientyp	Patienten	Prognost. Merkmal und Cut-off	Interventionen in beiden Gruppen	Endpunkte mit Nachverfolgungszeitraum	Verzerrungsrisiko / Evidenzstufe
		<p>denectomy 18 (metastasis – liver: 4, aortocaval LN: 9, peritoneal nodules 5)/distal pancreatectomy 9 (metastasis – liver: 6, aortocaval LN: 1, peritoneal nodules: 3)/total pancreatectomy 2 Patienten (metastasis – liver: 1, aortocaval LN: 1)</p> <p>Neoadjuvant radiochemotherapy: 1/29</p> <p>Adjuvant treatment: 23/29</p>				
Michalski 2008 Digestive Surgery	Systemat.-Review 2 case reports 18 case series with <10 patients 3 case series with ≥10 Patienten n= 103 Suche 01/1066-05/2008	Patienten mit einer Resektion von Lebermetastasen bei lokal fortgeschrittenem Pankreaskarzinom	k.A.	Use of an aggressive surgical approach, for the most part with major or segmental hepatic resection as primary treatment modality	Overall mortality and morbidity	<p>4</p> <p>A priori Design, unabh. Suche in verschiedenen Datenbanken durch 3 Autoren, Liste der gefundenen Studien ist verfügbar, eine Studie (Shrikhande 2007) nach 2007 veröffentlicht, Studien werden beschrieben, keine Qualitätsbeurteilung, Heterogenität wird über Studiendesign, Größe, grade or Staging, OP Methode und adjuvante Therapie beschrieben, Angabe von Ranges für Outcome, keine Vergleichsgruppen</p>
Nikfarjam 2009 J Gastointest Surg	retrospektive Studie mono-zentrisch 01/2002-11/2007	<p>Indikation: patients undergoing pancreaticoduodenectomy (PD) by a single surgeon (K.S.)</p> <p>Ausschluss: unresectable tumors (if there was evidence of complete superior mesenteric or portal vein encase-</p>	PD vs. MVR-PD (required on preoperative imaging in cases of periampullary malignancy if there was suggestion of colonic involvement and for sarcomas overlying the right kidney with evidence of duodenal or pancreatic attach-	All surgical resections were performed using standard techniques. A two-layer end-to-side duct to mucosa pancreaticojejunal anastomosis was performed with an interrupted	Length of SICU (surgical intensive care unit) stay Overall length of stay Complications readmissions	<p>4</p> <p>Wegen fehlender multivariater Analysen mit Korrektur von Störgrößen</p> <p>Keine Endpunkt-Daten für Patienten mit Pankreaskarzinom (nur PD vs. MVR-PD)</p>

Artikel	Studientyp	Patienten	Prognost. Merkmal und Cut-off	Interventionen in beiden Gruppen	Endpunkte mit Nachverfolgungszeitraum	Verzerrungsrisiko / Evidenzstufe
	USA	ment, superior mesenteric artery involvement, or if there were metastases). N=105 Alter: median 68 Jahre (22-88); 49% männlich Befallsmuster: pancreatic cancer (n=44, 42%) Cancer metastases (n=3, 3%) ASA class (II/III/IV): 12%/87%/1%; biliary stent: 31% Behandlung: PD alone: 86 Patienten, multivisceral resection that involves PD (MVR-PD): 19 Patienten Pancreatic cancer - PD alone/MVR-PD: 37/7 Cancer metastases MVR-PD: 3 (16% of all MVR-PD)	ment.)	single layer end-to-side anastomosis for biliary reconstruction. A pylorus-preserving technique was the procedure of choice when possible. A two-layered retrocolic duodenojejunal or gastrojejunal anastomosis was performed. Two closed-suction drains were placed adjacent to the pancreatic and biliary anastomoses. MVR-PD was undertaken in cases where PD alone was unable to achieve oncological tumor clearance or where two or more unrelated pathologies required surgical treatment. An en bloc resection was performed when possible.		
De Jong 2010 Ann Surg	retrospektive Studie dualzentrisch 04/1970-04/2008 USA	Indikation: pancreatic tumors N=5025 n=126 (2,5%) patients were also treated with either simultaneous or staged liver-directed therapy (hepatic resection, ablation, TACE, or whole-liver radiation). Alter: median 56 Jahre (31-84); 58,8% männlich	Liver-directed therapy was performed simultaneous with the pancreaticoduodenectomy in 57 (42,2%) patients vs. 69 (54,8%) patients underwent staged pancreaticoduodenectomy and liver-directed therapy.	Operation aller Patienten (pancreaticoduodenectomy)	Survival Mortality Morbidity Recurrence Follow-up: After liver-directed therapy, all patients were regularly followed and prospectively monitored for complications, as well as recurrence.	4 Wegen fehlender multivariater Analysen mit Korrektur von Störgrößen This study had several limitations. Despite combining the 2 largest pancreaticobiliary surgical experiences in the country, only a relatively small sample size of patients could be identified for this study. As

Artikel	Studientyp	Patienten	Prognost. Merkmal und Cut-off	Interventionen in beiden Gruppen	Endpunkte mit Nachverfolgungszeitraum	Verzerrungsrisiko / Evidenzstufe
		<p>Befallsmuster: primary pancreatic tumor histology: neuroendocrine 44 (34,9%), ductal adenocarcinoma 42 (33,4%), distal cholangiocarcinoma 11 (8,7%), ampullary carcinoma 9 (7,1), duodenal carcinoma 5 (4%), other 15 (11,9%); hepatic metastasis characteristics: median no. of treated metastases 2 (1-15), median size of largest hepatic lesion 2,2 cm (0,2-12); locoregional nodal metastases associated with primary tumor 71,4%.</p> <p>Behandlung: liver-directed therapy: hepatic resection alone 57 (45,2%), hepatic resection plus ablation 14 (11,1%), ablation alone 10 (7,9%), TACE - transarterial chemoembolization 12 (9,5%), whole-liver irradiation 28 (22,2%)</p> <p>No. liver-directed procedures: one 103 (81,7%), two 14 (11,1%), three 9 (7,2%) - 174 performed procedures</p>				such, this study has some limitations with regard to statistical power. Because our study is retrospective in nature, there may have been selection bias in how patients were chosen for liver-directed therapy. Another possible selection bias was that patients who underwent simultaneous treatment may have been healthier compared with patients in whom a decision was made to do a staged resection.

Tabelle 3.1.3.13b: Ergebnisse aktueller Studien zur Resektion erst intraoperativ nachweisbarer resektabler Fernmetastasen

Artikel (Autor, Jahr)	n	Prognost. Merkmal	Anzahl der Patienten mit prog. Merkmal	Ergebnisse aus univariater Analyse (OS)		Ergebnisse aus multivariater Analyse (OS)		Nebenwirkungen durch Sektion des Tumors (alle in % der behandelten Patienten)
				p-Wert	Median / HR (95%CI)	p-Wert	Median / HR (95%CI)	
Gleisner 2007	154	Cases vs. resected controls vs. palliative controls	22/66/66	<0,001 0,46	5,9/14,2/5,6 Monate 1-year OS: 13,3%/ 58,9%/9,2% 3-year OS: 6,7%/21,4%/0 5-year OS: NA/12,8%/0			Mortalität (30 Tage): 9,1% / 4,5% / 3% Perioperative Komplikationsrate: 45,5% / 46,7% / 16,7% Median surgical time: 370 min (338-444) vs. 357 min (309-451) vs. 218 min (152-251) Median length of stay: 8 Tage (7-11) vs. 9 Tage (8-13) vs. 6 Tage (5-8)
		Pancreatic primary tumor histology vs. nonpancreatic primary tumor histology			0,43	4,9/9,9 Monate		
Shrikhande 2007	29	M1 intraaortocaval vs. M1 liver vs. M1 peritoneum	9/11/9	0,145	27 (9,6-27) / 11,4 (7,8-16,5) / 12,9 (7,2-20,5) Monate			Mortalität (30 Tage – perioperativ): 0 Morbidität: 24,1%
	29	R0/R1 M1	29		13,8 (11,4-20,5) Monate 1-year OS 58,9% (34,8-76,7)			
	129	R0/R1 M1 (liver metastases) vs. M1 (liver metastases) without resection (exploration/bypass)	11/118	0,0384	11,4 (7,8-16,5) / 5,9 (5,4-7,6) Monate			
Michalski 2008	18 trials with n<10, n=103				Intra- and peri-operative mortality: 0-20%			

Artikel (Autor, Jahr)	n	Prognost. Merkmal	Anzahl der Patienten mit prog. Merkmal	Ergebnisse aus univariater Analyse (OS)		Ergebnisse aus multivariater Analyse (OS)		Nebenwirkungen durch Sektion des Tumors (alle in % der behandelten Patienten)
				p-Wert	Median / HR (95%CI)	p-Wert	Median / HR (95%CI)	
					Morbidity rate: 8-38%			
	3 trials with n≥10				Median OS: 5.8-11.4 Monate 30 day mortality: 0/4.3/9.1% Morbidity: 0/24.1/26%			
Nikfarjam 2009	105	MVR-PD vs. PD alone	19/86	0,002 <0,001 0,257	Median operative time 9,5h (7-21) / 8h (4-15) Days in SICU 1 (1-6) / 2 (1-4) Total length of stay (days) 7 (6-34) / 8 (6-19)			Operative Mortalität: 0 Komplikationen: 60% (PD alone: 58% vs. MVR-PD: 68%)
De Jong 2010	126	Liver-directed therapy	126		20,1 Monate 5-year-survival 20,6%			Mortalität (30 Tage): 2,4% Morbidität: simultaneous group 26,3% vs. staged group 40,6%
		Patients with PDAC – no evidence of hepatic metastasis vs. hepatic metastasis + liver-directed therapy	?/42	0,73	17,9/17,7 Monate			
		Patients with primary pancreatic neuroendocrine tumors – no evidence of hepatic	?/44	0,01	146,5/76 Monate			

Artikel (Autor, Jahr)	n	Prognost. Merkmal	Anzahl der Patienten mit prog. Merkmal	Ergebnisse aus univariater Analyse (OS)		Ergebnisse aus multivariater Analyse (OS)		Nebenwirkungen durch Sektion des Tumors (alle in % der behandelten Patienten)
				p-Wert	Median / HR (95%CI)	p-Wert	Median / HR (95%CI)	
		metastasis vs. hepatic metastasis + liver-di- rected therapy						
126		Single liver-directed procedure vs. ≥2 liver- directed procedure	103/23	0,05	99/59,2 Monate			

Referenzen

- De Jong, M. C., M. B. Farnell, et al. (2010). "Liver-directed therapy for hepatic metastases in patients undergoing pancreaticoduodenectomy: a dual-center analysis." Ann Surg 252(1): 142-148.
- Gleisner, A. L., L. Assumpcao, et al. (2007). "Is resection of periampullary or pancreatic adenocarcinoma with synchronous hepatic metastasis justified?" Cancer 110(11): 2484-2492.
- Shrikhande, S. V., J. Kleeff, et al. (2007). "Pancreatic resection for M1 pancreatic ductal adenocarcinoma." Ann Surg Oncol 14(1): 118-127.
- Michalski, C. W., M. Erkan, et al. (2008). "Resection of primary pancreatic cancer and liver metastasis: a systematic review." Dig Surg 25(6): 473-480.
- Nikfarjam, M., M. Sehbey, et al. (2009). "Additional organ resection combined with pancreaticoduodenectomy does not increase postoperative morbidity and mortality." J Gastrointest Surg 13(5): 915-921.

Ausgeschlossene Studien (mit Gründen)

- Dunschede, F., L. Will, et al. (2010). "Treatment of metachronous and simultaneous liver metastases of pancreatic cancer." Eur Surg Res 44(3-4): 209-213 (geringe Patientenzahl, n=23) .

Nachfolgende Evidenztabelle bezieht sich auf folgende Fragen:

3.1.14 Sehen Sie eine Indikation für die laparoskopische Operationstechnik im Rahmen der Pankreaskarzinomchirurgie?

Insgesamt wurden 13 Studien zum Thema auf der Grundlage des Titel- und Abstracts screenings gefunden. Eingeschlossen wurden 8 prognostische Studien, von denen zwei Studien mit dem Evidenzniveau 2b beurteilt wurden. Sieben Studien wurden aufgrund fehlender Adjustierung für prognostische relevante Störgrößen mit dem Evidenzniveau 4 bewertet. Ausgeschlossen wurden zwei systematische Reviews ohne zusammenfassende Metaanalysen, zwei Studien ohne Vergleichsgruppen und eine Studie, in welcher nur 5 Patienten mit unterschiedlichen Methoden laparoskopisch behandelt wurden.

Tabelle 3.1.14a: Studienbeschreibung: Aktuelle Studien zur laparoskopischen Operationstechnik

Artikel	Studientyp	Patienten	Prognost. Merkmal und Cut-off	Interventionen in beiden Gruppen	Endpunkte mit Nachverfolgungszeitraum	Verzerrungsrisiko / Evidenzstufe
Fernandez-Cruz 2007 J Gastrointest Surg	prospektive Studie mono-zentrisch 04/1998-04/2007 Spanien	Indikation: laparoscopic pancreatic surgery Ausschluss: laparoscopic drainage in 20 patients with cysts and pseudocysts for acute and chronic pancreatitis N=103 Befallsmuster: inflammatory mass for chronic pancreatitis (n=8); cystic pancreatic neoplasms (n=29); intraductal papillary mucinous neoplasms (n=10) – Alter: mean 68 Jahre (51-83), 100% männlich; neuroendocrine pancreatic tumors (n=43) – Alter: mean 60 Jahre (22-83), 12% männlich, Tumor size: mean 5 cm (2,5-11); ductal adenocarcinoma (n=13) – Alter: mean 63 Jahre (44-76), 46% männlich, Tumor size: mean 5 cm (3-6); TNM stage: IA (n=1), IB (n=2), IIA (n=3), IIB (n=4), III (n=3); differentiation: well (n=3), moderate (n=6), poor (n=4); no. of LN harvested: mean 14,5±3 (6-20); LN positive: n=5 Behandlung: laparoscopic surgery - depending on tumor characteristics different techniques (siehe Studie) – excision 0,9%, enucleation 19,4%, distal pancreatectomy 79,6% Ductal adenocarcinoma: en-bloc splenectomy 100%, chemotherapy with 5-FU: 100%	Pancreatic fistula/complication (spleen-preserving DP vs. en-bloc splenopancreatectomy vs. enucleation vs. excision)	Laparoscopic surgery Die Beschreibung der Methode ist zu umfangreich, um an dieser Stelle aufgeführt zu werden (siehe Studie).	Survival Mortality Morbidity Follow-up: All patients underwent regular follow-up examination postoperatively every 6 months and annually thereafter.	4 Wegen fehlender multivariater Analysen mit Korrektur von Störgrößen
Palanivelu 2007 J Am Coll Surg	retrospektive Studie mono-zentrisch	Indikation: laparoscopic pancreaticoduodenectomy for non-obese patients with pancreatic head tumors <3 cm in diameter or ampullary tumors restricted to the second part of duodenum of well-differentiated or moderate grade or lower	Ampullary carcinoma vs. pancreatic cystadenocarcinoma vs. pancreatic head adenocarcinoma vs. cholangiocarcinoma vs. chronic pancreatitis	LPD Die Beschreibung der Methode ist zu umfangreich, um an dieser Stelle aufgeführt zu werden	Survival Mortality Morbidity Follow-up: median 36,5 Monate	4 Wegen fehlender multivariater Analysen mit Korrektur von Störgrößen

Artikel	Studientyp	Patienten	Prognost. Merkmal und Cut-off	Interventionen in beiden Gruppen	Endpunkte mit Nachverfolgungszeitraum	Verzerrungsrisiko / Evidenzstufe
	02/1998-01/2006 Indien	common bile duct tumor without extrabiliary involvement with ASA grade I or II Ausschluss: in three patients, the procedure was terminated after a diagnostic laparoscopy as there were secondary nodules on the liver in two patients (biopsy revealed metastasis) and, in the third patient, laparoscopic ultrasonography revealed absence of plane between the pancreatic malignancy and superior mesenteric vessels, suggesting infiltration. N=42 Alter: mean 61 Jahre (28-70); 60% männlich Befallsmuster: Histology: ampullary carcinoma 24 (57%), pancreatic cystadenocarcinoma 4 (9,5%), pancreatic head adenocarcinoma 9 (21,5%) – T1N0M0 5/ T2N0M0 4, cholangiocarcinoma 3 (7%), chronic pancreatitis 2 (5%) R0 (frozen section and histopathology) 100% Behandlung: LPD		(siehe Studie).	Patients are called for follow-up after 7 days, then monthly for the first 3 months, every 3 months for the first year and every 6 months thereafter. All patients are proactively followed up, including being telephoned if they have not appeared for their scheduled visit. Overall follow-up rate was 95,1%, with two patients lost to follow-up at 22 and 36 months.	The selection of the patients was strongly biased, as we stressed non-obese patients, patients with early lesions, and patients with ampullary adenocarcinoma. Only American Society of Anesthesiologist grade I and II patients were considered. The median age of the patients in our series, as a result is younger (61 years) than that reported for this population of patients. This bias is in keeping with our philosophy that, at present, LPD is indicated in these selected patients only. A major drawback of all series of this kind is the smaller number of patients.
Kooby 2008 Ann Surg	retrospektive Studie multi-zentrisch 01/2002-12/2006 USA	Indikation: left-sided pancreatectomy (LP) – open or laparoscopic, with or without splenic preservation, with or without hand-access technique Ausschluss: cases with insufficient data for analysis, or if tumor enucleation only was performed. N=667 Alter: mean 56,9±14,1 Jahre; 39% männlich	Unmatched comparison (OLP vs. LLP) Mortality, morbidity, length of stay Matched comparison (OLP vs. LLP) – matched for age, ASA, Tumor size, Tumor type, Tumor origin	As this study represents pooled data from 8 medical centers, no single technique was employed for either OLP or LLP; however, similar principles were applied. LLP: The patients were either supine or in right lateral decubitus. The hand-access	Mortality Morbidity Length of hospital stay Follow-up: Need for a CT scan of the abdomen within 30 days of operation (postoperative CT scan) was captured as a marker of clinical concern for abscess or pancreatic fistula.	4 Wegen fehlender multivariater Analysen mit Korrektur von Störgrößen There are several limitations of our study. Given the retrospective nature, there was no defined algorithm for selecting patients for LLP, and no way to stand-

Artikel	Studientyp	Patienten	Prognost. Merkmal und Cut-off	Interventionen in beiden Gruppen	Endpunkte mit Nachverfolgungszeitraum	Verzerrungsrisiko / Evidenzstufe
		<p>Befallsmuster: Tumor size: 4,5±3,6 cm; Tumor type: cystic 295 (44%), solid 307 (46%), pancreatitis 65 (10%); Tumor origin: primary 266 (40%), metastatic 38 (6%), not cancer 363 (54%); Adenocarcinoma 150 (23%); specimen length: 9,4±3,9 cm; positive margin: 51 (8%)</p> <p>Behandlung: open left-sided pancreatectomy (OLP) 508 (76%) / laparoscopic left-sided pancreatectomy (LLP) 159 (24%); splenectomy 560 (84%);</p>		<p>approach was used in some institutions and not in others. Port placement varied according to use of hand port and patient positioning. Ultrasonic shears or bipolar cautery was used for dissection in most cases, and linear staplers were favored for pancreatic transaction. Wound protectors and /or specimen bags were used to retrieve the specimen in most cases. After resection and specimen retrieval. Hemostasis was ensured, and a single closed suction drain was placed (in most cases). Topical sealants and perioperative octreotide were used at the discretion of the treating surgeon.</p>		<p>ardize approach or control for variable experience or skill with the laparoscopic approach. Selection bias for technique was addressed by cohort matching. We attempted to select open cases that might have been done laparoscopically, if assessed by a surgeon with this expertise. We used age, tumor size, diagnosis, and length of resected pancreas as surrogates for patient selection. In addition, technique and instrumentation varied from center to center, but we did not stratify by these variables (eg, "hand-access" vs. "complete laparoscopic").</p>
Finan 2009 Am Surg	retrospektive Studie monozentrisch 08/2002-11/2007 USA	<p>Indikation: patients undergoing elective laparoscopic and open distal pancreatectomy (DP)</p> <p>N=148</p> <p>Alter mean (laparoscopic vs. open): 60,5 / 55,5 Jahre; 37% männlich</p> <p>Befallsmuster (laparoscopic vs. open): location of transection: neck 5/34, body-</p>	Laparoscopic vs. open DP	<p>Operation aller Patienten (elective laparoscopic and open distal pancreatectomy)</p>	<p>Morality Morbidity Length of stay Follow-up: keine Angaben</p>	<p>4 Wegen fehlender multivariater Analysen mit Korrektur von Störgrößen und fehlender Angaben zur Nachbeobachtungszeit For analysis, all converted</p>

Artikel	Studientyp	Patienten	Prognost. Merkmal und Cut-off	Interventionen in beiden Gruppen	Endpunkte mit Nachverfolgungszeitraum	Verzerrungsrisiko / Evidenzstufe
		<p>tail 33/60; diagnosis: pancreatic adenocarcinoma 6/23, nonpancreatic cancer 0/11, mucinous cystadenoma-malignant 0/3, -benign 9/18, serous cystadenoma 9/2, solid pseudopapillary 0/6, IPMN 4/4, neuroendocrine neoplasm 9/13, pseudocyst 2/9, pancreatitis 3/8, other 2/7; malignancy: 11/44; tumor size: mean $3,26 \pm 1,2$ cm / $7,73 \pm 5,48$ cm</p> <p>Behandlung: laparoscopic DP 44 patients (29,7%) – hand-assisted 37/spleen-sparing 3; laparoscopic converted to open 6 patients (4,1%); open DP 98 patients (66,2%) – spleen-sparing 4</p> <p>The method of pancreatic stump closure consisted of endovascular stapler closure (n=42), endovascular stapler closure with oversewing of the stump/duct with permanent suture (n=50), endovascular stapler with Seamguard (n=23), permanent suture closure of the stump and duct (n=27), and absorbable suture closure of the stump and duct (n=4)</p> <p>Closed drainage catheter: 87,8%</p>				<p>cases (6 patients, 4%) were included with open cases.</p> <p>Patient data since 2005 were maintained in a prospectively collected database. Data for subjects undergoing distal pancreatectomy before 2005 were retrospectively, collected from chart abstraction.</p>
Kendrick 2010 Arch Surg	retrospektive Studie mono-zentrisch 07/2007-07/2009 USA	<p>Indikation: total laparoscopic pancreaticoduodenectomy</p> <p>Ausschluss: patients having tumors adjacent to the portal vein or superior mesenteric vein on radiographic imaging for which venous resection may be necessary; conversion to laparotomy (n=3)</p> <p>N=62</p> <p>Alter: mean 66 ± 12; 52% männlich</p> <p>Befallsmuster: disease status (benign/malignant): 17/45 patients; histologic</p>	Keine Vergleichsgruppen	<p>Total laparoscopic pancreaticoduodenectomy (TLPD)</p> <p>Die Beschreibung der Methode ist zu umfangreich, um an dieser Stelle aufgeführt zu werden (siehe Studie).</p>	<p>Operative time Mortality Morbidity Length of hospital stay</p> <p>Follow-up: was complete in all patients for a mean of 7,2 months.</p>	<p>4 Wegen fehlender multivariater Analysen mit Korrektur von Störgrößen</p> <p>Our exclusion of patients for TLPD with tumors in proximity to the portal vein or superior mesenteric vein may also have resulted in a selection bias toward patients with smaller, nonobstructing lesions leading to</p>

Artikel	Studientyp	Patienten	Prognost. Merkmal und Cut-off	Interventionen in beiden Gruppen	Endpunkte mit Nachverfolgungszeitraum	Verzerrungsrisiko / Evidenzstufe
		<p>diagnosis: pancreatic ductal adenocarcinoma 31, intraductal papillary mucinous neoplasm 12, ampullary adenocarcinoma 8, neuroendocrine carcinoma 4, chronic pancreatitis 3, cholangiocarcinoma 1, metastatic renal cell carcinoma 1, cystadenoma 1, duodenal adenoma 1; Tumor size: median 3 cm (0,9-10); R0 resection: 40/45 (89%); regional LN metastases: 27/45 (60%)</p> <p>Behandlung: TLPD with curative intent: pylorus-preserving 95%, robotic assisted 12%; median No. of LN retrieved: 15 (6-31)</p>				<p>patients with greater risk for pancreatic anastomotic leak.</p> <p>This series lacks a sufficient number of patients and length of follow-up to accurately assess oncologic outcomes such as tumor recurrence and disease-free and overall survival.</p>
Kooby 2010 J Am Coll Surg	retrospektive Studie multizentrisch 01/2000-12/2008 USA	<p>Indikation: patients undergoing distal pancreatectomy (DP) for pancreatic ductal adenocarcinoma (PDAC)</p> <p>Ausschluss: adenocarcinoma with a background of intraductal papillary mucinous neoplasm or mucinous cystadenocarcinoma; patients with insufficient demographic, operative, and outcomes data available for analysis and reporting</p> <p>N=212</p> <p>Alter: mean $65,4 \pm 11,4$ Jahre; 43% männlich; ASA: mean $2,6 \pm 0,7$</p> <p>Befallsmuster: Tumor size: mean $4,4 \pm 2,7$ cm; total nodes: mean $12,6 \pm 8,4$; positive nodes: mean $1,3 \pm 1,9$; margin positive: 56 (26%) – ODP 50 (27%) vs. LDP 6 (26%)</p> <p>Behandlung: ODP 189 (89%)/LDP 23 (11%) patients – hand-access procedure 17%, converted to open 17% Adjuvant therapy: 69%</p>	<p>ODP (controls) vs. LPD (cases)</p> <p>Operative time Blood loss Total nodes Positive nodes Margin positive Length of hospital stay</p>	<p>Distal pancreatectomy No single technique was used for either open DP or laparoscopic DP.</p>	<p>Survival</p> <p>Follow-up: median 10 Monate</p>	<p>2b</p> <p>three factors were used to select patients for the matched cohort comparison: age, ASA status, and tumor size. A 3:1 matching was chosen so that a larger set of patients could be captured. As a result, the variance between the groups was lowered and greater power was achieved.</p> <p>Converted cases (4) were also included in the laparoscopic group as an intent-to-treat analysis.</p> <p>The weaknesses of this study are the retrospective method and lack of surgical and histologic standardization.</p>

Artikel	Studientyp	Patienten	Prognost. Merkmal und Cut-off	Interventionen in beiden Gruppen	Endpunkte mit Nachverfolgungszeitraum	Verzerrungsrisiko / Evidenzstufe
Røsok 2010 British Journal of Surgery	retrospective Studie monozentrisch 03/1997-03/2009 Norwegen	Indikation: laparoscopic surgery of lesions in the body and tail of the pancreas, and selected patients with lesions in the pancreatic head with curative intent Preoperative percutaneous biopsies were generally avoided. N=166 Männlich 38,5%, Alter: median 60 Jahre (30-82); weiblich 61,5%, Alter: median 55 Jahre (15-81) Median ASA grade: II Befallsmuster: Histology: adenocarcinomas 28 (16,4%), metastases 5 (2,9%), endocrine tumors 53 (31%), cystic lesions 48 (28,1%), other lesions 37 (21,6%) Behandlung: 170 procedures (4 patients repeat surgery) Pancreatic resection 138 (81,2%), other procedures 32 (18,8%) Conversion to open surgery: 8 patients (5,8%)	Operating time (distal resection with splenectomy vs. spleen-preserving distal resection vs. enucleation/local resection) Blood loss No. of fistulas	Laparoscopy Die Beschreibung der Methoden ist zu umfangreich, um an dieser Stelle aufgeführt zu werden (siehe Studie).	Mortality Morbidity Length of hospital stay Follow-up: Patients usually received intravenous non-steroidal anti-inflammatory drugs and paracetamol in the first few days after surgery. All patients were kept in hospital until they were mobilized adequately, and were pain free or had adequate pain relief using mild oral analgesics only. Drain fluid was analyzed for amylase. The operative drain was removed when amylase levels were less than three times the serum levels or the leak rate was less than 10 ml/24 h. After discharge, patients underwent outpatient review. Radiological investigations including CT or US according to clinical need.	4 Wegen fehlender multivariater Analysen mit Korrektur von Störgrößen
Cho 2011 Ann Surg	retrospektive Studie multizentrisch 12/1999-05/2008 USA	Indikation: left pancreatectomy (OLP and LLP) N=693 Alter (\leq 65 / >65 Jahre): 69% / 31%; 40% männlich Befallsmuster: ASA (1-2 / >2): 49% / 51%; BMI (\leq 27 / >27): 53% / 47%; Adenocarcinoma: 78%; Tumor size (\leq 3,5 cm /	Pancreatic fistulae were defined as fluid containing amylase levels 3 times higher than normal serum levels or greater than 250 mg/dl in drains placed either at the time of operation or under radiologic guidance in the postoperative period occurring on or after postop-	Patient selection, choice of operative procedure, and technical operative conduct were determined at the discretion of the individual surgeon. LLP was performed in either a supine or right lateral	Perioperative complication, major complications, any pancreatic fistulae, major pancreatic fistulae ITT-Analyse: laparoscopic cases that were intraoperatively converted to open resection were considered as LLP procedures.	2b Complete data were available on at least 90% of all

Artikel	Studientyp	Patienten	Prognost. Merkmal und Cut-off	Interventionen in beiden Gruppen	Endpunkte mit Nachverfolgungszeitraum	Verzerrungsrisiko / Evidenzstufe
		<p>>3,5 cm): 45% / 46,5%</p> <p>Behandlung: OLP vs. LLP: 439 / 254 patients; splenectomy (OLP vs. LLP):395 / 169 patients; stapled transaction (OLP vs. LLP) 317 / 162 patients</p> <p>Conversion: 24 (9%) patients</p>	operative day 3.	<p>decubitus position with or without use of a hand access port. Pancreatic parenchymal transaction was performed using linear cutting staplers, ultrasonic shears, bipolar cautery, or sharp transaction. A single drain was placed adjacent to the pancreatic resection margin in nearly all cases.</p>		<p>patients for all data fields except operative time (incomplete data in 19%) and postoperative intensive care unit admission (incomplete data in 15%).</p> <p>We were unable to identify any obvious impact of center experience on patient selection, operative technique, or postoperative outcomes.</p>

Tabelle 3.1.14b: Ergebnisse aktueller Studien zur laparoskopischen Operationstechnik

Artikel (Autor, Jahr)	n	Prognost. Merkmal	Anzahl der Pati- enten mit prog. Merkmal	Ergebnisse aus univariater Analyse (OS)		Ergebnisse aus multi- variater Analyse (OS)		Nebenwirkungen durch Sektion des Tu- mors (alle in % der behandelten Patienten)
				p-Wert	Median / HR (95%CI)	p-Wert	Median / HR (95%CI)	
Fernandez- Cruz 2007	13	Laparoscopic surgery Ductal adenocarcinoma	13		14 Monate			Mortalität: 0 Conversion: 3/13 (23%) Blood loss: mean 720 ± 450 ml (300-1300) Operating time: mean 310 ± 20 min (280-330) Postoperative hospital stay: mean 8 Tage (7-11)
	103	Spleen-preserving DP vs. en-bloc splenopancreatectomy vs. enucleation vs. excision	52/30/20/1					Komplikationen: 25,2% / 16,7% / 40% / 0 Pancreatic fistula: 7,7% / 10% / 35% Overall conversion rate: 7% Overall mortality: 0
Palanivelu 2007	42	Ampullary carcinoma vs. pancreatic cystadenocarcinoma vs. pancreatic head adenocarcinoma vs. cholangiocarcinoma vs. chronic pancreatitis	24/4/9/3/2		46 / 37 / 50 / 48,5 / 30,3 Monate 5-year survival 30,7% / 33,3% / 19,1% / 50% / 50%			Mortalität (30 Tage): 2,4% Morbidität: postoperative pancreatic fistula 7,1%, pulmonary complications 12% Conversion: 0 Blood loss: mean 13 ml (35-395) Operating time: mean 370 min (270-640) Postoperative hospital stay: mean 10,2 Tage (8-28)
	9	Pancreatic head carci- noma (T1N0M0 vs. T2N0M0)	5/4		52/36 Monate 5-year survival 100% / 0			
Kooby 2008	667	Unmatched comparison (OLP vs. LLP) length of stay	508/159	<0,001 0,58 <0,001				Major morbidity: 13,6% Length of hospital stay: 9,2±6,0 / 5,9±3,7 Tage Operating time: 226 ± 101 min / 232 ± 99 Blood loss: 712 ± 915 ml / 371 ± 526 ml
	342	Matched comparison (OLP vs. LLP)	200/142	0,40 0,08				Mortality (30 days): 1% / 0

Artikel (Autor, Jahr)	n	Prognost. Merkmal	Anzahl der Pati- enten mit prog. Merkmal	Ergebnisse aus univariater Analyse (OS)		Ergebnisse aus mul- tivariater Analyse (OS)		Nebenwirkungen durch Sektion des Tu- mors (alle in % der behandelten Patienten)
				p-Wert	Median / HR (95%CI)	p-Wert	Median / HR (95%CI)	
				<0,001				Major complications: 17% / 10% Length of hospital stay: 9,0±6,0 / 5,9±3,8 Tage Operating time: 216±100 min / 230±97 min Blood loss: 588±591 ml / 357±497 ml
	159	Converted cases vs. LLP	20/139	0,001				Length of hospital stay: 8,4±3,4 / 5,5±3,6 Tage Operating time: 308±127 min / 222±92 min Blood loss: 1069±979 ml / 276±335 ml
Finan 2009	148	Laparoscopic DP vs. open DP	44/104	0,32	0 / 4.8%			Mediane Operationszeit: 156/ 200 min (p<0.01) Medianer Blutverlust: 100/ 500 ml (p<0,0001) Length of stay: 5,86±4,08 Tage / 8,60±8,59 Tage (p<0,0001) Postoperative pancreatic fistula (A, B, C): 50% / 46,2% (p=0.94) Readmissions: 15,1% / 29,8% (p=0.08)
Kendrick 2010	62	TLPD	62					Mortalität (30 Tage): 1,6% Perioperative Komplikationen: 42% (pancreatic anastomotic leak 18%, delayed gastric emptying 15%) Operationszeit: median 368 min (258-608) Blutverlust: median 240 ml (30-1200) Overall length of hospital stay: median 7 Tage (4- 69) No port-site recurrences were identified in any patient during the observation period.

Artikel (Autor, Jahr)	n	Prognost. Merkmal	Anzahl der Pati- enten mit prog. Merkmal	Ergebnisse aus univariater Analyse (OS)		Ergebnisse aus mul- tivariater Analyse (OS)		Nebenwirkungen durch Sektion des Tu- mors (alle in % der behandelten Patienten)
				p-Wert	Median / HR (95%CI)	p-Wert	Median / HR (95%CI)	
Kooby 2010	212	Resection margin (neg- ative vs. positive)	156/56	0,002	20/11 Monate	0,02	1,70 (1,10- 2,63)	Conversion to open surgery: 17% (4 Patienten)
	93	ODP vs. LDP Survival	70/23	0,71	16/16 Monate			Operationszeit: 216±69 min / 238±68 min Blutverlust: 751±853 ml / 422±473 ml Length of stay: 9,4±4,7 Tage / 7,4±3,4 Tage
Røsok 2010	166							Perioperative Mortalität: 1.8% Median hospital stay: 4 Tage (1-55)
	136	Distal resection with sple- nectomy vs. spleen-pre- serving distal resection vs. enucleation/ local resection	80/37/19					Operating time: 185,5 min (100-690) / 210 min (88-337) / 140 min (50-405) Blood loss: 200 ml (0-6250) / 100 ml (0-1000) / 55 ml (0-1600) No. of fistulas: 9 (11) / 3 (8) / 5 (26)
Cho 2011	693	Komplikationen (OLP vs. LLP)	439/254	<0,001 NS NS 0,057				Any complications: 58% / 39% Major complications: 15% / 12% Any fistulae: 27% / 23% Significant fistulae: 15% / 10%
	693	OLP vs. LLP	439/254	NS <0,001 <0,001 NS <0,001				Operative mortality: 1% / 0,5% Length of stay >7 Tage: 54% / 16% Postoperative ICU stay: 32% / 10% Reoperation: 3% / 1% Wound infection: 14% / 4%

Referenzen

- Cho, C. S., D. A. Kooby, et al. (2011). "Laparoscopic versus open left pancreatectomy: can preoperative factors indicate the safer technique?" *Ann Surg* 253(5): 975-980.
- Fernandez-Cruz L, Cosa R, Blanco L, et al. (2007) „Curative Laparoscopic Resection for Pancreatic Neoplasms: A Critical Analysis from a Single Institution.“ *J Gastrointest Surg* 11: 1607-1622.
- Finan, K. R., E. E. Cannon, et al. (2009). "Laparoscopic and open distal pancreatectomy: a comparison of outcomes." *Am Surg* 75(8): 671-679; discussion 679-680.
- Kendrick, M. L. and D. Cusati (2010). "Total laparoscopic pancreaticoduodenectomy: feasibility and outcome in an early experience." *Arch Surg* 145(1): 19-23.
- Kooby, D. A., T. Gillespie, et al. (2008). "Left-sided pancreatectomy: a multicenter comparison of laparoscopic and open approaches." *Ann Surg* 248(3): 438-446.
- Kooby, D. A., W. G. Hawkins, et al. (2010). "A Multicenter Analysis of Distal Pancreatectomy for Adenocarcinoma: Is Laparoscopic Resection Appropriate?" *Journal of the American College of Surgeons* 210(5): 779-785.
- Palanivelu C, Jani K, Senthilnathan P, et al. (2007) "Laparoscopic Pancreaticoduodenectomy: Technique and outcomes" *J Am Coll Surg* 205: 220-230.
- Rosok, B. I., I. P. Marangos, et al. (2010). "Single-centre experience of laparoscopic pancreatic surgery." *British Journal of Surgery* 97(6): 902-909.

Ausgeschlossene Studien (mit Gründen):

- Angst, E., J. R. Hiatt, et al. (2010). "Laparoscopic surgery for cancer: A systematic review and a way forward." *Journal of the American College of Surgeons* 211(3): 412-423 (keine zusammenfassende Metaanalysen, geeignete Studien werden einbezogen).
- Baker, M. S., D. J. Bentrem, et al. (2011). "Adding days spent in readmission to the initial postoperative length of stay limits the perceived benefit of laparoscopic distal pancreatectomy when compared with open distal pancreatectomy." *Am J Surg* 201(3): 295-299; discussion 299-300. (keine Vergleichsgruppe, Patienten mit duktalem Adenocarcinoma (PDAC) wurden ausschließlich mit offener Resektion behandelt.);
- Briggs, C. D., C. D. Mann, et al. (2009). "Systematic review of minimally invasive pancreatic resection." *J Gastrointest Surg* 13(6): 1129-1137 (keine zusammenfassende Metaanalysen, geeignete Studien werden einbezogen).
- Gumbs, A. A., A. M. Rodriguez Rivera, et al. (2011). "Laparoscopic pancreaticoduodenectomy: A review of 285 published cases." *Annals of Surgical Oncology* 18(5): 1335-1341 (keine Vergleichsgruppe, Statistik nicht adäquat da ohne Konfidenzintervalle).
- Kang, C. M., D. H. Kim, et al. (2010). "Ten years of experience with resection of left-sided pancreatic ductal adenocarcinoma: evolution and initial experience to a laparoscopic approach." *Surg Endosc* 24(7): 1533-1541. (Es wurden nur 5 Patienten laparoskopisch behandelt – mit unterschiedlichen Methoden.)

Themenkomplex 3:

3.1 Chirurgische Therapie des Pankreaskarzinoms

Nachfolgende Evidenztabelle bezieht sich auf folgende Fragen:

3.1.4 Die minimale Resektionsgrenze vom makroskopischen Tumorrand sollte ... mm betragen.

Insgesamt wurden 4 Studien zum Thema auf der Grundlage des Titel- und Abstractscreenings gefunden und eingeschlossen. Zwei Studien wurden mit dem Evidenzniveau 2b beurteilt und zwei Studien aufgrund fehlender Adjustierung für prognostische relevante Störgrößen mit dem Evidenzniveau 4.

Tabelle 3.1.4a: **Studienbeschreibung:** Aktuelle Studien zur minimalen Resektionsmöglichkeit von makroskopischen Tumoren

Artikel ⁵⁸	Studientyp ⁵⁹	Patienten ⁶⁰	Prognost. Merkmal und Cut-off ⁶¹	Interventionen in beiden Gruppen	Endpunkte mit Nachverfolgungszeitraum ⁶²	Verzerrungsrisiko ⁶³ / Evidenzstufe
Fusai 2008 EJSO	retrospektive Studie Mono-zentrisch 01/1996-09/2006 Großbritannien	Indikation: patients with adenocarcinoma of the pancreatic head who underwent surgical exploration with curative intent. Ausschluss: 7 patients with liver metastases N=99 Befallsmuster: PD (n=67) – Tumor size (T1/T2/T3): 19/22/26; Tumor grading: well 10, moderate 45, poor 12; R0/R1: 27/40; nodal involvement: 40; lymphatic invasion: 13; vascular invasion: 31; perineural invasion: 44 Behandlung: pancreaticoduodenectomy (PD) – pylorus-preserving PD: 50 / classical Whipple's procedure: 17 Frozen section was routinely obtained from the margins of the pancreatic stump/common bile duct and resection extended further if	PBS vs. R1 (PD) vs. R0 (PD) Vascular invasion	Surgical exploration A PSB (a Roux loop bilio-enterostomy and gastro-jejunostomy) was performed in 32 patients as intraoperative assessment revealed unresectable disease.	Survival Morality Morbidity Follow-up: Patients were reviewed in clinic every 3 months for the first 2 years, every 6 months for the third and fourth years and yearly thereafter. Tumor markers (CEA and CA 19-9) and chest and abdominal CT scan with pancreas protocol were routinely requested prior to clinic appointments. At the end of 2006, contact was made with all patients (or their families or general practitioners) to assess vital status.	2b

⁵⁸ Autor, Jahr, Studienname, Journal

⁵⁹ Studientyp (RCT, ..., prospektiv vs. retrospektiv, welcher Teil war prospektiv?, univariabel vs. multivariabel), mono vs. multizentrisch, Anzahl, Rekrutierungszeit- und land

⁶⁰, Indikation, Alter, Geschlecht, Behandlungen, Ausmaß/ Befallsmuster je Gruppe, Waren Einschlusskriterien a priori festgelegt?

⁶¹ Tuschemarkierung/ Aufarbeitung der Resektionsränder und des Resektionspräparats

⁶² Gibt es Angaben zum follow-up (z.B. Dauer, Abstand zwischen Untersuchungen, verwendete Untersuchungen)? Ist das Follow-up vollständig, sind Angaben für alle eingeschlossenen Patienten verfügbar? Wenn nicht, für welchen Anteil werden Angaben berichtet?

⁶³ Gab es eine prospektive Planung, Sind Einschlusskriterien für Patienten prospektiv definiert und repräsentativ? Ist die Nachbeobachtungsperiode ausreichend lang und wird über alle Patienten berichtet? Ist das prognost. Merkmal klar definiert und gemessen? Wurden wichtige Störgrößen in das prognost. Modell aufgenommen? Wurde Behandlung nach Prognosestellung standardisiert durchgeführt?

Artikel ⁵⁸	Studientyp ⁵⁹	Patienten ⁶⁰	Prognost. Merkmal und Cut-off ⁶¹	Interventionen in beiden Gruppen	Endpunkte mit Nachverfolgungszeitraum ⁶²	Verzerrungsrisiko ⁶³ / Evidenzstufe
		necessary. Reconstruction – pancreatico-jejunostomy on an isolated Roux loop: 59 patients Adjuvant treatment: PD 48 / PSB 17 patients				
Königer 2008 Langenbecks Arch Surg	retrospective Studie multi-zentrisch 10/2001-12/2006 Deutschland	Indikation: locally extended primary pancreatic ductal adenocarcinoma Ausschluss: possible unresectability due to local advancement (infiltration of celiac trunk or superior mesenteric artery) or metastatic disease (diagnosed by contrast enhanced CT, MRI, endoscopic US) N=84 Alter median (R2 / bypass): 62,5 (55,4-69,3) / 66,6 (57,2-71,0) Jahre; 60% männlich Befallsmuster: ASA (I / II / III): 3 / 38 / 38 patients; R2: 38 patients Behandlung: R2-resection 38 / bypass 46 patients After a transverse or midline laparotomy, the abdominal cavity was carefully explored. Detected hepatic or peritoneal lesions were biopsied and distant metastatic disease was confirmed or excluded by intraoperative frozen section. In the absence of distant metastasis, the pancreatic tumor was further explored. If local non-resectability was confirmed, predominately due to infiltration of retroperitoneal vessels, a bypass procedure was	R2-resection vs. bypass	Patients undergoing pancreatic resection or explorative/palliative procedures for pancreatic/peripancreatic disease.	Survival Mortality Morbidity Follow-up: Ende – Juni 2007 Postoperative follow-ups were performed either at the out-patient clinic or via telephone interview.	4 Wegen fehlender multivariater Analysen mit Korrektur von Störgrößen, geringe Fallzahl Different strategies of additive treatment were performed in most patients. Due to patient heterogeneity and the fact that most of the patients after the surgical intervention were treated in other centers, exact data about additive therapy are not available, however, in all patients independent of whether a bypass or R2 resection was performed, additive treatment was recommended according to our standards for patients with residual pancreatic cancer.

Artikel ⁵⁸	Studientyp ⁵⁹	Patienten ⁶⁰	Prognost. Merkmal und Cut-off ⁶¹	Interventionen in beiden Gruppen	Endpunkte mit Nachverfolgungszeitraum ⁶²	Verzerrungsrisiko ⁶³ / Evidenzstufe
		performed. Preoperative chemotherapy: 17 patients				
Gaedcke 2010 Langenbecks Arch Surgery	Mono-zentrische Studie 1996-2005 retrospektiv 04/2006-07/2008 prospektiv Deutschland	Indikation: Histopathological inclusion criteria were diagnosis of either pancreatic ductal adenocarcinoma (PDAC), distal bile duct adenocarcinomas (DBD), or periampullary adenocarcinoma (PAC). Ausschluss: 35 patients (another histology) N=215 Befallsmuster: T stage (T1 / T2 / T3 / T4): 2 (3,1%) / 1 (1,5%) / 50 (76,9%) / 12 (18,5%); N0/N1: 12 (18,5%) / 53 (81,5%); R0/R1: 51 (39,2%) / 79 (60,8%) Behandlung: PPPD or Kausch-Whipple procedure 1996-2005 , all specimens were worked up by pathologists specializing in gastrointestinal pathology. The location, histological tumor type, size of tumor, and lymph node involvement were defined. Assessment of the RM included the common bile duct, the pancreatic transection margin, the duodenal and jejuna resection plane, and the anterior and posterior surface. Additionally, vascular, lymphatic, and perineural invasion were reported if present. 04/2006-07/2008 , organ surfaces and RMs	R0/R1 classification (1996-2005 UICC vs. 2006-2008 RCP) Site of R1 No. of infiltrated sites According to the UICC criteria, the operation was considered as potentially curative (R0) if the RMs and organ surfaces were free of tumor cells, whereas histopathologically verified tumor cell infiltration was defined as R1 resection. In cases of macroscopically visible tumor tissue, the resection was classified R2. Applying the definition of The Royal College of Pathologists (RCP), the specimens were classified R1 if tumor cells were within 1 mm of the RM.	Operation aller Patienten und histologische Aufarbeitung der Resektate.	Mortality Follow-up: k. A.	4 (fehlende Adjustierung für Störgrößen, keine Angaben zur Nachverfolgung)

Artikel ⁵⁸ 59	Studientyp	Patienten ⁶⁰	Prognost. Merk- mal und Cut-off ⁶¹	Interventionen in beiden Gruppen	Endpunkte mit Nach- verfolgungszeitraum ⁶²	Verzerrungsrisiko ⁶³ / Evi- denzstufe
		of the pancreatic head resection specimen were stained according to a well-defined five-color code: the anterior (ventral) surface was painted black, the posterior (dorsal) surface white, the groove of the superior mesenteric vein (SMV) green, the pancreatic transection margin yellow, and mesopancreas red. The mesopancreas was defined as the soft tissue between the superior mesenteric artery and the pancreatic parenchyma and contains lymphatic, nervous, and vascular structures. Since its identification is challenging, especially after formalin fixation, the mesopancreas was stained directly after removing the specimen from the situs, while the other parts were colored after formalin fixation for 24 to 36 h. All staining procedures were performed by the operating surgeon or by a surgeon present during the procedure.				
Hartwig 2011 Annals of Surgery	retrospektive Studie monozent- risch 10/2001- 08/2009 Deutschland	Indikation: pancreatic resection performed in patients with a primary pancreatic adenocarcinoma Ausschluss: ampullary carcinomas or carcinomas of the distal bile duct N=1071 Alter: median 65,4 Jahre; 56% männlich Befallsmuster: tumor location: head 73,2%, corpus 9,1%, tail 8,5%, >1 location 9,2%; histology: pancreatic ductal adenocarcinoma 90,3%, undifferentiated pancreatic	Resection margin status The margin resection status (R-status) was defined according to general recommendations before June 2005 when R1 was defined as tumor formations invading the resection margin. Starting June 2005, pathologic reposting included a standardized examination of resection specimens	Operation aller Pa- tienten	Survival Follow-up: median 17 Monate (1-92) To assess long-term survival, data from our pancreatic outpatient clinic was used. For those patients whom were not included in our follow-up program, patients, general practitioner, relatives, and insurance companies were contacted by telephone and asked for patient survival, or the documented day of death. Follow-up was incomplete for 53 patients (5%). Of those, 36 patients were resected in 2009 and had a	2b

Artikel ⁵⁸	Studientyp ⁵⁹	Patienten ⁶⁰	Prognost. Merkmal und Cut-off ⁶¹	Interventionen in beiden Gruppen	Endpunkte mit Nachverfolgungszeitraum ⁶²	Verzerrungsrisiko ⁶³ / Evidenzstufe
		<p>carcinoma 1,2%, adenosquamous carcinoma 2,4%, cystic adenocarcinoma 0,3%, malignant IPMN 5,8%; T stage: Tis 2%, T1 2,2%, T2 1,7%, T3 88,5%, T4 5,7%; positive lymph nodes: 76,1%; median LNR: 0,17 (0,09-0,31); median no. of LN evaluated: 22 (15-29); distant metastasis: 8%; R0 revised: 24%, R0 old: 25,4%, R1 revised: 40,5%, R1 old: 4,8%, R2: 5,3%; grading: G1 3%, G2 66,6%, G3/4 30,4%; AJCC stage: 0 2%, IA 2%, IB 0,8%, IIA 17%, IIB 65,3%, III 5%, IV 8%</p> <p>Behandlung: pancreatic head resection 712 patients (66,5%), distal pancreatectomy 199 patients (18,6%), total pancreatectomy 160 patients (14,9%)</p>	<p>with inking of the resection margins, and R1 was defined as a distance of the tumor from the resection margin of ≤1 mm.</p>		<p>follow-up time of less than 6 months.</p>	

Tabelle 3.1.4b: Ergebnisse aktueller prognostischer Studien zur minimalen Resektionsmöglichkeit von makroskopischen Tumoren

Artikel (Autor, Jahr)	n ⁶⁴	Prognost. Merkmal	Anzahl der Patienten mit prog. Merkmal	Ergebnisse aus univaria- ter Analyse		Ergebnisse aus multivariater Analyse		Nebenwirkungen durch Sektion des Tumors (alle in % der behandelten Patienten)
				p-Wert	Median / HR (95%CI)	p-Wert	HR Median / HR (95%CI)	
Fusai 2008	99	R0 vs. R1 vs. PSB	27/40/32	0,21 0,002	Median survival 24/18/9 Monate 1-year survival 79% / 70% / 34% 2-year survival 48,3% / 39,1% / 0 5-year survival 21,5% / 9,9% / 0			Perioperative mortality: 3,7 % / 2,5% / 3,1 % Postoperative complications: 29,6% / 30% / 31,3% Median hospital stay: 15 / 13 / 11 Tage
	99	PSB vs. R0 / R1	32/27/40	0,0002 0,002	RH 0,29 (0,15- 0,55) RH 0,41 (0,23- 0,72)			
	99	PSB vs. R0	32/27			0,0008	3,32 (1,65- 6,67)	
		R1 vs. R0	40/27			0,37	1,36 (0,69- 2,68)	
Köninger 2008	67	Vascular inva- sion	31	0,06	1,86 (0,99-3,50)			
	84	R2-resection vs. bypass	38/46	0,656	Median survival 10,7/10,7 Monate 2-year survival 22,6% / 10,9%			Mortality (30 Tage): 7,9% / 2,2% Morbidity: 47,4% / 21,7% (relaparotomy: 13,2% / 0) Operation time: 397,5 min (350-437) / 240 min (185-280) Blood loss: 750 ml (500-1000) / 200 ml (100-600) Postoperative hospital stay: 12,5 Tage (10- 15) / 10,5 Tage (7-14)

⁶⁴ Gesamtanzahl der Patienten

Artikel (Autor, Jahr)	n ⁶⁴	Prognost. Merkmal	Anzahl der Patienten mit prog. Merkmal	Ergebnisse aus univaria- ter Analyse		Ergebnisse aus multivariater Analyse		Nebenwirkungen durch Sektion des Tumors (alle in % der behandelten Patienten)
				p-Wert	Median / HR (95%CI)	p-Wert	HR Median / HR (95%CI)	
Gaedcke 2010	130	All cancers (UICC vs. RCP)	65/65		Classification into R0 49,2/29,2% R1/R2 50,8/70,8%			Mortality (30 days) 2006-2008: 0
	92	Pancreatic ductal adeno- carcinoma (UICC vs. RCP)	46/46		R0 37/17,4% R1/R2 63/82,6%			
	24	Distal bile duct adenocarci- noma (UICC vs. RCP)	12/12		R0 83,3/58,3% R1/R2 16,7/41,7%			
	14	Periampullary adenocarci- noma (UICC vs. RCP)	7/7		R0 71,4/57,1% R1/R2 28,6/42,9%			
	130	Site of R1	UICC vs. RCP		UICC vs. RCP			
		Mesopancreas	22/27		56,4%/32,5%			
		Pancreatic transection margin	4/11		10,3%/13,3%			
		Anterior	2/18		5,1%/21,7%			
		Posterior	1/13		2,6%/15,7%			
		Groove of SMV	1/4		2,6%/4,8%			
		SMV (n=17)	7/8		17,9%/9,6%			
		Duodenum oral	2/2		5,1%/2,4%			
	130	No. of infil- trated sites 1	UICC vs. RCP 26/22		UICC vs. RCP 78,8%/47,8%			

Artikel (Autor, Jahr)	n ⁶⁴	Prognost. Merkmal	Anzahl der Patienten mit prog. Merkmal	Ergebnisse aus univaria- ter Analyse		Ergebnisse aus multivariater Analyse		Nebenwirkungen durch Sektion des Tumors (alle in % der behandelten Patienten)	
				p-Wert	Median / HR (95%CI)	p-Wert	HR Median / HR (95%CI)		
Hartwig 2011	968	T status (Tis/T1/T2 vs. T3 vs. T4)	61/855/52	<0,0001	21,2%/30,4%			Mortalität (30 Tage): 2,2%	
					0/17,4%				
					0/2,2%				
					0/2,2%				
Hartwig 2011	968	N-status (N0 vs. N1)	235/733	<0,0001	46,4 / 21,5 / 12,1 Monate 5-year survival 39,8% / 12,3% / 0 HR 0,36 (0,23- 0,56) / 1 / 1,73 (1,27-2,36)			Mortalität (30 Tage): 2,2%	
Hartwig 2011	968	No. nodes evaluated (\leq 15 vs. >15)	246/701	0,8299	HR 1,02 (0,85- 1,22)				
Hartwig 2011	968	Lymph node ratio (0 vs. >0- 0,2 vs. >0,2-0,4 vs. >0,4)	224/414/200/111	<0,0001	30,1 / 21,5 / 17,0 / 16,5 Monate 5-year survival 25,4% / 12,2% / 6,6% / 1,7% HR 1 / 1,51 (1,21- 1,88) / 1,91 (1,49- 2,44) / 2,24 (1,69- 2,96)				
Hartwig 2011	968	M-status (M0 vs. M1)	888/80	<0,0001	23,2 / 12,1 Monate 5-year survival 14% / 0				

Artikel (Autor, Jahr)	n ⁶⁴	Prognost. Merkmal	Anzahl der Patienten mit prog. Merkmal	Ergebnisse aus univaria- ter Analyse		Ergebnisse aus multivariater Analyse		Nebenwirkungen durch Sektion des Tumors (alle in % der behandelten Patienten)
				p-Wert	Median / HR (95%CI)	p-Wert	HR Median / HR (95%CI)	
Hartwig 2011	968	R status (R0 old vs. R0 revised vs. R1 old vs. R1 revised vs. R2)	258/233/50/372/49	<0,0001	HR 1 / 2,44 (1,88- 3,18)			
					21,9 / 30,9 / 19,6 / 19,7 / 10,8 Monate HR 0,69 (0,54-0,87) / 1,07 (0,77-1,48) / 1,15 (0,82-1,61) / 1,91 (1,38-2,65)			
	968	Grading (G1 vs. G2 vs. G3/4)	29/619/269	<0,0001	43,5 / 23,4 / 15,2 Monate 5-year survival 36,0% / 11,4% / 6,3% HR 0,44 (0,27-0,73) / 1,53 (1,28-1,83)			
Hartwig 2011	968	AJCC stage (0/IA/IB vs. IIA vs. IIB vs. III vs. IV	49/165/630/80/44	<0,0001	-/- / 29,8 / 21,4 / 14,2 / 12,1 Monate 5-year survival 58,4% / 23,6% / 9,6% / 0 / 0			
	809	T status Tis/T1/T2 vs. T3 T4 vs. T3				0,0292	0,57 (0,34-0,95)	
						0,0005	1,83 (1,30-2,57)	
	809	Lymph node ratio (>0,2 vs.				0,0021	1,34 (1,11-1,61)	

Artikel (Autor, Jahr)	n ⁶⁴	Prognost. Merkmal	Anzahl der Patienten mit prog. Merkmal	Ergebnisse aus univaria- ter Analyse		Ergebnisse aus multivariater Analyse		Nebenwirkungen durch Sektion des Tumors (alle in % der behandelten Patienten)
				p-Wert	Median / HR (95%CI)	p-Wert	HR Median / HR (95%CI)	
		0/≤0,2)						
809		Distant metas- tasis (M1 vs. M0)				<0,0001	1,88 (1,39-2,54)	
809		R status (R0 revised vs. R0 old/R1/R2)				0,0005	0,64 (0,50-0,83)	
809		Grading G1 vs. G2 G3/4 vs. G2				0,0012 <0,0001	0,40 (0,23-0,69) 1,57 (1,29-1,90)	

Referenzen

- Fusai, G., N. Warnaar, et al. (2008). "Outcome of R1 resection in patients undergoing pancreatico-duodenectomy for pancreatic cancer." *Eur J Surg Oncol* 34(12): 1309-1315.
- Gaedcke J, Gunawan B, Grade M, et al. The mesopancreas is the primary site for R1 resection in pancreatic head cancer: relevance for clinical trials. *Langenbecks Arch Surg* 2010; 395: 451-458.
- Hartwig W, Hackert T, Hinz U, et al. Pancreatic cancer surgery in the new millennium. Better prediction of outcome. *Annals of Surgery* 2011; 254 (2): 311-319.
- Koninger, J., M. N. Wente, et al. (2008). "R2 resection in pancreatic cancer--does it make sense?" *Langenbecks Arch Surg* 393(6): 929-934.

Nachfolgende Evidenztabelle bezieht sich auf folgende Fragen:

3.1.12 Gibt es eine Indikation für eine Tuschemarkierung der Resektionsränder bzw. wie soll das Resektionspräparat aufgearbeitet werden?

Insgesamt wurden neun Studien zum Thema auf der Grundlage des Titel- und Abstractscreenings gefunden. Eingeschlossen wurden vier prognostische Studien. Eine Studien wurden mit dem Evidenzniveau 2b beurteilt, drei Studien wurden aufgrund fehlender Adjustierung für prognostische relevante Störgrößen und fehlender Informationen zur Nachbeobachtungszeit abgewertet (4). Ausgeschlossen wurden vier Studien mit historischer Kontrolle, und ein nichtsystematischer Review.

Tabelle 3.1.12a: Studienbeschreibung: Aktuelle Studien zur Notwendigkeit einer Tuschemarkierung der Resektionsränder und Aufarbeitung des Resektionspräparats.

Artikel ⁶⁵	Studientyp ⁶⁶	Patienten ⁶⁷	Prognost. Merkmal und Cut-off ⁶⁸	Interventionen in beiden Gruppen	Endpunkte mit Nachverfolgungszeitraum ⁶⁹	Verzerrungsrisiko ⁷⁰ / Evidenzstufe
Rowseil 2007 HPB	Retrospektive Studie, monozentrisch n=36 2004-2006	Whipple specimens for solid lesions in the head of the pancreas or periampullary region divided into 2 groups: <i>en face</i> protocol: n=16 radial protocol: n=20 Kanada Mean Alter: 63,5 Jahre (43-84) Sex (m/w): 61% / 39% pancreatic adenocarcinoma: 66,7%, ampullary adenocarcinoma: 11,1%, duodenal adenocarcinoma: 5,5%, bile duct adenocarcinoma: 8,3%, endocrine tumor: 2,8%, intraductal papillary mucinous tumor: 2,8%, chronic pancreatitis: 2,8% Ausschluss: more extensive resections, given the likelihood that they would spuriously	The uncinate margin should be painted, its distal 1 cm is serially sectioned radially, and entirely submitted.	All pancreaticoduodenectomies were performed by two hepatopancreatobiliary surgeons. The resected specimens were all handled by two senior pathologist assistants for intraoperative consultation and grossing for permanent sectioning. All specimens were reported by five pathologists, who have certain expertise and interest in this field.	The groups were compared with respect to lymph node count in sections from the uncinate margin , number of positive lymph nodes in the uncinate margin , and overall specimen lymph node count . Efforts to improve accuracy with respect to margin status had the unanticipated effect of increasing lymph node yield.	4 (fehlende Adjustierung für Störgrößen)

⁶⁵ Autor, Jahr, Studienname, Journal

⁶⁶ Studientyp (RCT, ..., prospektiv vs. retrospektiv, welcher Teil war prospektiv?, univariabel vs. multivariabel), mono vs. multizentrisch, Anzahl, Rekrutierungszeit- und land

⁶⁷, Indikation, Alter, Geschlecht, Behandlungen, Ausmaß/ Befallsmuster je Gruppe, Waren Einschlusskriterien a priori festgelegt?

⁶⁸ Tuschemarkierung/ Aufarbeitung der Resektionsränder und des Resektionspräparats

⁶⁹ Gibt es Angaben zum follow-up (z.B. Dauer, Abstand zwischen Untersuchungen, verwendete Untersuchungen)? Ist das Follow-up vollständig, sind Angaben für alle eingeschlossenen Patienten verfügbar? Wenn nicht, für welchen Anteil werden Angaben berichtet?

⁷⁰ Gab es eine prospektive Planung, Sind Einschlusskriterien für Patienten prospektiv definiert und repräsentativ? Ist die Nachbeobachtungsperiode ausreichend lang und wird über alle Patienten berichtet? Ist das prognost. Merkmal klar definiert und gemessen? Wurden wichtige Störgrößen in das prognost. Modell aufgenommen? Wurde Behandlung nach Prognosestellung standardisiert durchgeführt?

Artikel ⁶⁵	Studientyp ⁶⁶	Patienten ⁶⁷	Prognost. Merkmal und Cut-off ⁶⁸	Interventionen in beiden Gruppen	Endpunkte mit Nachverfolgungszeitraum ⁶⁹	Verzerrungsrisiko ⁷⁰ / Evidenzstufe
		increase the lymph node count.				
Gaedcke 2010 Langenbecks Arch Surgery	monozentrische Studie 1996-2005 retrospektiv 04/2006-07/2008 prospektiv Deutschland	Indikation: Histopathological inclusion criteria were diagnosis of either pancreatic ductal adenocarcinoma (PDAC), distal bile duct adenocarcinomas (DBD), or periampullary adenocarcinoma (PAC). Ausschluss: 35 patients (another histology) N=215 Befallsmuster: T stage (T1 / T2 / T3 / T4): 2 (3,1%) / 1 (1,5%) / 50 (76,9%) / 12 (18,5%); N0/N1: 12 (18,5%) / 53 (81,5%); R0/R1: 51 (39,2%) / 79 (60,8%) Behandlung: PPPD or Kausch-Whipple procedure 1996-2005, all specimens were worked up by pathologists specializing in gastrointestinal pathology. The location, histological tumor type, size of tumor, and lymph node involvement were defined. Assessment of the RM included the	R0/R1 classification (1996-2005 UICC vs. 2006-2008 RCP) Site of R1 No. of infiltrated sites According to the UICC criteria, the operation was considered as potentially curative (R0) if the RMs and organ surfaces were free of tumor cells, whereas histopathologically verified tumor cell infiltration was defined as R1 resection. In cases of macroscopically visible tumor tissue, the resection was classified R2. Applying the definition of The Royal College of Pathologists (RCP), the specimens were classified R1 if tumor cells were within 1 mm of the RM.	Operation aller Patienten und histologische Aufarbeitung der Resektate.	Mortality Follow-up: k. A.	4 (fehlende Adjustierung für Störgrößen, keine Angaben zur Nachverfolgung)

Artikel ⁶⁵	Studientyp ⁶⁶	Patienten ⁶⁷	Prognost. Merkmal und Cut-off ⁶⁸	Interventionen in beiden Gruppen	Endpunkte mit Nachverfolgungszeitraum ⁶⁹	Verzerrungsrisiko ⁷⁰ / Evidenzstufe
		common bile duct, the pancreatic transection margin, the duodenal and jejuna resection plane, and the anterior and posterior surface. Additionally, vascular, lymphatic, and perineural invasion were reported if present. 04/2006-07/2008 , organ surfaces and RMs of the pancreatic head resection specimen were stained according to a well-defined five-color code: the anterior (ventral) surface was painted black, the posterior (dorsal) surface white, the groove of the superior mesenteric vein (SMV) green, the pancreatic transection margin yellow, and mesopancreas red. The mesopancreas was defined as the soft tissue between the superior mesenteric artery and the pancreatic parenchyma and contains lymphatic, nervous, and vascular structures. Since its identification is challenging, especially after formalin fixation, the mesopancreas was stained directly after removing the specimen from the situs, while the				

Artikel ⁶⁵	Studientyp ⁶⁶	Patienten ⁶⁷	Prognost. Merkmal und Cut-off ⁶⁸	Interventionen in beiden Gruppen	Endpunkte mit Nachverfolgungszeitraum ⁶⁹	Verzerrungsrisiko ⁷⁰ / Evidenzstufe
		other parts were colored after formalin fixation for 24 to 36 h. All staining procedures were performed by the operating surgeon or by a surgeon present during the procedure.				
Jamieson 2010 Ann Surg	Retrospektive Studie, monozentrisch n=161 01/1996-12/2007 Großbritannien	Patients with pancreatic ductal adenocarcinoma (PDAC) Alter (<65/>65 Jahre): 56% / 44% Sex (m/w): 49% / 51% Tumor stage (T2/T3): 9,5% / 90,5% Adjuvante Chemotherapie (ja/nein): 42% / 58% Ausschluss: lesions other than PDAC (e.g.,ampullary, duodenal or distal bile duct adenocarcinomas, mucinous cystadenocarcinomas or intraductal papillary mucinous neoplasms)	Detailed resection margin status assessed by three senior pathologists 4 pancreatic margins (pancreatic transection, medial, posterior, and anterior surface) are identified and inked with different colors <u>Medial margin</u> is taken essentially as a column running down from, and as wide as, the <u>pancreatic transection margin</u> and contains the beds of the major mesenteric vessels. The <u>anterior margin</u> comprises of the pancreatic surface lying in front of the medial margin. The <u>posterior margin</u> comprises of the usually smooth pancreatic surface lying behind the medial margin. Thereafter 3 cuts are made from the luminal aspect of the second part of the duodenum into the head of the pancreas, in a transverse plane and the specimen left to fix for 24 to 48 hours.	classic or pylorus-preserving pancreatectomy	Follow-up comprised a standardized protocol of out-patient Reviews, Length of survival following surgery and cause of death were obtained from our database and validated using the NHS Scotland Information Services Department The last follow-up period for patients still alive was December 2008.	2b
Ben-Ishay 2011 JOP	Retrospektive Studie, monozentrisch n=57	patients with adenocarcinoma of the pancreas Mean Alter: 70 (48-84) Jahre	Are falciform and round ligaments possible sites for metastases? Is routine pathology examination of these structures justified ?	A unilateral left subcostal incision was performed for distal pancreatectomies and a bilateral subcostal was performed	Metastatic disease in falciform and round ligaments	4 (keine Nachverfolgung nach Operation)

Artikel ⁶⁵	Studientyp ⁶⁶	Patienten ⁶⁷	Prognost. Merkmal und Cut-off ⁶⁸	Interventionen in beiden Gruppen	Endpunkte mit Nachverfolgungszeitraum ⁶⁹	Verzerrungsrisiko ⁷⁰ / Evidenzstufe
	06/2005-01/2011 Israel	Sex (m/w): 54.4%/45,6% Vascular Invasion: 5.3% Perineural Invasion: 24.6% Differentiation (well: 29.8%, moderate: 36.8%, poor: 26.3%, non-relevant: 7.7%) Positive lymph nodes: 40.4% TNM: Ia: 5.3%, Ib: 36.8%, IIa: 8.8%, IIb: 42.1%, III: 3.5%, IV: 3.5% 40 patients with pancreaticoduodenecto- mies, 10 subtotal pancreatectomies, 2 total pancreatectomies, and 1 distal pancreatectomy. exploratory laparotomy (stage III or IV disease) planned resection was not carried out Ausschluss: other peri- ampullary tumors, i.e., duodenal carcinoma, ampullomas, tumors of the distal common bile duct and other pancre- atic malignant (neuroen- docrine), premalignant (intra-pancreatic mucin- ous neoplasm) or benign cystic lesions		for subtotal, total and pancreaticoduode- necromies. Falciform and round ligaments were routinely re- sected and sent to the pathology lab in all operations in which the incision crossed the midline. TNM staging system was used for postop- erative pathological staging.		

Tabelle 3.1.12b: Ergebnisse aktueller Studien zur ur Notwendigkeit einer Tuschemarkierung der Resektionsränder und Aufarbeitung des Resektionspräparats

Artikel (Autor, Jahr)	n ⁷¹	Prognost. Merk- mal	Anzahl der Patienten mit prog. Merk- mal	Ergebnisse aus univariater Analyse (OS)		Ergebnisse aus multivariater Analyse (OS)		Nebenwirkungen durch Sek- tion des Tumors
				p-Wert	Median OS HR (95%CI)	p-Wert	HR	
RowSELL 2007	36	<i>En face</i> protocol	16 , 44,5%	=0,02	0,1 nodes/case 0 positive lymph nodes Average nodes/specimen: 15,5 1,8 nodes/case 8 cases (40%) positive lymph nodes Average nodes/specimen: 20			
		New radial protocol	20 , 55,5%					
Gaedcke 2010	130	All cancers (UICC vs. RCP)	65/65		Classification into R0 49,2%/29,2% R1/R2 50,8%/70,8%			Mortality (30 days) 2006-2008: 0
	92	Pancreatic ductal adenocarcinoma (UICC vs. RCP)	46/46		R0 37%/17,4% R1/R2 63%/82,6%			
	24	Distal bile duct ade- nocarcinoma (UICC vs. RCP)	12/12		R0 83,3%/58,3% R1/R2 16,7%/41,7%			
	14	Periampullary adenocarcinoma (UICC vs. RCP)	7/7		R0 71,4%/57,1% R1/R2 28,6%/42,9%			
	130	Site of R1 Mesopancreas Pancreatic transec- tion margin Anterior Posterior	UICC vs. RCP 22/27 4/11 2/18 1/13 1/4		UICC vs. RCP 56,4%/32,5% 10,3%/13,3% 5,1%/21,7% 2,6%/15,7% 2,6%/4,8%			

⁷¹ Gesamtanzahl der Patienten

Artikel (Autor, Jahr)	n ⁷¹	Prognost. Merk- mal	Anzahl der Patienten mit prog. Merk- mal	Ergebnisse aus univariater Analyse (OS)		Ergebnisse aus multivariater Analyse (OS)		Nebenwirkungen durch Sek- tion des Tumors
				p-Wert	Median OS HR (95%CI)	p-Wert	HR	
		Groove of SMV SMV (n=17) Duodenum oral	7/8 2/2		17,9%/9,6% 5,1%/2,4%			
	130	No. of infiltrated sites	UICC vs. RCP 26/22 1 2 3 4 5		UICC vs. RCP 78,8%/47,8% 21,2%/30,4% 0/17,4% 0/2,2% 0/2,2%			
Jameson 2010	109	R1-Mobilisation (ant. + post. pancreatic surface and duodenal serosal margin) R1-Transection (medial circumferential pancreatic margin requiring tissue transection)	48 , 44% 61 , 66%	<0,001	18,9 Monate (13,1-24,8) There was no difference in survival when comparing with R0 resection (p=0,52). 11,1 Monate (7,1-15,1)		2,76 (2,12-3,91)	In-hospital mortality 13/161 (8,1%)
Ben-Ishay 2011	57	Presence of pancreatic metastasis in the falciform and round ligaments	57		Keine Metastasen wurden gefunden, auch nicht bei schlechter Prognose (in Patientenmerkmalen gegeben)			

Referenzen

- Ben-Ishay, O., A. Ariche, et al. Exposure during pancreatic surgery. Do we have to examine the falciform and round ligaments for pancreatic cancer metastasis? *JOP* 2011; 12(2): 145-148.
- Gaedcke J, Gunawan B, Grade M, et al. The mesopancreas is the primary site for R1 resection in pancreatic head cancer: relevance for clinical trials. *Langenbecks Arch Surg* 2010; 395: 451-458.
- Jamieson, N. B., A. K. Foulis, et al. Positive mobilization margins alone do not influence survival following pancreatico-duodenectomy for pancreatic ductal adenocarcinoma. *Ann Surg* 2010; 251(6): 1003-1010.
- Rowse, C. H., S. Hanna, et al. Improved lymph node retrieval in Whipple specimens as a result of implementation of a new uncinate margin protocol. *HPB* 2007; 9(5): 388-391.

Ausgeschlossene Studien (mit Gründen)

- Adsay, N. V., O. Basturk, et al. The number of lymph nodes identified in a simple pancreaticoduodenectomy specimen: comparison of conventional vs orange-peeling approach in pathologic assessment. *Mod Pathol* 2009; 22(1): 107-112 (teilweise historische Kontrollen, kein zeitlicher Verlauf, Auswertung basiert auf Lymphknoten).
- Esposito, I., J. Kleeff, et al. Most pancreatic cancer resections are R1 resections. *Ann Surg Oncol* 2008; 15(6): 1651-1660 (historische Kontrolle).
- Liszka, L., J. Pajak, et al. Different approaches to assessment of lymph nodes and surgical margin status in patients with ductal adenocarcinoma of the pancreas treated with pancreaticoduodenectomy. *Pathology* 2010; 42(2): 138-146 (historische Kontrolle).
- Menon, K. V., D. Gomez, et al. Impact of margin status on survival following pancreaticoduodenectomy for cancer: the Leeds Pathology Protocol (LEPP). *HPB (Oxford)* 2009; 11(1): 18-24 (historische Kontrolle).
- Pavlidis, T. E., E. T. Pavlidis, et al. Current opinion on lymphadenectomy in pancreatic cancer surgery. *Hepatobiliary Pancreat Dis Int* 2011; 10(1): 21-25 (review, nicht systematisch).

Nachfolgende Evidenztabelle bezieht sich auf folgende Fragen:

3.1.15 Sehen Sie eine Indikation für die intraoperative Schnellschnittanfertigung im Rahmen der Pankreaskarzinomchirurgie?

Insgesamt wurde eine Studie zum Thema auf der Grundlage des Titel- und Abstractscreenings gefunden. Diese Studie wurde aufgrund fehlender Adjustierung für prognostische relevante Störgrößen mit dem Evidenzniveau 4 bewertet.

Tabelle 3.1.3.15a: Studienbeschreibung: Aktuelle Studien zur intraoperativen Schnellschnittanfertigung im Rahmen der Pankreaskarzinomchirurgie

Artikel	Studientyp	Patienten	Prognost. Merkmal und Cut-off	Interventionen in beiden Gruppen	Endpunkte mit Nach-verfolgungszeitraum	Verzerrungsrisiko / Evidenzstufe
Hernandez 2009 Ann Surg	retrospektive Studie multi-zentrisch	Indikation: extending resections to obtain microscopically negative margins after positive intraoperative frozen sections Ausschluss: patients undergoing pancreaticoduodenectomy for duodenal cancers, ampullary cancers, cholangiocarcinomas, mucinous cystadenomas/adenocarcinomas, intraductal papillary-mucinous neoplasms, uncommon pancreatic cancers, and pancreatitis N=202 Alter median: R0 68 Jahre (mean 67±10,6), 51% männlich; R1→R0 61 Jahre (mean 62±5,9), 59% männlich; R1 66 Jahre (mean 66±8,6), 52% männlich Befallsmuster: R0 141, R1→R0 17, R1 44 patients (positive margins pancreatic neck 48%, positive peripheral pancreatic margins 39%, positive bile duct margins 36%, positive margins along the uncinate	Complete (R0) with margins initially negative vs. complete (R0) with margins initially positive vs. incomplete (R1)	Operation aller Patienten (pancreaticoduodenectomy for pancreatic adenocarcinoma) Pancreaticoduodenectomy was undertaken in a standard fashion with pylorus preservation whenever possible. The celiac trunk and the SMA were skeletonized with removal of all pancreatic and nodal tissue to the right of the vessels, ventral to the vessels, and dorsal to the vessels. The portal vein and the distal superior mesenteric vein were skeletonized routinely and were resected when necessary to achieve complete tumor extirpation. Intraoperative frozen section analysis was routinely obtained for the common bile duct/common hepatic duct margin and pancreatic neck margin. Other margins underwent intraoperative frozen section analysis as indicated by operative findings. All patients underwent extended resections in response to a positive intraoperative margin. The decision to further extend resections after a second or subsequent positive intraoperative margin was at	Survival Follow-up: All patients were followed up until death.	4 Wegen fehlender multivariater Analysen mit Korrektur von Störgrößen

Artikel	Studientyp	Patienten	Prognost. Merkmal und Cut-off	Interventionen in beiden Gruppen	Endpunkte mit Nach-verfolgungszeitraum	Verzerrungsrisiko / Evidenzstufe
		<p>margin/SMA 27%, positive margins in a resected piece of portal vein 11%); T stage (T1/T2/T3): R0 11%/30%/59%, R1→R0 0/27%/73%, R1 10%/26%/64%; nodal metastasis: R0 48%, R1→R0 87%, R1 61%</p> <p>Behandlung: PD with extended resection if indicated by positive frozen sections</p> <p>Adjuvant therapy: R0 90%, R1→R0 100%, R1 100%</p> <p>Adjuvant therapy was not protocol driven and generally consisted of chemoradiation therapy for 6 weeks followed by chemotherapy for 3 to 6 months after resection.</p>		<p>the discretion of the attending surgeon. No patients underwent total pancreatectomy to achieve complete tumor extirpation. All margins were evaluated on permanent section.</p>		

Tabelle 3.1.3.15b: Ergebnisse aktueller Studien zur intraoperativen Schnellschnittanfertigung im Rahmen der Pankreaskarzinomchirurgie

Artikel (Autor, Jahr)	n	Prognost. Merkmal	Anzahl der Patienten mit prog. Merkmal	Ergebnisse aus univariater Analyse		Ergebnisse aus mul- tivariater Analyse		Nebenwirkungen durch Sektion des Tumors (alle in % der behandelten Patienten)
				p-Wert	Median / HR (95%CI)	p-Wert	Median / HR (95%CI)	
Hernandez 2009	202	R0 vs. R1→R0 vs. R1	141/17/44	0,001 0,02	21(26±23,4)/ 11(16±17,3)/ 13 (17±21,0) Monate	k.A.	k.A.	

Referenzen

Hernandez, J., J. Mullinax, et al. (2009). "Survival after pancreaticoduodenectomy is not improved by extending resections to achieve negative margins." *Ann Surg* **250**(1): 76-80.

Nachfolgende Evidenztabelle bezieht sich auf folgende Frage:

3.1.16 Welche Kriterien sind für die Einstufung als R0 Resektion beim Pankreaskarzinom zu fordern?

Insgesamt wurden 8 Studien zum Thema auf der Grundlage des Titel- und Abstractscreenings gefunden und eingeschlossen. Drei Studien wurden mit dem Evidenzniveau 2b, eine Studie wurde aufgrund fehlender Informationen zur Nachbeobachtungszeit abgewertet (2b-) und vier Studien aufgrund fehlender Adjustierung für prognostische relevante Störgrößen mit dem Evidenzniveau 4 bewertet.

Tabelle 3.1.16a: Studienbeschreibung: Aktuelle Studien zur Einstufung als R0 Resektion

Artikel	Studientyp	Patienten	Prognost. Merkmal und Cut-off	Interventionen in beiden Gruppen	Endpunkte mit Nachverfolgungszeitraum	Verzerrungsrisiko / Evidenzstufe
Esposito 2008 <i>Annals of Surgical Oncology</i>	(case – prospektiv, control – retrospektiv) Studie monozentrisch 01/2002-09/2006 Deutschland	Indikation: Patients with ductal adenocarcinoma of the pancreatic head who underwent laparotomy with curative intent. Ausschluss: patients with suspected involvement of the superior mesenteric artery and/or the celiac trunk (>50% of the circumference of the vessel) after preoperative diagnostic imaging N=111 (2005-2006) case N=188 (2002-2004) control „case“ Alter: median 66 Jahre (58-73), 58% männlich „control“ Alter: median 64 Jahre (58-70), 58% männlich Befallsmuster: „case“ histology: adenosquamous carcinoma 5 (4%), mucinous noncystic adenocarcinoma 2 (2%), classical ductal adenocarcinoma 104 (94%); Tumor size: 3 cm (2,5-4); pT3 111 (100%); LN median yield: 24 (19-31); LN median involved: 3 (1-9); pN0: 16 (15%); pN1: 95 (85%); pM0: 104 (94%); pM1: 7 (6%); perineural invasion: 96 (86%); lymphatic invasion: 21 (19%); vascular invasion: 12 (11%); Tumor differentiation: G1 2 (2%), G2 70 (63%), G3 39 (35%); R1 84 (76%), R0 27 (24%) – RM involved: posterior 39 (47%), medial 57 (68%), anterior surface 8 (10%), transection 3 (4%), bile duct 4 (5%), stomach/duodenum 3 (4%); no. of margins: 1 - 56 (68%), 2 – 22	R1 resection (2002-2004 vs. 2005-2006) R0 resection (2002-2004 vs. 2005-2006) R1 was defined when the distance of the tumor from the resection margin was ≤1 mm. The infiltration of the margin was further defined as “ direct extension of the primary neoplasm ” (i.e., tumor tissue within 1 mm of the margin) or “ locoregional spreading/metastasis ” (i.e., lymph node metastases or perineural/lymphatic/ vascular tumor propagation within 1 mm of the margin). The macroscopic and histological examinations of the surgical specimens in the first study period (2002-2004) were carried out under the supervision of senior pathologists following nonstandardized protocols. In the second study period (2005-2006), the macroscopic and histological examinations of the surgical specimens were carried out under the supervision of two pathologists (I.E. and F.B.) with experience in pancreatic pathology following a protocol developed by the European Study Group for Pancreatic Cancer, with slight	macroscopic complete resection for pancreatic ductal adenocarcinoma	Survival Follow-up: Ende – Februar 2007 Patients alive at the last follow-up were censored. Because the follow-up period was short for the 2005-2006 group, median survival times could not be calculated.	4 Wegen fehlender multivariater Analysen mit Korrektur von Störgrößen Within our study period, the standard surgical technique and the operating surgical team did not change. However, because of the implementation of the standardized sampling protocol, the R1 resection rate increased from 14% (2002-2004) to 76% (2005-2006), thus showing that – in contrast to common belief – a high rate of R1 resections in pancreatic cancer is not a marker of low-quality surgery but rather of high-quality pathology.

Artikel	Studientyp	Patienten	Prognost. Merkmal und Cut-off	Interventionen in beiden Gruppen	Endpunkte mit Nach-verfolgungs-zeitraum	Verzerrungsrisiko / Evidenzstufe
		<p>(26%), $\geq 3 - 5$ (6%); "direct extension" 78 (93%), "locoregional spreading" 6 (7%) – "control" pT3: 90%; pN1 79%; R0/R1: 86%/14%</p> <p>Behandlung: (case/control) pylorus-preserving PD 93 (84%) /137 (73%), classical PD 13 (12%) / 40 (21%), total PD 5 (4%) / 11 (6%)</p> <p>Samples for each case included 8 to 23 blocks of paraffin-embedded pancreatic tissue (median 14), 5 to 10 of which were taken from regions with tumor.</p>	<p>modifications.</p> <p>Auf eine detaillierte Beschreibung der Methode wird an dieser Stelle verzichtet (siehe Studie).</p>			
Campbell 2009 Histo-pathology	retrospektive Studie mono-zentrisch 01/1997-12/2007 UK	<p>Indikation: pancreateoduodenectomy;</p> <p>Patients with histologically confirmed pancreatic ductal adenocarcinoma</p> <p>N= 163</p> <p>medianes Alter: 66,4 Jahre (IQR 60,8-73,0)</p> <p>55,8% Männer</p> <p>Befallsmuster: T stage (T1 / T2 / T3 / T4): 7, 4% / 17, 10% / 135, 83% / 4, 3% Patienten</p> <p>Tumordurchmesser: Median 30 mm (IQR 23-38); Tumor differentiation (well/moderate/poor): 25, 15% / 84, 52% / 53, 33%; LN status (positive/negative): 25, 15% / 138, 85%; median LN yield: 18 (IQR 12-25); median LNR: 0,23 (IQR 0,14-0,37) for node positive cases; resection margin (RM) status (nega-</p>	<p>R1 (equivocal vs. unequivocal)</p> <p>'equivocal': tumor involvement within 1 mm of one or more margins, without direct involvement of the margin itself</p> <p>'unequivocal': cancer reaching the resection margin on microscopy</p> <p>R0 vs. R1</p> <p>LNR (lymph node ratio)</p> <p>Tumogröße</p> <p>Tumordifferenzierung (poor vs. well/moderate)</p>	<p>Operation aller Patienten</p>	<p>Survival</p> <p>Follow-up: survival data were obtained from hospital computer records.</p>	<p>2b-</p> <p>Keine eindeutige Angabe der p-value bei der median survival Analyse.</p> <p>Keine Beschreibung zum Follow-up.</p> <p>Bei der univariaten und multivariaten survival Analyse fehlt die Spezifikation der prognostischen Merkmale Tumogröße und LNR.</p> <p>Histological data were incomplete for a small number of cases – final multivariate model includes 155 cases.</p>

Artikel	Studientyp	Patienten	Prognost. Merkmal und Cut-off	Interventionen in beiden Gruppen	Endpunkte mit Nach-verfolgungs-zeitraum	Verzerrungsrisiko / Evidenzstufe
		tive/positive): 35, 21% / 128, 79% - 'equivocal' margin involvement 57, 45% R1: Isolated tumor involvement of the anterior surface of the pancreatic specimen or the presence of pancreatic intraepithelial neoplasia-3 at an otherwise negative transsection margin were not considered an R1 resection. Ausschluss: R2 resections Behandlung: pancreateoduodenectomy: classical 16, 10%; pylorus-preserving 147, 90% Adjuvant chemotherapy: 44, 27%				
Chang 2009 J Clin Oncol	retrospektive Studie multi-zentrisch 1990-2007 Australien	Indikation: patients with a diagnosis of pancreatic ductal adenocarcinoma who underwent pancreatic resection with curative intent (no macroscopic residual disease) Ausschluss: adenocarcinomas arising in the presence of intraductal papillary mucinous neoplasms or mucinous cystic neoplasms N=365 medianes Alter: 67,4 Jahre (28,1-86,7) 52,1% Männer Befallsmuster: Tumor location (head vs. body/tail): 295, 80,8% / 70, 19,2%; Tumor stage (IA/IB/IIA/IIB): 11/24/113/217 Patienten; Tumor differentiation (well/moderate/poor): 32, 8,8% / 235, 64,4% / 98, 26,8%; LN status (positive/negative): 217, 59,5% / 109, 40,5%; Resection margin (0	R1 definitions (0 vs. ≤0,5 mm vs. ≤1 mm vs. ≤1,5 mm vs. ≤2 mm) Stage (IA/IB vs. IIA/IIB) Differentiation (well/moderate vs. poor) Tumor location (head vs. body/tail) Tumor size (≤20 mm vs. >20mm) Margins, 0 mm (clear vs. involved) Lymph nodes (negative vs. positive) Perineural invasion (negative vs. positive) Vascular invasion (negative vs. positive)	Operation aller Patienten	Survival Mortality Follow-up: median 15,6 Monate (0-168,6) Lost to follow-up: 0,5%	2b All cases underwent central pathology review by at least one specialist pancreatic histopathologist (J.G.K. and/or A.I.G.) who were blinded to the diagnosis to confirm pancreatic ductal adenocarcinoma and to define histopathologic features in a standardized manner using a synoptic report developed for the purpose.

Artikel	Studientyp	Patienten	Prognost. Merkmal und Cut-off	Interventionen in beiden Gruppen	Endpunkte mit Nach-verfolgungs-zeitraum	Verzerrungsrisiko / Evidenzstufe
		<p>mm): clear 233, 63,8% / involved 132, 36,2%; perineural invasion (negative/positive): 109, 29,9% / 256, 70,1%; vascular invasion (negative/positive): 202, 55,3% / 163, 44,7%</p> <p>Behandlung: Whipple pancreaticoduodenectomy: 295, left-sided pancreatectomy: 70 Adjuvant chemotherapy: 26,3% Radiotherapy: 5,8%</p>				
Menon 2009 HPB	Retro-spektive Studie Mono-zentrisch 11/2003-04/2007 UK	<p>Indikation: Pancreatoduodenectomy (PDE) – potentially curative resection for adenocarcinoma of the pancreatic head (Only adenocarcinomas were included, other tumour entities, including adenocarcinoma arising in the context of intraductal papillary-mucinous neoplasia or mucinous cystic neoplasia, were excluded.)</p> <p>N= 83 pancreatic (n=27), ampullary (n=24), bile duct cancer (n=32) medianes Alter: 67 Jahre (37-84) 10/27 (37%) Männer Befallsmuster: pT stage (pT1 / pT2 / pT3): 0 / 0 / 27 (100%) Tumordurchmesser: mean 3,3 cm (2,0-5,5) - <2,5 cm vs. ≥2,5 cm: 6/27 (22%) vs. 21/27 (78%); pN stage (N0 vs. N1): 4/27 (15%) vs. 23/27 (85%); mean number of positive LN: 4,7 (0-14); mean positive LNR: 0,282 (0-0,85), mean lymph node</p>	<p>Tumour size (<2,5 cm vs. ≥2,5 cm) R0 vs. R1 N0 vs. N1 Number of positive LN (<5 vs. ≥5) Positive LNR (≤0,1 vs. >0,1)</p>	<p>Operation aller Patienten</p>	<p>Survival Follow-up: median 18 Monate (10-55) Pancreatic cancer patients: 17 died, median follow-up of the remaining patients: 16,5 months (12-55)</p>	4 Wegen fehlender multivariater Analysen mit Korrektur von Störgrößen

Artikel	Studientyp	Patienten	Prognost. Merkmal und Cut-off	Interventionen in beiden Gruppen	Endpunkte mit Nachverfolgungszeitraum	Verzerrungsrisiko / Evidenzstufe
		<p>yield: 17,6 (6-32)</p> <p>R0 vs. R1: 5/27 (18,5%) vs. 22/27 (81,5%) – margins involved: posterior 13, SMV groove 12, anterior 3, trans-section 3, multiple 8</p> <p>Behandlung: panreatoduodenectomy with standard lymphadenectomy: standard 15; pylorus-preserving; 68</p> <p>Adjuvant chemotherapy: 8/27 (30%) pancreatic cancer patients</p>				
Gaedcke 2010 Langenbecks Arch Surgery	Mono-zentrische Studie 1996-2005 retrospektiv 04/2006-07/2008 prospektiv Deutschland	<p>Indikation: Histopathological infiltration criteria were diagnosis of either pancreatic ductal adenocarcinoma (PDAC), distal bile duct adenocarcinomas (DBD), or periampullary adenocarcinoma (PAC).</p> <p>Ausschluss: 35 patients (another histology)</p> <p>N=215</p> <p>Befallsmuster: T stage (T1 / T2 / T3 / T4): 2 (3,1%) / 1 (1,5%) / 50 (76,9%) / 12 (18,5%); N0/N1: 12 (18,5%) / 53 (81,5%); R0/R1: 51 (39,2%) / 79 (60,8%)</p> <p>Behandlung: PPPD or Kausch-Whipple procedure</p> <p>1996-2005: all specimens were worked up by pathologists specializing in gastrointestinal pathology. The location, histological tumor type, size of tumor, and lymph node involvement were defined. Assess-</p>	<p>R0/R1 classification (1996-2005 UICC vs. 2006-2008 RCP)</p> <p>Site of R1</p> <p>No. of infiltrated sites</p> <p>According to the UICC criteria, the operation was considered as potentially curative (R0) if the RMs and organ surfaces were free of tumor cells, whereas histopathologically verified tumor cell infiltration was defined as R1 resection. In cases of macroscopically visible tumor tissue, the resection was classified R2. Applying the definition of The Royal College of Pathologists (RCP), the specimens were classified R1 if tumor cells were within 1 mm of the RM.</p>	<p>Operation aller Patienten und histologische Aufarbeitung der Resektate.</p>	<p>Mortality Follow-up: k. A.</p>	<p>4 (fehlende Adjustierung für Störgrößen, keine Angaben zur Nachverfolgung)</p>

Artikel	Studientyp	Patienten	Prognost. Merkmal und Cut-off	Interventionen in beiden Gruppen	Endpunkte mit Nach-verfolgungs-zeitraum	Verzerrungsrisiko / Evidenzstufe
		ment of the RM included the common bile duct, the pancreatic transection margin, the duodenal and jejunum resection plane, and the anterior and posterior surface. Additionally, vascular, lymphatic, and perineural invasion were reported if present. 04/2006-07/2008 , organ surfaces and RMs of the pancreatic head resection specimen were stained according to a well-defined five-color code: the anterior (ventral) surface was painted black, the posterior (dorsal) surface white, the groove of the superior mesenteric vein (SMV) green, the pancreatic transection margin yellow, and mesopancreas red. The mesopancreas was defined as the soft tissue between the superior mesenteric artery and the pancreatic parenchyma and contains lymphatic, nervous, and vascular structures. Since its identification is challenging, especially after formalin fixation, the mesopancreas was stained directly after removing the specimen from the situs, while the other parts were colored after formalin fixation for 24 to 36 h. All staining procedures were performed by the operating surgeon or by a surgeon present during the procedure.				
Jamieson 2010 Ann Surg	retrospektive Studie, mono-zentrisch 01/1996-	Indikation: patients with pancreatic ductal adenocarcinoma (PDAC) Ausschluss: lesions other than PDAC (e.g.,ampullary, duodenal or distal bile duct adenocarcinomas, mucinous cystadenocarcinomas or	Tumor stage (T2 vs. T3) Lymph node status (N0 vs. N1) Tumor size (\leq 30 mm vs. $>$ 30 mm)	classic or pylorus-preserving pancreatectomy	Survival Mortality Follow-up: Follow-up com-	2b

Artikel	Studientyp	Patienten	Prognost. Merkmal und Cut-off	Interventionen in beiden Gruppen	Endpunkte mit Nach-verfolgungs-zeitraum	Verzerrungsrisiko / Evidenzstufe
	12/2007 Großbritannien	<p>intraductal papillary mucinous neoplasms)</p> <p>N=148</p> <p>Alter (<65/>65 Jahre): 56% / 44%</p> <p>Sex (m/w): 49% / 51%</p> <p>Befallsmuster: Tumor stage (T2/T3): 9,5% / 90,5%; lymph node metastasis (no/yes): 28/120; Tumor grade (low/high): 99/49; perineural invasion: 137; venous invasion: 73; lymphatic invasion: 39; resection margin status (R0/R1): 39/109</p> <p>Behandlung: vascular resection: 18 Patienten</p> <p>Adjuvante Chemotherapie (ja/nein): 42% / 58%</p>	<p>Tumor grade (low vs. high)</p> <p>Perineural invasion</p> <p>Venous invasion</p> <p>Lymphatic invasion</p> <p>Resection margin status (R0 vs. R1)</p> <p>Detailed resection margin status assessed by three senior pathologists</p> <p>4 pancreatic margins (pancreatic transection, medial, posterior, and anterior surface) are identified and inked with different colors</p> <p><u>Medial margin</u> is taken essentially as a column running down from, and as wide as, the <u>pancreatic transection margin</u> and contains the beds of the major mesenteric vessels.</p> <p>The <u>anterior margin</u> comprises of the pancreatic surface lying in front of the medial margin. The <u>posterior margin</u> comprises of the usually smooth pancreatic surface lying behind the medial margin. Thereafter 3 cuts are made from the luminal aspect of the second part of the duodenum into the -head of the pancreas, in a transverse plane and the specimen left to fix for 24 to 48 hours.</p>		<p>prised a standard-ized protocol of out-patient</p> <p>Reviews, Length of survival following surgery and cause of death were obtained from our database and validated using the NHS Scotland Infor-mation Services Department</p> <p>The last follow-up period for patients still alive was December 2008.</p>	
Liszka 2010	retrospective Studie	Indikation: pT3 ductal adenocarcinomas diagnosed in pancreaticoduodenectomy speci-	R1 resection margin In cases in which invasive tumour was seen in the en	First time period The pancreatic head sur-face was not as-	Margin status	4 (fehlende Adjustierung für Stör-

Artikel	Studientyp	Patienten	Prognost. Merkmal und Cut-off	Interventionen in beiden Gruppen	Endpunkte mit Nachverfolgungs-zeitraum	Verzerrungsrisiko / Evidenzstufe
Pathology	monozentrisch 01/2006-06/2009 Großbritannien/Polen	mens Ausschluss: variants of ductal adenocarcinoma, invasive carcinomas associated with intraductal papillary mucinous neoplasms, biliary, duodenal and ampullary tumours, non-ductal neoplasms, R2 resections and M1 resections N=67 2006-2007 – Alter: median 63,5 Jahre (55-73); 47% männlich 01/2008-09/2008 – Alter: median 61 Jahre (53,5-67); 60% männlich 10/2008-06/2009 – Alter: median 61 Jahre (52-63); 61,5% männlich Befallsmuster: pT3: 100%; 2006-2007 – tumour diameter: median 3 cm (2,2-3,7); N1: 58,8%; no. of retrieved peripancreatic LN: median 11 (8-15); no. of peripancreatic LN with metastases: median 1 (0-3); diameter of the smallest LN without metastasis: median 0,2 cm (0,15-0,25); diameter of the smallest LN with metastasis: median 0,4 cm (0,25-0,5); summary R1 rate, tumour at inked SM or in <i>en face</i> sections: 23,5%; summary R1 rate, tumour ≤1 mm from inked SM: not applicable; approximate no. of tissue blocks used for sampling the PD specimen: 10-12 01/2008-09/2008 – tumour diameter: median 2,8 cm (2,2-3,4); N1: 80%; no. of retrieved peripancreatic LN: median 12 (9,5-15); no. of peripancreatic LN	face section of the surgical margin, such surgical margin was considered positive (R1). In cases where invasive tumour was seen in the perpendicular section of the surgical margin, two different R1 diagnostic criteria were applied: (a) a surgical margin was considered positive when invasive tumour was present at the inked surgical margin, and (b) a surgical margin was considered positive when invasive tumour was present at a distance of 1 mm or less from the inked surgical margin (including cases with tumour at the inked surgical margin). In cases with positive surgical margins present in the perpendicular section, two specific patterns of tumour expansion were recognized: (a) extranodal tumour spread (direct infiltration, tumour deposits in adipose tissue, lymphatic or blood vessel invasion, perineural invasion), and (b) nodal tumour spread (direct lymph node infiltration or lymph node metastasis).	sessed as a surgical margin. This approach was quite similar to the orange-peeling approach, except for two differences: (a) soft tissue was shaved off from every slice separately but not from the entire head prior to slicing as in the orange-peeling approach, and (b) no specific regions of peripancreatic tissue were distinguished. Second time period We applied a new and improved approach to PD specimen gross examination by distinguishing the following margins/surfaces: anterior circumferential radial surface, posterior circumferential radial margin, superior mesenteric vein groove margin and previously noted surgical margins: pancreatic transaction margin, bile duct margin, superior mesenteric artery margin, and gastric/duodenal surgical margin. The specimen was sliced transversely in a plane perpendicular to		größen, keine Angaben zur Nachverfolgung) The limitations of our study result from its retrospective nature and relatively small study population. This may explain why we were not able to show a statistically significant increase in R1 during the study period despite it being more than twice as high in the third period compared to the first. However, the strength of this report is based on the very strict inclusion criteria (pT3 pancreatic ductal adenocarcinoma).

Artikel	Studientyp	Patienten	Prognost. Merkmal und Cut-off	Interventionen in beiden Gruppen	Endpunkte mit Nach-verfolgungs-zeitraum	Verzerrungsrisiko / Evidenzstufe
		<p>with metastases: median 2 (1-2,5); diameter of the smallest LN without metastasis: median 0,1 cm (0,1-0,2); diameter of the smallest LN with metastasis: median 0,3 cm (0,2-0,55); summary R1 rate, tumour at inked SM or in <i>en face</i> sections: 40%; summary R1 rate, tumour \leq 1 mm from inked SM: 60%; approximate no. of tissue blocks used for sampling the PD specimen: 20-25 10/2008-06/2009 – tumour diameter: median 2,8 cm (2,5-3,1); N1: 53,8%; no. of retrieved peripancreatic LN: median 14 (9-17); no. of peripancreatic LN with metastases: median 1 (0-3); diameter of the smallest LN without metastasis: median 0,15 cm (0,1-0,2); diameter of the smallest LN with metastasis: median 0,2 cm (0,1-0,3); summary R1 rate, tumour at inked SM or in <i>en face</i> sections: 53,8%; summary R1 rate, tumour \leq 1 mm from inked SM: 61,5%; approximate no. of tissue blocks used for sampling the PD specimen: 25-50</p> <p>Behandlung: classical PD 13 patients (19,4%) / PPPD 54 patients (80,6%)</p> <p>Vascular resection was not performed.</p> <p>None of the presented cases was submitted to frozen section examination of tumour or surgical margins.</p>		<p>the long axis, but the slices were significantly thinner than previously, i.e., at about 2,0-2,5 mm rather than at 3-5 mm. Then the posterior circumferential radial margin was sampled entirely. Always the same surface of the slices was cut. The anterior circumferential radial surface and superior mesenteric vein groove margin were not sampled. Third time period A new and improved method of PD specimen gross examination and sampling was applied in full detail. The presented approach was similar to the method of gross PD specimen handling in other European centres, but we introduced two modifications, which we find of practical importance: (a) slices and sections were 2,0-2,5 mm thick, and (b) whole surgical margins instead of representative sections were sampled for histopathology.</p>		

Artikel	Studientyp	Patienten	Prognost. Merkmal und Cut-off	Interventionen in beiden Gruppen	Endpunkte mit Nachverfolgungszeitraum	Verzerrungsrisiko / Evidenzstufe
Hartwig 2011 Annals of Surgery	retrospektive Studie monozentrisch 10/2001-08/2009 Deutschland	Indikation: pancreatic resection performed in patients with a primary pancreatic adenocarcinoma Ausschluss: ampullary carcinomas or carcinomas of the distal bile duct N=1071 Alter: median 65,4 Jahre; 56% männlich Befallsmuster: tumor location: head 73,2%, corpus 9,1%, tail 8,5%, >1 location 9,2%; histology: pancreatic ductal adenocarcinoma 90,3%, undifferentiated pancreatic carcinoma 1,2%, adenosquamous carcinoma 2,4%, cystic adenocarcinoma 0,3%, malignant IPMN 5,8%; T stage: Tis 2%, T1 2,2%, T2 1,7%, T3 88,5%, T4 5,7%; positive lymph nodes: 76,1%; median LNR: 0,17 (0,09-0,31); median no. of LN evaluated: 22 (15-29); distant metastasis: 8%; R0 revised: 24%, R0 old: 25,4%, R1 revised: 40,5%, R1 old: 4,8%, R2: 5,3%; grading: G1 3%, G2 66,6%, G3/4 30,4%; AJCC stage: 0 2%, IA 2%, IB 0,8%, IIA 17%, IIB 65,3%, III 5%, IV 8% Behandlung: pancreatic head resection 712 patients (66,5%), distal pancreatectomy 199 patients (18,6%), total pancreatectomy 160 patients (14,9%)	Resection margin status The margin resection status (R-status) was defined according to general recommendations before June 2005 when R1 was defined as tumor formations invading the resection margin. Starting June 2005, pathologic reposting included a standardized examination of resection specimens with inking of the resection margins, and R1 was defined as a distance of the tumor from the resection margin of ≤1 mm.	Operation aller Patienten	Survival Mortality Follow-up: median 17 Monate (1-92) To assess long-term survival, data from our pancreatic outpatient clinic was used. For those patients whom were not included in our follow-up program, patients, general practitioner, relatives, and insurance companies were contacted by telephone and asked for patient survival, or the documented day of death. Follow-up was incomplete for 53 patients (5%). Of those, 36 patients were resected in 2009 and had a follow-up time of less than 6 months.	2b

Tabelle 3.1.3.16b: Ergebnisse aktueller Studien zur intraoperativen Schnellschnittanfertigung im Rahmen der Pankreaskarzinomchirurgie

Artikel (Autor, Jahr)	n ⁷²	Prognost. Merkmal	Anzahl der Patienten mit prog. Merkmal	Ergebnisse aus univariater Analyse (OS)		Ergebnisse aus multivariater Analyse (OS)		Nebenwirkungen durch Sektion des Tumors therapieassoziierte Todesfälle und Komplikationen (alle in % der behandelten Patienten)
				p-Wert	Median / HR (95%CI)	p-Wert	Median / HR (95%CI)	
Esposito 2008	299	R0 (2002-2004) R1 (2002-2004) R0 (2005-2006) R1 (2005-2006)	162 26 24 96		1-year survival 71% 62% 86% 64%	N.A.	N.A.	Recurrences in 2005-2006 group (8 patients) – all occurred in patients with R1 resections.
	188	R0/R1 (2002-2004)	162/26	0,13	21,5 / 14,8 Monate	N.A.	N.A.	
Campbell 2009	163	RM status: R0 R1 ,equivocal' R1 ,unequivocal'	35 57 71		25,4 (10,5-40,8) 15,4 (11,3-18,2) 12,6 (9,2-14,3) Monate	N.A.	N.A.	30-day mortalities: 4 (2%)
	163	Resection margin positive	128	0,015	1,747 (1,117-2,734)	0,132	1,443 (0,896-2,324)	
Chang 2009	365	Margins, 0 mm (clear vs. involved)	233/132	0,0003	19,6/13,2 Monate 3-year survival 28% / 16,1% 5-year survival 15,5% / 3,9%	N.A.	N.A.	30-day mortality: 4,1%
	365	Margins ≤0,5 mm (clear >0,5 mm vs. clear by 0-0,5 mm vs. involved)	200/33/132	0,0004 0,7969 0,1250	19,6/20,7/13,2 Monate 3-year survival 28/26,9/16,1% 5-year survival 16,6/0/3,9%	N.A.	N.A.	

⁷² Gesamtanzahl der Patienten

Artikel (Autor, Jahr)	n ⁷²	Prognost. Merkmal	Anzahl der Patienten mit prog. Merkmal	Ergebnisse aus univariater Analyse (OS)		Ergebnisse aus multivariater Analyse (OS)		Nebenwirkungen durch Sektion des Tumors therapieassoziierte Todesfälle und Komplikationen (alle in % der behandelten Patienten)
				p-Wert	Median / HR (95%CI)	p-Wert	Median / HR (95%CI)	
	365	Margins ≤1 mm (clear >1 mm vs. clear by 0-1 mm vs. involved)	177/56/132	0,0005 0,7867 0,0429	18,5/19,8/13,2 Monate 3-year survival 27,5/29,2/16,1% 5-year survival 17,6/15,3/3,9%	N.A.	N.A.	
	365	Margins ≤1,5 mm (clear >1,5 mm vs. clear by 0-1,5 mm vs. involved)	169/64/132	0,0005 0,6445 0,0413	18,4/22,4/13,2 Monate 3-year survival 28,9/25/16,1% 5-year survival 18,5/4,6/3,9%	N.A.	N.A.	
	365	Margins ≤2 mm (clear >2 mm vs. clear by 0-2 mm vs. involved)	155/78/132	0,0019 0,6078 0,0039	17,9/22,4/13,2 Monate 3-year survival 27,5/28,6/16,1% 5-year survival 16,7/11,2/3,9%	N.A.	N.A.	
Chang 2009	365	R1 = 0 mm Tumor location (body vs. tail) Tumor size (>vs. ≤20 mm) Margin involvement (pos vs. neg.) LN metastases (pos vs. neg.) Vascular invasion (pos vs. neg.)				0,0018 0,0013 0,0019 0,0003 0,0177	1,62 (1,19-2,18) 1,63 (1,21-2,19) 1,48 (1,15-1,89) 1,58 (1,23-2,03) 1,34 (1,05-1,70)	

Artikel (Autor, Jahr)	n ⁷²	Prognost. Merkmal	Anzahl der Patienten mit prog. Merkmal	Ergebnisse aus univariater Analyse (OS)		Ergebnisse aus multivariater Analyse (OS)		Nebenwirkungen durch Sektion des Tumors therapieassoziierte Todesfälle und Komplikationen (alle in % der behandelten Patienten)
				p-Wert	Median / HR (95%CI)	p-Wert	Median / HR (95%CI)	
	365	R1 = 1,5 mm Tumor location (body vs. tail) Tumor size (>vs. ≤20 mm) Margin involvement (pos vs. neg.) LN metastases (pos vs. neg.) Vascular invasion (pos vs. neg.)			0,0006 0,0020 0,0130 0,0002 0,0296	1,69 (1,25-2,29) 1,60 (1,19-2,16) 1,36 (1,07-1,74) 1,62 (1,26-2,07) 1,31 (1,03-1,66)		
Menon 2009	27	Resections status (R1 vs. R0)	22/5	0,046		N.A.	N.A.	
Gaedcke 2010	130	All cancers (UICC vs. RCP)	65/65		Angabe von Resektionsraten: R0 49,2%/29,2% R1/R2 50,8%/70,8%			Mortality (30 days) 2006-2008: 0
	92	Pancreatic ductal adenocarcinoma (UICC vs. RCP)	46/46		R0 37%/17,4% R1/R2 63%/82,6%			
	24	Distal bile duct adenocarcinoma (UICC vs. RCP)	12/12		R0 83,3%/58,3% R1/R2 16,7%/41,7%			
	14	Periampullary adenocarcinoma (UICC vs. RCP)	7/7		R0 71,4%/57,1% R1/R2 28,6%/42,9%			
	130	Site of R1 Mesopancreas Pancreatic transection	UICC vs. RCP 22/27 4/11		UICC vs. RCP 56,4%/32,5% 10,3%/13,3%			

Artikel (Autor, Jahr)	n ⁷²	Prognost. Merkmal	Anzahl der Patienten mit prog. Merkmal	Ergebnisse aus univariater Analyse (OS)		Ergebnisse aus multivariater Analyse (OS)		Nebenwirkungen durch Sektion des Tumors therapieassoziierte Todesfälle und Komplikationen (alle in % der behandelten Patienten)
				p-Wert	Median / HR (95%CI)	p-Wert	Median / HR (95%CI)	
		margin Anterior Posterior Groove of SMV SMV (n=17) Duodenum oral	2/18 1/13 ¼ 7/8 2/2		5,1%/21,7% 2,6%/15,7% 2,6%/4,8% 17,9%/9,6% 5,1%/2,4%			
	130	No. of infiltrated sites	UICC vs. RCP 26/22 1 2 3 4 5		UICC vs. RCP 78,8%/47,8% 21,2%/30,4% 0/17,4% 0/2,2% 0/2,2%			
Jameson 2010	148	Resection margin status (R0 vs. R1)	39/109	0,01	26,5 (21,1-31,9)/ 15,4 (13-17,8) Monate HR 1,76 (1,15-2,68)		HR 1,73 (1,13-2,63)	In-hospital mortality: 8,1%
	109	R1-Mobilisation (ant. + post. pancreatic surface and duodenal serosal margin) vs. R1-Transection (medial circumferential pancreatic margin requiring tissue transection)	48/61	<0,0001	18,9 Monate (13,1-24,8) / 11,1 Monate (7,1-15,1)		HR 2,76 (2,12-3,91)	
	109	Multiple margins (1 vs. 2 vs. ≥3)	63/39/7	0,032	16,8 (14,6-18,9)/ 12,3 (10-14,6)/ 8,4 (7,9-9) Monate	N.A.	N.A.	
		Mobilization margin (posterior v. anterior surface vs. duodenal serosa)	21/14/1	0,25	28,3 (12,3-44,8)/ 19,8 (13,8-26,2)/ 23,2 (---) Monate	N.A.	N.A.	

Artikel (Autor, Jahr)	n ⁷²	Prognost. Merkmal	Anzahl der Patienten mit prog. Merkmal	Ergebnisse aus univariater Analyse (OS)		Ergebnisse aus multivariater Analyse (OS)		Nebenwirkungen durch Sektion des Tumors therapieassoziierte Todesfälle und Komplikationen (alle in % der behandelten Patienten)
				p-Wert	Median / HR (95%CI)	p-Wert	Median / HR (95%CI)	
		Transection margin (medial vs. pancreatic transaction)	21/7	0,8	11,5 (5,3-25,5)/6,7 (4,6-8,7) Monate	N.A.	N.A.	
	109	Tumor margin clearance (at margin vs. present within 1 mm)	84/25	0,81	13,9 (10,8-17,1)/15,4 (9,9-20,8) Monate	N.A.	N.A.	
Liszka 2010	67	R1 rate (2006-2007 vs. 01-09/2008 vs. 10/2008-06/2009)	8/8/7	0,120	Resektionsraten: 23,5% / 40% / 53,8%			
	33	R1 rate defined as tumour at a distance of 1 mm from the inked surgical margin (01-09/2008 vs. 10/2008-06/2009)	12/8	1,000	Resektionsraten: 60% / 61,5%			
Hartwig 2011	968	R status (R0 old vs. R0 revised vs. R1 old vs. R1 revised vs. R2)	258/233/50/372/49	<0,0001	21,9 / 30,9 / 19,6 / 19,7 / 10,8 Monate HR 0,69 (0,54-0,87) / 1,07 (0,77-1,48) / 1,15 (0,82-1,61) / 1,91 (1,38-2,65)			Mortalität (30 Tage): 2,2%
	809	R status (R0 revised vs. R0 old/R1/R2)				0,0005	HR 0,64 (0,50-0,83)	

Referenzen

- Campbell, F., R. A. Smith, et al. (2009). "Classification of R1 resections for pancreatic cancer: the prognostic relevance of tumour involvement within 1 mm of a resection margin." *Histopathology* 55(3): 277-283.
- Chang, D. K., A. L. Johns, et al. (2009). "Margin Clearance and Outcome in Resected Pancreatic Cancer." *Journal of Clinical Oncology* 27(17): 2855-2862.
- Esposito, I., J. Kleeff, et al. (2008). "Most pancreatic cancer resections are R1 resections." *Ann Surg Oncol* 15(6): 1651-1660.
- Gaedcke J, Gunawan B, Grade M, et al. The mesopancreas is the primary site for R1 resection in pancreatic head cancer: relevance for clinical trials. *Langenbecks Arch Surg* 2010; 395: 451-458.
- Hartwig W, Hackert T, Hinz U, et al. Pancreatic cancer surgery in the new millennium. Better prediction of outcome. *Annals of Surgery* 2011; 254 (2): 311-319.
- Jamieson, N. B., A. K. Foulis, et al. (2010). "Positive mobilization margins alone do not influence survival following pancreatico-duodenectomy for pancreatic ductal adenocarcinoma." *Ann Surg* 251(6): 1003-1010.
- Liszka, L., J. Pajak, et al. (2010). "Different approaches to assessment of lymph nodes and surgical margin status in patients with ductal adenocarcinoma of the pancreas treated with pancreaticoduodenectomy." *Pathology* 42(2): 138-146.
- Menon, K. V., D. Gomez, et al. (2009). "Impact of margin status on survival following pancreaticoduodenectomy for cancer: the Leeds Pathology Protocol (LEPP)." *HPB (Oxford)* 11(1): 18-24.

Nachfolgende Evidenztabelle bezieht sich auf folgende Fragen:

3.1.17 Notwendige Angaben durch den Pathologen

Insgesamt wurden 34 Studien zum Thema auf der Grundlage des Titel- und Abstractscreenings gefunden. Eingeschlossen wurden 34 prognostische Studien. 19 Studien wurden mit dem Evidenzniveau 2b beurteilt, acht Studien wurden wegen nichtkonsekutiver Rekrutierung oder Ausschluss von mehr als 10% der Patienten, fehlenden Informationen zur Länge der Nachbeobachtungszeit, der Rekrutierung weniger Patienten über sehr lange Zeitperioden (mit sich ändernden Diagnose- und Therapietechniken oder dem selektiven Berichten signifikanter Prognosefaktoren abgewertet (2b-). Weitere sieben Studien wurden aufgrund fehlender Adjustierung für prognostische relevante Störgrößen mit dem Evidenzniveau 4 bewertet. Ausgeschlossen wurde eine Studie ohne Nachbeobachtungsperiode und eine Studie, in welcher Berichtsmethoden verglichen wurden.

Tabelle 3.1.17a: Studienbeschreibung: Aktuelle Studien zu notwendigen Informationen aus der Pathologie

Artikel	Studientyp	Patienten	Prognost. Merkmal und Cut-off	Intervention bei vs. ohne Metastasen	Endpunkte mit Nach-verfolgungszeitraum	Evidenzstufe / Verzerrungsrisiko /
Garcea 2007	retrospektive Analyse 1999-2007 (the present day) USA	Indikation: ductal adenocarcinoma N= 33 Befallsmuster: Median ASA grade: 2 (6%); Median tumour size on Histology (mm): 25 (75,8%); Lymph node status N0/N1:18/15 (54,5%/45,5%); Micro-vascular invasion V0/ V1/Missing data: 13/15/5 (39,4%/45,5%/15,1%); Perineural invasion Neu0/Neu1/Missing data: 9/19/5 (27,3%/57,6%/15,1%); Resection margin R0/R1: 23/10 (69,7%/30,3%) Behandlung: standard pylorus-preserving pancreaticoduodenectomy (with an isolated Roux-en-Y pancreaticojejunostomy): 30 Patienten (90,9%)/total pancreatectomy: 3 Patienten (9,1%)	Positive Lympfknoten (N0 vs. N1) Tumordurchmesser (\leq 20 vs. >20mm) Microvessel-Invasion (V0 vs. V1) Perineural Invasion (neu 0 vs. neu 1) Resektionsrand (R0 vs. R1) Lympfknoten-status als % of lymph node yield	OP aller Patienten: pancreatic resection for malignancy	Median Survival Mortalität (30-Tage) follow-up ranged from 12 to 62 months.	4 Abwertung wegen indirekter Evidenz: Auswertung erfolgt für Patienten mit pancreatic ductal adenocarcinoma (n=33), ampullary carcinoma (n=20) und other malignancy (n=9) gemeinsam Und fehlenden multivariaten Analysen retrospektive Datenanalyse bzw. retrospektiv gewählte Einschlusskriterien; standardisierte Behandlung von ca. 91% der Patienten mit ductal adenocarcinoma; keine ITT-Basis in Überlebenskurven; Störgrößen nicht näher beschrieben
House 2007	retrospektive Studie J Gastro-intest Surg mono-zentrisch 1995-2005 USA	Indikation: resection for pancreatic adenocarcinoma N=696 Befallsmuster: Mean tumor size: 3, 2 cm (0-15); Tumor location: head 596 (86%), body 48 (7%), tail 52 (7%); Tumor stage (T1/T2/T3): 16/164/516 (2%/24%/74%); Tumor grade (well/moderate vs. poor/undifferentiated): 457/239	Lymphnode status (positive vs. negative) Histological grade (well/moderate vs. poor/undifferentiated) Resection margin (positive vs. negative)	Operation aller Patienten	Survival Mortality Follow-up: median 13 Monate (0-122) Clinical follow-up data were available for 92% of the patients (n=640). The median follow-up for 3- and 5-year survivors was 52 and 75	2b

Artikel	Studientyp	Patienten	Prognost. Merkmal und Cut-off	Intervention bei vs. ohne Metastasen	Endpunkte mit Nach- verfolgungszeitraum	Evidenzstufe / Verzerrungsrisiko /
		(66%/34%); Stage: IA 11 (2%), IB 55 (8%), IIA 177 (25%), IIB 444 (64%), IV 9 (1%); Lymph node status N0/N1:243/453 (35%/65%); total LN count: mean 4 (1-21) – N0 patients: 13 (0-41, N1 patients: 19 (3-61); positive LN count – N1 patients: 4 (1-21); Margin status (negative/positive): 502/194 (72%/28%) Behandlung: pancreaticoduodenectomy: 598 Patienten (86%)/distal pancreatectomy: 96 Patienten (14%)/total pancreatectomy: 2 Patienten (0,3%)			months, respectively. Follow-up time was calculated from the date of pancreatic resection to the date of last clinical interaction.	
Kurahara 2007 World J Surg	retrospektive Studie mono-zentrisch Japan	Indikation: macroscopically curative resection with extended lymph node dissection for pancreatic cancer – invasive ductal adenocarcinoma N=58 medianes Alter: 65,6 Jahre (42-78); 74% männlich Befallsmuster: pStage (pT1/pT2/pT3/pT4): 2/4/28/24; Tumor differentiation (well/moderate/poor): 24/32/2 Node-negative according to HE staining: 23 Patienten – 13 (56,5%) had micrometastases Out of 944 histologically negative LN: 147 (15,6%) micrometastases – 33 single micrometastases, 114 cluster micrometastases Behandlung: pancreaticoduodenectomy: 40 Patienten (69%)/pylorus-preserving pancreaticoduodenectomy: 14 Patienten (24%)/total pancreatectomy: 4 Patienten (7%) Total no. of LN resected: 1058; median no./patient: 18,2; LN free from metastatic	LN micrometastases: single type – a single cancer cell metastasis cluster type – a cluster of cancer cells	Operation aller Patienten	Survival Follow-up: median 24 Monate (6-152) All patients were followed-up after discharge as follows: plain-film radiography every 1-3 months, and CT and US every 3-6 months.	4 Wegen fehlender multivariater Analysen mit Korrektur von Störgrößen

Artikel	Studientyp	Patienten	Prognost. Merkmal und Cut-off	Intervention bei vs. ohne Metastasen	Endpunkte mit Nach-verfolgungszeitraum	Evidenzstufe / Verzerrungsrisiko /
		tumor cells by HE staining (944/1058) – subjected to immunohistochemistry to detect occult micrometastasis Neoadjuvant chemotherapy/radiotherapy: 0				
Mitsunaga 2007 Am J Surg Pathol	retrospektive Studie mono-zentrisch 09/1992-01/2004 Japan	Indikation: macroscopic curative pancreaticoduodenectomy with pathological diagnose of invasive ductal adenocarcinoma of the pancreas N= 75 medianes Alter: 65 Jahre; 57% männlich Befallsmuster: Tumor size (\leq 3 cm/ $>$ 3 cm): 38/37; Tumor differentiation (well/moderate/ poor): 58%/28%/14%; pT stage (pT1, pT2/pT3): 4/71; pN stage (N0/N1): 12/63; UICC (IA, IB, IIA/IIB, III, IV): 15/60; plexus invasion (plx-inv): 49 patients (65%) – 422 lesions, median number of lesions: 6; median cancer thickness in plx-inv: 100 µm; median distance from plx-inv to main tumor or pancreatic capsule: 2500 µm Behandlung: pancreaticoduodenectomy with regional lymph node dissection; portal vein resections: 34/75 (45%) The specimens obtained through pancreaticoduodenectomy were sectioned along the long axis of the plexus pancreaticus capitalis to precisely measure the distance of plexus invasion (plx-inv). Neoadjuvant therapy: 0 Adjuvant therapy: 0	plx-inv (A) nerve invasion at the plexus pancreaticus capitalis, (B) nerve invasion with isolation from main tumor and pancreatic tissue categories: (1) nerve bundle invasion, and cancer cells clearly invading or irregularly compressed nerve bundles; (2) perineural space invasion, cancer cells existed in perineural space, and not showing any evidence of nerve bundle invasion; (3) neurium invasion, cancer cells existed outer from perineural space, and attached to perineurium plx-inv vs. no plx-inv	Operation aller Patienten	Survival Follow-up: vom Tag der OP bis 29. November 2004, median follow-up: 1755 Tage (1566-2213) 62 patients died or their disease within the follow-up period.	2b
Pawlik 2007	retrospektive Studie	Indikation: patients who underwent pancreaticoduodenectomy with curative	LNR (0 vs. >0 -0,2 vs. >0 ,2-0,4 vs. >0 ,4)	Operation aller Patienten	Survival Mortalität	2b The lack of statistical

Artikel	Studientyp	Patienten	Prognost. Merkmal und Cut-off	Intervention bei vs. ohne Metastasen	Endpunkte mit Nach-verfolgungszeitraum	Evidenzstufe / Verzerrungsrisiko /
Surgery	mono-zentrisch 1995-2005 USA	intent for pancreatic adenocarcinoma N=905 Alter: median 66 Jahre (55–77); 53,7% Männer Befallsmuster: Tumor differentiation (well / moderate / poor / unavailable): 26 / 449 / 393 / 37; Tumor size: median 3,1 cm (1,5-4,7); Perineural invasion (present/absent/unavailable): 682 / 67 / 156; microvascular invasion (present/absent/unavailable): 357 / 341 / 207; resection margin (R0): 533 (58,9%); lymph node status (negative/positive): 187 / 718 Behandlung: classic pancreaticoduodenectomy 260 (28,7%), pylorus-preserving 645 (71,3%) Median number of LN evaluated: overall 17 (6-28), node negative patients 15, node positive patients 18	Tumor differentiation (well vs. moderate vs. poor) Tumor size (<2,0 cm vs. ≥2 cm) Perineural invasion Microvascular invasion Lymph node status (N0 vs. N1) Resection margin (R0 vs. R1)		Follow-up: median 24 Monate	significance in the current study may be related to inadequate statistical power (type II error) given the relatively small number of N0 patients (n=178) and the anticipated small difference in survival between the N0 subgroups. A potential weakness of the current study was that a single pathologist did not grossly dissect all of the pancreaticoduodenectomies for lymph nodes. Lymph node status and LNR were therefore potentially dependent on the extent of the surgeons' lymphadenectomy and the thoroughness of the pathologists' examination.
Raut 2007 Ann Surg	retrospektive Studie mono-zentrisch 07/1990-07/2004 USA	Indikation: patients who underwent pancreaticoduodenectomy (PD) for adenocarcinoma of pancreatic origin Ausschluss: invasive intraductal papillary mucinous neoplasms and mucinous cystadenocarcinomas; patients who underwent pancreatic resections other than PD (eg, distal pancreatectomy or total pancreatectomy) N=360 Alter (R0/R1): median 63,1 Jahre (30–82,7)/ 65 Jahre (40-83); 58,3% Männer Befallsmuster: Tumor size(R0/R1):	"R0" - if no tumor cells were identified at all of the resection margins. "R1" – if tumor cells were present at the inked SMA (superior mesentery artery) margin or any of the <i>en face</i> sections from the aforementioned margins. Pancreatic transaction margins with focal high-grade dysplasia (PanIN 3) without invasive carcinoma were	Operation aller Patienten	Survival Recurrence Follow-up: min. 12 Monate, median 51,9 Monate for censored patients (mean 59,5 Monate – 7,5-173,8); median 24 Monate for all patients (mean 34,7 Monate – 0,4-173,8) Eight patients, including 2 international	2b Tumor size data were not available in 32 patients either because size could not be accurately assessed due to the treatment effect induced by preoperative chemotherapy and/or chemoradiation or because the data was not recorded.

Artikel	Studientyp	Patienten	Prognost. Merkmal und Cut-off	Intervention bei vs. ohne Metastasen	Endpunkte mit Nach- verfolgungszeitraum	Evidenzstufe / Verzerrungsrisiko /
		<p>median 2,9 cm (0-8)/ 3,4 cm (1,5-6) R0: 300 (83,3%), R1: 60 (16,7%) – SMA margin positive 53/60 (88,3%), 7/60 (11,7%) with isolated positive pancreatic transection margins, R2: 0</p> <p>Lymph node metastases (N1):186 (51,7%)</p> <p>Behandlung: pancreaticoduodenectomy: 100%; vascular resection and reconstruction: 130 (36%)</p> <p>Preop. chemotherapy or radiation: 254 (70,6%)</p> <p>Postop. chemotherapy or radiation: 88 (24,4%)</p> <p>Preop. or postop. chemotherapy or radiation: 318 (88,3%)</p>	<p>considered negative for the purpose of this analysis. N0 vs. N1</p>		<p>patients, were lost to follow-up within the 12 months following surgery but were alive at last contact.</p> <p>Routine follow-up consisted of physical examination, laboratory studies, and CT imaging at 3- to 4-month intervals for the first 2 years postoperatively, at 6 month intervals for years 3 through 5, and then at yearly intervals.</p>	
Zacharias 2007	<p>retrospektive Studie</p> <p>J Gastro-intest Surg</p> <p>mono-zentrisch</p> <p>01/1995-12/2002</p> <p>Frankreich</p>	<p>Indikation: patients with ductal adenocarcinoma in the head of the pancreas N= 81 Alter mean: 64 Jahre (35–84); 48,1% Männer</p> <p>Befallsmuster: Tumor differentiation (well / moderately / poorly): 17 (21%) / 48 (59%) / 16 (20%); TNM-stage (pT1/pT2/pT3): 2 (2,5%) / 6 (7,5%) / 73 (90%); Tumor size (\leq30 mm/$>$30 mm): 42 (52%) / 39 (48%) - median 32 mm (13-90); L0/L1: 32% / 68%; portal vein invasion:18 (22%); pylorus preservation: 6 (7,5%);</p> <p>Behandlung: patients underwent a potentially curative (R0) pancreaticoduodenectomy with pancreateogastrostomy Adjuvant therapy: 67 (83%) – radiochemotherapy: 65 (97%) and</p>	<p>Positive Lympfknoten (0 oder 1 vs. \geq2)</p> <p>Anzahl resizierter LN (<20 vs. \geq20)</p> <p>Tumordurchmesser (\leq30 vs. $>$30 mm)</p> <p>Pfortader-Invasion (ja/nein)</p>	<p>Operation aller Patienten (potentiell kurativ – R0) – pancreaticoduodenectomy with lymphadenectomy of the anterior and posterior pancreaticoduodenal nodes, the hepatoduodenal ligament, the celiac axis, and the retropancreatic margin along the right lateral aspect of the superior mesenteric vessels</p>	<p>Survival Morbidität Mortalität</p> <p>Follow-up of living patients was at least 3 years – last follow-up 12/2005.(65 patients had died and 16 were still alive)</p> <p>Patients were followed by referring physicians, including oncologists, gastroenterologists, surgeons, and general practitioners: abdominal US or CT and CA19.9 measurements every 6 months.</p> <p>No patient was lost to</p>	<p>2b-</p> <p>Keine konsekutive Rekrutierung von Patienten</p> <p>During this period, 18 other patients had incomplete (R1 or R2) resection for ductal adenocarcinoma of the head of the pancreas and were excluded from the present study.</p> <p>Follow-up: contact was maintained by mail and telephone calls to referring physicians, general practitioners, and directly to the patients or their families.</p>

Artikel	Studientyp	Patienten	Prognost. Merkmal und Cut-off	Intervention bei vs. ohne Metastasen	Endpunkte mit Nach- verfolgungszeitraum	Evidenzstufe / Verzerrungsrisiko /
		chemotherapy: 2 (3%)			follow-up.	
Hellan 2008 Pancreas	retrospektive Studie multizentrisch 01/1988- 12/2003 USA	Indikation: patients undergoing resection for N0 pancreatic adenocarcinoma and infiltrating duct carcinoma (in head, body, tail, pancreatic duct, and other specified parts of pancreas) Ausschluss: patients with no regional node removed, regional LN removed but number unknown; patients with T4 disease (n=104), ie, tumors invading the celiac trunk or superior mesenteric artery N=1915 Alter: median 67 Jahre (25–96); 49,9% Männer Befallsmuster: Tumor differentiation (well / moderate / poor / undifferentiated / unknown): (11,2%) / (51,4%) / (30%) / (1%) / (6,4%); Stage (I / IIA): 675 (35%) / 1240 (65%); Tumor size: mean 31,9 mm (\pm 16,8); Tumor site: head 79,4%, body/neck/tail 11,1%, overlapping 9,5%; median number of LN 7 (1-57) Behandlung: pancreatecoduodenectomy 1494 (78%); distal pancreatectomy 235 (12,3%); total pancreatectomy 106 (5,5%); partial resection 80 (4,2%) Radiation: yes 39,3%, no 58,9%, unknown 1,8%	Lymph node number (1-10 vs. 11-20 vs. > 20) Lymph node number (0-16 vs. >16) Tumor stage (I vs. IIA) Tumor size (\leq 20 mm vs. >20 mm vs. unknown) Grade (well vs. moderate vs. poor/undifferentiated vs. unknown)	Operation aller Patienten	Survival Follow-up: median 14 Monate Nondeaths were censored at the follow-up cutoff date for the SEER data set (December 31, 2003) or the date the patient was last known to be alive.	2b Seer does not track information on chemotherapy treatment. Because pancreatic cancer is often fatal at diagnosis, a large number of cases have a SEER-assigned survival time of 0 month (n=80; 4%), indicating that the case survived for <1 month. To minimize any bias that could result from excluding these cases from the analysis, cases with a survival time of zero were each assigned a survival time of 0,5 month. No additional improvement in survival was noted if more than 20 LNs were removed. These results, however, should be noted with some caution because very few patients (<5%) were part of the >20 LN cohort. As such, the results of our comparison of 1-10 and 11-20 versus >20 LN may be representative of a type II statistical error.

Artikel	Studientyp	Patienten	Prognost. Merkmal und Cut-off	Intervention bei vs. ohne Metastasen	Endpunkte mit Nach-verfolgungszeitraum	Evidenzstufe / Verzerrungsrisiko /
						Data regarding chemotherapeutic treatment regiments and surgical margin status, which are established prognostic factors that influence outcomes, are not currently available from SEER.
Slidell 2007 Annals of Surgical Oncology	retrospective Studie multizentrisch 1988-2003 USA	Indikation: patients undergoing resection for histologically confirmed pancreatic adenocarcinoma Ausschluss: patients with histology codes of "neoplasm" (8000-8003), "carcinoma, NOS" (8010-8013), and "carcinoma undifferentiated, NOS" (8120-8122) – ICD-O-3 tumor classification codes; patients in whom pancreatic adenocarcinoma was either not the primary malignancy or who lacked a histologically confirmed diagnosis N=4005 Alter: median 65 Jahre (22–96); 50,6% Männer Befallsmuster: extent of disease: confined to pancreas (T1/T2) 14,6%, local extension 74,9%, distant metastases 8,9%, missing 1,6%; Tumor grade: grade I (well differentiated) 10,7%, grade II (moderately differentiated) 47,5%, grade III and IV (poorly differentiated or undifferentiated) 32,9%, missing 8,9%; Tumor size: ≤2 cm 16,7%, >2 cm 68,6%, missing 14,7% N0 1507 (43,3%), N1 1971 (56,7%) -390 patients had no lymph nodes examined Behandlung: whipple 2949 (73,6%); partial/other pancreatectomy 736	LNR (0 vs. >0-0,2 vs. >0,2-0,4 vs. >0,4) Extent of disease Tumor grade (grade I vs. II vs. III and IV) Tumor size (≤2,0 cm vs. >2 cm) Number of positive LN (complete data vs. missing data) Lymph node status (N0 vs. N1)	Operation aller Patienten	Survival Follow-up: SEER-13 database	2b Adjuvant chemotherapy and margin status are two factors that are not documented in the SEER data set and are therefore not part of this analysis. AJCC tumor-node-metastasis (TNM) staging is not available in SEER for pancreatic neoplasms, so extent of disease was classified using the "SEER summary Stage 1977 (1988 +)" variable. The current study could also not explain the root cause for the variability in lymph node counts following pancreatectomy. Undoubtedly, lymph node status and LNR potentially depend not only on the extent of the surgeon's lymphadenectomy, but also the thoroughness of the

Artikel	Studientyp	Patienten	Prognost. Merkmal und Cut-off	Intervention bei vs. ohne Metastasen	Endpunkte mit Nach-verfolgungszeitraum	Evidenzstufe / Verzerrungsrisiko /
		(18,8%); total pancreatectomy 221 (5,5%); pancreatectomy, NOS 81 (2%) n=3868 patients with complete lymph node staging data – median number of LN evaluated 7 (0-90) Adjuvant radiation: yes 1773 (55,6%), no 2229 (44,3%)				pathologist's examination. Most patients had fewer than 12 lymph nodes evaluated following surgery, and in presumed N0 patients this may lead to understaging.
Takao 2008 Hepato-Gastroenterology	Retrospective Studie Multizentrisch 1980-2001 Japan	Indikation: patients undergoing surgery for pancreatic head cancer - pathologically confirmed-invasive ductal adenocarcinoma Ausschluss: ampullary carcinoma, distal bile duct carcinoma, cystadenocarcinoma, acinar cell carcinoma, and islet cell carcinoma N=101 Alter: average 64,8 Jahre (42–80); 65,3% Männer Befallsmuster: Resection margin (R0/R1/R2): 60/30/11; Tumor stage: IA 5 (5%), IB 4 (4%), IIA 28 (27,7%), IIB 44 (43,5%), III 6 (6%), IV 14 (13,8%) Behandlung: pancreaticoduodenectomy (62), pylorus-preserving pancreaticoduodenectomy (21), total pancreatectomy (18) ER (extended resection group) – “en bloc” lymphadenectomy and dissection of the neural plexus of the pancreas head and the right side of the neural plexus along the SMA, including retroperitoneal tissues (40/101); CR (conventional resection group) – incomplete dissection or non-dissection of the lymph nodes and neural plexus (61/101) 167 lymph nodes were examined	R0 – no residual tumor R1 – microscopic residual tumor within 5 mm of the surgical resection margins R2 – macroscopic residual tumor Tumor stage (IA vs. IB vs. IIA vs. IIB vs. III vs. IV) Type of resection (ER vs. CR)	Operation aller Patienten	Survival Morbidity Mortality Recurrence Follow-up: ultasonography, CT, and biochemical examinations	4 Wegen fehlender multivariater Analysen mit Korrektur von Störgrößen

Artikel	Studientyp	Patienten	Prognost. Merkmal und Cut-off	Intervention bei vs. ohne Metastasen	Endpunkte mit Nach-verfolgungszeitraum	Evidenzstufe / Verzerrungsrisiko /
		immunohistochemically.				
Boggi 2009	retrospektive Studie 11/1987 - 12/2004 Italien;	Indikation: Pankreatektomie; individuals without evidence of distant metastasis at the time of surgery and with histologically or cytologically proven diagnosis of ductal adenocarcinoma of the pancreas N= 110 (Study Group, SG); medianes Alter: 64.9 (37-84) 48,2% Männer Befallsmuster: ASA-class of risk (I, II, III, IV, V): 1,8, 101,0,0 Patienten Tumordurchmesser: Median 4 cm (range 1.2-10.6); 39% erhielten Chemotherapie vor und nach OP; PPV-Infiltration bei 65% (64 Patienten), davon 26% infiltrierte Tunica Intima Behandlung: StudyGroup (SG): Pankreatektomie mit Resektion und Rekonstruktion peripankreatischer Gefäße (PPV); Untergruppe IVR (isolated venous resection) mit n=84 (von 110 SG)	Tumor invasion (no vs. yes); Tumor invasion (limited to the tunica adventia or media vs. invasion reaching tunica intima); Superficial vs. deep tumor invasion		Endpunkte: Morbidität, Mortalität, Median survival	2b- Selektives ausschließliches Berichten der signifikanten Prognoseparameter
Campbell 2009 Histopathology	retrospektive Studie mono-zentrisch 01/1997- 12/2007 UK	Indikation: pancreaticoduodenectomy; Patients with histologically confirmed pancreatic ductal adenocarcinoma N= 163 medianes Alter: 66,4 Jahre (IQR 60,8-73,0) 55,8% Männer Befallsmuster: T stage (T1 / T2 / T3 / T4): 7, 4% / 17, 10% / 135, 83% / 4, 3% Patienten Tumordurchmesser: Median 30 mm	R1 (equivocal vs. unequivocal) 'equivocal': tumor involvement within 1 mm of one or more margins, without direct involvement of the margin itself 'unequivocal': cancer reaching the resection margin on microscopy R0 vs. R1 LNR (lymph node ratio)	Operation aller Patienten	Survival Follow-up: survival data were obtained from hospital computer records.	2b- Keine eindeutige Angabe der p-value bei der median survival Analyse. Keine Beschreibung zum Follow-up. Bei der univariaten und multivariaten survival Analyse fehlt die Spezifikation der prognostischen Merkmale Tumogröße und LNR.

Artikel	Studientyp	Patienten	Prognost. Merkmal und Cut-off	Intervention bei vs. ohne Metastasen	Endpunkte mit Nach-verfolgungszeitraum	Evidenzstufe / Verzerrungsrisiko /
		(IQR 23-38); Tumor differentiation (well/moderate/poor): 25, 15% / 84, 52% / 53, 33%; LN status (positive/negative): 25, 15% / 138, 85%; median LN yield: 18 (IQR 12-25); median LNR: 0,23 (IQR 0,14-0,37) for node positive cases; resection margin (RM) status (negative/positive): 35, 21% / 128, 79% - 'equivocal' margin involvement 57, 45% R1: Isolated tumor involvement of the anterior surface of the pancreatic specimen or the presence of pancreatic intraepithelial neoplasia-3 at an otherwise negative transaction margin were not considered an R1 resection. Ausschluss: R2 resections Behandlung: pancreateoduodenectomy: classical 16, 10%; pylorus-preserving 147, 90% Adjuvant chemotherapy: 44, 27%	Tumogröße Tumordifferenzierung (poor vs. well/moderate)			Histological data were incomplete for a small number of cases – final multivariate model includes 155 cases.
Chang 2009 J Clin Oncol	retrospektive Studie multizentrisch 1990-2007 Australien	Indikation: patients with a diagnosis of pancreatic ductal adenocarcinoma who underwent pancreatic resection with curative intent (no macroscopic residual disease) Ausschluss: adenocarcinomas arising in the presence of intraductal papillary mucinous neoplasms or mucinous cystic neoplasms N=365 medianes Alter: 67,4 Jahre (28,1-86,7) 52,1% Männer Befallsmuster: Tumor location (head vs. body/tail): 295, 80,8% / 70, 19,2%; Tumor stage (IA/IB/IIA/IIB): 11/24/113/217 Patienten; Tumor differentiation (well/moderate/poor): 32.	R1 definitions (0 vs. ≤0,5 mm vs. ≤1 mm vs. ≤1,5 mm vs. ≤2 mm) Stage (IA/IB vs. IIA/IIB) Differentiation (well/moderate vs. poor) Tumor location (head vs. body/tail) Tumor size (≤20 mm vs. >20mm) Margins, 0 mm (clear vs. involved) Lymph nodes (negative vs. positive) Perineural invasion (negative vs. positive)	Operation aller Patienten	Survival Mortality Follow-up: median 15,6 Monate (0-168,6) Lost to follow-up: 0,5%	2b All cases underwent central pathology review by at least one specialist pancreatic histopathologist (J.G.K. and/or A.I.G.) who were blinded to the diagnosis to confirm pancreatic ductal adenocarcinoma and to define histopathologic features in a standardized manner using a synoptic report developed for the purpose.

Artikel	Studientyp	Patienten	Prognost. Merkmal und Cut-off	Intervention bei vs. ohne Metastasen	Endpunkte mit Nach-verfolgungszeitraum	Evidenzstufe / Verzerrungsrisiko /
		<p>8,8% / 235, 64,4% / 98, 26,8%; LN status (positive/negative): 217, 59,5% / 109, 40,5%; Resection margin (0 mm): clear 233, 63,8% / involved 132, 36,2%; perineural invasion (negative/positive): 109, 29,9% / 256, 70,1%; vascular invasion (negative/positive): 202, 55,3% / 163, 44,7%</p> <p>Behandlung: Whipple pancreaticoduodenectomy: 295, left-sided pancreatectomy: 70</p> <p>Adjuvant chemotherapy: 26,3%</p> <p>Radiotherapy: 5,8%</p>	Vascular invasion (negative vs. positive)			
Massucco 2009	retrospektive Studie mono-zentrisch 01/1995 - 12/2005 Italien	<p>Indikation: resection with extended lymphadenectomy for adenocarcinoma of the pancreatic head. for an histologically confirmed ductal adenocarcinoma of the pancreatic head, and a minimum postoperative survival time of 6 months. Patients who underwent neoadjuvant chemoradiation for a locally advanced cancer were excluded.</p> <p>N= 77</p> <p>Medianes Alter 66 Jahre, 43 % Männer,</p> <p>Befallsmuster: At final pathology, only seven patients (9%) had a tumor confined to the gland (pT1–2). Node status was pN0 in 18 patients (23%), whereas 59 patients (77%) were found to have lymph node metastases</p> <p>Median LN (Lymph node metastases): 28 (10–54); posNn (number of disease-positive nodes): 4 (1–29); Nr (node ratio): 14% (2%–55%)</p> <p>MetastasenNL 1(node-level 1): 26 patients (44% of N1) (i.e., peripancreatic nodes) und up to NL2</p>	Tumordurchmesser (≤ 2 vs. > 2 cm) pT (pT 1-2 vs. pT3) Node status (pN0 vs. pN1) TNM stage (Ib vs. IIa vs. IIb) Node level (0 vs. ≤ 1 vs. > 1) Node level (1 vs. > 1) No. of positive nodes (0 vs. ≤ 2 vs. > 2) No. of positive nodes (≤ 2 vs. > 2) Node ratio (0 vs. $\leq 10\%$ vs. $> 10\%$) Node ratio ($\leq 10\%$ vs. $> 10\%$) Resected vein infiltration (yes vs. no) Microscopic vein invasion (yes vs. no) Perineural invasion (yes vs. no) R status (R0 vs. R1)	Pancreatico-duodenectomy or total pancreatectomy survival follow-up was updated at 08/2008 (Patients were followed up at regular intervals every 4 months for up to 3 years after surgery, and every 6 months thereafter.)	2b prospektiv gesammelte Daten wurden retrospektiv analysiert; klar definierte prognostische Merkmale; standardisierte Behandlung und Untersuchung wurde durchgeführt; die Relevanz der Ergebnisse (and their clinical implications) müssen weiter bestätigt werden (Forschungsbedarf), d.h. mangelnde Repräsentativität der Studie	

Artikel	Studientyp	Patienten	Prognost. Merkmal und Cut-off	Intervention bei vs. ohne Metastasen	Endpunkte mit Nach-verfolgungszeitraum	Evidenzstufe / Verzerrungsrisiko /
		(nodes along main arteries and hepatic hilum) and NL3 (preaortic nodes) were found in 21 (36%) and 12 (20%) patients, respectively. Behandlung: 63 pancreaticoduodenectomy and 14 total pancreatectomy. A vein resection was added in 11 patients. Since 2002, all patients who fully recovered within 6 weeks from surgery and who were well enough for adjuvant therapy were offered postoperative chemotherapy with gemcitabine alone or in combination to other drugs				
Menon 2009 HPB	Retrospektive Studie Mono-zentrisch 11/2003-04/2007 UK	Indikation: Pancreaticoduodenectomy (PDE) – potentially curative resection for adenocarcinoma of the pancreatic head (Only adenocarcinomas were included, other tumour entities, including adenocarcinoma arising in the context of intraductal papillary-mucinous neoplasia or mucinous cystic neoplasia, were excluded.) N= 83 pancreatic (n=27) , ampullary (n=24), bile duct cancer (n=32) medianes Alter: 67 Jahre (37-84) 10/27 (37%) Männer Befallsmuster: pT stage (pT1 / pT2 / pT3): 0 / 0 / 27 (100%) Tumordurchmesser: mean 3.3 cm (2,0-5,5) - <2,5 cm vs. ≥2,5 cm: 6/27 (22%) vs. 21/27 (78%); pN stage (N0 vs. N1): 4/27 (15%) vs. 23/27 (85%); mean number of positive LN: 4,7 (0-14); mean positive LNR: 0,282 (0-0,85), mean	Tumour size (<2,5 cm vs. ≥2,5 cm) R0 vs. R1 N0 vs. N1 Number of positive LN (<5 vs. ≥5) Positive LNR (≤0,1 vs. >0,1)	Operation aller Patienten	Survival Follow-up: median 18 Monate (10-55) Pancreatic cancer patients: 17 died, median follow-up of the remaining patients: 16,5 months (12-55)	4 Wegen fehlender multivariater Analysen mit Korrektur von Störgrößen

Artikel	Studientyp	Patienten	Prognost. Merkmal und Cut-off	Intervention bei vs. ohne Metastasen	Endpunkte mit Nach-verfolgungszeitraum	Evidenzstufe / Verzerrungsrisiko /
		<p>lymph node yield: 17,6 (6-32) R0 vs. R1: 5/27 (18,5%) vs. 22/27 (81,5%) – margins involved: posterior 13, SMV groove 12, anterior 3, trans-section 3, multiple 8</p> <p>Behandlung: pancreatoduodenectomy with standard lymphadenectomy: standard 15; pylorus-preserving; 68 Adjuvant chemotherapy: 8/27 (30%) pancreatic cancer patients</p>				
Riediger 2009 J Gastro-intest Surg	retrospektive Studie mono-zentrisch 1994-2006 Deutschland	<p>Indikation: patients who underwent pancreatic resection for ductal pancreatic adenocarcinoma N=182 Medianes Alter 65 Jahre (31-84), 46% Männer,</p> <p>Befallsmuster: Tumor location: cancer of the pancreatic head 88%, of the body 5%, of the tail 7%; Tumor size: median 30 mm (7-80); Tumor differentiation (G1 / G2 / G3 / G4 / unknown): 5% / 56% / 34% / 3% / 2%; resection margin negative: 70,3%; Nodal status (positive/negative): 66% / 34%; Median LN (Lymph node metastases): 1 (0-22); Median no. of nodes examined: 16 (2-47); LNR: median 0,095 (0-0,79)</p> <p>Behandlung: pancreaticoduodenectomy 155 (85%), pylorus-preserving pancreaticoduodenectomy 126/155 – whipple 29/155, distal resection 21 (12%), total pancreatectomy 6 (3%) Superior mesenteric –portal vein resection: 64 (35%) With the exception of extended lymphadenectomy performed in a few patients, standard lymphadenectomy</p>	<p>LNR (<0,2 vs. ≥0,2) LNR (<0,3 vs. ≥0,3) Resection margin (negative vs. positive) Grading (G1/2 vs. G3/4) Nodal disease (N0 vs. N+) No. of involved LN (0 or 1 vs. >1) No. of examined LN (≤15 vs. >15) Tumor size (≤30 mm vs. >30 mm) No. of examined LN in node positive patients (≤15 vs. >15) No. of examined LN in node negative patients (≤15 vs. >15)</p>	Operation aller Patienten	<p>Survival Mortalität</p> <p>Follow-up: median postoperative follow-up 1,3 Jahre (0,3-11,1) Until 2001, the survival status of each patient was obtained by contacting the patients and/or the home physicians. Since 2001, survival data are systematically obtained by the cancer registry of the Comprehensive Cancer Center of our university hospital.</p>	<p>2b- 204 patients underwent resection, perioperative mortality was 3,9%. Follow-up data were not available in further 14 patients leaving 182 patients for final evaluation of survival. Some single histopathological data were unavailable in a few patients from the first years of our study. Only patients with complete data for all relevant parameters were included in the final multivariate survival analysis (n=166). 47 patients were censored.</p>

Artikel	Studientyp	Patienten	Prognost. Merkmal und Cut-off	Intervention bei vs. ohne Metastasen	Endpunkte mit Nach-verfolgungszeitraum	Evidenzstufe / Verzerrungsrisiko /
		was carried out along the hepatoduodenal ligament, the common hepatic artery, the vena cava, and the right side of the superior mesenteric artery.				
Bhatti 2010	retrospektive Studie mono-zentrisch 1998-2008 UK	Indikation: histologic confirmation of pancreatic ductal adenocarcinoma N= 84 Befallsmuster: preoperative stenting: 81%; Adjuvant chemotherapy: 36%; Lymph node status N0/N1:28/56 (33%/67%); Lymph node ratio (LNR) median: 0,16 (0-1,00); Resection margin R0/R1: 49/35 (58%/42%); Recurrence locoregional/distant: 18/30 (21%/36%); Involved nodes median: 1 (0-9); examined nodes median: 9 (1-26), mean: 9,17, mode: 8 Behandlung: classic Kausch-Whipple resection with standard lymphadenectomy Adjuvant chemotherapy was offered to all patients following recovery from the operative procedure. None of the patients received neoadjuvant chemotherapy or radiotherapy.	Lymph node ratio LNR (0 vs. 0-0,199 vs. 0,2-0,299 vs. $\geq 0,3$) Resection margin (R0/R1) Nodal involvement (N0/N1)	classic Kausch-Whipple resection with standard lymphadenectomy	Survival (identified by hospital records and general practitioner databases) (All patients were followed up initially at 6 weeks with a history, physical examination, and routine blood tests; then they were seen in the clinic every 6 months with a yearly CT to identify recurrence.) No patients were lost to follow-up.	2b- All patients who died within 30 days of surgery were excluded from survival analysis. (106 patients underwent pancreatoduodenectomy with standard lymphadenectomy for pancreatic ductal adenocarcinoma during the study period: perioperative mortality 3,8%, 18 patients did not have complete follow-up data.)
Chen 2010 HPB	retrospektive Studie multizentrisch 06/1998-06/2008	Indikation: pancreaticoduodenectomies for periampullary malignancies and pancreatic adenocarcinoma Ausschluss: 14 resections performed for benign diseases N=96 Befallsmuster: malignancies: 60	Perineural infiltration (considered to be present if tumor cells were identified within the perineural space and/or nerve bundle) Lymphovascular invasion Tumor size (<2 cm vs. 2-3 cm vs. >3 cm) Resection margin (>2 mm)	Operation aller Patienten	Survival Follow-up: median 4,9 Jahre	4 Wegen fehlender multivariater Analysen mit Korrektur von Störgrößen

Artikel	Studientyp	Patienten	Prognost. Merkmal und Cut-off	Intervention bei vs. ohne Metastasen	Endpunkte mit Nach- verfolgungszeitraum	Evidenzstufe / Verzerrungsrisiko /
	Australien	pancreatic adenocarcinoma, 14 ampullary, 9 cholangio, 9 duodenal carcinoma Nodal metastases (yes/no) 40/56; Resection margin (>2 mm/≤2 mm): 50/28; Tumor differentiation (good/moderate/poor): 12/47/33 Behandlung: Whipple resection In reports with incomplete information about the required histopathological parameters, the histopathological slides (n=18 patients) were re-examined.	vs. ≤2 mm) Tumor differentiation (good vs. moderate vs. poor) Nodal metastases			
Fatima 2010 Arch Surg	retrospektive Studie mono-zentrisch 01/1981-12/2007 USA	Indikation: patients with confirmed, pathologic diagnosis of pancreatic ductal adenocarcinoma (specimens taken before 2002 were reevaluated by a pathologist (T.C.S. or L.Z.)). Patients who underwent pancreateoduodenectomy for other neoplasms were excluded. N= 617 Alter (mean) 66 Jahre (SD 11), 55,9 % Männer, Befallsmuster: tumor size: mean 3,3 cm (SD 1,2); tumor location: pancreas head - 586 (95%), uncinate process – 24 (3,9%), pancreatic neck – 7 (1,1%) ; T stage (T1 / T2 / T 3 / T4): 51, 8,3% / 140, 22,7% / 422, 68,4% / .4, 0,6%; positive lymph nodes: 334 (54,2%); R0 resection: 468 (75,8%) – en bloc resection 411 (87,8%) and 57 (12,2%) required a subsequent resection to achieve R0 , R1: 127 (20,6%), R2: 22 (3,6%) Behandlung: pancreaticoduodenectomy ; pylorus-preserving resection: 322 (53,9%); venous resection: 3 patients because of microscopic involvement of th portal vein groove; subsequent ve-	Tumor gade (moderate differentiation vs. poor differentiation vs. dedifferentiation T stage (T1 vs. T2 vs. ≥T3) Lymph node status Resection type (R0 en bloc vs. R0 non-en bloc vs. R1 vs. R2)	Operation aller Patienten	Survival PFS Follow-up: Data on patient follow-up for survival and recurrence were retrieved via clinic follow-up appointments, the Mayo Clinic tumor registry, and death certificates. Median follow-up: 5,9 Jahre (0-19)	2b- Data for location of recurrence were unavailable in 30 patients. In 1997, we introduced the performance of en bloc periadventitial dissection of the SMA margin in patients with pancreatic head cancer. Moreover, it was at this time we also incorporated precise pathologic margin identification and routine marking of portal vein groove and SMA margin with ink. We found that patients who underwent stapled resection were less likely to have positive margins even though the tumor size for patients in the stapler and nonstapler groups was similar. This finding may be attributed

Artikel	Studientyp	Patienten	Prognost. Merkmal und Cut-off	Intervention bei vs. ohne Metastasen	Endpunkte mit Nach-verfolgungszeitraum	Evidenzstufe / Verzerrungsrisiko /
		nous resection: 3 patients because of involvement of the proximal or distal venous margin; portal-superior mesenteric vein resection with reconstruction 99 (16%) Chemotherapy and /or radiation was administered to 121 of 135 eligible patients with positive margins (89,6%) and 327 of 426 eligible patients with negative margins (76,8%). Neoadjuvant therapy: 46/617 – chemotherapy: 22/46, preoperative radiation: 24/46 Intraoperative radiation: 5 /617 Postoperative adjuvant therapy: 448/561				to bias because stapler were more likely to be used early in our series when pathologic assessment was not as systematic Pylorus-preserving pancreaticoduodenectomy and portal vein resection with reconstruction were performed in more recent years, coinciding with a more standardized pathologic evaluation of specimens at our institution.
Fujita 2010	retrospective Studie mono-zentrisch 11/1993-06/2008 Japan	Indikation: patients who underwent distal pancreatectomy with regional lymph node dissection in pancreatic body or tail carcinoma N= 67 n=58 with histologically proven ductal adenocarcinoma of the pancreatic body or tail Alter (mean) 64,2 Jahre (40-81), 56% Männer, Befallsmuster: tumor size: mean 4,02 cm; stage (IA / IB / IIA / IIB / III and IV): 3, 6% / 4, 8% / 8, 16% / 31, 62% / 4, 8%; positive lymph nodes: 30 (60%); R0 resection: 90%, R1:10% Behandlung: distal pancreatectomy with regional lymph node dissection – regional (N1) and peripancreatic lymph nodes (N2) routinely resected 1461 LN were resected from 50 patients (mean 29,2 nodes/patient), 89 LN (6,1%;	N1 – LN along the common hepatic artery, splenic artery, or inferior margin of the pancreas, or those at the splenic hilum; N2 – LN along the left gastric artery, around the celiac artery, along the superior mesenteric artery, or along the middle colic artery; N3 – paraaortic LN N1 subdivision for LN metastasis: LN attached to the pancreas - (1) located under the serosal layer and (2) within 3 mm of the parenchyma, being recognized only on histopathological evaluation; other LN Tumor size (\leq 4 cm vs. >4 cm)	Operation aller Patienten	Survival Mortalität Follow-up: median 22,2 Monate (1-139,8) The patients' medical records were reviewed to identify the clinical stage of the disease, surgical procedures, histopathological findings of the lesions, incidence of postoperative events, and outcome.	2b- Limitations: Some conditions of the patients may have been falsely diagnosed as negative for the lymph nodes attached to the pancreas because of the small size of both the nodes and the slices prepared for histological evaluation; therefore, excluded information could have biased the results of the study. Furthermore, our study covered an almost 15-year period, during which preoperative diagnostic accuracy and postoperative follow-up regimens differed. However, histopathological explorations were per-

Artikel	Studientyp	Patienten	Prognost. Merkmal und Cut-off	Intervention bei vs. ohne Metastasen	Endpunkte mit Nach- verfolgungszeitraum	Evidenzstufe / Verzerrungsrisiko /
		mean 1,8 nodes/patient) were histologically metastatic;LN attached to the pancreas (633/1461, 43,3%) – 69/89, 77,5% of metastatic LN	Serosal invasion Retropancreatic tissue invasion Splenic vein invasion Splenic artery invasion Extrapancreatic nerve plexus invasion Lymphatic invasion Venous invasion Intrapancreatic nerve invasion (ne0, 1 vs. ne2, 3) Differentiation (well vs. moderate or poor) Lymph node metastasis			formed consistently, which may even be considered a strength of the study.
Gaedcke 2010 Langenbecks Arch Surgery	Mono-zentrische Studie 1996-2005 retrospektiv 04/2006-07/2008 prospektiv Deutschland	Indikation: Histopathological inclusion criteria were diagnosis of either pancreatic ductal adenocarcinoma (PDAC), distal bile duct adenocarcinomas (DBD), or periampullary adenocarcinoma (PAC). Ausschluss: 35 patients (another histology) Befallsmuster: T stage (T1 / T2 / T3 / T4): 2 (3,1%) / 1 (1,5%) / 50 (76,9%) / 12 (18,5%); N0/N1: 12 (18,5%) / 53 (81,5%); R0/R1: 51 (39,2%) / 79 (60,8%) Behandlung: PPPD or Kausch-Whipple procedure 1996-2005 , all specimens were worked up by pathologists specializing in gastrointestinal pathology. The location, histological tumor type, size of tumor,	R0/R1 classification (1996-2005 UICC vs. 2006-2008 RCP) Site of R1 No. of infiltrated sites According to the UICC criteria, the operation was considered as potentially curative (R0) if the RMs and organ surfaces were free of tumor cells, whereas histopathologically verified tumor cell infiltration was defined as R1 resection. In cases of macroscopically visible tumor tissue, the resection was classified R2. Applying the definition of The Royal College of Pathologists (RCP), the specimens were classified R1 if tumor cells were within 1 mm of the	Operation aller Patienten und histologische Aufarbeitung der Resektate.	Mortality Follow-up: k. A.	4 (fehlende Adjustierung für Störgrößen, keine Angaben zur Nachverfolgung)

Artikel	Studientyp	Patienten	Prognost. Merkmal und Cut-off	Intervention bei vs. ohne Metastasen	Endpunkte mit Nach-verfolgungszeitraum	Evidenzstufe / Verzerrungsrisiko /
		<p>and lymph node involvement were defined. Assessment of the RM included the common bile duct, the pancreatic transection margin, the duodenal and jejuna resection plane, and the anterior and posterior surface. Additionally, vascular, lymphatic, and perineural invasion were reported if present.</p> <p>04/2006-07/2008, organ surfaces and RMs of the pancreatic head resection specimen were stained according to a well-defined five-color code: the anterior (ventral) surface was painted black, the posterior (dorsal) surface white, the groove of the superior mesenteric vein (SMV) green, the pancreatic transection margin yellow, and mesopancreas red. The mesopancreas was defined as the soft tissue between the superior mesenteric artery and the pancreatic parenchyma and contains lymphatic, nervous, and vascular structures. Since its identification is challenging, especially after formalin fixation, the mesopancreas was stained directly after removing the specimen from the situs, while the other parts were colored after formalin fixation for 24 to 36 h. All staining procedures were performed by the operating surgeon or by a surgeon present during the procedure.</p>	RM.			
Jamieson 2010 <i>Ann Surg</i>	retrospektive Studie, mono-zentrisch 01/1996-12/2007	<p>Indikation: patients with pancreatic ductal adenocarcinoma (PDAC)</p> <p>Ausschluss: lesions other than PDAC (e.g.,ampullary, duodenal or distal bile duct adenocarcinomas, mucinous cystadenocarcinomas or intraductal papillary mucinous neoplasms)</p>	Tumor stage (T2 vs. T3) Lymph node status (N0 vs. N1) Tumor size (\leq 30 mm vs. $>$ 30 mm) Tumor grade (low vs. high) Perineural invasion	classic or pylorus-preserving pancreaticoduodenectomy	Survival Mortality Follow-up: Follow-up comprised a standardized protocol of out-patient Reviews, Length of	2b

Artikel	Studientyp	Patienten	Prognost. Merkmal und Cut-off	Intervention bei vs. ohne Metastasen	Endpunkte mit Nach- verfolgungszeitraum	Evidenzstufe / Verzerrungsrisiko /
	Großbritan-nien	N=148 Alter (<65/>65 Jahre): 56% / 44% Sex (m/w): 49% / 51% Befallsmuster: Tumor stage (T2/T3): 9,5% / 90,5%; lymph node metastasis (no/yes): 28/120; Tumor grade (low/high): 99/49; perineural invasion: 137; venous invasion: 73; lymphatic invasion: 39; resection margin status (R0/R1): 39/109 Behandlung: vascular resection: 18 Patienten Adjuvante Chemotherapie (ja/nein): 42% / 58%	Venous invasion Lymphatic invasion Resection margin status (R0 vs. R1) Detailed resection margin status assessed by three senior pathologists 4 pancreatic margins (pancreatic transection, medial, posterior, and anterior surface) are identified and inked with different colors <u>Medial margin</u> is taken essentially as a column running down from, and as wide as, the <u>pancreatic transection margin</u> and contains the beds of the major mesenteric vessels. The <u>anterior margin</u> comprises of the pancreatic surface lying in front of the medial margin. The <u>posterior margin</u> comprises of the usually smooth pancreatic surface lying behind the medial margin. Thereafter 3 cuts are made from the luminal aspect of the second part of the duodenum into the head of the pancreas, in a transverse plane and the specimen left to fix for 24 to 48 hours.		survival following surgery and cause of death were obtained from our database and validated using the NHS Scotland Information Services Department The last follow-up period for patients still alive was December 2008.	
Kanda 2010	retrospektive, monozen-	Indikation: patients who underwent distal pancreatectomy for pancreatic body and tail cancer, excluding cases	invasion of SA (Milzarterie) (ja/nein)	Distal pancreatectomy with splenectomy ligating and dissecting at the root	Endpunkte:	2b retrospektive Analyse

Artikel	Studientyp	Patienten	Prognost. Merkmal und Cut-off	Intervention bei vs. ohne Metastasen	Endpunkte mit Nach- verfolgungszeitraum	Evidenzstufe / Verzerrungsrisiko /
	trische Studie 10/1981-12/2008 Japan;	that were not resectable N= 51 Alter: 62.7 Jahre (38–79); 66.7% Männer Befallsmuster: Tumor location (body/tail): 37/14; Histopathologic type (Well / Moderate / Poor / Papillary / Mucinous /Adenosquamous): 5/ 31/ 5/ 6/ 1/ 3 UICC (6th) p stage IA, IB, IIA, IIB, III, IV: 2/ 5/ 20/ 24/ 0; SA (Invasion Milzarterie): 17 (33.3%) cases. SV(Invansion Milzvene): 24 (47.1%) cases Behandlung: OP Distal pancreatectomy: 51; Intraoperative radiation therapy: 30	invasion of SA vs. unresectable cases invasion of SV (Milzvene) invasion of SV vs. unresectable cases Tumordurchmesser (\geq 2cm) anterior serosal invasion Tumor location (tail) Tumor differentiation (poor) Retroperitoneal invasion Splenic artery invasion Splenic vein invasion Perineural invasion Lymph node metastasis Lymph vessel invasion Peritoneal washing cytology Infiltration at margins	of the splenic artery (SA) was performed as a radical resection (D2) for all cases	follow-up: Ø 17.1 Monate oder bis Tod der Patienten	einer prospektiven Datenbank
Konstantinidis 2010 J Gastro-intest Surg	retrospektive Studie mono-zentrisch 01/1993-07/2008 USA	Indikation: patients who underwent pancreatic resection for adenocarcinoma Ausschluss: pancreatic adenocarcinoma arising within intraductal papillary mucinous neoplasms Patients who had both direct and regional lymph node involvement were also excluded from further analysis. N=517 Alter (median) 67 Jahre (33-90), 47% Männer Befallsmuster: Tumor size: median 3 cm (0,3-12,5); surgical margins R0 360 (69,6%); T stage: T1 19 (3,7%), T2 40 (7,7%), T3 458 (88,6%); Grade: well 18	"direct" invasion of a node by tumor: presence of a continuous column of tumor cells extending from the intra- or extrapancreatic portion of the primary lesion to the involved LN "regional" nodal metastasis: lack of this continuity between the primary pancreatic lesion and the lymph node N0 vs. N1 LNR (<0,2 vs. \geq 0,2)	Operation aller Patienten	Survival Mortality Follow-up: median 16 Monate, mean 24,9 (0-166)	2b

Artikel	Studientyp	Patienten	Prognost. Merkmal und Cut-off	Intervention bei vs. ohne Metastasen	Endpunkte mit Nach- verfolgungszeitraum	Evidenzstufe / Verzerrungsrisiko /
		(3,5%), moderate 282 (54,5%), poor 205 (39,7%), other 12 (2,3%); perineural invasion 407 (78,7%); lymphatic invasion 220 (42,6%); vascular invasion 222 (42,9%) A single positive LN: 89 (17,2%); direct node invasion: 26 (29,3%), regional node invasion: 63 (70,8%) Behandlung: pancreaticoduodenectomy 436 (84,3%), distal pancreatectomy 73 (14,1%, total pancreatectomy 8 (1,5%)	Single positive node vs. ≥2 positive nodes			
Murakami 2010	retrospektive und mono-zentrische Studie 01/1992-12/2008 Japan,	Indikation: Patienten erhielten pancreatic resection with regional and para-aortic lymph node dissection nach präoperativer Diagnose ohne apparent para-aortic lymph node metastasis. Ausschluss von: Patients with pancreatic ductal adenocarcinoma derived from an intraductal papillary-mucinous neoplasm (16 patients) or a mucinous cystic neoplasm (one patient) N= 103 Alter 67 Jahre (Range 31-83), 48,5 % Männer, Befallsmuster: Tumorlokation im Pankreaskopf (73 patients)/in body or tail (30 patients); Behandlung: (keine Tumor resection if distant metastasis, invasion to the celiac or superior mesenteric artery, and apparent para-aortic lymph node metastasis were found by preoperative examinations.) Pylorus-preserving pancreaticoduodenectomy (65 von 103), conventional pancreatectoduodenectomy (4 von 103), distal pancreatectomy with splenectomy (30	Lymphknotenmetastasen ja/nein para-aortic Lymphknotenmetastasen ja/nein kein Lymphknoten-be-fall/Lymph-knotenbefall ohne para-aortic lymph node-Beteiligung/ Lymph-knotenbefall mit para-aortic lymph node-Beteiligung Tumogröße (< 2cm vs. ≥ 2cm) Tumordifferenzierung (well vs. moderate and poor) Anterior serosal invasion (ja/nein) Retroperitoneal tissue invasion (ja/nein) Choledochal invasion (ja/nein) Duodenal invasion (ja/nein) Portal or splenic vein invasion (ja/nein) Extrapancreatic nerve	alle Patienten wurden operiert (Tumorresektion)	follow-up für 5 Jahre nach OP (CT aller 2 Jahre)	2b retrospektive Auswertung; keine Angaben zur prospektiven Planung, zur Repräsentativität und über Vollständigkeit; Behandlungen nach prä-OP Untersuchung/pathologischer Diagnose- keine Aussage über standardisierte Behandlung

Artikel	Studientyp	Patienten	Prognost. Merkmal und Cut-off	Intervention bei vs. ohne Metastasen	Endpunkte mit Nach- verfolgungszeitraum	Evidenzstufe / Verzerrungsrisiko /
		<p>von 103), and total pancreatectomy (4 von 103).</p> <p>Postoperative chemotherapy (71 von 103): intra-arterial chemotherapy (3 patients), intravenous chemotherapy alone (7 patients), and intravenous and oral chemotherapy (61 patients); (Postoperative adjuvant chemotherapy was administered beginning in 1999 and no patient received radiation therapy during the study periods.)</p> <p>mean dissected lymph nodes (29 von 103 (range: 2–75)), mean number of dissected para-aortic lymph nodes (5 von 103 (range: 1–26)).</p> <p>There were 72 tumors (70%) with lymph node metastasis and 31 (30%) without lymph node metastasis. The number of involved lymph nodes ranged from 1 to 40 (median 3). Para-aortic lymph node metastasis was found in 18 patients (17%). The number of involved para-aortic lymph nodes ranged from 1 to 16 (median 2).</p>	<p>plexus invasion (ja/nein)</p> <p>surgical margin (positiv vs. negativ)</p> <p>UICC pT (pT1,2 vs. pT 3)</p> <p>UICC stage (IA, IB vs. IIA, IIB, III, IV)</p>			
Murakami 2010b J Am Coll Surg	retrospektive Studie mono-zentrisch 01/1994-09/2009 Japan	<p>Indikation: patients with pancreatic ductal carcinoma, who underwent R0 or R1 pancreatectomy with regional node dissection</p> <p>Ausschluss: patients with pancreatic ductal adenocarcinoma derived from an intraductal papillary-mucinous neoplasm (16 patients) or a mucinous cystic neoplasm (1 patient)</p> <p>Tumor resection was abandoned if distant metastasis, invasion to the celiac or superior mesenteric artery, or apparent para-aortic lymph node metastasis were found by preoperative examinations</p>	<p>LNR 0 vs. $0 < \text{LNR} < 0,1$ vs. $0,1 \leq \text{LNR} < 0,2$ vs. $\text{LNR} \geq 0,2$</p> <p>Lymphknotenmetastasen ja/nein</p> <p>Tumogröße ($< 2\text{cm}$ vs. $\geq 2\text{cm}$)</p> <p>Tumordifferenzierung (well vs. moderate and poor)</p> <p>Anterior serosal invasion (ja/nein)</p> <p>Retroperitoneal tissue invasion (ja/nein)</p> <p>Choledochal invasion</p>	<p>alle Patienten wurden operiert (Tumorresektion)</p>	<p>Survival Recurrence</p> <p>Follow-up: patients were followed regularly in outpatient clinics; CT was performed twice a year for the first 5 years after surgery. Beyond that, information on outcomes was collected by telephone or personal</p>	<p>2b</p> <p>retrospektive Auswertung; keine Angaben zur prospektiven Planung, zur Repräsentativität und über Vollständigkeit; Behandlungen nach prä-OP Untersuchung/pathologischer Diagnose- keine Aussage über standardisierte Behandlung</p>

Artikel	Studientyp	Patienten	Prognost. Merkmal und Cut-off	Intervention bei vs. ohne Metastasen	Endpunkte mit Nach- verfolgungszeitraum	Evidenzstufe / Verzerrungsrisiko /
		<p>N= 119 Alter median 68 Jahre (Range 31-87), 50,5 % Männer, Befallsmuster: Tumorlokation im Pankreaskopf (88 patients – 74%)/in body or tail (31 patients – 26%) Tumor size: median 3,0 cm (0,7-10,0) R0/R1: 66% / 34%</p> <p>Behandlung: Pylorus-preserving pancreatoduodenectomy (71/119), conventional pancreatoduodenectomy (13/119), distal pancreatectomy with splenectomy (31/119), and total pancreatectomy (4/119). Portal or superior mesenteric vein resection due to tumor invasion: 37/119 Postoperative chemotherapy (91/119 – 76%): intra-arterial chemotherapy (3 patients), intravenous chemotherapy alone (7 patients), and intravenous and oral chemotherapy (81 patients); (Postoperative adjuvant chemotherapy was administered beginning in 1999 and no patient received radiation therapy during the study period.) Median number of evaluated lymph nodes 28 (range 2–75); median number of metastatic lymph nodes 3 (range 1–40); N0 34%, 1 metastatic LN 13%, ≥2 metastatic LN 53% The number of metastatic lymph nodes ranged from 1 to 40 (median 3). The median number of lymph nodes examined in node-negative patients was 21 compared with a median of 30 lymph nodes in node-positive patients.</p>	(ja/nein) Duodenal invasion (ja/nein) Portal or splenic vein invasion (ja/nein) Extrapancreatic nerve plexus invasion (ja/nein) resection margin (positiv vs. negativ) UICC pT (pT1,2 vs. pT 3,4) UICC stage (IA, IB vs. IIA, IIB, III, IV)		interview.	

Artikel	Studientyp	Patienten	Prognost. Merkmal und Cut-off	Intervention bei vs. ohne Metastasen	Endpunkte mit Nach- verfolgungszeitraum	Evidenzstufe / Verzerrungsrisiko /
Showalter 2008 RTOG 9704 I J Radiation Oncology	Secondary analysis ?-zentrisch USA	Indikation: pancreatic cancer (PC) N=445 Befallsmuster: median total nodes examined (TNE) 9 (1-46) in the 5-fluorouracil treatment arm; 11 (1-56) in the gemcitabine treatment arm Median number of positive nodes (NPN) 1 (0-18) for all patients Behandlung: pancreaticoduodenectomy (PD) followed by adjuvant chemoradiation (CRT) with extended lymphadenectomy	TNE NPN (0 vs. 1-3 vs. >3)	Operation aller Patienten	OS DFS	2b
Wasif 2010 Ann Surg Oncol	retrospektive Studie multizentrisch 1991-2005 USA	Indikation: histology codes 8000, 8010, 8020, 8021, 8140, 8141, and 8500 used to identify all patients with a diagnosis of adenocarcinoma of the pancreas Ausschluss: patients who did not undergo cancer-directed surgery; patients with no histological confirmation of the diagnoses and cases identified from autopsy reports only Only patients with complete data were included in the multivariate analysis (5935/8082). N= 8082 medianes Alter: 66 Jahre; 50,4 % männlich Befallsmuster: 996 (12%) patients did not have tumor grade recorded. Tumor location: head 85,5%, body 5%, tail 9,5%; tumor size: median 3,1 cm; lymph node status: positive 60,3%; number of nodes examined: median 8; number of positive nodes: median 2,1; AJCC state (IA / IB / IIA / IIB / III / IV): 4,3% / 8,1% / 24,6% / 49,5% / 6,8% / 6,7%;	"low-grade" group (1 – well differentiated and 2 – moderately differentiated) vs. "high-grade" group (3 – poorly differentiated and 4 – undifferentiated) Node status (negative vs. positive) Tumor size (<2 cm vs. >2 cm) Stage IIA Stage IIB	Operation aller Patienten	Survival Follow-up: k. A.	2b The National Cancer Institute's Surveillance, Epidemiology, and End Results (SEER) tumor registry database: the current standard for accuracy of the data in the registry is an error rate of less than 5%; no information on chemotherapy is reported Patients with incomplete data were excluded from regression analysis. We cannot account for variability among SEER regions in pathology protocols used to assess tumor grade, as well as interobserver variability among pathologists. Margin status is not recorded in SEER.

Artikel	Studientyp	Patienten	Prognost. Merkmal und Cut-off	Intervention bei vs. ohne Metastasen	Endpunkte mit Nach-verfolgungszeitraum	Evidenzstufe / Verzerrungsrisiko /
		Behandlung: surgery: whipple procedure 82,4%, distal pancreatectomy 9,3%, total pancreatectomy 8,3% Radiation: 42,7% Chemotherapy: not reported.				
Hartwig 2011 Annals of Surgery	retrospektive Studie mono-zentrisch 10/2001-08/2009 Deutschland	Indikation: pancreatic resection performed in patients with a primary pancreatic adenocarcinoma Ausschluss: ampullary carcinomas or carcinomas of the distal bile duct N=1071 Alter: median 65,4 Jahre; 56% männlich Befallsmuster: tumor location: head 73,2%, corpus 9,1%, tail 8,5%, >1 location 9,2%; histology: pancreatic ductal adenocarcinoma 90,3%, undifferentiated pancreatic carcinoma 1,2%, adenosquamous carcinoma 2,4%, cystic adenocarcinoma 0,3%, malignant IPMN 5,8%; T stage: Tis 2%, T1 2,2%, T2 1,7%, T3 88,5%, T4 5,7%; positive lymph nodes: 76,1%; median LNR: 0,17 (0,09-0,31); median no. of LN evaluated: 22 (15-29); distant metastasis: 8%; R0 revised: 24%, R0 old: 25,4%, R1 revised: 40,5%, R1 old: 4,8%, R2: 5,3%; grading: G1 3%, G2 66,6%, G3/4 30,4%; AJCC stage: 0 2%, IA 2%, IB 0,8%, IIA 17%, IIB 65,3%, III 5%, IV 8% Behandlung: pancreatic head resection 712 patients (66,5%), distal pancreatectomy 199 patients (18,6%), total pancreatectomy 160 patients (14,9%)	Resection margin status The margin resection status (R-status) was defined according to general recommendations before June 2005 when R1 was defined as tumor formations invading the resection margin. Starting June 2005, pathologic reposting included a standardized examination of resection specimens with inking of the resection margins, and R1 was defined as a distance of the tumor from the resection margin of ≤1 mm.	Operation aller Patienten	Survival Mortality Follow-up: median 17 Monate (1-92) To assess long-term survival, data from our pancreatic outpatient clinic was used. For those patients whom were not included in our follow-up program, patients, general practitioner, relatives, and insurance companies were contacted by telephone and asked for patient survival, or the documented day of death. Follow-up was incomplete for 53 patients (5%). Of those, 36 patients were resected in 2009 and had a follow-up time of less than 6 months.	2b
Kanda 2011	mono-zentrische, retrospektive Stu-	Indikation: resected pancreatic invasive adenocarcinoma, in which the status of LN involvement was well known; patho-	ohne LN-Metastasen vs. mit LN-Metastasen	pancreatectomy with extended lymphadenectomy for pancreatic can-	follow-up: mean period von 15,6 Monate oder	2b retrospektive Datenaus-

Artikel	Studientyp	Patienten	Prognost. Merkmal und Cut-off	Intervention bei vs. ohne Metastasen	Endpunkte mit Nach-verfolgungszeitraum	Evidenzstufe / Verzerrungsrisiko /
	die 10/1981- 09/2009 Japan,	logically diagnosed with pancreatic invasive adenocarcinoma (Resectable Pancreatic Cancer) N= 429 Alter 62.8 Jahre (Range 35 - 83), 64 % Männer, Befallsmuster: Lymph node metastasis was confirmed pathologically in 289 patients (67.4%). Tumor location was divided into the head of the pancreas (304 cases), the body and tail (78 cases), or diffuse type (tumor straddling the border between the pancreas head and body, 47 cases). UICC staging I, II, III and IV: 18, 304, 15, and 92 cases Behandlung: extended lymphadenectomy (D2 + para-aortic LN sampling) during a period of 28 years. Intraoperative radiation therapy at 30 Gy was performed to the retroperitoneum and nerve plexus around the root of the superior mesenteric artery after pancreatectomy, when available. A total of 78 total pancreatectomies, 278 pancreateoduodenectomies, and 73 distal pancreatectomies were performed. A total of 279 patients (65.0%) underwent portal vein resection.	Tumogröße (\geq 2.0 cm) Anterior serosal infiltration Retroperitoneal invasion Biliary invasion Duodenum invasion Portal vein invasion Arterial invasion Perineural invasion Infiltration at margins	cer.	bis Tod	wertung; keine Angaben zu Repräsentativität, Standardisierte Behandlung und Vollständigkeit der Studie, 15.6 Monate follow up ausreichend; Störgrößen wurden ebenfalls im prognostischen Modell (multivariat) untersucht;
La Torre 2011 J Surg Oncol	retrospektive Studie mono-zent- risch 04/2003-	Indikation: patients who underwent pancreaticoduodenectomy for pancreatic ductal adenocarcinoma with standard lymphadenectomy (level I LN) N=101 Alter ?, 53% Männer, Befallsmuster: tumor location: head 89 (88%), neck 9 (9%), tail 3 (3%); tumor	LNR (0 vs. 0-0,199 vs. 0,2-0,399 vs. >0,4)	Operation aller Patienten	Survival Mortalität Follow-up: median 32 Monate (12-56) There were no patients lost at follow-up.	2b In our study, a stage migration phenomenon was revealed between Stage IIB patients with a LNR >0,2 and Stage III patients, since it was demonstrated that these two groups of patients

Artikel	Studientyp	Patienten	Prognost. Merkmal und Cut-off	Intervention bei vs. ohne Metastasen	Endpunkte mit Nach- verfolgungszeitraum	Evidenzstufe / Verzerrungsrisiko /
	11/2009 Italien	differentiation: G1 9%, G2 49%, G3 39%, G4 4%; positive lymph nodes: 64 (63%); R0 resection: 69%, R1: 31%; pT stage: pT1 12 (11,8%), pT2 16 (15,8%), pT3 65 (64,3%), pT4 7 (6,9%) Behandlung: pancreaticoduodenectomy 90, 89% (PPPD 57, Whipple 33), distal resection 9%, total pancreatectomy 2% Mean no. of nodes examined: 19,8 (3-26); <12 resected LN 13,4%; median LNR 0,045; median LNR for N1 patients 0,155 Adjuvant therapy: 26 patients			Patients were followed up at regular intervals after discharge either by clinical examination or by contacting their General Practitioner and Oncologist, to obtain information about progression of the disease or cancer death.	did not differ in terms of survival. The lack of statistical significance, in the last analysis presented herewith, may, however, be related to inadequate statistical power (type II error), given the relatively small number of patients evaluated.
Lee 2011 J Korean Med Sci	prospektive Studie monozentrisch 2005-2006 Korea	Indikation: macroscopically curative resection for invasive ductal adenocarcinoma of the pancreatic head: (Resectable Pancreatic Cancer) N=48 Alter: median 62 Jahre (Range 43-78), 66,7 % Männer Befallsmuster: Lymph node metastasis was confirmed pathologically in 31/48 patients (64,6%) – 104/1221 (8,5%) resected lymph nodes; LN micrometastasis in 5/17 N0 patients (29,4%). Resected lymph nodes included: posterior pancreaticoduodenal LN, LN around the celiac axis, common hepatic artery, hepatoduodenal ligament, and superior mesenteric artery, and para-aortic LN A tumor-free margin was achieved in all patients.. TNM stage (UICC classification 2002): pT1 - 1/48 (2%), pT3 – 47/48 (98%); Tumor differentiation: moderate – 46/48 (96%) poor – 2/48 (4%)	Overt LN metastasis vs. without overt LN metastasis (metastasis detected during a routine histologic examination by HE staining) LN micrometastasis vs without LN micrometastasis (metastasis missed by a routine HE staining but detected by an aticytokeratin antibody immunohistochemical study)	Operation aller Patienten (pancreatectomy with extended lymphadenectomy for pancreatic cancer)	Survival (determined from surgery to death or most recent follow-up) Follow-up: median 20 Monate (5-41,9) All patients were followed-up after discharge by plain-film radiography every 1-3 months, and CT every 3-6 months.	4 Wegen fehlender multivariater Analysen mit Korrektur von Störgrößen

Artikel	Studientyp	Patienten	Prognost. Merkmal und Cut-off	Intervention bei vs. ohne Metastasen	Endpunkte mit Nach-verfolgungszeitraum	Evidenzstufe / Verzerrungsrisiko /
		<p>Angiolymphatic invasion: 54%; perineural invasion: 81%; venous invasion: 17%</p> <p>Behandlung: pancreateoduodenectomy: 12/48 (25%), pylorus preserving pancreateoduodenectomy: 36/48 (75%)</p> <p>1221 retrieved LN (25,4 nodes/patient): 836 regional, 160 paraaortic, 225 para-gastric or paracolic nodes) – 208 sampled LN (4,3 nodes/patient)</p> <p>No patients received any preoperative chemotherapy or radiotherapy..</p>				
Pai 2011	Retrospektiv Multi-zentrisch (2 Krankenhäuser) 1995-2009 Kalifornien	<p>Indikation: primär invasives ductal adenocarcinoma of the pancreas.</p> <p>Pathologische Diagnose als T3 (nach 7ter Auflage des AJCC; definiert als "tumor extending beyond the pancreas but without the involvement of the celiac axis or superior mesenteric artery")</p> <p>Nur node- negative Tumore mit ≥ 12 peripancreatic lymph nodes were included in this study</p> <p>N= 380</p> <p>medianes Alter 67Jahre (range 38 - 89), 54 % Männer,</p> <p>Ausschluss von: ductal adenocarcinomas associated with intraductal papillary mucinous neoplasm or mucinous cystic neoplasm and adenocarcinomas with a mixed endocrine or acinar component; Ductal adenocarcinomas limited to the pancreas (ie, pT1 and pT2 tumors) and those with distant metastatic disease were specifically excluded from this study.)</p> <p>Befallsmuster: mediane Tumorgröße 3.0 cm (range 1.2-11.5); Grade (well/moderately/poor): gruppenspezifisch</p>	Ndi vs. N0 N0 vs. N1 N1 (1-2) vs. Ndi Tumogröße < 2 cm vs. ≥ 2 cm Grade (well or moderately/poorly differentiated) Tumorränder (Negativ/Positiv)		follow-up-Daten für alle Patienten verfügbar: Median follow up 10 Monate (range, 2-159)	2b retrospektiver Vergleich klinischer Endpunkte von Patienten mit pancreatic ductal adenocarcinoma und direkter Invasion des Primärtumors in peripancreatische Lymphknoten vs. Patienten ohne Lymphknoten-Beteiligung vs. Patienten mit true lymphatic regionale Lymphknoten-metastasen

Artikel	Studientyp	Patienten	Prognost. Merkmal und Cut-off	Intervention bei vs. ohne Metastasen	Endpunkte mit Nach-verfolgungszeitraum	Evidenzstufe / Verzerrungsrisiko /
		Behandlung: Pankreatico-duodenectomy (92 %), distale Pankreatektomie (7 %); Totale Pankreatektomie (1 %)				
Sahin 2011	retrospektive Studie 10/1991 bis 11/2010 Japan;	Indikation: resektabler Pankreastumor im pancreatic body and tail nach radikal. Pankreatektomie mit lymph node dissection (Ausschluss von: Patienten mit distant metastasis or locally advanced disease) N = 85 Alter: median 63.5 Jahre (38-79); 71.3% Männer Befallsmuster: Tumor Location Body/ Tail: 70 / 15 LN-Metastasen bei 40 Patienten (47.1%) Behandlung: Operation Distal pancreatectomy/Total pancreatectomy: 76 (98%) / 9; Vascular Resection - Portal vein resection/Major artery resection: 20/2 Histopathologic Type - Well / Moderate / Poor / Papillary / Adenosquamous: 8/58/11/5/3; UICC (7th) Stage IA / IB / IIA / IIB / III / IV: 2/2/28/35/2/16	Metastasen in ≥ 5 vs. < 5 Lymphknoten; ratio ≥ 0.2 vs. < 0.2 Metastasierter Lymphknoten; mit Befall der Lymphknoten vs. ohne Befall der Lymphknoten; benachbarte LN vs. involvement of distant LN ohne LN-Metastasen vs. LN ratio < 0.2 poor tumor differentiation (body/tail) duodenal invasion (body/tail) arterial system invasion (body/tail) extrapancreatic nerve plexus invasion (body/tail)	OP aller Patienten	Endpunkte: Lokalisation, Anzahl und ratio metastasierter Lymphknoten, Median Survival	2b- retrospektive Auswertung einer prospektiv angelegten Datenbank; keine Angaben zu follow-up-Periode
Shimada 2011 Pancreas	Retrospektive Studie monozentrisch 01/2004-12/2008	Indikation: patients with invasive ductal carcinoma located in the pancreatic head who underwent a macroscopic curative resection – histologically confirmed to have the common type of invasive ductal adenocarcinoma N = 153 Alter: median 65 Jahre; 62% Männer Befallsmuster:	Positive Lymphknoten (N0 vs. N1) Tumordurchmesser (≤3,5 vs. >3,5 cm) Resektionsrand (R0 vs. R1) Lymphatic invasion (<2 vs. ≥2) Venous invasion (<2 vs. ≥2)	OP aller Patienten	DFS Survival Follow-up: all of the patients were followed until death or last contact – each visit included a measurement of CA19-9 level; US or	2b Two patients (1,3%) died of other causes.

Artikel	Studientyp	Patienten	Prognost. Merkmal und Cut-off	Intervention bei vs. ohne Metastasen	Endpunkte mit Nach- verfolgungszeitraum	Evidenzstufe / Verzerrungsrisiko /
	Japan	<p>Tumor size: median 3,5 mm</p> <p>TNM (UICC 6th) IA/IB/IIA/IIB/IV: 2 (1%) / 3 (2%) / 31 (20%) / 99 (65%) / 18 (12%)</p> <p>LN-Metastasen bei 117 Patienten (76,5%)</p> <p>Histologic intrapancreatic nerve invasion (ne0/ne1/ne2/ne3): 7 (4,5%) / 38 (25%) / 85 (55,5%) / 23 (15%)</p> <p>Behandlung:</p> <p>Pylorus-preserving pancreaticoduodenectomy: 103 (67,5%), pancreaticoduodenectomy: 42 (27,5%), total pancreatectomy: 8 (5%)</p> <p>Portal vein resection and reconstruction: 54 (35%)</p> <p>Intraoperative radiotherapy (IORT): 14%</p> <p>Adjuvant chemotherapy: 16%</p>	<p>Intrapancreatic nerve invasion (<2 vs. ≥2)</p> <p>Intrapancreatic nerve invasion: no invasion (ne0) vs. slight invasion (ne1 – 1-3 points) vs. moderate invasion (ne2 – 4-8 points) vs. marked invasion (ne3 - >8 points) under low-power magnification (x 100)</p>		<p>CT performed at 3-month intervals; radiologic evidence of tumor recurrence was accepted without a biopsy.</p>	

Tabelle 3.1.17b: Ergebnisse aktueller Studien zur Einstufung als R0 Resektion

Artikel (Autor, Jahr)	n	Prognost. Merkmal	Anzahl der Patienten mit prog. Merkmal	Ergebnisse aus univariater Analyse		Ergebnisse aus multivariater Analyse		Nebenwirkungen durch Sektion des Tumors therapieassoziierte Todes- fälle und Komplikationen (alle in % der behandelten Patienten)
				p-Wert	Median OS HR (95%CI)	p-Wert	HR	
Garcea 2007	62	Positive Lympfknoten (N0 vs. N1)	38 / 24	0.0008	N.A.	N.A.	N.A.	
	62	Tumordurchmesser (≤ 20 vs. > 20 mm)	N.A.	P<0.0064	N.A.	N.A.	N.A.	
	46	Microvessel-Invasion (V0 vs. V1)	24/22	P<0.0008	N.A.	N.A.	N.A.	
	50	Perineural Invasion (neu 0 vs. neu 1)	22 / 28	P<0.0196	N.A.	N.A.	N.A.	
	62	Resektionsrand (R0 vs. R1)	48 / 14	P<0.0164	N.A.	N.A.	N.A.	
	62	Lympfknotenstatus als % of lymph node yield	N.A.	P<0.0001	N.A.	N.A.	N.A.	
House 2007	696	Lymph node status (N0 vs. N1)	243/453		Median survival 27/16 Monate	<0,001	1,81 (1,44-2,25)	90-day patient mortality rate: 4%
		≥ 12 LN examined (N0 vs. N1)		0,02	3-year survival 39%/22% 5-year survival 29%/13%	N.A.	N.A.	
	696	Histological grade (poor or undifferentiated)	239			<0,001	1,63 (1,34-2,05)	
	696	Positive resection margin	194			0,014	1,41 (1,14-1,75)	

Artikel (Autor, Jahr)	n	Prognost. Merkmal	Anzahl der Patienten mit prog. Merkmal	Ergebnisse aus univariater Analyse		Ergebnisse aus multivariater Analyse		Nebenwirkungen durch Sektion des Tumors therapieassoziierte Todes- fälle und Komplikationen (alle in % der behandelten Patienten)
				p-Wert	Median OS HR (95%CI)	p-Wert	HR	
Kurahara 2007	23	pN0 without LN micrometasta- ses vs. with LN micrometas- tasee	10/13	0,041	3-year survival 60%/19,2% 5-year survival 60%/0	N.A.	N.A.	
Mitsunaga 2007	75	Plexus invasion (pre- sent/absent)	49/26	0,007 0,009	Median survival: 371/707 Tage HR 2,2 (1,2-4,1)	N.A.	N.A.	
	49	Predominant mode (nerve bundle invasion vs. peri- neural space invasion and neu- rium invasion)	7/42	0,469 0,005	HR 1,5 (05-4,1) HR 2,4 (1,3-4,5)	N.A.	N.A.	
	49	Deepest mode (nerve bundle invasion vs. peri- neural space invasion and neu- rium invasion)	24/25	0,126 <0,001	HR 1,7 (0,9-3,4) HR 3,2 (1,6-6,3)	<0,001	2,1 (1,2-3,7)	
	49	Number of invaded mode (<3 vs.≥3)	21/28	0,021 0,018	HR 2,2 (1,1-4,4) HR 2,3 (1,2-4,4)	N.A.	N.A.	
	49	Predominant differentiation (well vs. moderate or poor)	28/21	0,053 0,027	HR 1,9 (0,9-3,7) HR 2,9 (1,5-5,9)	N.A.	N.A.	
	49	Nerve thickness invaded (<125 μm vs. ≥125 μm)	17/32	0,103 0,004	HR 1,8 (0,9-3,7) HR 2,6 (1,4-5,0)	N.A.	N.A.	
	49	Cancer thickness (<100 μm vs. ≥100 μm)	25/24	0,005 0,055	HR 2,6 (1,3-5,1) HR 1,9 (0,9-3,8)	N.A.	N.A.	
	49	Distance to main tumor (<2500 μm vs. ≥2500 μm)	20/29	0,011 0,028	HR 2,5 (1,2-5,0) HR 2,1 (1,1-4,0)	N.A.	N.A.	
	49	Distance to pancreatic capsule (<2500 μm vs. ≥2500 μm)	26/23	0,149 <0,001	HR 1,6 (0,8-3,2) HR 4,8 (2,3-10,3)	<0,001	3,2 (1,7-6,0)	

Artikel (Autor, Jahr)	n	Prognost. Merkmal	Anzahl der Patienten mit prog. Merkmal	Ergebnisse aus univariater Analyse		Ergebnisse aus multivariater Analyse		Nebenwirkungen durch Sektion des Tumors therapieassoziierte Todes- fälle und Komplikationen (alle in % der behandelten Patienten)
				p-Wert	Median OS HR (95%CI)	p-Wert	HR	
	49	Number of plexus invasion (<6 vs. ≥6)	22/27	0,030 0,012	HR 2,1 (1,1-4,2) HR 2,3 (1,2-4,5)	N.A.	N.A.	
	75	Invasive tumor size (≤3,0 cm vs. >3 cm)	38/37	<0,001	Ref HR 2,7 (1,6-4,6)	0,007	2,2 (1,2-3,8)	
	75	Predominant differentiation (well and moderate vs. poor)	65/10	0,199	Ref HR 1,6 (0,8-3,2)	N.A.	N.A.	
	75	Lowest differentiation (well and moderate vs. poor)	37/38	0,907	Ref HR 1,0 (0,6-1,7)	N.A.	N.A.	
	75	Retroperitoneal invasion (0, 1 vs. 2, 3)	31/44	0,260	Ref HR 1,4 (0,8-2,3)	N.A.	N.A.	
	75	Lymph vessel invasion (0, 1 vs. 2, 3)	52/23	0,038	Ref HR 1,8 (1,0-3,0)	0,116	1,6 (0,9-2,8)	
	75	Blood vessel invasion (0, 1 vs. 2, 3)	8/67	0,111	Ref HR 1,9 (0,9-4,2)	N.A.	N.A.	
	75	Intrapancreatic neural invasion (0, 1 vs. 2, 3)	21/54	0,243	Ref HR 1,4 (0,8-2,6)	N.A.	N.A.	
	75	UICC pT (pT3 vs pT1 or pT2)	71/4	0,002	HR 5,7 (1,9-17,1)	N.A.	N.A.	
	75	UICC pN (pN0 vs. pN1)	12/63	0,018	HR 2,6 (1,2-5,8)	0,100	2,0 (0,9-4,7)	
	75	UICC pStage (IA, IB, IIA vs. IIB, III, IV)	15/60	0,095	HR 1,8 (0,9-3,6)	N.A.	N.A.	
	75	Tumor necrosis (absent vs. present)	52/23	0,004	HR 2,2 (1,3-3,7)	0,027	1,9 (1,1-3,3)	
	75	Fibrotic focus (absent vs. pre- sent)	33/42	0,293	HR 1,3 (0,8-2,2)	N.A.	N.A.	

Artikel (Autor, Jahr)	n	Prognost. Merkmal	Anzahl der Patienten mit prog. Merkmal	Ergebnisse aus univariater Analyse		Ergebnisse aus multivariater Analyse		Nebenwirkungen durch Sektion des Tumors therapieassoziierte Todes- fälle und Komplikationen (alle in % der behandelten Patienten)
				p-Wert	Median OS HR (95%CI)	p-Wert	HR	
	75	Portal vein invasion (absent vs. present)	57/18	0,863	HR 1,1 (0,6-1,9)	N.A.	N.A.	
	75	Portal vein invasion (absent vs. present)	41/34	0,152	HR 0,7 (0,4-1,2)	N.A.	N.A.	
Pawlik 2007	905	Tumor size ≥2 cm		0,03	HR 1,36 (1,12- 1,64)	0,04	1,24 (1,01-1,51)	Perioperative Mortalität (inner- halb von 30 Tagen post op): 1,9%
	749	Perineural invasion present	682	0,10	HR 1,33 (0,95- 1,86)	0,46	1,14 (0,80-1,64)	
	698	Microvascular invasion present	357	0,39	HR 1,03 (0,55- 1,92)	0,94	0,99 (0,81-1,22)	
	868	Tumor differentiation (well vs. moderate vs. poor)	26 449 393	0,04 0,001	1,00 1,81 (1,03-3,18) 3,09 (1,75-5,44)	0,30 0,02	1,00 1,55 (0,68-3,53) 2,57 (1,13-5,86)	
	905	R1 resection		0,01	HR 1,34 (1,14- 1,58)	0,14	1,16 (0,95-1,42)	
	905	Positive LN (N1) vs. N0	718/187	0,001 0,001	HR 1,56 (1,26- 1,93) 16,5/25,3 Monate	N.A.	N.A.	
	187	N0 patients <12 LN examined vs. ≥12 LN examined		0,09	Median survival 22,1/33,2 Monate	N.A.	N.A.	
	718	N1 patients <12 LN examined vs. ≥12 LN examined		0,82	5-year survival 10,4% / 13,3%	N.A.	N.A.	
	905	Total no. of nodes evaluated		0,42	HR 1,00 (0,99- 1,01)	N.A.	N.A.	
	905	LNR (0 vs. >0-0,2 vs. >0,2-0,4 vs.	187 366 198	0,02 0,001 0,01	1,00 1,33 (1,03-1,34) 21,7 Monate 1,71 (1,31-2,22)	0,02 0,001	1,00 1,32 (1,03-1,68) 1,77 (1,36-2,30)	

Artikel (Autor, Jahr)	n	Prognost. Merkmal	Anzahl der Patienten mit prog. Merkmal	Ergebnisse aus univariater Analyse		Ergebnisse aus multivariater Analyse		Nebenwirkungen durch Sektion des Tumors therapieassoziierte Todes- fälle und Komplikationen (alle in % der behandelten Patienten)
				p-Wert	Median OS HR (95%CI)	p-Wert	HR	
		>0,4	154	0,001 0,001 0,001	15,3 Monate 2,24 (1,70-2,91) 12,8 Monate	0,001	2,55 (1,75-2,70)	
Raut 2007	360	Resection status (R0 vs. R1)	300/60	0,026	27,8 (22,7-33) / 21,5 (17,3-25,6) Monate HR 1,42 (1,04- 1,93)	N.A.	N.A.	Perioperative Mortalität: 0,8% Major complications: 25,8%
	360	SMA margin only (R0 vs. R1)	307/53	0,14	HR 1,28 (0,92- 1,78)	N.A.	N.A.	
	360	N0 vs. N1	174/186	0,002	Median survival 31,9 (24,8-39,1) / 21,6 (18-25,1) Monate HR 1,46 (1,15- 1,87)	0,001	1,55 (1,21-1,99)	
	360	Tumor size (cm)	360	0,95	1,00 (0,89-1,11)	N.A.	N.A.	
	60	R1 and Tumor size (cm)		0,002	OR 1,50 (1,16- 1,93)	0,009	OR 1,42 (1,09-1,84)	
	60	R1 and N1		0,26	OR 1,38 (0,79- 2,42)	N.A.	N.A.	
Zacharias 2007	81	LNs resected: <20/≥20	36/45	0,920	20/16 Monate	N.A.	N.A.	Perioperative Mortalität: 1,2% 41 postoperative Komplikatio- nen in 32 (39,5%) Patienten.
	81	LNs invaded: 0-1/≥2	41/40	<0,0001	43/12 Monate	0,0001	≥2 vs. 0-1: 4,2 (2,4-7,5)	
	81	Tumor size: ≤30 mm/>30 mm	42/39	0,025	28/14 Monate	0,018	>30 vs. ≤30 mm: 1,9 (1,1- 3,1)	

Artikel (Autor, Jahr)	n	Prognost. Merkmal	Anzahl der Patienten mit prog. Merkmal	Ergebnisse aus univariater Analyse		Ergebnisse aus multivariater Analyse		Nebenwirkungen durch Sektion des Tumors therapieassoziierte Todes- fälle und Komplikationen (alle in % der behandelten Patienten)
				p-Wert	Median OS HR (95%CI)	p-Wert	HR	
Hellan 2008	81	Portal vein invasion: no/yes	63/18	0,048	22/12 Monate	N.A.	N.A.	
	81	Tumor differentiation: well moderately poorly	17 48 16	0,541	12 Monate 22 Monate 14 Monate	N.A.	N.A.	
	81	TNM pT-stage: pT1 or 2/pT3	8/73	0,341	32/16 Monate	N.A.	N.A.	
Hellan 2008	1915	Lymph nodes: 1-10 10-20 >20	1365	<0,0001	OS: 15 Monate 3-yr-survival: 22% (20-25) 5-yr-survival: 15% (12-17) OS: OS: 20 Monate 3-yr-survival: 33% (28-38) 5-yr-survival: 24% (20-29) OS: 23 Monate 3-yr-survival: 40% (28-51) 5-yr-survival: 32% (21-44)	N.A.	N.A.	
			452					
			98					
	675	Stage I -lymph nodes: 1-10 10-20 >20	471	0,007	OS: 18 Monate 3-yr-survival: 26% (21-31) 5-yr-survival: 19% (14-23) OS: 25 Monate 3-yr-survival: 40% (31-48) 5-yr-survival: 31% (23-40) OS: 41 Monate	N.A.	N.A.	
			171					
			33					

Artikel (Autor, Jahr)	n	Prognost. Merkmal	Anzahl der Patienten mit prog. Merkmal	Ergebnisse aus univariater Analyse		Ergebnisse aus multivariater Analyse		Nebenwirkungen durch Sektion des Tumors therapieassoziierte Todes- fälle und Komplikationen (alle in % der behandelten Patienten)
				p-Wert	Median OS HR (95%CI)	p-Wert	HR	
					3-yr-survival: 56% (33-74) 5-yr-survival: NA			
	1240	Stage IIA -lymph nodes: 1-10	894		OS: 14 Monate 3-yr-survival: 20% (17-23) 5-yr-survival: 13% (10-15) OS: 18 Monate 3-yr-survival: 28% (22-35) 5-yr-survival: 20% (15-27) OS: 21 Monate 3-yr-survival: 34% (21-47) 5-yr-survival: 27% (15-41)	N.A.	N.A.	
			10-20	281				
			>20	65				
Hellan 2008	675	Stage I – LN number: 10		0,002	HR 0,71 (0,57- 0,89)	N.A.	N.A.	
	1240	Stage IIA - lymph nodes: 0-16/>16		<0,0001	Median survival: 15/24 Monate HR 0,61 (0,48- 0,78)	N.A.	N.A.	
	1915	Lymph nodes: 0-16/>16		<0,0001	Median survival: 16/27 Monate HR 0,65 (0,53- 0,80)	N.A.	N.A.	
	1915	Lymph nodes: >10 vs. ≤10				<0,000 1	0,75 (0,67-0,86)	
	675	Stage I – LN: >10 vs. ≤10				<0,000 1	0,69 (0,56-0,86)	
	1240	Stage IIA – LN: >10 vs. ≤10				<0,000	0,79 (0,68-0,93)	

Artikel (Autor, Jahr)	n	Prognost. Merkmal	Anzahl der Patienten mit prog. Merkmal	Ergebnisse aus univariater Analyse		Ergebnisse aus multivariater Analyse		Nebenwirkungen durch Sektion des Tumors therapieassoziierte Todes- fälle und Komplikationen (alle in % der behandelten Patienten)
				p-Wert	Median OS HR (95%CI)	p-Wert	HR	
					1			
1915	Stage I vs. stage IIA				<0,000 1	1,000 /1,31 (1,16-1,47)		
1915	Tumor size: ≤20 mm vs. >20mm vs. unknown				<0,000 1 0,003	1,00 1,32 (1,15-1,51) 1,35 (1,11-1,66)		
1915	Grade: well moderate poor/undifferentiated unknown				0,003 <0,000 0,28	1,00 1,33 (1,10-1,61) 1,66 (1,37-2,03) 1,17 (0,88-1,54)		
Hellan 2008	675	Stage I - Tumor size: ≤20 mm vs. >20mm vs. unknown			0,01 0,06	1,00 1,34 (1,07-1,69) 1,37 (0,99-1,89)		
	675	Stage I -Grade: well moderate poor/undifferentiated unknown			0,0007 <0,000 1 0,13	1,00 1,85 (1,30-2,63) 2,15 (1,47-3,13) 1,45 (0,90-2,34)		
	1240	Stage IIA - Tumor size: ≤20 mm vs. >20mm vs. unknown			0,005 0,01	1,00 1,27 (1,08-1,51) 1,39 (1,07-1,79)		
	1240	Stage IIA - Grade: well moderate poor/undifferentiated unknown			0,33 0,002 0,75	1,00 1,12 (0,89-1,40) 1,45 (1,15-1,83) 1,06 (0,97-0,99)		
Slidell 2008	3941	Extent of disease (confined to the pancreas vs. local extension vs. distant metastases)	585 3000 356	<0,001 <0,001	1,00 1,48 (1,33-1,64) 2,79 (2,40-3,24)	0,004 <0,001	1,00 1,25 (1,07-1,46) 1,84 (1,48-2,30)	
	3649	Tumor grade (grade I vs. II vs. III and IV)	428 1904 1317	<0,001 <0,001	1,00 1,31 (1,16-1,48) 1,83 (1,61-2,08)	0,001 <0,001	1,00 1,29 (1,11-1,51) 1,77 (1,51-2,07)	

Artikel (Autor, Jahr)	n	Prognost. Merkmal	Anzahl der Patienten mit prog. Merkmal	Ergebnisse aus univariater Analyse		Ergebnisse aus multivariater Analyse		Nebenwirkungen durch Sektion des Tumors therapieassoziierte Todes- fälle und Komplikationen (alle in % der behandelten Patienten)		
				p-Wert	Median OS HR (95%CI)	p-Wert	HR			
4005	Tumor size (≤ 2 cm vs. > 2 cm vs. complete data vs. missing data)		669	<0,001	1,00	<0,001	1,00			
			2749		1,57 (1,42-1,73)		1,45 (1,29-1,63)			
3478	Number of positive lymph nodes (complete data vs. missing data)		587	<0,001 <0,001	0,99 (0,99-0,99)	<0,001	0,98 (0,97-0,99)			
					1,13 (1,01-1,27)					
Takao 2008	Lymph node status (N0 vs. N1)		1507	<0,001	1,00	<0,001	1,00			
			1971		1,44 (1,33-1,55) Median survival 18/12 Monate 5-yr survival 11,3% / 4,3%		1,30 (1,16-1,47)			
1507	LNR (0 vs. $>0-0,2$ vs. $>0,2-0,4$ vs. $>0,4$		1507	<0,001 <0,001 <0,001	1,00	<0,001 <0,001 <0,001	1,00			
			696		1,24 (1,12-1,38)		1,24 (1,10-1,42)			
101	Resection margin (R0 vs. R1 vs. R2)		60/30/11	<0,0001	1,45 (1,30-1,62)	N.A.	1,50 (1,31-1,71)			
			612		1,92 (1,73-2,14)		1,82 (1,59-2,07)			
101	Type of resection (ER vs. CR)		40/61	<0,001	Median survival 16/23 Monate	N.A.	N.A.			
					3-year survival 39%/0/0					
					5-year survival 26%/0/0					
					5-year survival 26,2%/10,8%					

Artikel (Autor, Jahr)	n	Prognost. Merkmal	Anzahl der Patienten mit prog. Merkmal	Ergebnisse aus univariater Analyse		Ergebnisse aus multivariater Analyse		Nebenwirkungen durch Sektion des Tumors therapieassoziierte Todes- fälle und Komplikationen (alle in % der behandelten Patienten)
				p-Wert	Median OS HR (95%CI)	p-Wert	HR	
	72	pStage IIA/IIB (ER vs. CR)	31/41	0,04	5-year survival 30,6%/8,2% 10-year survival 19,1%/0	N.A.	N.A.	
Boggi 2009	99 (SG) ⁷³	Tumor invasion (no vs. yes)	64/ 44		1,3,5 year sur- vival: 66%/ 53%, 20%/ 16%, 17%/5/ Median: 17 (10- 24) / 14 (10-18) Monate	0.03	risk of death due to cancer was 2.2 fold higher in pa- tients with tumour invasion reaching the tunica intima	
	76 (IVR) ⁷⁴		47/19		1,3,5 year sur- vival: 70%/56%, 20%/14%, 15%/14% Median: 20 (13- 27) / 15 (12-18) Monate			
	57 (SG)	Tumor invasion (limited to the tunica adventia or media vs. invasion reaching tunica intima)	34 / 23		1,3,5 year survi- val: 64%/ 40%, 23% / 4%, 11%/4% Median: 20 (13- 27) / 11 (6-16) Monate	N.A.	N.A.	

⁷³ Patients with pancreatectomy with resection of peripancreatic vessels

⁷⁴ Isolated vein resection

Artikel (Autor, Jahr)	n	Prognost. Merkmal	Anzahl der Patienten mit prog. Merkmal	Ergebnisse aus univariater Analyse		Ergebnisse aus multivariater Analyse		Nebenwirkungen durch Sektion des Tumors therapieassoziierte Todes- fälle und Komplikationen (alle in % der behandelten Patienten)
				p-Wert	Median OS HR (95%CI)	p-Wert	HR	
	???(IVR)	Superficial vs. deep tumor invasion	N.A.		1,3,5 year survival: 64% / 46%, 20% / 8%, 16% / 8% Median: 16 (9-23) / 12 (3-21) Monate	N.A.	N.A.	
Campbell 2009	163	RM status: R0 R1 ‚equivocal‘ R1 ‚unequivocal‘	35 57 71		25,4 (10,5-40,8) 15,4 (11,3-18,2) 12,6 (9,2-14,3) Monate (median survival)	N.A.	N.A.	30-day mortalities: 4 (2%)
		Tumor size		0,010	1,020 (1,005-1,036)	0,049	1,016 (1,000-1,033)	
	163	Poor tumor differentiation (analysed against well/moderate)	53	0,007	1,660 (1,152-2,392)	0,075	1,428 (0,965-2,112)	
		LNR (lymph node ratio)		<0,001	4,679 (2,003-10,930)	0,011	3,116 (1,304-7,444)	
	163	Resection margin positive	128	0,015	1,747 (1,117-2,734)	0,132	1,443 (0,896-2,324)	
Chang 2009	365	Tumor stage (IA/IB vs. IIA/IIB)	35/330	0,0432	Median DDS 21,8/15,6 Monate	N.A.	N.A.	30-day mortality: 4,1%
	365	Tumor differentiation (well/moderate vs. poor)	267/98	0,2559	Median DDS 17,1/16,2 Monate	N.A.	N.A.	

Artikel (Autor, Jahr)	n	Prognost. Merkmal	Anzahl der Patienten mit prog. Merkmal	Ergebnisse aus univariater Analyse		Ergebnisse aus multivariater Analyse		Nebenwirkungen durch Sektion des Tumors therapieassoziierte Todes- fälle und Komplikationen (alle in % der behandelten Patienten)
				p-Wert	Median OS HR (95%CI)	p-Wert	HR	
	365	Tumor location (head vs. body/tail)	295/70	0,0013	Median DDS 18,3/11,6 Monate	N.A.	N.A.	
	365	Tumor size (\leq 20 mm vs. >20 mm)	84/281	<0,0001	Median DDS 27,9/15,5 Monate	N.A.	N.A.	
	365	Margins, 0 mm (clear vs. in- volved)	233/132	0,0003	Median DDS 19,6/13,2 Monate 3-year survival 28% / 16,1% 5-year survival 15,5% / 3,9%	N.A.	N.A.	
	365	Margins \leq 0,5 mm (clear >0,5 mm vs. clear by 0-0,5 mm vs. involved)	200/33/132	0,0004 0,7969 0,1250	Median survival 19,6/20,7/13,2 Monate 3-year survival 28/26,9/16,1% 5-year survival 16,6/0/3,9%	N.A.	N.A.	
Chang 2009	365	Margins \leq 1 mm (clear >1 mm vs. clear by 0-1 mm vs. in- volved)	177/56/132	0,0005 0,7867 0,0429	Median survival 18,5/19,8/13,2 Monate 3-year survival 27,5/29,2/16,1% 5-year survival 17,6/5,3/3,9%	N.A.	N.A.	
	365	Margins \leq 1,5 mm (clear >1,5 mm vs. clear by 0-1,5 mm vs. involved)	169/64/132	0,0005 0,6445 0,0413	Median survival 18,4/22,4/13,2	N.A.	N.A.	

Artikel (Autor, Jahr)	n	Prognost. Merkmal	Anzahl der Patienten mit prog. Merkmal	Ergebnisse aus univariater Analyse		Ergebnisse aus multivariater Analyse		Nebenwirkungen durch Sektion des Tumors therapieassoziierte Todes- fälle und Komplikationen (alle in % der behandelten Patienten)
				p-Wert	Median OS HR (95%CI)	p-Wert	HR	
					Monate 3-year survival 28,9/25/16,1% 5-year survival 18,5/4,6/3,9%			
	365	Margins ≤2 mm (clear >2 mm vs. clear by 0-2 mm vs. involved)	155/78/132	0,0019 0,6078 0,0039	Median survival 17,9/22,4/13,2 Monate 3-year survival 27,5/28,6/16,1% 5-year survival 16,7/11,2/3,9%	N.A.	N.A.	
	365	Lymph nodes (negative vs. positive)	148/217	0,0003	Median DDS 22/15,1 Monate	N.A.	N.A.	
Chang 2009	365	Perineural invasion (negative vs. positive)	109/256	0,0020	Median DDS 21,4/16,2 Monate	N.A.	N.A.	
	365	Vascular invasion (negative vs. positive)	202/163	0,0147	Median DDS 18,8/16,2 Monate	N.A.	N.A.	
	365	R1 = 0 mm Tumor location (body/tail) Tumor size (>20 mm) Margin involvement (positive) LN metastases (positive) Vascular invasion (positive)				0,0018 0,0013 0,0019 0,0003 0,0177	1,62 (1,19-2,18) 1,63 (1,21-2,19) 1,48 (1,15-1,89) 1,58 (1,23-2,03) 1,34 (1,05-1,70)	
	365	R1 = 1,5 mm Tumor location (body/tail) Tumor size (>20 mm) Margin involvement (positive)				0,0006 0,0020 0,0130	1,69 (1,25-2,29) 1,60 (1,19-2,16) 1,36 (1,07-1,74)	

Artikel (Autor, Jahr)	n	Prognost. Merkmal	Anzahl der Patienten mit prog. Merkmal	Ergebnisse aus univariater Analyse		Ergebnisse aus multivariater Analyse		Nebenwirkungen durch Sektion des Tumors therapieassoziierte Todes- fälle und Komplikationen (alle in % der behandelten Patienten)
				p-Wert	Median OS HR (95%CI)	p-Wert	HR	
		LN metastases (positive) Vascular invasion (positive)				0,0002 0,0296	1,62 (1,26-2,07) 1,31 (1,03-1,66)	
Massucco 2009	77	Tumordurchmesser (≤ 2 vs. >2 cm)	17 / 60	0.005	28.5/15 Monate	0.001	HR 1.681 (1.230-2.403)	
	59 (nur node- pos.)		14/45	0.022	24 / 14 Monate	0.019	HR 1.483 (1.065-2.151)	
	77	pT (pT 1-2 vs. pT3)	7 / 70	0.063	22.5 / 16 Monate	N.A.	N.A.	
	59 (nur node- pos.)		4 / 55	0.143	23 / 14.5 Monate			
	77	Node status (pN0 vs. pN1)	18 / 59	0.024	20 / 15.5 Monate	0.014	HR (95% CI): 2.051 (1.146–3.953)	
	77	TNM stage (Ib vs. IIa vs. IIb)	3/15/69	0.065	25/19.5/15.5 Monate	k.A.	k.A.	
	77	Node level (0 vs. ≤ 1 vs. >1)	18/26/33	0.007	20/22/13.5 Mo- nate	0.002	HR (95% CI):1.651 (1.190– 2.332)	
	59 (nur node- pos.)	Node level (1 vs. >1)	26/33	0.012	22/13.5 Monate	0.013	HR (95% CI): 2.179 (1.175–4.136)	

Artikel (Autor, Jahr)	n	Prognost. Merkmal	Anzahl der Patienten mit prog. Merkmal	Ergebnisse aus univariater Analyse		Ergebnisse aus multivariater Analyse		Nebenwirkungen durch Sektion des Tumors therapieassoziierte Todes- fälle und Komplikationen (alle in % der behandelten Patienten)
				p-Wert	Median OS HR (95%CI)	p-Wert	HR	
Massucco 2009	77	No. of positive nodes (0 vs. ≤2 vs. >2)	18/21 /38	0.001	20/23/14 Monate	0.002	1.093 ;(95%-CI: 1.034– 1.158)	
	59 (nur node- pos.)	No. of positive nodes (≤2 vs. >2)	21/38	0.002	23/14 Monate	0.018	2.238 (1.147–4.626)	
	77	Node ratio (0 vs. ≤10% vs. >10%)	18/19/40	0.002	20/22.5/14 Mo- nate	0.002	1.093 (95%-CI: 1.034– 1.158)	
	59 (nur node- pos.)	Node ratio (≤10% vs. >10%)						
Massucco 2009	77	Resected vein infiltration (yes vs. no)	12/65	0.135	13/18 Monate	N.A.	N.A.	
	59 (nur node- pos.)		7/52	0.139	9.5/16 Monate			
	77	Microscopic vein invasion (yes vs. no)	42/35	0.992	16/17 Monate	N.A.	N.A.	
	59 (nur node- pos.)		35/24	0.994	15/15.5 Monate	N.A.	N.A.	
	77	Perineural invasion (yes vs. no)	58/19	0.538	15.5/18 Monate	N.A.	N.A.	
Massucco 2009	59 (nur node- pos.)							

Artikel (Autor, Jahr)	n	Prognost. Merkmal	Anzahl der Patienten mit prog. Merkmal	Ergebnisse aus univariater Analyse		Ergebnisse aus multivariater Analyse		Nebenwirkungen durch Sektion des Tumors therapieassoziierte Todes- fälle und Komplikationen (alle in % der behandelten Patienten)
				p-Wert	Median OS HR (95%CI)	p-Wert	HR	
	pos.)		44/15	0.438	14/16 Monate	N.A.	N.A.	
	77	R status (R0 vs. R1)	59/18	0.003	19/13 Monate	0.018	2.101 (95%-CI: 1.142– 3.735)	
	59 (nur node- pos.)		43/16	0.008	18/11 Monate	0.013	2.314 (1.184–4.407)	
Menon 2009	27	Resections status (R1 vs. R0)	22/5	0,046		N.A.	N.A.	
	27	Tumor size (<2,5 cm vs. ≥2,5 cm)	6/21	0,908		N.A.	N.A.	
	27	pN stage (N0 vs. N1)	4/23	0,495		N.A.	N.A.	
	27	Number of positive LN (<5 vs.≥5)	15/12	0,499		N.A.	N.A.	
	27	Positive LNR (≤0,1 vs. >0,1)	10/17	0,867		N.A.	N.A.	
Riediger 2009	182	Resection margin (negative vs. positive)	128/54	0,003	3-year survival 25% / 10% 5-year survival 19% / 7%	N.A.	N.A.	Operative Mortalität: 3,9%
	179	Grading (G1/2 vs. G3/4)	110/69	<0,03	3-year survival 23% / 16% 5-year survival 19% / 10%	N.A.	N.A.	
	172	LNR <0,2 vs. ≥0,2	121/51	0,003	3-year survival 24% / 12% 5-year survival	N.A.	N.A.	

Artikel (Autor, Jahr)	n	Prognost. Merkmal	Anzahl der Patienten mit prog. Merkmal	Ergebnisse aus univariater Analyse		Ergebnisse aus multivariater Analyse		Nebenwirkungen durch Sektion des Tumors therapieassoziierte Todes- fälle und Komplikationen (alle in % der behandelten Patienten)
				p-Wert	Median OS HR (95%CI)	p-Wert	HR	
					19% / 6%			
	172	LNR <0,3 vs. ≥0,3	140/32	<0,001	3-year survival 24% / 4% 5-year survival 18% / 0%	N.A.	N.A.	
	176	Tumor size (≤30 mm vs. >30 mm)	82/94	0,19	3-year survival 21% / 19% 5-year survival 14% / 16%	N.A.	N.A.	
Riediger 2009	180	Nodal disease (N0 vs. N+)	61/119	0,22	3-year survival 24% / 18% 5-year survival 19% / 13%	N.A.	N.A.	
	173	No. of involved LN (0 or 1 vs. >1)	87/86	<0,04	3-year survival 24% / 16% 5-year survival 21% / 9%	N.A.	N.A.	
	171	No. of examined LN (≤15 vs. >15)	85/86	0,78	3-year survival 22% / 19% 5-year survival 17% / 14%	N.A.	N.A.	
	117	No. of examined LN (≤15 vs. >15) in <i>node positive</i> patients	55/62	0,77	3-year survival 21% / 14% 5-year survival 16% / 10%	N.A.	N.A.	
	54	No. of examined LN (≤15 vs. >15) in <i>node negative</i> patients	30/24	0,82	3-year survival 24% / 28% 5-year survival 18% / 23%	N.A.	N.A.	
	117	LNR in <i>node positive</i> patients LNR <0,2 vs. ≥0,2	66/51	<0,02	3-year survival 22% / 12% 5-year survival 17% / 6%	N.A.	N.A.	

Artikel (Autor, Jahr)	n	Prognost. Merkmal	Anzahl der Patienten mit prog. Merkmal	Ergebnisse aus univariater Analyse		Ergebnisse aus multivariater Analyse		Nebenwirkungen durch Sektion des Tumors therapieassoziierte Todes- fälle und Komplikationen (alle in % der behandelten Patienten)
				p-Wert	Median OS HR (95%CI)	p-Wert	HR	
Bhatti 2010	117	LNR in <i>node positive</i> patients LNR <0,3 vs. ≥0,3	85/32	<0,001	3-year survival 22% / 4% 5-year survival 17% / 0%	N.A.	N.A.	
	166	Model 1 Poor grading (G3/4) Positive margins LNR ≥0,2				0,029 0,011 0,017	RR 1,5 (1,1-2,1) RR 1,7 (1,1-2,4) RR 1,6 (1,1-2,3)	
	166	Model 2 Poor grading (G3/4) Positive margins LNR ≥0,3				0,04 0,034 <0,001	RR 1,5 (1,0-2,1) RR 1,5 (1,0-2,3) RR 2,2 (1,4-3,6)	
	84	LNR 0 >0-0,199 0,2-0,299 ≥0,3	27 19 12 26	<0,001	46,3 (26,5-66,1) 26,8 (10,3-43,3) 8,1 (7,6-8,5) 5,9 (0,5-11,3) Monate	N.A.	N.A.	Perioperative Mortalität: 3,8% (Diese Patienten wurden in die survival-Analyse nicht einge- schlossen.)
	84	R0 R1	49 35	<0,001	23,2 (9,3-37,0) 7,1 (3,6-10,7) Monate	N.A.	N.A.	
	84	N0 N1	29 55	<0,001	30,7 (25,5-36,0) 9,8 (7,8-12,0) Monate	N.A.	N.A.	
	84	Tumor size: ≤20 mm >20 mm without invasion >20 mm with invasion	6 20 58	0,017	34,0 (1,0-100,6) 26,8 (5,6-48,0) 10,5 (8,9-12,1) Monate	N.A.	N.A.	
	84	Tumor differentiation: moderate poor	60 24	0,947	13,5 (11,3-15,7) 10,0 (5,2-14,8) Monate	N.A.	N.A.	
	84	LNR group 1: <0,2 ≥0,2	46 38	<0,001	35,7 (15,0-56,5) 8,1 (6,1-10,1) Monate	N.A.	N.A.	

Artikel (Autor, Jahr)	n	Prognost. Merkmal	Anzahl der Patienten mit prog. Merkmal	Ergebnisse aus univariater Analyse		Ergebnisse aus multivariater Analyse		Nebenwirkungen durch Sektion des Tumors therapieassoziierte Todes- fälle und Komplikationen (alle in % der behandelten Patienten)
				p-Wert	Median OS HR (95%CI)	p-Wert	HR	
Chen 2010	84	LNR group 2: <0,3 ≥0,3	58 26	<0,001	29,6 (12,1-47,1) 5,9 (0,5-11,3) Monate	N.A.	N.A.	
	84	State 1: Tumor size Positive margin LN involved LNR ≥0,2				0,73 0,70 0,20 0,05	0,9 (0,2-2,8) 0,8 (0,4-1,9) 0,6 (0,3-1,3) 1,8 (1,1-2,2)	
	84	State 2: Tumor size Positive margin LN involved LNR ≥0,3				0,56 0,27 0,06 0,01	0,7 (0,2-2,4) 0,6 (0,3-1,4) 2,0 (1,3-3,7) 2,7 (1,6-4,4)	
Chen 2010	96	Pancreatic adenocarcinoma vs. other periampullary malignan- cies	60/36	<0,002	1-year survival 62% / 83% 3-year survival 31% / 69% 5-year survival 27% / 61%	N.A.	N.A.	In-hospital/30-day deaths: 3,6%
	88	Tumor size (<2 cm vs. 2-3 cm vs. >3 cm)	25/35/28	<0,03	1-year survival 80% / 66% / 65% 3-year survival 67% / 27% / 41% 5-year survival 67% / 21% / 35%	N.A.	N.A.	
	78	Resection margin (>2 mm vs. ≤2 mm)	50/28	<0,01	1-year survival 76% / 58% 3-year survival 54% / 29% 5-year survival 51% / 23%	N.A.	N.A.	
	92	Tumor differentiation (good/moderate/poor)	12/47/33	<0,01	1-year survival 83% / 73% / 57% 3-year survival 73% / 51% / 23% 5-year survival 73% / 44% / 19%	N.A.	N.A.	

Artikel (Autor, Jahr)	n	Prognost. Merkmal	Anzahl der Patienten mit prog. Merkmal	Ergebnisse aus univariater Analyse		Ergebnisse aus multivariater Analyse		Nebenwirkungen durch Sektion des Tumors therapieassoziierte Todes- fälle und Komplikationen (alle in % der behandelten Patienten)
				p-Wert	Median OS HR (95%CI)	p-Wert	HR	
	96	Nodal metastases (no/yes)	56/40	<0,003	1-year survival 76% / 62% 3-year survival 54% / 35% 5-year survival 51% / 22%	N.A.	N.A.	
Chen 2010	96	Lymphovascular invasion (no/yes)	61/35	<0,002	1-year survival 75% / 61% 3-year survival 60% / 23% 5-year survival 51% / 23%	N.A.	N.A.	
	96	Perineural invasion (no/yes)	45/51	<0,0001	1-year survival 84% / 58% 3-year survival 72% / 21% 5-year survival 69% / 14%	N.A.	N.A.	
	60	Pancreatic adenocarcinoma lymphovascular/perineural -/- lymphovascular/perineural +/- lymphovascular/perineural +/+ lymphovascular/perineural -/+	12 17 24 7			<0,02	5-year survival rates 71% 0 16% 22%	
Fatima 2010	617	T stage: T1 T2 T3/T4	51 140 426	<0,001	OR 11,6 (2,78- 48,41) – associ- ated with positive margin	0,29 0,06	1,000 (Reference) 1,25 (0,83-1,87) 1,44 (0,98-2,11) risk of death	
	616	positive lymph nodes	334	0,02	OR 1,59 (1,09- 2,33) associ- ated with positive margin	<0,001	1,45 (1,19-1,77) risk of death	

Artikel (Autor, Jahr)	n	Prognost. Merkmal	Anzahl der Patienten mit prog. Merkmal	Ergebnisse aus univariater Analyse		Ergebnisse aus multivariater Analyse		Nebenwirkungen durch Sektion des Tumors therapieassoziierte Todes- fälle und Komplikationen (alle in % der behandelten Patienten)
				p-Wert	Median OS HR (95%CI)	p-Wert	HR	
	617	R0 en bloc R0 non-en bloc R1 R2	411 57 127 22	N.A.	19 Monate 18 Monate 15 Monate 10 Monate	0,72 0,08 0,002	1,000 (Reference) 1,06 (0,76-1,47) 1,26 (0,98-1,62) 2,15 (1,31-3,52) risk of death	
	617	R1 vs. R0	127	0,003	1,40 (1,12-1,76) risk of death 1,40 (1,13-1,75) risk of recurrence or death	N.A.	N.A.	
	617	R2 vs. R0	22	<0,001	2,28 (1,45-3,59) risk of death 2,20 (1,39-3,46) risk of recurrence or death	N.A.	N.A.	
	617	Moderate differentiation Poor differentiation Dedifferentiation				<0,001 <0,001	1,000 (Reference) 1,62 (1,23-2,13) 2,12 (1,53-2,95) risk of death	
	149	Location of positive margin: Uncinate (SMA) margin Portal vein groove Pancreatic neck Peripancreatic soft tissue Common bile duct	110 50 32 13 4	0,09 0,81 <0,001 <0,001 <0,001	risk of death 1,24 (0,97-1,60) 1,05 (0,72-1,53) 1,97 (1,38-2,81) 1,97 (1,38-2,81) 1,97 (1,38-2,81)	N.A.	N.A.	
Fatima 2010	149	Location of positive margin: Uncinate (SMA) margin Portal vein groove Pancreatic neck Peripancreatic soft tissue Common bile duct	110 50 32 13 4	0,05 0,89 <0,001 <0,001 <0,001	risk of recurrence or death 1,27 (1,00-1,63) 1,02 (0,72-1,46) 1,87 (1,32-2,65) 1,87 (1,32-2,65) 1,87 (1,32-2,65)	N.A.	N.A.	
Fujita 2010	50	Tumor size (≤ 4 cm vs. > 4 cm)	33/17	NS	1-yr survival 86,7%/79,2% 5-yr survival 24,0%/16,4%	N.A.	N.A.	In-hospital deaths: 0

Artikel (Autor, Jahr)	n	Prognost. Merkmal	Anzahl der Patienten mit prog. Merkmal	Ergebnisse aus univariater Analyse		Ergebnisse aus multivariater Analyse		Nebenwirkungen durch Sektion des Tumors therapieassoziierte Todes- fälle und Komplikationen (alle in % der behandelten Patienten)
				p-Wert	Median OS HR (95%CI)	p-Wert	HR	
Fujita 2010	50	Serosal invasion (negative vs. positive)	38/12	NS	1-yr survival 83,2%/82,2% 5-yr survival 20,6%/10,4%	N.A.	N.A.	
	50	Retropancreatic tissue invasion (negative vs. positive)	17/33	NS	1-yr survival 81,3%/82,2% 5-yr survival 27,5%/10,4%	N.A.	N.A.	
	50	Splenic vein invasion (negative vs. positive)	26/24	NS	1-yr survival 82,9%/88,2% 5-yr survival 28,9%/0,0	N.A.	N.A.	
	50	Splenic artery invasion (neg- ative vs. positive)	37/13	NS	1-yr survival 100%/81,1% 5-yr survival 20,7%/0,0	N.A.	N.A.	
Kato 2010	50	Extrapancreatic nerve plexus invasion (negative vs. positive)	35/15	0,0067	1-yr survival 88,2%/76,9% 5-yr survival 26,6%/0,0	N.A.	N.A.	
	50	Lymphatic invasion (negative vs. positive)	33/17	NS	1-yr survival 89,5%/72,9% 5-yr survival 20,6%/15,2%	N.A.	N.A.	
	50	Venous invasion (negative vs. positive)	19/31	NS	1-yr survival 82,5%/81,9% 5-yr survival 36,1%/12,0%	N.A.	N.A.	
	50	Intrapancreatic nerve invasion (ne0, 1 vs. ne2, 3) nega- tive/positive	23/27	0,0246	1-yr survival 84,5%/85,2% 5-yr survival 36,2%/6,7%	0,86	0,912 (0,315-2,367)	
	50	Differentiation (well vs. moder- ate or poor)	14/36	0,0183	1-yr survival 100%/77,6% 5-yr survival 36,7%/9,1%	0,26	0,570 (0,210-1,548)	

Artikel (Autor, Jahr)	n	Prognost. Merkmal	Anzahl der Patienten mit prog. Merkmal	Ergebnisse aus univariater Analyse		Ergebnisse aus multivariater Analyse		Nebenwirkungen durch Sektion des Tumors therapieassoziierte Todes- fälle und Komplikationen (alle in % der behandelten Patienten)
				p-Wert	Median OS HR (95%CI)	p-Wert	HR	
50	Lymph node metastasis (negative vs. positive)	20/30	0,012	1-yr survival 86,7%/83,9% 5-yr survival 43,8%/0,0	0,05	0,387 (0,139-1,035)		
	Less than 3 metastasis in nodes attached to the pancreas				0,03	0,349 (0,134-0,906)		
Gaedcke 2010	130	All cancers (UICC vs. RCP)	65/65	Classification into R0 49,2%/29,2% R1/R2 50,8%/70,8%				Mortality (30 days) 2006-2008: 0
	92	Pancreatic ductal adenocarcinoma (UICC vs. RCP)	46/46	R0 37%/17,4% R1/R2 63%/82,6%				
	24	Distal bile duct adenocarcinoma (UICC vs. RCP)	12/12	R0 83,3%/58,3% R1/R2 16,7%/41,7%				
	14	Periampullary adenocarcinoma (UICC vs. RCP)	7/7	R0 71,4%/57,1% R1/R2 28,6%/42,9%				
	130	Site of R1 Mesopancreas Pancreatic transection margin Anterior Posterior Groove of SMV SMV (n=17) Duodenum oral	UICC vs. RCP 22/27 4/11 2/18 1/13 ¼ 7/8 2/2	UICC vs. RCP 56,4%/32,5% 10,3%/13,3% 5,1%/21,7% 2,6%/15,7% 2,6%/4,8% 17,9%/9,6% 5,1%/2,4%				

Artikel (Autor, Jahr)	n	Prognost. Merkmal	Anzahl der Patienten mit prog. Merkmal	Ergebnisse aus univariater Analyse		Ergebnisse aus multivariater Analyse		Nebenwirkungen durch Sektion des Tumors therapieassoziierte Todes- fälle und Komplikationen (alle in % der behandelten Patienten)
				p-Wert	Median OS HR (95%CI)	p-Wert	HR	
	130	No. of infiltrated sites						
Jamieson 2010		1	UICC vs. RCP 26/22		UICC vs. RCP 78,8%/47,8%			
		2	7/14		21,2%/30,4%			
		3	0/8		0/17,4%			
		4	0/1		0/2,2%			
		5	0/1		0/2,2%			
	148	Tumor stage (T2 vs. T3)	14/134	0,01	Median survival 36,2 (26,9- 45,5)/16,2 (13,4- 19,3) Monate 2,20 (1,20-4,02)		2,11 (1,15-3,28)	In-hospital mortality 13/161 (8,1%)
	148	Lymph node status (N0 vs. N1)	28/120	0,01	Median survival 21,8 (2,8- 40,8)/16,7 (14,3- 19,3) Monate 1,51 (0,91-2,51)	N.A.	N.A.	
	148	Tumor size (\leq 30 mm vs. >30 mm)	85/63	0,011	Median survival 19,6 (15,8- 23,5)/13,5 (8,4- 19,1) Monate 1,63 (1,12-2,36)		1,55 (1,07-2,25)	
	148	Tumor grade (low vs. high)	99/49	0,005	Median survival 19,6 (16,5- 22,8)/12,9 (8,7- 17,4) Monate 2,14 (1,44-3,15)		2,22 (1,51-3,28)	
	148	Perineural invasion (no/yes)	11/137	0,82	Median survival 36,2 (26,9- 45,5)/16,2 (13,4- 19,3) Monate	N.A.	N.A.	

Artikel (Autor, Jahr)	n	Prognost. Merkmal	Anzahl der Patienten mit prog. Merkmal	Ergebnisse aus univariater Analyse		Ergebnisse aus multivariater Analyse		Nebenwirkungen durch Sektion des Tumors therapieassoziierte Todes- fälle und Komplikationen (alle in % der behandelten Patienten)
				p-Wert	Median OS HR (95%CI)	p-Wert	HR	
	148	Lymphatic invasion (no/yes)	109/39	0,52	Median survival 17,8 (15,5- 20,2)/16,3 (12,2- 20,5) Monate	N.A.	N.A.	
	148	Venous invasion (no/yes)	75/73	0,005	Median survival 20,9 (15,8- 26,1)/15,4 (12,1- 18,6) Monate 1,18 (0,81-1,72)	N.A.	N.A.	
	148	Resection margin status (R0 vs. R1)	39/109	0,01	Median survival 26,5 (21,1- 31,9)/15,4 (13- 17,8) Monate 1,76 (1,15-2,68)		1,73 (1,13-2,63)	
Jameson 2010	109	R1-Mobilisation (ant. + post. pancreatic surface and duode- nal serosal margin) vs. R1-Transection (medial circum- ferential pancreatic margin requiring tissue transection)	48/61	<0,0001	18,9 Monate (13,1-24,8) / 11,1 Monate (7,1-15,1)		2,76 (2,12-3,91)	
	109	Multiple margins (1 vs. 2 vs. ≥3)	63/39/7	0,032	Median survival 16,8 (14,6- 18,9)/12,3 (10- 14,6)/8,4 (7,9-9) Monate	N.A.	N.A.	
		Mobilization margin (posterior v. anterior surface vs. duodenal serosa)	21/14/1	0,25	Median survival 28,3 (12,3- 44,8)/19,8 (13,8- 26,2)/23,2 (---) Monate	N.A.	N.A.	

Artikel (Autor, Jahr)	n	Prognost. Merkmal	Anzahl der Patienten mit prog. Merkmal	Ergebnisse aus univariater Analyse		Ergebnisse aus multivariater Analyse		Nebenwirkungen durch Sektion des Tumors therapieassoziierte Todes- fälle und Komplikationen (alle in % der behandelten Patienten)
				p-Wert	Median OS HR (95%CI)	p-Wert	HR	
		Transection margin (medial vs. pancreatic transaction)	21/7	0,8	Median survival 11,5 (5,3- 25,5)/6,7 (4,6- 8,7) Monate	N.A.	N.A.	
	109	Tumor margin clearance (at margin vs. present within 1 mm)	84/25	0,81	Median survival 13,9 (10,8- 17,1)/15,4 (9,9- 20,8) Monate	N.A.	N.A.	
Kanda 2010	51	invasion of SA (Milzarterie) (ja/nein)	17/34	0.0067	5.6 /14 Monate	0.0196	OR 2.611	
	72	invasion of SA vs. unresectable cases	17/55	0.3384	5.6/5.7 Monate	N.A.	N.A.	
	51	invasion of SV (Milzvene)	24/27	0.3626	10.4/11.7 Mo- nate	0.0173		
	79	invasion of SV vs. unresectable cases	24/55	0.0044	10.4/5.7 Monate	N.A.	N.A.	
	51	Tumordurchmesser (\geq 2cm)		0.4184	OR 1.429 (95%- CI 0.602-3.390)	N.A.	N.A.	
	51	anterior serosal invasion		0.0077*	OR 2.950 (95%- CI 1.332-6.536)	N.A.	N.A.	
	51	Tumor location (tail)		0.1987	OR 1.513 (95%- CI 0.805-2.841)	N.A.	N.A.	
	51	Tumor differentiation (poor)		0.1453	OR 1.733 (95%- CI 0.826-3.636)	N.A.	N.A.	

Artikel (Autor, Jahr)	n	Prognost. Merkmal	Anzahl der Patienten mit prog. Merkmal	Ergebnisse aus univariater Analyse		Ergebnisse aus multivariater Analyse		Nebenwirkungen durch Sektion des Tumors therapieassoziierte Todes- fälle und Komplikationen (alle in % der behandelten Patienten)
				p-Wert	Median OS HR (95%CI)	p-Wert	HR	
	51	Retroperitoneal invasion		0.3876	OR 1.348 (95%- CI 0.685–2.653)	N.A.	N.A.	
	51	Splenic artery invasion		0.0005*	OR 3.155 (95%- CI 1.661–5.988)	2.611	OR 2.611 (95%-CI: 1.256- 11.028)	
	51	Splenic vein invasion		0.1458	OR 1.529 (95%- CI 0.863–2.710)	N.A.	N.A.	
	51	Perineural invasion		0.1070	OR 2.0490(95%- CI 856–4.902)	N.A.	N.A.	
	51	Lymph node metastasis		0.0153*	OR 2.331(95%- CI 1.176–4.608)	0.0532	OR 2.037 (95%-CI 0.990- 4.184)	
	51	Lymph vessel invasion		0.9529	OR 0.978(95%- CI 0.459–2.083)	N.A.	N.A.	
	51	Peritoneal washing cytology		0.0749	OR 2.392 (95%- CI 0.916–6.250)	N.A.	N.A.	
	51	Infiltration at margins		0.5412	OR 1.222(95%- CI 0.642–2.326)	N.A.	N.A.	
Konstan- tinidis 2010	517	N0 vs. N1	168/349	<0,001	Median survival 30,8/16,4 Monate 5-year survival 31%/9%	N.A.	N.A.	
	349	One positive node vs.2 positive nodes vs. >2 positive nodes	89/79/181	<0,001	Median survival 22,3/16/15 Mo- nate	N.A.	N.A.	
	349	LNR (<0,2 vs. ≥0,2)	168/181	<0,001	Median surival 22/14 Monate	<0,000 1		

Artikel (Autor, Jahr)	n	Prognost. Merkmal	Anzahl der Patienten mit prog. Merkmal	Ergebnisse aus univariater Analyse		Ergebnisse aus multivariater Analyse		Nebenwirkungen durch Sektion des Tumors therapieassoziierte Todes- fälle und Komplikationen (alle in % der behandelten Patienten)
				p-Wert	Median OS HR (95%CI)	p-Wert	HR	
		Tumor size ≥ 3 cm		<0,0001		0,003		
		Differentiation		0,044		0,003		
		Perivasculär invasion		0,0002		0,06		
		Lymphatic invasion		0,0047		0,19		
		R0		<0,0001		0,005		
Murakami 2010	103	Lymphknotenmetastasen ja/nein	72/31	5-Jahres Über- lebens-rate: 0.001	5-Jahres Über- lebens-rate: 5/42 %	N.A.	N.A.	
	76	para-aortic Lymphknotenmetastasen ja/nein	18/85	5-Jahres Über- lebensrate: 0.001	5-Jahres Über- lebensrate: 0/23% median survival (post-OP): 13/22 Monate	survi- val: 0.078	HR (95% CI): 1.84/1.00 (0.28–1.07)	
Murakami 2010	103	kein Lymphknoten-be- fall/Lymph-knotenbefall ohne para-aortic lymph node-Beteili- gung/ Lymph-knotenbefall mit para-aortic lymph node-Beteili- gung	31/54/18		median survival (post-OP):30/15 /12,4 Monate	N.A.	N.A.	
	103	Tumogröße (< 2cm vs. ≥ 2 cm)	16/87	0.089	5-Jahres Über- lebensrate: 53%/14%	N.A.	N.A.	

Artikel (Autor, Jahr)	n	Prognost. Merkmal	Anzahl der Patienten mit prog. Merkmal	Ergebnisse aus univariater Analyse		Ergebnisse aus multivariater Analyse		Nebenwirkungen durch Sektion des Tumors therapieassoziierte Todes- fälle und Komplikationen (alle in % der behandelten Patienten)
				p-Wert	Median OS HR (95%CI)	p-Wert	HR	
	103	Tumordifferenzierung (well vs. moderate and poor)	30/73	0.037	5-Jahres Überlebensrate: 32%/15%	0.091	1.00/1.82 (0.27-1.01)	
	103	Anterior serosal invasion (ja/nein)	60/43	0.236	5-Jahres Überlebensrate 8%/27%	N.A.	N.A.	
	103	Retroperitoneal tissue invasion (ja/nein)	74/29	0.040	5-Jahres Überlebensrate 0/41%	0.520	1.22/1.00 (0.45-1.50)	
	103	Choledochal invasion (ja/nein)	47/56	0.075	5-Jahres Überlebensrate 0/29%	N.A.	N.A.	
	103	Duodenal invasion (ja/nein)	38/65	0.504	5-Jahres Überlebensrate 12/25%	N.A.	N.A.	
	103	Portal or splenic vein invasion (ja/nein)	33/70	0.002	5-Jahres Überlebensrate 0/27%	0.299	1.37/1.00 (0.40-1.32)	
	103	Extrapancreatic nerve plexus invasion (ja/nein)	31/72	<0.001	5-Jahres Überlebensrate 0/28%	0.041	1.93/1.00 (1.03-3.62)	
	103	surgical margin (positiv vs. negativ)	36/67	<0.001	5-Jahres Überlebensrate 8/27%	0.925	1.03/1.00 (0.52-1.81)	
	103	UICC pT (pT1,2 vs. pT 3)	19/84	0.003	5-Jahres Überlebensrate	N.A.	N.A.	

Artikel (Autor, Jahr)	n	Prognost. Merkmal	Anzahl der Patienten mit prog. Merkmal	Ergebnisse aus univariater Analyse		Ergebnisse aus multivariater Analyse		Nebenwirkungen durch Sektion des Tumors therapieassoziierte Todes- fälle und Komplikationen (alle in % der behandelten Patienten)
				p-Wert	Median OS HR (95%CI)	p-Wert	HR	
					59%/0			
103	UICC stage (IA, IB vs. IIA, IIB, III, IV)	11/92	<0.001	5-Jahres Über- lebensrate: 72%/0	N.A.	N.A.		
119	No. of examined lymph nodes: <28/≥28	56/63	5-Jahres Über- lebensrate: <0,694	5-Jahres Über- lebensrate: 22%/20%	N.A.	N.A.	30-day postoperative mortality: 0% In-hospital mortality: 0%	
119	Lymph node status: nega- tive/positve	40/79	5-Jahres Über- lebensrate: <0.001	5-Jahres Über- lebensrate: 39%/6 %	0,008	2,57 (1,28-5,15)		
119	No. of metastatic lymph nodes: 0 or 1 / 2 or more	56/63	5-Jahres Über- lebensrate: <0.001	5-Jahres Über- lebensrate: 40%/0% 1-Jahres-Überle- bensrate: 91%/66% 3-Jahres-Überle- bensrate: 48%/10%	0,004	2,51 (1,34-4,71).		
119	Lymph node ratio: <0,1 / ≥0,1	75/44	<0,001	5-Jahres Über- lebensrate: 31%/0%	0,051	1,74 (0,99-3,02)		

Artikel (Autor, Jahr)	n	Prognost. Merkmal	Anzahl der Patienten mit prog. Merkmal	Ergebnisse aus univariater Analyse		Ergebnisse aus multivariater Analyse		Nebenwirkungen durch Sektion des Tumors therapieassoziierte Todes- fälle und Komplikationen (alle in % der behandelten Patienten)
				p-Wert	Median OS HR (95%CI)	p-Wert	HR	
	119	Lymph node ratio: <0,2 / ≥0,2	95/24	<0,001	5-Jahres Überlebensrate: 26%/0%	0,166	1,60 (0,82-3,11)	
	119	Tumogröße (< 2cm vs. ≥ 2cm)	19/100	0.086	5-Jahres Überlebensrate: 56%/13%	N.A.	N.A.	
	119	Tumordifferenzierung (well vs. moderate-poor)	45/74	0.015	5-Jahres Überlebensrate: 24%/19%	0,021	2,33 (1,14-4,79)	
	119	Anterior serosal invasion: no/yes	45/74	0.254	5-Jahres Überlebensrate: 26%/14%	N.A.	N.A.	
	119	Retroperitoneal tissue invasion: no/yes	32/87	0.068	5-Jahres Überlebensrate: 38%/0%	N.A.	N.A.	
	119	Choledochal invasion: no/yes	66/53	0.015	5-Jahres Überlebensrate: 28%/12%	N.A.	N.A.	
	119	Duodenal invasion: no/yes	76/43	0.150	5-Jahres Überlebensrate: 26%/14%	N.A.	N.A.	
	119	Portal or splenic vein invasion: no/yes	78/41	0.001	5-Jahres Überlebensrate: 29%/0%	N.A.	N.A.	
	119	Extrapancreatic nerve plexus invasion. no/yes	84/35	<0.001	5-Jahres Überlebensrate:	N.A.	N.A.	

Artikel (Autor, Jahr)	n	Prognost. Merkmal	Anzahl der Patienten mit prog. Merkmal	Ergebnisse aus univariater Analyse		Ergebnisse aus multivariater Analyse		Nebenwirkungen durch Sektion des Tumors therapieassoziierte Todes- fälle und Komplikationen (alle in % der behandelten Patienten)
				p-Wert	Median OS HR (95%CI)	p-Wert	HR	
					28%/0%			
119	resection margin (negative vs. positive)	79/40	0.001	5-Jahres Über- bensrate: 27%/9%	N.A.	N.A.		
119	UICC pT (pT1,2 vs. pT 3,4)	19/100	0.003	5-Jahres Über- bensrate: 53%/12%	N.A.	N.A.		
119	UICC stage (IA, IB vs. IIA, IIB, III, IV)	12/107	0.003	5-Jahres Über- bensrate: 58%/13%	N.A.	N.A.		
Showalter 2008	445	Increased number of positive nodes (NPN)		0,001 0,01	OS HR 1,06 DFS HR 1,05	<0,000 1 0,006	OS 1,08 DFS 1,05	
	445	Increased number of total nodes examined (TNE)		0,07 0,11	OS HR 0,99 DFS HR 0,99	0,0002 0,005	OS 0,98 DFS 0,98	
	445	NPN: 0 1-3 >3		0,0001 0,003 0,0001 0,003 0,0001 0,003	2-yr actuarial OS 47% 2-yr actuarial DFS 33% 2-yr actuarial OS 35% 2-yr actuarial DFS 22% 2-yr actuarial OS 31% 2-yr actuarial DFS 17%	N.A.	N.A.	

Artikel (Autor, Jahr)	n	Prognost. Merkmal	Anzahl der Patienten mit prog. Merkmal	Ergebnisse aus univariater Analyse		Ergebnisse aus multivariater Analyse		Nebenwirkungen durch Sektion des Tumors therapieassoziierte Todes- fälle und Komplikationen (alle in % der behandelten Patienten)
				p-Wert	Median OS HR (95%CI)	p-Wert	HR	
Wasif 2010	5935	"high tumor grade" stage I vs. "low grade" IIA IIB III IV					1,28 (1,07-1,54) 1,43 (1,26-1,61) 1,38 (1,27-1,50) 1,28 (1,02-1,59) 1,58 (1,21-2,05)	
	5935	"high tumor grade" vs. "low tumor grade"					1,40 (1,31-1,48)	
	5935	Node status (negative vs. pos- itive)				<0,001	1,00 1,38 (1,30-1,47)	
	5935	Tumor size (<2 cm vs. >2 cm)				<0,001	1,00 1,37 (1,27-1,48)	
	5935	Tumor grade (low vs. high)				<0,001	1,00 1,40 (1,31-1,48)	
	845	Stage I - Tumor size (<2 cm vs. >2 cm)				0,002	1,00 1,33 (1,11-1,60)	
	845	Stage I - Tumor grade (low vs. high)				0,007	1,00 1,28 (1,07-1,54)	
	1501	Stage IIA - Tumor size (<2 cm vs.>2 cm)				0,001	1,00 1,27 (1,10-1,47)	
	1501	Stage IIA - Tumor grade (low vs. high)				<0,001	1,00 1,43 (1,26-1,61)	
	3140	Stage IIB - Tumor size (<2 cm vs.>2 cm)				<0,001	1,00 1,37 (1,23-1,54)	

Artikel (Autor, Jahr)	n	Prognost. Merkmal	Anzahl der Patienten mit prog. Merkmal	Ergebnisse aus univariater Analyse		Ergebnisse aus multivariater Analyse		Nebenwirkungen durch Sektion des Tumors therapieassoziierte Todes- fälle und Komplikationen (alle in % der behandelten Patienten)
				p-Wert	Median OS HR (95%CI)	p-Wert	HR	
Hartwig 2011	3140	Stage IIB - Tumor grade (low vs. high)		<0,0001	1,00 1,38 (1,27-1,50)	0,032	1,00 1,28 (1,02-1,59)	
	384	Stage III - Tumor grade (low vs. high)						
	270	Stage IV - Tumor grade (low vs. high)						
		Stage IVA (low grade) vs. stage IVB (high grade)			Median survival 8/5 Monate	N.A.	N.A.	
Hartwig 2011	968	T status (Tis/T1/T2 vs. T3 vs. T4)	61/855/52	<0,0001	Median survival 46,4 / 21,5 / 12,1 Monate 5-year survival 39,8% / 12,3% / 0 HR 0,36 (0,23-0,56) / 1 / 1,73 (1,27-2,36)			Mortality (30 day): 2,2%
	968	N-status (N0 vs. N1)	235/733	<0,0001	HR 1 / 1,77 (1,45-2,15)			
	968	No. nodes evaluated (≤ 15 vs. > 15)	246/701	0,8299	HR 1 / 1,02 (0,85-1,22)			
	968	Lymph node ratio (0 vs. $> 0-0,2$ vs. $> 0,2-0,4$ vs. $> 0,4$)	224/414/200/111	<0,0001	Median survival 30,1 / 21,5 / 17,0 / 16,5 Monate 5-year survival			

Artikel (Autor, Jahr)	n	Prognost. Merkmal	Anzahl der Patienten mit prog. Merkmal	Ergebnisse aus univariater Analyse		Ergebnisse aus multivariater Analyse		Nebenwirkungen durch Sektion des Tumors therapieassoziierte Todes- fälle und Komplikationen (alle in % der behandelten Patienten)
				p-Wert	Median OS HR (95%CI)	p-Wert	HR	
					25,4% / 12,2% / 6,6% / 1,7%			
					HR 1 / 1,51 (1,21-1,88) / 1,91 (1,49-2,44) / 2,24 (1,69-2,96)			
	968	M-status (M0 vs. M1)	888/80	<0,0001	Median survival 23,2 /12,1 Monate 5-year survival 14% / 0 HR 1 / 2,44 (1,88-3,18)			
	968	R status (R0 old vs. R0 revised vs. R1 old vs. R1 revised vs. R2)	258/233/50/372/4 9	<0,0001	Median survival 21,9 / 30,9 / 19,6 / 19,7 / 10,8 Monate HR 1 / 0,69 (0,54-0,87) / 1,07 (0,77-1,48) / 1,15 (0,82-1,61) / 1,91 (1,38-2,65)			
Hartwig 2011	968	Grading (G1 vs. G2 vs. G3/4)	29/619/269	<0,0001	Median survival 43,5 / 23,4 / 15,2 Monate 5-year survival 36,0% / 11,4% / 6,3% HR 0,44 (0,27- 0,73) / 1 / 1,53 (1,28-1,83)			

Artikel (Autor, Jahr)	n	Prognost. Merkmal	Anzahl der Patienten mit prog. Merkmal	Ergebnisse aus univariater Analyse		Ergebnisse aus multivariater Analyse		Nebenwirkungen durch Sektion des Tumors therapieassoziierte Todes- fälle und Komplikationen (alle in % der behandelten Patienten)
				p-Wert	Median OS HR (95%CI)	p-Wert	HR	
	968	AJCC stage (0/IA/IB vs. IIA vs. IIB vs. III vs. IV)	49/165/630/80/44	<0,0001	Median survival --- / 29,8 / 21,4 / 14,2 / 12,1 Monate 5-year survival 58,4% / 23,6% / 9,6% / 0 / 0			
	809	T status Tis/T1/T2 vs. T3 T4 vs. T3				0,0292 0,0005	0,57 (0,34-0,95) 1,83 (1,30-2,57)	
	809	Lymph node ratio (>0,2 vs. 0/≤0,2)				0,0021	1,34 (1,11-1,61)	
	809	Distant metastasis (M1 vs. M0)				<0,000 1	1,88 (1,39-2,54)	
	809	R status (R0 revised vs. R0 old/R1/R2)				0,0005	0,64 (0,50-0,83)	
	809	Grading G1 vs. G2 G3/4 vs. G2				0,0012 <0,000 1	0,40 (0,23-0,69) 1,57 (1,29-1,90)	
La Torre 2011	101	Tumor differentiation (G1-G2 vs. G3-G4)	54/47	0,08	Median survival 36/10 Monate	0,0509	2,3426 (1,0010-5,4822) Exp(b)	Perioperative Mortalität: 6% Overall morbidity: 34,6% (ab- dominal complications 28,7%)
	101	Lymph node involvement (no vs. yes)	38/63	0,05	Median survival 40/18 Monate 5-year survival 46,5% / 19,2%	0,4529	1,5568 (0,4930-4,9162) Exp(b)	

Artikel (Autor, Jahr)	n	Prognost. Merkmal	Anzahl der Patienten mit prog. Merkmal	Ergebnisse aus univariater Analyse		Ergebnisse aus multivariater Analyse		Nebenwirkungen durch Sektion des Tumors therapieassoziierte Todes- fälle und Komplikationen (alle in % der behandelten Patienten)
				p-Wert	Median OS HR (95%CI)	p-Wert	HR	
	101	Resection margin involvement (no vs. yes)	71/30	0,0002	Median survival 38/9 Monate 5-year survival 48,3% / 0	0,0015	2,3718 (1,1439-4,9177) Exp(b)	
	101	Tumor size (<3 cm vs. >3 cm)	29/72	0,09	Median survival 38/20 Monate	0,3956	1,8469 (0,4516-7,5526) Exp(b)	
	101	LNR (<0,2 vs. >0,2)	71/30	0,001	Median survival 40/13 Monate	0,0076	4,8766 (1,0715-22,193) Exp(b)	
	101	Tumor grade (G1/G2/G3/G4)	9/49/39/4	0,05	5-year survival 51,2%/35,1%/30, 5%/0 Median survival 38/30/12/6 Monate	N.A.	N.A.	
	101	pT1/pT2/pT3/pT4	12/16/65/7	0,07	5-year survival 98,1%/29,3%/22, 4%/0 Median survival 41/38/20/6 Monate	N.A.	N.A.	
		1a / 1b / 2a / 2b / 3 / 4		0,009	5-year survival 98,2%/80,5%/36, 1%/10,8%/0/0	N.A.	N.A.	
		LNR 0 / 0-0,199 / 2-0,399 / >0,4		0,001	Median survival 40,2 / 30,5 / 18,1 / 13,6 Monate	N.A.	N.A.	

Artikel (Autor, Jahr)	n	Prognost. Merkmal	Anzahl der Patienten mit prog. Merkmal	Ergebnisse aus univariater Analyse		Ergebnisse aus multivariater Analyse		Nebenwirkungen durch Sektion des Tumors therapieassoziierte Todes- fälle und Komplikationen (alle in % der behandelten Patienten)
				p-Wert	Median OS HR (95%CI)	p-Wert	HR	
Lee 2011	48	Overt LN metastasis (yes vs. no)	31/17	0,05	median survival 16,3/27,8 Monate	N.A.	N.A.	
	48	LN micrometastasis (yes vs. no)	21/27	0,008	median survival 12,8/27,3 Monate	N.A.	N.A.	
	17	No overt LN metastasis + no LN micrometastasis vs. no overt LN metastasis + LN micrometasta- sis	12/5	<0,001	median survival 35,9/8,6 Monate	N.A.	N.A.	
	48	pN1 vs pN0 micrometastasis + vs. pN0 micrometastasis -	31/5/12	0,008	OS: 19,7 (±9,7)/7,6 (±2,1)/25,5 (±13) Monate DFS: 11,3 (±8,2)/3,4 (±1,6)/17,2 (±9,2) Monate	N.A.	N.A.	
Pai 2011-	122	Ndi vs. N0	35/97	Median Sur- vival: P=0.609	21 (19-?) /30 (24-52) Monate 5-Jahres-OS: 36/31%	N.A.	N.A.	
	345	N0 vs. N1	97/248	Median Surv- ival: P<0.001	30 (24-52) /15 (13-24) Monate 5-Jahres- OS:31/8%	N.A.	N.A.	
	77	N1 (1-2) vs. Ndi	42/35	Median Sur- vival: P=0.056 (nicht statist. sign.)	15 (11-31) /21 (19-?) Monate	N.A.	N.A.	

Artikel (Autor, Jahr)	n	Prognost. Merkmal	Anzahl der Patienten mit prog. Merkmal	Ergebnisse aus univariater Analyse		Ergebnisse aus multivariater Analyse		Nebenwirkungen durch Sektion des Tumors therapieassoziierte Todes- fälle und Komplikationen (alle in % der behandelten Patienten)
				p-Wert	Median OS HR (95%CI)	p-Wert	HR	
Sahin 2011	380	Tumogröße < 2 cm vs. ≥ 2 cm	47/333	0.057	17/16	0.80		
		Grade (well or moderately/poorly differentiated)	27/188/165	0.067	17/15	0.16		
		Tumorränder (Negativ/Positiv)	259/121	<0.001	19/14	<0.001		
Sahin 2011	85	Metastasen in ≥ 5 vs. < 5 Lymphknoten (LN)	?	0.046	5.6/11.5 Monate (Body; n=70)	0.0015	3.93 (1.69 - 9.15)	
		ratio ≥ 0.2 vs. < 0.2 Metastasierter Lymphknoten	?	0.007	5.6/12.8 Monate (Tail; n=15)	0.014	2.99 (1.25 - 7.12)	
		mit Lymphknotenmetastasen vs. ohne Lymphknotenmetastasen	40/45	0.007	11.4/15.8 Monate	N.A.	N.A.	
		benachbarte LN vs. involvement of distant LN	?	0.99	12.8/10.7	N.A.	N.A.	
		ohne LN-Metastasen vs LN ratio < 0.2	?	0.25 (N.S.)	N.A.	N.A.	N.A.	
		poor tumor differentiation (body/tail)	70/15	P<0.0001	N.A.	0.0002 /0.011	4.11/2.89 (1.94 - 8.71/1.27 - 6.57)	
		duodenal invasion (body/tail)	70/15	0.0008	N.A.	0.87/0.69	0.82/1.57 (0.08 - 8.03/ 0.17 - 14.78)	

Artikel (Autor, Jahr)	n	Prognost. Merkmal	Anzahl der Patienten mit prog. Merkmal	Ergebnisse aus univariater Analyse		Ergebnisse aus multivariater Analyse		Nebenwirkungen durch Sektion des Tumors therapieassoziierte Todes- fälle und Komplikationen (alle in % der behandelten Patienten)
				p-Wert	Median OS HR (95%CI)	p-Wert	HR	
		arterial system invasion (body/tail)	70/15	0.025	N.A.	0.09/ 0.2	1.37/7.21 (0.67 - 2.82/0.36 - 3.14)	
		extrapancreatic nerve plexus invasion (body/tail)	70/15	0.013	N.A.	0.13/ 0.33	1.67/1.43 (0.86 - 3.24/ 0.70-2.92)	
Shimada 2011	153	Tumor size: ≤3,5 cm	79	0,003	13 (8,3-17,7) Mo 5-year-S: 29% HR 1,763 (1,217- 2,554) 7 (5,2-8,8) Mo 5-year-S: 7%	N.A.	N.A.	k. A.
		>3,5 cm)	74					
	153	Serosal invasion: absent	115	0,181	10 (7,0-13,0) Mo 5-year-S: 19% HR 1,318 (0,879- 1,977) 8 (4,4-11,6) Mo 5-year-S: 11%	N.A.	N.A.	
		present	38					
	153	Duodenal invasion: absent	72	0,302	12 (6,7-17,3) Mo 5-year-S: NR HR 1,216 (0,839- 1,764) 7 (4,8-9,2) Mo 5-year-S: 17%	N.A.	N.A.	
		present	81					
	153	LN metastases: absent	36	0,000	----	0,001	2,489 (1,437-4,312)	
		present	117					
	153	Wide retroperitoneal invasion: absent	44	0,001	19 (8,9-29,4) Mo 5-year-S: 19% HR 2,041 (1,299- 3,206)	N.A.	N.A.	

Artikel (Autor, Jahr)	n	Prognost. Merkmal	Anzahl der Patienten mit prog. Merkmal	Ergebnisse aus univariater Analyse		Ergebnisse aus multivariater Analyse		Nebenwirkungen durch Sektion des Tumors therapieassoziierte Todes- fälle und Komplikationen (alle in % der behandelten Patienten)
				p-Wert	Median OS HR (95%CI)	p-Wert	HR	
		present	109		7 (4,8-9,2) Mo 5-year-S: 11%			
Shimada 2011	153	Portal vein invasion: absent	106	0,024	11 (7,9-14,1) Mo 5-year-S: 19% HR 1,579 (1,074- 2,321) 7 (5,5-8,5) Mo 5-year-S: 11%	N.A.	N.A.	
			47					
	153	Extrapancreatic nerve invasion: absent	59	0,000	17 (8,1-25,9) Mo 5-year-S: 32% HR 2,082 (1,392- 3,112) 7 (5,3-8,7) Mo 5-year-S: 8%	N.A.	N.A.	
			94					
	153	Differentiation: well/moderate	129	0,685	10 (6,8-13,2) Mo 5-year-S: 18% HR 0,899 (0,537- 1,505) 6 (2,4-9,6) Mo 5-year-S: 14%	N.A.	N.A.	
			24					
	153	Lymphatic invasion: <2	40	0,001	21,0 Monate 5-year-S: 48% HR 2,317 (1,428- 3,759) 7 (2,0-9,0) Mo 5-year-S: 10%			
			113					
	153	Venous invasion: <2	43	0,007	16 (8,4-23,6) Mo 5-year-S: 32% HR 1,383 (1,181- 2,841) 7 (5,7-8,3) Mo 5-year-S: 11%			
			110					

Artikel (Autor, Jahr)	n	Prognost. Merkmal	Anzahl der Patienten mit prog. Merkmal	Ergebnisse aus univariater Analyse		Ergebnisse aus multivariater Analyse		Nebenwirkungen durch Sektion des Tumors therapieassoziierte Todes- fälle und Komplikationen (alle in % der behandelten Patienten)
				p-Wert	Median OS HR (95%CI)	p-Wert	HR	
Shimada 2011	153	Intrapancreatic nerve invasion: <2	45	0,000	39,0 Monate 5-year-S: 48% HR 2,692 (1,686- 4,298) 7 (5,3-9,0) Mo 5-year-S: 7%	0,001	2,188 (1,360-3,520)	
			≥2	108				
	153	R0	101	0,000	13 (7,5-18,5) Mo 5-year-S: 25% HR 2,136 (1,453- 3,141) 7 (5,0-9,0) Mo 5-year-S: 0%	0,011	1,663 (1,124-2,460)	
		R1	52					

Referenzen

- Bhatti I, Peacock O, Awan AK, et al. Lymph Node Ratio Versus Number of Affected Lymph Nodes as Predictors of Survival for Resected Pancreatic Adenocarcinoma. *World J Surg.* 2010;34:768-775.
- Campbell F, Smith RA, Whelan P, et al. Classification of R1 resections for pancreatic cancer: the prognostic relevance of tumour involvement within 1 mm of a resection margin. *Histopathology.* 2009;55:277-283.
- Chang DK, Johns AL, Merrett ND, et al. Margin Clearance and Outcome in Resected Pancreatic Cancer. *J Clin Oncol.* 2009;27:2855-2862.
- Chen JWC, Bhandari M, Astill DS, et al. Predicting patient survival after pancreaticoduodenectomy for malignancy: histopathological criteria based on perineural infiltration and lymphovascular invasion. *HPB.* 2010;12:101-108.
- Fatima J, Schnelldorfer T, Barton J, et al. Pancreatoduodenectomy for Ductal Adenocarcinoma: Implications of Positive Margin on Survival. *Arch Surg.* 2010;145(2):167-172.
- Garcea G, Dennison AR, Ong SL, Pattenden CJ, Neal CP, et al. Tumour characteristics predictive of survival following resection for ductal adenocarcinoma of the head of pancreas. *Eur J Surg Oncol.* 2007;33(7):892-7.
- Gaedcke J, Gunawan B, Grade M, et al. The mesopancreas is the primary site for R1 resection in pancreatic head cancer: relevance for clinical trials. *Langenbecks Arch Surg* 2010; 395: 451-458.
- Hartwig W, Hackert T, Hinz U, et al. Pancreatic cancer surgery in the new millennium. Better prediction of outcome. *Annals of Surgery* 2011; 254 (2): 311-319.
- Hellan M, Sun CL, Artinyan A, et al. The Impact of Lymph Node Number on Survival in Patients With Lymph Node-Negative Pancreatic Cancer. *Pancreas.* 2008;37:19-24.
- House MG, Gönen M, Jarnagin WR, et al. Prognostic Significance of Pathologic Nodal Status in Patients with Resected Pancreatic cancer. *J Gastrointest Surg.* 2007;11:1549-1555.
- Jamieson NB, Foulis AK, Oien KA, et al. Positive Mobilization Margins Alone Do Not Influence Survival Following Pancreatico-Duodenectomy for Pancreatic Ductal Adenocarcinoma. *Ann Surg.* 2010;251:1003-1010.
- Kanda M, Fujii T, Sahin TT, Kanzaki A, Nagai S, et al. Invasion of the splenic artery is a crucial prognostic factor in carcinoma of the body and tail of the pancreas. *Ann Surg.* 2010;251(3):483-7.
- Kanda M, Fujii T, Nagai S, Kodera Y, Kanzaki A, et al. Pattern of lymph node metastasis spread in pancreatic cancer. *Pancreas* 2011;40(6):951-5.
- Konstantinidis IT, Deshpande V, Zheng H, et al. Does the Mechanism of Lymph Node Invasion Affect Survival in Patients with Pancreatic Ductal Adenocarcinoma? *J Gastrointest Surg.* 2010;14:261-267.
- Kurahara H, Takao S, Maemura, et al. Impact of Lymph Node Micrometastasis in Patients with Pancreatic Head Cancer. *World J Surg.* 2007;31:483-490.
- La Torre M, Cavallini M, Ramacciato G, et al. Role of the Lymph Node Ratio in Pancreatic Ductal Adenocarcinoma. Impact on Patient Stratification and Prognosis. *J Surg Oncol.* 2011;104:629-633.
- Lee SE, Jang JY, Kim MA, Kim SW. Clinical Implications of Immunohistochemically Demonstrated Lymph Node Micrometastasis in Resectable Pancreatic Cancer. *J Korean Med Sci.* 2011;26:881-885.
- Massucco P, Ribero D, Sgotto E, Mellano A, Muratore A, Capussotti L. Prognostic significance of lymph node metastases in pancreatic head cancer treated with extended lymphadenectomy: not just a matter of numbers. *Ann Surg Oncol.* 2009;16(12):3323-32.
- Massucco P, Ribero D, Sgotto E, Mellano A, Muratore A, Capussotti L. Prognostic significance of lymph node metastases in pancreatic head cancer treated with extended lymphadenectomy: not just a matter of numbers. *Ann Surg Oncol.* 2009;16(12):3323-32.

- Menon KV, Gomez D, Smith AM, et al. Impact of margin status on survival following pancreateoduodenectomy for cancer: the Leeds Pathology Protocol (LEPP). *HPB*. 2009;11:18-24.
- Mitsunaga S, Hasebe T, Kinoshita T, et al. Detail Histologic Analysis of Nerve Plexus Invasion in Invasive Ductal Carcinoma of the Pancreas and Its Prognostic Impact. *Am J Surg Pathol*. 2007;31:1636-1644.
- Murakami Y, Uemura K, Sudo T, Hashimoto Y, Yuasa Y, Sueda T. Prognostic impact of para-aortic lymph node metastasis in pancreatic ductal adenocarcinoma. *World J Surg*. 2010;34(8):1900-7.
- Murakami Y, Uemura K, Sudo T, et al. Number of Metastatic Lymph Nodes, but Not Lymph Node Ratio, Is an Independent Prognostic Factor after Resection of Pancreatic Carcinoma. *J Am Coll Surg*. 2010;211:196-204.
- Pai RK, Beck AH, Mitchem J, Linehan DC, Chang DT, et al. Pattern of lymph node involvement and prognosis in pancreatic adenocarcinoma: direct lymph node invasion has similar survival to node-negative disease. *Am J Surg Pathol*. 2011;35(2):228-34.
- Raut CP, Tseng JF, Sun CC, et al. Impact of Resection Status on Pattern of Failure and Survival After Pancreaticoduodenectomy for Pancreatic Adenocarcinoma. *Ann Surg*. 2007;246:52-60.
- Riediger H, Keck T, Wellner U, et al. The Lymph Node Ratio is the Strongest Prognostic Factor after Resection of Pancreatic Cancer. *J Gastrointest Surg*. 2009;13:1337-1344.
- Pawlak TM, Gleisner AL, Cameron JL, et al. Prognostic relevance of lymph node ratio following pancreaticoduodenectomy for pancreatic cancer. *Surgery*. 2007;141:610-618.
- Sahin TT, Fujii T, Kanda M, Nagai S, Kodera Y, et al. Prognostic implications of lymph node metastases in carcinoma of the body and tail of the pancreas. *Pancreas*. 2011 Oct;40(7):1029-33.
- Shimada K, Nara S, Esaki M, et al. Intrapancreatic Nerve Invasion as a Predictor for Recurrence After Pancreaticoduodenectomy in Patients With Invasive Ductal Carcinoma of the Pancreas. *Pancreas*. 2001;40:464-468.
- Showalter TN, Winter K, Berger AC, et al. Total Nodes Examined (TNE) and Number of Positive Nodes (NPN) Predict Survival in Patients Undergoing Pancreaticoduodenectomy (PD) Followed by Adjuvant Chemoradiation (CRT) for Pancreatic Cancer – A Secondary Analysis of RTOG 9704. *J Radiation Oncology*. 2008;72(1), Supplement.
- Slidell MB, Chang DC, Cameron JL, et al. Impact of Total Lymph Node Count and Lymph Node Ratio on Staging and Survival after Pancreatectomy for Pancreatic Adenocarcinoma: A Large, Population-Based Analysis. *Annals of Surgical Oncology*. 2007;15(1):165-174.
- Takao S, Shinchi H, Maemura K, et al. Survival Benefit of Pancreaticoduodenectomy in a Japanese Fashion for a Limited Group of Patients with Pancreatic Head Cancer. *Hepato-Gastroenterology*. 2008;55:1789-1795.
- Wasif N, Ko CY, Farrell J, et al. Impact of Tumor Grade on Prognosis in Pancreatic Cancer: Should We Include Grade in AJCC Staging? *Ann Surg Oncol*. 2010;17:2312-2320.
- Zacharias T, Jaeck D, Oussoultzoglou E, et al. Impact of Lymph Node Involvement on Long-term Survival after R0 Pancreaticoduodenectomy for Ductal Adenocarcinoma or the Pancreas. *J Gastrointest Surg*. 2007;11:350-356.

Ausgeschlossene Studien (mit Gründen)

Adsay, N. V., O. Basturk, et al. (2009). "The number of lymph nodes identified in a simple pancreateoduodenectomy specimen: comparison of conventional vs orange-peeling approach in pathologic assessment." *Mod Pathol* 22(1): 107-112 (Vergleich zweier verschiedener Methoden Methoden zur Identifizierung von Lymphknoten, keine prognostische Aussage).

Gill, A. J., A. L. Johns, et al. (2009). "Synoptic reporting improves histopathological assessment of pancreatic resection specimens." Pathology **41**(2): 161-167 (Vergleich der Berichtsqualität von Papern aus pathologischen Abteilungen).

Themenkomplex 4:

4.1 Adjuvante und neoadjuvante Therapie

Nachfolgende Evidenztabelle bezieht sich auf folgende Fragen:

4.1.1 Wann besteht eine Indikation zur adjuvanten Chemotherapie nach R0 Resektion eines Pankreaskarzinoms?

Gibt es für Sie eine Altersbeschränkung für die Durchführung einer adjuvanten Chemotherapie?

Gibt es für Sie eine Beschränkung für die Durchführung einer adjuvanten Chemotherapie durch Komorbidität/schlechten Allgemeinzustand?

Falls ja, bis zu welchem ECOG sollte eine adjuvante Chemotherapie durchgeführt werden?

4.1.2. Welche adjuvanten Chemotherapien führen Sie beim Pankreaskarzinom durch?

Dauer der adjuvanten Chemotherapie?

Soll bei Auftreten einer höhergradigen Toxizität während der adjuvanten Chemotherapie auf eine andere Substanz/Kombination gewechselt werden, um eine Gesamttherapiedauer von 6 Monaten zu erreichen?

Ist eine additive Chemotherapie nach R1 Resektion eines Pankreaskarzinoms indiziert?

Insgesamt wurden 16 Studien zum Thema auf der Grundlage des Titel- und Abstractscreenings gefunden. Eingeschlossen wurden vier RCTs mit insgesamt 1675 randomisierten Patienten. Zwei randomisierte vergleichen Wirksamkeit und Sicherheit einer Chemotherapie vs. keine Chemotherapie (Oettle 2007, Ueno 2009) und zwei Studien vergleichen zwei verschiedene Chemotherapien (Yoshitomi 2008, Neoptolemos 2010). Zwei Studien wurden mit dem Evidenzniveau 1b beurteilt, zwei Studien wurden aufgrund fehlender oder breiter Konfidenzintervalle abgewertet (2b bzw. 2b-).

Ausgeschlossen wurden 6 Studien ohne Vergleichsgruppe, 5 Reviews, welche nur ältere Studien oder zwei der vorgestellten Studien einschlossen und eine retrospektive Analyse. Ein elektronisch veröffentlichter systematischer Review (Kocher 2010) konnte in der Volltextversion nicht bestellt werden.

Tabelle 4.1.1/2 a: Studienbeschreibung: Aktuelle Studien zum Einsatz einer adjuvanten Chemotherapie nach R0 Resektion eines Pankreaskarzinoms.

Artikel (Autor, Jahr, Studienname, Journal)	Studien- typ (mono vs. Multi- zentrisch, Arme, N=), Zeit-raum, Land	Patienten- merkmale (CTX Linie, Altersgruppe, Geschlecht, R0/ R1 Resek- tion, UICC-Stadium, ECOG, Komorbiditäten)	Intervention: adjuvante Chemotherapie (CTX) , Zeitfenster für Therapiestart	Vergleichs- Interven- tion (ohne CTX)	Therapie- dauer / Nach- Verfolgung (Monate)	Endpunkte	Verzerrungsrisiko / Be- merkungen	Evidenzstufe (CEBM levels)
Oettle 2007 (CONKO- 001) JAMA	multi- zentrische RCT 2-armig N = 368 07/1998- 12/2004 Germany, Austria	Patienten mit histologisch bestätigtem Pankreaskarzinom, makroskopisch vollständiger Resektion ohne frühere RTX oder CTX, T1-4, N0-1, M0 Alter: Range 34-82 Jahre Männer/Frauen: 57%/43% T1/T2/T3/T4: 4% / 10%/ 82,5% / 3,5% R0/R1: 83% / 17% N0/N1/N2: 28% / 71% / 1% Karnovsky: Range 50-100 Ausschluss bei (Komorbiditäten): patients with active infection, impaired coagulation, transaminases greater than 3 x the upper limit of normal, postoperative tumor markers (CEA/CA19-9) greater than 2,5 x the upper limit of normal, or a history of another malignant disease	Gemcitabine (1000 mg/m ²) - 3 wöchentliche Infusionen, 1 Woche Pause, 6 Zyklen Median time from surgery to start of CTX: 36 Tage (IQR 28-43)	Nur OP mit nach-folgender Beobachtung	Mediane Anz. von Zyklen: 6 (62% erhielten 6 Zyklen) Median follow-up: 53 Monate (9-96)	Primärer Endpunkt: krankheitsfreies Überleben (DFS) Sekundäre Endpunkte: Gesamtüberleben (OS), Toxizitäten, Lebensqualität (Spitzer index)	Generierung der Zufallsfolge: geringes Risiko Verdeckte Therapiezuweisung: geringes Risiko (Briefumschläge / zentral) Verblindung: k. A. Beschreibung von Studienabbrüchen: 14 (7 CTX-Patienten/ 7 Kontrolle-Patienten nicht behandelt da nicht geeignet) ITT-Analyse: ja Cross-over: Patients were withdrawn if they were likely to benefit more from an alternative treatment according to the investigator's discretion (almost all patients in the control group received gemcitabine upon relapse, some patients received subsequent lines of chemotherapy, up to third-line) Studie wurde ursprünglich mit ausschließlich R0 Resektionen geplant; Einschluss von R1 Resektionen nach 9. Patient), Zensierung von 27% der Patienten für OS	1b
Yoshitomi 2008	multi- zentrische	Patienten mit histologisch bestätigtem Pankreas-	GEM + UFT Gemci- tabine (1000 mg/m ²)	GEM Gemcitabine	≥ 4 Zyklen: 60.0%	Primärer End- punkt: krank-	Generierung der Zufallsfolge: geringes Risiko (computer	2b- (fehlende Kon-

Artikel (Autor, Jahr, Studiename, Journal)	Studien- typ (mono vs. Multi- zentrisch, Arme, N=), Zeit-raum, Land	Patienten- merkmale (CTX Linie, Altersgruppe, Geschlecht, R0/ R1 Resek- tion, UICC-Stadium, ECOG, Komorbiditäten)	Intervention: adjuvante Chemotherapie (CTX) , Zeifenster für Therapiestart	Vergleichs- Interven- tion (ohne CTX)	Therapie- dauer / Nach- Verfolgung (Monate)	Endpunkte	Verzerrungsrisiko / Be- merkungen	Evidenzstufe (CEBM levels)
Cancer	RCT 2-armig N = 100 05/2002- 12/2005 Japan	karzinom, makroskopisch vollständiger Resektion ohne frühere RTX oder CTX Alter: 63 Jahre (38-78) Männer/Frauen: 35% /65% UICC I / II / III / IV: 4% / 83% / 3% / 11% R0/R1: 74% / 26% N0/N1: 28% / 72% M0/M1: 89% / 11% Ausschluss bei (Komorbiditäten): patients with carcinoma in situ, with distant metastasis, except minimal para-aortic lymph node metastasis, active infection, significant cardiac disease, brain disease, other active malignancies	– 3 wöchentliche Infusionen, 1 Woche Pause, 4 Zyklen + UFT (uracil/tegafur) 200 mg/Tag kontinuierlich Start innerhalb einer Woche nach Randomisierung Median Zeit von Op bis CTX: 30 Tage	(1000 mg/m ²) – 3 wöchentliche Infusionen, 1 Woche Pause, 4 Zyklen Start innerhalb einer Woche nach Randomisierung Median Zeit von Op bis CTX: 35 Tage	(GEM+UFT) vs. 73.5% (GEM) Median follow-up: 21 Monate (3-57)	heitsfreies Überleben (DFS) Sekundäre Endpunkte: Gesamtüberleben (OS), Toxizitäten	generated) Verdeckte Therapiezuweisung: geringes Risiko (zentral) Verblindung: k. A. Beschreibung von Studienabbrüchen: Ausschluss von 1 GEM-Patienten vor Studienbeginn ITT-Analyse: ja (Ausschluss eines ungeeigneten Patienten in GEM) Zensierung von 43% der Patienten für OS	fidenz-intervalle, kleine Fallzahl)
Ueno 2009 (JSAP-02) British Jour- nal of Can- cer	multi- zentrische RCT 2-armig N = 119 04/2002- 03/2005, Follow-up bis 03/2009	Patienten mit histologisch bestätigtem invasivem duktalen Pankreas-karzinom, makroskopisch vollständiger Resektion ohne frühere RTX oder CTX Alter: 64 Jahre (36-74 Jahre) Männer/Frauen: 63% / 37% UICC I / II / III / IV: 6% / 17% / 36% / 41%	Gemcitabine (1000 mg/m ² an den Tagen 1, 8, 15, Wiederholung nach 4 Wochen, 3 Zyklen), Start innerhalb 3 bis 10 Wochen nach OP	Nur OP	10% discontinued treatment within 1 cycle, 12% after 2 cycles, 76% completed the scheduled 3 cycles of treatment Median follow-up	Primärer Endpunkt: Gesamtüberleben (OS) Sekundäre Endpunkte: KrankheitsfreiesÜberleben (DFS), Toxizitäten	Generierung der Zufallsfolge: geringes Risiko (Minimisation) Verdeckte Therapiezuweisung: geringes Risiko (Fax) Verblindung: nicht möglich, hohes Risiko für DFS, Toxizitäten: nur für CTX-Gruppe erfasst Beschreibung von Studienabbrüchen: Ausschluss von 1 CTX-Patienten vor	2b (weites Kon- fidenz-intervall für OS)

Artikel (Autor, Jahr, Studienname, Journal)	Studien- typ (mono vs. Multi- zentrisch, Arme, N=), Zeit-raum, Land	Patienten- merkmale (CTX Linie, Altersgruppe, Geschlecht, R0/ R1 Resek- tion, UICC-Stadium, ECOG, Komorbiditäten)	Intervention: adjuvante Chemotherapie (CTX), Zeifenster für Therapiestart	Vergleichs- Interven- tion (ohne CTX)	Therapie- dauer / Nach- Verfolgung (Monate)	Endpunkte	Verzerrungsrisiko / Be- merkungen	Evidenzstufe (CEBM levels)
	Japan	R0/R1: 84% / 16% N0/N1: 31% / 69% Karnovsky: 90 (70-100) Ausschluss bei (Komorbiditäten): pulmonary fibrosis or interstitial pneumonia; clinically significant pleural effusions; presence of distant metastasis, other concomitant malignant disease; active infection or gastrointestinal ulcers; history of myocardial infarction within 3 months; severe mental disorder			60.4 (40.6-77.1) Monate		Studienbeginn ITT-Analyse: ja Cross-over nicht vor bestätigtem Relaps möglich Zensierung von 17% der Patienten für OS	
Neopto- lemos 2010 (ESPAC-3 Studie) JAMA	multi- zentrische RCT 2-armig N = 1088 07/2000- 01/2007 mit ≥2 Jahre Follow-up bis 03/2009 Australien, Neusee- land, Ka- nada, Eu- ropa	Patienten mit histologisch bestätigtem Pankreas- karzinom, makroskopisch vollständiger Resektion ohne frühere RTX oder CTX Alter: 63 Jahre(31-85) Männer/Frauen: 55/45% Performance score (WHO) 0/1/2: 34 / 54 / 12% Resektionsränder neg./ pos.: 65 / 35%, keine R2 Resektion Tumorstadium I / II / II / IVa: 10 / 28 / 58 / 4% no evidence of malignant ascites, peritoneal metastasis, spread to the	Folinic acid (20 mg/m ²) + fluorouracil (425 mg/m ²) an 5 aufeinanderfolgenden Tagen 5 in 28-Tageszyklen über 6 Zyklen (=24 Wochen) über 6 Zyklen Therapiebeginn der CTX 45 Tage (IQR 29-57) nach OP	Gemcitabine (1000 mg/m ²), wöchentlich in 3 von 4 Wochen (1 Zyklus) über 6 Zyklen Behandlung (=24 Wochen)	55% (FA+F) und 60% (Gem) erhalten 6 Zyklen Behandlung (=24 Wochen) median follow-up of living patients: 34.2 months (0.4-86,3)	Primärer End- punkt: Gesamtüberleben (OS- Hypothese Äquivalenz) Sekundäre Endpunkte: KrankheitsfreiesÜberleben (DFS), Toxizitäten, Lebensqualität	Generierung der Zufallsfolge: geringes Risiko Verdeckte Therapiezuweisung: k.A. Verblindung: k.A. Beschreibung von Studienabbrüchen: ja ITT-Analyse: ja Cross-over: unklar Studie wurde ursprünglich mit 3 Armen geplant, 3. Arm (nur OP) wurde nach 61 Pat. gestoppt (Ergebnisse aus ESPAC-1) Zensierung von 22% der Patienten (OS) und PFS	1b

Artikel (Autor, Jahr, Studienname, Journal)	Studien- typ (mono vs. Multi- zentrisch, Arme, N=), Zeit-raum, Land	Patienten- merkmale (CTX Linie, Altersgruppe, Geschlecht, R0/ R1 Resek- tion, UICC-Stadium, ECOG, Komorbiditäten)	Intervention: adjuvante Chemotherapie (CTX) , Zeifenster für Therapiestart	Vergleichs- Interven- tion (ohne CTX)	Therapie- dauer / Nach- Verfolgung (Monate)	Endpunkte	Verzerrungsrisiko / Be- merkungen	Evidenzstufe (CEBM levels)
		liver or other distant ab- dominal or extra-abdominal organs , no pancreatic lymphoma, life expectancy > 3 months						

Tabelle 4.1.1/2.b: Ergebnisse aktueller Studien zum Vergleich I Vergleich des Einsatzes einer adjuvanten Chemotherapie nach R0 Resektion eines Pankreaskarzinoms

Artikel (Autor, Jahr, Studienname, Journal)	Therapie mit adjuvanter CTX	OS (Monate, 95 % KI)	Rekurrenz (%, 95 % KI)	PFS/DFS (Monate, 95 % KI)	Toxizität	Lebensqualität	Angaben zu Untergruppen (prospektiv / retrospektive Festlegung, Gruppen, Ergebnisse für UICC Stadium, Altersgruppen, ECOG)
	Therapie ohne adjuvante CTX				therapieassoziierte Todesfälle, Therapieabbruch, Zurücknahme des Einverständnisses, AE (Grade 3-4), SAE (alle in % der behandelten Patien- ten)		
Oettle 2007 (CONKO-001) JAMA	Gemcitabine (n=179)	22,1 (18,4- 25,8)	74.3% Local recurrence: 34% Only distant metastasis : 56% of relapsed patients Primary site of distant relapse: liver (36%)	DFS: 13,4 (11,4- 15,3)	Therapieassoziierte Todesfälle: 0% AE: 14,5%	QoL (mean total Spitzer score) improved similarly in both groups: from 1.4 prior to cycle 1, to 1.8 prior to cycle 6, no significant differences between the groups at any time point.	OS: R0 – 21,7 Monate (n=145) R1 – 22,1 Monate (n=34) N - 34,0 Monate (n=52) N+ - 18,5 Monate (n=127) T1/T2 – 50,2 Monate (n=25) T3/T4 – 20,5 Monate (n=154) DFS: R0 – 13,1 Monate (11,6-14,6) R1 – 15,8 Monate (7,5-24,1) N - 24,8 Monate (6,8-42,7) N+ - 12,1 Monate (10,7-13,4) T1/T2 – 48,2 Monate (0-96,8) T3/T4 – 12,9 Monate (11,5- 14,3)
	Op mit Nachver- folgung (n=175)	20,2 (17,0- 23,4) p (log- rank)= 0,06	92.0%. Local recurrence: 41% Only distant metastasis : 49% Primary site of distant relapse: liver (37%)	DFS: 6,9 (6,1-7,8) p (log- rank)< 0,001	Therapieassoziierte Todesfälle: 0% AE: 8,5%		 DFS: R0 – 7,3 Monate (5,9-8,7) R1 – 5,5 Monate (4,1-6,9) N - 10,4 Monate (6,4-14,3) N+ - 6,4 Monate (5,7-7,2) T1/T2 – 10,0 Monate (4,4-15,5) T3/T4 – 6,7 Monate (5,9-7,5) OS: R0 – 20,8 Monate (n=148) R1 – 14,1 Monate (n=27) N - 27,6 Monate (n=48) N+ – 18,2 Monate (n=127) T1/T2 – 27,6 Monate (n=24) T3/T4 – 19,1 Monate (n=151)
Yoshitomi 2008 Cancer	GEM + UFT (n=50)	21,2 1-year- SR: 80,0% 3-year- SR: 30,4%	78% Local recur- rece: 69,2%, alone: 43,6%, most fre-	12,3 1-year- DFS-rate: 50% 3-year- DFS-rate: 18%	Therapieassoziierte Todesfälle: 0% Therapieabbruch: 40% (recurrent disease 25%, AE 55%, patient's wish 20%) AE Grade3/4: 24% / 0%	Nicht analysiert	JPS stage showed a significant value for DFS HR: 0,473 (0,288-0,775)

Artikel (Autor, Jahr, Studiename, Journal)	Therapie mit adjuvanter CTX	OS (Monate, 95 % KI)	Rekurrenz (%, 95 % KI)	PFS/DFS (Monate, 95 % KI)	Toxizität therapieassoziierte Todesfälle, Therapieabbruch, Zurücknahme des Einverständnisses, AE (Grade 3-4), SAE (alle in % der behandelten Patien- ten)	Lebensqualität	Angaben zu Untergruppen (prospektiv / retrospektive Festle- gung, Gruppen, Ergebnisse für UICC Stadium, Altersgruppen, ECOG)
	Therapie ohne adjuvante CTX						
		quent me- tastases: live (33.3%)					
	GEM (n=49)	29,8 1-year- OS: 85,7% 3 year- OS: 46,9% p (log- rank)= 0.28	73.5% Local recur- rency: 75%, alone: 36.1%, most fre- quent me- tastases: live (33.3%)	12.0 1-year- DFS-rate: 49% 3-year- DFS-rate: 22% p (log- rank)= 0.67	Therapieassoziierte Todesfälle: 0% Therapieabbruch: 26,5% (recur- rent disease 77%, AE 15%, pa- tient's wish 8%) AE Grade 3/4: 30,6% / 0%	Nicht analysiert	JPS stage showed a significant value for DFS HR: 0,473 (0,288- 0,775)
Ueno 2009 (JSAP-02) British Journal of Cancer	Gemcitabine (n = 58) R0 (n=47)	22.3 (16.1- 30.7) 1-year OS: 78% 2-year OS: 48% R0: 26.8	76% Local: 23% Liver: 30% Peritoneum: 18%	DFS: 11.4 (8.0-14.5) R0: 11.4	therapieassoziierte Todesfälle: 1 (1,8%) Therapieabbruch: 24 % Weitere: haematological	k.A.	Keine Angaben zur Planung N0 /N1 (=UICC I+II vs. IIIa) Median OS: N0 / N1: 32.0 / 17.1 HR: (beide für Gemcitabine N0: 0.63 (0.29-1.37) N1: 0.84 (0.53-1.34) Stage I-II / III-IV Median OS: (mit/ohne CTX) I-II: / III/IV: 67.8/ 18.3 HR: (beide für CTX) I-II: 0.42 (0.15-1.22) II-IV: 0.82 (0.53-1.26) Weitere: R0 vs. R1

Artikel (Autor, Jahr, Studiename, Journal)	Therapie mit adjuvanter CTX	OS (Monate, 95 % KI)	Rekurrenz (%, 95 % KI)	PFS/DFS (Monate, 95 % KI)	Toxizität therapieassoziierte Todesfälle, Therapieabbruch, Zurücknahme des Einverständnisses, AE (Grade 3-4), SAE (alle in % der behandelten Patien- ten)	Lebensqualität	Angaben zu Untergruppen (prospektiv / retrospektive Festle- gung, Gruppen, Ergebnisse für UICC Stadium, Altersgruppen, ECOG)
	Therapie ohne adjuvante CTX						
	Ohne Gemcita- bine (n = 60) R0 (n=52)	18.4 (15.1– 25.3) R0 (n=52)	88% Local: 32% Liver: 30% Peritoneum: 13%	DFS: 5.0 (3.7–8.9) HR 0.60 (0.40 - 0.89) für CTX R0: 5.1 HR 0.58 (0.37- 0.91) für CTX	therapieassoziierte Todesfälle: 0		N0 /N1 (=UICC I+II vs. IIIa) Median OS: (mit/ohne CTX) N0 / N1: 28.4 / 17.3 Stage I-II / III-IV Median OS: (mit/ohne CTX) I-II / III-IV: - / 16.3
Neoptolemos 2010 (ESPAC- 3 Studie)	Fluorouracil + Folinic Acid (n=551)	23.0 (21.1- 25.0) 1-year OS: 78.5% 2-year OS: 48.1%	k.A.	PFS 14.1 (12.5– 15.3)	SAE: 14%	Fragebögen von 51% der Patienten, mean standarized AUC für globales QuoL 43.6 ±20.1	Nur prognost. Vergleiche zwischen Subgruppen, nicht zur Wirkung der Therapien

Artikel (Autor, Jahr, Studiename, Journal)	Therapie mit adjuvanter CTX	OS (Monate, 95 % KI)	Rekurrenz (%, 95 % KI)	PFS/DFS (Monate, 95 % KI)	Toxizität therapieassoziierte Todesfälle, Therapieabbruch, Zurücknahme des Einverständnisses, AE (Grade 3-4), SAE (alle in % der behandelten Patien- ten)	Lebensqualität	Angaben zu Untergruppen (prospektiv / retrospektive Festle- gung, Gruppen, Ergebnisse für UICC Stadium, Altersgruppen, ECOG)
	Therapie ohne adjuvante CTX						
	Gemcitabine (n=537)	23.6 (21.4– 26.4) 1-year OS: 80.1% 2-year OS: 49.1% HR 0.94 (0.81 - 1.08) für CTX mit Fluor- ouracil + Folinic Acid	k.A.	14.3 (13.5– 15.6) HR 0.96 (0.84 - 1.10) für CTX mit Fluor- ouracil + Folinic Acid	SAE: 7.5%	Fragebögen von 53% der Patienten mean standarized AUC für globales QuoL 46.6 ±19.7	

Referenzen

- Neoptolemos J P, Stocken DD, Bassi C, et al. Adjuvant chemotherapy with fluorouracil plus folinic acid vs gemcitabine following pancreatic cancer resection: a randomized controlled trial. *JAMA* 2010; 304(10): 1073-1081.
- Oettle H, Post S, Neuhaus P, et al. Adjuvant chemotherapy with gemcitabine vs observation in patients undergoing curative-intent resection of pancreatic cancer: a randomized controlled trial. *JAMA* 2007; 297(3): 267-277.
- Ueno H., Kosuge T, Matsuyama Y, et al. A randomised phase III trial comparing gemcitabine with surgery-only in patients with resected pancreatic cancer: Japanese Study Group of Adjuvant Therapy for Pancreatic Cancer. *Br J Cancer* 2009; 101(6): 908-915.
- Yoshitomi H, Togawa A, Kimura F, et al. A randomized phase II trial of adjuvant chemotherapy with uracil/tegafur and gemcitabine versus gemcitabine alone in patients with resected pancreatic cancer. *Cancer* 2008; 113(9): 2448-2456.

Ausgeschlossene Studien (mit Gründen)

- Bao, P. Q., R. K. Ramanathan, et al. Phase II study of gemcitabine and erlotinib as adjuvant therapy for patients with resected pancreatic cancer. *Ann Surg Oncol* 2011; 18(4): 1122-1129 (keine Vergleichsgruppe).
- Boeck, S., D. P. Ankerst, et al. The role of adjuvant chemotherapy for patients with resected pancreatic cancer: systematic review of randomized controlled trials and meta-analysis. *Oncology* 2007; 72(5-6): 314-321 (systematischer Review mit Studien vor 2007).
- Gansauge, F., M. Ramadani, et al. The clinical efficacy of adjuvant systemic chemotherapy with gemcitabine and NSC-631570 in advanced pancreatic cancer. *Hepatogastroenterology* 2007; 54(75): 917-920 (keine Vergleichsgruppe).
- Hayashibe, A., M. Kameyama, et al. Clinical results on intra-arterial adjuvant chemotherapy for prevention of liver metastasis following curative resection of pancreatic cancer. *Ann Surg Oncol* 2007; 14(1): 190-194 (keine Vergleichsgruppe).
- Hernandez, J. M., C. A. Morton, et al. The natural history of resected pancreatic cancer without adjuvant chemotherapy. *Am Surg* 2010; 76(5): 480-485 (keine Vergleichsgruppe).
- Kocher, H. M. and W. Alrawashdeh Pancreatic cancer. *Clin Evid (Online)* 2010 (Volltext ist noch nicht freigeschaltet).
- Matthes, H., W. E. Friedel, et al. Molecular mistletoe therapy: Friend or foe in established antitumor protocols? a multicenter, controlled, retrospective pharmaco-epidemiological study in pancreas cancer. *Current Molecular Medicine* 2010; 10(4): 430-439 (retrospektive Analyse).
- Neoptolemos, J. P., D. D. Stocken, et al. Adjuvant 5-fluorouracil and folinic acid vs observation for pancreatic cancer: composite data from the ESPAC-1 and -3(v1) trials. *Br J Cancer* 2009; 100(2): 246-250 (sekundäre Analyse der Ergebnisse von Oettle 2007 und Regine 2008).
- O'Sullivan, A. and H. M. Kocher Pancreatic cancer. *Clin Evid (Online)* 2007 (Suche bis 11/2006).
- Sho, M., T. Tanaka, et al. Novel postoperative adjuvant strategy prevents early hepatic recurrence after resection of pancreatic cancer. *Journal of Hepato-Biliary-Pancreatic Sciences* 2011; 18(2): 235-240 (keine Vergleichsgruppe).
- Rudloff, U., A. V. Maker, et al. Randomized Clinical Trials in Pancreatic Adenocarcinoma. *Surgical Oncology Clinics of North America* 2010; 19(1): 115-150 (keine zusammenfassende Metaanalyse, alle geeigneten Studien eingeschlossen).
- Yoshida, S., S. Hazama, et al. Adoptive immunotherapy with MUC1-CTL plus gemcitabine for resected pancreatic cancer. *Biotherapy* 2009; 23(1): 52-57 (keine Vergleichsgruppe).

Nachfolgende Evidenztabelle bezieht sich auf folgende Fragen:

4.1.7 Innerhalb welchen Zeitfensters sollte eine adjuvante Therapie nach Operation eingeleitet werden?

Es wurden keine geeigneten Studien gefunden.

4.1.13 Gibt es eine Indikation zur neoadjuvanten Chemotherapie beim Pankreaskarzinom?

Welches ist das bevorzugte Chemotherapieprotokoll in dieser Indikation?

Insgesamt wurden acht Studien zum Thema auf der Grundlage des Titel- und Abstractscreenings gefunden, drei Studien wurden von den Sachverständigen ergänzt. Eingeschlossen wurde zwei randomisierte Studien und drei systematische Reviews, die den Erfolg von preoperativen und neoadjuvanten Therapien zur Behandlung des Pankreaskarzinoms bei initial resektablen und nichtresektablen Patienten untersuchen. Die systematischen Review wurde mit dem Evidenzniveau 2a- beurteilt und die randomisierten Studien mit dem Evidenzniveau 2b- beurteilt. Ausgeschlossen wurden eine Studien ohne Vergleichsgruppe und fünf retrospektive Analysen.

Tabelle 4.1.13a: Studienbeschreibung: Aktuelle Studien zum Einsatz von neoadjuvanten Chemotherapien

Artikel (Autor, Jahr, Studienname, Journal)	Studien- typ	Patienten- merkmale	Intervention: ad- juvante Chemothe- rapie (CTX), Zeitfenster für Therapiestart	Vergleichs- Intervention (ohne CTX)	Nach- Verfolgung (Monate)	Endpunkte	Verzerrungsrisiko / Bemerkungen	Evidenzstufe (CEBM levels)
Palmer 2007 <i>Annals of Surgical Oncology</i>	Mono- zentrischer RCT 2-armig N=50 11/1999- 05/2003 England	Patienten mit potentielle resektbare Läsionen der Pankreas und Erstlinien CTX Median 66 Jahre (40-79 Jahre) Männer/Frauen: 52%/48% Karnofsky: 70% / 80%/ 90% / 100%: 4% / 10% / 20% / 56% Zeit von Diagnose bis Randomisierung: Median 14 Tage (7-35 Tage) Ausschluss bei (Komorbiditäten): previous treatment for pancreatic cancer, malignant pancreatic disease clinically or radiologically in doubt; Karnofsky ≤ 60, GFR ≤ 60 mL/min (Cockcroft formula), Bilirubin ≥ 50 µm/L	First-line CTX Gemcitabine (1000 mg/m ²) + Cisplatin (25 mg/m ²) every 7 days for 43 days + antiemetische Therapie: Dexame-thasone (4 mg) und Granisetron (3 mg) + antiinflammatorische Therapie: Diproloxacin (250 mg 2 x tägl.)	First-line CTX Gemcitabine (1000 mg/m ²) every 7 days for 43 days + antiemetische Therapie Dexame-thasone (4 mg) und Granisetron (3 mg) + antiinflammatorische Therapie: Diproloxacin (250 mg 2 x tägl.)	Median time from diagnosis to randomization: 14 days (7-35) Exit-CT assessed by the radiologist and the surgeon for resectability at completion of chemotherapy Median follow-up: 28 Monate (15-58 Monate)	Primärer Endpunkt: Resektionsrate Sekundäre Endpunkte: Radiological response (IU-ACC), Toxizität, OS, R0 Resektion	Randomisierung mit Stratifikation nach Operateur Verdeckte Therapiezuweisung: k.A, Verblindung: nein ITT-Analyse: ja 4 Patienten haben mit der Therapie nicht begonnen (2/2) Dosisreduktion aufgrund von Toxizitäten Studiendesign zunächst 3-armig: Gemcitabine gefolgt von Radiotherapie – abgebrochen, aufgrund der Ergebnisse von ESPAC-1 (Radiotherapie hatte keinen signifikanten Einfluss) Studienabbruch nach einem zweiten geplanten Datenreview durch ein independent data monitoring committee	2b- Phase II, keine Vergleiche durchgeführt
Ueno 2009 (JSAP-02) <i>British Journal of Can-</i> N = 119	multi-zent- rische RCT 2-armig	Patienten mit histolo-gisch bestätigtem invasivem duktalen Pankreas-karzinom, makroskopisch voll-ständiger Resektion ohne frühere RTX	Gemcitabine (1000 mg/m ² an den Tagen 1, 8, 15, Wiederholung nach 4 Wochen, 3 Zyklen), Start innerhalb 3 bis 10 Wochen nach OP	Nur OP	10% discontinued treatment within 1 cycle, 12% after 2 cycles, 76% completed the scheduled 3 cycles of treat-	Primärer Endpunkt: Gesamtüberleben (OS) Sekundäre	Generierung der Zufallsfolge: geringes Risiko (Minimization) Verdeckte Therapiezuweisung: geringes Risiko (Fax)	2b (weites Konfidenz-intervall für OS)

Artikel (Autor, Jahr, Studiename, Journal)	Studien- typ	Patienten- merkmale	Intervention: ad- juvante Chemothera- pie (CTX), Zeitfenster für Therapiestart	Vergleichs- Intervention (ohne CTX)	Nach- Verfolgung (Monate)	Endpunkte	Verzerrungsrisiko / Bemerkungen	Evidenzstufe (CEBM levels)
cer	04/2002- 03/2005, Follow-up bis 03/2009 Japan	oder CTX Alter: 64 Jahre (36-74 Jahre) Männer/Frauen: 63% / 37% UICC I / II / III / IV: 6% / 17% / 36% / 41% R0/R1: 84% / 16% N0/N1: 31% / 69% Karnovsky: 90 (70- 100) Ausschluss bei (Komorbiditäten): pulmonary fibrosis or interstitial pneumonia; clinically significant pleural effusions; presence of distant metastasis, other concomitant malignant disease; active infec- tion or gastrointestinal ulcers; history of myo- cardial infarction within 3 months; severe mental disorder			ment Median follow-up 60.4 (40.6–77.1) Mo- nate	Endpunkte: KrankheitsfreiesÜberleben (DFS), Toxizitä- ten	Verblindung: nicht möglich, hohes Ri- siko für DFS, Toxizitäten: nur für CTX-Gruppe erfasst Beschreibung von Studienabbrüchen: Ausschluss von 1 CTX-Patienten vor Studienbeginn ITT-Analyse: ja Cross-over nicht vor bestätigtem Relaps möglich Zensierung von 17% der Patienten für OS	
Gillen 2010 Plos Medicine	System. Review 111 Stu- dien mit 56 Phase I-II Studien n=4394	Patienten mit Pan- kreas- und Peripan- kreas-karzinom, initial resektable (31.5% der Studien), nichtresektable (51.4%) oder beiden (17.1%)	Neoadjuvante Radio- chemotherapy, RTX oder CTX one regime (n=79) with Gemcitabine 45.6%, 5- FU und orale Analoga 54.4%, Taxane 3%), Neoadjuvante RTX mit 24-63 Gy) 5 Studien untersuchten	Gab es nicht	k.A.	Primärer End- punkt: Response Katego- rien (CR, PR, SD, PD) und Prozentsatz von Exploration und Resektion Sekundäre	Suche in Medline, EMBASE,Kongress- bänden und Studien- registern Doppeltes Screenen der Literatur doppelte Datenextraktion, Qualitätskriterien beurteilt (GRADE), Datensynthese, Cha-	2a- Indirekte Ergeb- nisse da RTX mit untersucht wurde. Es gibt keine Phase III Studie, keine Vergleiche zwischen Interven- tionen, keine An-

Artikel (Autor, Jahr, Studiename, Journal)	Studien- typ	Patienten- merkmale	Intervention: ad- juvante Chemothera- pie (CTX), Zeitfenster für Therapiestart	Vergleichs- Intervention (ohne CTX)	Nach- Verfolgung (Monate)	Endpunkte	Verzerrungsrisiko / Bemerkungen	Evidenzstufe (CEBM levels)
	Suche bis 12/2009 Retro.. (n=33), prosp. (n=78) Studien, davon 15 Phase I Studien, 13 Phase I/II, 28 Phase II, 14 Kohor- ten-stu- dien, 41 Fallserien		Antikörper oder Tyro- kinase inhibitor inhibi- tors Gefolgt von Restaging und evtl. chirurgischer Exploration,/Resektion In 104/111 Studien erhiel- ten Patienten neoad- juvante RTX			Endpunkte: Toxizität, Morbi- dität, Mortalität, Survival	rakteristik der Primär- studien gegeben, geringes Risiko für Publikationsbias	gabe von Konfidenz-interval- len, hohe Heterogenität zwischen Effekten in den Studien ($I^2 > 80\%$) evtl. be- dingt durch zent- rumspez. Variabili- tät, Alter der Pati- enten und Zeitraum der Studie, Patientengruppen überlappen, Defini- tion der Resektabili- tät fehlt z.T.
Andriulli 2011 Ann Surg Oncol	System. Review 20 Studien n=707 Suche von 1966 bis 10/2010, alle Veröf- fentlichungen 2002- 2010, prosp. Studien	CTX-naive Patien- ten mit prä-OP ge- stageten operablen Pancreas-karzinom (Stage I-II) oder lokal fortgeschritte- ner Erkrankung (Stage III) vor Be- handlung. average age 63 years, 7 trials enrolled exclusively patients with resectable dis- ease on preopera- tive staging (n =	neoadjuvant/preopera- tive therapy followed by restaging, and surgical exploration/ resection in selected patients, Prä-OP Gabe von Gemcitabine, evtl. mit anderen zytotoxischen Med. und / oder RTX: 1 single-arm no RTX only Gem, 1 double- arm study, no RTX, Gem alone and + Cis Other trials: combined RTX+Gem as single	7 phase I/II trials, 10 phase II trials, 3 co- hort studies, 3 trials with parallel groups, 17 single-arm trials,	In 12/20 trials the analyses were adjusted for different lengths of fol- low-up of pa- tients, in case-control studies, is the time period between the intervention and outcome the same for cases and con- trols	Primärer End- punkt: Überleben Sekundäre Endpunkte: Response Kate- gorien (RE- CIST), Prozent- satz von ope- rierten Patien- ten und R0 Resektionen, Toxizität der adjuvanten und präoper. Thera- pien	Suche in Medline und Referenzlisten Doppeltes Screenen der Literatur, Qualitätskriterien beurteilt (Downs and Black Kriterien), Da- tensynthese, Charak- teristik der Primärstu- dien gegeben, Publi- kationsbias ist mög- lich	2a- Es gibt keine Phase III Studie, keine Vergleiche zwischen Inter- ventionen, the presence of significant heterogeneity might indicate that the evidence is biased, con- founded or incon- sistent. 2 factors could explain at least partly the hetero-

Artikel (Autor, Jahr, Studiename, Journal)	Studien- typ	Patienten- merkmale	Intervention: ad- juvante Chemothe- rapie (CTX), Zeitfenster für Therapiestart	Vergleichs- Intervention (ohne CTX)	Nach- Verfolgung (Monate)	Endpunkte	Verzerrungsrisiko / Bemerkungen	Evidenzstufe (CEBM levels)
		345), 13 trials enrolled patients with local- ized unresectable disease prevailed (n= 362) (Einteilung nach current Na- tional Comprehen- sive Cancer Net- work criteria for resectability)	agent (13 arms) or with other cytotoxic agents (7 arms). RTx at a dose from 30 to 50.4 Gy, most pa- tients received a dose of 1.8 Gy per fraction.					geneity: the pa- tients' initial dis- ease stage (re- sectable vs. unresectable) and the study design, (case series studies report more pos- itive events than protocol-based phase I or II stud- ies)
Assifi 2011 Surgery	System. Review 14 prospr. Phase II Studien n=536 Suche von 1966 bis 6/2010, alle Veröf- fentlichungen 1993-2010	Patienten mit lokal fortgeschrittenem und unresectablen Pan- creatiskarzinom, Gruppeneinteilung: Patienten mit initial resektablen Tumor n=402) vs. Patien- ten mit borderline oder nichtresektablen Karzinom (n=134) (National Comprehensive Cancer Network criteria for resectability), 14 studies included pancreatic ductal adenocarcinoma	Neoadjuvant chemo- therapy and/or neoadjuvant radiation, Different combinations of chemotherapeutic agents were used, doses varied between trials. 8 (57%) trials used Gem-based CTX. 6 trials used 5-FU– based regimens (most ended before 2004). 3 trials used Gem monotherapy, 2 trials used Gem +cisplatin, 1 trial used Gem+docetaxel. 3 used 5-FU + mitomycin C (MMC), 1 study uti-	12 einarmige Studien, 2 RCTs		Primärer End- punkt: Resektabilität, Überleben Sekundäre Endpunkte: Response Katego- rien (RE- CIST), Toxizität, rezurrence	Suche in Medline CENTRAL Datensynthese, Cha- rakteristik der Primär- studien gegeben, Publikationsbias wurde technisch korrigiert, kann aber nicht ausgeschlossen werden	2a- Hohe Heteroge- nität zwischen den Studien, Sehr lange Be- handlungs-peri- ode (1986-2006) bedingt hohe Variabilität bei Behandlung, hohe Variabilität bei Definition der Resektabilität (v.a. für border- line tumors, deficiency of margin status data.)

Artikel (Autor, Jahr, Studienname, Journal)	Studien- typ	Patienten- merkmale	Intervention: ad- juvante Chemothe- rapie (CTX), Zeitfenster für Therapiestart	Vergleichs- Intervention (ohne CTX)	Nach- Verfolgung (Monate)	Endpunkte	Verzerrungsrisiko / Bemerkungen	Evidenzstufe (CEBM levels)
		distributed in the head, body, and tail. 2/ 14 studies also reported data on periampullary tumors (duodenal adenocarcinoma, biliary tract carcinoma).	lized 5-FU+ cisplatin 11 studies with combination therapy, 3 studies with single agents. In 85% of the studies, patients received neoadjuvant RTX					

Tabelle 4.1.13b: Ergebnisse aktueller Studien zum Vergleich des Einsatzes einer neoadjuvanten Chemotherapie nach Resektion eines Pankreaskarzinoms. Es gab wurden keine Angaben zur Lebensqualität gefunden.

Artikel (Autor, Jahr, Studienname, Journal)	Therapie mit Substanz	OS (95 % KI) Median	RR WHO (95 % KI)	PFS / DFS (95 % KI)	Resektionsrate (95%KI)	Toxizität (alle in % der behandelten Patienten)	Angaben zu Un- tergruppen
	Therapie ohne Substanz						
Palmer 2007 Annals of Surgical On- cology	Gemcitabine + Cisplatin (n=26)	15,6 Monate (10,1- -) 1-year OS: 61.5%	PR: 1 (3.8%) SD: 16 (61.5%)	k.A.	70% R0 resections: 75% N0 resections: 44%	Therapieassoziierte Todes- fälle: 0 % Angaben über SAE können nicht eindeutig zugeordnet werden.	.
	Gemcitabine (n=24)	9,9 Monate (8,5-24,2) 1-year OS: 41.7%	PR: 0% SD: 16 (66%)	k.A.	38 % R0 resections: 75% N0 resections: 25%	Therapieassoziierte Todes- fälle: 0 % SAE s.o.	
Ueno 2009 (JSAP-02) British Jour- nal of Cancer	Gemcitabine R0 (n=47) R1 (n=11)	R0: 26.8 Monate R1: 18.3 Monate		R0: 11.4 Mo- nate R1: 9.5 Monate		k.A.	
	Nur OP R0 (n=52) R1 (n=8)	R0:19.1 Monate HR 0.70 (0.45 - 1.09) für CTX R1: 17.6 Monate HR 1.05 (0.41-2.72) für CTX		R0: 5.1 Monate HR 0.58 (0.37- 0.91) für CTX R1: 3.4 Monate HR 0.39 (0.15- 1.06) für CTX			
Gillen 2010 Plos Medicine	Patienten mit neoadjuvanter CTX (111 Studien, me- dian number of patients 31 (IQR 19-46)	OS (resected): 22.4 Monate (range 9-62) OS (not resected): 9.5 Monate (range 6-21) 1-year OS: 78.9% 2-year OS: 49.2%	CR:3.9% (3.0- 4.9%) PR:29.1% (24.5-34%)		50.7% (44.0-57.4%) R0/resected: 79.6% (74.8-83.9%)	In-hospital mortality: 5.3% (4.1-6.8%) Perioperativen morbidity: 34.2% (28.3-40.4%) Grad 3/4 Toxizität: 29.4% (23.1-36.1%)	

Artikel (Autor, Jahr, Studiename, Journal)	Therapie mit Substanz	OS (95 % KI) Median	RR WHO (95 % KI)	PFS / DFS (95 % KI)	Resektionsrate (95%KI)	Toxizität (alle in % der behandelten Patienten)	Angaben zu Un- tergruppen
	Therapie ohne Substanz						
	Resektable Patienten vor neoadjuvanter CTX (35 Studien, me- dian number of patients 32 (IQR 20-50)	OS (resected): 23.3 Monate (range 12-54) OS (not resected): 8.4 Monate (range 6-14) 1-year OS: 77.9% 2-year OS: 47.4%	CR:3.6% (2.0- 5.5%) PR:30.6% (20.7-41.4%) SD 42.1% (30.5-54.1%)		73.6% (65.9-80.6%) R0/resected: 82.1% (73.1-89.6%)	In-hospital mortality: 3.9% (2.2-6.0%) Perioperativen morbidity: 26.7% (20.7-33.3%) Grad 3/4 Toxizität: 26.3% (15.8-38.3%)	
	Nichtresektable Patienten vor neoadjuvanter CTX (57 Studien, me- dian number of patients 27 (IQR 18-38)	OS (resected): 20.5 Monate (range 9-62) OS (not resected): 10.2 (6- 21) 1-year OS: 79.8% 2-year OS: 50.1 %	CR:4.8% (3.5- 6.4%) PR:30.2% (24.5-36.3%) SD 41.6% (34.6-48.7%)		33.2% (25.8-41.1%) R0/resected: 79.2% (72.4-85.2%)	In-hospital mortality: 7.1% (5.1—9.5%) Perioperativen morbidity: 39.1% (29.5-49.1%) Grad 3/4 Toxizität: 31.1% (22.0-40.9%)	
	Mono CTX (44 Studien)		CR: 2.2% (1.3- 3.3%) PR: 25.8% (20.2-31.8%)		Resektable Pat. vor CTX: 80.8% (66.1- 92.1%) Nichtresektable Pat. vor CTX: 27.3% (18.1-37.5%)		
Gillen 2010 Plos Medicine	Komb. CTX (48 Studien)		CR: 5.3% (3.8- 7.0%) PR: 34.7% (28.9-40.9%)		Resektable Pat. vor CTX: 66.2% (57.9- 74.0%) Nichtresektable Pat. vor CTX: 33.0% (25.2-41.3%)		
Andriulli 2011 Ann Surg Oncol	Resectable pa- tients (7 trials, n=345)	Median OS 18.8 Monate (range 9-32) (6 trials, n=309) 1-year OS: 91.7% (range 75-100) (6 trials, n=215) 2-year OS: 67.2% (range	CR / PR: 2% (4-23) (6 trials, n=243) SD/PD: 67% (47-85) / 15%		Operated / evalua- ble: 90% (77-98%) (7 trials, n=327) Resected / oper- ated: 82% (65-94%)	Treatment related toxicity (grade 3-4): 29% (14-47) (7 trials, n=329)	

Artikel (Autor, Jahr, Studiename, Journal)	Therapie mit Substanz	OS (95 % KI) Median	RR WHO (95 % KI)	PFS / DFS (95 % KI)	Resektionsrate (95%KI)	Toxizität (alle in % der behandelten Patienten)	Angaben zu Un- tergruppen
	Therapie ohne Substanz						
		28-97) (6 trials, n=208) Resected patients: Median OS 30.6 Monate (range 26-34) (5 trials, n=181) Not resected patients: Median OS 9.2 Monate (range 7-13) (4 trials, n=82)	(7-25%) (6 trials, n=243 / 7 trials, n=329)		(7 trials, n=327) R0/resected: 89% (83-94%) (7 trials, n=327)		
	Unresectable patients (13 trials, n=362)	Median OS 14.0 Monate (range 8-30) (12 trials, n=308) 1-year OS: 86.3% (range 78-100) (6 trials, n=38) 2-year OS: 54.2% (range 25-100) (5 trials, n=30) Resected patients: Median OS 17.8 Monate (range 10-26) (7 trials, n=43) Not resected patients: Median OS 8.4 Monate (range 4-14) (5 trials, n=78)	CR / PR: 27% (18-38) (13 trials, n=324) SD/ PD: 40% (26-55) / 32% (23-42) (12 trials, n=308)		Operated / evaluable: 46% (31-61%) (11 trials, n=267) Resected / operated: 68% (53-82%) (11 trials, n=267) R0/resected: 60% (50-71%) (13 trials, n=324)	Treatment related toxicity (grade 3-4): 33% (19-48) (10 trials, n=243)	
Assifi 2011 Surgery	Resectable pa-tients (n=402)	Median OS 15.1 Monate (range 9.4-26.5), n=356 Bei resektierten Patien-ten: 23.0 Monate (range 11.7-34), n=357	CR 0.8% (0.0-2.6%) PR: 9.5% (2.9-19.4) SD: 73.9% (63.2-83.3) PD: 17.0% (11.9-22.7)	Lokale Rekurrenz: 14.5% (9.6-20.0%) (8 trials) Distante Rekurrenz: 44.6% (37.6-51.7) (9 trials)	Resected patients /all: 65.8% (55.4-75.6) R0 / resected pa-tients: 85.1% (76.8-91.9) (14 trials)	Neoadjuvant treatment related toxicity (grade 3-4): 37.0% (12.1-66.3)	

Artikel (Autor, Jahr, Studienname, Journal)	Therapie <i>mit</i> Substanz	OS (95 % KI) Median	RR WHO (95 % KI)	PFS / DFS (95 % KI)	Resektionsrate (95%KI)	Toxizität (alle in % der behandelten Patienten)	Angaben zu Un- tergruppen
	Therapie <i>ohne</i> Substanz						
	Unresectable /borderline pa- tients (n=134)	Median OS 11.2 Monate (range 9-19.4), n=134 Bei resekierten Patien- ten: 22.3 Monate (range 18-26.3), n=90	CR 4.0% (0.3- 11.6) PR: 31.4% (24.2-39.8) SD:40.9% (32.8-49.3) PD: 21.8% (10.5-36.5) (10 trials)	Rekurrenz: 4.4% (2.3-13.4) (p=0.41) (8 trials) Distante Rekurrenz: 46.5% (13.3- 81.6) (9 trials)	Resected patients /all:31.6% (14.0- 52.5) R0 / resected pa- tients: 62.2% (29.9- 89.4) (14 trials)	Neoadjuvant treatment related toxicity (grade 3-4): 46.2% (36.1-56.4)	

Referenzen

- Andriulli A, Festa V, Botteri E, et al. (2011): Neoadjuvant / Preoperative Gemcitabine for patients with localized pancreatic cancer: A meta-analysis of prospective studies. *Ann. Surg Oncol*, DOI 10.1245/s10434-011-2110-8.
- Assifi MM, Lu X, Eibl G, et al (2011): Neoadjuvant therapy in pancreatic adenocarcinoma: A meta-analysis of phase II trials. *Surgery*, DOI 10.1016/j.surg.2011.07.006.
- Gillen, S., T. Schuster, et al. (2010). "Preoperative/neoadjuvant therapy in pancreatic cancer: A systematic review and meta-analysis of response and resection percentages." *PLoS Medicine* **7**(4).
- Palmer, D. H., D. D. Stocken, et al. (2007). "A randomized phase 2 trial of neoadjuvant chemotherapy in resectable pancreatic cancer: gemcitabine alone versus gemcitabine combined with cisplatin." *Ann Surg Oncol* **14**(7): 2088-2096.
- Ueno H., Kosuge T, Matsuyama Y, et al. A randomised phase III trial comparing gemcitabine with surgery-only in patients with resected pancreatic cancer: Japanese Study Group of Adjuvant Therapy for Pancreatic Cancer. *Br J Cancer* 2009; 101(6): 908-915.

Ausgeschlossene Studien (mit Gründen)

- Artinyan, A., D. A. Anaya, et al. (2011). "Neoadjuvant therapy is associated with improved survival in resectable pancreatic adenocarcinoma." *Cancer* **117**(10): 2044-2049 (retrospektive Studie).
- Barugola, G., S. Partelli, et al. (2011). "Outcomes after resection of locally advanced or borderline resectable pancreatic cancer after neoadjuvant therapy." *American Journal of Surgery* (retrospektive Studie).
- Heinrich, S., B. C. Pestalozzi, et al. (2008). "Prospective phase II trial of neoadjuvant chemotherapy with gemcitabine and cisplatin for resectable adenocarcinoma of the pancreatic head." *J Clin Oncol* **26**(15): 2526-2531 (keine Vergleichsgruppe, Einschluss in den Review von Andriulli 2011 und Assifi 2011).
- McClaine, R. J., A. M. Lowy, et al. (2010). "Neoadjuvant therapy may lead to successful surgical resection and improved survival in patients with borderline resectable pancreatic cancer." *HPB (Oxford)* **12**(1): 73-79 (retrospektive Studie).
- Sahora, K., I. Kuehrer, et al. (2011). "NeoGemOx: Gemcitabine and oxaliplatin as neoadjuvant treatment for locally advanced, nonmetastasized pancreatic cancer." *Surgery* **149**(3): 311-320 (retrospektive Studie).
- Sahora, K., I. Kuehrer, et al. (2011). "NeoGemTax: gemcitabine and docetaxel as neoadjuvant treatment for locally advanced nonmetastasized pancreatic cancer." *World J Surg* **35**(7): 1580-1589 (retrospektive Studie).

Nachfolgende Evidenztabelle bezieht sich auf folgende Fragen:

4.1.16 Wann soll nach Abschluss der neoadjuvanten Therapie die Reevaluation erfolgen?

4.1.17 Mittels welcher diagnostischen Verfahren soll nach neoadjuvanter Therapie reevaluiert werden?

Es wurde eine geeignete Studie gefunden, die mit dem Evidenzniveau 2b beurteilt wurde. In drei Studien erhielten weniger als 25 Patienten eine neoadjuvante Therapie und in einer weiteren Studie konnte keine Information zur Reevaluation gefunden werden

Tabelle 4.1.16/17a: Studienbeschreibung: Aktuelle Studien zum Reevaluation nach neoadjuvanter Chemotherapie

Artikel (Autor, Jahr, Studienname, Journal)	Studien- typ	Patienten- merkmale	Intervention: ad- juvante Chemothe- rapie (CTX), Zeitfenster für Therapiestart	Reevaluation	Nach- Verfolgung (Monate)	Endpunkte	Verzerrungsrisiko / Bemerkungen	Evidenzstufe (CEBM levels)
Heinrich 2008 JCO	mono- zentrische- Studie 1-armig N = 28 04/2001- 04/2007, Schweiz	Patienten mit resek- tablen Adenokarzinom des Pankreaskopfes ohne Kontraindikation zur OP Alter: 59 (39-77) Jahre Männer/Frauen: 57/43% Ausschluss von Patients with infiltration of the portal vein (PV), the duodenum, or the stomach (T3) were not considered to have unresectable cancer.	4 bi-weekly cycles of Gemcitabine (1,000mg/m ²) + Cisplatin (50mg/m ²). Ausschluss von Patients with infiltration of the portal vein (PV), the duodenum, or the stomach (T3) were not considered to have unresectable cancer.	Restaging was performed during the week before surgery (EUS and cePET/CT), Laparoscopy was always performed at the start of PD. Also, CA 19-9 and prealbumin serum levels as well as the QoL were reassessed.	Median follow-up: 16.6 Monate (3.1- 58.5 Monate)	Primärer End- punkt: Resekti- onsrate bei Restaging Sekundäre Endpunkte: Locale Rekurrenzrate im 1. Jahr nach der Resektion, OS	Vergleichsgruppe fehlt, ITT Analyse Pathologic review confirmed that one patient had high-grade dysplasia without invasive cancer and revealed that three patients had cancer of the Ampulla Vateri rather than ductal adenocarcinoma	2b Phase II, keine Vergleiche durch- geführt

Tabelle 4.1.16 / 17 b: Ergebnisse aktueller Studien zum Vergleich des Einsatzes einer neoadjuvanten Chemotherapie nach Resektion eines Pankreaskarzinoms.

Artikel (Autor, Jahr, Studienname, Journal)	Therapie mit Substanz	OS (95 % KI) Median	RR WHO (95 % KI)	PFS / DFS (95 % KI)	Resektionsrate (95%KI)	Toxizität (alle in % der behandelten Patienten)	Angaben zu Un- tergruppen
	Therapie ohne Substanz						
Heinrich 2008 JCO	Gemcitabine + Cisplatin (ITT, n=28)	26.5 Monate (11.4- 41.5)	Radiologischer Response: PD: 3 (13%) SD: 14 (61%) PR: 1% Nicht messbar: 7 (27%) Pathologischer Re- sponse: 11 (46%) had minimal tumour response, 13 (54%) had grade 2 tumor response (2a:5, 2b: 8)	k.A.	100% laut ce- PET/CT und EUS (2 Pat. mit positive Läsionen in der Leber laut PET/CT) 93%laut Laparosko- pie (2 Pat. mit Peri- toneal-metastasen) 89% wurden ope- riert (PD) (1 nichtresektabler Pat. bei OP ent- deckt) R0 resections: 80%	1 Therapieabbruch der neoadjuvanten CTX wegen severe persistent emesis	
	Gemcitabine + Cisplatin (Patienten mit re- sezierten duktalen Adenokarzinom), n=21)	19.1 Monate (15- 23.1)					

Heinrich, S., B. C. Pestalozzi, et al. (2008). "Prospective phase II trial of neoadjuvant chemotherapy with gemcitabine and cisplatin for resectable adenocarcinoma of the pancreatic head." J Clin Oncol **26**(15): 2526-2531 (beantwortet keine der Fragen, nur Beschreibung der Reevaluation ohne Zeitangaben und Vergleiche).

Ausgeschlossene Studien

Kim, Y. E., M. S. Park, et al. (2009). "Effects of neoadjuvant combined chemotherapy and radiation therapy on the CT evaluation of resectability and staging in patients with pancreatic head cancer." Radiology **250**(3): 758-765 (nur 12 Patienten erhielten .neoadjuvante Therapie)

McClaine, R. J., A. M. Lowy, et al. (2010). "Neoadjuvant therapy may lead to successful surgical resection and improved survival in patients with borderline resectable pancreatic cancer." HPB (Oxford) **12**(1): 73-79 (beantwortet keine der Fragen, nur Beschreibung der Reevaluation ohne Zeitangaben und Vergleiche).

Morgan, D. E., C. N. Waggoner, et al. (2010). "Resectability of pancreatic adenocarcinoma in patients with locally advanced disease downstaged by preoperative therapy: a challenge for MDCT." AJR Am J Roentgenol **194**(3): 615-622 (nur 12 Patienten erhielten .neoadjuvante Therapie).

Nachfolgende Evidenztabelle bezieht sich auf folgende Fragen:

4.1.19 Sehen Sie eine Indikation für neue Therapieverfahren wie z.B. SIRT, Hyperthermie oder Protonentherapie in der adjuvanten Therapie des Pankreaskarzinoms?

4.1.20 Sehen Sie eine Indikation für neue Therapieverfahren wie z.B. SIRT, Hyperthermie oder Protonentherapie in der neoadjuvanten Therapie des Pankreaskarzinoms?

Es konnten keine Studien zum Thema gefunden werden.

Themenkomplex 5:

5.1 Palliative Chemotherapie und Strahlentherapie

Nachfolgende Evidenztabelle bezieht sich auf folgende Fragen:

5.1.2 Besteht eine Indikation für eine palliative Chemotherapie beim lokal fortgeschrittenen irresektablen Pankreaskarzinom

5.1.3 Welche systemische palliative Behandlung setzen Sie in der First-Line-Therapie ein?

Gibt es eine Indikation für eine supportive Therapie unter Therapie mit FOLFIRINOX?

Sollte in der palliativen First-Line-Therapie bereits eine Kombinationschemotherapie eingesetzt werden?

Ab welchem Schweregrad soll die Therapie mit Gemcitabin/Erlotinib bei Auftreten eines rash fortgeführt werden?

Nach welchem Zeitraum soll die Erlotinibtherapie bei ausbleibender rash-Entwicklung abgebrochen werden?

Soll bei ausbleibender rash-Entwicklung unter Therapie mit Gemcitabin/Erlotinib die Erlotinib-Dosis gesteigert werden?

Wie sollen Patienten, die innerhalb von 4 Wochen keinen rash unter First-line Therapie mit Gemcitabin/Erlotinib entwickeln, weiterbehandelt werden?

Gibt es eine Indikation für eine Erlotinib-Monotherapie in der palliativen Therapie des Pankreaskarzinoms?

Insgesamt wurden 76 Studien zum Thema auf der Grundlage des Titel- und Abstractscreenings gefunden. Eingeschlossen wurden 19 RCTs mit 6052 randomisierten Patienten und zwei systematische Reviews, in denen Gemcitabine in beiden Behandlungsarmen verabreicht wurde, zwei RCTs mit 1090 Patienten, in denen Erlotinib zusätzlich zu Gemcitabine verabreicht wurde (zur Untersuchung von Rash), ein RCT zum FOLFIRINOX-Protokoll mit 342 Patienten und ein weiteres RCT mit 73 Patienten. Die systematischen Reviews wurden mit dem Evidenzniveau 1a (Xie 2010) und 1a- (Hu 2011) beurteilt. Elf RCTs wurden mit dem Evidenzniveau 1b beurteilt.

Ausgeschlossen wurden 35 Studien ohne Vergleichsgruppe, neun Reviews, welche nur ältere Studien einschlossen oder keine Metaanalyse enthielten, drei nichtrandomisierte Studien und zwei retrospektive Analysen. Ein elektronisch veröffentlichter systematischer Review (Kocher 2010) und eine Phase II Studie (Ueno 2011) konnten in der Volltextversion nicht bestellt werden.

Tabelle 5.1.2/ 5.1.3a : Studienbeschreibung: Aktuelle Studien in der palliativen First-line Chemotherapie

Artikel	Studien-typ	Patienten-merkmale ⁷⁵	Intervention ⁷⁶ :	Vergleichs-Intervention	Nach-ver-fol-gung / Bem.	Endpunkte	Verzerrungsrisiko einschließlich Zensierungsrate für OS	Evidenzniveau (mit Begründung) / Bemerkungen
Vergleich von Studien mit Gemcitabine (Gem) in beiden Behandlungsarmen								
Herrmann 2007 Journal of Clinical Oncology	Multi-zentrische RCT 2-armig N=319 6/2001-6/2004 8 Länder (Europa, Israel)	Patienten mit inoperablem/ metastasiertem Adenokarzinom der Pankreas ohne frühere CTX Alter: > 18 Jahre Sex (m/w): 54%/46% Karnofsky 90-100/60-80: 53%/47% Schmerzen ja/nein: 67%/33% Ausschluss bei (Komorbiditäten): known CNS metastases; history of other primary malignancy within 5 years; insufficient liver function (bilirubin, AST/ALT, alkaline phosphatase > 5x normal); creatinine clearance < 30 ml/min (Cockcroft-Gault); active infection; any medical condition that could interfere with taking oral medication and/or GI absorption	Oral Capecitabine (650 mg/m ² 2x tägl.) vom 1. – 14. Tag alle 3 Wochen + Gemcitabine (1000 mg/m ²) am 1. und 8. Tag alle 3 Wochen	Gemcitabine (1000 mg/m ²) wöchentlich 7 Wochen – 1 Woche Pause – wöchentlich 3 Wochen alle 4 Wochen	k.A.	Primärer Endpunkt: OS Sekundäre Endpunkte: PFS, ORR, Sicherheit, QoL	Randomisierung: geringes Risiko Stratifizierung: Center, KPS, Schmerzen, disease extent Verdeckte Theapiezuzuweisung: geringes Risiko (zentral) Verblindung: k. A. Beschreibung von Studienabbrüchen: k. A. ITT-Analyse: ja Cross-over nach Therapieende: unklar, Second-line CTX (choice of individual investigator) was administered to 179 patients.	1b
Boeck 2008 Annals of Oncology	Multi-zentrische RCT 3-armig N=190	Patienten mit lokal fortgeschrittenem oder metastasiertem Pankreaskarzinom ohne frühere CTX und RTX Alter 63 Jahre (37-75) Sex (m/w): 65/35% stage locally ad-	CapOx-Gruppe: Capecitabine (1000 mg/m ²) 2x täglich an den Tagen 1-14, gefolgt von 1 Woche Pause und Oxaliplatin (130 mg/m ²) an	CapGEM-Gruppe: Capecitabine (825 mg/m ²) 2x täglich an den Tagen 1-14 gefolgt von 7 Tagen Pause	database closed 08/2006 für Finalanalyse	Primärer Endpunkt: PFS nach 3 Monaten Sekundäre Endpunkte: OS, RR, CA 19-9,	Randomisierung: k.A. Verblindung: open label Beschreibung von Studienabbrüchen: ja ITT-Analyse: ja. Cross-over nach Therapieende möglich:	1b- Phase II Studie, deshalb geringe Patientenanzahl und weite Konfidenz-intervalle)

⁷⁵ Indikation, Alter, Geschlecht (m/w), ECOG/ Karnovsky, advanced vs. metastatic disease, Vortherapien, Ansprechen auf Vortherapien, Komorbidität

⁷⁶ Zeitpunkt

bei Diagnose/ Größenzunahme des Tumors/ tumor-bezogenen Symptomen / abh. von Prognose⁷⁶/ andere

Artikel	Studien-typ	Patienten-merkmale ⁷⁵	Intervention ⁷⁶ :	Vergleichs-Intervention	Nach-ver-folgung / Bem.	Endpunkte	Verzerrungsrisiko einschließlich Zensierungsrate für OS	Evidenzniveau (mit Begründung) / Bemerkungen
	Phase II-Studie 07/2002-05/2004 Deutschland	vanced/Metastasen: 18/82% Karnovsky >70/≤70:85/15% Ausschluss bei (Komorbiditäten): preexisting peripheral neuropathy, dihydropyrimidine dehydrogenase deficiency or any other malignancy within the past 5 years (except curatively treated basal cell skin cancer or carcinoma in situ of the cervix uteri)	Tag 1 mGemOx-Gruppe: Gemcitabine (1000 mg/m ²) an den Tagen 1 und 8 und Oxaliplatin (130 mg/m ²) an Tag 8 Alle q3wks	und (1000 mg/m ²) an den Tagen 1 und 8		CBR, Toxizität	40% der randomisierten Patienten erhielten second-line Chemotherapie (47% CapOx/ 34% CapGem /38% mGemOx) Zensierung von 7% (PFS) und 14% (OS)	
Cascinu 2008 Lancet Oncol	multi-zentrische RCT N = 84 05/2005 bis 09/ 2006 Italien	Patienten mit lokal fortgeschrittenem oder metastasiertem Pankreaskarzinom ohne frühere palliative CTX Alter: 62 (38–78) Sex: 61%/39% ECOG 0/I/II: 35.7%/54.8%/9.5 % lokal fortgeschritten/ metastasierter Tumor: 28.6%/71.4% Adjuvante Therapie: 3.6%	Cetuximab: initiale Dosis 400 mg/m ² , danach wöchentlich 250 mg/m ² (Beobachtung auf Anaphylaxis und allergische Reaktionen, dann Anpassung der Infusionszeit), dann Gemcitabine (1000 mg/m ²) d 1, 8 + Cisplatin (35 mg/m ²) d 1, 8 q d 21	gleiches CTX-regimen mit Gemcitabine und Cisplatin, aber ohne Cetuximab	median fol-low-up time 11.8 Monate (2.5–18.5)	Primärer End-punkt: RR Sekundäre Endpunkte: PFS, OS und disease control (defined as the proportion of patients whose best response was PR, CR, or stable disease [SD]),	Generierung der Zufallsfolge: Computer programm Verdeckte Therapiezuweisung: Telefon oder Fax Verblindung: ja ITT-Analyse: ja Zensierte für OS: 35.7 % in cetuximab group und 28.6 % in der non-cetuximab group	1b- breite Konfidenzintervalle
Saif 2009 Cancer Journal	Multi-zentrische RCT 2-armig N = 135, (davon tatsächlich)	Patienten mit lokal fortgeschrittenem oder metastasiertem Pankreaskarzinom ohne frühere CTX oder RTX Alter: 62 Jahre (33-85) Sex (m/w): 60%/40% ECOG 0/1/2: 31% / 58%/10% Stage II / III / IV: 3%/9%/89%	Gem (1000 mg/m ²) im ersten Zyklus (35 Tage) an den Tagen 8, 15, 22, dann eine Woche Pause und in allen anderen Zyklen (je 28 Tage) an den Tagen 1, 8, und 15 mit nachfol-	Gem (1000 mg/m ²) im ersten Zyklus (35 Tage) an den Tagen 8, 15, 22, dann eine Woche Pause und an den Tagen 1, 8, und 15 mit		Primärere End-punkte: 6-monatiges Überleben Sekundäre Endpunkte: RR, PFS, OS,	Generierung der Zufallsfolge: k.A. Verdeckte Therapiezuweisung: k.A. Verblindung: doppelblind Beschreibung von Studienabbrüchen: ja ITT-Analyse: ja	1b- Weite Konfidenzintervalle

Artikel	Studien-typ	Patienten-merkmale ⁷⁵	Intervention ⁷⁶ :	Vergleichs-Intervention	Nach-ver-fol-gung / Bem.	Endpunkte	Verzerrungsrisiko einschließlich Zensierungsrate für OS	Evidenzniveau (mit Begründung) / Bemerkungen
	behandelt n = 133) 1/2003 bis 10/2005 Europa		genden 13 Tagen Pause + LY293111 (600 mg) 2x täglich mit einer Woche lead-in-Periode im ersten Zyklus	13 Tagen Pause in jedem weiteren Zyklus (28 Tage) + Plazebo (täglich) mit einer Woche lead-in-Periode im ersten Zyklus		Stabilisierung oder Verbesserung des ECOG PS und Einnahme von Analgetika	Cross-over nach Therapieende möglich	
Afchain 2009 (GERCOR) Electronic journal of oncology	RCT (N = 60, davon 57 behandelt) Frankreich	Patienten mit metastasiertem Pankreaskarzinom ohne frühere CTX oder RTX Alter: 66 sex: 61% / 39% PS 0/1/2: 31%/48%/21% Lage des Primärtumors Pankreaskopf: 50% Metastasen Leber/Peritoneum/Lunge/Lymphknoten/Andere: 81% / 22% / 13% / 15% / 5% signifikant unterschiedliche Tumor-Differenzierung (S-GemOx: 8% poorly differentiated vs GemOx: 36%)	S-GemOx): Gem (1,000 mg/m ²) an Tag 1 und unmittelbar danach Oxaliplatin (100 mg/m ²) Wiederholung aller 2 Wochen bis Fortschreiten der Krankheit	Gem (1,000 mg/m ²) an Tag 1 + Oxaliplatin (100 mg/m ²) an Tag 2 Wiederholung aller 2 Wochen bis Fortschreiten der Krankheit	k.A.	OS, RR, PFS, Toxizität, One-year survival	Generierung der Zufallsfolge: geringes Risiko (Minimisation) Verdeckte Therapiezuweisung: (zentralisiert) Verblindung: ? Beschreibung von Studienabbrüchen: ja ITT-Analyse: nein (Ausschluss von 3 nicht behandelten/ungeeigneten Patienten) Cross-over nach Therapieende möglich: ?	2b- Phase II, keine Vergleiche durchgeführt, keine ITT Analyse)
Cunningham 2009 JCO	Multi-zentrische RCT N=533 05/2002 -	Patienten mit lokal fortgeschrittenem oder metastasiertem ductalem Adenokarzinom oder undifferenziertem Karzinom der Pankreas ohne frühere CTX oder RTX Alter: 63 (26-83) Jahre Ge-	Gem: 1,000 mg/m ² , 3x wöchentlich +Capecitabine : 830 mg/m ² 2x täglich d1-d21, dann 1 Woche Pause q4wks	Gem: 1,000 mg/m ² , 7x wöchentlich , 1 Woche Pause , dann 3x wöchentlich in 4 Wochen	k.A.	Primärer Endpunkt: OS Sekundäre Endpunkte: PFS, RR, Toxi-	Generierung der Zufallsfolge: Computer-generiert Verdeckte Therapiezuweisung: unklar Verblindung: nein (kein	1b

Artikel	Studien-typ	Patienten-merkmale ⁷⁵	Intervention ⁷⁶ :	Vergleichs-Intervention	Nach-ver-folgung / Bem.	Endpunkte	Verzerrungsrisiko einschließlich Zensierungsrate für OS	Evidenzniveau (mit Begründung) / Bemerkungen
	01/2005 UK	schlecht (m/w): 59 / 41% Metastatic disease: 71% performance status (WHO) 0/1/2: 23%/58%/19% Komorbiditäten: no cardiac history; and no known malabsorption		q4wks		zität, QoL, pain assessment	Placebo) Beschreibung gvon Studienabbrüchen: ja ITT-Analyse: ja Cross-over nach Therapieende möglich: GEM-CAP (n=83) +GEM (n=76) received further post-trial treatment Zensierung von OS: 1%	
Kulke 2009 GALGB 89904 Journal of Clinical Oncology	Multi-zentrische RCT 4-armig N = 259 01/2001–12/2003 USA	Patienten mit metastasiertem Adenokarzinom der Pankreas Median 60,5 Jahre (31-84) Sex: 63% / 37% ECOG 0/1/2: 30%/59%/11% Metastasiert: 100% Vortherapie mit FU nein/ja: 89%/11% Vorherige Radiotherapie nein/ja: 86%/14% Ausschlusskriterien: cratinine > 1,5 mg/dl; total bilirubin > 1,5 mg/dl; AST > 2,5 x ULN	Gemcitabine (1000 mg/m ²) days 1, 8, 15; q 28 days + Cisplatin (50 mg/m ²) on days 1, 15 q 28 days (Arm A) Gemcitabine (1000 mg/m ²) on days 1, 8; q 21 days + Docetaxel (40 mg/m ²) on days 1, 8 (Arm C) Gemcitabine (1000 mg/m ²) on days 1, 8; q 21 days + Irinotecan (100 mg/m ²) on days 1, 8 (Arm D)	FDR Gemcitabine (1500 mg/m ²) at a rate of 10 mg/m ² /min on days 1, 8, 15; every 28 days (Arm B)	k.A.	Primärer Endpunkt: OS at 6 months Sekundäre Endpunkte: Toxizität, radiologic tumor response, biochemical (CA 19-9) response, time to tumor progression (TTP)	Randomisierung: k.A. Verblindung: k. A. Beschreibung von Studienabbrüchen: ja (19%) ITT-Analyse: nein Cross-over nach Therapieende möglich: ja - second-line chemotherapy after treatment on the study (30%) Zensierung von 21% (OS)	2b- breite Konfidenzintervalle, keine ITT Analyse, keine Vergleiche zwischen Gruppen
Lissoni 2009 In Vivo Italien N= 48 (mit Pankreas-	Mono-zentrischeRCT 2-armig Italien	Patienten mit messbaren metastasierten soliden Tumoren ohne frühere CTX, geringer performance status z.T. Adenokarzinom der Pankreas Alle Patienten: metastasiert: 100 % Alter: 65 Jahre (58-79)	bei Pankreaskarzinom: Gem (1000 mg/m ²) wöchentlich und Aloe arborescens (10 ml einer Mischung aus 300 g frischen Aloe-Blättern, 500 g Honig und 40 ml 40%igen Alko-	bei Pankreaskarzinom: Gem (1000 mg/m ²) wöchentlich	N.A.	Nicht festgelegt, berichtet werden: RR je Entität OS /Toxizitäten für alle Entitäten zusammen	Randomisierung: k.A. Keine Verblindung Studienabbrüche, ITT nicht berichtet	2b- Wenige Patienten mit Pankreaskarzinom, OS wird nur für alle Entitäten gemeinsam berichtet, Kein Information

Artikel	Studien-typ	Patienten-merkmale ⁷⁵	Intervention ⁷⁶ :	Vergleichs-Intervention	Nach-ver-fol-gung / Bem.	Endpunkte	Verzerrungsrisiko einschließlich Zensierungsrate für OS	Evidenzniveau (mit Begründung) / Bemerkungen
	karzinom von 240 Patienten Gesamt)	sex: 55,4%/44,6% Karnovsky score: 80 (60-100) Ausschluss (Komorbiditäten): geringer Performance Status (Karnovsky), Hirnmetastasen, doppelte Tumoren	hol) dreimal täglich					zu vorgeplanten Endpunkten und Verzerrungspotential vorhanden
Poplin 2009 E6201 Journal of Clinical Oncology	Multi-zentrische RCT 3-armig N = 832 03/2003-03/2005 USA	Patienten mit lokal fortgeschrittenem oder metastasiertem Adenokarzinom der Pankreas mit messbarer Erkrankung ohne frühere palliative CTX Alter 62,7 Jahre (29-96) Sex (m/w): 53% / 47% ECOG 0/1/2: 31%/57%/12% Histology grade – well differentiated/ moderately differentiated/ poorly differentiated + undifferentiated/ missing + unknown: 6,5% / 25,5% / 28% / 40% Prior radiotherapy nein/ja: 92%/8% Prior adjuvant chemotherapy nein/ja: 95%/5% Prior surgery nein/ja: 86%/14% Disease status – locally advanced/ metastatic: 10,5%/89,5% Ausschluss bei (Komorbiditäten): another malignancy within the prior 5 years, other active illnesses, symptomatic peripheral neuropathy ≥ grade	Gemcitabine (1000 mg/m ² - FDR 10 mg/m ² /min) day 1 + Oxaliplatin (100 mg/m ²) day 2 every 14 day cycle (GEMOX)	Gem (1000 mg/m ²) first cycle weekly for 7 weeks/1 week of rest - subsequent cycles: weekly for 3 weeks/1 week of rests GEM FDR Gemcitabine (1500 mg/m ² - 10 mg/m ² /min) days 1, 8, 15 q 28 days		Primärer Endpunkt: OS Sekundäre Endpunkte: Assessment of patient-reported pancreatic cancer symptoms, PFS, Toxizität, RR	Randomisierung: using a dynamic balancing algorithm that stratified for performance status and for locally advanced vs. metastatic disease Verblindung: nein Beschreibung von Studienabbrüchen: ja (3,3%) ITT-Analyse: ja Cross-over nach Therapieende möglich: k. A. Zensierung von 4,9% (OS), 5,4% (PFS)	1b

Artikel	Studien-typ	Patienten-merkmale ⁷⁵	Intervention ⁷⁶ :	Vergleichs-Intervention	Nach-ver-fol-gung / Bem.	Endpunkte	Verzerrungsrisiko einschließlich Zensie-rungsrate für OS	Evidenzniveau (mit Begründung) / Bemerkungen
		2						
Spano 2008 Lancet	Multi-zentrische RCT 2-armig N=103 01/2006-08/2006 USA, Kanada, Spanien, Italien	Patienten mit lokal fortgeschrittenem oder metastasiertem Adenokarzinom der Pankreas ohne frühere palliative Behandlung Alter GA/G: 65 (44-81) Jahre / 61 (36-78) Jahre Sex (m/w): 49,5% / 50,5% ECOG (<1/2): 91% / 9% locally advanced/metastatic: 43% / 57% Radiotherapy: 2% Surgery: 21% Chemotherapy: 9% Ausschluss (Komorbiditäten): treatment with gemcitabine or anti-angiogenic agents; prior cerebrovascular accident, major surgery within the previous 4 weeks, brain metastasis, active second malignancy, uncontrolled intercurrent illness, urine protein ≥ 500 mg/24 h, or ongoing uncontrolled hypertension; patients with current or anticipated need for CYP1A2 inducers or CYP3A4 inhibitors or inducers	GA Gem (1000 mg/m ²) days 1, 8, 15 of each 28-day cycle + Axitinib (5 mg/twice a day) orally, continuously – intra-patient dose escalation : 7 mg/twice a day then 10 mg/twice a day if no worse than grade 2 AE occurred for 2 weeks	G Gem (1000 mg/m ²) days 1, 8, 15 of each 28-day cycle	Follow-up: 12 months after randomization of the last patient	Primärer Endpunkt: OS Sekundäre Endpunkte: PFS, 1-year-survival, RR, duration of response, QoL, Toxizität	Randomisierung: (2:1) to GA or G treatment, Stratifikation: disease extent, ECOG status Therapiezuweisung (zentral): geringes Risiko Verblindung: not blinded Beschreibung von Studienabbrüchen: 4% did not receive allocated intervention ITT-Analyse: ja Cross-over nach Therapieende möglich: k. A.	1b- Weite Konfidenzintervalle
Van Cutsem 2009 Journal of Clinical	multi-zentrische RCT	Patienten mit metastasiertem Pankreaskarzinom ohne frühere palliative CTX oder RCX f Alter 62 Jahre (20-85)	Gem (1,000 mg/m ² wöchentlich über 7 Wochen+ 1 Woche Pause danach wöchentlich über 3	Gem + Erlotinib wie in Intervention + Plazebo (5)	Keine Infor-mation zum Follow-up	Primärer End-punkt: OS	Generierung der Zufallsfolge: unklar Verdeckte Therapiezuweisung: geringes Risiko	1b

Artikel	Studien-typ	Patienten-merkmale ⁷⁵	Intervention ⁷⁶ :	Vergleichs-Intervention	Nach-ver-fol-gung / Bem.	Endpunkte	Verzerrungsrisiko einschließlich Zensierungsrate für OS	Evidenzniveau (mit Begründung) / Bemerkungen
Oncology	2-armig N = 607 06/2005 - 09/2006 20 Länder (weltweit)	Sex: 60% / 40% Karnovsky 60 / 70 / 80 / 90 / 100: 4% / 9% / 25% / 39% / 23% Metastasiert: 100% Vortherapien: Antimetabolika: 4% RTX: 2% Komorbiditäten: Ausschluss von Patienten mit CNS metastasen, kardiovaskulären Erkrankungen, nichtheilenden Wunden /Ulcers	Wochen+ 1 Woche Pause)+ Erlotinib (100 mg/Tag täglich)+ Bevacizumab (5 mg/kg) an den Tagen 1, 15, 29, und 43 des 1. Zyklus und an den Tagen 1 und 15 jedes weiteren Zyklus	mg/kg) an den Tagen 1, 15, 29, und 43 des 1. Zyklus und an den Tagen 1 und 15 jedes weiteren Zyklus		Sekundäre Endpunkte: PFS, RR, Disease Kontrollrate, Toleranz	(interaktives Voice-Response System) Verblindung: geringes Risiko (placebo-kontrolliert) Beschreibung von Studienabbrüchen: ja ITT-Analyse: ja Cross-over nach Therapieende möglich: nein 30% (Bev.) und 39% (Plazebo) erhielten Secondline Therapie Zensierung von 25% der Patienten für OS	
Colucci 2010 (GIP-1 study) Journal of Clinical Oncology	multi-zentrische RCT 2-armig N = 400 04/2002-04/2007 Italien	Patienten mit lokal fortgeschrittenem oder metastasiertem Pankreaskarzinom Median 63 Jahre (35-75) Sex: 60% / 40% Karnovsky <80/≥80: 17% / 83% Stage II / III / IV: 4% / 12% / 84% Komorbiditäten: exclusion of patients with brain metastases and other invasive malignancy	Gemcitabine wie im Vergleichsarm+ Cisplatin (25 mg/m ²) an den Tagen 1, 8, 15, 29, 36 und 42 (Zyklus 1) danach 1 Woche Pause, danach Gabe beider Substanzen an den Tagen 1, 8, and 15 in Zyklen von 28 Tagen	Gemcitabine (1000 mg/m ²), an den Tagen 1-7 (Zyklus 1), 1 Woche Pause, danach an den Tagen 1, 8, and 15 in Zyklen von 28 Tagen	mediane Nachverfolgung 38.2 Monate	Primärer Endpunkt: OS Sekundäre Endpunkte: PFS, RR, Toxizität, clinical benefit (berechnet aus pain, functional impairment and weight loss-nach einem Algorithmus aus Burris 1997)	Generierung der Zufallsfolge: geringes Risiko (Minimisierung) Verdeckte Therapiezuweisung: geringes Risiko (zentral, per Telefon) Verblindung: hohes Risiko (nicht möglich für Patienten und behandelnde Ärzte) Beschreibung von Studienabbrüchen: ja ITT-Analyse: ja Cross-over nach Therapieende möglich: Second-line Therapie nach Entscheidung des Arztes (11.4% ohne Cisplatin erhielten Cisplatin-ba-	1b

Artikel	Studien-typ	Patienten-merkmale ⁷⁵	Intervention ⁷⁶ :	Vergleichs-Intervention	Nach-ver-fol-gung / Bem.	Endpunkte	Verzerrungsrisiko einschließlich Zensierungsrate für OS	Evidenzniveau (mit Begründung) / Bemerkungen
							sierte 2nd-line CTX)	
Kindler 2010 (CALGB 80303) <i>Journal of Clinical Oncology</i>	Multizentrische RCT 2-armig N= 602 (535 wurden behandelt) 6/2004 bis 4/2006 USA	nichtoperables Pankreaskarzinom ohne frühere palliative CTX Alter: 65 Jahre (26-88) Sex (m/w): 55%/45% ECOG 0/1/2:38%/52%/11% advanced/metastasiert: 16%/85% vorher RTX ja/nein: 11%/89% Komorbiditäten: Ausschluss von Patienten mit vorheriger Therapie, mit Tumorinvasion in benachbarte Organe, heart disease, or CNS disease	Gem (1,000 mg/m ²) an den Tagen 1, 8, und 15 eines Zyklus (28-Tage) +Bevacizumab (10 mg/kg) an den Tagen 1 und 15 eines jeden Zyklus (nach der Gabe von Gemcitabine)	Gem (1,000 mg/m ²) an den Tagen 1, 8, und 15 eines Zyklus (28-Tage)+ Placebo (10 mg/kg) an den Tagen 1 und 15 eines jeden Zyklus (nach der Gabe von Gemcitabine)	k.A. 1, 8, und 15 eines Zyklus (28-Tage)+ Placebo (10 mg/kg) an den Tagen 1 und 15 eines jeden Zyklus (nach der Gabe von Gemcitabine)	Primärer Endpunkt: OS Sekundäre Endpunkte: RR, PFS, AE	Generierung der Zufallsfolge: k.A. Verdeckte Therapiezuweisung: k.A. Verblindung: (doppel-blind, placebokontrolliert) Beschreibung von Studienabbrüchen: ja ITT-Analyse: ja Cross-over nach Therapieende möglich: ja Nach der geplanten Interim-Analyse im Juni 2006 wurde Verblindung aufgehoben,	1b- Weite Konfidenzintervalle
Meyer 2010 <i>Eur J Cancer.</i>	Multi-zentrisches RCT (Phase Ib/Ila) 3 Arme N=33 01/2006-10/2006 UK, Belgien	Fortgeschrittenes oder metastasiertes messbares nichtoperables Pankreaskarzinom, frühere CTX oder RTX für Pankreas Ca Alter: 62 Jahre (41-77) Sex: 50% Karnofsky 70-80%/90-100%: 14/19 cases (42.4%/57.6%) Lokal/Metastasen: 6 cases /26 cases (18.2%/78.8%) Ausschluss von (Komorbiditäten): Lebenserwartung < 3 Monate; schwere Infektionen, instabile medizinische Umstände,	a) 120 mg CCK2 receptor antagonist Z-360 (ab Tag 2, 2x täglich für 12 Wochen, an Tag 8 nur 1 der 2 täglichen Dosen) + Gem (1,000 mg/m ²) über 7 Wochen, 1 Woche Pause, dann 3 Wochen Behandlung, 1Woche Pause b) 240 mg CCK2 receptor antagonist Z-360 (ab Tag 2, 2x täglich für 12 Wochen, an Tag 8 nur 1 der 2 täglichen Do-	Placebo (ab Tag 2, 2x täglich für 12 Wochen, an Tag 8 nur 1 der 2 täglichen Dosen) + GEM (1,000 mg/m ²) über 7 Wochen, 1 Woche Pause, dann 3 Wochen Behandlung, 1Woche Pause)	4 Wochen follow up	primäre Endpunkte: Sicherheit, Pharmakokinetik sekundäre Endpunkte: Arzneimittelwechselwirkung zwischen Z-360 und GEM, Wirksamkeit über die RR, QuoL	Generierung der Zufallsfolge: unklar Verblindung: placebokontrolliert Beschreibung von Studienabbrüchen: ja ITT-Analyse: nein (Ausschluss von 5 Pat., die keine Dosis erhalten haben oder mit fehlender 1. Messung nach Dosis Cross-over nach Therapieende möglich: Zensierung von 60% der Patienten für OS	1b- sehr Kleine Stichprobengröße, sehr wenige Ereignisse

Artikel	Studien-typ	Patienten-merkmale ⁷⁵	Intervention ⁷⁶ :	Vergleichs-Intervention	Nach-ver-folgung / Bem.	Endpunkte	Verzerrungsrisiko einschließlich Zensierungsrate für OS	Evidenzniveau (mit Begründung) / Bemerkungen
		Myokardialinfarkt, psychische Störungen, OP in letzten 14 Tagen, gleichzeitige Behandlung mit Protonenpumpenhemmern (PPI)	sen)+ Gem (1,000 mg/m ²) über 7 Wochen, 1 Woche Pause, dann 3 Wochen Behandlung, 1 Woche Pause					
Philip 2010 Journal of Clinical Oncology	Multi-zentrisches RCT N = 745 01/2004 bis 04/2006 USA, Kanada	Patienten mit fortgeschrittenem oder metastasiertem Pankreaskarzinom ohne palliative CTX Alter: 64 Jahre Sex: 53% PS 0 und 1/2 : 87%/13% Lokal/Metastasen: 22 %/79 % Leber-Metastasen: 65 % Radikal. Pakreatektomie: 11% Adjuvante CTX: 6 % Komorbiditäten: Ausschluss von Patienten mit HIV-1, Hirnmetastasen, vorherige system. Therapie gegen fortgeschrittene Krankheit, Therapie mit EGFR-targeting agents	Gemcitabine (1000 mg/m ²) wöchentlich (7/8 Zyklen, dann wöchentlich (3/4 Zyklen) + Cetuximab (initial 400 mg/m ² in Woche 1), dann 250 mg/m ² wöchentlich Prämedikation von Antiemetika + Diphenhydramine (50 mg)	Gemcitabine (1000 mg/m ²) wöchentlich (7/8 Zyklen, dann wöchentlich (3/4 Zyklen)		Primärer Endpunkt: OS Sekundäre Endpunkte: PFS, Zeit bis Behandlung fehlschlägt, RR, Toxizität	Generierung der Zufallsfolge: dynamic balancing algorithm with stratification based on performance status, extent of disease and prior pancreatectomy Verdeckte Therapiezuweisung: unklar Verblindung: nein Beschreibung von Studienabbrüchen: ja ITT-Analyse: ja Cross-over nach Therapieende möglich: unklar Zensierung von 4.4 % (OS)	1b
Xie 2010 Jpn J Clin Oncol (Einschluss von Hermann 2007, Cunningham 2007)	System. Review 18 RCTs N=4237 Suche bis 05/2009	Patienten mit fortgeschrittenem oder metastasiertem Pankreaskarzinom, KPS ≥50%, Lebenserwartung ≥ 12 Wochen ohne frühere CTX, RTX oder andere Tumortherapie in letzten 6 Monaten	GEM-based cytotoxic doublets CTX: GEM+Capecitabine (3RCTs, n=935) GEM+Cisplatin (7 RCTs, n=958) GEM+5-FU (3RCTs, n=881) GEM+Irinotecan (3RCTs, n=579)	GEM alone	Follow-up rate >95%	Primärer Endpunkt: OS	A priori Design, Suche in Medline, EMBASE, CBMdisc, ASCO, ESMO, ECCO Doppeltes Screenen der Literatur doppelte Datenecktraktion, Qualitätskriterien beurteilt, Datensynthese, Charakteristik der Primärstudien gegeben, geringes Risiko für Publi-	1a

Artikel	Studien-typ	Patienten-merkmale ⁷⁵	Intervention ⁷⁶ :	Vergleichs-Intervention	Nach-ver-fol-gung / Bem.	Endpunkte	Verzerrungsrisiko einschließlich Zensierungsrate für OS	Evidenzniveau (mit Begründung) / Bemerkungen
2009, Colucci 2009, Kulke 2009, Poplin 2009,)			GEM+Oxaliplatin (3 RCTs, n=929)				kationsbias	
Dahan 2011 (FFCD 0301) Gut	multi-zentrische RCT 2-armig N = 202 08/2003-05/2006, Frankreich	Patienten mit metastasiertem Adenokarzinom der Pankreas, 62/65 Jahre (39-84) Sex: 64% / 36% PS 0 / 1 / 2: 29% / 51% / 18% Metastasiert: 100% Vortherapien: Chemo: 1.5% Radio: 1.5% OP: 25% Komorbiditäten: Ausschluss von Patienten mit brain metastases, a medical history of malignant tumours	First-line Gemcitabine (1000 mg/m ²) wöchentlich (7/8 Zyklen), danach wöchentlich (3/4 Zyklen) (Klassisches Burris Regime) + Second line LV5FU2-CDDP: Leucovorin (200 mg/m ²) + 5FU (400 mg/m ²) als Bolus, danach 2400 mg/m ²) + Cisplatin (50 mg/m ²) an Tag 1 alle 2 Wochen + Second line Gemcitabine (1000 mg/m ²) wöchentlich (7/8 Zyklen), danach wöchentlich (3/4 Zyklen) (Klassisches Burris Regime)	First-line LV5FU2-CDDP: Leucovorin (200 mg/m ²) + 5FU (400 mg/m ²) als Bolus, danach 2400 mg/m ²) + Cisplatin (50 mg/m ²) an Tag 1 alle 2 Wochen + Second line Gemcitabine (1000 mg/m ²) wöchentlich (7/8 Zyklen), danach wöchentlich (3/4 Zyklen) (Klassisches Burris Regime)	Mediane Nachverfolgung: 44 Monate	Primärer Endpunkt: OS Sekundäre Endpunkte: PFS, Anteil mit Second-line Therapie, Toleranz, QoL	Generierung der Zufallsfolge: geringes Risiko (Minimisation mit Stratifizierung) Verdeckte Therapiezuweisung: geringes Risiko (zentral) Verblindung: hohes Risiko (keine Verblindung) Beschreibung von Studienabbrüchen: ja ITT-Analyse: ja Cross-over nach Therapieende möglich: geplant Zensierung von 5% der Patienten für OS	1b
Hu 2011 Journal of Hematology & Oncology	System. Review 35 RCTs, n=9979	Patienten mit zytologisch oder histologisch bestätigtem lokal fortgeschrittenem oder metastasiertem Adenocarzinom der Pankreas	GEM+ other cytotoxic agents (23 RCTs, 5577 patients) GEM+ fluoropyrimidine (6 RCTs, 1829 patients) GEM+ platinum (11 RCTs, 2379 patients) (Oxaliplatin or Cisplatin) GEM+ camptothecin	Single-agent gemcitabine	1/1965 (Randomi-sierung)-6/2010 (Veröffentlichung)	OS, PFS, ORR	A priori Design unklar, Duplicate study selection and data extraction, literature search restricted to PubMed, ASCO and ECCO, characteristics of included studies, missing risk of bias of included studies, effects measures described as OR (ohne Heterogenität zwischen Effektmaßen der Studien nicht durchgehend beschrieben	1a-

Artikel	Studien-typ	Patienten-merkmale ⁷⁵	Intervention ⁷⁶ :	Vergleichs-Intervention	Nach-ver-fol-gung / Bem.	Endpunkte	Verzerrungsrisiko einschließlich Zensierungsrate für OS	Evidenzniveau (mit Begründung) / Bemerkungen
			(4 RCTs, n=839 (Irinotecan or exatecan) GEM+other agents (2 RCTs, 665 patients) GEM+ targeted therapy (9 RCTs, 3342 patients) Gemcitabine doublets + third targeted reagent (2 RCTs, 691 patients)				Angabe des Zeitpunktes, nicht als HR), fehlende Maße zur Heterogenität No conflict of interest	
Kindler 2011 Lancet Oncol	Multi-zentrisches RCT 2-armig N= 632 07/2007 - 10/2008 USA, Asien, Europa	Patienten mit fortgeschrittenem oder metastasiertem Pankreasadenokarzinom ohne frühere palliative CTX Alter: 62 Jahre (35-89) Sex: 61%/39% ECOG 0/1: 47%/52% Lokal fortgeschritten/ Metastasen: 25%/72% Metastasen in Leber/Lunge/Peritoneum: 55%/24%/6% Vorherige adjuvante Therapie: 4% Mean QLQ-30 global health status/QuoL score: 54.2 (22.3) Adjuvante Therapie ohne Gem, wenn 4 Wochen her (bis Studienbeginn), vorherige RTX war erlaubt Ausschluss bei (Komorbiditäten): unkontrollierbarem Bluthochdruck, venöser Throm-	Axitinib (starting dose 5 mg 2x täglich, bei guter Toleranz bis zu 10 mg 2x täglich) + Gemcitabine (1000 mg/m ²) an den Tagen 1,8 und 15 aller 28 Tage	Placebo + Gemcitabine	median duration with axitinib: 2.8 months (range 0.03–11.0, with gemcitabine: 2.3 months (range 0.03–11.1) Median follow-up 27 Wochen	Primärer Endpunkt: OS Sekundäre Endpunkte: PFS, RR, Dauer Response, Safety, QuoL (Krebs-spezifische Symptome, Schmerzen, Gesundheitsstatus)-gemessen an Tag 1 eines jeden Zyklus und an Tag 28 nach der letzten Dosis	Randomisierung: zentralisiert Verblindung: doppelblind (Patienten, Untersucher und der trial sponsor) Beschreibung von Studienabbrüchen: ja ITT-Analyse: ja Cross-over nach Therapieende möglich: nein Zensierung von 0.3% 01/2009 the independent data monitoring committee : discontinuation of axitinib	1b

Artikel	Studien-typ	Patienten-merkmale ⁷⁵	Intervention ⁷⁶ :	Vergleichs-Intervention	Nach-ver-fol-gung / Bem.	Endpunkte	Verzerrungsrisiko einschließlich Zensierungsrate für OS	Evidenzniveau (mit Begründung) / Bemerkungen
		bose, Patienten mit Invasion der anschließenden Hohlgane, vorherige Behandlung mit VEGF/VEGF-Rezeptor-Inhibitoren, Einnahme thrombolyt. Mittel, diverse Herz- und Lungenkrankheiten (Hämoptis, ischäm. Herzinfarkt, Venenthrombose, Lungenembolien), peptic ulcer disease, active seizure of gastrointestinal bleeding, Malabsorption, Einnahme von CYP-Inhibitoren/Induktoren						
Richards 2011 Invest New Drugs	Multi-zentrische RCT 2-armig N = 130 12/2005-05/2008 USA	Patienten mit lokal fortgeschrittenem oder metastasiertem Pankreaskarzinom Alter GE/G 68,3/64,1 Jahre (39,6-86,7) Sex: 60% / 40% ECOG 0/1/2: 40%/52%/8% Prior radiotherapy: 2,3% Prior surgery: 45,4% Stage at baseline IIB/III/IV: 1,5%/9,25%/89,25% Ausschluss bei (Komorbiditäten): prior chemotherapy, immunotherapy, biological therapy, hormonal therapy for pancreas cancer; endocrine pancreatic tumors or ampullary cancer; documented CNS metastasis; any second primary malignancy; ≥10% weight loss <6 weeks prior to registration; patients unable to swallow tablets	Gemcitabine (1000 mg/m ²) days 1, 8, 15 of each 28-day cycle +Enzastaurin (500 mg p.o.) daily (loading-dose 1200 mg - day 1/cycle 1) (GE)	Gemcitabine (1000 mg/m ²) days 1, 8, 15 of each 28-day cycle (G)		Primärer Endpunkt: OS Sekundäre Endpunkte: PFS, RR, QoL, Toxizität, relationships between biomarker expression and clinical outcomes	Randomisierung: (2:1) Verblindung: nein Beschreibung von Studienabbrüchen: ja ITT-Analyse: ja Cross-over nach Therapieende möglich: k. A. Zensierung von 21,5% (OS)	2b- Breite Konfidenzintervalle, kein Vergleich beider Gruppen

Artikel	Studien-typ	Patienten-merkmale ⁷⁵	Intervention ⁷⁶ :	Vergleichs-Intervention	Nach-ver-fol-gung / Bem.	Endpunkte	Verzerrungsrisiko einschließlich Zensierungsrate für OS	Evidenzniveau (mit Begründung) / Bemerkungen
Reni 2011 (PACT-9) Cancer Chemother Pharmacol	Mono-zentrischer RCT 2-armig N=105 07/2005 - 09/2008, Italien	Patienten mit Stage III/IV Adenokarzinom der Pankreas ohne frühere CTX Alter 60 Jahre (32-74) Sex (m/w): 60%/40% Karnovsky >70/≤70: 90%/10% Stage III / IV: 35% / 66% Komorbiditäten: Ausschluss von Patienten mit adjuvanter CTX oder prior malignancy, wenn nicht seit 5 Jahren disease free	PDXG: Cisplatin (30 mg/m ²) an Tag 1 und 15 + Gem (800 mg/m ²) an Tag 1 und 15 + Capecitabine (1,250 mg/m ² pro Tag), an Tagen 1-28, ohne Pause + Docetaxel (25-30 mg/m ²) an Tag 1 und 15 Zyklen wurden alle 28 Tage wiederholt, max. für 6 Monate	PEXG Cisplatin (30 mg/m ²) an Tag 1 und 15 + Gem (800 mg/m ²) an Tag 1 und 15 + Capecitabine (1,250 mg/m ² pro Tag), an Tagen 1-28, ohne Pause + Epirubicin (30 mg/m ²) an Tag 1 und 15	follow- up bis 12/2010 (mind. 26 Monate follow-up)	Primärer Endpunkt: PFS (über 6 Monate) Sekundäre Endpunkte: OS, Toxizität, radiological and biochemical RR	Generierung der Zufallsfolge: durch unabh. CRO Verdeckte Therapiezuweisung: ja (zentral) Verblindung: nein (nicht Plazebokontrolliert) Beschreibung von Studienabbrüchen: ja ITT-Analyse: ja Cross-over nach Therapieende möglich: für nach CTX resektable Patienten war OP und nachfolgende CTX möglich	2b- Phase II-Studie, breite Konfidenzintervalle, kein Vergleich beider Gruppen
Vergleich Gemcitabine (oder keine CTX) mit vs. ohne Erlotinib (Subgruppenanalysen rash)								
Moore 2007 (NCIC CTG PA.3) Journal of Clinical Oncology	multi-zentrische RCT 2-armig N = 569 10/2001 bis 01/2003 17 Länder weltweit	Patienten mit lokal fortgeschrittenem oder metastasiertem Adenokarzinom der Pankreas Median 63.9 Jahre (36.1-92.4 Jahre) Sex: 52% / 48% ECOG 0/1/2: 30% / 51% / 19% Lokal /metastasiert: 24.3% / 75.7% Vortherapien: RTX: 8.3% CTX: 7.9% OP der Primärtumors: 8.4%	Gem (1,000 mg/m ² an den Tagen 1, 8, 15, 22, 29, 36, und 43 in Zyklus 1 (8 Wochen), danach an Tagen 1, 8 und 15 (4-Wochen Zyklen)+ Erlotinib (100 oder 150 mg/d bis zur Progression oder unkontrollierbarer Toxizität)	Gem (1,000 mg/m ² an den Tagen 1, 8, 15, 22, 29, 36, und 43 in Zyklus 1 (8 Wochen), danach an Tagen 1, 8 und 15 (4-Wochen Zyklen)+ Placebo (100 oder 150 mg/d bis zur Progression)	Follow-up bis 06/2005 Initial war der n= 800 (381 Ereignisse) geplant. Wegen Resourcen-mangel n=450, Verlängerung der Follow-up Periode auf 18 Monate, Anz. der	Primärer Endpunkt: OS Sekundäre Endpunkte: PFS, RR, Response-dauer, Toxizitäten, QuoL, Korrelation der Baseline tissue HER1/EGFR Level mit dem Outcome	Generierung der Zufallsfolge: unklar Verdeckte Therapiezuweisung: unklar Verblindung: geringes Risiko (placebokontrolliert) Beschreibung von Studienabbrüchen: ja ITT-Analyse: ja Cross-over nach Therapieende möglich: unklar Zensierung von 15% der	1b

Artikel	Studien-typ	Patienten-merkmale ⁷⁵	Intervention ⁷⁶ :	Vergleichs-Intervention	Nach-ver-folgung / Bem.	Endpunkte	Verzerrungsrisiko einschließlich Zensierungsrate für OS	Evidenzniveau (mit Begründung) / Bemerkungen
		Komorbiditäten: unklar		oder unkontrollierbarer Toxizität)	Ereignisse entspricht der Planung.		Patienten für OS	
Wacker 2007 (PA.3) Clin Cancer Res.	Multi-zentrisches RCT N= 521 USA	Patienten mit lokal fortgeschrittenem, unresektablen oder metastasiertem Pankreaskarzinom Lokal fortgeschritten/metastasiert: 22.4%/77.6% Patienten mit rash-Entwicklung (no/grade 1/ grade2): Alter: <65J: 25% / 33% / 41% >65 Jahre: 34% / 40% / 27% sex: w: 28% / 36% / 36% m: 30% / 36% / 34% PS: PS 0 or 1: 26% / 36% / 39% PS 2: 47% / 37% / 16%	Erlotinib (100 oder 150 mg) täglich + Gem Incidence of rash: 71% von 254 (36% grade 1, 30% grade 2, 5% grade 3). median time to onset of maximum grade rash was 10 days, 90% experienced rash within 44 days	Placebo + Gem Incidence of rash: 30% von 245 (20% grade 1, 9% grade 2, 1% grade 3)	Update der Survival data:06/2005 Untersucht wurde die Entwicklung von EGFR inhibitor-related rash	Primärer Endpunkt: OS Sekundäre Endpunkte: PFS, Tumor Response Disease Control (CR+PR+SD),	Auswertung bezieht sich auf ein "rash-evaluable" population was defined for this analysis by including a guarantee time of 28 days of survival to minimize potential reporting bias in occurrence of rash in the group of patients who died early." Studienabbrüche: 22 patients excluded from the analysis (not treated or died within 28 days on study (7 in the erlotinib plus gem group and 15 in the placebo plus gem group	1b
Vergleich mit vs. ohne FOLFIRINOX-Protokoll								
Conroy 2011 New England Journal of Medicine	multi-zentrische RCT 2-armig N = 342 12/2005-10/2009,	Patienten mit metastasiertem Karzinom der Pankreas Median 61 Jahre (25-76) Sex: 62% / 38% ECOG 0/ 1/ 2: 38% / 62% / 0.3% endocrine or acinar pancreatic carcinoma, cerebral metastases, a history of another major cancer, chronic diarrhea, a clinically significant history of	FOLFIRINOX: oxaliplatin (85 mg/m ²) + irinotecan (180 mg/m ²) + leucovorin (400 mg/m ²) + fluorouracil (400 mg/m ² as a bolus +2400 mg /m ² continuous infusion) alle 2 Wochen, Gesamtbehandlung 6 Monate	Gemcitabine (1000 mg/m ²) wöchentlich für 7 von 8 Wochen, danach für 3 von 4 Wochen Phase 2-3, wurde als Phase 3 Studie bei Response-	Datenschluss 04/2010 Medianer Follow-up: 26.6 Monate (95%CI 20.5-44.9)	Phase 2: Primärer Endpunkt: Response Sekundäre Endpunkte: Sicherheit Phase 3:	Generierung der Zufallsfolge: unklar Verdeckte Therapiezuweisung: geringes Risiko (zentral) Verblindung: hohes Risiko (nicht möglich für Patienten und behandelnde Ärzte) Beschreibung von Studienabbrüchen: ja	1b

Artikel	Studien-typ	Patienten-merkmale ⁷⁵	Intervention ⁷⁶ :	Vergleichs-Intervention	Nach-ver-fol-gung / Bem.	Endpunkte	Verzerrungsrisiko einschließlich Zensierungsrate für OS	Evidenzniveau (mit Begründung) / Bemerkungen
	Frankreich	cardiac disease		rate >11/40 in der FOLFIRI-NOX fortgesetzt		Primärer Endpunkt: OS Sekundäre Endpunkte: PFS, RR, Sicherheit, QuoL	ITT-Analyse: ja Cross-over nach Therapieende möglich: ja (Second-line Therapie bei 47% (FOLFIRINOX) zu Gemcitabine oder Gemcitabine Komb. Und von Gemcitabine zu FOLFOX: 25% Gemc+Oxal. : 9% FOLFIRINOX: 2.3%) Zensierung von 20% der Patienten für OS	
Vergleich CTX mit vs. ohne andere Substanzen								
Berglund 2010 Med Oncol	Phase II 2-armig (cross-over-design) N = 73 (davon n=28 mit Pankreas-karzinom) 08/2003 – 04/2005 Schweden	Merkmale aller Patienten (N=73): mit fortgeschrittenem oberen GIT-Adenokarzinom (UGIA), Magenkarzinom (n=22), Pankreaskarzinom (n=28) und Gallenblasenkarzinom (n=23)) Alter: Median 62 Jahre (range, 40-75) Sex (m/w): 52%/48% WHO 0/1/2: 65 %/31 %/4 % Metastasen: 96%	FLv-DOCE: Docetaxel (45 mg/m² an Tag 1) + 5-FU (5-Fluorouracil)/Leucovorin (bei Pankreas-karzinom: an den Tagen 1 und 2 je 500 mg/m² und Calciumfolinat 60 mg/m²) für 2 Zyklen, dann cross over zur Vergleichstherapie für 2 Zyklen 2 Monate = 4Zyklen (2 Zyklen von jedem Therapiearm) q2wks	FL-Irinotecan: 5-FU/ Leucovorin (bei Pankreas-karzinom: an den Tagen 1 und 2 je 500 mg/m² und Calciumfolinat 60 mg/m²) + Irinotecan (180 mg/m² an Tag 1) für 2 Zyklen, dann cross over q2wks		Endpunkte: RR, TTP, OS, QuoL (EORTC QLQ-C30-Fragebögen, Anwendung von global health status/QuoL score)	k.A.	2b- Keine Vergleiche zwischen Interventionsgruppe, fehlende Informationen zur Beurteilung des Verzerrungspotentials

Tabelle 5.1.2/5.1.3b: Ergebnisse aktueller Studien zum Einsatz von palliativen First-line Chemotherapien (Gemcitabine in beiden Behandlungsarmen)

Artikel (Autor, Jahr, Studiename , Journal)	CTX mit vs. ohne Substanz	OS (95 % KI): Medi- ane /HR	RR (95 % KI)	PFS / DFS (95 % KI): Mediane /HR	Toxizität (alle in % der behandelten Patienten)	Lebensqualität	Angaben zu Untergruppen (prospektiv / retrospektiv, Gruppen, Ergebnisse für UICC Stadium, Altersgruppen, ECOG, rash- Entwicklung, molekulare Marker)
Herrmann 2007 Journal of Clinical Oncology	GemCap (n=160)	8,4 Monate (6,3- 9.8) 1-year OS: 32% (25% - 40%)	10,0% (5,7%- 16,0%)	4,3 Monate (3,7-5,3)	Therapieassoziierte To- desfälle: 0,6% SAE: 52%	Reported else- where	Subgroup KPS 90-100: OS 10,1 (8,4-12,5) GemCap OS 7,4 (6,6-8,5) Gem
	Gem (n=159)	7,2 Monate (6,5- 8,3) 1-year OS: 30% (23%-38%) p=0,234	7,8% (4,1%- 13,3%)	3,9 Monate (3,6-5,3) (p=0,103)	Therapieassoziierte To- desfälle : 0,3% SAE: 43%	Reported else- where	
Boeck 2008 Annals Oncol- ogy	CapOx (n=61)	8.1 Monate (6.7- 10.2) 1-year OS: 29% (19-44)	13 % (6- 24)	PFS: 4.2 Monate (2.3-5.6)	therapieassoziierte Todes- fälle: k.A. therapieass. Therapieab- brüche: 20 % grade 3/4 hämatologische Toxizität: 10% grade 3/4 nicht- hämatologische Toxizität: 57 %	k.A	Karnovsky \geq 90 % / \leq 80 %: OS : 9.2/7.0 Monate und PFS: 5.6/3.6 Monate Metastasen: OS: 7.8 Monate (CapOx; 95% CI 5.0–10.1), 8.1 Monate (CapGem; 95% CI 7.1–11.2) 5.6 Monate (mGemOx; 95% CI 4.9–8.8)
	mGemOx (n=63)	6.9 Monate (5.1- 9.0) 1-year OS: 22 % (13-38)	13% (6- 24)	PFS: 3.9 Monate (3.0-5.4)	therapieassoziierte Todes- fälle: k.A. therapieass. Therapieab- brüche: 26 % grade 3/4 hämatologische Toxizität: 40 % grade 3/4 nicht- hämatologische Toxizität: 74%	k.A	PFS: 3.6 Monate (95% CI 2.2–5.6) CapOx 5.8 Monate (95% CI 3.0–6.6) CapGem 3.8 months (95% CI 2.6–5.1) mGemOx
	CapGem (n=60)	9.0 Monate (7.7- 11.5) 1-year OS: 33% (23-47)	25% (15- 37)	PFS: 5.7 Monate (3.6-6.3)	therapieassoziierte Todes- fälle: k.A. therapieass. Therapieab- brüche: 13%	k.A	

Artikel (Autor, Jahr, Studienname , Journal)	CTX mit vs. ohne Substanz	OS (95 % KI): Medi- ane /HR	RR (95 % KI)	PFS / DFS (95 % KI): Mediane /HR	Toxizität (alle in % der behandelten Patienten)	Lebensqualität	Angaben zu Untergruppen (prospektiv / retrospektiv, Gruppen, Ergebnisse für UICC Stadium, Altersgruppen, ECOG, rash- Entwicklung, molekulare Marker)
					grade 3/4 Toxizität: 35 % grade 3/4 nicht- hämatologische Toxizität: 54 %		
Cascinu 2008 Lancet Oncol- ogy	Cetuximab group (n=40)	7.5 Monate (5.1– 8.8)	17.5% (7.3–32.8)	3.4 Monate (2.4–5.1)	k.A	k.A	k.A
	Non-cetuximab group (n=41)	7.8 Monate (5.3– 15.0) HR 0.91 [0.54– 1.55]	12.2 % (4.1–26.2)	4.2 Monate (2.6–5.4) HR 0.96 [0.60–1.52]	k.A	k.A	
Saif 2009 Cancer Jour- nal	LY293111 +Gem (n = 67)	7.1 Monate (5.2– 9.2) 6-monthe OS: 58% (46%–69%)	10.5%,	PFS 3.7 Monate (2.5–5.1) nicht signifi- kant	AE: 11.9 % therapieassoziierte Todesfälle: 6%	k.A	6-monatige Überlebensrate: LY/Placebo: 65% (KI-95% 53%–77%) / 58% (95%-KI 46%–69%) Weitere: Effekt auf den Gesundheitsstatus (Gewichtsverlust, Verschlechterung PFS und Einnahme Analgetika)
	Placebo +Gem (n = 66)	8.3 Monate (6.5– 10.8) 6-monthe OS: 65% (53%–77%)	6.1%	PFS 3.4 Monate (2.2–3.9)	AE: 15.2 % therapieassoziierte Todesfälle: 3 %	k.A	
Afchain 2009 (GERCOR) Electronic journal of oncology	S-GemOx (verein- facht) (Gemcitabine und Oxaliplatin) (n= 40)	7.6 Monate	27% (12– 42)	PFS 4.0 Monate	therapieassoziierte Todes- fälle: keine AE (Grad 3/4): 57%	k.A	The very bad outcome of patients randomized in GemOx arm could at least be in part ex- plained by the high-rate of poorly differentiated tumors
	GemOx (klassisch) (Gemcitabine und Oxaliplatin) (n = 20)	3.2 Monate	10% (0– 23)	2.5 Monate	therapieassoziierte Todes- fälle: keine AE (Grad 3/4): 40% (nicht statistisch signifikant)	k.A	k.A

Artikel (Autor, Jahr, Studienname , Journal)	CTX mit vs. ohne Substanz	OS (95 % KI): Medi- ane /HR	RR (95 % KI)	PFS / DFS (95 % KI): Mediane /HR	Toxizität (alle in % der behandelten Patienten)	Lebensqualität	Angaben zu Untergruppen (prospektiv / retrospektiv, Gruppen, Ergebnisse für UICC Stadium, Altersgruppen, ECOG, rash- Entwicklung, molekulare Marker)
Cunning- ham 2009- Journal of Clinical Oncology	GEM-CAP (n=267)	7,1 Monate (6.2 - 7.8) 1-year OS 24.3%	19.1% (14.4 - 23.8)	5.3 Monate (4.5 -5.7) 1-year PFS: 13.9% (9.7- 18.0)	k.A	13,9% beantwor- ten Baseline Frage-bogen, p>0.05	Anzahl der Ereignisse (OS) in Subgruppen: lokal fortgeschritten/metastasiert: GEM-CAP: 98.8%/100% GEM: 96.1%/100%
	GEM (n=266)	6.2 Monate (5.5 - 7.2) 1-year OS : 22% HR 0.86 (0.72 - 1.02) für GEM- CAP	12.4 % (8.4 -16.4)	3.8 Monate (2.9 - 4.8) 1-year PFS: 8.4% (5.1- 11.8) HR 0.78 (0.66- 0.93) für GEM- CAP	k.A	15,8% beantwor- ten baseline- Fragebogen	Performance status 0/1/2: GEM-CAP: 98.5%/100%/100% GEM: 98.2%/98.8%/100%
Kulke 2009 Journal of Clinical Oncology	Gem+ Cisplatin (n=56)	6,7 Monate (5,0- 7,8)	12,5%	4,5 (2,6-5,5)	Therapieassoziierte Todesfälle: 3,6%	k. A.	CA 19-9 response rates Arm A/B/C/D: 33% / 42% / 42% / 33%
	Gem+ Docetaxel (n=57)	6,4 Monate (5,1- 7,9)	12,3%	4,1 (2,4-4,9)	Therapieassoziierte Todesfälle: 0%	k. A.	
	Gem+ Irinotecan (n=51)	7,1 Monate (5,4- 8,8)	13,7%	4,0 (2,5-5,2)	Therapieassoziierte Todesfälle: 2,0%	k. A.	
	FDR Gem (n=43)	6,4 Monate (4,4- 9,9)	14,0%	3,3 (2,7-4,6)	Therapieassoziierte Todesfälle: 4,7%	k. A.	
Lissoni 2009 In vivo	Gem + Aloe arbo- rescens (alle Entitäten: n=119 Pankreas: bei n= 18)	1-year OS (alle Entitäten): 70%	17 % (Pankreas karzinom)	k.A.	Asthenie/Erschöpfung bei 26 % (aller Patienten)	Bessere Verträg- lichkeit der CTX bei zusätzlicher Aloe-Gabe	k.A.
	Gem (alle Entitäten: n=121 Pankreas: p<0.01	1-year OS (alle Entitäten): 40% p<0.01	7 % (Pan- kreaskarzi- nom)	k.A.	Asthenie/Erschöpfung bei 46 % (aller Patienten)		

Artikel (Autor, Jahr, Studienname , Journal)	CTX mit vs. ohne Substanz	OS (95 % KI): Medi- ane /HR	RR (95 % KI)	PFS / DFS (95 % KI): Mediane /HR	Toxizität (alle in % der behandelten Patienten)	Lebensqualität	Angaben zu Untergruppen (prospektiv / retrospektiv, Gruppen, Ergebnisse für UICC Stadium, Altersgruppen, ECOG, rash- Entwicklung, molekulare Marker)
	bei n= 20)						
Poplin 2009 Journal of Clinical Oncology	GEMOX (n=272)	5,7 Monate (4,9- 6,5)	9,4%	2,7	Therapieassoziierte Todesfälle: k. A. SAE: nicht eindeutig zuzu- ordnen	k. A.	ECOG 0/1/2 OS: 6.8 / 5,3 / 3,9 Monate PFS: 3,6 / 2,8 / 2,1 Monate
	GEM (n=275)	4,9 Monate (4,5- 5,6)	6%	2,6		k. A.	Locally advanced/metastatic disease OS: 9,2 / 5,4 Monate PFS: 5,4 / 2,7 Monate
	GEM FDR (n=277)	6,2 Monate (5,4- 6,9)	10,4%	3,5		k. A.	
Spano 2008 Lancet	Gem+Axitinib (n=69)	6,9 Monate (5,3- 10,1) HR 0,71 (0,44- 1,13) für GA 1-year-survival: 36,8% (25,7- 47,9)	7% (2,4-16,1) Stable disease: 55%	4,2 Monate (3,6-10,2) HR 0,79 (0,43-1,45) für GA	Grade 5 gastrointestinal bleeding (colon ischemia): 1,5% Therapieabbruch: 32% (disease progres- sion), 25% (AE)	Mean global QoL score after 3 treat- ment cycles: 57,1 (SD 24-75; n=35)	PS 0-1 only (n=94) HR 0,68 (0,42-1,11) PS 2 only (n=9) HR 1,24 (0,24-6,34) Locally advanced (n=44) HR 0,54 (0,26-1,12) Metastatic (n=59) HR 0,96 (0,52-1,77) Metastatic – PS 0-1 only (n=52) HR 0,77 (0,44-1,13)
	Gem (n=34)	5,6 Monate (3,9- 8,8) 1-year-survival: 23,5% (11,5- 38,0)	3% (0,1-15,3) Stable disease: 44%	3,7 Monate (2,2-6,7)	Therapieabbruch: 48% (disease progres- sion), 3% (AE)	Mean global QoL score after 3 treat- ment cycles: 61,3 (SD 16-86; n=14)	
Van Cutsem 2009 Journal of Clinical Oncology	Bevacizumab + Gem + Erlotinib (n = 306)	7.1 Monate Range: 0.0-19.8 Monate	13.5% (9.8-17.9)	4.6 Monate Range 0.0- 18.3 Mo- nate	therapieassoziierte Todes- fälle: 9% therapieass. Therapieab- brüche:19% AE (Grad 3-5): 74%	k.A.	Keine Angaben zur Planung HR für OS: Altersgruppe: <65 Jahre: 0.89 (0.70-1.12) ≥65 Jahre: 0.87 (0.64-1.17) KPS <80: 0.99 (0.61-1.59) ≥80: 0.86 (0.71-1.06) Weitere: female/male, Rasse, Gelbsucht,
	Placebo + Gem + Erlotinib (n = 301)	6.0 Monate Range 0.1-19.5 HR 0.89 (0.74 – 1.07) für CTX mit Bev.	8.6% (5.6-12.4)	3.6 Monate Range 0.0- 13.6 Mo- nate HR 0.73 (0.61 - 0.86)	therapieassoziierte Todes- fälle: 6% therapieass. Therapieab- brüche:18% AE (Grad 3-5): 70%	k.A.	

Artikel (Autor, Jahr, Studienname , Journal)	CTX mit vs. ohne Substanz	OS (95 % KI): Medi- ane /HR	RR (95 % KI)	PFS / DFS (95 % KI): Mediane /HR	Toxizität (alle in % der behandelten Patienten)	Lebensqualität	Angaben zu Untergruppen (prospektiv / retrospektiv, Gruppen, Ergebnisse für UICC Stadium, Altersgruppen, ECOG, rash- Entwicklung, molekulare Marker)
				für CTX mit Bev.			Läsionenkategorie, Leberläsionen, Tabakkonsum, Laborwerte, Auftreten von Hautausschlag während Behandlung (Grade 0-2) Unterschiede zwischen Gruppen i.Abh. von Lage des Primärtumors, CRP und LDH Werten festgestellt,
Colucci 2010 Journal of Clinical Oncology	Gem+ Cisplatin (n=201)	7.2 Monate	12.9% (9.0-18.3).	3.8 Monate	therapieassoziierte Todesfälle: 1.6% therapieass. Therapieabbrüche: 20%	45% beantworteten Fragebogen, Abnahme zu Baseline um 0.9 Punkte	Exploratorische Subgruppenanalyse HR in Grafik zeigen alle einen nichtsignifikanten Vorteil für Monotherapie
	Gem (n=199)	8.3 Monate HR 1.10 (0.89-1.35) mit Vorteil für Gemcitabine	10.1 % (6.6-15.0).	3.9 Monate HR 0.97 (0.80-1.19) für Komb.	therapieassoziierte Todesfälle: 1.0% therapieass. Therapieabbrüche: 12%	45% beantworteten Fragebogen, Abnahme zu Baseline um 6.2 Punkte mit Vorteil für Monotherapie, sign. Vorteil bei social functioning und Planung	Subgruppen: Männer / Frauen <65 / ≥65 Jahre, Stage (II-III / IV), Karnovsky (</≥80) und vorangehende OP
Kindler 2010 Journal of Clinical Oncology	Gemcitabine + Bevacizumab (n = 302)	5.8 Monate (4.9 - 6.6)	13%	PFS 3.8 Monate (3.4 - 4.0)	therapieassoziierte Todesfälle: 1,8 % Zurücknahme des Einverständnisses: % therapieass. AE: 19,4 %	k.A.	
	Gemcitabine + Placebo (n = 300)	5.9 Monate (5.1 - 6.9) HR 1.04 (0.88 - 1.24).	10%	PFS 2.9 Monate (2.4 - 3.7)	therapieassoziierte Todesfälle: 0,4 % therapieass. AE: 14,1 %	k.A.	
Meyer 2010 EJC	Z-360 120 mg + GEM (n=9)	1 Patient verstorben	0 % SD 62.5%	k.A.	AE -Anzahl: 170 SAE-Anzahl: 13 (1 Patient starb aufgrund SAE)	Klin. Relevante Schmerzen: Verbessert: 4/7 Gleich: 2/7 Schlechter: 1/7	

Artikel (Autor, Jahr, Studienname , Journal)	CTX mit vs. ohne Substanz	OS (95 % KI): Medi- ane /HR	RR (95 % KI)	PFS / DFS (95 % KI): Mediane /HR	Toxizität (alle in % der behandelten Patienten)	Lebensqualität	Angaben zu Untergruppen (prospektiv / retrospektiv, Gruppen, Ergebnisse für UICC Stadium, Altersgruppen, ECOG, rash- Entwicklung, molekulare Marker)
Philip 2010 Journal of Clinical Oncology	Z-360 240 mg + GEM (n=12)	6 Patienten ver- storben	0 % SD 25 %	k.A.	AE-Anzahl : 159 SAE-Anzahl: 17(4 Patien- ten starben aufgrund SAE)	Klin. Relevante Schmerzen: Verbessert: 4/8 Gleich: 1/8 Schlechter: 3/8	
	Placebo + GEM (n=12)	4 Patienten ver- storben	0 % SD 60 %	k.A.	AE-Anzahl: 250 (Einige Grad 3-4 –AE bei 2 Patienten nur in Pla- cebo-Gruppe) SAE-Anzahl: 10 (4 Patien- ten starben aufgrund SAE)	Klin. Relevante Schmerzen: Verbessert: 2/8 Gleich: 2/8 Schlechter: 4/8	
Xie 2010 Jpn J Clin Oncol	Gem + Cetuximab (n = 372)	6.3 Monate HR 1.06 (0.91- 1.23)	8%	PFS 3 Mo- nate HR 1.07 (0.93-1.24)	AE Grad 4/5: 17 % (Grad 5 bei 7 von 361 Patienten) therapieassoziierte Todes- fälle: 3/361 Patienten (0.8%) therapieass. Therapieab- brüche: 79/361 Patienten (22%)	k.A.	Alle Angaben zeigen das Relative Risiko (RR) für OS, Werte < 1 ergeben einen Vorteil für GEM doublets GEM+Capecitabine (6 months / 1 year): 0.85 (0.73-0.99) / 0.94 (0.87-1.02) GEM+Cisplatin (6 months / 1 year): 0.99 (0.86-1.13) / 0.99 (0.91-1.07) GEM+FU (6 months / 1 year):
	Gem (n = 371)	5.9 Monate	7%	3.4 Monate	AE Grad 4/5: 11 %(Grad 5 bei 1 von 355 Patienten) therapieass. Therapieab- brüche: 116/355 Patienten (33%)	k.A.	

Artikel (Autor, Jahr, Studienname , Journal)	CTX mit vs. ohne Substanz	OS (95 % KI): Medi- ane /HR	RR (95 % KI)	PFS / DFS (95 % KI): Mediane /HR	Toxizität (alle in % der behandelten Patienten)	Lebensqualität	Angaben zu Untergruppen (prospektiv / retrospektiv, Gruppen, Ergebnisse für UICC Stadium, Altersgruppen, ECOG, rash- Entwicklung, molekulare Marker)
		Heterogenität					0.95 (0.83-1.09) / 0.96 (0.90-1.02) GEM+Irinotecan (6 months / 1 year): 1.03 (0.86-1.22) / 1.00 (0.91-1.10) GEM+Oxaliplatin: (6 months / 1 year): 0.80 (0.70-0.91) / 0.93 (0.87-1.00)
Dahan 2011 Gut	Gem (first-line)+ LV5FU2-CDDP (second-line) (n=100)	8.03 Monate (5.9-9.8)	First-line: 19% Overall: 22%	3.5 Monate (2.4-4.1)	AE (Grad 3/4): 64% in first-line AE (Grad 3/4): 80% in first- und second-line	Separate Publika- tion geplant	
	LV5FU2-CDDP (first-line) + Gem (second-line) (n=102)	6.7 Monate (5.4- 8.6) HR 1.03 (0.77- 1.37)	First-line: 15% Overall: 19%	3.4 Monate (2.4-4.4) HR 0.94 (0.71-1.25)	AE (Grad 3/4): 79% AE (Grad 3/4): 86% in first- und second-line		
Hu 2011 Journal of Hematology & Oncology	Gem in Kombina- tion (OS:16 RCTs, n=2172) (PFS: 13 RCTs, n=2099)	OR 1.15 (1.03- 1.28) für Komb.	ORR 1.58 (1.31- 1.91) für Komb.	PFS: OR 1.27 (1.14- 1.42) für Komb.	k. A.	k. A.	k. A.
	Gem (OS: 16 RCTs, n=2179) (PFS: 13 RCTs, n=2104)				k. A.	k. A.	
	Gem+ Fluoropyri- midine (OS: 3 RCTs, n=587)	OR 1.33 (1.08- 1.64) 1-year OR: 1.08 (0.82-1.43)	ORR 1.47 (1.04- 2.07) für Komb.	PFS: OR 1.53 (1.24- 1.88) für Komb.	k. A.	k. A.	k. A.
	Gem (OS: 3 RCTs, n=587)	für Komb.			k. A.	k. A.	

Artikel (Autor, Jahr, Studienname , Journal)	CTX mit vs. ohne Substanz	OS (95 % KI): Medi- ane /HR	RR (95 % KI)	PFS / DFS (95 % KI): Mediane /HR	Toxizität (alle in % der behandelten Patienten)	Lebensqualität	Angaben zu Untergruppen (prospektiv / retrospektiv, Gruppen, Ergebnisse für UICC Stadium, Altersgruppen, ECOG, rash- Entwicklung, molekulare Marker)
	Gem+ Platinum (OS: 9 RCTs, n=887) (PFS: 6 RCTs, n=437) (ORR: 11 RCTs, n=966)	OR 1.16 (0.98- 1.38) 1-Jahe OS: OR 1.15 (0.92-1.44) für Komb.	ORR: 1.48 (1.15 - 1.92) für Komb.	PFS: OR 1.29 (1.08-1.54) für Komb.	k. A. k. A.	k. A. k. A.	k. A.
	Gem (OS: 9 RCTs, n=886) (PFS: 6 RCTs, n=436) (ORR: 11 RCTs, n=954)						
	Gem+ Cislatin (OS: 6 RCTs, n=814) (PFS: 4 RCTs, n=394)	OR: 1.01, p=0.93	ORR: OR 1.38 (1.00- 1.91) für Komb.	PFS: OR: 1.19, p=0.17 für Komb.	k. A. k. A.	k. A. k. A.	k. A.
	Gem (OS: 6 RCTs, n=811) (PFS: 4 RCTs, n=391)						
	Gem+ Camp- totecin (OS: 4 RCTs, n=415) (PFS: 2 RCTs, n=415)	OR 1.03 (0.81- 1.32)	ORR: OR 2.03 (1.28- 3.23) für Komb.	PFS OR 0.97 (0.76- 1.23)	k. A.	k. A.	k. A.

Artikel (Autor, Jahr, Studienname , Journal)	CTX mit vs. ohne Substanz	OS (95 % KI): Medi- ane /HR	RR (95 % KI)	PFS / DFS (95 % KI): Mediane /HR	Toxizität (alle in % der behandelten Patienten)	Lebensqualität	Angaben zu Untergruppen (prospektiv / retrospektiv, Gruppen, Ergebnisse für UICC Stadium, Altersgruppen, ECOG, rash- Entwicklung, molekulare Marker)
Kindler 2011	Gem (OS: 4 RCTs, n=424) (PFS: 2 RCTs, n=424)				k. A.	k. A.	
	Gem+ Oxaliplatin (OS: 3 RCTs, n=450) (PFS: 2 RCTs, n=420)	OR 1.33 (1.05- 1.69) 1-year OR 1.40 (1.02-1.93) für Komb.,	k. A.	PFS: OR 1.38 (1.08- 1.76) für Komb.	k. A.	k. A.	k. A.
	Gem (OS: 3 RCTs, n=450) (PFS: 2 RCTs, n=420)				k. A.	k. A.	
Kindler 2011	Axitinib + Gem (n= 316)	8.5 Monate (6.9- 9.5)	5% (2.5- 8.3)	PFS: 4.4 Monate (4.0-5.6)	AE (10.5 %)	Baseline (QLQ- C30 global health status): 54.2 (p>0.05)	k.A.
	Placebo + Gem (n= 316)	8.3 Monate (6.9 – 10.3) HR 1.01 (0.79- 1.31) P=0.544	2% (0.4-4.0)	PFS: 4.4 Monate (3.7-5.2) HR 1.01 (0.78-1.30) P=0.520	AE (10.7%)	Baseline (QLQ- C30): 57.1 Patients on pla- cebo reported a ≥5-point change from baseline in emotional function- ing, pain, constipa- tion, insomnia, and loss of appetite (all improved) on the QLQ-C30; similar changes in pancre- atic pain, fear of future health, and	

Artikel (Autor, Jahr, Studienname , Journal)	CTX mit vs. ohne Substanz	OS (95 % KI): Medi- ane /HR	RR (95 % KI)	PFS / DFS (95 % KI): Mediane /HR	Toxizität (alle in % der behandelten Patienten)	Lebensqualität	Angaben zu Untergruppen (prospektiv / retrospektiv, Gruppen, Ergebnisse für UICC Stadium, Altersgruppen, ECOG, rash- Entwicklung, molekulare Marker)
						cachexia (all im- proved) on the QLQ-PAN26 (data not shown)."	
Richards 2011 Invest New Drugs	Gem+ Enzastau- rin (n=86)	5,6 Monate (4,2- 6,9) 6 months OS: 42%, 1-year OS: 19%	8,6% DCR: 49,4%	3,4 (2,4-4,0)	Therapieassoziierte Todesfälle: k. A. SAE: neutropenia 18,3%, thrombocytopenia 14,6%, fatigue 11,0%	No significant improvements or worsening of scores	Subset analysis - patients with IHC biomarker assessments: no statistically significant differ- ences GE (n=31) OS 6,9 Monate (4,9-10,8) PFS 3,2 Monate (2,1-5,9)
	Gem (n=44)	5,1 (3,6-8,1) 6 months OS: 44%, 1-year OS: 17%	5,3% DCR: 47,4%	3,0 (1,9-4,5)	Therapieassoziierte Todesfälle: k. A. SAE: neutropenia 28,2%, thrombocytopenia 25,6%, fatigue 7,7%	No significant improvements or worsening of scores	G (n=14) OS 6,9 Monate (3,1-9,8) PFS 3,6 Monate (2,0-6,2)
Reni 2011 Cancer Chemother Pharmacol	PDXG (n=53)	10.7 Monate 1-year OS: 43% 2-year OS: 24%		7.4 Monate (IQR 3,5- 11,7)	therapieassoziierte Todes- fälle:keiner therapieass. Therapieab- brüche: 1,9% Zurücknahme des Einver- ständnisses: 3,8% therapieass. AE:3,8%	k.A.	PFS nach 6 Monaten: 58 %(95%-KI:45-72%) in beiden Gruppen 99 Patienten (94%) starben aufgrund Progres- sion der Krankheit oder durch therapieassozii- erte Komplikationen
	PEXG (n=52)	11.0 Monate 1-year OS: 46% 2-year OS: 16%		7.6 Monate (IQR 4,2- 10,0)	therapieassoziierte Todes- fälle: 1,9% (grade 5 diarr- hea) therapieass. Therapieab- brüche: % Zurücknahme des Einver- ständnisses: 7,7% therapieass. AE:7,7%	k.A.	

Tabelle 5.1.2/5.1.3c: Ergebnisse aktueller Studien zum Einsatz von palliativen First-line Chemotherapien (Studien mit vs. ohne Erlotinib mit Subgruppenanalyse zu rash)

Artikel (Autor, Jahr, Studiename, Journal)	CTX <i>mit Sub- stanz</i>	OS Median / HR (95 % KI)	RR WHO (95 % KI)	PFS / DFS (Median / HR (95 % KI))	Toxizität (alle in % der behandelten Patienten)	Lebens- qualität	Angaben zu Untergruppen (prospektiv / retrospektiv, Gruppen, Ergebnisse für UICC Stadium, Altersgruppen, ECOG, rash- Entwicklung, molekulare Marker)
	Therapie <i>ohne Sub- stanz</i>						
Moore 2007 Journal of Clinical Oncology	Erlotinib und Gemcitabine (n = 285)	6.24 Monate	8.6%	PFS: 3.75 Monate	therapieassoziierte Todesfälle: 2.1% Dosisreduktion: 16% AE (Grad 3-4): 62%	Keine Unterschiede in Gesamt QuoL oder Teilbereichen	Keine Angaben zur Planung HR für OS: Altersgruppe: <65 Jahre: 0.75 (0.58-0.96) ≥65 Jahre: 0.96 (0.74-1.24) ECOG 0/1: 0.87 (0.71-1.06) 2: 0.61 (0.41-0.92) Lokal: 0.94 (0.63-1.39) Metast. : 0.79 (0.65-0.97) Weitere: female/male, pain score ≤/≥20, EGFR positiv / negativ Rash (nur Erlotinib-Gruppe, n=282): Keine rash (28%), median OS: 5.3 months, 1-year OS: 16% rash (grade 1) (36%): 5.8, 9% rash (grade 2) (36%): 10.5, 43% HR 0.74 (95%CI 0.56-0.98) mit Vorteil für rash-Patienten
	Placebo und Gemcitabine (n = 284) für CTX mit Erlotinib	5.91 Monate HR 0.82 (0.69 – 0.99)	8.0%	3.55 Monate HR 0.77 (0.64 – 0.92) für CTX mit Erlotinib	therapieassoziierte Todesfälle: 0% Dosisreduktion: 5% AE (Grad 3-4): 57%	Ausnahme: Diarrhea (Nachteil für Erlotinib-Gruppe)	
Wacker 2007 Studie PA.3	Erlotinib + Gem (n=261) für Erlotinib	HR 0.81 (0.67-0.97)					Rash (n=254 rash-evaluable): 71% Rash Grad 1/2/3: 36%/30%/5% Median time bis max Grad rash: 10 Tage -90 % Rash-Entwicklung innerhalb 44 Tage OS: ohne rash(n=74): 5.4 Monate mit Grad 1(n=92)/≥2(n=88) rash: 5.7/10.8 Monate

Artikel (Autor, Jahr, Studiename, Journal)	CTX mit Sub- stanz	OS Median / HR (95 % KI)	RR WHO (95 % KI)	PFS / DFS (Median / HR (95 % KI)	Toxizität (alle in % der behandelten Patienten)	Lebens- qualität	Angaben zu Untergruppen (prospektiv / retrospektiv, Gruppen, Ergebnisse für UICC Stadium, Altersgruppen, ECOG, rash- Entwicklung, molekulare Marker)
	Therapie ohne Sub- stanz						
							Grad 1 vs. ohne rash: HR 0.90 (0.66-1.23) Grad ≥2 vs. ohne rash: HR 0.47 (0.34-0.64), PFS PFS: ohne rash (n=74): 3.1 Monate mit Grad 1(n=92)/≥2(n=88) rash: 3.6/6.5 Monate Grad 1 vs. Ohne rash: HR 0.94 (0.68-1.29) Grad ≥2 vs. Ohne rash: HR 0.46 (0.33- 0.65)
	Placebo + Gem (n=260)						Rash (n=245): 30% Rash Grad 1/2/3: 20%/9%/1% OS (keine) Korrelation no rash vs. rash: HR 0.90 (0.68-1.18), P=0.435 ohne rash: 6.0 Monate mit Grad 1/≥2 rash: 6.3/7.2 Monate

Tabelle 5.1.2/5.1.3d: Ergebnisse aktueller Studien zum Einsatz von palliativen First-line Chemotherapien (Studien mit vs. ohne FOLFIRINOX-Protokoll)

Artikel	CTX mit vs. ohne Sub- stanz	OS Median, HR (95 % KI)	RR WHO (95 % KI)	PFS / DFS Median, HR (95 % KI)	Toxizität (alle in % der behandelten Patienten)	Lebensqualität	Angaben zu Untergruppen (prospektiv / retrospektiv, Gruppen, Ergeb- nisse für UICC Stadium, Altersgruppen, ECOG, rash-Entwicklung, molekulare Mar- ker)
Conroy 2011 New England Journal of Medicine	FOLFIRINOX (n=171)	11.1 Monate (9.0 - 13.1)	31.6% (24.7–39.1)	6.4 Monate (5.5 - 7.2)	therapieassoziierte Todes- fälle: 0.6% therapieass. Therapieab- brüche: 3% therapieass. AE (Grad 3- 5): >5% Weitere: hämatologische und nichthämatologische	HR für Zeit bis zur definitiven Verschlechterung 0.47 (0.30-0.70) für FOLFIRINOX	Planung unklar HR für OS (alle mit Vorteil für FOLFIRINOX): Altersgruppe: <65 Jahre: 0.61 (0.46-0.82) ≥65 Jahre: 0.48 (0.30-0.77) ECOG 0: 0.59 (0.39-0.89) 1: 0.55 (0.40-0.74) Weitere: female/male, Albuminlevel, Lage des primären Tumors, Synchrone/metachrone Metastasen, Anz. der Metastasen, Leber- oder Lungenmetastasen, Carbohydrantigenlevel, Biliary stent
	Gemcitabine (n=171)	6.8 Monate (5.5-7.6) HR 0.57 (0.45 - 0.73) für FOLFI- RINOX	9.4% (5.4– 14.7)	3.3 Monate (2.2-to 3.6) HR 0.47 (0.37 - 0.59) für FOLFIRINOX	therapieassoziierte Todes- fälle: 0.6% therapieass. Therapieab- brüche: 6% therapieass. AE (Grad 3- 5): >5%		

Tabelle 5.1.2/5.1.3e: Ergebnisse aktueller Studien zum Einsatz von palliativen First-line Chemotherapien (andere Substanzen)

Artikel (Autor, Jahr, Studienname, Journal)	CTX mit vs. ohne Substanz	OS Median, HR (95 % KI)	RR WHO (95 % KI)	PFS /DFS Median, HR (95 % KI)	Toxizität (alle in % der behandelten Patienten)	Lebensqualität	Angaben zu Untergruppen (prospektiv / retrospektiv, Gruppen, Ergeb- nis für UICC Stadium, Altersgruppen, ECOG, rash-Entwicklung, molekulare Mar- ker)
Berglund 2010 Med Oncol	FL-Docetaxel first (n= 37; Pankreas Ca= 13)	11.6 Mo- nate (7.1- 12.9) (Pankreas Ca) in beiden Gruppen	Gesamt: 25%	TTP: 5.5 Monate (3.1-6.9) Monate (Pankreas Ca) in bei- den Grup- pen	Therapieassoziierte Todesfälle: 3% Therapieassozierter Therapieabbruch: bei 4/72 Patienten Grad 3-4 Toxizität: bei 44/72 Patienten (nach 2 Monaten gaben 59% der Patienten an, dass sie FLv-DOCE als toxischer empfinden, als FLv-IRI (32%). 10% mein- ten Toxizitäten wären gleich.	Bei PC(Zusammenfas- sung QoL): Verbessert: 32% Gleichbleibend: 21% Verschlimmert: 43% Global health: Verbessert: 18% Gleichbleibend: 50% Verschlimmert: 32%)	
	FL-Irinotecan first (n=36, Pankreas Ca n= 15)						

Referenzen:

- Afchain, P., B. Chibaudel, et al. (2009). "First-line simplified GEMOX (S-GemOx) versus classical GEMOX in metastatic pancreatic cancer (MPA): results of a GERCOR randomized phase II study." *Bull Cancer* 96(5): E18-22.
- Berglund, A., P. Bystrom, et al. (2010). "An explorative randomised phase II study of sequential chemotherapy in advanced upper gastrointestinal cancer." *Medical Oncology* 27(1): 65-72.
- Boeck, S., T. Hoehler, et al. (2008) Capecitabine plus oxaliplatin (CapOx) versus capecitabine plus gemcitabine (CapGem) versus gemcitabine plus oxaliplatin (mGemOx): final results of a multicenter randomized phase II trial in advanced pancreatic cancer. *Annals of oncology : official journal of the European Society for Medical Oncology / ESMO* 340-347
- Cascinu, S., R. Berardi, et al. (2008). "Cetuximab plus gemcitabine and cisplatin compared with gemcitabine and cisplatin alone in patients with advanced pancreatic cancer: a randomised, multicentre, phase II trial." *The Lancet Oncology* 9(1): 39-44.
- Colucci, G., R. Labianca, et al. (2010). "Randomized phase III trial of gemcitabine plus cisplatin compared with single-agent gemcitabine as first-line treatment of patients with advanced pancreatic cancer: the GIP-1 study." *J Clin Oncol* 28(10): 1645-1651.
- Conroy, T., F. Desseigne, et al. (2011). "FOLFIRINOX versus gemcitabine for metastatic pancreatic cancer." *N Engl J Med* 364(19): 1817-1825.
- Cunningham, D., I. Chau, et al. (2009) Phase III randomized comparison of gemcitabine versus gemcitabine plus capecitabine in patients with advanced pancreatic cancer. *Journal of clinical oncology : official journal of the American Society of Clinical Oncology* 5513-5518.
- Dahan, L., F. Bonneterre, et al. (2010). "Combination 5-fluorouracil, folinic acid and cisplatin (LV5FU2-CDDP) followed by gemcitabine or the reverse sequence in metastatic pancreatic cancer: Final results of a randomised strategic phase III trial (FFCD 0301)." *Gut* 59(11): 1527-1534.
- Herrmann, R., G. Bodoky, et al. (2007) Gemcitabine plus capecitabine compared with gemcitabine alone in advanced pancreatic cancer: a randomized, multicenter, phase III trial of the Swiss Group for Clinical Cancer Research and the Central European Cooperative Oncology Group. *Journal of clinical oncology : official journal of the American Society of Clinical Oncology* 2212-2217.
- Hu, J., G. Zhao, et al. (2011). "A meta-analysis of gemcitabine containing chemotherapy for locally advanced and metastatic pancreatic adenocarcinoma." *Journal of Hematology and Oncology* 4.
- Kindler, H. L., T. Ioka, et al. (2011). "Axitinib plus gemcitabine versus placebo plus gemcitabine in patients with advanced pancreatic adenocarcinoma: A double-blind randomised phase 3 study." *The Lancet Oncology* 12(3): 256-262.
- Kindler, H. L., D. Niedzwiecki, et al. (2010). "Gemcitabine plus bevacizumab compared with gemcitabine plus placebo in patients with advanced pancreatic cancer: phase III trial of the Cancer and Leukemia Group B (CALGB 80303)." *J Clin Oncol* 28(22): 3617-3622.
- Kulke, M. H., M. A. Tempero, et al. (2009) Randomized phase II study of gemcitabine administered at a fixed dose rate or in combination with cisplatin, docetaxel, or irinotecan in patients with metastatic pancreatic cancer: CALGB 89904. *Journal of clinical oncology : official journal of the American Society of Clinical Oncology* 5506-5512.
- Lissoni, P., F. Rovelli, et al. (2009). "A randomized study of chemotherapy versus biochemistry with chemotherapy plus aloe arborescens in patients with metastatic cancer." *In Vivo* 23(1): 171-176.
- Meyer, T., M. E. Caplin, et al. (2010) A phase Ib/Ila trial to evaluate the CCK2 receptor antagonist Z-360 in combination with gemcitabine in patients with advanced pancreatic cancer. *European journal of cancer (Oxford, England : 1990)* 526-533.
- Moore, M. J., D. Goldstein, et al. (2007). "Erlotinib plus gemcitabine compared with gemcitabine alone in patients with advanced pancreatic cancer: A phase III trial of the National Cancer Institute of Canada Clinical Trials Group." *Journal of Clinical Oncology* 25(15): 1960-1966.
- Philip, P. A., J. Benedetti, et al. (2010). "Phase III study comparing gemcitabine plus cetuximab versus gemcitabine in patients with advanced pancreatic adenocarcinoma: Southwest oncology group-directed intergroup trial S0205." *Journal of Clinical Oncology* 28(22): 3605-3610.

Poplin, E., Y. Feng, et al. (2009) Phase III, randomized study of gemcitabine and oxaliplatin versus gemcitabine (fixed-dose rate infusion) compared with gemcitabine (30-minute infusion) in patients with pancreatic carcinoma E6201: a trial of the Eastern Cooperative Oncology Group. *Journal of clinical oncology : official journal of the American Society of Clinical Oncology* 3778-3785.

Reni, M., S. Cereda, et al. (2011). "A randomized phase II trial of two different 4-drug combinations in advanced pancreatic adenocarcinoma: cisplatin, capecitabine, gemcitabine plus either epirubicin or docetaxel (PEXG or PDXG regimen)." *Cancer Chemotherapy and Pharmacology*: 1-9.

Richards, D. A., P. R. Kuefler, et al. (2011) Gemcitabine plus enzastaurin or single-agent gemcitabine in locally advanced or metastatic pancreatic cancer: results of a phase II, randomized, noncomparative study. *Investigational new drugs* 144-153

Saif, M. W., H. Oettle, et al. (2009) Randomized double-blind phase II trial comparing gemcitabine plus LY293111 versus gemcitabine plus placebo in advanced adenocarcinoma of the pancreas. *Cancer journal (Sudbury, Mass.)* 339-343

Spano, J. P., C. Chodkiewicz, et al. (2008). "Efficacy of gemcitabine plus axitinib compared with gemcitabine alone in patients with advanced pancreatic cancer: an open-label randomised phase II study." *The Lancet* 371(9630): 2101-2108.

Van Cutsem, E., W. L. Vervenne, et al. (2009). "Phase III trial of bevacizumab in combination with gemcitabine and erlotinib in patients with metastatic pancreatic cancer." *Journal of Clinical Oncology* 27(13): 2231-2237.

Wacker, B., T. Nagrani, et al. (2007). "Correlation between development of rash and efficacy in patients treated with the epidermal growth factor receptor tyrosine kinase inhibitor erlotinib in two large phase III studies." *Clin Cancer Res* 13(13): 3913-3921.

Xie, D. R., Q. Yang, et al. (2010). "Gemcitabine-based cytotoxic doublets chemotherapy for advanced pancreatic cancer: updated subgroup meta-analyses of overall survival." *Jpn J Clin Oncol* 40(5): 432-441.

Ausgeschlossene Studien (mit Gründen)

- Andersson, B., U. Aho, et al. (2007). "Gemcitabine treatment in pancreatic cancer - Prognostic factors and outcome." *Annals of Gastroenterology* 20(2): 130-137 (keine Vergleichsgruppe).
- Ardavanis, A., P. Kountourakis, et al. (2009). "Biweekly gemcitabine (GEM) in combination with erlotinib (ERL): An active and convenient regimen for advanced pancreatic cancer." *Anticancer Research* 29(12): 5211-5217 (keine Vergleichsgruppe).
- Banu, E., A. Banu, et al. (2007). "Meta-analysis of randomised trials comparing gemcitabine-based doublets versus gemcitabine alone in patients with advanced and metastatic pancreatic cancer." *Drugs Aging* 24(10): 865-879 (Einschluss von Studien bis 12/2005).
- Burtness, B., L. Thomas, et al. (2007). "Phase II trial of weekly docetaxel/irinotecan combination in advanced pancreatic cancer." *Cancer Journal* 13(4): 257-262 (keine Vergleichsgruppe).
- Bria, E., M. Milella, et al. (2007). "Gemcitabine-based combinations for inoperable pancreatic cancer: have we made real progress? A meta-analysis of 20 phase 3 trials." *Cancer* 110(3): 525-533 (Suche bis 2006).
- Chabot, J. A., W. Y. Tsai, et al. (2010) Pancreatic proteolytic enzyme therapy compared with gemcitabine-based chemotherapy for the treatment of pancreatic cancer. *Journal of clinical oncology : official journal of the American Society of Clinical Oncology* 2058-2063 (kein RCT).
- Chiorean, E. G., T. Dragovich, et al. (2010). "A phase 2 trial of glufosfamide in combination with gemcitabine in chemotherapy-naïve pancreatic adenocarcinoma." *American Journal of Clinical Oncology: Cancer Clinical Trials* 33(2): 111-116 (keine Vergleichsgruppe).
- Correale, P., F. Montagnani, et al. (2008). "Biweekly triple combination chemotherapy with gemcitabine, oxaliplatin, levofolonic acid and 5-fluorouracil (GOLF) is a safe and active treatment for patients with inoperable pancreatic cancer." *J Chemother* 20(1): 119-125 (keine Vergleichsgruppe).
- Dragovich, T., H. Burris, 3rd, et al. (2008). "Gemcitabine plus celecoxib in patients with advanced or metastatic pancreatic adenocarcinoma: results of a phase II trial." *Am J Clin Oncol* 31(2): 157-162 (keine Vergleichsgruppe).
- Endlicher, E., M. Troppmann, et al. (2007). "Irinotecan plus gemcitabine and 5-fluorouracil in advanced pancreatic cancer: a phase II study." *Oncology* 72(5-6): 279-284 (keine Vergleichsgruppe).
- Feliu, J., P. Borrega, et al. (2011). "Phase II study of a fixed dose-rate infusion of gemcitabine associated with erlotinib in advanced pancreatic cancer." *Cancer Chemother Pharmacol* 67(1): 215-221 (keine Vergleichsgruppe).
- Fujino, Y., T. Ueda, et al. (2007). "Impact of gemcitabine on the survival of patients with stage IV pancreatic cancer." *Pancreas* 34(3): 335-339 (keine Vergleichsgruppe).
- Ghosn, M., F. Farhat, et al. (2007). "FOLFOX-6 combination as the first-line treatment of locally advanced and/or metastatic pancreatic cancer." *Am J Clin Oncol* 30(1): 15-20 (keine Vergleichsgruppe).
- Goel, A., M. L. Grossbard, et al. (2007). "Pooled efficacy analysis from a phase I-II study of biweekly irinotecan in combination with gemcitabine, 5-fluorouracil, leucovorin and cisplatin in patients with metastatic pancreatic cancer." *Anti-Cancer Drugs* 18(3): 263-271 (keine Vergleichsgruppe).
- Heinemann, V., S. Boeck, et al. (2008). "Meta-analysis of randomized trials: evaluation of benefit from gemcitabine-based combination chemotherapy applied in advanced pancreatic cancer." *BMC Cancer* 8: 82 (Suche bis 2006).
- Ina, S., M. Tani, et al. (2008). "Phase 2 trial of oral S-1 combined with low-dose cisplatin for unresectable advanced pancreatic cancer." *Anticancer Research* 28(4 C): 2373-2377 (keine Vergleichsgruppe).

- Isacoff, W. H., J. K. Bendetti, et al. (2007). "Phase II trial of infusional fluorouracil, leucovorin, mitomycin, and dipyridamole in locally advanced unresectable pancreatic adenocarcinoma: SWOG S9700." *J Clin Oncol* 25(13): 1665-1669 (keine Vergleichsgruppe).
- Hess, V., S. Pratsch, et al. (2010). "Combining gemcitabine, oxaliplatin and capecitabine (GEMOXEL) for patients with advanced pancreatic carcinoma (APC): a phase I/II trial." *Ann Oncol* 21(12): 2390-2395 (keine Vergleichsgruppe).
- Javle, M., J. Yu, et al. (2009). "Bevacizumab combined with gemcitabine and capecitabine for advanced pancreatic cancer: a phase II study." *Br J Cancer* 100(12): 1842-1845 (keine Vergleichsgruppe).
- Kim, H., J. H. Park, et al. (2008). "Fixed dose rate infusion of gemcitabine with oral doxifluridine and leucovorin for advanced unresectable pancreatic cancer: A phase II study." *Chemotherapy* 54(1): 54-62 (keine Vergleichsgruppe).
- Kocher, H. M. and W. Alrawashdeh (2010). "Pancreatic cancer." *Clin Evid (Online)* 2010 (systematischer Review, konnte nicht bestellt werden).
- Kullmann, F., S. Hollerbach, et al. (2009). "Cetuximab plus gemcitabine/oxaliplatin (GEMOX-CET) in first-line metastatic pancreatic cancer: a multicentre phase II study." *Br J Cancer* 100(7): 1032-1036 (keine Vergleichsgruppe).
- Laheru, D., E. Lutz, et al. (2008). "Allogeneic granulocyte macrophage colony-stimulating factor-secreting tumor immunotherapy alone or in sequence with cyclophosphamide for metastatic pancreatic cancer: a pilot study of safety, feasibility, and immune activation." *Clin Cancer Res* 14(5): 1455-1463 (kein RCT).
- Lee, G. W., H. J. Kim, et al. (2009). "Phase II trial of S-1 in combination with gemcitabine for chemo-naive patients with locally advanced or metastatic pancreatic cancer." *Cancer Chemotherapy and Pharmacology* 64(4): 707-713 (keine Vergleichsgruppe).
- Li, J., M. Merl, et al. (2010). "Safety and efficacy of single-day GemOx regimen in patients with pancreaticobiliary cancer: a single institution experience." *Expert Opin Drug Saf* 9(2): 207-213 (retrospective Studie).
- Liu, L., Y. Cao, et al. (2010). "Cetuximab-based therapy versus non-cetuximab therapy for advanced cancer: a meta-analysis of 17 randomized controlled trials." *Cancer Chemother Pharmacol* 65(5): 849-861 (weitere Indikation, 2 Primärstudien zum Pankreaskarzinom wurden einbezogen).
- Locher, C., E. Fabre-Guillevin, et al. (2008). "Fixed-dose rate gemcitabine in elderly patients with advanced pancreatic cancer: an observational study." *Crit Rev Oncol Hematol* 68(2): 178-182 (keine Vergleichsgruppe).
- Mane, J. M., A. Sancho, et al. (2010). "Fixed-dose-rate gemcitabine infusion in patients with advanced pancreatic or biliary tree adenocarcinoma." *Tumori* 96(3): 405-410 (keine Vergleichsgruppe).
- Michael, A., M. Hill, et al. (2007). "13-cis-Retinoic Acid in Combination with Gemcitabine in the Treatment of Locally Advanced and Metastatic Pancreatic Cancer - Report of a Pilot Phase II Study." *Clinical Oncology* 19(2): 150-153 (keine Vergleichsgruppe).
- Nakai, Y., H. Isayama, et al. (2011). "Comorbidity, not age, is prognostic in patients with advanced pancreatic cancer receiving gemcitabine-based chemotherapy." *Crit Rev Oncol Hematol* 78(3): 252-259 (keine Vergleichsgruppe).
- Neri, B., G. Cipriani, et al. (2009). "Gemcitabine plus irinotecan as first-line weekly therapy in locally advanced and/or metastatic pancreatic cancer." *Oncology Research* 17(11-12): 559-564 (keine Vergleichsgruppe).
- Oh, D. Y., Y. Cha, et al. (2010). "A multicenter phase II study of gemcitabine and S-1 combination chemotherapy in patients with unresectable pancreatic cancer." *Cancer Chemotherapy and Pharmacology* 65(3): 527-536 (keine Vergleichsgruppe).
- Oh, D. Y., K. W. Lee, et al. (2011). "A phase II trial of erlotinib in combination with gemcitabine and capecitabine in previously untreated metastatic/recurrent pancreatic cancer: combined analysis with translational research." *Invest New Drugs* (keine Vergleichsgruppe).

- Okusaka, T., J. Furuse, et al. (2011). "Phase II study of erlotinib plus gemcitabine in Japanese patients with unresectable pancreatic cancer." *Cancer Sci* 102(2): 425-431 (keine Vergleichsgruppe).
- O'Sullivan, A. and H. M. Kocher (2007). "Pancreatic cancer." *Clin Evid (Online)* 2007 (Review, keine aktuellen Studien).
- Park, B. B., J. O. Park, et al. (2007). "A phase II trial of gemcitabine plus capecitabine for patients with advanced pancreatic adenocarcinoma." *Cancer Chemotherapy and Pharmacology* 60(4): 489-494 (keine Vergleichsgruppe).
- Pericay Pijaume, C., P. Escudero Emperador, et al. (2011). "Open-label trial on efficacy and security of treatment with gemcitabine and oral modulation with tegafur and levofolinic acid (GEMTG) in patients with advanced pancreatic cancer." *Clinical and Translational Oncology* 13(1): 61-66 (keine Vergleichsgruppe).
- Reni, M., S. Cereda, et al. (2007). "Dose-intense PEFG (cisplatin, epirubicin, 5-fluorouracil, gemcitabine) in advanced pancreatic adenocarcinoma." *Cancer Chemotherapy and Pharmacology* 59(3): 361-367 (keine Vergleichsgruppe).
- Roehrig, S., A. Wein, et al. (2010). "Palliative first-line treatment with weekly high-dose 5-fluorouracil as 24h-infusion and gemcitabine in metastatic pancreatic cancer (UICC IV)." *Med Sci Monit* 16(3): CR124-131 (keine Vergleichsgruppe).
- Royal, R. E., C. Levy, et al. (2010). "Phase 2 trial of single agent Ipilimumab (anti-CTLA-4) for locally advanced or metastatic pancreatic adenocarcinoma." *J Immunother* 33(8): 828-833 (keine Vergleichsgruppe).
- Rudloff, U., A. V. Maker, et al. (2010). "Randomized Clinical Trials in Pancreatic Adenocarcinoma." *Surgical Oncology Clinics of North America* 19(1): 115-150 (keine zusammenfassende Metaanalyse, alle geeigneten Studien eingeschlossen).
- Saif, M. W., N. A. Podoltsev, et al. (2010). "Phase II clinical trial of paclitaxel loaded polymeric micelle in patients with advanced pancreatic cancer." *Cancer Investigation* 28(2): 186-194 (keine Vergleichsgruppe).
- Sultana, A., C. T. Smith, et al. (2007). "Meta-analyses of chemotherapy for locally advanced and metastatic pancreatic cancer." *Journal of Clinical Oncology* 25(18): 2607-2615 (Suche bis 2006).
- Sultana, A., C. Tudur Smith, et al. (2008). "Meta-analyses of chemotherapy for locally advanced and metastatic pancreatic cancer: Results of secondary end points analyses." *British Journal of Cancer* 99(1): 6-13 (Suche bis 2006).
- Sultana, A., S. Shore, et al. (2009). "Randomised Phase I/II trial assessing the safety and efficacy of radiolabelled anti-carcinoembryonic antigen I(131) KAb201 antibodies given intra-arterially or intravenously in patients with unresectable pancreatic adenocarcinoma." *BMC Cancer* 9: 66 (Frühe Phase I/II Studie zur Dosisfindung).
- Taieb, J., T. Lecomte, et al. (2007). "FOLFIRI.3, a new regimen combining 5-fluorouracil, folinic acid and irinotecan, for advanced pancreatic cancer: Results of an Association des Gastro-Enterologues Oncologues (Gastroenterologist Oncologist Association) multicenter phase II study." *Annals of Oncology* 18(3): 498-503 (keine Vergleichsgruppe).
- Ueno, H., T. Okusaka, et al. (2007). "Phase II study of combination chemotherapy with gemcitabine and cisplatin for patients with metastatic pancreatic cancer." *Japanese Journal of Clinical Oncology* 37(7): 515-520 (keine Vergleichsgruppe).
- Ueno, H., T. Okusaka, et al. (2011). "Multicenter phase II Study of gemcitabine and S-1 combination therapy (GS Therapy) in patients with metastatic pancreatic cancer." *Japanese Journal of Clinical Oncology* 41(8): 953-958 (bestellt, nicht erhalten).
- Wagner, A. D., P. Buechner-Steudel, et al. (2007). "Gemcitabine, oxaliplatin and weekly high-dose 5-FU as 24-h infusion in chemonaive patients with advanced or metastatic pancreatic adenocarcinoma: A multicenter phase II trial of the Arbeitsgemeinschaft Internistische Onkologie (AIO)." *Annals of Oncology* 18(1): 82-87 (keine Vergleichsgruppe).

Xenidis, N., L. Chelis, et al. (2011). "Docetaxel plus gemcitabine in combination with capecitabine as treatment for inoperable pancreatic cancer: a phase II study." Cancer Chemotherapy and Pharmacology: 1-8 (keine Vergleichsgruppe).

Yukisawa, S., H. Ishii, et al. (2011). "Outcomes and tolerability of systemic chemotherapy for pancreatic or biliary cancer patients aged 75 years or older." Japanese Journal of Clinical Oncology 41(1): 76-80 (retrospektive Studie).

5.1.3.1 Sehen Sie eine Indikation für den Einsatz molekularer Marker zur Therapiesteuerung?

ja nein

Falls ja, Indikation:

Begründung (Lit.):

Insgesamt wurden 16 Studien zum Thema auf der Grundlage des Titel- und Abstractscreenings gefunden und eingeschlossen. Zwölf retrospektive Kohortenstudien wurden mit dem Evidenzniveau 2b beurteilt, zwei Studien wurden wegen geringer Fallzahl und daraus folgender geringer Adjustierung für Störgrößen oder Selektionsbias abgestuft (2b-) und weitere zwei Studien wurden aufgrund geringer Fallzahl und fehlender multivariater Analysen mit Korrektur von Störgrößen mit dem Evidenzniveau 4 beurteilt.

Tabelle 5.1.3.1a: Studienbeschreibung: Aktuelle Studien zum Einsatz molekularer Marker als Prognoseparameter

Artikel ⁷⁷	Studientyp ⁷⁸	Patienten ⁷⁹	Prognost. Merkmal und Cut-off ⁸⁰	Interventionen in beiden Gruppen	Endpunkte mit Nachverfolgungszeitraum ⁸¹	Verzerrungsrisiko ⁸² / Evidenzstufe
Kuramochi 2008, Cancer chemotherapy and pharmacology	1998-2001, mono-zentrisch, Japan	N= 33 (und 44 Patienten mit Kolorektal-Krebs und 20 mit fortgeschrittenem Magenkrebs als Kontrollen) Indikation: recurrent Pankreaskarzinome Alter: 61.5 Jahre (range 37-80) Geschlecht (m/w): 63.6%/36.4% Behandlungen: All patients received S-1 and cisplatin after confirmation of recurrence. S-1 was given orally twice daily for 21 days, and cisplatin 30 mg/m ² was given on days 1 and 8, followed by a 2 week period of no treatment. The dose of S-1 was based on body surface area (BSA) as follows: BSA < 1.25 m ² , 40 mg; BSA > 1.25 but < 1.5 m ² , 50 mg; and BSA > 1.5 m ² ,	serum-CA-19-9 relative mRNA-Konzentration an DPD (Vergleich mit β-Actin) relative mRNA-Konzentration an TS (Thymidylate synthase)	Behandlung mit S-1 und Cisplatin in beiden Gruppen nach operabler Resektion (oral Xuoropyrimidine derivative consisting of Tegafur (FT) and dihydropyrimidine dehydrogenase (DPD) inhibitor (5-chloro-2,4-dihydroxypyridine; CDHP))	Endpunkte: Zusammenhang von Tumormarkern wie serum-CA-19, relative mRNA-Konzentration an DPD (Vergleich mit β-Actin), relative mRNA-Konzentration an TS (Thymidylate synthase) mit Tumorresponserate nach S-1-CTX-Therapie	4 Wegen geringer Fallzahl und fehlender multivariater Analysen mit Korrektur von Störgrößen

⁷⁷ Autor, Jahr, Studienname, Journal

⁷⁸ Studientyp (RCT, ..., prospektiv vs. retrospektiv, welcher Teil war prospektiv?, univariabel vs. multivariabel), mono vs. multizentrisch, Anzahl, Rekrutierungszeit- und land

⁷⁹, Indikation, Alter, Geschlecht, Behandlungen, Ausmaß/ Befallsmuster je Gruppe, Waren Einschlusskriterien a priori festgelegt?

⁸⁰ Tuschemarkierung/ Aufarbeitung der Resektionsränder und des Resektionspräparats

⁸¹ Gibt es Angaben zum follow-up (z.B. Dauer, Abstand zwischen Untersuchungen, verwendete Untersuchungen)? Ist das Follow-up vollständig, sind Angaben für alle eingeschlossenen Patienten verfügbar? Wenn nicht, für welchen Anteil werden Angaben berichtet?

⁸² Gab es eine prospektive Planung, Sind Einschlusskriterien für Patienten prospektiv definiert und repräsentativ? Ist die Nachbeobachtungsperiode ausreichend lang und wird über alle Patienten berichtet? Ist das prognost. Merkmal klar definiert und gemessen? Wurden wichtige Störgrößen in das prognost. Modell aufgenommen? Wurde Behandlung nach Prognosestellung standardisiert durchgeführt?

Artikel ⁷⁷	Studientyp ⁷⁸	Patienten ⁷⁹	Prognost. Merkmal und Cut-off ⁸⁰	Interventionen in beiden Gruppen	Endpunkte mit Nachverfolgungszeitraum ⁸¹	Verzerrungsrisiko ⁸² / Evidenzstufe
		60 mg. neoadjuvante Therapie: 0 Ausmaß/ Befallsmuster: recurrent disease (n=33), advanced colorectal cancer (n=44), advanced gastric cancer (n=20)				
Nakai 2008, Oncology	04/2001-07/2006, mono-zentrisch, Japan	N= 72 Indikation: advanced pancreatic cancer, ohne vorherige CTX (Ausschluss von Patienten mit undetectable CA 19-9 level) Alter: 68 Jahre (range, 41–86) Geschlecht: 45.8%/54.2% Behandlungen: single-agent Gemcitabine (1,000 mg/m ²) 1x pro Woche, dann eine Woche Pause. Wiederholung bis disease progression second-line chemotherapy (n=17): S-1 (fluoropyrimidine anticancer drug)/ 5-fluorouracil (n=12 /n=5) Ausmaß/ Befallsmuster: Locally advanced / Metastatic: n=30/n=42; WHO PS 0/1/2/3: 23/38/10/1	serum CA 19-9-level	nur eine Gruppe; CTX mit Gemcitabine	Endpunkte: changes in CA 19-9 levels 4 weeks after treatment initiation on overall survival (OS) and time to progression (TTP)	2b
Akita 2009, Oncogene	01/1992 – 03/2008	N= 68 Indikation: Adenokarzinom; All patients had R0 (no residual cancer) resections	RRM1 expression (low/high) und ERCC1 expression (low/high)	the recurrence of disease was observed in 50 patients. Treatment with gemcitabine was	Endpunkte: OS, DFS The median follow-up period was 16.3 months (range,	2b

Artikel ⁷⁷	Studientyp ⁷⁸	Patienten ⁷⁹	Prognost. Merkmal und Cut-off ⁸⁰	Interventionen in beiden Gruppen	Endpunkte mit Nachverfolgungszeitraum ⁸¹	Verzerrungsrisiko ⁸² / Evidenzstufe
		(Ausschluss von: intraductal papillary mucinous neoplasms, mucinous cystic adenocarcinomas and medullary adenocarcinomas); None of the patients had received neoadjuvant therapy preoperatively. Alter: 60.7±7.8 Jahre (±s.d.) Geschlecht: 48.5% / 51.5% Behandlungen: pancreatectomy (n=54), distal pancreatectomy (n=12), other resections (n=2) Ausmaß/ Befallsmuster: Grade poorly, moderately, and well-differentiated: 10, 32 und 26 Patienten; UICC-TNM pT1, pT2 and pT3 : 2, 1 and 65 patients; pN0, pN1 and pM1lym: 29, 33 and 6 patients; stage IA, IB, IIA, IIB and IV: 1, 1, 27, 33 and 6 patients		carried out in 28 patients; 5 patients RRM1 and ERCC1 expression in pancreatic cancer Oncogene received it as adjuvant chemotherapy and 23 patients received it after disease recurrence. Radiation therapy was not carried out during all the follow-up period.	4.3–113)	
Chen 2009, Ann Surg Oncol	2 Phase II klinische Studie (ID98-020 or ID01-341)	N=88 Indikation: primäres Adenokarzinom des Pankreaskopfes (localized and pathologically confirmed); keine vorherige Behandlung des Pankreaskarzinoms Alter: 65 Jahre (range 42–	12 SNPs (Genpolymorphismen)	preoperative (neoadjuvant) chemoradiotherapy 02/1999 – 08/2004 Patients in the ID98-020 trial (n = 45) had received	OS, Disease Progression (Time to Progression/TTP)	2b There were 55 deaths (62.5%) among the 88 patients

Artikel ⁷⁷	Studientyp ⁷⁸	Patienten ⁷⁹	Prognost. Merkmal und Cut-off ⁸⁰	Interventionen in beiden Gruppen	Endpunkte mit Nachverfolgungszeitraum ⁸¹	Verzerrungsrisiko ⁸² / Evidenzstufe
		<p>83)</p> <p>Geschlecht: 63.6%/36.4%</p> <p>Behandlungen: pancreaticoduodenectomy (PD): n=69; ohne Resektion: n=19</p> <p>Ausmaß/ Befallsmuster: Diabetes (nein n=66/ja n=22), Tumor size (cm) ≤ 2/>2: 36/52</p>		<p>gemcitabine-based chemoradiotherapy that consisted of weekly gemcitabine (400 mg/m²) for 4 weeks and radiation (30 Gy in ten fractions) for 2 weeks.</p> <p>Patients in the ID01-341 trial (n = 43) had received induction therapy of gemcitabine (750 mg/m²/day) and cisplatin (30 mg/m²/day) every 2 weeks for 4 weeks and radiation (30 Gy in ten fractions) for 2 weeks.</p>		
Dong 2009 J Clin Oncol	retrospektive Studie multi-zentrisch 02/1999-06/2006 USA	<p>Indikation: potentially resectable adenocarcinoma of the head of the pancreas and had not received any treatment for pancreatic cancer – subset of patients with available DNA sample</p> <p>N=154 Alter: median 63 Jahre (38-84); 62% männlich</p> <p>Befallsmuster: tumor size (≤2 cm/>2 cm): 65/89; tumor grade (well to moderate/poor): 89/29; LN metastasis (yes/no): 55/61; R1 margin: 9/116</p>	<p>SNPs were selected if they met at least two of the following three criteria: (1) the minor allele frequency is greater than 5% among white patients, (2) nonsynonymous SNP or SNP occurs at the 3'UTR, 5'UTR, or the splicing site, and (3) SNPs have been associated with cancer risk or clinical outcome in previous investigations.</p> <p>Association of genotypes with OS: EXO1 R354H, EXO1 P757L, MSH2 G322D, MSH2 IVS12-6T>C, MSH3 P231P, MSH6 G39E,</p>	<p>DNA extraction and genotyping: DNA was extracted from peripheral-blood lymphocytes of 127 patients and from paraffin sections of normal adjacent tissues of 27 patients with resected tumors using Qiagen DNA isolation kits (Valencia, CA). Normal and tumor tissues are expected to have the same genotype for these germline common polymorphic sequence variants.</p>	<p>MST/OS RR</p> <p>Follow-up: bis 06/2008, median 49,9 Monate</p>	<p>2b</p> <p>MST could not be calculated for 13 patients with zero to one variant genotype because 10 patients were still alive.</p> <p>Our study was conducted in a relatively homogenous patient population with an adequate sample size. Although some differences in the clinical outcomes were observed for patients who were enrolled on the two different protocols, this was partially explained by a sampling bias. For patients enrolled in ID98-020 (N=70), DNA was extracted from 50 blood</p>

Artikel ⁷⁷	Studientyp ⁷⁸	Patienten ⁷⁹	Prognost. Merkmal und Cut-off ⁸⁰	Interventionen in beiden Gruppen	Endpunkte mit Nachverfolgungszeitraum ⁸¹	Verzerrungsrisiko ⁸² / Evidenzstufe
		<p>Behandlung: ID98-020 patients (n=70) received gemcitabine (400 mg/m²) weekly for 4 weeks + radiation (30 Gy in 10 fractions) for 2 weeks; ID01-341 patients (n=84) received induction therapy of gemcitabine (750 mg/m²/d) + cisplatin (30 mg/m²/d) every 2 weeks for 4 weeks + radiation (30 Gy in 10 fractions) for 2 weeks with weekly gemcitabine</p> <p>Resection: 116 patients (75%)</p>	<p>PMS1 Ex1-4G>C, TREX1 K125Q, TREX1 Ex14-460C>T, TP73 Ex2 + 4G>A</p> <p>No. of at-risk genotypes (0-1 vs. 2 vs. 3 vs. 4 vs. 5 vs. 6-7)</p> <p>Tumor response to therapy was evaluated by CT before and after completion of the preoperative chemoradiation, and defined according to the Response Evaluation Criteria in Solid Tumors criteria as partial response, stable disease, or progressive disease.</p>	<p>Genotyping used the mass spectroscopy-based MassArray method (Sequenom Inc, San Diego, CA). Twenty percent of the samples were analyzed in duplicate, with 100% concordance in genotype calling. The genes, nucleotide substitutions, function (such as encoding amino acid changes), reference SNP identification numbers, and reported allele frequencies of the 15 SNPs evaluated in this study are summarized (siehe Studie).</p>		<p>samples and 20 paraffin sections from normal adjacent tissue of resected tumors when blood sample was not available, which resulted in a higher tumor resection rate (87%) than the true resection rate of 74% in this trial. To overcome this bias, we have adjusted for this variable (preoperative treatment) in the multivariable models.</p>
Farrell 2009, Patienten aus der RTOG9704-Studie, Gastroenterology	retrospektive Analyse einer prospektiven Studie, 07/1998-07/2002	<p>N=229 (davon waren 198 Patienten analysierbar)</p> <p>Indikation: Resektiert Tumor (und damit tissue core samples) von Patienten aus der RTOG9704-Studie</p> <p>Alter: 61 Jahre</p> <p>Geschlecht: 55.7%/44.3%</p> <p>Behandlungen: Siehe Intervention in beiden Gruppen</p> <p>Ausmaß/ Befallsmuster: T-Stage T1 und T2/T3 und T4: 26%/74%; N-Stage N0/N1: 35.7%/64.3%;</p>	<p>HENT1 (protein human equilibrative nucleoside transporter) expression (low/high vs. no und high vs. no)</p>	<p>(post-OP) adjuvante Therapie: Chemoradiation+Gemcitabine (n=91) vs. Chemoradiation+5-FU (n=107)</p> <p>Herstellung von TMAs (tissue microarrays); 3 TMAs pro Tumor bzw. Patient für Immunohistochemistry</p>	<p>OS, DFS, Toxizität</p>	<p>2b</p> <p>Possible associations between baseline characteristics and the determination of hENT1 levels were investigated to determine if missing data may have influenced the analysis. Tumor location of head (head vs everything else) was the only baseline characteristic to have a positive statistical association between missing and determined hENT1 in the gemcitabine treatment arm (p=0.02).</p>

Artikel ⁷⁷	Studientyp ⁷⁸	Patienten ⁷⁹	Prognost. Merkmal und Cut-off ⁸⁰	Interventionen in beiden Gruppen	Endpunkte mit Nachverfolgungszeitraum ⁸¹	Verzerrungsrisiko ⁸² / Evidenzstufe
		Resektionsränder negative margins/positive margins/unknown: 39.7%/34.3%/26.3%; KPS <90/≥90: 36.2%/63.8%				
Vormittag 2009, Oncology	retrospektive Analyse multi-zentrisch 2001-2006	<p>N= 84</p> <p>Indikation: inoperable locally advanced or metastatic pancreatic cancer (Only patients with elevated CA 19-9 levels (637 kU/l) at the start of treatment were included in this analysis)</p> <p>Alter: 61 Jahre (range, 32–84)</p> <p>Geschlecht: 50%/50%</p> <p>Behandlungen: Siehe Intervention in beiden Gruppen</p> <p>Ausmaß/ Befallsmuster: Median CA 19-9 serum level at baseline: 1,532 kU/l (range 38–75,732 kU/l) locally advanced/metastatic: 31%/69%</p>	CA 19-9	<p>palliative first-line chemotherapy: gemcitabine als Monotherapie oder in Kombination mit capecitabine, oxaliplatin ± erlotinib, cisplatin, 5-fluorouracil, tipifarnib oder docetaxel.</p> <p>GEM (n=38), GEM+ capecitabine (n=19), GEM+ oxaliplatin (n=18), GEM+ cisplatin (n=4), GEM+5-fluorouracil (n=2), GEM+ oxaliplatin + erlotinib (n=1), GEM+ docetaxel (n=1), GEM+ tipifarnib (n=1)</p>	<p>Median time to progression (TTP), median overall survival</p>	2b
Wasan 2009, British journal of cancer	retrospektive Analyse einer prospektiven Datenbank (phase II, open-label, multicentre	<p>N= 95</p> <p>Indikation: histologically/ cytologically confirmed, locally advanced (unresectable) or metastatic pancreatic adenocarcinoma, and had not received any prior systemic therapy for ad-</p>	CA 19-9	<p>Gem (1000 mg/m²) an den Tagen 1, 8 und 15 im 4-wöchigen Zyklus +A (axitinib 5 mg) 2x täglich vs. Gem (1000 mg/m²)</p>	OS, PFS	<p>2b-</p> <p>Aufgrund der kleinen Fallzahl wurde nur eine Stratifizierung nach Baseline CA19-9 Level und Reduktion des CA 19-9 Levels durchgeführt</p>

Artikel ⁷⁷	Studientyp ⁷⁸	Patienten ⁷⁹	Prognost. Merkmal und Cut-off ⁸⁰	Interventionen in beiden Gruppen	Endpunkte mit Nachverfolgungszeitraum ⁸¹	Verzerrungsrisiko ⁸² / Evidenzstufe
	study)	vanced disease. Alter: 62.5 Jahre (36–78) Geschlecht: 50.5%/49.5% Behandlungen: Siehe Interventionen in beiden Gruppen Ausmaß/ Befallsmuster: ECOG PS ≤1/2: 90%/10% advanced/metastatic: 39%/61%		an den Tagen 1, 8 und 15 im 4-wöchigen Zyklus		
da Cunha Santos 2010, (NCIC CTG PA.3) Cancer	retrospektive Analyse prospektiv gewonnener Daten	N= 146 Indikation: advanced pancreatic cancer Alter: 64 Jahre (36.1-92.4) Geschlecht: 45%/55% Behandlungen: first-line treatment Erlotinib+Gem: 53 % Placebo+Gem: 47 % Ausmaß/ Befallsmuster: ECOG 0/1/2: 23%/54%/20% resectable/locally advanced/metastatic: 11%/28%/61%	Analyse von Tumorproben mit EGFR GCN und KRAS Mutations-Status	Gemcitabine in combination with erlotinib or placebo	primärer Endpunkt: OS, sekundäre Endpunkte: PFS, RR, response duration, toxicity, and quality of life median follow-up: 16 Monate (range, 11-17)	2b The molecular analysis subset has had 93 deaths
Marechal 2010 Cancer	retrospektive Studie multi-zentrisch Belgien/Kanada	Indikation: paraffin-embedded tissue specimens from primary ductal adenocarcinomas of the pancreatic head (patients underwent curative (R0) resection) N=45 Alter: median 58 Jahre (34-	Cytoplasmic staining was used for the evaluation of dCK (deoxycytidine kinase) protein expression. Immunohistochemical results were scored only in invasive adenocarcinoma cells. Staining of dCK protein was assigned a score from 0 to 2	For each patient, 1 representative block of the infiltrating primary carcinoma was selected. Clinicopathologic and treatment data were obtained for each patient from the	OS DFS Toxizität Follow-up: median 21,9 Monate (3,3-107,4) after surgery At the last follow-up, 30	2b Quantitative scoring using light microscopy was performed by a single pathologist (R.L.) who was blinded to clinical characteristics and outcomes. Limitations of our current study

Artikel ⁷⁷	Studientyp ⁷⁸	Patienten ⁷⁹	Prognost. Merkmal und Cut-off ⁸⁰	Interventionen in beiden Gruppen	Endpunkte mit Nachverfolgungszeitraum ⁸¹	Verzerrungsrisiko ⁸² / Evidenzstufe
		<p>83); 51,1% männlich; ECOG PS: median 0 (0-1)</p> <p>Befallsmuster: tumor classification (T1/T2 vs. T3/T4): 12 (26,6%) / 33 (73,4%); LN status (N0/N1): 13 (28,9%) / 32 (71,1%); greatest tumor dimension (<2,5 cm / ≥2,5 cm): 24 (53,3%) / 21 (46,7%); LNR: median 0,2 (0-1)</p> <p>Behandlung: Treatment was planned to start within 8 weeks after surgery (median delay between surgery and start of adjuvant radiochemotherapy: 47 Tage (24-74)). 2 cycles of gemcitabine (1000 mg/m²) weekly for 3 of 4 weeks on days 1, 8, 15, 29, 36, 43. After a 1-week rest, chemoradiation was started: gemcitabine (300 mg/m²) weekly for 5 consecutive weeks, administered 4 hours before radiation (40 Gy (n=15) to 50,4 Gy (n=30)) according to trial design (phase 2 studies).</p>	<p>based on staining intensity (no staining = 0, weakly positive staining = 1, strongly positive staining = 2). The percentage of adenocarcinoma cells stained at each intensity level was recorded for each specimen. A final score was determined by multiplying the intensity score and the percentage of the positive cells in the specimen (range: 0-200).</p> <p>1) low dCK expression (staining score <140) vs. 2) high dCK expression (staining score ≥140)</p>	<p>medical records. Immunohistochemistry-Methode: siehe Studie</p>	<p>patients had died of disease recurrence, and 15 patients remained alive.</p>	<p>include its retrospective nature and the lack of controls who did not receive gemcitabine. Consequently, the predictive value of dCK in gemcitabine-treated pancreatic carcinoma could not be assessed formally.</p>
Okazaki 2010 <i>Clin Cancer Res</i>	Einschluss von 154 Pat. aus 2 Phase II-Studien (ID98-020 und ID01-341)	<p>Indikation: potentially resectable adenocarcinoma of the head of the pancreas – subset of patients with available DNA sample</p> <p>N=154 Alter: median 63 Jahre (38-</p>	<p>Different genotypes OS at-risk genotypes: CDA-76AA; dCK-1205TT, DCTD-47CT; hCNT3-69CT/TT; hENT1-549CT/TT; and hENT1-913CC</p> <p>Tumor response to therapy</p>	<p>DNA extraction and genotyping: We selected 17 SNPs of the CDA, dCK, RRM1, deoxycytidylate deaminase (DCTD), hCNT1, hCNT2, hCNT3, and</p>	<p>MST/OS RR Toxizität</p> <p>Follow-up: bis 04/2009, median 49,9 Monate</p>	2b

Artikel ⁷⁷	Studientyp ⁷⁸	Patienten ⁷⁹	Prognost. Merkmal und Cut-off ⁸⁰	Interventionen in beiden Gruppen	Endpunkte mit Nachverfolgungszeitraum ⁸¹	Verzerrungsrisiko ⁸² / Evidenzstufe
	Mono-zentrisch 02/1999-01/2006 USA	84); 62% männlich Befallsmuster: tumor size (≤ 2 cm/ > 2 cm): 65/89; tumor grade (well to moderate/poor): 88/32; LN metastasis (yes/no): 55/61; R1 margin: 9/116 Behandlung: ID98-020 patients (n=70) received gemcitabine (400 mg/m ²) weekly for 4 weeks + radiation (30 Gy in 10 fractions) for 2 weeks; ID01-341 patients (n=84) received induction therapy of gemcitabine (750 mg/m ² /d) + cisplatin (30 mg/m ² /d) every 2 weeks for 4 weeks + radiation (30 Gy in 10 fractions) for 2 weeks with weekly gemcitabine Curative resection: 107 patients (69%)	was evaluated by CT before and after completion of the preoperative chemoradiation, and defined according to the Response Evaluation Criteria in Solid Tumors criteria as partial response, stable disease, or progressive disease.	hENT1 genes in this exploratory investigation according to the following criteria: (a) the minor allele frequency of the SNP is $> 10\%$ among Caucasians; (b) coding SNPs including non-synonymous and synonymous SNPs; and (c) SNPs that have been associated with cancer risk or clinical outcome in previous investigations. The genes, nucleotide substitutions, function (such as encoding amino acid changes), reference SNP identification numbers, and reported allele frequencies of the 17 SNPs evaluated in this study are summarized. (Beschreibung der Methode: siehe Studie)		
Richards 2010 Ann Surg	retrospektive Studie mono-zentrisch USA	Indikation: PDA specimens from patients who underwent potentially curative pancreatic resection N=53 Behandlung: gemcitabine (GEM) 24 patients in	Hu protein antigen R (HuR) Vascular endothelial growth factor (VEGF) Cyclooxygenase-2 (COX-2) The percentage of cells staining, cellular localization of staining (nuclear vs. cytoplasmic) and staining intensity	A tissue microarray was constructed from formalin-fixed, paraffin-embedded archival tissue using cutting edge matrix assembly. In brief, a representative tumor area was selected	Survival Follow-up: k. A.	4 Sehr kleine Fallzahl (OS Analyse wurde für Patienten mit GEM Behandlung durchgeführt: n=24, 7 lebten beim letzten Follow-up)

Artikel ⁷⁷	Studientyp ⁷⁸	Patienten ⁷⁹	Prognost. Merkmal und Cut-off ⁸⁰	Interventionen in beiden Gruppen	Endpunkte mit Nachverfolgungszeitraum ⁸¹	Verzerrungsrisiko ⁸² / Evidenzstufe
		combination with capecitabine or 5-FU (3/24); 21 patients had no adjuvant chemotherapy or no follow-up was confirmed.	sity (strong vs. weak) were scored (0 – no staining, 1 – weak diffuse staining (or strong staining in less than 30% of tumor cells), 2 – strong staining in over 30% of tumor cells). For statistical analysis, the VEGF, COX-2, and HuR scores (0, 1, 2) were dichotomized as low (0-1) versus high (2).	from H&E stained sections of each tumor by a pathologist (A.K.W.). Each of the 53 PDA specimens was represented in an array block with a 2-mm ² "tissue spot" (0,3 x 6,6 mm), allowing for the adequate representation of the tumor.		The staining was scored in a blinded manner by a pathologist (A.D.W.) with special interest in pancreatic pathology.
Kim 2011 Mol Cancer Ther	retrospektive Studie mono-zentrisch 2003-2009 Südkorea	Indikation: recurrent or advanced (locally advanced/metastatic) pancreatic ductal adenocarcinoma patients with available formalin-fixed paraffin-embedded tumor blocks Befallsmuster: tumor differentiation (well to moderate / poor / unknown): 73 / 43 / 20; location of primary tumor: head 61, body 37, tail 35, multiple 3; disease status (locally advanced / metastatic): 24 (18%) / 112 (82%); metastatic sites: liver 64, peritoneal seeding 19, lung 3, multiple sites 26; KRAS genotype (wild type / mutant): 65 / 71	KRAS genotype (wild type vs. mutant)	Tissue samples: All pathologic specimens were cut from formalin-fixed paraffin-embedded tumor blocks from surgical specimens (n=47) or biopsy specimens (metastatic sites or pancreas, n=89), and hematoxylin and eosin-stained sections were reviewed by one pathologist (D.T. Jang). DNA was prepared from these sections following dissection of the tumor resulting in at least 50% tumor cell content. DNA sequencing for KRAS (Beschreibung der Methode: siehe Studie)	Survival Response rate Follow-up: k. A.	2b- Tissue availability is a potential limitation of the current retrospective analysis, which is a critical issue in pancreatic cancer research. In this study, about 35% patients underwent previous pancreatectomy, reflecting the availability and adequacy of surgical specimens for biomarker analysis. Therefore the possible selection bias of current study may make definitive conclusions difficult and influence the prognostic and predictive results for KRAS status, which needs to be interpreted with caution and to be prospectively validated.

Artikel ⁷⁷	Studientyp ⁷⁸	Patienten ⁷⁹	Prognost. Merkmal und Cut-off ⁸⁰	Interventionen in beiden Gruppen	Endpunkte mit Nachverfolgungszeitraum ⁸¹	Verzerrungsrisiko ⁸² / Evidenzstufe
		Behandlung: previous pancreatectomy: 47 (35%) First-line regimens: gemcitabine + erlotinib 70 (51,5%), gemcitabine 22 (16,2%), gemcitabine + capecitabine 31 (22,8%), gemcitabine + UFT 13 (9,5%) patients				
Kondo 2011 J Surg Oncol	prospektive Studie mono-zentrisch 01/1998-09/2009 Japan	Indikation: patients with histologically confirmed, pancreatic ductal adenocarcinoma who underwent surgical resection (R0 or R1) Ausschluss: other histological variants (pancreatic adenocarcinoma derived from mucinous cystic neoplasm and intraductal papillary mucinous neoplasm); patients with distant metastasis and peritoneal dissemination; patients who received intra-arterial adjuvant chemotherapy N=106 Alter: median 70 Jahre (43-87); 49% männlich Befallsmuster: tumor location (head vs. body/tail): 70 (66%) / 36 (34%); tumor differentiation (well / moderate / poor): 40 (38%) / 53 (50%) / 13 (12%); R1 resection: 36 (34%); LN metastasis: 60 (56%)	Intensity of TS (thymidylate synthase) and OPRT (orotate phosphoribosyltransferase) staining was scored from grade 0 to grade 3 (0 – not stained, 1 – slightly stained, 2 – definite staining or light to moderate intensity, 3 – brightly intense staining) / DPD (dihydropyrimidine dehydrogenase) (0 – not stained, 1 – faintly stained, 2 – weakly stained compared to islet cells, 3 – stained as strongly as islet cells) For evaluation of TS, DPD, and OPRT expression, if grade 2 or 3 staining was observed in >30% of adenocarcinoma cells = high expression	Tumor resection followed by immunohistochemical analysis of TS, DPD, and OPRT expression (Beschreibung der Methode: siehe Studie)	Survival Follow-up: median 32 Monate (4-155) for all 106 patients All patients were followed regularly in outpatient clinics every 3-6 months by undergoing a blood test, US, or CT. Diagnosis of recurrence was made based on imaging findings. Information on outcomes more than 5 years after surgery was collected by telephone or personal interview. For patients who died, survival time after surgery and the cause of death were recorded.	2b Immunohistochemical evaluation of TS, DPD, and OPRT expression was confirmed independently by two observers (ND and YM) in a blinded manner.

Artikel ⁷⁷	Studientyp ⁷⁸	Patienten ⁷⁹	Prognost. Merkmal und Cut-off ⁸⁰	Interventionen in beiden Gruppen	Endpunkte mit Nachverfolgungszeitraum ⁸¹	Verzerrungsrisiko ⁸² / Evidenzstufe
		<p>sis: 66 (62%); TNM classification (T1 / T2 / T3): 7 (7%) / 7 (7%) / 92 (86%); stage (IA / IB / IIA / IIB / IV): 4 (5%) / 4 (5%) / 32 (30%) / 55 (52%) / 11 (10%)</p> <p>Behandlung: n=72 - S-1(+) group (post-operative adjuvant chemotherapy, started 2 to 6 weeks after surgery; 10 cycles - S-1 (50 mg/m² for 7 consecutive days) and gemcitabine (700 mg/m² on day 1) followed by a 1-week-break n=34 – S-1(-) group</p>				
Ohuchida 2011 Ann Surg Oncol	retrospektive Studie Mono-zentrisch 1992-2008 Japan	<p>Indikation: patients who underwent pancreatic resection for pancreatic cancer</p> <p>Ausschluss: patients who received combination therapy with gemcitabine and other chemotherapeutic agents (S1)</p> <p>N=90 Alter: median 65 Jahre (36-86); 63,3% männlich</p> <p>Befallsmuster: pT category (pT1/pT2/pT3 vs. pT4): 55 / 33; pN category (pN0 / pN1): 26 / 62; histological grade (G1 / G2 / G3): 19 / 33 / 35; residual tumor (R0 / R1): 53 / 34; vessel invasion: 57; lymphatic invasion: 76;</p>	<p>Cell lines and establishment of gemcitabine-resistant cells Propidium iodide assay miRNA expression profiling (Methoden: siehe Studie)</p> <p>miR-142-5p (high vs. low) miR-204 (high vs. low) miR-125a (high vs. low) miR-34a (high vs. low)</p>	<p>Macrodissection: After a review of representative hematoxylin and eosin-stained slides, 4-7 sections (5 µm thick) were cut from FFPE blocks for macrodissection. Adjacent normal tissues, including normal acinar tissues and adipose tissues, in the sections were removed macroscopically with a scalpel. Only the cancerous parts were used for the isolation of miRNA.</p> <p>Isolation of miRNA</p>	<p>OS</p> <p>Follow-up: median 14,7 Monate (0,5-108)</p>	<p>2b</p> <p>Zensierung: 27 Patienten</p>

Artikel ⁷⁷	Studientyp ⁷⁸	Patienten ⁷⁹	Prognost. Merkmal und Cut-off ⁸⁰	Interventionen in beiden Gruppen	Endpunkte mit Nachverfolgungszeitraum ⁸¹	Verzerrungsrisiko ⁸² / Evidenzstufe
		neural invasion: 73 Behandlung: adjuvant therapy: 59 patients (gemcitabine)		Quantitative reverse transcription-polymerase chain reaction (Methoden: siehe Studie)		
Tanaka 2011 Cancer	retrospective Studie mono-zentrisch 02/1999-2006 USA	Indikation: potentially resectable adenocarcinoma of the head of the pancreas and had not received any treatment for pancreatic cancer – subset of patients with available DNA sample N=154 Alter: median 62,8 Jahre (38-80); 62% männlich Befallsmuster: tumor size (≤ 2 cm/ > 2 cm): 65/89; tumor grade (well to moderate/poor): 88/32; LN metastasis (yes/no): 55/61; R1 margin: 7/116 Behandlung: ID98-020 patients (n=70) received gemcitabine (400 mg/m ²) weekly for 4 weeks + radiation (30 Gy in 10 fractions) for 2 weeks; ID01-341 patients (n=84) received induction therapy of gemcitabine (750 mg/m ² /d) + cisplatin (30 mg/m ² /d) every 2 weeks for 4 weeks + radiation (30 Gy in 10 fractions) for 2 weeks with weekly gemcitabine	Different genotypes OS genotypes: MDR1 T-55C, MRP1 G36A, MRP2 G40A, MRP2 C-16T, MRP3 C-13T, MRP4 A40G, MRP5 A-2G, BCRP C43A No. of deleterious alleles (MRP2 40GG and MRP5 - 2AA): 0 vs. 1-2 Tumor response to therapy was evaluated by CT before and after completion of the preoperative chemoradiation, and defined according to the Response Evaluation Criteria in Solid Tumors criteria as partial response, stable disease, or progressive disease.	DNA extraction and genotyping We selected 8 SNPs of the MDR1, MRP1-5, and BCRP genes according to the following criteria: 1) minor allele frequency of the SNP was greater than 10% among Caucasians, 2) coding SNPs including non-synonymous or synonymous SNPs, and 3) SNPs that have been associated with cancer risk or clinical outcome in prior studies. (Beschreibung der Methode: siehe Studie)	OS RR Follow-up: median 63,1 Monate, Ende: 07/2008	2b Zensierung: 43 Patienten

Artikel ⁷⁷	Studientyp ⁷⁸	Patienten ⁷⁹	Prognost. Merkmal und Cut-off ⁸⁰	Interventionen in beiden Gruppen	Endpunkte mit Nachverfolgungszeitraum ⁸¹	Verzerrungsrisiko ⁸² / Evidenzstufe
		<p>After chemoradiation, patients underwent pancreaticoduodenectomy using Whipple procedure.</p> <p>Resection: 109 patients (R0), 7 patients (R1), 38 patients could not undergo resection because of disease progression.</p>				

Tabelle 5.1.3.1b: Studienbeschreibung: Aktuelle Studien zum Einsatz molekularer Marker als Prognoseparameter

Artikel (Autor, Jahr)	n ⁸³	Prognost. Merkmal	Anzahl der Patienten mit prog. Merkmal	Ergebnisse aus univariater Analyse (OS)		Ergebnisse aus multivariater Analyse (OS)		Nebenwirkungen durch Sektion des Tumors therapieassoziierte Todesfälle und Komplikationen (alle in % der behandelten Patienten)
				p-Wert	HR(95%KI)/ Median	p-Wert	HR(95%KI) / Median	
Kuramochi 2008	77	Pankreas-karzinom vs. Kolon-Karzinom	33/44	0.0003	median DPD-mRNA-level: 1.38(range 0.21-4.16)/0.44 (range 0-2.64)			
	53	Pankreas-karzinom vs. Magen-karzinom	33/20	0.0025	median DPD-mRNA-level: 1.38 (range 0.21-4.16)/0.82 (range 0.17-2.21)			
	32	DPD-mRNA-level bei responder (serum CA19-9 level fell by at least 50%) vs. Non-responder (CA19-9 either decreased by less than 50% or increased)	18/15	0.02	median DPD-mRNA-level: 1.25/2.20			
	97	TS-mRNA-level bei Pankreaskarzinom vs. Magenkarzinom vs. Kolon-Karzinom	33/20/44	0.10	TS-mRNA-level: 2.38 (range 0.04–6.68)/ 3.26 (range 1.69–10.99)/ 2.47 (0.49–19.23)			
Nakai 2008	68	log CA 19-9_Pre (per liter increase)	17/17/17/17	OS: 0.031 TTP: 0.003	OS/ HR: 1.14 (1.01–1.30) TTP/HR: 1.21 (1.07–1.38)	OS/HR: 0.016 TTP/HR: 0.005	OS/HR: 1.17 (1.01–1.36) TTP: 1.22 (1.06–1.40)	The response rate was 1.4% (0.2–7.5%), with only 1 patient achieving a partial response (PR). Twenty patients (27.8%, 95% CI, 18.8–39.0%) had stable disease (SD), and 51 patients (70.8%, 95% CI, 59.5–80.1%) had

⁸³ Gesamtanzahl der Patienten

Artikel (Autor, Jahr)	n ⁸³	Prognost. Merkmal	Anzahl der Patienten mit prog. Merkmal	Ergebnisse aus univariater Analyse (OS)		Ergebnisse aus multivariater Analyse (OS)		Nebenwirkungen durch Sektion des Tumors
				p-Wert	HR(95%KI)/ Median	p-Wert	HR(95%KI) / Median	
	68	Early CA 19-9 response (Quartile 1/2/3/4)	17/17/17/17	OS: 0.108 TTP: 0.004	OS/HR: 1.01 (0.64–1.54)/ 0.72 (0.45–1.10)/ 0.81 (0.52–1.22) im Vergleich zum 1.Quartil TTP/HR: 0.91 (0.60–1.35)/ 0.78 (0.50–1.16)/ 0.62 (0.40–0.92) im Vergleich zum 1.Quartil	OS/HR: 0.036 TTP/HR: 0.002	OS/HR: 0.98 (0.61–1.49)/ 0.68 (0.40–1.08)/ 0.79 (0.50–1.21) im Vergleich zum 1.Quartil TTP/HR: 0.91 (0.59–1.34)/ 0.71 (0.45–1.08)/ 0.63 (0.41–0.94) im Vergleich zum 1.Quartil	therapieassoziierte Todesfälle und Komplikationen (alle in % der behandelten Patienten) progressive disease (PD). The median TTP and median survival time for all of the patients were 4.5 months (95% CI, 3.4–5.6 months) and 9.9 months (95% CI, 8.2–11.4 months), respectively . Eight patients (11%) were still alive, with a median survival of 18.5 months (range, 9.7–34.0 months).
	68	Late CA 19-9 response (Quartile 1/2/3/4)	17/17/17/17	OS/HR: 0.016 TTP/HR: 0.003	OS/HR: 1.15 (0.72–1.77)/ 0.69 (0.43–1.07)/ 0.65 (0.39–1.01) im Vergleich zum 1.Quartil TTP/HR: 1.49 (0.96–2.23)/ 0.53 (0.32–0.83)/ 0.58 (0.37–0.89) im Vergleich zum 1.Quartil	N..A.	N.A.	
Akita 2009	68	RRM1 expression (low/high)	34/34	OS: 0.022 3-Jahres-OS: .0196 DFS: 0.129	OS/HR: 2.04 3-Jahres-OS: 28.6%/46.3 DFS/HR: 1.55	OS:0.046 DFS: 0.265	OS/HR: 1.89 DFS/HR: 1.39	The median overall survival of all patients was 16.3 months (4.3–113) and the median disease-free survival was 10.3 months (2–106). (The scores of RRM1 ranged from 116 to 1644 (median 539; mean 546))

Artikel (Autor, Jahr)	n ⁸³	Prognost. Merkmal	Anzahl der Patienten mit prog. Merkmal	Ergebnisse aus univariater Analyse (OS)		Ergebnisse aus multivariater Analyse (OS)		Nebenwirkungen durch Sektion des Tumors therapieassoziierte Todesfälle und Komplikationen (alle in % der behandelten Patienten)
				p-Wert	HR(95%CI)/ Median	p-Wert	HR(95%CI) / Median	
Chen 2009	68	ERCC1 expression (low/high) (excision repair cross-complementation group)	34/34	OS: 0.059 3-Jahres-OS: 0.0552 DFS: 0.048	OS/HR 1.78 3-Jahres-OS: 30%/46% (geschätzt aus Abb. 3b) 3-Jahres-DFS: 30.2%/23.1%	OS:0.194 DFS:0.265	OS/HR: 1.54 DFS/HR: 1.42	(Scores from ERCC1 ranged from 55 to 1469 (median 382, mean 412))
				3-Jahres-OS: 0.0066	3-Jahres-OS: 56.7/ 30.5 %			
		MDM2 wild-type genotype (TT) vs. polymorphic genotype (TG/GG) – Männer und Frauen MDM2 wild-type genotype (TT) vs. polymorphic genotype (TG/GG) - nur bei Männern	36/52 25/31	0.010 TTP: 0.189 TTP= 0.010	OS: 33.4 /16 Monate HR 2.08 (95% CI 1.17–3.69) für polymorphen Genotyp TTP: 15.7/8.8 Monate HR 2.19 (95% CI 1.18–4.06) mit Vorteil für TT		HR of 3.64 (95% CI 1.86–7.13) HR 2.22 (95% CI 1.06–4.65) mit Vorteil für TT	(Median survival time was 27.3 months for the patients who underwent PD and 9.2 months for the patients who did not undergo PD.)
		p27 wild-type genotype (TT) vs. polymorphic genotype (TG/GG)	56/32	0.05	18.6 vs. 35.3 Monate HR 0.57 (95% CI 0.31–1.00) for the polymorphic genotype.		HR of 0.68 (95% CI 0.36–1.28)	

Artikel (Autor, Jahr)	n ⁸³	Prognost. Merkmal	Anzahl der Patienten mit prog. Merkmal	Ergebnisse aus univariater Analyse (OS)		Ergebnisse aus multivariater Analyse (OS)		Nebenwirkungen durch Sektion des Tumors therapieassoziierte Todesfälle und Komplikationen (alle in % der behandelten Patienten)
				p-Wert	HR(95%KI)/ Median	p-Wert	HR(95%KI) / Median	
		Kombinierte (MDM2+p27): Anzahl der "adverse genotypes" (0 (keine)/1/2)	15 / 38 / 35	0.010	mean OS für 0 47.5 Monate (median survival time could not be calculated because of a more than 66% survival rate); median OS (1/2): 22.8 /16.0 Monate HR 2.31 (95% CI 0.88–6.10) für 0 vs. 1 adverse Genotypes 3.75 (95% CI 1.44–9.82) für 0 vs. 2 adverse Genotypes		HR of 2.52 (95% CI 0.91–6.95) (1 vs. 0) HR of 4.71 (95% CI 1.67–13.26) (2 vs. 0)	
Chen 2009		p73 wild-type genotype (GG) vs. polymorphic genotype (GA/AA)	59 /29	0.021	median TTP: 17.4/10.2 Monate HR 1.79 (1.08-2.99) mit Vorteil für GG		TTP: HR 2.06 (1.21-3.51)	
		p16, wildtype genotype (CC) vs.polymorphic genotypes (CT/TT)	68/20	0.039	median TTP: 16.2 /10.8 Monate HR 1.81 (1.02-3.23) mit Vorteil für CC		TTP: HR 1.83 (1.00-3.39) mit Vorteil für CC	
		Combined the polymorphisms of p73, p16, and MDM2 to-	21 / 39 / 22 / 6	0.008	TTP: HR 1.72 (0.88-3.37)/ 2.14 (1.00-4.58) / 5.15		TTP: HR 2.13 (1.04-4.36) / 3.18 (1.37-7.39) /	

Artikel (Autor, Jahr)	n ⁸³	Prognost. Merkmal	Anzahl der Patienten mit prog. Merkmal	Ergebnisse aus univariater Analyse (OS)		Ergebnisse aus multivariater Analyse (OS)		Nebenwirkungen durch Sektion des Tumors therapieassoziierte Todesfälle und Komplikationen (alle in % der behandelten Patienten)
				p-Wert	HR(95%KI)/ Median	p-Wert	HR(95%KI) / Median	
		gether (0 vs. 1/ 0 vs. 2/0 vs. 3)			(1.87–14.2) mit Vorteil für 0		10.09 (3.17-32.05)	
Dong 2009	154	EXO1 R354H (GG vs. GA/AA)	47/107	0,050	31,0 / 21,2 Monate	0,155 /0,032	HR 1,38 (0,89-2,15)/ HR 1,78 (1,05-3,00) mit Vorteil für GG	HR and OR in multivariate analyses: adjusted for clinical factors / adjusted for clinical and genetical factors
	154	EXO1 P757L (CC vs. CT/TT)	111/43	<0,001	27,8 / 14,6 Monate	0,003/ 0,093	HR 1,89 (1,25-2,87) HR 1,52 (0,93-2,47) mit Vorteil für CC	
	154	MSH2 G322D (GG vs. GA/AA)	135/19	0,001	24,5 / 11,0 Monate	0,039/0,074	HR 1,86 (1,03-3,36) HR 1,92 (0,94-3,93) mit Vorteil für GG tumor response OR 3,20 (0,84-12,2)/ 1,45 (0,17-11,8)	HR and OR in multivariate analyses: adjusted for clinical factors / adjusted for clinical and genetical factors
	154	MSH2 IVS12-6T>C (TT vs. CT/TT)	97/57	0,014	25,5 / 17,6 Monate	0,305/ 0,862	HR 1,22 (0,83-1,82)/ HR 1,04 (0,66-1,66) mit Vorteil für TT tumor response OR 4,70 (1,51-14,7)/ OR 4,29 (0,96-19,3)	
Dong 2009	154	MSH3 P231P (GG vs. GA/AA)	128/26	0,007	24,3 / 16,6 Monate	0,054 / 0,417	HR 1,60 (0,99-2,60) HR 1,38 (0,64-2,98) mit Vorteil für GG tumor response OR 3,63 (1,10-12,0) / 3,85 (0,65-22,8)	

Artikel (Autor, Jahr)	n ⁸³	Prognost. Merkmal	Anzahl der Patienten mit prog. Merkmal	Ergebnisse aus univariater Analyse (OS)		Ergebnisse aus multivariater Analyse (OS)		Nebenwirkungen durch Sektion des Tumors therapieassoziierte Todesfälle und Komplikationen (alle in % der behandelten Patienten)
				p-Wert	HR(95%KI)/ Median	p-Wert	HR(95%KI) / Median	
Dong 2009	154	MSH6 G39E (GG vs. GA/AA)	124/30	0,015	25,7 / 17,5 Monate	0,002/ 0,175	HR 2,04 (1,29-3,22) HR 1,45 (0,85-2,46) mit Vorteil für GG	HR and OR in multivariate analyses: adjusted for clinical factors / adjusted for clinical and genetical factors
	154	PMS1 Ex1-4G>C (GG vs. GC/CC)	98/56	0,030	22,7 / 18,9 Monate	0,141/ 0,066	HR 2,13 (0,78-5,86) HR 2,92 (0,93-9,11) mit Vorteil für GG	
	152	TREX1 K125Q (AA vs. AC)	148/4	0,010	22,9 / 10,3 Monate	0,093/ 0,240	HR 2,77 (0,84-9,11) HR 2,35 (0,57-9,78) mit Vorteil für AA	
	154	TREX1 Ex14-460C>T (TT/CT vs. CC)	113/41	0,002	26,4 / 15,5 Monate	0,026/ 0,003	HR 1,59 (1,06-2,38) HR 2,01 (1,26-3,19) mit Vorteil für TT/CT tumor response OR 1,73 (0,58-5,17)/ 5,24 (1,21-22,7)	
Dong 2009	154	TP73 Ex 2 + 4G>A (GG/GA vs. AA)	140/14	<0,001	25,5 / 7,4 Monate	0,005 / 0,010	HR 2,64 (1,35-5,18) HR 2,73 (1,28-5,84) mit Vorteil für GG/GA OR tumor response 6,32 (1,79-22,3) /7,34 (1,26-42,6)	
	152	No. of at-risk genotypes (0-1 vs. 2 vs. 3 vs. 4 vs. 5 vs. 6-7)	15/41/47/23/14/12	<0,001	-- / 36,2 / 23,9 / 16,3 / 13,0 / 8,3 Monate	0,092 0,002 0,001 0,001	HR 2,30 (0,87-3,78) / 4,55 (1,75-11,8) / 5,52 (2,00-15,3) / 6,40 (2,19-18,7) /	

Artikel (Autor, Jahr)	n ⁸³	Prognost. Merkmal	Anzahl der Patienten mit prog. Merkmal	Ergebnisse aus univariater Analyse (OS)		Ergebnisse aus multivariater Analyse (OS)		Nebenwirkungen durch Sektion des Tumors therapieassoziierte Todesfälle und Komplikationen (alle in % der behandelten Patienten)
				p-Wert	HR(95%KI)/ Median	p-Wert	HR(95%KI) / Median	
						<0,001	19,3 (5,92-63,2) mit Vorteil für 0-1 at-risk genotypes	
	154	No. of at-risk genotypes (0-1 vs. 2 vs. 3-4)					tumor response ORs: 2,88 (0,61-13,6) / 13,5 (3,33-55,0)	HR and OR in multivariate analyses: adjusted for clinical factors / adjusted for clinical and genetical factors
Farrell 2009	91	hENT1 (low/high vs. No) nach GEM-Gabe	39/34 vs. 18	OS: 0 .02 DFS: 0.05	OS: HR 0.51 (0.29–0.91) DFS: HR 0.57 (0.32–1.00)	OS: 0.004 DFS: 0.003	OS: HR 0.40 (0.22–0.75) DFS: HR 0.39 (0.21–0.73)	
	107	hENT1 (low/high vs. No) nach 5-FU-Gabe	41/40 vs. 26	OS: 0.75 DFS: 0.60	OS: HR 0.93 (0.58 - 1.49) DFS: HR 0.88 (0.56- 1.40)	OS: 0.31 DFS: 0.18	OS: HR 0.78 (0.47-1.27) DFS: HR 0.72 (0.45-1.16)	
	52	hENT1 (high vs. no) nach GEM-Gabe	34 vs. 18	OS: 0.01 DFS: 0.04	OS: HR 0.42 (0.22- 0.81) DFS: HR 0.51 (0.27- 0.97)	OS: 0.04 DFS: 0.003	OS: HR 0.47 (0.24-0.92) DFS: HR 0.36 (0.18-0.71)	
	66	hENT1 (high vs. No) nach 5-FU-Gabe	40 vs. 26	OS: 0.37 DFS: 0.44	OS: HR 0.78 (0.46- 1.34) DFS: HR 0.82 (0.49- 1.37)	OS: 0.18 DFS: 0.20	OS: HR 0.68 (0.40-1.19) DFS: HR 0.71 (0.41-1.21)	

Artikel (Autor, Jahr)	n ⁸³	Prognost. Merkmal	Anzahl der Patienten mit prog. Merkmal	Ergebnisse aus univariater Analyse (OS)		Ergebnisse aus multivariater Analyse (OS)		Nebenwirkungen durch Sektion des Tumors therapieassoziierte Todesfälle und Komplikationen (alle in % der behandelten Patienten)
				p-Wert	HR(95%KI)/ Median	p-Wert	HR(95%KI) / Median	
Vormittag 2009	78	20% increase in serum CA 19-9 während des ersten Monats der Behandlung	22 vs. 66	OS: 0.002 TTP: <0.001	OS: HR 1.056 (1.020–1.094) TTP: HR 1.065 (1.033–1.098)	OS: 0.286 TTP: 0.026	OS: HR 1.050 (0.960–1.150) TTP: HR 1.092 (1.01–1.179)	20% increase in serum CA 19-9 in ersten beiden Monaten (n=7): median OS: 4 Monate (IQR 3.2--), TTP: 2 Monate (IQR: 1.8-3.0) 20% increase in serum CA 19-9 nur im ersten Monaten (n=15): median OS: 13 Monate (IQR 7.0-16.0), TTP: 5.5 Monate (IQR: 3.0-7.5)
	78	20% increase in serum CA 19-9 während des zweiten Monats der Behandlung	?	OS: 0.102 TTP: <0.001	OS: 1.137 (0.975–1.326) TTP: HR 1.339 (1.163–1.541)	OS: 0.175 TTP: <0.001	OS HR: 1.115 (0.953–1.304) TTP: HR 1.298 (1.126–1.496)	20% increase in serum CA 19-9 nur im 2. Monat (n=4): median OS: 8.75 Monate (IQR 3.0-13.5), TTP: 2.75 Monate (IQR: 2.0-7.0) Kein 20% increase in serum CA 19-9 während der ersten 2 Monate: median OS: 12 Monate (IQR 8.0-20.0), TTP: 6.5 Monate (IQR: 4.0-9.0)
Wasan 2009, British journal of cancer	95	baseline CA 19-9 level ≤Median vs. baseline CA 19-9 ≥ Median		<0.0001	12.2 Monate (8.6–16.6)/ 5.0 Monate (3.9-5.7)			
	65	Gem+A baseline CA 19-9 level ≤Median vs. baseline CA 19-9 ≥ Median		<0.0001	12.5 Monate (8.6-16.6)/ 4.9 Monate (3.6-5.6)			
Wasan 2009, British journal of cancer	30	Gem: baseline CA 19-9 level ≤Median vs. baseline CA 19-9 ≥ Median		0.1109	11.6 Monate (3.8-14.7)/ 5.4 Monate (3.9-7.7)			
	95	patients achieving a reduction of ≥25% in CA 19-9 levels vs. CA 19-9 reductions < 25 %		OS: 0.1779 PFS: 0.1002	8.8 Monate vs 5.2 Monate median PFS: 6.7 vs 2.5 Monate			

Artikel (Autor, Jahr)	n ⁸³	Prognost. Merkmal	Anzahl der Patienten mit prog. Merkmal	Ergebnisse aus univariater Analyse (OS)		Ergebnisse aus multivariater Analyse (OS)		Nebenwirkungen durch Sektion des Tumors therapieassoziierte Todesfälle und Komplikationen (alle in % der behandelten Patienten)
				p-Wert	HR(95%KI)/ Median	p-Wert	HR(95%KI) / Median	
	65	Gem+A: patients achieving a reduction of \geq Schwellenwert in CA 19-9 levels vs. CA 19-9 reductions <Schwellenwert		OS: Schwelle 25%/50%: 0.8989/ 0.3392	OS: Schwelle 25%/50%: 8.6 vs. 9.5 Monate / 9.0 vs. 6.0 Monate PFS: Schwelle 25%/50%: 0.6237/ 0.4154			
	30	Gem: patients achieving a reduction of \geq Schwellenwert in CA 19-9 levels vs. CA 19-9 reductions <Schwellenwert		OS: Schwelle 25%/50%: 0.0290/ 0.1828	OS: Schwelle 25%/50%: 10.3 vs. 4.2 Monate / 9.0 vs. 4.7 Monate PFS: Schwelle 25%/50%: <0.0002/ 0.0370			
da Cunha Santos 2010, Cancer	92	KRAS mutant (Gemcitabine+ placebo vs. Gemcitabine+ erlotinib)	43 / 49			0.78	7.4 Monate (5.9-9.6)/ 6.0 Monate (5.2-7.8) HR 1.07 (0.68-1.66)	rash während Behandlung (Total): 53% OS: All enrolled patients (Gemcitabine+ placebo vs. Gemcitabine+erlotinib); n=284/285; HR 0.82 (0.69-0.99); P= 0.04
	25	KRAS wild type (Gemcitabine+ placebo vs. Gemcitabine+ erlotinib)	10/15			0.34	median OS : 4.5 Monate (1.9-11.2)/ 6.1 Monate (5.2-7.6) HR 0.66 (0.28-1.57)	median OS für Patienten mit/ohne KRAS-Mutation: 7.36 Monate (5.88-9.56)/4.48 Monate (1.94-11.24); KRAS mutation status was not prognostic for

Artikel (Autor, Jahr)	n ⁸³	Prognost. Merkmal	Anzahl der Patienten mit prog. Merkmal	Ergebnisse aus univariater Analyse (OS)		Ergebnisse aus multivariater Analyse (OS)		Nebenwirkungen durch Sektion des Tumors
				p-Wert	HR(95%KI)/ Median	p-Wert	HR(95%KI) / Median	
	50	EGFR high copy numbers (FISH+) (Gemcitabine+ placebo vs. Gemcitabine+ erlotinib)	23/27			0.73	median OS: 5.32 Monate (3.12-8.54)/ 5.29 (5.16-7.59) HR 0.90 (0.49-1.65)	therapieassoziierte Todesfälle und Komplikationen (alle in % der behandelten Patienten)
	57	EGFR low copy numbers (FISH-) (Gemcitabine+ placebo vs. Gemcitabine+ erlotinib)	25/32			0.08	median OS: 6.70 Monate (4.27-8.90)/ 8.41 Monate (6.47-11.47) HR 0.60 (0.34-1.07)	OS (HR, 0.68; 95% CI, 0.33-12.42; P 1/4 .30) after adjusting for sex, age, and ethnicity. Among the patients who received gemcitabine/ placebo median OS für Patienten mit EGFR-FISH-positiv/negativ: 5.32 Monate (3.12-8.54)/ 6.7 Monate (4.27-8.90); EGFR high GCN was not prognostic for OS (HR, 1.07; 95% CI, 0.58-1.97; P 1/4 .83) after adjusting for sex, age, and ethnicity. The coexistence of both aberrations did not affect OS
	37	KRAS mutant and EGFR high copy numbers (FISH+) (Gemcitabine+ placebo vs. Gemcitabine+ erlotinib)	20/17			0.80	HR 0.91 (0.45-1.85)	
da Cunha Santos 2010, Cancer	49	KRAS wild type or EGFR low copy numbers (FISH-) Gemcitabine+ placebo vs. Gemcitabine+ erlotinib	28/21			0.11	HR 0.60 (0.32-1.13)	
Marechal 2010 Cancer	45	dCK expression (high vs. low)	23/22	0,0008 0,002	Median OS --- / 13,2 (5,7-20,7) Monate HR 3,44 (1,60-7,44) 3-year survival 52,2%±10,4 / 27,1%±9,5	0,004	OS 3,2 (1,44-7,13)	3/4 hematologic toxicities: 21% 3/4 nonhematologic toxicities: 7%

Artikel (Autor, Jahr)	n ⁸³	Prognost. Merkmal	Anzahl der Patienten mit prog. Merkmal	Ergebnisse aus univariater Analyse (OS)		Ergebnisse aus multivariater Analyse (OS)		Nebenwirkungen durch Sektion des Tumors therapieassoziierte Todesfälle und Komplikationen (alle in % der behandelten Patienten)
				p-Wert	HR(95%KI)/ Median	p-Wert	HR(95%KI) / Median	
				0,03	Median DFS 46,8 (38,6-77,5) / 6,3 (2,9-9,6) Monate		DFS 1,00 / 3,48 (1,66-7,31)	
				0,0003	HR 3,61 (1,74-7,51)	0,001		
				0,001				
Okazaki 2010 Clin Cancer Res	153	CDA C111T (T145T) – TT vs. CT vs. CC	20/68/65	0,567		0,544	23,8±2,1 / 27,8±6,2 / 20,9±1,2 Monate HR 1,13 (0,76-1,69) für CT vs. TT /CC	
Okazaki 2010 Clin Cancer Res	149	CDA A-76C (D27Q) – CC vs. AC vs. AA	20/60/69	0,183		0,193	27,8±12,6 / 27,6±5,0 / 20,4±1,5 Monate HR 1,30 (0,88-1,93) für CC/AC vs. AA	
	151	dCK C-1205T – CC vs. CT vs. TT	22/72/57	0,449		0,079	28,7±4,0 / 24,3±5,7 / 20,7±1,5 Monate HR 1,44 (0,96-2,17) für CC/CT vs. TT tumor response OR 2,73 (1,15-6,45) für CT/CC vs. TT	
	150	dCK A9846G – AA vs. AG vs. GG	24/71/55	0,583		0,319	31,5±4,1 / 21,5±3,6 / 20,9±1,5 Monate HR 1,33 (0,76-2,32) für AA vs. AG/GG	

Artikel (Autor, Jahr)	n ⁸³	Prognost. Merkmal	Anzahl der Patienten mit prog. Merkmal	Ergebnisse aus univariater Analyse (OS)		Ergebnisse aus multivariater Analyse (OS)		Nebenwirkungen durch Sektion des Tumors therapieassoziierte Todesfälle und Komplikationen (alle in % der behandelten Patienten)
				p-Wert	HR(95%KI)/ Median	p-Wert	HR(95%KI) / Median	
Okazaki 2010 Clin Cancer Res	149	RRM1 G42A (A744A) – AA vs. AG vs. GG	126/20/3	0,069		0,292	23,9±2,6 / 16,1±3,1 / 14,1±2,8 Monate HR 1,32 (0,79-2,21) für AA vs. GG/AG tumor response OR2,96 (1,23-7,13) für AG/AA vs. AA	
	148	RRM1 A33G (T741T) – GG vs. AG vs. AA	49/51/48	0,908		0,442	26,4±4,8 / 21,2±3,1 / 22,5±2,4 Monate HR 1,18 (0,78-1,79) für GG vs. AG/AA	
	152	RRM1 C-27A (R284R) – CC vs. AC vs. AA	52/52/48	0,911		0,471	22,8±3,8 / 20,7±1,7 / 24,3±4,1 Monate HR 1,16 (0,77-1,76) für AA vs. AC/CC	
Okazaki 2010 Clin Cancer Res	151	DCTD T-47C (V116V) – CC vs. CT vs. TT	12/52/87	0,395		0,148	28,1±10,8 / 17,5±2,2 / 26,4±2,0 Monate HR 1,35 (0,90-2,01) für CC/TT vs. CT	
	151	hCNT1 A-16G (Q456Q) – GG vs. AG vs. AA	125/21/5	0,918		0,425	23,9±2,8 / 21,5±3,8 / 21,7±18,2 Monate HR 1,24 (0,74-2,08) für GG vs. AA/AG	
	151	hCNT1 C-9A (Q237K) – CC vs. AC vs. AA	88/53/10	0,942		0,480	23,9±2,8 / 20,9±3,2 / 13,1±17,8 Monate HR 1,16 (0,77-1,76)	

Artikel (Autor, Jahr)	n ⁸³	Prognost. Merkmal	Anzahl der Patienten mit prog. Merkmal	Ergebnisse aus univariater Analyse (OS)		Ergebnisse aus multivariater Analyse (OS)		Nebenwirkungen durch Sektion des Tumors therapieassoziierte Todesfälle und Komplikationen (alle in % der behandelten Patienten)
				p-Wert	HR(95%KI)/ Median	p-Wert	HR(95%KI) / Median	
							für CC vs. AA/AC	
Okazaki 2010 Clin Cancer Res	151	hCNT2 C-38A (S75R) – AA vs. AC vs. CC	56/66/29	0,636		0,852	24,5±2,5 / 18,4±1,7 / 23,8±12,7 Monate HR 1,04 (0,71-1,53) für AA/CC vs. AC	
	152	hCNT2 C-17T (P22L) – TT vs. CT vs. CC	46/67/39	0,282		0,353	28,1±4,3 / 20,7±4,3 / 18,7±2,9 Monate HR 1,23 (0,80-1,90) für TT/CT vs. CC	
	153	hCNT3 C-69T (L461L) – CC vs. CT vs. TT	111/36/6	0,565		0,125	24,3±2,7 / 20,4±3,7 / 16,9±7,4 Monate HR 1,39 (0,91-2,11) für CC vs. CT/TT tumor response OR 3,08 (1,30-7,31) für CT/TT vs. CC	
Okazaki 2010 Clin Cancer Res	148	hCNT3 A25G (T89T) – AA vs. AG vs. GG	78/53/17	0,492		0,883	24,5±2,8 / 19,8±2,6 / 18,4±6,8 Monate HR 1,03 (0,70-1,52) für AA vs. GG/AG tumor response OR 2,733 (1,21-6,17) für AG/GG vs. AA	
	149	hENT1 A-201G – AA vs. AG vs. GG	56/65/28	0,966		0,258	23,8±5,1 / 20,9±5,1 / 23,9±2,8 Monate HR 1,27 (0,84-1,91)	

Artikel (Autor, Jahr)	n ⁸³	Prognost. Merkmal	Anzahl der Patienten mit prog. Merkmal	Ergebnisse aus univariater Analyse (OS)		Ergebnisse aus multivariater Analyse (OS)		Nebenwirkungen durch Sektion des Tumors therapieassoziierte Todesfälle und Komplikationen (alle in % der behandelten Patienten)
				p-Wert	HR(95%KI)/ Median	p-Wert	HR(95%KI) / Median	
Okazaki 2010 <i>Clin Cancer Res</i>	150	hENT1 T-549C – CC vs. CT vs. TT	86/57/11	0,338		0,142	24,5±3,2 / 18,9±2,2 / 17,5±11,0 Monate HR 1,32 (0,91-1,92) für CC vs. CT/TT	
Richards 2010 <i>Ann Surg</i>	24	GEM group HuR cytoplasmic expression (low vs. high)	10/14	0,033	22,5 / 45,8 Monate HR 2,84 (1,04-7,74)			
Richards 2010 <i>Ann Surg</i>	53	HuR (high vs. low)	27/26	0,005	T-stage 1/2 6 / 16 patients T-stage 3/4 21 / 10 patients			

Artikel (Autor, Jahr)	n ⁸³	Prognost. Merkmal	Anzahl der Patienten mit prog. Merkmal	Ergebnisse aus univariater Analyse (OS)		Ergebnisse aus multivariater Analyse (OS)		Nebenwirkungen durch Sektion des Tumors therapieassoziierte Todesfälle und Komplikationen (alle in % der behandelten Patienten)
				p-Wert	HR(95%KI)/ Median	p-Wert	HR(95%KI) / Median	
	53	VEGF (low vs. high)	16/37	1,0	T-stage 1/2 7 / 15 patients T-stage 3/4 9 / 22 patients			
	53	COX-2 (low vs. high)	34/19	0,39	T-stage 1/2 16 / 6 patients T-stage 3/4 18 / 13 patients			
	52	HuR (high vs. low)	27/25	0,25	N0 8 / 12 patients N1 19 / 13 patients			
	52	VEGF (low vs. high)	15/37	0,21	N0 8 / 12 patients N1 7 / 25 patients			
	52	COX-2 (low vs. high)	33/19	0,77	N0 12 / 8 patients N1 21 / 11 patients			
Kim 2011 Mol Cancer Ther	136	KRAS (mutant vs. wild type)	71/65	0,001 0,02 0,06	Median OS 5,8 (5,1-6,5) / 8,0 (5,8-10,2) Monate HR 1 / 0,562 (0,395-0,800) Response rate 11,3% / 26,2% Disease control rate 35,2% /	0,001	1,0 / 0,523 (0,355-0,770)	

Artikel (Autor, Jahr)	n ⁸³	Prognost. Merkmal	Anzahl der Patienten mit prog. Merkmal	Ergebnisse aus univariater Analyse (OS)		Ergebnisse aus multivariater Analyse (OS)		Nebenwirkungen durch Sektion des Tumors therapieassoziierte Todesfälle und Komplikationen (alle in % der behandelten Patienten)
				p-Wert	HR(95%KI)/ Median	p-Wert	HR(95%KI) / Median	
	71	Patients treated with erlotinib KRAS (mutant vs. wild type)	40/31	0,002	52,3%	0,002	0,453 (0,274-0,750)	
					5,2 (3,65-6,75) / 9,7 (7,55-11,8) Monate Response rate 7,5% / 23,3%			
				0,09				
Kondo 2011 J Surg Oncol	106	TS expression (high vs. low)	68/38	0,834	3-year survival 33% / 29%	0,121	0,676 (0,407-1,122)	
	106	DPD expression (high vs. low)	39/67	0,119	3-year survival 27% / 35%			
Kondo 2011 J Surg Oncol	106	OPRT expression (high vs. low)	70/36	0,638	3-year survival 32% / 30%			
	72	S-1(+) patients TS expression (high vs. low)	46/26	0,816	3-year survival 45% / 49%			
	72	S-1(+) patients DPD expression (high vs. low)	29/43	0,022	3-year survival 35% / 55%	0,037	1,51 (1,03-2,23) mit Vorteil für low	

Artikel (Autor, Jahr)	n ⁸³	Prognost. Merkmal	Anzahl der Patienten mit prog. Merkmal	Ergebnisse aus univariater Analyse (OS)		Ergebnisse aus multivariater Analyse (OS)		Nebenwirkungen durch Sektion des Tumors therapieassoziierte Todesfälle und Komplikationen (alle in % der behandelten Patienten)
				p-Wert	HR(95%KI)/ Median	p-Wert	HR(95%KI) / Median	
	72	S-1(+) patients OPRT expression (high vs. low)	49/23	0,618	3-year survival 45% / 50%			
Ohuchida 2011 Ann Surg Oncol	59	Gemcitabine group miR-142-5p (high vs. low)		0,0077	45 (23- ---) / 16,3 (12-23) Monate	0,0340	HR 3,109 (1,087-10,01)	
	30	Non-gemcitabine group miR-142-5p (high vs. low)		0,4880	OS 13,07 (4,7-43) / 11 (7,7-14,7) Monate			
	59	Gemcitabine group miR-204 (high vs. low)		0,0054	OS 33 (13,27- ---) / 16,3 (12-23) Monate			
	30	Non-gemcitabine group miR-204 (high vs. low)		0,1527	OS 13,07 (8,47-26) / 9 (4-14,7) Monate			
Ohuchida 2011 Ann Surg Oncol	59	Gemcitabine group miR-125a (high vs. low)		0,0854	OS 30,17 (19---) / 14,57 (12-31) Monate			
	30	Non-gemcitabine group miR-125a (high vs. low)		0,8990	OS 12 (8,47-16,93) / 14 (3 --) Monate			
	59	Gemcitabine group miR-34a (high vs. low)		0,1754	OS 27 (20,87-47,9) / 16,3 (12---) Monate			
	30	Non-gemcitabine group miR-34a (high vs. low)		0,0127	OS 16,9 (9-24,4) / 8,5 (3-12) Monate	0,0103	HR 2,920 (1,303-6,295)	

Artikel (Autor, Jahr)	n ⁸³	Prognost. Merkmal	Anzahl der Patienten mit prog. Merkmal	Ergebnisse aus univariater Analyse (OS)		Ergebnisse aus multivariater Analyse (OS)		Nebenwirkungen durch Sektion des Tumors therapieassoziierte Todesfälle und Komplikationen (alle in % der behandelten Patienten)
				p-Wert	HR(95%KI)/ Median	p-Wert	HR(95%KI) / Median	
Tanaka 2011 Cancer	152	MDR1 T-55C – CC vs. CT vs. TT CC vs. TT/CT	45/64/43	0,982	23,8±5,3 / 21,5±3,3 / 21,7±3,4 Monate	0,317	HR 1,24 (0,81-1,90) beim Vergleich CC vs. TT/CT	
	154	MRP1 G36A – GG vs. AG vs. AA	81/60/13	0,247	21,5±2,4 / 23,9±9,3 / 21,4±6,1 Monate	0,890	HR 1,03 (0,69-1,53) beim Vergleich AA/AG vs. GG	
Tanaka 2011 Cancer	151	MRP2 G40A – GG vs. AG vs. AA	86/55/10	0,172	21,2±2,6 / 31,0±7,1 / 17,5±4,8 Monate OR histological response 2,45 (1,09-5,48) beim Vergleich GG vs. AG/AA	0,040	HR 1,55 (1,02-2,36) beim Vergleich AG/AA vs. GG	
	116	MRP2 G40A (resected patients only)				0,015	1,99 (1,15-3,45) beim Vergleich AG/AA vs. GG	
	151	MRP2 C-16T – CC vs. CT vs. TT	63/69/19	0,962	23,9±4,2 / 20,7±4,0 / 22,5±2,2 Monate	0,557	HR 1,13 (0,75-1,69) beim Vergleich CC vs. TT/CT	
	149	MRP3 C-13T – CC vs. CT vs. TT	89/47/13	0,307	21,4±2,3 / 28,7±7,0 / 23,9±10,9 Monate	0,664	HR 1,10 (0,72-1,67) beim Vergleich CT/TT vs. CC	
	152	MRP4 A40G – GG vs. AG vs. AA	54/76/22	0,172	26,4±8,1 / 21,7±2,4 / 14,6±2,6 Monate	0,357	HR 1,29 (0,75-2,23) beim Vergleich GG/AG vs. AA	
	152	MRP5 A-2G – AA vs. AG vs. GG	68/62/22	0,017	18,4±3,0 / 31,0±4,2 / 20,7±7,0 Monate	0,013	HR 1,65 (1,11-2,45) beim Vergleich AG/GG vs. AA	

Artikel (Autor, Jahr)	n ⁸³	Prognost. Merkmal	Anzahl der Patienten mit prog. Merkmal	Ergebnisse aus univariater Analyse (OS)		Ergebnisse aus multivariater Analyse (OS)		Nebenwirkungen durch Sektion des Tumors therapieassoziierte Todesfälle und Komplikationen (alle in % der behandelten Patienten)
				p-Wert	HR(95%KI)/ Median	p-Wert	HR(95%KI) / Median	
Tanaka 2011 <i>Cancer</i>	116	MRP5 A-2G (resected patients only) AG/GG vs. AA				0,011	1,88 (1,16-3,06) beim Vergleich AA vs. AG/GG	
	147	BCRP C43A – CC vs. AC vs. AA	116/27/4	0,960	23,9±3,3 / 21,2±0,8 / 20,4±10,0 Monate	0,834	HR 1,05 (0,65-1,72) beim Vergleich AA/AC vs. CC	
	151	No. of deleterious alleles (0 vs. 1-2)	39/112	0,006	34,0±12,0 / 20,7±1,5 Monate 5-year survival 41,3% / 20%	0,002	HR 2,18 (1,32-3,60) beim Vergleich (0 vs. 1-2)	

Referenzen:

Vollpublikationen:

- Akita, H., Z. Zheng, et al. (2009). "Significance of RRM1 and ERCC1 expression in resectable pancreatic adenocarcinoma." *Oncogene* 28(32): 2903-2909.
- Chen, J., D. Li, et al. (2009). "Polymorphisms of p16, p27, p73, and MDM2 modulate response and survival of pancreatic cancer patients treated with preoperative chemoradiation." *Ann Surg Oncol* 16(2): 431-439.
- da Cunha Santos, G., N. Dhani, et al. (2010) Molecular predictors of outcome in a phase 3 study of gemcitabine and erlotinib therapy in patients with advanced pancreatic cancer: National Cancer Institute of Canada Clinical Trials Group Study PA.3. *Cancer* 5599-5607.
- Dong, X., L. Jiao, et al. (2009). "Significant associations of mismatch repair gene polymorphisms with clinical outcome of pancreatic cancer." *Journal of Clinical Oncology* 27(10): 1592-1599.
- Farrell, J. J., H. Elsaleh, et al. (2009). "Human equilibrative nucleoside transporter 1 levels predict response to gemcitabine in patients with pancreatic cancer." *Gastroenterology* 136(1): 187-195.
- Kim, S. T., D. H. Lim, et al. (2011). "Impact of KRAS mutations on Clinical Outcomes in Pancreatic Cancer Patients Treated with First-line Gemcitabine-based Chemotherapy." *Mol Cancer Ther.*
- Kondo, N., Y. Murakami, et al. (2011). "Prognostic impact of dihydropyrimidine dehydrogenase expression on pancreatic adenocarcinoma patients treated with S-1-based adjuvant chemotherapy after surgical resection." *Journal of Surgical Oncology* 104(2): 146-154.
- Kuramochi, H., K. Hayashi, et al. (2008) High intratumoral dihydropyrimidine dehydrogenase mRNA levels in pancreatic cancer associated with a high rate of response to S-1. *Cancer chemotherapy and pharmacology* 85-89.
- Marechal, R., J. R. Mackey, et al. (2010). "Deoxycytidine kinase is associated with prolonged survival after adjuvant gemcitabine for resected pancreatic adenocarcinoma." *Cancer* 116(22): 5200-5206.
- Nakai, Y., T. Kawabe, et al. (2008). "CA 19-9 response as an early indicator of the effectiveness of gemcitabine in patients with advanced pancreatic cancer." *Oncology* 75(1-2): 120-126.
- Ohuchida, K., K. Mizumoto, et al. (2011). "MicroRNA expression as a predictive marker for gemcitabine response after surgical resection of pancreatic cancer." *Annals of Surgical Oncology* 18(8): 2381-2387.
- Okazaki, T., M. Javle, et al. (2010). "Single nucleotide polymorphisms of gemcitabine metabolic genes and pancreatic cancer survival and drug toxicity." *Clinical Cancer Research* 16(1): 320-329.
- Richards, N. G., D. W. Rittenhouse, et al. (2010). "HuR status is a powerful marker for prognosis and response to gemcitabine-based chemotherapy for resected pancreatic ductal adenocarcinoma patients." *Ann Surg* 252(3): 499-505; discussion 505-496.
- Tanaka, M., T. Okazaki, et al. (2011). "Association of multi-drug resistance gene polymorphisms with pancreatic cancer outcome." *Cancer* 117(4): 744-751.
- Vormittag, L., A. Gleiss, et al. (2009). "Limited value of CA 19-9 in predicting early treatment failure in patients with advanced pancreatic cancer." *Oncology* 77(2): 140-146.
- Wasan, H. S., G. M. Springett, et al. (2009) CA 19-9 as a biomarker in advanced pancreatic cancer patients randomised to gemcitabine plus axitinib or gemcitabine alone. *British journal of cancer* 1162-1167.

Nachfolgende Evidenztabelle bezieht sich auf folgende Fragen:

5.1.4 Sehen Sie eine Indikation für eine Second-Line-Therapie in der palliativen Therapie des Pankreaskarzinoms?

5.1.5 Welche systemische palliative Behandlung setzen Sie in der Second-Line-Therapie ein?

Insgesamt wurden 18 Studien zum Thema auf der Grundlage des Titel- und Abstractscreenings gefunden. Eingeschlossen wurden fünf RCTs, in denen 566 Patienten randomisiert und in der Zweitlinientherapie behandelt wurden. Alle RCTs weisen weite Konfidenzintervalle auf, so dass drei RCTs mit dem Evidenzniveau 1b-beurteilt wurden.

Ausgeschlossen wurden sieben Studien ohne Vergleichsgruppe, ein systematischer Review ohne zusammenfassende Metaanalyse, vier retrospektive Analysen und eine Studie, in welcher nur Informationen zur Erstlinientherapie enthalten sind. Ein elektronisch veröffentlichter systematischer Review (Kocher 2010) und eine Phase II Studie (Ueno 2011) konnten in der Volltextversion nicht bestellt werden.

Tabelle 5.1.4 / 5a: Studienbeschreibung: Aktuelle randomisierte Studien und systematische Reviews zu palliativen Second-line Chemotherapien

Artikel (Autor, Jahr, Studienname, Journal)	Studientyp	Patienten- merkmale	Intervention: palliative Chemo- therapie (CTX)	Vergleichs- Intervention	Therapie- dauer / Nach- Verfolgung	Endpunkte	Verzerrungsri- siko / Bemerkun- gen	Evidenz- stufe (CEBM levels)
Ciuleanu 2009 European Journal of Cancer	Multizentrische RCT N=303 09/2004 – 08/2006 International (11 Länder)	Patienten mit fortgeschrittenem Pankreaskarzinom mit Progression unter Gemcitabine (first-line- Therapie) Metastasen: 100% (Le- ber: 80%) Alter: 58 (27-80) Sex: 60%/40% Karnofsky 100/90/80/70: 15%/27%/41%/17% Vortherapien: GEM (100%), Radiotherapie (10%), OP (22%)	Glufosfamide (4500 mg/m ²) an Tag 1 eines jeden 3-wöchi- gen Zyklus + BSC (definiert als analgesics, antibiot- ics, trans-fusions, therapeutic haemato- poietic colony-stimulat- ing factors, erythro- poietin and other appropriate suppor- tive measures includ- ing con-comitant medi- cations without anti- tumour effects. Megestrol acetate for appetite stimulation was permitted.)	Best support- ive care (BSC)	Daten bis 01/2007 für OS und PFS 08/2007 alle Patienten hat- ten Therapie beendet	Primärer Endpunkt: OS Sekundäre Endpunkte: PFS, RR, Response- Dauer, OS, serum CA 19- 9 response, VAS pain intensity und KPS	Generierung der Zufallsfolge: (1:1) baseline PS als Stratifizierungsfaktor Verdeckte Therapie- zuweisung: k.A. Verblindung: hohes Risiko (keine Verblindung) Beschreibung von Studienabbrüchen: ja ITT-Analyse: ja Cross-over nach Therapieende mög- lich: Zensierung von 36.3% (PFS)	1b- Weite Konfi- denz-inter- valle
Yoo 2009 British Jour- nal of Cancer	Monozentrische RCT 2-armig N= 61 01/2007- 12/2008 Korea	Patienten mit fortgeschrittenem Pankreaskarzinom mit Gemcitabine in der Erstlinientherapie Alter: 55 Jahre (35-73) Sex: 72 %/ 28% ECOG 0/1/2: 17%/ 80%/3% Vortherapien: OP (34%), palliative Radiotherapie (3%), adjuvante CTX (27%), neoadjuvante CTX (2%)	mFOLFI.3 (m - modifiziert) Irinotecan (70 mg/m ²) an den Tagen 1 und 3 + Leucovorin (400 mg/m ²) an Tag 1 + 5- FU (2000 mg/m ²) an den Tagen 1 und 2 Behandlung aller 2 Wochen	mFOLFOX Oxaliplatin (85 mg/m ²) an Tag 1 + Leucovorin (400 mg/m ²) an Tag 1 + 5-FU (2000 mg/m ²) an den Tagen 1 and 2 Behandlung aller 2 Wochen	mFOLFI: 98 Zyklen (total) mFOLFOX: 93 Zyklen (total) Median an Zyklen in bei- den Therapiear- men: 3 Zyklen (range 1-12 (mFOLFI)) und 1- 10(mFOLFOX)) Median follow- up: 24.4	Primärer Endpunkt: 6-Month OS Sekundäre Endpunkte: RR, PFS, median OS (nur second- line/first-und second-line), Toxizität	Generierung der Zufallsfolge: (1:1), Stratifizierung über Alter, ECOG PS (0-1 vs. 2) und vorherige overall best response to GEM (non-disease pro- gression vs. Disease progression) Verdeckte Therapie- zuweisung: Verblindung: nein Beschreibung von Studienabbrüchen:	2b- (kein Ver- gleich zwi- schen den Interven- tions-grup- pen)

Artikel (Autor, Jahr, Studienname, Journal)	Studientyp	Patienten- merkmale	Intervention: palliative Chemo- therapie (CTX)	Vergleichs- Intervention	Therapie- dauer / Nach- Verfolgung	Endpunkte	Verzerrungsri- siko / Bemerkun- gen	Evidenz- stufe (CEBM levels)
		GEM-first-line Therapie: nur GEM (10%), GEM/CAP (75%), GEM/Erlotinib (10%), GEM/Cisplatin (5%) Cross-over to alternate protocol: 39% (mFOLFIRI) und 23% (mFOLFOX) Komorbiditäten: Ausschluss von Patienten mit Hirnmetastasen, GIT-Blutungen oder – Obstruktionen, schweren Komorbiditäten, Radiotherapie des axialen Skeletts, periphere Neuropathie ≥ Grad 2			Wochen (0.8-40.8)		ja ITT-Analyse: ja (RR), nein (OS, PFS) Cross-over nach Therapieende möglich: ja Zensierung von 18% zur Analyse	
Astsaturov 2011 American Journal of Clinical Oncology	monozentrische RCT 2-armig N = 32 10/2004-12/2006 USA	Patienten mit messbarem metastasierten Pankreaskarzinom mit Progression unter Gemcitabine Alter 67/56,5 Jahre Sex (m/w): 44% / 56% PS 0 /1: 37,5% /62,5% Metastasiert: 100% Vortherapien: Chemo: 41%, Radio: 41%, OP: 41% Komorbiditäten: Ausschluss von Patienten: with clinically significant cardiovascular disease, NYHA ≥II, CHF,	Bevacizumab (10 mg/kg i.v.) once every 2 weeks + Docetaxel (35 mg/m ² i.v.) on days 1, 8, 15 of each 28 day cycle + Dexamethasone (8 mg) after each Docetaxel dose	Bevacizumab (10 mg/kg i.v.) once every 2 weeks	Bev-Arm: median 2 cycles per patient Bev+Docetaxel: median 3 cycles per patient Follow up until death of all patients (ca. 500 days).	Primärer Endpunkt: PFS Sekundäre Endpunkte: OS, Toxizität, RR	Generierung der Zufallsfolge: geringes Risiko Verdeckte Therapiezuweisung: geringes Risiko (zentral) Verblindung: hohes Risiko (keine Verblindung) Beschreibung von Studienabbrüchen: ja ITT-Analyse: ja Cross-over nach Therapieende möglich: k.A.	2b- (kleine Studie, fehlende Konfidenzintervalle)

Artikel (Autor, Jahr, Studienname, Journal)	Studientyp	Patienten- merkmale	Intervention: palliative Chemo- therapie (CTX)	Vergleichs- Intervention	Therapie- dauer / Nach- Verfolgung	Endpunkte	Verzerrungsri- siko / Bemerkun- gen	Evidenz- stufe (CEBM levels)
		ventricular dysrhythmia; clinically significant peripheral vascular disease, history of transient ischemic attack or stroke, any brain metastases or bleeding diathesis or coagulopathy					The study was stopped according to the early stopping rule for futility.	
Dahan 2011 (FFCD 0301) Gut	multizentrische RCT 2-armig N = 202 (Erstlinientherapie) N=124 (Zweitlinientherapie) 08/2003-05/2006, Frankreich	Patienten mit histologisch oder zytologisch bestätigtem metastasiertem Pankreaskarzinom, mind. einer messbaren Metastase Alter 62/65 Jahre (39-84) Sex: 64% / 36% PS 0 / 1 / 2: 29% / 47% / 18% Metastasiert: 100% Vortherapien: Chemo: 1.5%, Radio: 1.5%, OP: 25% Komorbiditäten: Ausschluss von Patienten mit brain metastases, a medical history of malignant tumours	First-line LV5FU2-CDDP: Leucovorin (200 mg/m ²) + 5FU (400 mg/m ²) als Bolus, danach 2400 mg/m ²) + Cisplatin (50 mg/m ²) an Tag 1 alle 2 Wochen + Second line Gemcitabine (1000 mg/m ²) wöchentlich (7/8 Zyklen), danach wöchentlich (3/4 Zyklen) (Klassisches Burris Regime) + Second line LV5FU2-CDDP: Leucovorin (200 mg/m ²) + 5FU (400 mg/m ²) als Bolus, danach 2400 mg/m ²) + Cisplatin (50 mg/m ²) an Tag 1 alle 2 Wochen	First-line Gemcitabine (1000 mg/m ²) wöchentlich (7/8 Zyklen), danach wöchentlich (3/4 Zyklen) (Klassisches Burris Regime) + Second line LV5FU2-CDDP: Leucovorin (200 mg/m ²) + 5FU (400 mg/m ²) als Bolus, danach 2400 mg/m ²) + Cisplatin (50 mg/m ²) an Tag 1 alle 2 Wochen	Mediane Nachverfolgung 44 Monate (ab Beginn der First-line Therapie)	Primärer Endpunkt: OS Sekundäre Endpunkte: PFS, Anteil mit Second-line Therapie, Toleranz, QoL	Generierung der Zufallsfolge: geringes Risiko (Minimisation mit Stratifizierung) Verdeckte Therapiezuweisung: geringes Risiko (zentral) Verblindung: hohes Risiko (keine Verblindung) Beschreibung von Studienabbrüchen: ja ITT-Analyse: ja Cross-over nach Therapieende möglich: ja	2b- Indirekte Ergebnisse, Studienbeschreibung bezieht sich auf first-line Therapie Für Patienten mit Zweitlinientherapie werden Endpunkte beschrieben (in Tabelle 5.1.4/5b)
Pelzer 2011 (CONKO-003) European	Multizentrisches RCT N= 46	Patienten mit fortgeschrittenem Pankreaskarzinom (inoperabel) und Progression (bestätigt)	OFF: Oxaliplatin (85 mg/m ²) an den Tagen 8 und 22 (Gabe vor den anderen Substan-	BSC: Best supportive care (according to current palliative	k.A.	Primärer Endpunkt: OS (ab second-line)	Generierung der Zufallsfolge: (1:1-Randomisierung), Stratifizierung je nach Dauer der first-	1b-

Artikel (Autor, Jahr, Studienname, Journal)	Studientyp	Patienten- merkmale	Intervention: palliative Chemo- therapie (CTX)	Vergleichs- Intervention	Therapie- dauer / Nach- Verfolgung	Endpunkte	Verzerrungsri- siko / Bemerkun- gen	Evidenz- stufe (CEBM levels)
Journal of Cancer	12/2002 – 12/2003 (mit low recruitment)	durch CT und/oder MRI; histologisch) unter Gemcitabine (first-line- Therapie) ohne frühere RTX Alter: 61 Jahre (34-80) Sex: 65%/35% Median Karnofsky PS von 80 (70-100%) M0/M1: 26 %/ 74% Median PFS in first-line- Therapie: 4.6 Monate Firstline GEM: 100% Komorbiditäten: Aus- schluss von Patienten mit konkurr. medizini- scher Behandlung, schweren Herz- Krankheiten, sensori- scher/motorischer Neuropathie > Grad 2, unkontrollierbaren Schmerzen	zen) + Folinic acid (200 mg/m²) + 5- Fluorouracil (2 g/m²) an den Tagen 1,8,15 und 22 (1 Zyklus =6 Wochen) + BSC Nach einer Pause von 3 Wochen (von Tag 23 bis 42) wurde der nächste Zyklus begon- nen (am Tag 43=Tag1 des nächsten Zyklus) Patienten erhielten prophylaktisch Antiemetika (Ali- zapride, Dexame- thason)	care guidelines) (included ade- quate pain management, therapy of infec- tion, biliary- stent interven- tion if needed, social supply and on demand psycho-onco- logically inter- vention and nutrition consul- tation/interven- tion.)		Sekundäre Endpunkte: OS (ab first- und second- line)	line-Therapie, KPS (70-80 %, 90-100%) und Stage (M0/M1) Verdeckte Therapie- zuweisung: k.A. Verblindung: hohes Risiko (keine Verblindung) Beschreibung von Studienabbrüchen: ja ITT-Analyse: ja Cross-over nach Therapieende Geplant war der Einschluss von 165 Patienten, nach Einschluss von 46 Patienten wurde die Studie wegen gerin- ger Rekrutierungsra- ten beendet	

Tabelle 5.1.4 / 5b: Ergebnisse aktueller randomisierter Studien und systematischer Reviews zu palliativen Second-line Chemotherapien

Artikel	CTX mit Substanz	OS (95 % KI)	RR WHO (%, 95 % KI)	PFS / DFS (95 % KI) Median / HR	Toxizität (alle in % der behandelten Patienten)	Lebensqualität	Angaben zu Untergruppen
	CTX ohne Substanz	Median / HR					
Ciuleanu 2009 European Journal of Cancer	Glufosamide + BSC (n=148)	105 Tage (range 5–875) HR 0.85 (0.66–1.08) für Komb.	RR: 2% Stable disease or better: 31%	46 Tage (range 1+ - 351) HR 0.76 (0.57–1.02), Richtung unklar	AE: 44.7% SAE: 16% Tod durch AE: 5 Patienten (3.4%)	k. A.	HR für OS war auch für Subgruppe mit baseline KPS>80 nicht signifikant
	BSC (n = 155)	84 Tage (range 2+ - 761)	RR: 0.6% Stable disease or better: 19%	43 Tage (range 1+ - 372)	AE: 30.3% SAE: 10% Tod durch AE: 6 Patienten (4.1%) Zurücknahme des Einverständnisses: 14% (v.a. wegen Unzufriedenheit mit Behandlungsarm)		
Yoo 2009 British Journal of Cancer	mFOLFI.R3 (n=31)	Nur second-line: 16.6 Wochen (12.5-20.6) First-und second-line: 47.1 Wochen (39.0-55.2)	RR not ascertained Stable disease: 7% (23,11-40)	Second-line: 8.3 Wochen (6.9-9.6) First-und second-line: 34.9 Wochen (30.8-38.9)	Zurücknahme des Einverständnisses: 3 % AE Grad 3/4: 38% therapieassoziierte Todesfälle: 1 Patient (3%)	k. A.	k. A.
	mFOLFOX (n=30)	Nur second-line: 14.9 Wochen (8.0-21.8) First-und second-line: 47.1 Wochen (36.0-58.3)	7% (1-22%) Stable disease: 3% (10.3-26)	Second-line: 6.0 Wochen (5.1-6.9) First-und second-line: 37.0 Wochen (32.0-42.0)	Therapieabbruch: 3% AE Grad 3/4: 38% therapieassoziierte Todesfälle: 1 Patient (3%)		
Astsaturov 2011 American Journal of Clinical Oncology	Bevacizumab + Docetaxel (n=16)	125 Tage	stable disease at 2 months: 50% - at 4 months: 19%	48 Tage	SAE: 50%	k. A.	k. A.
	Bevacizumab (n=16)	Median:165 Tage	stable disease at 2 months: 25%, at 4 months: 12,5%	43 Tage	SAE: 44%		

Artikel	CTX mit Substanz	OS (95 % KI) Median / HR	RR WHO (%, 95 % KI)	PFS / DFS (95 % KI) Median / HR	Toxizität (alle in % der behandelten Patienten)	Lebensqualität	Angaben zu Untergruppen
	CTX ohne Substanz						
Dahan 2011 Gut	LV5FU2-CDDP + Gemcitabine (n=69)	k. A.	10%	First-und second-line: 5.03 Monate (4.3-5.9) Nur Patienten mit 2ndline Therapie ab Rand.: 6.03 Monate (5.1-9.9)	AE (Grad 3/4): 69% Second-line CTX was stopped due to disease progression: 64%	Separate Publikation geplant	k. A.
	Gemcitabine + LV5FU2-CDDP (n=55)	k. A.	7%	First-und second-line: 5.8 Monate (4.3-7.8) HR 0.93 (0.70-1.22) Nur Patienten mit 2ndline Therapieab Rand.: 8.8 Monate (6.0-9.8) (stratified log-rank p=0.03)	AE (Grad 3/4): 74% Second-line CTX was stopped due to disease progression: 62%	k. A.	
Pelzer 2011 Europ Journal of Cancer	OFF (n= 23)	Second-line OS (ab first-line Progression): 4.82 Monate (4.29-5.35) First-und second-line: 9.1 Monate (7.0-11.2)	0 %	k. A.	Keine Grad 4-Toxizität Grad 3- Toxizität: 13% (3/23)	k. A.	OS von first-und second-line-Therapie: 9.09 Monate (6.97-11.21) HR 0.50 (0.27-0.95) PFS in first-line: 4.75 Monate
	BSC (n=23)	Second-line OS (ab first-line Progression): 2.30 Monate (1.76-2.83) HR 0.45 (0.24-0.83) mit Vorteil für OFF First-und second-line: 7.9 Monate (4.9-10.8)	0%		Keine Grad 4-Toxizität Grad 3- Toxizität: 13% (3/23)		OS von first-und second-line-Therapie : 7.90 (4.95-10.84) PFS in first-line: 4.57 Monate

Referenzen

- Astsaturov, I. A., N. J. Meropol, et al. (2011). "Phase II and coagulation cascade biomarker study of bevacizumab with or without docetaxel in patients with previously treated metastatic pancreatic adenocarcinoma." *Am J Clin Oncol* 34(1): 70-75.
- Ciuleanu, T. E., A. V. Pavlovsky, et al. (2009). "A randomised Phase III trial of glufosfamide compared with best supportive care in metastatic pancreatic adenocarcinoma previously treated with gemcitabine." *European Journal of Cancer* 45(9): 1589-1596.
- Dahan, L., F. Bonnemain, et al. (2010). "Combination 5-fluorouracil, folinic acid and cisplatin (LV5FU2-CDDP) followed by gemcitabine or the reverse sequence in metastatic pancreatic cancer: Final results of a randomised strategic phase III trial (FFCD 0301)." *Gut* 59(11): 1527-1534.
- Pelzer U, Schwaner I, Stieler J, Adler M, Seraphin J, et al. Best supportive care (BSC) versus oxaliplatin, folinic acid and 5-fluorouracil (OFF) plus BSC in patients for second-line advanced pancreatic cancer: a phase III-study from the German CONKO-study group. *Eur J Cancer*. 2011;47(11):1676-81.
- Yoo, C., J. Y. Hwang, et al. (2009) A randomised phase II study of modified FOLFIRI.3 vs modified FOLFOX as second-line therapy in patients with gemcitabine-refractory advanced pancreatic cancer. *British journal of cancer* 1658-1663

Ausgeschlossene Studien (mit Gründen)

- Berglund, A., P. Bystrom, et al. (2010). "An explorative randomised phase II study of sequential chemotherapy in advanced upper gastrointestinal cancer." *Medical Oncology* 27(1): 65-72 (nur first-line Therapien in Palliativsituation).
- Gebbia, V., E. Maiello, et al. (2007). "Second-line chemotherapy in advanced pancreatic carcinoma: a multicenter survey of the Gruppo Oncologico Italia Meridionale on the activity and safety of the FOLFOX4 regimen in clinical practice." *Ann Oncol* 18 Suppl 6: vi124-127 (retrospektive Analyse).
- Gounaris, I., K. Zaki, et al. (2010). "Options for the treatment of gemcitabine-resistant advanced pancreatic cancer." *JOP* 11(2): 113-123 (keine Metzaannalyse, Studien wurden eingeschlossen).
- Herrmann, C., U. Abel, et al. (2007). "Short time to progression under first-line chemotherapy is a negative prognostic factor for time to progression and residual survival under second-line chemotherapy in advanced pancreatic cancer." *Oncology* 73(5-6): 335-339 (retrospektive Analyse).
- Ignatiadis, M., A. Polyzos, et al. (2007). "A multicenter phase II study of docetaxel in combination with gefitinib in gemcitabine-pretreated patients with advanced/metastatic pancreatic cancer." *Oncology* 71(3-4): 159-163 (keine Vergleichsgruppe).
- Klapdor, R., M. Bahlo, et al. (2007). "Reflections on treatment strategies for palliative chemotherapy of pancreatic cancer." *Anticancer Res* 27(4A): 1789-1794 (keine Vergleichsgruppe).
- Kulke, M. H., L. S. Blaszkowsky, et al. (2007). "Capecitabine plus erlotinib in gemcitabine-refractory advanced pancreatic cancer." *J Clin Oncol* 25(30): 4787-4792 (keine Vergleichsgruppe).
- Morizane, C., T. Okusaka, et al. (2009). "A phase II study of S-1 in gemcitabine-refractory metastatic pancreatic cancer." *Cancer Chemother Pharmacol* 63(2): 313-319 (keine Vergleichsgruppe).
- Nakachi, K., J. Furuse, et al. (2007). "Prognostic factors in patients with gemcitabine-refractory pancreatic cancer." *Jpn J Clin Oncol* 37(2): 114-120 (retrospektive Analyse).
- Ko, A. H., A. P. Venook, et al. (2010). "A phase II study of bevacizumab plus erlotinib for gemcitabine-refractory metastatic pancreatic cancer." *Cancer Chemother Pharmacol* 66(6): 1051-1057 (keine Vergleichsgruppe).

Lim, K. H., T. Y. Kim, et al. (2011). "Efficacy of infusional 5-fluorouracil, doxorubicin, and mitomycin-C (iFAM) in the treatment of patients with gemcitabine-pretreated pancreatic cancer and analysis of prognostic factors in a salvage setting." *Cancer Chemother Pharmacol.* (keine Vergleichsgruppe).

Nakai, Y., H. Isayama, et al. (2010). "Impact of S-1 in patients with gemcitabine-refractory pancreatic cancer in Japan." *Jpn J Clin Oncol* 40(8): 774-780 (retrospektive Analyse).

O'Reilly, E. M., D. Niedzwiecki, et al. (2010). "A Cancer and Leukemia Group B phase II study of sunitinib malate in patients with previously treated metastatic pancreatic adenocarcinoma (CALGB 80603)." *Oncologist* 15(12): 1310-1319 (keine Vergleichsgruppe).

Nachfolgende Evidenztabelle bezieht sich auf folgende Fragen:

5.1.6 Führen Sie eine systemische palliative Behandlung in der Third-Line-Situation durch?

Insgesamt wurde eine Studie zum Thema auf der Grundlage des Titel- und Abstractscreenings gefunden und mit dem Evidenzniveau 4 beurteilt.

Tabelle 5.1.6 a : Studienbeschreibung: Aktuelle Studien in der palliativen Third-line Chemotherapie

Artikel	Studien-typ	Patienten-merkmale ⁸⁴	Intervention ⁸⁵ :	Vergleichs-Intervention	Nach-verfol-gung / Bem.	Endpunkte	Verzerrungsrisiko einschließlich Zensie-rungsrate für OS	Evidenzniveau (mit Begründung) / Bemerkungen
Klapdor 2007 Anticancer Research	Patienten-aufnahme bis 2004	N=69 Indikation: non-resectable exokrines Pankreaskarzinom (n=43), mit/ohne Lebermetastasen (n=27/16), Tumor-recurrence (n=26), mit/ohne distant metastasis (n=18/8) Alter: 60 (31-77) Jahre Geschlecht (m/w): 55%/45% G1/G2/G3: 3%/66%/31% advanced vs. metastatic disease: Anzahl Siehe Indikation (ohne %-Angabe) Vortherapien: Ansprechen auf Vortherapien, Komorbidität	Anzahl effektiver Behandlungen = 1 oder >1 second-line (n=50): 5FU/FA (n=30), GEM + Mitomycin C (n=12), GEM + 5FU/FA (n=1), GEM mono (n=2), Fu/FA (n=1), Capecitabine (n=1), 5FU+ Irinotecan (n=1), Taxotere (n=2) third-line (n=47): 5FU/FA (n=14), 5FU/FA+ Irinotecan (n=6), 5FU/FA+Oxaliplatin (n=7), Irinotecan (n=3), GEM mono (n=3), GEM + MitomycinC (n=6) fourthline (n=15): 5FU/FA (n=1), 5FU/FA + Oxaliplatin (n=3), 5FU/FA + Irinotecan (n=2), 5FU/FA + GEM (n=1), Irinotecan (n=2), GEM (n=2), GEM + MitomycinC (n=3), Cetuximab + GEM (n=1)	Anzahl effektiver Behandlungen = 0 first-line (n=69): Gemcitabine-Monotherapie (n=53), Kombination aus GEM + Mitomycin C (n=14), GEM + Pemetrexed (n=2)	every 4 weeks	OS, CR, PR, MR, SD	Zensierung von n=5 patients (still alive)	4 Wegen fehlender multivariater Analyse mit Korrektur von Störgrößen

⁸⁴ Indikation, Alter, Geschlecht (m/w), ECOG/ Karnovsky, advanced vs. metastatic disease, Vortherapien, Ansprechen auf Vortherapien, Komorbidität

⁸⁵ Zeitpunkt

bei Diagnose/ Größenzunahme des Tumors/ tumor-bezogenen Symptomen / abh. von Prognose⁸⁵/ andere

Tabelle 5.1.6b: Ergebnisse aktueller Studien zum Einsatz von palliativen Third-line Chemotherapien

Artikel (Autor, Jahr, Studiename, Journal)	CTX mit Sub- stanz	OS Median / HR (95 % KI)	RR WHO (95 % KI)	PFS / DFS (Median / HR (95 % KI))	Toxizität (alle in % der behandelten Patienten)	Lebens- qualität	Angaben zu Untergruppen (prospektiv / retrospektiv, Gruppen, Ergebnisse für UICC Stadium, Altersgruppen, ECOG, rash-Entwicklung, molekulare Marker)
	Therapie ohne Sub- stanz						
Klapdor 2007	Anzahl effekti- ver Behandlun- gen = 1 (n=22)	10 Monate	Angaben für Erst- und Zweit- linien- therapie	k.A.	k.A.	k.A.	Möglichkeit einer second-line-/third-line-Therapie bei 73%/68% in case of follow-up by serial tu- mour marker determinations (monthly) as well as bi-monthly cimaging methods
	Anzahl effekti- ver Behandlun- gen >1 (n=38)	23 Monate					
	Anzahl effekti- ver Behandlun- gen = 0 (n=9)	5 Monate					

Referenzen

Klapdor, R., M. Bahlo, et al. (2007). "Reflections on treatment strategies for palliative chemotherapy of pancreatic cancer." Anticancer Res **27**(4A): 1789-1794.

Nachfolgende Evidenztabelle bezieht sich auf folgende Fragen:

5.1.7 Erlauben die bisherigen Daten Ihrer Meinung nach das Festlegen einer therapeutischen Reihenfolge (Priorisierung) genannter Substanzen/Schemata für die palliative Chemotherapie?

Es konnten keine Studien zum Thema gefunden werden.

5.1.12 Wie soll eine singuläre Lebermetastase behandelt werden?

Insgesamt wurden 9 Studien zum Thema auf der Grundlage des Titel- und Abstractscannings gefunden. Eingeschlossen wurden 6 prognostische Studien, von denen eine Studie mit dem Evidenzniveau 2b- beurteilt wurden (Abwertung wegen indirekter Evidenz). Fünf Studien wurden aufgrund fehlender Adjustierung für prognostische relevante Störgrößen mit dem Evidenzniveau 4 bewertet.

Ausgeschlossen wurde eine Studie ohne Vergleichsgruppen, eine sehr kleine und eine radiologische Studie.

Tabelle 5.1.12 a : Studienbeschreibung: Aktuelle Studien zur Behandlung von singulären Lebermetastasen

Artikel	Studien-typ	Patienten-merkmale	Intervention	Vergleichs-Intervention	Endpunkte / Nach-verfolgung	Evidenzniveau (mit Begründung) / Verzerrungsrisiko
Gleisner 2007 Cancer	data were collected prospectively in a database that was approved by the Institutional Review Board.	<p>N= 22 (Interventionsgruppe)</p> <p>Indikation: histologically confirmed adenocarcinoma of the periampullary region or pancreatic adenocarcinoma who were treated with curative intent (complete extirpation of all measurable disease)</p> <p>Alter: 65 Jahre (range, 53–82)</p> <p>Geschlecht (m/w): 45.5 %/55.5%</p> <p>ECOG/ Karnovsky: N.A.</p> <p>advanced vs. metastatic disease: n= 19 patients (86.4%) had lymph node metastasis associated with their primary tumor.</p> <p>With regard to the extent of metastatic disease within the liver, the majority of patients (n = 20 patients; 90.9%) had a solitary hepatic lesion, and 2 patients had 2 lesions each.</p> <p>100% Lebermetastasen</p> <p>Vortherapien: Pancreaticoduodenectomy /Distal pancreatectomy: n=15 (68.2%)/n= 7 (31.8%)</p> <p>adjuvant chemotherapy : 31.8%</p> <p>Ansprechen auf Vortherapien,</p> <p>Komorbidität: Patients with extrahepatic metastatic disease, including those with serosal implants or peritoneal disease, were not included in the study. In addition, patients with primary cystadenocarcinomas or neuroendocrine tumors were excluded from consideration.</p>	<p>01/ 1995 - 04/2005 simultaneous resection of the primary periampullary/pancreatic malignancy in conjunction with simultaneous hepatic resection for synchronous liver metastasis: n= 22 (1.4%) concomitant hepatic resection: 100% (von 22)</p> <p>nonanatomic resection: n = 20; 90%</p> <p>anatomic resection: n= 2; 9%</p> <p>wedge resection: n=20 (90%),</p> <p>a segmentectomy : n=1 (4.5%)</p> <p>a hemihepatectomy : n=1 (4.5%)</p>	<p>Kontrolle1: patients with no evidence of hepatic metastases who underwent resection of their primary tumor (eg, “resection controls”)</p> <p>Kontrolle 2: patients with histologically proven liver metastases who underwent standard surgical palliation (eg, “palliative controls”).</p>	perioperative complication rate, Morbidität, Mortalität, Zeit bis Recurrence, median OS,	4 Wegen fehlender multivariater Analysen mit Korrektur von Störgrößen
Michalski 2008 Digestive	Systemat.-Review 2 case re-	Patienten mit einer Resektion von Lebermetastasen bei lokal fortgeschrittenem Pankreaskarzinom	Use of an aggressive surgical approach, for the most part with major or segmental		Overall mortality and morbidity	4 A priori Design, unabh. Suche in verschiedenen Datenbanken

Artikel	Studien-typ	Patienten-merkmale	Intervention	Vergleichs-Intervention	Endpunkte / Nach-verfolgung	Evidenzniveau (mit Begründung) / Verzerrungsrisiko
Surgery	ports 18 case series with <10 patients 3 case series with ≥10 Patienten n= 103 Suche 01/1066-05/2008		hepatic resection as primary treatment modality			durch 3 Autoren, Liste der gefundenen Studien ist verfügbar, eine Studie (Shrikhande 2007) nach 2007 veröffentlicht, Studien werden beschrieben, keine Qualitätsbeurteilung, Heterogenität wird über Studiendesign, Größe , grade or Staging, OP Methode und adjuvante Therapie beschrieben, Angabe von Ranges für Outcome, keine Vergleichsgruppen
Nikfarjam 2009 J Gastrointest Surg	Patients were identified from a prospective operative registry with internal review board approval.	N= 105 Indikation: Periampullary cancer (Pancreas /Ampullary/ Biliary /Duodenum): 44 (42%)/ 8 (8%)/ 2 (2%)/ 3 (3%) IPMN/Neuroendocrine tumor/ Ampullary,duodenal adenoma/ Cystadenoma/ Chronic pancreatitis /GIST /Sarcoma /Cancer metastases /Others: 10 (10%)/ 6 (6%)/ 8 (8%)/ 5 (5%)/ 5 (5%)/ 3 (3%)/ 3 (3%)/ 3 (3%)/ 5 (5%) Alter: 68 Jahre (22–88) Geschlecht (m/w): 49%/51% Vortherapien: k.A. Komorbidität: k.A.	01/ 2002 bis 11/ 2007 multivisceral resection (MVR) that involves pancreaticoduodenectomy (MVR-PD) alone	pancreaticoduodenectomy (PD) alone	Morbidity, Mortality Dauer surgical intensive care unit (SICU), overall length of stay, complications, and readmissions	4 Wegen fehlender multivariater Analysen mit Korrektur von Störgrößen Keine Endpunkt-Daten für Patienten mit Pancreaskarzinom (nur PD vs. MVR-PD).
De Jong 2010 Ann Surg	dual-center Kohortenstudie, Data were prospectively collected	N=126 Indikation: Lebermetastasen bei neuroendocrine carcinoma (34.9%), pancreatic ductal adenocarcinoma (33.4%), distal cholangiocarcinoma (8.7%), ampullary carcinoma (7.1%), duodenal carcinoma (4.0%), or other (11.9%). Alter: 56 Jahre (range, 31–84)	04/1970 bis 04/2008 Patienten erhielten simultaneous liver-directed therapy after pancreaticoduodenectomy	Patienten erhielten staged liver-directed therapy after pancreaticoduodenectomy	perioperative and long-term outcomes: Morbidity, Mortality, median OS	4 Wegen fehlender multivariater Analysen mit Korrektur von Störgrößen

Artikel	Studien-typ	Patienten-merkmale	Intervention	Vergleichs-Intervention	Endpunkte / Nach-verfolgung	Evidenzniveau (mit Begründung) / Verzerrungsrisiko
		Geschlecht (m/w): 58.8%/43.2% ECOG/ Karnovsky, metastatic disease: 100 % Lebermetastasen, locoregional nodal metastases associated with their primary tumor (71.4%). Vortherapien, Ansprechen auf Vortherapien, Komorbidität	included hepatic resection alone (45.2%), hepatic resection plus ablation (11.1%), ablation alone (7.9%), transarterial chemoembolization (9.5%), and whole-liver irradiation (22.2%).			
Schmelze 2010 Langen-beck's Archives of Surgery	Retro-spek-tive Studie mono-zent-risch Deutsch-land	N=44 Indikation: Lebermetastasen (ohne colorectale, neuroendokrine und sarcoma-Metastasen) Alter: 59 Jahre (range 30-76) Geschlecht (m/w): 54.5%/45.5% ECOG/ Karnovsky: k.A. metastatic disease: 100% Vortherapien, Ansprechen auf Vortherapien, Komorbiditäten: Patients with metastases from sarcoma (n=6) and endocrine tumors (n=2) were excluded, so as to the medical records of 44 patients with liver metastases from NCNNNS were finally analyzed. Patients with direct invasion of the liver by peritoneal implants or by the primary tumor were excluded. Unresectable tumors, peripheral diffuse metastatic disease, or diffuse hepatic involvements of all liver lobes were contraindications for a surgical approach. The goal was complete R0 resection of the tumors. Further contraindications were liver cirrhosis CHILD B/C and other concomitant comorbidities, which indicate that the resection would not be tolerated by the patient.	hepatische Resektion: von 01/2000 bis 12/2008	Primär-Resek-tion	DFS, Survival	2b- Indirekte Evidenz da Patienten mit Lebermetastasen und verschiedenen Tumoren zusammengefasst wurden

Artikel	Studien-typ	Patienten-merkmale	Intervention	Vergleichs-Intervention	Endpunkte / Nach-verfolgung	Evidenzniveau (mit Begründung) / Verzerrungsrisiko
Shrikhande 2007 Ann Surg Oncol	Retro-spec- tive Study Mono-zen- trische Studie 10/2001- 7/2005 Deutsch- land	N=316 (n=29 mit M1), Alter 65 Jahre (Interquartile Range/IQR 60-74), 38 % Männer, Indikation: Patients with R0/R1 pancreatic resections for PDAC (duktales Adenokarzinom des Pankreas) metastatic disease: n=29, Metastasen (Metastasen bei n=14 bereits vor OP vermutet und bei n=15 retrospektiv/histopathologisch diagnostiziert) Lebermetastasen: n=11 (3 von 18 mit Pancreaticoduodenectomy (PD) hatten singuläre Lebermetastasen) Metastasen in aortocavalen Lymphknoten: n=11 metastatic peritoneal nodules: n=5 von 18 mit PD (colonic mesentery n = 2 and peritoneum lining the abdominal wall n = 3) Vortherapien: neoadjuvante Radiochemotherapie (n=1 von 29) Ansprechen auf Vortherapien: k.A.	Pankreasresektion mit Resektion der Metastasen (interaortocavale Lymphknotendissektion, Leberresektion und/oder Multiorgan-Resektion)	Pankreasresek- tion ohne Resek- tion der Metasta- sen (n=118) und R0/R1 M0- Pati- enten (n=287)	Mortalität und Morbi- tät im Krankenhaus, median OS, Ende des follow-up für alle Patienten: 12/2005; median follow-up: 8.5 Monate (IQR 7.1-11.6 Monate, range 4.7-25.9)	4 Wegen fehlender multivariater Analysen mit Korrektur von Störgrößen

Tabelle 5.1.12b: Ergebnisse aktueller Studien zur Behandlung von singulären Lebermetastasen

Artikel (Autor, Jahr, Studiename, Journal)	Prognos-ti- sche Merk- male	OS	RR	PFS / DFS	Toxizität	Lebens- qualität	Angaben zu Untergruppen und Analysen (prospektiv / retrospektiv, Gruppen, Ergebnisse für UICC Stadium, Altersgruppen, ECOG, rash- Entwicklung, molekulare Marker)
		Median / HR (95 % KI)	WHO (95 % KI)	(Median / HR (95 % KI))	(alle in % der behandelten Patienten)		
Gleisner 2007 Cancer	cases (n=22)	180 Monate 1,-3,-5 Jah- res-ÜL-Rate: 13.3%, 6.7%, N.A.	k.A.	k.A.	Morbidität: n= 10 (45.5 %) Mortalität: n= 2 (9.1 %)	k.A.	Es wurden ausschließlich univariate Analysen durchgeführt.
	resected con- trols (n=66)	429 Monate 1,-3,-5 Jahres-ÜL- Rate: 58.9 %,21.4%, 12.8%	k.A.	k.A.	Morbidität: n= 31 (46.7%) Mortalität: n= 3 (4.5 %)	k.A.	
	palliative con- trols (n=66)	170 Monate 1,-3,-5 Jahres-ÜL- Rate: 9.2%, 0%, 0%	k.A.	k.A.	Morbidität: n= 11 (16.7%) Mortalität: n= 2 (3%)	k.A.	
Michalski 2008	18 trials with n<10, n=103	Morbidity: 8- 38%			Intra- and perioperative mortality: 0-20%		
	3 trials with n≥10	5.8-11.4 Monate 30 day mor- tality: 0/4.3/9.1% Morbidity: 0/24.1/26%					
Nikfarjam 2009 J Gastrointest Surg	MVR-PD (n= 19)	k.A.	k.A.	k.A.	Komplikationen/overall complication rate (beide Gruppen): n=63 von 105 (60%) operative times: 9.5	k.A.	Es wurden ausschließlich univariate Analysen durchgeführt.

Artikel (Autor, Jahr, Studiename, Journal)	Prognos-ti- sche Merk- male	OS	RR	PFS / DFS	Toxizität	Lebens- qualität	Angaben zu Untergruppen und Analysen (prospektiv / retrospektiv, Gruppen, Ergebnisse für UICC Stadium, Altersgruppen, ECOG, rash- Entwicklung, molekulare Marker)
		Median / HR (95 % KI)	WHO (95 % KI)	(Median / HR (95 % KI)	(alle in % der behandelten Patienten)		
	PD (n=86)	k.A.	k.A.	k.A.	Stunden number of days in SICU: 2 Tage (1–4)	k.A.	
					operative times: 8 h; (p=0.002) number of days in SICU: 1 Tag (1–6); (p<0.001) median length of stay (beide Gruppen) : 7 Tage (6–34). There were 34 (32%) readmissions overall for one or more complica- tions.		
De Jong 2010 Ann Surg	single liver- directed proce- dure n= 103 (81.7 %)	99.0 Monate	k.A.	k.A.	overall complication rate simultaneous pancreaticoduodenectomy plus liver-directed therapy / pa- tients who underwent a staged approach: 26.3% / 40.6% , P = 0.02 Grade 1 /2/3a/3b /4/5: 2 (1.6%) /17 (13.5%) /13 (10.3%)/ 5 (4.0%)/ 3 (2.4%) /3 (2.4%) major complications (Clavien grade \geq 3) : 55.8% overall morbidity bei initial liver-directed therapy : 34.1%	k.A.	Es wurden ausschließlich univariate Analysen durchgeführt. The overall median length of stay following liver directed therapy was 11 days (range, 5–35). The median length of stay for patients who underwent a simultaneous pancreaticoduodenectomy plus liver-directed therapy was 11 days (range, 6–38) compared with 10 days (range, 5–53) for patients who underwent pancreaticoduodenectomy alone followed by staged liver-directed therapy at a later date (P □= 0.61).
	2 or more liver- directed proce- dures : n=14 (11.1%) or n=9 (7.2 %)	59.2 Monate (p=0.05).	k.A.	k.A.			

Artikel (Autor, Jahr, Studiename, Journal)	Prognos-ti- sche Merk- male	OS Median / HR (95 % KI)	RR WHO (95 % KI)	PFS / DFS (Median / HR (95 % KI)	Toxizität (alle in % der behandelten Patienten)	Lebens- qualität	Angaben zu Untergruppen und Analysen (prospektiv / retrospektiv, Gruppen, Ergebnisse für UICC Stadium, Altersgruppen, ECOG, rash- Entwicklung, molekulare Marker)
Schmelze 2010 Langenbeck's Archives of Surgery	Leberresektion	mean OS: 21 Monate (range 1-87) 2-/3-/5- Jahres-ÜL- Rate:52%/29 %/20%	k.A.	k.A.	peri-OP Komplikationen (ja/nein): 16%/84% Todesfälle: n=3	k.A.	Alter ≥60 Jahre vs. < 60 Jahre: n= 23/21 (52%/48%), 5-Jahres-OS: 14%/33%, mean OS: 18/23 Monate
	initiale Resektion des Primärtu- mors	mean OS: 50 Monate (range 2-152) 2-/3-/5- Jahres-ÜL- Rate:74%/70 %/62% HR Survival Interval ≥18 Monate vs. < 18 Monate 0.230 (0.061- 0.869); P=0.030	k.A.	k.A.		k.A.	
Shrikhande 2007 Ann Surg Oncol	M1 intraaorto- caval vs. M1 liver vs. M1 peritoneum n=11/11/8	27 (9,6-27) / 11,4 (7,8- 16,5) / 12,9 (7,2- 20,5) Monate; P=0,145			Komplikationen (M1 vs. M0): n=29 vs. 287, Aufenthalt im Kranken- haus: 12 Tage (IQR 9-15) vs. 12 Tage (IQR 10-14) Tage, Komplikationsrate post- OP: 24.1% vs. 24.4%, Relaparotomy: 6.3% vs. 6.9%,		
	R0/R1 M1 n=29	13,8 (11,4- 20,5) Monate 1-year OS					

Artikel (Autor, Jahr, Studiename, Journal)	Prognos-ti- sche Merk- male	OS	RR	PFS / DFS	Toxizität (alle in % der behandelten Patienten)	Lebens- qualität	Angaben zu Untergruppen und Analysen (prospektiv / retrospektiv, Gruppen, Ergebnisse für UICC Stadium, Altersgruppen, ECOG, rash- Entwicklung, molekulare Marker)
		Median / HR (95 % KI)	WHO (95 % KI)	(Median / HR (95 % KI))			
		58,9% (34,8- 76,7)			30-Tages und im Krankenhaus-Mortalität: 0 vs. 4.2%		
R0/R1 M1 (liver metastases) vs. M1 (liver metas- tases) without resection (ex- ploration/by- pass) n=11/118	11,4 (7,8- 16,5) vs. 5,9 (5,4-7,6) Monate: P=0,0384						

Referenzen

- Gleisner, A. L., L. Assumpcao, et al. (2007). "Is resection of periampullary or pancreatic adenocarcinoma with synchronous hepatic metastasis justified?" *Cancer* **110**(11): 2484-2492.
- De Jong, M. C., M. B. Farnell, et al. (2010). "Liver-directed therapy for hepatic metastases in patients undergoing pancreaticoduodenectomy: a dual-center analysis." *Ann Surg* **252**(1): 142-148.
- Michalski, C. W., M. Erkan, et al. (2008). "Resection of primary pancreatic cancer and liver metastasis: a systematic review." *Dig Surg* **25**(6): 473-480.
- Nikfarjam, M., M. Sehbey, et al. (2009). "Additional organ resection combined with pancreaticoduodenectomy does not increase postoperative morbidity and mortality." *J Gastrointest Surg* **13**(5): 915-921.
- Schmelzle, M., C. F. Eisenberger, et al. (2010). "Non-colorectal, non-neuroendocrine, and non-sarcoma metastases of the liver: Resection as a promising tool in the palliative management." *Langenbeck's Archives of Surgery* **395**(3): 227-234.
- Shrikhande, S. V., J. Kleeff, et al. (2007). "Pancreatic resection for M1 pancreatic ductal adenocarcinoma." *Ann Surg Oncol* **14**(1): 118-127.

Ausgeschlossene Studien (mit Gründen)

- Cianni, R., C. Urigo, et al. (2010). "Radioembolisation using yttrium 90 (Y-90) in patients affected by unresectable hepatic metastases." *Radiol Med* **115**(4): 619-633 (keine Vergleichsgruppen, 5 Patienten hatten Pankreaskarzinom).
- Dunschede, F., L. Will, et al. (2010). "Treatment of metachronous and simultaneous liver metastases of pancreatic cancer." *Eur Surg Res* **44**(3-4): 209-213 (Fallzahl kleiner 25).
- Evans, K. A., M. G. Richardson, et al. (2010). "Survival outcomes of a salvage patient population after radioembolization of hepatic metastases with yttrium-90 microspheres." *Journal of Vascular and Interventional Radiology* **21**(10): 1521-1526. (radiologische Studie).

Nachfolgende Evidenztabelle bezieht sich auf folgende Frage:

5.1.13 Wie soll ein maligner Aszites behandelt werden?

Tabelle 5.1.13 a : Studienbeschreibung: Aktuelle Studien zur Behandlung des malignen Aszites

Artikel	Studien-typ	Patienten-merkmale ⁸⁶	Intervention ⁸⁷ :	Vergleichs-Intervention	Endpunkte	Evidenzniveau (mit Begründung) / Bemerkungen
Yonemori 2007 Hepato-gastro-entero- logy	Retrospektiv monozen-trisch 11/1991- 04/2003 Japan	N=28 Indikation: cytologisch bestätigter maligner Ascites ohne vorherige CTX Alter: 62 Jahre (39-73) Geschlecht (m/w): 68%/32% ECOG 0/1/2: 46.4%/50%/3.6% advanced vs. metastatic disease: Primärläsion (93%), Lebermetastasen (35.7%), Lymphknotenmetastasen (35.7%), Lungenmetastasen (10.7%), other site of disease (7.1%) Vortherapien: nicht erlaubt Ansprechen auf Vortherapien: entfällt Komorbidität: k.A.	Behandlung mit FP-Therapie (5-Fluorouracil + Cisplatin) 5-Fluorouracil (500 mg/m²): an 5 aufeinanderfolgenden Tagen Cisplatin (80 mg/m²): am ersten Tag eines jeden Zyklus 1 Zyklus= 4 Wochen	keine	Tumorresponde- rate, objektive Verbesserung des Ascites, median TTP, median OS; median follow- up: 3 Monate (range 0.43- 11.7)	4 Wegen fehlender multivariater Analysen mit Korrektur von Störgrößen
Garofalo 2009 Ann Surg	Einarmige Beobachtungs-studie	N= 28 Indikation: Patienten mit Ascites ohne Abmilderung der Ascites nach systemischer CTX und	28 (14.21%) patients underwent intraperitoneal hyperthermic chemotherapy for the palliation of ascites with a videolaparoscopic technique (wenn nötig wurde eine viscerolyse vor CTX durchgeführt)	keine		4 Keine Vergleichsintervention

⁸⁶ Indikation, Alter, Geschlecht (m/w), ECOG/ Karnovsky, advanced vs. metastatic disease, Vortherapien, Ansprechen auf Vortherapien, Komorbidität

⁸⁷ Zeitpunkt

bei Diagnose/ Größenzunahme des Tumors/ tumor-bezogenen Symptomen / abh. von Prognose⁸⁷/ andere

Artikel	Studien-typ	Patienten-merkmale ⁸⁶	Intervention ⁸⁷ :	Vergleichs-Intervention	Endpunkte	Evidenzniveau (mit Begründung) / Bemerkungen
Oncol	2000-2008 Italien	nach anderen Therapien (albumin infusions, diuretics at high dosages repeated paracentesis) Alter, Geschlecht (m/w): k.A. ECOG/ Karnovsky: k.A. advanced vs. metastatic disease: at the origin of malignant ascites there were 10 cases of gastric cancer, 7 colon cancer, 5 breast lobular cancer, 5 ovarian cancer, and 1 peritoneal mesothelioma	hyperthermic intraperitoneal CTX: Cisplatin (50 mg/m²) und Doxorubicin (15 mg/m²) bei Ascites wegen ovarian cancer, peritoneal mesothelioma, oder breast cancer Mitomycin (12.5 mg/m²) bei Ascites wegen rectal colon und stomach cancer, The volume of perfusate used was 2000 mL mit Peritoneal-Dialyse-Lösung aus 1.5% Dextrose. Fresh frozen plasma (1200 mL) was infused during perfusion. Furosemide was administered along with intravenous fluids to maintain a 400-mL/h diuresis.			
White 2011 American Surgeon	Systemat. Review 19 Studien N=353 Suche 1980-2009	Patienten mit maligner Ascitis bei Ovarialkarzinom (16.1%), Pankreaskarzinom (7.9%) , Kolorektalkarzinom (6.7%) und Brustkrebs (6.7%) oder unspez. Indikation (39.6%)	Denver type shunt	keine	Primäre und sekundäre Durchlässigkeit, Überleben	4 Keine Vergleichsintervention Suche nur in Medline, Studien zwischen 1980 und 2007)

Tabelle 5.1.13b: Ergebnisse aktueller Studien zur Behandlung des malignen Ascites

Artikel (Autor, Jahr)	n ⁸⁸	Prognost. Merkmal	Anzahl der Pati- enten mit prog. Merkmal	Ergebnisse aus univariater Analyse		Ergebnisse aus multi- variater Analyse		Nebenwirkungen durch Sektion des Tumors therapieassoziierte Todesfälle und Komplikationen (alle in % der behandelten Patienten)
				p-Wert	OS / HR (95%CI)	p-Wert	HR	
Yonemori, 2007	28	objektive Ascites- Verbesserung (ja/nein)	10/18	0.002	median OS: 6.5 Mo- nate/2.2 Monate			Alle untersuchten Patienten (n=28) objektive Ascites-Verbesserung: 35.7% (95% CI 18.0-53.4), aber kein komplettes Verschwinden des Ascites mediane Dauer bis Verbesserung des Ascites: 4.1 Monate
	28	distant metastasis (ja/nein)	11/17	0.002	objektive Ascites- Verbesserung: 0%/58.8%			median TTP: 1.7 Monate OS: 2.7 Monate
		ECOG 0 vs. 1-2	13/15	0.433	objektive Ascites- Verbesserung: 46.2%/26.7%			Kein Patient war 1 Jahr nach Beginn der Therapie noch am Leben.
Garofalo 2009	28	palliative intraperi- toneal hyperther- mic CTX	28		OS: 152 Tage (range 21-796), intraoperative oder postoperative Komplikationen: keine Mortalität: keine			komplettes Verschwinden der Ascites innerhalb von 9 Tagen nach der laparoskopischen Perfusion, post-OP Steigerung des Karnowski-Index um 20 Punkte longest survival times bei 3 von 5 Fällen mit breast lobular cancer (807, 736, and 216 days), shortest survival times bei Ascites-Fällen wegen gastric cancer. complete resolution of ascites: bei 26 von 28 Patienten (one patient died in the 21st postoperative day free from ascites.) In one case, a CT scan 1 year later showed a small, clinically undetectable, ascetic accumulation in the pelvis. In 2 cases of concomitant neoplastic intestinal occlusion, a laparoscopic ileostomy was performed before beginning the hyperthermic intraperitoneal chemotherapy.
		Es ex. keine Vergleichs	0					

⁸⁸ Gesamtanzahl der Patienten

Artikel (Autor, Jahr)	n ⁸⁸	Prognost. Merkmal	Anzahl der Pati- enten mit prog. Merkmal	Ergebnisse aus univariater Analyse		Ergebnisse aus mul- tivariater Analyse		Nebenwirkungen durch Sektion des Tumors therapieassoziierte Todesfälle und Komplikationen (alle in % der behandelten Patienten)
				p-Wert	OS / HR (95%CI)	p-Wert	HR	
		therapie						
White 2011	341	Patienten mit Denver PV shunts	341		3.04 ± 1.69 Monate No device-related mortality			Primary shunt patency 86.6 days Shunt replacement or revision: 5.3% / 7% Complications: 38.4%±16.2 (disseminated intravascular coagulation: 9.3%, infection: 4.5%, pulmonary edema: 7.1%, pulmonary embolus: 6.7%) patients dying with functional stent: 74.2% ± 19.7 Effective palliation: 75.3% ± 15.4 (no or reduced diuretic requirement and minimal need for paracentesis or shunt revision) Hematologic dissemination at autopsy (n=133): 1.5%

Referenzen

- Garofalo, A. and M. Valle (2009). "Laparoscopy in the management of peritoneal carcinomatosis." Cancer J **15**(3): 190-195.
- White, M. A., S. C. Agle, et al. (2011). "Denver peritoneovenous shunts for the management of malignant ascites: A review of the literature in the post LeVeen era." American Surgeon **77**(8): 1070-1075.
- Yonemori, K., T. Okusaka, et al. (2007). "FP therapy for controlling malignant ascites in advanced pancreatic cancer patients." Hepatogastroenterology **54**(80): 2383-2386.

Ausgeschlossene Studien (mit Gründen)

- Shukuya, T., H. Yasui, et al. (2010). "Weekly Paclitaxel after failure of gemcitabine in pancreatic cancer patients with malignant ascites: a retrospective study." Jpn J Clin Oncol **40**(12): 1135-1138 (Studie zu klein).
- Shrikhande, S. V., J. Kleeff, et al. (2007). "Pancreatic resection for M1 pancreatic ductal adenocarcinoma." Ann Surg Oncol **14**(1): 118-127. (keine Daten zu maligner Ascites)

Nachfolgende Evidenztabelle bezieht sich auf folgende Frage:

5.1.14 Wie soll eine Peritonealkarzinose behandelt werden?

Tabelle 5.1.14 a : Studienbeschreibung: Aktuelle Studien zur Behandlung einer Peritonealkarzinose

Artikel	Studien-typ	Patienten-merkmale ⁸⁹	Intervention ⁹⁰ :	Vergleichs-Intervention	Endpunkte	Evidenzniveau (mit Begründung) / Bemerkungen
Shrikhand e 2007 Ann Surg Oncol	Retro-spec- tive Study Mono-zen- trische Studie 10/2001- 7/2005 Deutsch- land	N=316 (n=29 mit M1 (metastatic disease), Alter 65 Jahre (Interquartile Range/IQR 60-74), 38 % Männer, Indikation: Patients with R0/R1 pancreatic resections for PDAC (duktales Pankreas-Adenokarzinom) metastatic disease: bei n=29 mit 100% Metastasen (Metastasen bei n=14 bereits vor OP vermutet und bei n=15 retrospektiv/histopathologisch diagnostiziert); Lebermetastasen: n=11 (3 von 18 mit Pancreaticoduodenectomy (PD) hatten singuläre Lebermetastasen); Metastasen in aortocavalen Lymphknoten: n=11; metastatic peritoneal nod- ules: n=5 von 18 mit PD (colonic mesentery n = 2; and peritoneum lining the abdominal wall n = 3) Vortherapien: PD (n=18), distale Pankreatektomie (n=9), Totale Pankreatektomie (n=2) neoadjuvante Radiochemotherapie (n=1 von 29); adjuvante Therapie (n=23 von 29), davon Radiochemo (n=1), GEM (n=13), Fluorouracil (n=6), experimentelle Tumor-Impfung (n=2); keine adjuvante Therapie (n=6) Ansprechen auf Vortherapien: k.A.	Pankreasresektion mit Resektion der Metastasen (interaortocavale Lymphknotendissektion, Leberresektion und/oder multior-gane Resektion)	Pankreasresek- tion ohne Re- sektion der Metastasen (n=118) und R0/R1 M0- Patienten (n=287)	Mortalität und Morbidität im Krankenhaus, median OS, Ende des follow-up für alle Pa-tienten: 12/2005; median follow-up: 8.5 Monate (IQR 7.1-11.6 Monate, range 4.7-25.9)	4 Wegen fehlender multivariater Analysen mit Korrektur von Störgrößen

⁸⁹ Indikation, Alter, Geschlecht (m/w), ECOG/ Karnovsky, advanced vs. metastatic disease, Vortherapien, Ansprechen auf Vortherapien, Komorbidität

⁹⁰ Zeitpunkt bei Diagnose/ Größenzunahme des Tumors/ tumor-bezogenen Symptomen / abh. von Prognose⁹⁰/ andere

Artikel	Studien-typ	Patienten-merkmale⁸⁹	Intervention⁹⁰:	Vergleichs-Intervention	Endpunkte	Evidenzniveau (mit Begründung) / Bemerkungen
		Komorbidität: k.A.				
Garofalo 2009	Einarmige Beobachtungsstudie 2000-2008 Italien	N= 197 Indikation: Peritonealkarzinomatose (peritoneal surface malignancies) (In 70 cases, the peritoneal surface malignancy was due to ovarian tumor, in 40 due to gastric tumor, in 35 due to a recurrent colorectal neoplasm, in 14 due to a pseudomyxoma peritonei, in 10 due to mesothelioma, in 6 due to neoplasm of the uterine cervix, in 6 due to abdominal sarcomatosis, in 5 due to recurrent pancreas neoplasm, in 1 due to peritoneal carcinomatosis to prostate neoplasm, in 1 due to intra-abdominal desmoplastic small round cell tumor, and in 9 due to the carcinomatosis was secondary to a primary breast tumor)	diagnostic VLS (videolaparoscopy) procedures 08/ 2000 bis 09/ 2008	keine	Staging, Morbidität/Komplikationen, Mortalität, ob diagnostic VLS (videolaparoscopy) praktikabel ist	4 Keine Vergleichsintervention Laparoscopy für Staging peritonealer Carcinomatosis-keine Behandlungsmethode, sondern zur nur zur Diagnostik

Tabelle 5.1.14 b: Ergebnisse aktueller Studien zur Behandlung einer Peritonealkarzinose

Artikel (Autor, Jahr)	n ⁹¹	Prognost. Merkmal	Anzahl der Pati- enten mit prog. Merkmal	Ergebnisse aus univariater Analyse		Ergebnisse aus mul- tivariater Analyse		Nebenwirkungen durch Sektion des Tumors therapieassoziierte Todesfälle und Komplikationen (alle in % der behandelten Patienten)
				p-Wert	OS / HR (95%CI)	p-Wert	HR	
Shrikhande 2007	29	M1 in- traaorto- caval vs. M1 liver vs. M1 perito- neum	9/11/9	P=0,145	OS: 27 (95%CI 9,6- 27) / 11,4 (95%CI 7,8- 16,5) / 12,9 (95%CI 7,2-20,5) Monate			Komplikationen (M1 vs. M0): n=29/287, Aufenthalt im Krankenhaus: 12 Tage (IQR 9-15)/12 (IQR 10-14) Tage, Komplikationsrate post-OP: 24.1%/24.4%, Relaparotomy: 6.3%/ 6.9%, 30-Tages und im Krankenhaus-Mortalität: 0/4.2%
Garofalo 2009	Video- laparos- copy (n=197)	Mortalität: keine						Morbidität/Komplikationen: 4 von 197 (2.08%), davon 1.04 % intraoperativ The mean time needed for a diagnostic and staging VLS procedure was 30 minutes (range: 15/45 minutes). Full laparoscopic PCI assessment in 196 of 197 (99.49%) cases achieved. 4 von 197 (2.03%) cases were understaged before the routine use of laparoscopic ultrasound Two trocars were sufficient in 184 of 197 cases. There was no mortality and no port site metastasis.
		kein Ver- gleich						

⁹¹ Gesamtanzahl der Patienten

Referenzen

- Garofalo, A. and M. Valle (2009). "Laparoscopy in the management of peritoneal carcinomatosis." Cancer J **15**(3): 190-195.
- Shrikhande, S. V., J. Kleeff, et al. (2007). "Pancreatic resection for M1 pancreatic ductal adenocarcinoma." Ann Surg Oncol **14**(1): 118-127.

5.1.15 Sehen Sie eine Indikation für neue Therapieverfahren wie z.B. SIRT, Hyperthermie oder Protonentherapie in der palliativen Therapie des Pankreaskarzinoms?

ja nein

Falls ja, für welches Verfahren:

Indikation:

Begründung (Lit.):

Es wurden alle auf Grundlage des Titel- und Abstractscreenings identifizierten Studien aufgrund geringer Fallzahlen (3 Studien) und fehlender Vergleichsgruppe (eine Studie) ausgeschlossen.

Ausgeschlossene Studien (mit Gründen)

Bakshandeh-Bath, A., A. S. Stoltz, et al. (2009). "Preclinical and clinical aspects of carboplatin and gemcitabine combined with whole-body hyperthermia for pancreatic adenocarcinoma." Anticancer Res **29**(8): 3069-3077 (Studie zu klein).

Evans, K. A., M. G. Richardson, et al. (2010). "Survival outcomes of a salvage patient population after radioembolization of hepatic metastases with yttrium-90 microspheres." Journal of Vascular and Interventional Radiology **21**(10): 1521-1526 (Studie zu klein).

Cianni, R., C. Urigo, et al. (2010). "Radioembolisation using yttrium 90 (Y-90) in patients affected by unresectable hepatic metastases." Radiol Med **115**(4): 619-633 (Keine Vergleichsgruppe).

Sultana, A., S. Shore, et al. (2009). "Randomised Phase I/II trial assessing the safety and efficacy of radiolabelled anti-carcinoembryonic antigen I(131) KAb201 antibodies given intra-arterially or intravenously in patients with unresectable pancreatic adenocarcinoma." BMC Cancer **9**: 66 (Studie zu klein).

ⁱ Cox-Regression (proportional hazards-Modell)

ⁱⁱ Cox-Regression (proportional hazards-Modell)

6. Anhang

6.1. Recherchestrategie nach aggregierter Evidenz bzw. Primärstudien in PubMed und Embase

Tabelle 6.1: Recherchestrategie am 30. und 31. August 2011 nach aggregierter Evidenz und Primärstudien in PubMed und Embase

Suchebene 1: alle Arbeitsgruppen: pancreatic cancer | pancreatic neoplasm | pancreatic carcinoma | ductal adenocarcinoma of the pancreas; AG-spezifische Suchebenen 2–5: Arbeitsgruppe

Suchebene 2	Suchebene 3	Suchebene 4	Suchebene 5	Anzahl PubMed	Anzahl Embase
AG I: Chirurgische Therapie					
staging diagnosis diagnostic preoperative	laparoscopy			386	490
staging diagnosis diagnostic preoperative	laparoscopy	cytology lavage rinsing irrigation		153	28
cholestasis jaundice biliary obstruction bile duct obstruction	preoperative curative	endoscopic retrograde cholangiography endoscopic retrograde cholangiopancreaticography ERCP endoscopic drainage drainage		57	117
surgery operation resection surgical procedure	resectability resectable curative	extrapancreatic manifestation extrapancreatic tumor mass metastasis metastases		302	459
surgery operation resection surgical procedure	resectability resectable curative	lymph node metastasis lymph node metastases lymph node infiltration lymphadenectomy lymph node excision lymph node dissection		127	168
surgery operation resection surgical procedure	resectability resectable curative	celiac trunk infiltration celiac trunk encasement celiac trunk adjacent celiac trunk adherence celiac trunk contact celiac trunk abutment celiac artery infiltration celiac artery encasement celiac artery adjacent celiac artery adherence celiac artery contact celiac artery abutment celiac trunk involvement		8	18
surgery operation resection surgical procedure	resectability resectable curative	superior mesenteric artery infiltration superior mesenteric artery encasement superior mesenteric artery adjacent superior mesenteric artery adherence superior mesenteric artery contact superior mesenteric artery abutment superior mesenteric artery attachment		12	15

surgery operation resection surgical procedure	resectability resectable curative	portal vein infiltration portal vein encasement portal vein adjacent portal vein adherence portal vein contact portal vein abutment portal vein attachment		17	20
surgery operation resection surgical procedure	resectability resectable curative	superior mesenteric vein infiltration superior mesenteric vein encasement superior mesenteric vein adjacent superior mesenteric vein adherence superior mesenteric vein contact superior mesenteric vein abutment superior mesenteric vein attachment		13	15
surgery operation resection surgical procedure	resectability resectable curative	blood vessel infiltration blood vessel encasement blood vessel adjacent blood vessel adherence blood vessel contact blood vessel abutment vascular surgical procedure vascular surgical methods		103	39
surgery operation resection surgical procedure	resectability resectable curative	borderline		56	101
tumor of the head head	surgery operation resection surgical procedure pancreaticoduodenectomy whipple			899	1608
tumor of the head head	pylorus preserving pancreaticoduodenectomy ppWhipple			109	143
surgery operation resection surgical procedure	infiltration of the liver infiltration of the duodenum infiltration of the kidney infiltration of the spleen infiltration of the colon infiltration of the stomach contact to the liver contact to the duodenum contact to the kidney contact to the spleen contact to the colon contact to the stomach adherence to liver adherence to duodenum adherence to kidney adherence to spleen adherence to colon adherence to stomach			82	48
surgery operation resection surgical procedure	lymphadenectomy lymph node resection lymph node excision lymph node dissection			441	316
surgery operation resection surgical procedure intraoperative finding	distant metastasis distant metastases metastasis metastases			1590	3133

laparoscopic surgery laparoscopic operation laparoscopic resection				466	306
AG II: Chirurgische Therapie / Pathologie					
surgery operation resection surgical procedure	resection margin margin curative			744	959
surgery operation resection surgical procedure	labelling of the resection margin marking of the resection margin inking of the resection margin indian ink pathologic procedure pathologic processing			256	1
surgery operation resection surgical procedure intraoperative	instantaneous section frozen section resection margins			204	156
surgery operation resection surgical procedure	resection margin margin R0 resection curative			835	1118
surgery operation resection surgical procedure	pathologic report report on pathologic findings pathologic information histopathology report			802	3
AG III: Adjuvante und neoadjuvante Therapie					
chemotherapy	adjuvant			590	1131
chemotherapy	adjuvant	age patient age old age elderly advanced in years		309	466
chemotherapy	adjuvant	karnofsky karnofsky index ECOG ECOG performance status comorbidity general condition		18	56
chemotherapy	adjuvant	regime scheme protocol substance		196	156
chemotherapy	adjuvant	duration length period cycles number of cycles		65	290
chemotherapy	adjuvant	toxicity change of substance change of drug change of combination change of scheme change of regime change of protocol		81	275
chemotherapy	additive R1 resection in addition additionally			439	583
chemotherapy	adjuvant	time span time period period time after surgery time after operation time after resection		103	220
chemotherapy	neoadjuvant preoperative			279	427
chemotherapy	neoadjuvant preoperative	regime scheme protocol substance drug combination		194	420
chemotherapy	neoadjuvant preoperative	reevaluation restaging surgery resection		244	409

adjuvant	SIRT selective internal radiotherapy hyperthermia proton radiation			10	9
neoadjuvant preoperative	SIRT selective internal radiotherapy hyperthermia proton radiation			10	3
AG IV: Palliative Therapie					
advanced locally advanced	chemotherapy	palliative		239	209
chemotherapy	palliative	regime scheme protocol drug substance combination first line therapy first line treatment		478	412
FOLFIRINOX	supportive therapy treatment antibiotic therapy antibiotic prophylaxis G-CSF GM-CSF EPO erythropoietin			11	4
chemotherapy	palliative	first line	combination therapy scheme regime protocol	10	28
gemcitabine	erlotinib	rash skin rash exanthema skin reaction degree		21	192
erlotinib EGF receptor inhibitor	palliative			19	105
chemotherapy	palliative	molecular marker biomarker tumor marker		29	61
chemotherapy	palliative	second line		15	16
chemotherapy	palliative	second line	regime scheme protocol substance drug combination	14	16
chemotherapy	palliative	third line		4	3
chemotherapy	palliative	regime scheme protocol drug substance combination	order sequence prioritization	10	28
liver metastasis liver metastases	surgery resection chemotherapy radiation radiotherapy TACE transarterial chemoembolization PEI percutaneous ethanol injection RFTA radiofrequency thermal ablation treatment			752	1115
malignant ascites ascites	treatment chemotherapy intraperitoneal chemotherapy			104	158
peritoneal carcinomatosis peritoneal dissemination	treatment chemotherapy intraperitoneal chemotherapy			157	57
palliative	SIRT selective internal radiotherapy hyperthermia proton radiation			2	7

6.2 Recherchestrategie nach aggregierter Evidenz bzw. Primärstudien in Cochrane

Gesucht wurde am 31. August 2011 nach aggregierter Evidenz bzw. Primärstudien in folgenden Cochrane-Datenbanken:

Cochrane Database of Systematic Reviews:	15
Cochrane Database of other Reviews:	35
Cochrane Database of Technology Assessments:	10
Cochrane Central Register of Controlled Trials:	187

Verwendet wurde folgende Suchstrategie:

(pancreatic or pancreas) and (cancer or carcinoma or adenocarcinoma or neoplasm)